

ATLAS DE ANATOMÍA DE ESPECIES SILVESTRES DE LA AMAZONÍA

Volumen III - Mamíferos

Órganos Urinarios
Órganos Genitales



Autores

Pedro Mayor Aparicio
Carlos López Plana

Traducción

Gessiane Pereira da Silva
Thyago Habner de Souza Pereira
Frederico Ozanan Barros Monteiro
Ana Rita de Lima
Érika Renata Branco

**ATLAS DE ANATOMÍA DE ESPECIES
SILVESTRES DE LA AMAZONÍA**

Volumen III



Pedro Mayor Aparicio
Carlos López Plana
Autores

Gessiane Pereira da Silva
Thyago Habner de Souza Pereira
Frederico Ozanan Barros Monteiro
Ana Rita de Lima
Érika Renata Branco
Traductores

Pedro Mayor Aparicio
Carlos López Plana
Gessiane Pereira da Silva
Thyago Habner de Souza Pereira
Frederico Ozanan Barros Monteiro
Organizadores

ATLAS DE ANATOMÍA DE ESPECIES SILVESTRES DE LA AMAZONÍA

Volumen III

Belém – Pará
2021

MINISTERIO DE EDUCACIÓN**Milton Ribeiro****MINISTRO****UNIVERSIDADE FEDERAL RURAL DA AMAZÔNIA****Herdjania Veras de Lima**

Rectora

Jaime Viana de Sousa

Vicerector

Suely Nazaré Furtado França

Gerente de Edición

Antonia Benedita da Silva Bronze**Heloisa dos Santos Brasil****Israel Hidenburgo Aniceto Cintra****Tabilla Verena da Silva Leite**

Comisión Editorial

Pedro Mayor Aparicio

Portada

Cristiane do Espírito Santo Coelho**Socorro de Fátima Souza da Silva Viegas****Inácia Faro Libonati****Marcelle Cristina da Silva Lima****Renan Michel Costa Ribeiro**

Equipo Editorial

Mónica Sumoy Gete-Alonso

Revisión de la Lengua Española



Editora associada a ABEU (Associação Brasileira das Editoras Universitárias)

DIRECCIÓN

Av. Tancredo Neves, 2501

CEP: 66077-530 - Terra Firme

e-mail: editora@ufra.edu.br

AUTORES Y TRADUCTORES**Autores:****Pedro Mayor Aparicio**

Profesor Titular

Departament de Sanitat i Anatomia Animals

Facultat de Veterinària

Universitat Autònoma de Barcelona

Bellaterra, Barcelona, España

mayorpedro@hotmail.com

pedrogines.mayor@uab.cat

Carlos López Plana

Profesor Titular

Departament de Sanitat i Anatomia Animals

Facultat de Veterinària

Universitat Autònoma de Barcelona

Bellaterra, Barcelona, España

carlos.lopez@uab.cat

Traductores:**Gessiane Pereira da Silva**

Estudiante de Doctorado

Programa de Pós-Graduação em Saúde

e Produção Animal na Amazônia

Universidade Federal Rural da Amazônia

Belém, Pará, Brasil

gessyane05@hotmail.com

Thyago Habner de Souza Pereira

Estudiante de Doctorado

Programa de Pós-Graduação em Saúde

e Produção Animal na Amazônia

Universidade Federal Rural da Amazônia

Belém, Pará, Brasil

thyagohabner1@gmail.com

Frederico Ozanan Barros Monteiro

Profesor Asociado

Programa de Pós-Graduação em Saúde

e Produção Animal na Amazônia

Universidade Federal Rural da Amazônia

Belém Pará, Brasil

fredericovet@hotmail.com

Érika Renata Branco

Profesora Asociada

Programa de Pós-Graduação em Saúde

e Produção Animal na Amazônia

Universidade Federal Rural da Amazônia

Belém Pará, Brasil

ebranco.ufra@gmail.com

Ana Rita de Lima

Profesora Asociada

Programa de Pós-Graduação em Saúde

e Produção Animal na Amazônia

Universidade Federal Rural da Amazônia

Belém Pará, Brasil

vetlima@uol.com.br

Editora associada a ABEU (Associação Brasileira das Editoras Universitárias)

DIRECCIÓN

Av. Tancredo Neves, 2501

CEP: 66077-530 - Terra Firme

e-mail: editora@ufra.edu.br

PRESENTACIÓN

Las prácticas mágico-religiosas que se realizaban en la antigüedad para predecir el futuro, basadas en el examen de las entrañas de animales sacrificados, probablemente ayudaron a promover un desarrollo incipiente del conocimiento anatómico, apredizaje que debió de profundizarse con el proceso de domesticación de las especies animales (entre 9.000 y 8.000 a.C.).

Varios milenios después, Aristóteles (384-322 a.C.), el padre de la Zoología, realiza observaciones anatómicas que sirvieron para mejorar significativamente el conocimiento sistemático del reino animal. Pero fue cuando la capital cultural se instala en Alejandría, tras la muerte de Alejandro Magno, que la Anatomía nace como una auténtica Ciencia gracias a los estudios de Herófilo (335-280 a.C.) y Erasístrato (304-250 a.C.), quienes establecen las bases de la Anatomía Comparada.

La Anatomía podría ser entendida como la comprensión de la forma y de la estructura del cuerpo desde el por qué y el cómo. Tradicionalmente, la Anatomía se ha centrado en el estudio del cuerpo humano y, en el caso de la Veterinaria, de los animales que son de interés para la sociedad, ya sea por su valor económico (animales de abasto), emocional (animales de compañía) o como modelo para entender al humano. No obstante, cuando Charles Darwin (1809-1882) y Alfred Russel Wallace (1823-1913) desarrollan la teoría evolucionista como un proceso continuo de transformación de las especies, la Anatomía se convierte en una ciencia que debía dar respuesta a la causa y la finalidad del proceso evolutivo. Así, la Anatomía Comparada busca entender las similitudes y diferencias entre especies, buscar las reglas de la adaptación y explicar la evolución de las estructuras.

Hoy en día la Anatomía se enfrenta al reto de incluir en su ámbito de trabajo una mayor variedad de animales, debido a que paulatinamente nuevas especies se incorporan al grupo de animales que son de interés para la sociedad. De esta forma, este Atlas busca aportar información básica al conocimiento anatómico sistemático de diversas especies de mamíferos silvestres de la Amazonía, muchas de ellas poco divulgadas. Aprovechando el soporte digital en forma de e-Book, el Atlas pone a disposición del estudiante y del profesional, tanto veterinario como biólogo, un recurso didáctico de consulta rico en imágenes, de fácil acceso y de bajo coste económico, que pretendemos que contribuya en el proceso de enseñanza y aprendizaje de la Anatomía.

Pedro Mayor Aparicio
Profesor Titular Facultat de Veterinària
Departament de Sanitat i Anatomia Animals
Universitat Autònoma de Barcelona, España

AGRADECIMIENTOS

Queremos mostrar nuestro sincero agradecimiento a todas las personas de la comunidad de Nueva Esperanza del río Yavarí-Mirín, que participaron voluntariamente en la colecta del material biológico, lo que demuestra que la participación comunal es un paso importante en el desarrollo del manejo de la fauna silvestre. También extendemos nuestro agradecimiento a Richard Bodmer y Daniel Montes por la amable asistencia durante el trabajo de campo. Estamos especialmente agradecidos por el apoyo institucional y las autorizaciones de colecta provistas por la Dirección General de Flora y Fauna Silvestre (DGFFS) de Perú.

Los autores y traductores agradecen al Conselho Nacional de Desenvolvimento Científico e Tecnológico (CNPq) por su apoyo financiero concedido por medio de las Chamadas Públicas CNPq (procesos 452908/2016-7; 305821/2017-2). También agradecemos a la Editora de la Universidade Federal Rural da Amazônia (EDUFRA) y su equipo editorial por creer en el potencial didáctico de esta obra. También agradecemos a Luma Barbalho Pontos, secretaria ejecutiva de la Asesoría de Cooperación Interinstitucional e Internacional de la UFRA.

Este libro fue financiado en parte por la Gordon and Betty Moore Foundation, a través del Proyecto GBMF9258 a Fundación Natura



ÍNDICE

VOLUMEN I - MAMÍFEROS

INTRODUCCIÓN 1

ÁREA DE ESTUDIO 3

METODOLOGÍA 5

CAPÍTULO 1 - TAXONOMÍA DE LAS ESPECIES 7

1.1 Orden Rodentia 7

1.2 Órdenes Cingulata y Pilosa 7

1.3 Orden Artiodactyla 7

1.4 Orden Perissodactyla 7

1.5 Orden Carnivora 7

1.6 Orden Primates 7

CAPÍTULO 2 - APARATO DIGESTIVO 7

2.1 Orden Rodentia 20

2.2 Órdenes Cingulata y Pilosa 20

2.3 Orden Artiodactyla 20

2.4 Orden Perissodactyla 20

2.5 Orden Carnivora 20

2.6 Orden Primates 20

VOLUMEN II - MAMÍFEROS

CAPÍTULO 3 - APARATO RESPIRATORIO 7

3.1 Orden Rodentia 20

3.2 Órdenes Cingulata y Pilosa 20

3.3 Orden Artiodactyla 20

3.4 Orden Perissodactyla 20

3.5 Orden Carnivora 20

3.6 Orden Primates 20

CAPÍTULO 4 - CORAZÓN, GRANDES VASOS Y BAZO 7

4.1 Orden Rodentia 20

4.2 Órdenes Cingulata y Pilosa 20

4.3 Orden Artiodactyla 20

4.4 Orden Perissodactyla 20

4.5 Orden Carnivora 20
4.6 Orden Primates 20

VOLUMEN III - MAMÍFEROS

CAPÍTULO 5 - ÓRGANOS URINARIOS 7

5.1 Orden Rodentia 20

5.1.1 Agutí (*Dasyprocta fuliginosa*) 20

5.1.2 Paca (*Cuniculus paca*) 20

5.1.3 Pacarana (*Dinomys branickii*) 20

5.2 Órdenes Cingulata y Pilosa 20

5.2.1 Armadillo de nueve bandas (*Dasypus novemcinctus*) 20

5.2.2 Oso hormiguero (*Myrmecophaga tridactyla*) 20

5.2.3 Oso perezoso de tres dedos (*Bradypus variegatus*) 20

5.2.4 Oso perezoso de dos dedos (*Choloepus hoffmanni*) 20

5.3 Orden Artiodactyla 20

5.3.1 Pécari de collar (*Pecari tajacu*) 20

5.3.2 Pécari labiado (*Tayassu pecari*) 20

5.3.3 Venado gris (*Mazama nemorivaga*) 20

5.3.4 Venado rojo (*Mazama americana*) 20

5.4 Orden Perissodactyla 20

5.4.1 Tapir (*Tapirus terrestris*) 20

5.5 Orden Carnivora 20

5.5.1 Ocelote (*Leopardus pardalis*) 20

5.5.2 Jaguar (*Panthera onca*) 20

5.5.3 Coatí de cola anillada (*Nasua nasua*) 20

5.5.4 Kinkajou (*Potos flavus*) 20

5.5.5 Nutria gigante (*Pteronura brasiliensis*) 20

5.6 Orden Primates 20

5.6.1 Machín blanco (*Cebus albifrons*) 20

5.6.2 Machín negro (*Sapajus macrocephalus*) 20

5.6.3 Mono barrigudo (*Lagothrix poeppigii*) 20

5.6.4 Mono aullador (*Alouatta seniculus*) 20

5.6.5 Mono araña (*Ateles chamek*) 20

5.6.6 Mono fraile (*Saimiri macrodon*) 20

5.6.7 Uácari rojo (*Cacajao calvus*) 20

5.6.8 Huapo negro (*Pithecia monachus*) 20

5.6.9 Mono nocturno (*Aotus nancymae*) 20

5.6.10 Tití pigmeo (*Cebuella pygmaea*) 20

5.6.11 Mico bebeleche (<i>Leontocebus fuscicollis</i>)	20
CAPÍTULO 6 - ÓRGANOS GENITALES FEMENINOS	7
6.1 Orden Rodentia	20
6.1.1 Agutí (<i>Dasyprocta fuliginosa</i>)	20
6.1.2 Paca (<i>Cuniculus paca</i>)	20
6.1.3 Capibara (<i>Hydrochoerus hydrochaeris</i>)	20
6.2 Órdenes Cingulata y Pilosa	20
6.2.1 Armadillo de nueve bandas (<i>Dasypus novemcinctus</i>)	20
6.2.2 Armadillo gigante (<i>Priodontes maximus</i>)	20
6.2.3 Oso hormiguero (<i>Myrmecophaga tridactyla</i>)	20
6.2.4 Oso perezoso de tres dedos (<i>Bradypus variegatus</i>)	20
6.2.5 Oso perezoso de dos dedos (<i>Choloepus hoffmanni</i>)	20
6.3 Orden Artiodactyla	20
6.3.1 Pécari de collar (<i>Pecari tajacu</i>)	20
6.3.2 Pécari labiado (<i>Tayassu pecari</i>)	20
6.3.3 Venado gris (<i>Mazama nemorivaga</i>)	20
6.3.4 Venado rojo (<i>Mazama americana</i>)	20
6.4 Orden Perissodactyla.....	20
6.4.1 Tapir (<i>Tapirus terrestris</i>)	20
6.5 Orden Carnivora.....	20
6.5.1 Ocelote (<i>Leopardus pardalis</i>)	20
6.5.2 Jaguar (<i>Panthera onca</i>)	20
6.5.3 Coatí de cola anillada (<i>Nasua nasua</i>)	20
6.5.4 Kinkajou (<i>Potos flavus</i>)	20
6.5.5 Tayra (<i>Eira barbara</i>)	20
6.5.6 Puma (<i>Puma concolor</i>)	20
6.6 Orden Primates.....	20
6.6.1 Machín blanco (<i>Cebus albifrons</i>)	20
6.6.2 Machín negro (<i>Sapajus macrocephalus</i>)	20
6.6.3 Mono barrigudo (<i>Lagothrix poeppigii</i>)	20
6.6.4 Mono aullador (<i>Alouatta seniculus</i>)	20
6.6.5 Mono araña (<i>Ateles chamek</i>)	20
6.6.6 Mono fraile (<i>Saimiri macrodon</i>)	20
6.6.7 Uácari rojo (<i>Cacajao calvus</i>)	20
6.6.8 Huapo negro (<i>Pithecia monachus</i>)	20
6.6.9 Mono nocturno (<i>Aotus nancymae</i>)	20
6.6.10 Tití cobrizo (<i>Callicebus cupreus</i>)	20
6.6.11 Mico bebeleche (<i>Leontocebus fuscicollis</i>)	20

CAPÍTULO 7 - ÓRGANOS GENITALES MASCULINOS	7
7.1 Orden Rodentia	20
7.1.1 Agutí (<i>Dasyprocta fuliginosa</i>)	20
7.1.2 Paca (<i>Cuniculus paca</i>)	20
7.1.3 Pacarana (<i>Dinomys branickii</i>)	20
7.2 Órdenes Cingulata y Pilosa	20
7.2.1 Armadillo de nueve bandas (<i>Dasypus novemcinctus</i>)	20
7.2.2 Oso hormiguero (<i>Myrmecophaga tridactyla</i>)	20
7.2.3 Tamandúa (<i>Tamandua tetradactyla</i>)	20
7.3 Orden Artiodactyla	20
7.3.1 Pécari de collar (<i>Pecari tajacu</i>)	20
7.3.2 Venado gris (<i>Mazama nemorivaga</i>)	20
7.3.3 Venado rojo (<i>Mazama americana</i>)	20
7.4 Orden Perissodactyla.....	20
7.4.1 Tapir (<i>Tapirus terrestris</i>)	20
7.5 Orden Carnivora	20
7.5.1 Ocelote (<i>Leopardus pardalis</i>)	20
7.5.2 Jaguar (<i>Panthera onca</i>)	20
7.5.3 Coatí de cola anillada (<i>Nasua nasua</i>)	20
7.5.4 Nutria gigante (<i>Pteronura brasiliensis</i>)	20
7.6 Orden Primates.....	20
7.6.1 Machín negro (<i>Sapajus macrocephalus</i>)	20
7.6.2 Mono barrigudo (<i>Lagothrix poeppigii</i>)	20
7.6.3 Mono aullador (<i>Alouatta seniculus</i>)	20
7.6.4 Mono araña (<i>Ateles chamek</i>)	20
7.6.5 Uácari rojo (<i>Cacajao calvus</i>)	20
7.6.6 Tití pigmeo (<i>Cebuella pygmaea</i>)	20

VOLUMEN IV - SAUROPSIDA

CAPÍTULO 8 - TAXONOMÍA DE LAS ESPECIES	7
CAPÍTULO 9 - APARATO DIGESTIVO	7
CAPÍTULO 10 - APARATO RESPIRATORIO	7
CAPÍTULO 11 - CORAZÓN, GRANDES VASOS Y BAZO	7
CAPÍTULO 12 - ÓRGANOS URINARIOS	7

CAPÍTULO 13 - ÓRGANOS REPRODUCTORES FEMENINOS7

CAPÍTULO 14 - ÓRGANOS REPRODUTORES MASCULINOS.....7

INTRODUCCIÓN

El Atlas de Anatomía de Especies Silvestres de la Amazonía es una obra desarrollada por la Unidad de Anatomía Animal de la Facultad de Veterinaria de la Universitat Autònoma de Barcelona (UAB). El trabajo de campo se ha realizado en diversos lugares de la Amazonía peruana. La primera versión del Atlas se publicó en lengua castellana en forma de página web en el año 2011. Gracias a la colaboración entre profesores de Anatomía Veterinaria de la UAB y del Área de Morfofisiología del Programa de Posgrado en Salud y Producción Animal en la Amazonía de la Universidad Federal Rural de la Amazonía (PPGSPAA/UFRA) en Belém do Pará, Brasil, se ha desarrollado también una versión de la obra en lengua portuguesa. Ahora, como resultado de la cooperación entre la UAB y la UFRA, presentamos el Atlas en formato de libro electrónico, que facilita la divulgación del mismo. La idea de elaborar este material educativo ha surgido de la necesidad de desarrollar métodos de enseñanza alternativos en soporte digital.

El Atlas de Anatomía de Especies Silvestres de la Amazonía es una obra dividida en 4 volúmenes debido a la gran extensión de material gráfico que se aporta. El tercer volumen, que presentamos aquí, incluye la descripción breve y aproximadamente 550 imágenes de los órganos urinarios, y genitales, tanto femeninos como masculinos, de diferentes especies de mamíferos que habitan en la Amazonía. Los órganos utilizados en la elaboración del Atlas proceden de la colección creada, con fines de conservación a lo largo de los años, por la Facultad de Veterinaria de la UAB y FundAmazonia. Pretendemos que este material educativo facilite el proceso de enseñanza/aprendizaje, la investigación y el desarrollo sostenible. El Atlas pretende llenar el vacío existente en el campo de la anatomía de especies silvestres. Dentro de los objetivos específicos que se pretende alcanzar, destacamos los siguientes:

- Conocer las principales características y detalles anatómicos de los órganos que forman los aparatos y sistemas del organismo de diferentes especies amazónicas;
- Comparar la anatomía de las distintas especies y/o grupos; esta temática puede asociarse a otras áreas del conocimiento, como ecología y evolución.

El Atlas pretende facilitar el estudio anatómico para conocer sus semejanzas y diferencias, establecer clasificación, entender mecanismos de adaptación, asociar las características anatómicas y/o explicar la evolución de las estructuras.

ÁREA DE ESTUDIO

El área de estudio se encuentra en la cuenca del río Yavarí (río Yavarí-Mirín). La fauna de la región se caracteriza por su enorme diversidad. En esta región se registró un total de 500 especies de peces, 115 de anfibios, 110 de reptiles, 550 de aves y 150 de mamíferos. La diversidad de mamíferos podría ser considerada una de las mayores del planeta. Se destaca la presencia de 14 especies de primates y poblaciones abundantes de 27 especies amenazadas a nivel global, como el uácaro, la nutria gigante y el armadillo gigante.

Numerosos asentamientos establecidos en la región durante las últimas cuatro décadas fueron abandonados a causa de la presencia de malaria y al acceso difícil a los mercados de Leticia e Iquitos. La comunidad de Nueva Esperanza, comunidad indígena Yagua con 329 habitantes (año 2017), situada en el río Yavarí Mirín ($19^{\circ}17'14,81''$ E; $95^{\circ}21'0,36''$ N), es el asentamiento más poblado de la zona. La población del Yavarí Mirín basa su economía en la agricultura y caza de subsistencia, la pesca y la venta de carne de monte y pieles (principalmente de pécari de collar y paca). El aumento de las poblaciones humanas, el crecimiento de las actividades extractivas, los proyectos agrícolas inadecuados al ecosistema y la invasión cultural son las principales amenazas a la biodiversidad de la región amazónica (incluida la diversidad cultural).

La comunidad en todo momento mostró su voluntad de participar con nuestro grupo de trabajo en acciones de conservación y manejo de recursos naturales que ayuden a mejorar la calidad de vida en el futuro.

METODOLOGÍA

Este atlas complementa el trabajo que desde hace años estamos llevando a cabo en la región. La metodología de colecta de muestras se fundamentó en la caza de subsistencia que realizan de forma habitual las comunidades locales.

La caza de subsistencia es una actividad habitual en las regiones neotropicales, es uno de los elementos de conservación en los países en desarrollo y posee reconocidos valores culturales. Subsistencia es un término que incluye alimentación y economía familiar que faciliten alcanzar las necesidades básicas para la vida. Desde hace años, los cazadores están siendo capacitados en el uso de técnicas sobre cómo optimizar la captación de información de los animales abatidos utilizando técnicas sencillas que les permitan analizar, evaluar y regular el uso sostenible de los recursos naturales dentro de su propia área. Estas acciones se realizaron integradas dentro de un programa participativo de manejo de vida salvaje. El manejo comunal participativo es una herramienta que tiene como finalidad establecer usos más sostenibles de recursos naturales coherentes con el contexto económico y socio-cultural de las comunidades locales.

Los cazadores también fueron capacitados para garantizar una buena colecta y conservación de las muestras. Las vísceras de cada animal abatido fueron conservadas en solución de formaldehído al 4% hasta su posterior procesamiento. El análisis anatómico fue realizado en las instalaciones del Instituto Veterinario de Investigación de Trópico y de Altura (IVITA). La terminología anatómica utilizada en el atlas anatómico sigue la Nómmina Anatómica Veterinaria (2017).

Es importante aclarar que en ningún caso se incentivó a los cazadores para realizar la recolección del material biológico. El trabajo se organizó de tal forma que fuera oportunista, es decir, aprovechando los animales que el cazador abatía para alimentarse. Por otro lado, queremos recalcar que se han continuado con las acciones de sensibilización sobre el manejo de fauna silvestre siempre teniendo en cuenta el contexto socio-cultural y económico de la región. El protocolo de estudio fue aprobado por la Dirección General de Flora y Fauna Silvestre del Perú (Licencia 0350-2013-DGFFS-DGE-FFS).

La existencia de pocas o ninguna referencia anatómica previa (en función de cada especie analizada) han complicado especialmente la interpretación anatómica de los diferentes aparatos y sistemas. El análisis anatómico realizado se fundamenta principalmente en la anatomía comparada con especies domésticas y algunas especies silvestres reportadas. Con ello queremos aclarar que es posible que algunos términos y estructuras anatómicas tengan que ser consideradas como no concluyentes.

CAPÍTULO 5

ÓRGANOS URINARIOS

ÓRGANOS URINARIOS

El aparato urinario tiene como función producir, almacenar y transportar orina, que es la sustancia a través de la cual se eliminan del organismo los desechos nitrogenados del metabolismo (urea, creatinina, ácido úrico) y otras sustancias tóxicas. El aparato urinario está constituido de los riñones, donde se produce la orina, y las vías urinarias, que transportan la orina desde los riñones hacia al exterior. Las vías urinarias comprenden los uréteres, la vejiga urinaria y la uretra.

Riñones

Los riñones son órganos retroperitoneales que se disponen dorsalmente en la cavidad abdominal y a ambos lados de la columna vertebral. El riñón derecho, que es más craneal que el izquierdo, contacta con el lóbulo lateral derecho y el proceso caudado del hígado.

En función del grado de división interna y externa del riñón se observan en las especies amazónicas estudiadas diversos patrones renales:

- Riñón unificado: la corteza no aparece dividida externamente y la médula renal tampoco está subdividida internamente.
- Riñón de transición: aunque la corteza no aparece externamente dividida, la médula renal sí está subdividida en segmentos de forma piramidal o pirámides renales.
- Riñón lobulado: la corteza aparece dividida externamente, las pirámides renales están perfectamente diferenciadas e individualizadas, y no hay pelvis renal.

En el borde medial del riñón se encuentra el hilio renal, donde se reconocen las estructuras que entran (arteria renal) y salen (vena renal y uréter) del riñón. A través del hilio se accede al seno renal, donde se dispone la pelvis renal.

Particularidades según el orden taxonómico

Rodentia

La corteza renal es de color marrón oscuro. Como en otros roedores, en el riñón de la paca, el agutí y la pacarana las pirámides renales no se diferencian y sus vértices, o papillas renales, están fusionados formando la cresta renal. Dado que la corteza no aparece dividida externamente y que no presenta pirámides renales, este riñón se clasifica como unificado.

Cingulata y Pilosa

Los riñones de los armadillos, del oso hormiguero y de los osos perezosos de dos y tres dedos tienen forma de alubia. La corteza renal es de color marrón. A pesar de su apariencia externa similar, las cuatro especies presentan una división interna diferente.

En los osos perezosos de dos y de tres dedos la médula renal parece estar subdividida de forma muy imperfecta en segmentos de forma piramidal o pirámides renales, cuyos vértices o papilas renales se fusionan formando la cresta renal. Dado que la corteza no aparece dividida externamente y que las papilas renales están fusionadas para formar la cresta renal, el riñón de estas especies se clasifica como unificado.

En el oso hormiguero y el armadillo de nueve bandas, la médula renal parece estar subdividida en segmentos de forma piramidal o pirámides renales. La base de cada pirámide renal contacta con la corteza, y el vértice constituye una papila renal en estrecha relación con el cálix renal y la pelvis renal. No habría por tanto cresta renal. **Dado que la corteza no aparece dividida externamente, el riñón del oso hormiguero y del armadillo de nueve bandas se clasifica como liso. La presencia de pirámides en la médula renal, así como de papilas y cálices renales, permiten tipificar el riñón como multipiramidal.**

Artiodactyla

En los pecaríes y venados el riñón tiene forma de alubia. La corteza renal es de color marrón oscuro. La médula renal está subdividida en segmentos de forma piramidal o pirámides renales. La base de cada pirámide renal contacta con la corteza; los vértices medulares constituyen las papilas renales, que se introducen de forma independiente en los cálices renales. Aunque no se observa con claridad, las papilas de las diferentes pirámides parecen estar parcialmente fusionadas, pero no conforman una cresta renal. Dado que la corteza no aparece dividida externamente y dada la presencia de pirámides en la médula renal, así como papilas y cálices renales, el riñón de los pecaríes y los venados se clasifica como de transición.

Perissodactyla

El riñón del tapir tiene forma de alubia. La corteza del riñón es de color marrón. La médula renal está subdividida en segmentos de forma piramidal o pirámides renales. La base de cada pirámide renal contacta con la corteza, y los vértices medulares constituyen las papilas renales que se introducen de forma independiente en los cálices renales. Los cálices mantienen una estrecha relación con la pelvis renal. Dado que la corteza no aparece dividida externamente y que presenta pirámides renales, este riñón se clasifica como de transición.

Carnivora

Los riñones de los prociónidos (coati y kinkajou) y los felinos (jaguar y ocelote) amazónicos, como en los carnívoros domésticos, son órganos de color marrón y tienen forma de alubia. Igual que en el gato, la cápsula del riñón de los felinos amazónicos (jaguar y ocelote) se caracteriza por la presencia de venas capsulares, que desde el borde lateral convergen hacia la zona del hilio renal. La médula renal de los prociónidos (coati y kinkajou) y los felinos (jaguar y ocelote), como el de los carnívoros domésticos no está subdividida de forma clara en pirámides renales. Las papilas renales están fusionadas formando la cresta renal. Dado que la corteza no aparece dividida externamente, que

la médula tampoco está dividida, y que hay cresta renal, el riñón en estas especies se clasifica como unificado.

Los riñones de la nutria gigante, sin embargo, son completamente diferentes. Tienen forma ovalada y su corteza es de color marrón claro. El aspecto superficial, marcado por la presencia de surcos y lobulaciones, recuerda a los riñones de los bóvidos. La médula renal, más oscura, está claramente dividida en segmentos de forma piramidal o pirámides renales. Las papilas renales se mantienen estrechamente relacionadas con los cálices renales, cuya unión da lugar directamente al uréter, de modo que no hay pelvis renal. Dado que la corteza aparece dividida externamente y que las pirámides renales están perfectamente diferenciadas e individualizadas, el riñón de la nutria gigante se considera un riñón lobulado.

Primates

Los riñones tienen forma de alubia y la corteza renal es de color marrón claro. En la mayor parte de los primates neotropicales, la médula está dividida en pirámides bien diferenciadas cuyas papilas o vértices se introducen en las dilataciones caliciformes. La unión de los cálices forma la pelvis renal, que se continúa con el uréter. En consecuencia, no hay cresta renal. El riñón de la mayor parte de primates neotropicales se clasifica como de transición porque, aunque la lobulación del riñón no es visible externamente, esta división sí se puede reconocer internamente al observar la presencia de las pirámides renales.

En *Saimiri macrodon*, aunque la médula renal está subdividida en segmentos de forma piramidal o pirámides renales, éstas no se diferencian con claridad.

En el caso de *Aotus* sp. y *Cebuella pygmaea* el riñón no está subdividido aparentemente en segmentos piramidales o pirámides renales. La cresta renal contacta con la pelvis renal que, a su vez, continúa con el uréter. Este riñón sin división externa y con pirámides fusionadas se clasifica como unificado.

Uréter y vejiga urinaria

Los uréteres son los conductos que transportan la orina desde la pelvis renal hasta la vejiga urinaria, donde se almacena. La vejiga urinaria se localiza en el suelo de la cavidad pélvica, desde donde se dirige hacia el abdomen; cuando la vejiga se llena se extiende ampliamente en el suelo de la cavidad abdominal.

Uretra

La uretra es el conducto de excreción de la orina hacia el exterior. La uretra femenina es corta y desemboca en el orificio uretral externo, situado ventralmente entre la vagina y el vestíbulo vaginal. La uretra masculina, que presenta una parte pélvica y otra peniana, es el conducto excretor de la orina y el semen.



AGUTÍ (*Dasyprocta fuliginosa*)

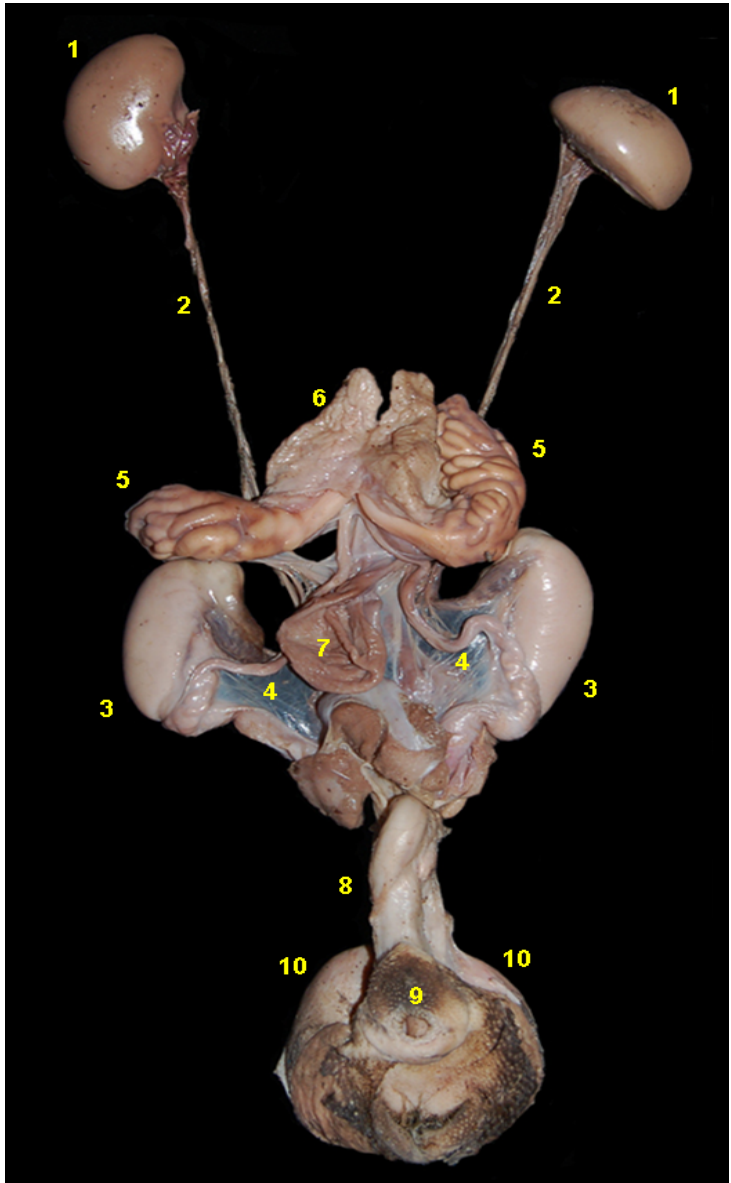


Figura 5.1 - Órganos urogenitales masculinos del agutí (*Dasyprocta fuliginosa*). 1. Riñones; 2. Uréteres; 3. Testículos; 4. Conducto deferente; 5. Glándula vesicular; 6. Próstata; 7. Vejiga urinaria; 8. Pene; 9. Prepucio; 10. Glándulas perineales.

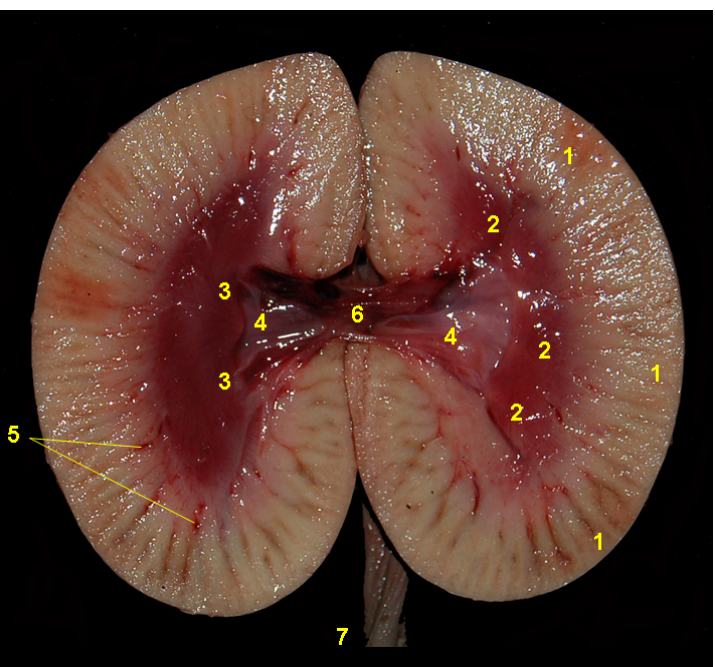


Figura 5.2 - Corte dorsal del riñón del agutí (*Dasyprocta fuliginosa*). 1. Corteza; 2. Médula; 3. Cresta renal; 4. Pelvis renal; 5. Vasos interlobulares; 6. Hilio renal; 7. Uréter.



PACA (*Cuniculus paca*)

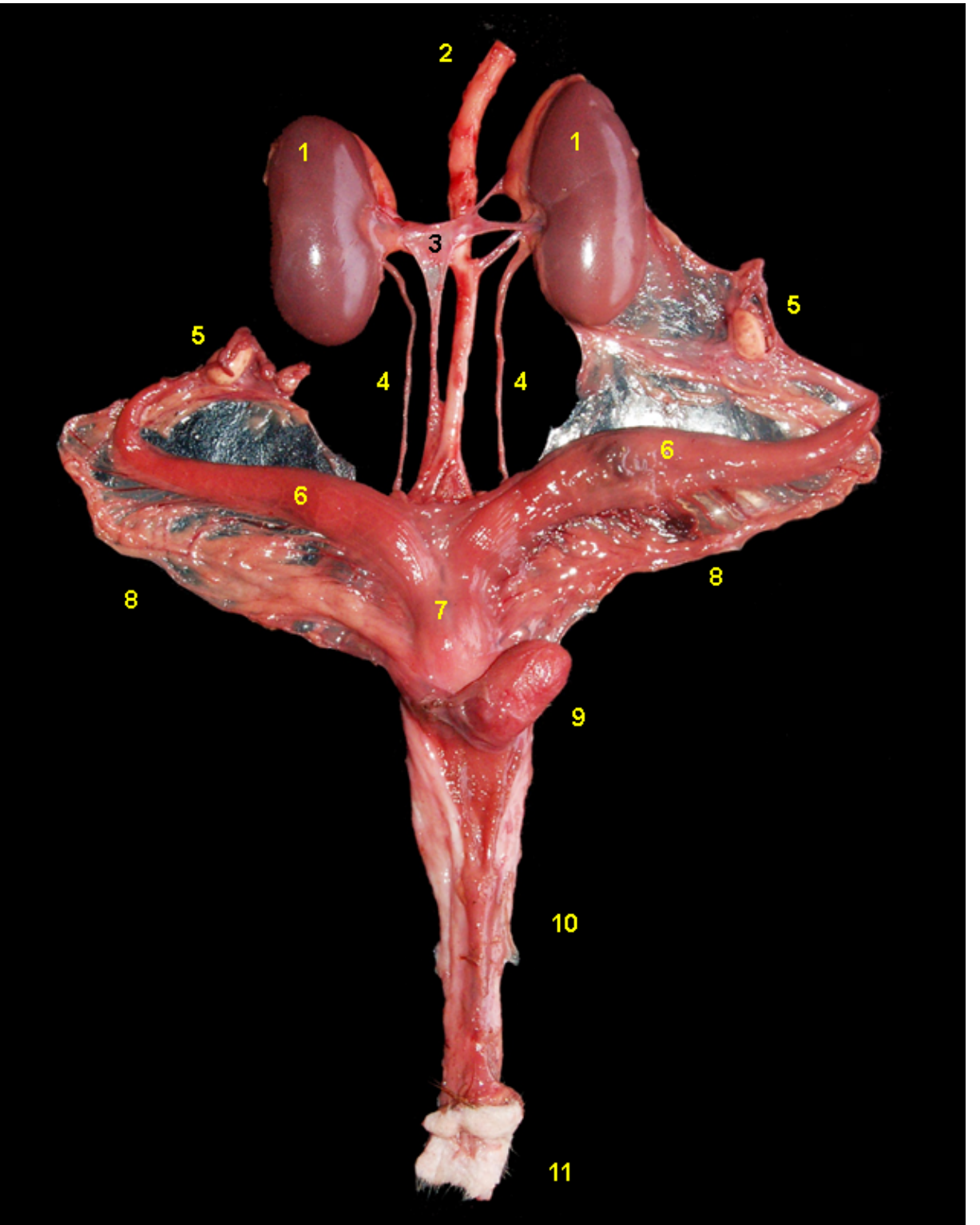


Figura 5.3 - Visión ventral de los órganos urogenitales femeninos de la paca (*Cuniculus paca*). 1. Riñones; 2. Aorta abdominal; 3. Vena cava caudal; 4. Uréteres; 5. Ovarios y trompas uterinas; 6. Cuernos uterinos; 7. Cuello uterino; 8. Ligamento ancho; 9. Vejiga urinaria; 10. Vagina; 11. Vulva.

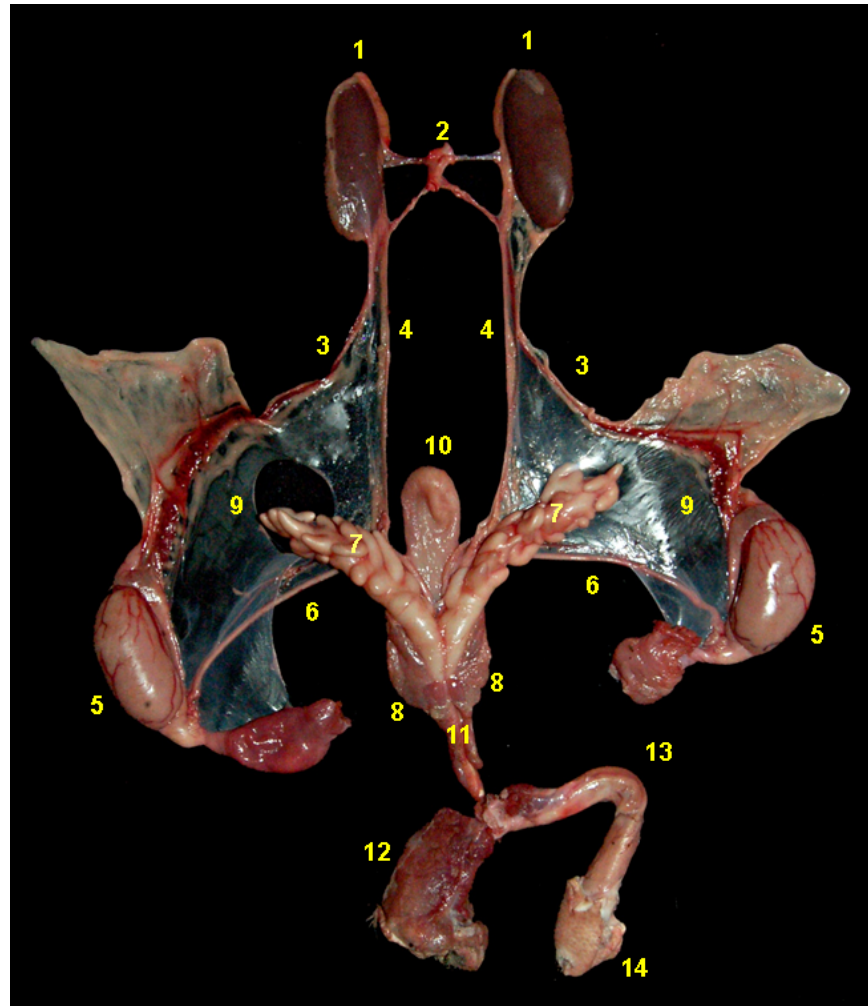


Figura 5.4 - Visión dorsal de los órganos urogenitales masculinos de la paca (*Cuniculus paca*). 1. Riñones; 2. Aorta abdominal; 3. Vasos y nervios testiculares; 4. Uréteres; 5. Testículos; 6. Conducto deferente; 7. Glándula vesicular; 8. Próstata; 9. Mesorquio proximal; 10. Vejiga urinaria; 11. Uretra; 12. Glándula bulbouretral; 13. Pene; 14. Glande.

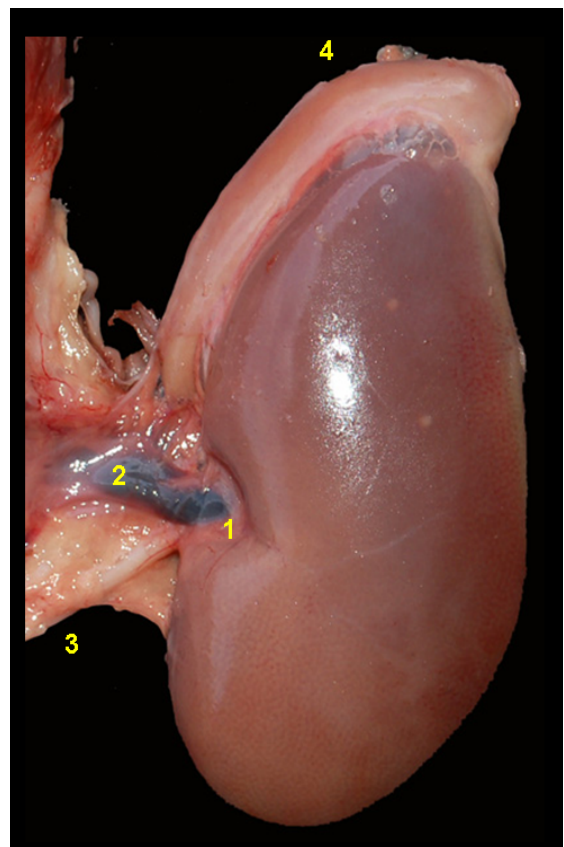


Figura 5.5 - Riñón de la paca (*Cuniculus paca*). 1. Hilario renal; 2. Vena renal; 3. Uréter; 4. Glándula adrenal.

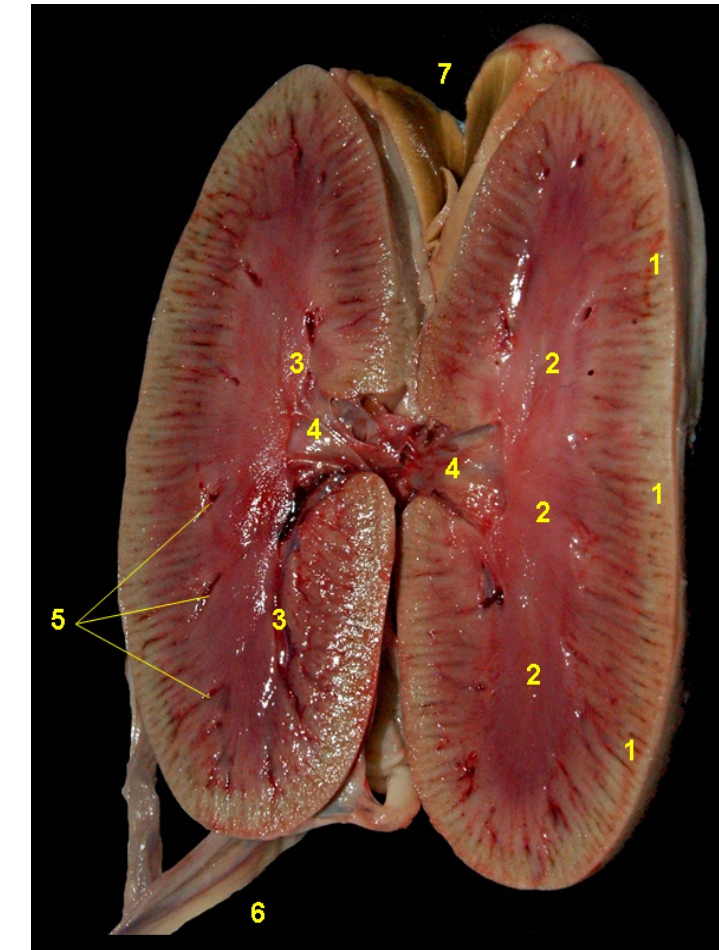


Figura 5.6 - Corte dorsal del riñón de la paca (*Cuniculus paca*). 1. Corteza; 2. Médula; 3. Cresta renal; 4. Pelvis renal; 5. Vasos interlobulares; 6. Uréter; 7. Glándula adrenal.

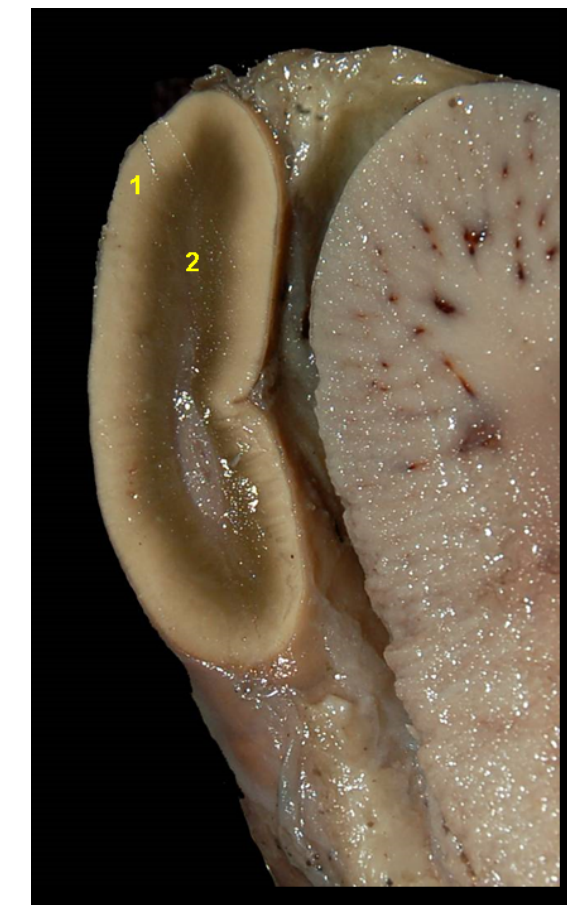


Figura 5.7 - Corte dorsal de la glándula adrenal de la paca (*Cuniculus paca*). 1. Corteza; 2. Médula.



PACARANA (*Dinomys branickii*)

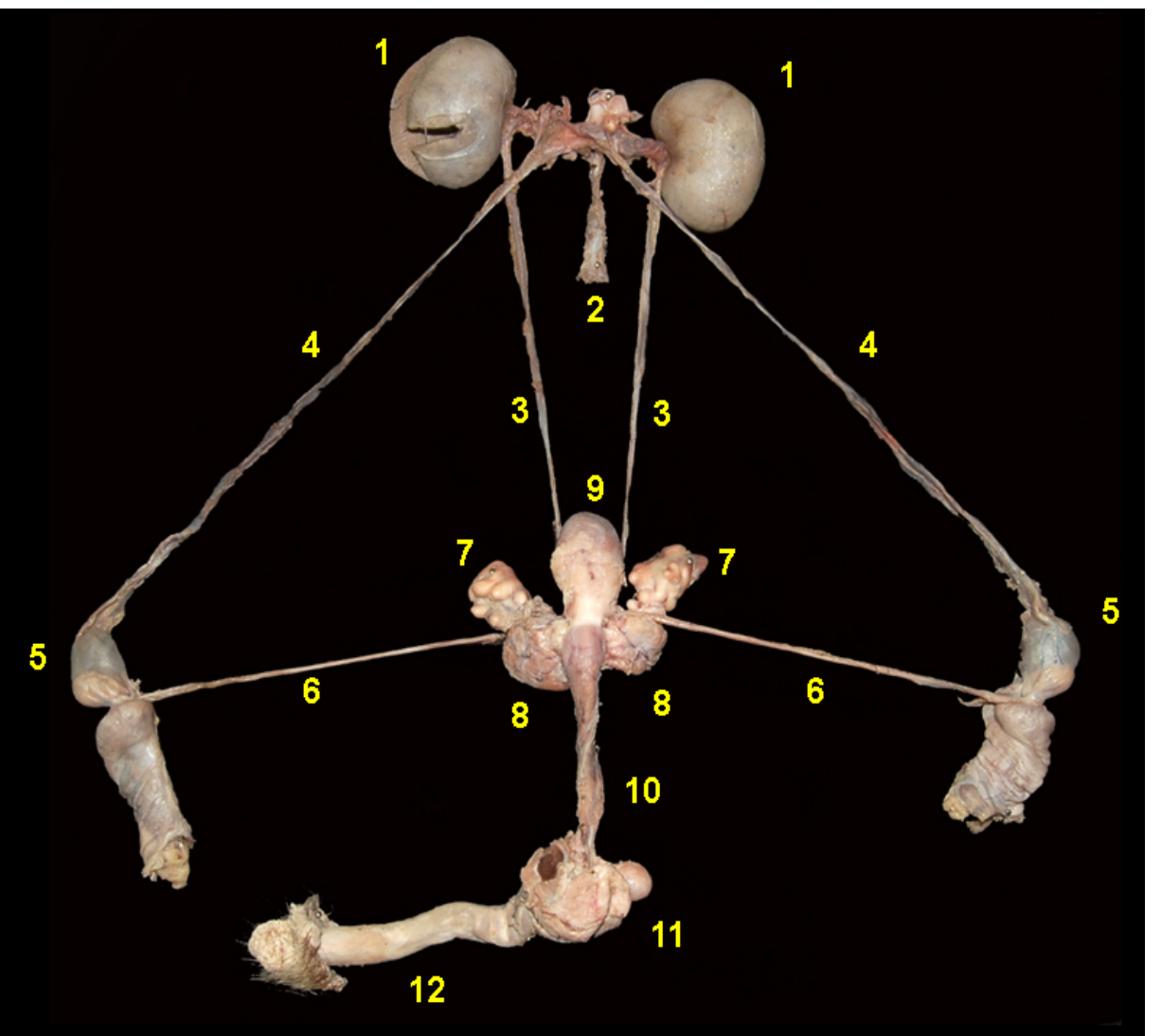


Figura 5.8 - Visión ventral de los órganos urogenitales masculinos de la pacarana (*Dinomys branickii*). 1. Riñones; 2. Aorta abdominal; 3. Uréteres; 4. Vasos y nervios testiculares; 5. Testículos; 6. Conducto deferente; 7. Glándulas vesiculares; 8. Próstata; 9. Vejiga urinaria; 10. Uretra pelviana; 11. Glándulas bulbouretrales; 12. Pene.

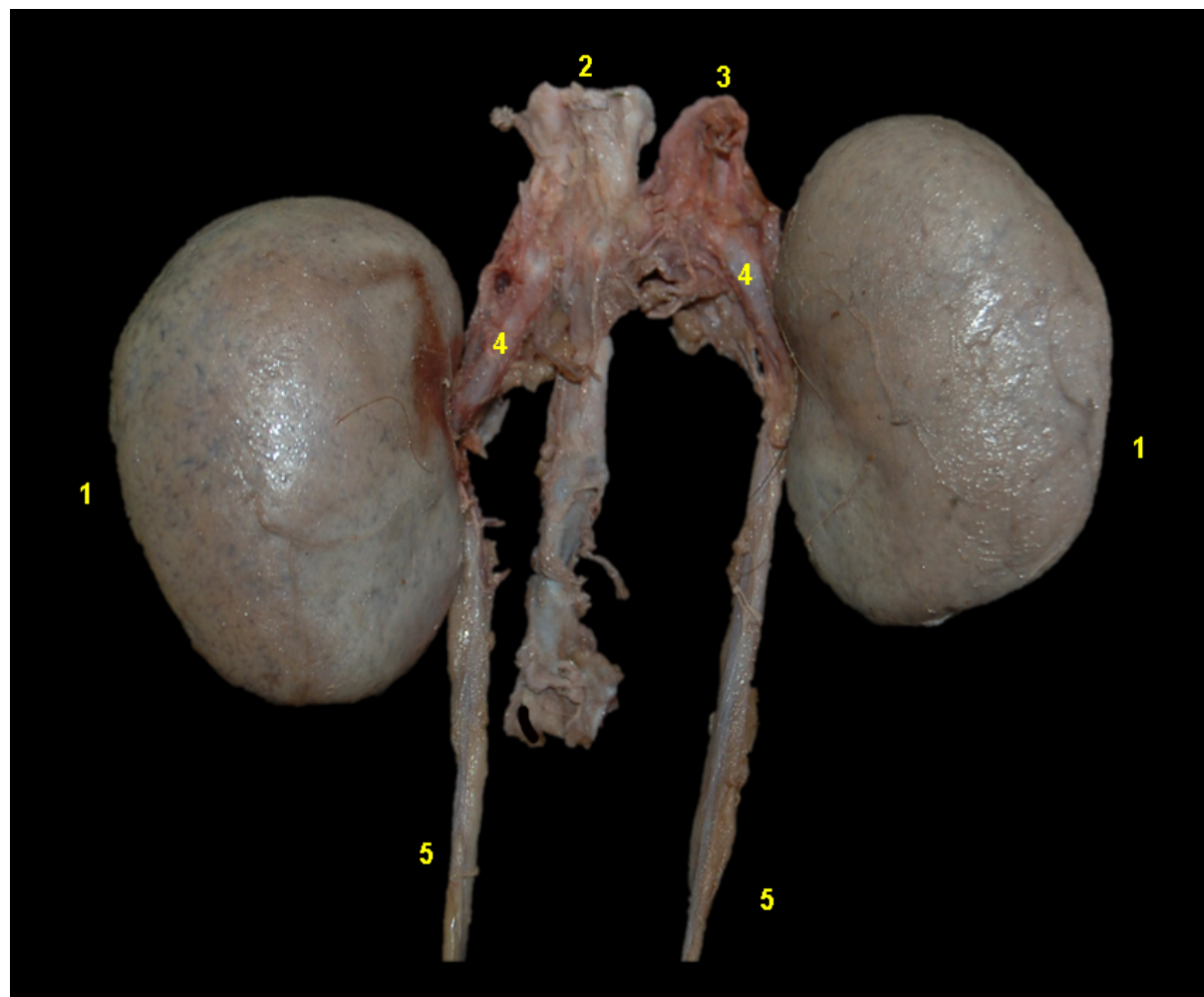


Figura 5.9 - Visión ventral de los órganos urinarios de la pacarana (*Dinomys branickii*). 1. Riñones; 2. Aorta abdominal; 3. Vena cava caudal; 4. Arterias renales; 5. Uréteres.



Figura 5.10 - Corte dorsal del riñón de la pacarana (*Dinomys branickii*). 1. Corteza; 2. Médula; 3. Cresta renal; 4. Pelvis renal; 5. Vasos interlobulares.



ARMADILLO DE NUEVE BANDAS (*Dasypus novemcinctus*)

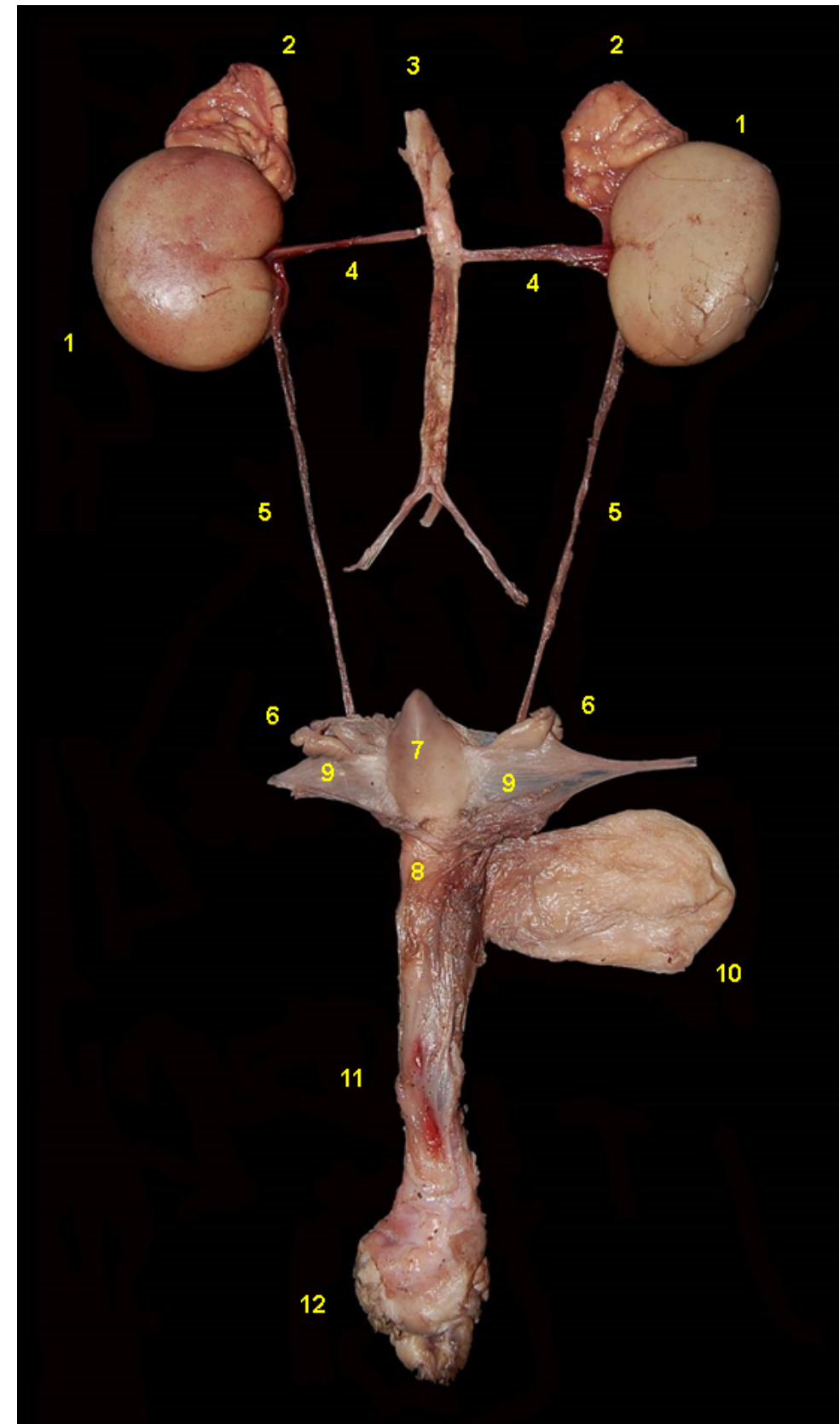


Figura 5.11 - Visión dorsal de los órganos urogenitales de una hembra no gestante de armadillo de nueve bandas (*Dasypus novemcinctus*). 1. Riñones; 2. Glándulas adrenales; 3. Aorta abdominal; 4. Arteria renal; 5. Uréteres; 6. Ovarios; 7. Cuerpo uterino; 8. Cuello uterino; 9. Ligamento ancho; 10. Vejiga urinaria; 11. Vagina; 12. Vulva.

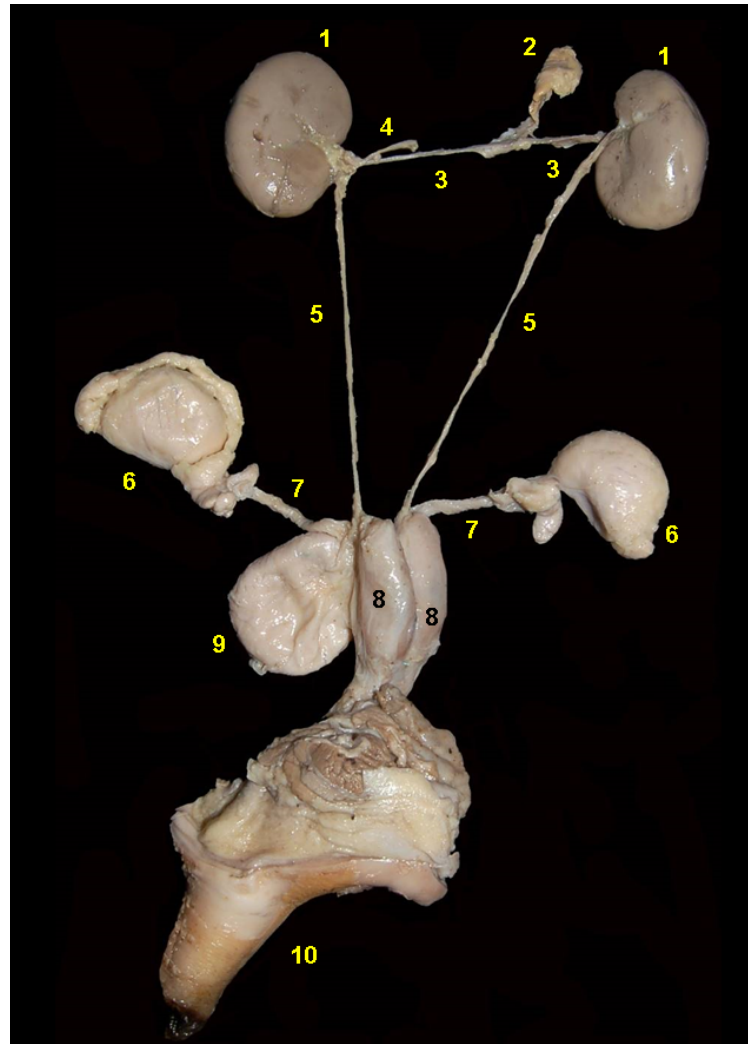


Figura 5.12 - Órganos urogenitales masculinos de armadillo de nueve bandas (*Dasypus novemcinctus*). 1. Riñones; 2. Aorta abdominal; 3. Arterias renales; 4. Vena renal; 5. Uréteres; 6. Testículos; 7. Conducto deferente; 8. Glándulas vesiculares; 9. Vejiga urinaria; 10. Pene.

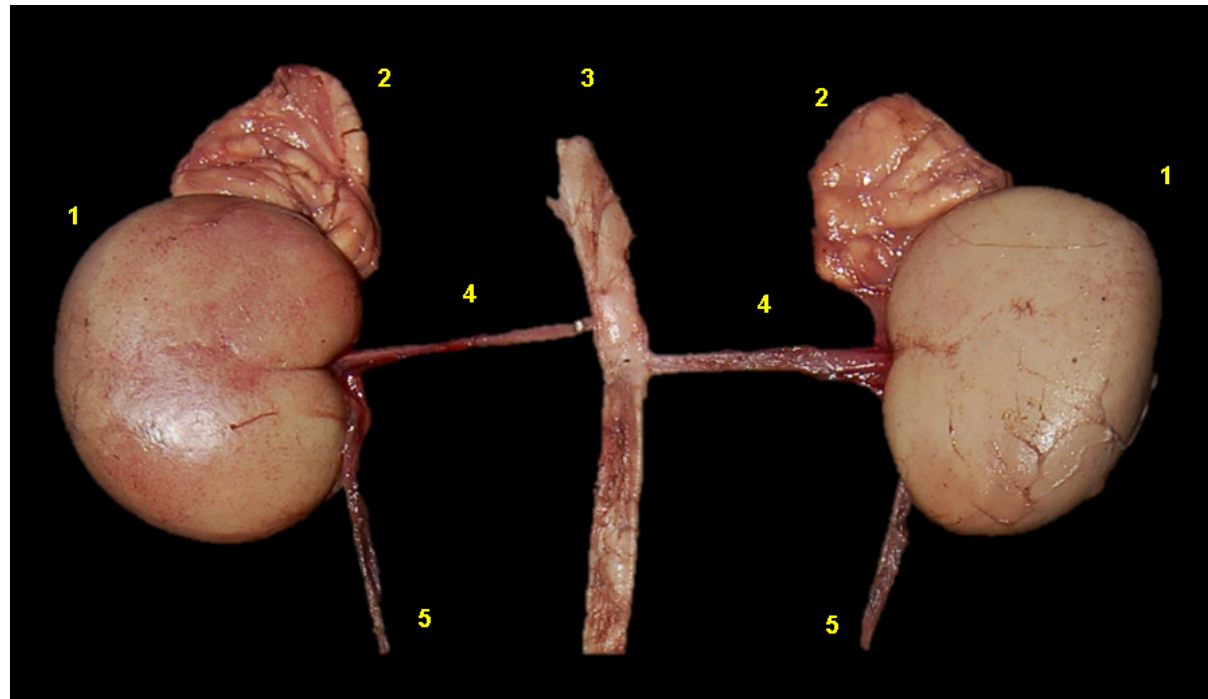


Figura 5.13 - Visión dorsal de los órganos urinarios de armadillo de nueve bandas (*Dasypus novemcinctus*). 1. Riñones; 2. Glándulas adrenales; 3. Aorta abdominal; 4. Arterias renales; 5. Uréteres.

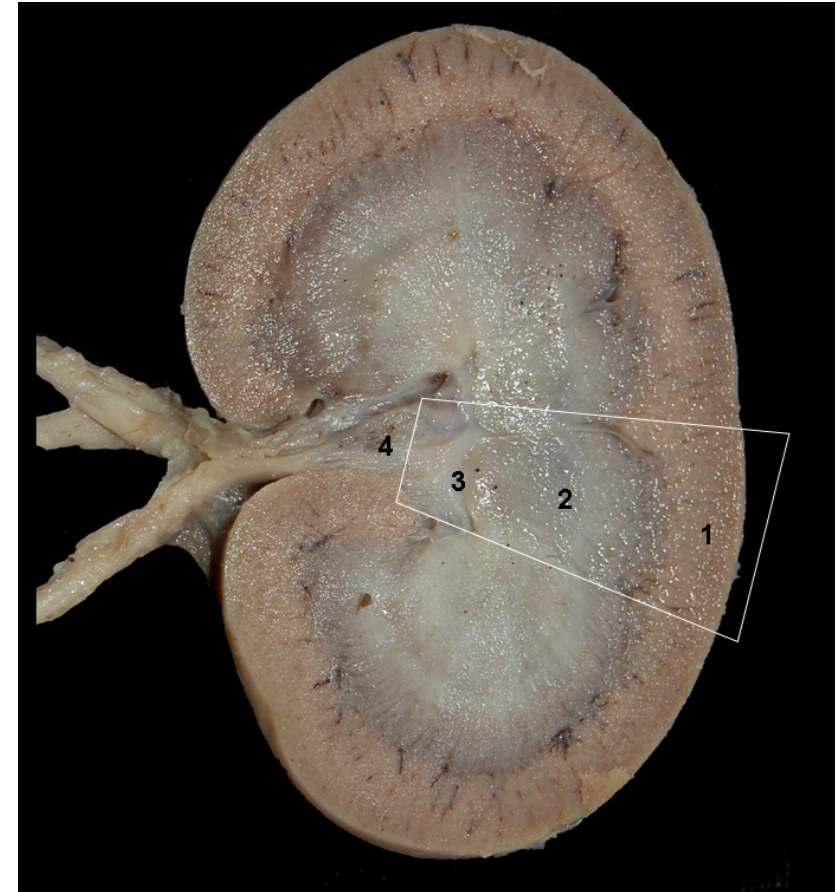


Figura 5.14 - Corte dorsal del riñón de armadillo de nueve bandas (*Dasypus novemcinctus*). Se ha indicado la posición de un lóbulo renal. 1. Corteza; 2. Pirámide renal (médula); 3. Papila renal y cáliz renal; 4. Pelvis renal.

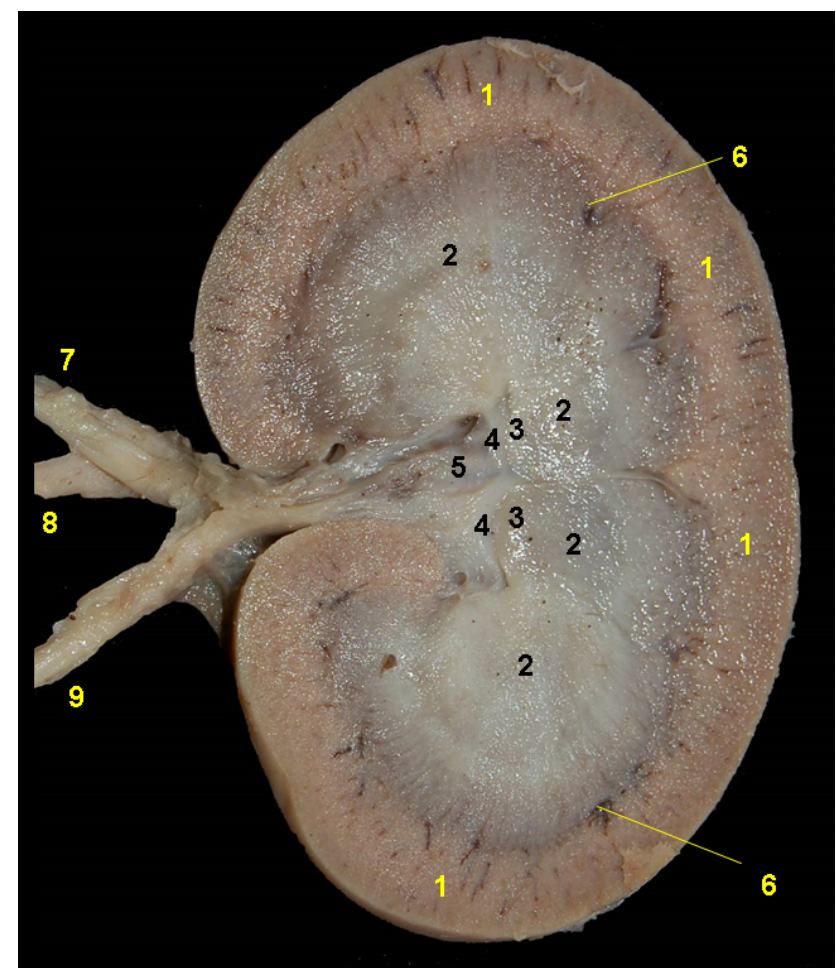


Figura 5.15 - Corte dorsal del riñón de armadillo de nueve bandas (*Dasypus novemcinctus*). 1. Corteza; 2. Médula; 3. Papila renal; 4. Cálices renales; 5. Pelvis renal; 6. Vasos interlobulares; 7. Vena renal; 8. Arteria renal; 9. Uréter.



OSO HORMIGUERO (*Myrmecophaga tridactyla*)

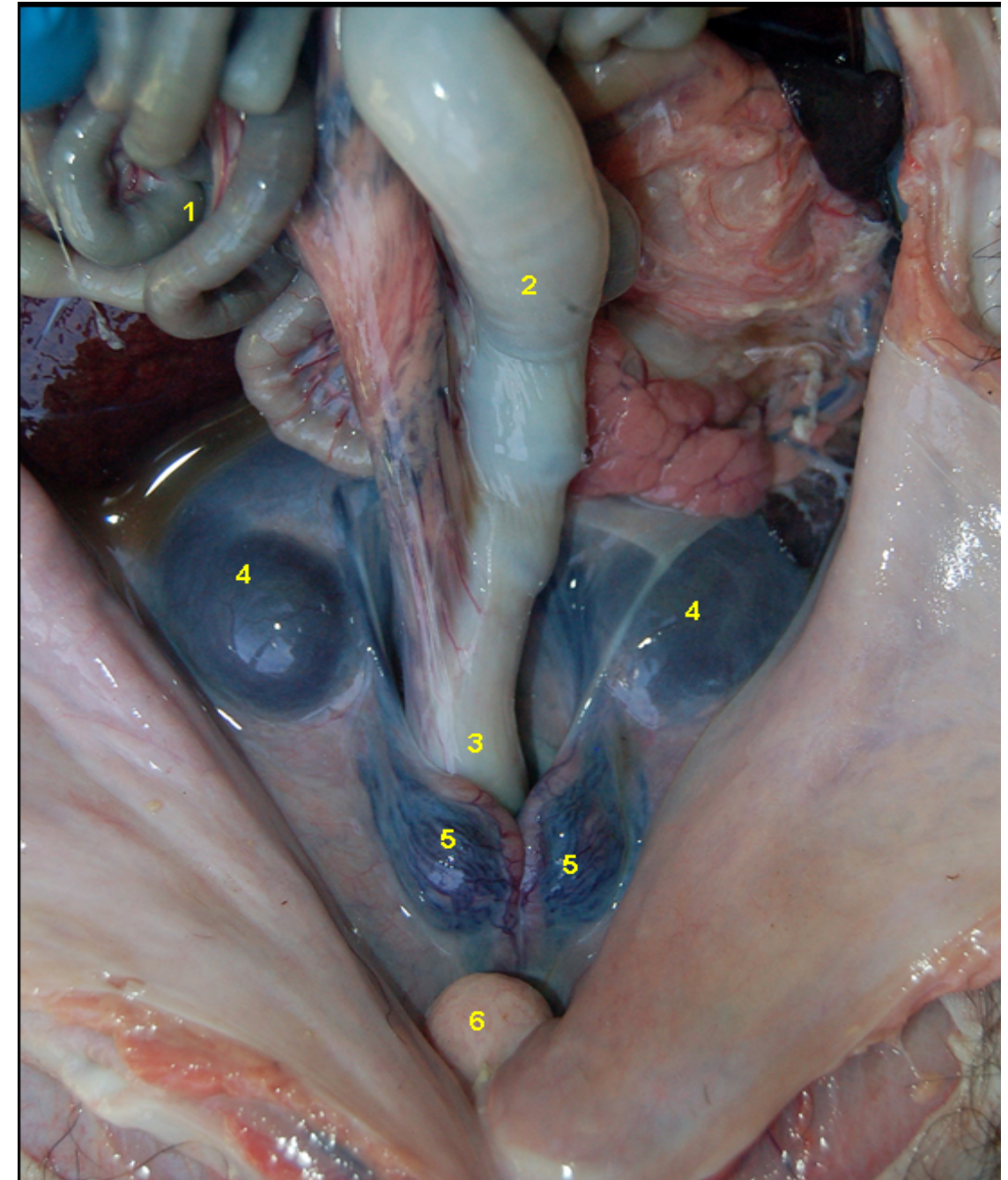


Figura 5.16 - Visión ventral *in situ* de los órganos urogenitales masculinos de oso hormiguero (*Myrmecophaga tridactyla*). 1. Asas yeyunales; 2. Colon descendente; 3. Recto; 4. Riñones; 5. Testículos; 6. Vejiga urinaria.

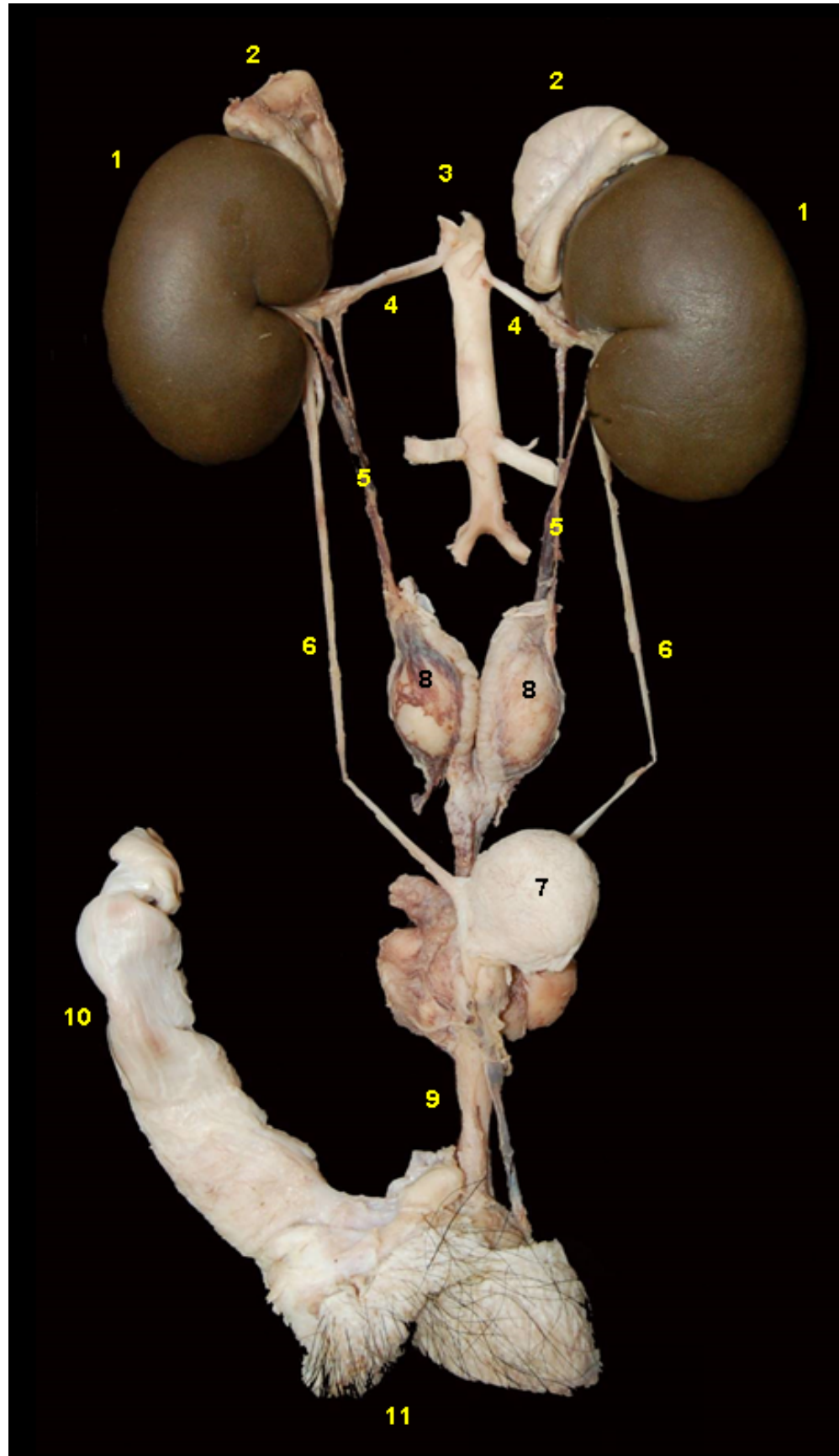


Figura 5.17 - Visión ventral de los órganos urogenitales masculinos de oso hormiguero (*Myrmecophaga tridactyla*). 1. Riñones; 2. Glándulas adrenales; 3. Aorta abdominal; 4. Arteria renal; 5. Arterias testiculares; 6. Uréteres; 7. Vejiga urinaria; 8. Testículos; 9. Uretra; 10. Recto; 11. Ano.

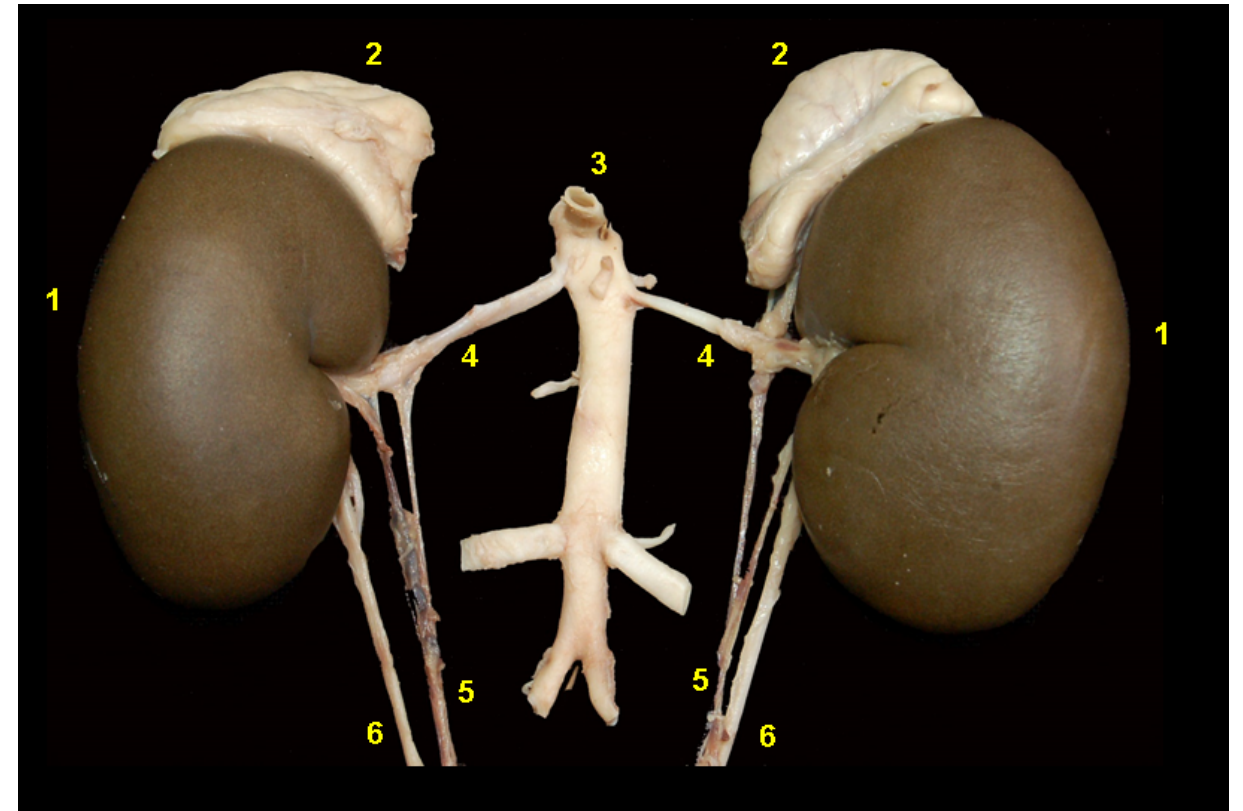


Figura 5.18 - Visión ventral de los órganos urinarios de oso hormiguero (*Myrmecophaga tridactyla*). 1. Riñones; 2. Glándulas adrenales; 3. Aorta abdominal; 4. Arterias renales; 5. Arterias testiculares; 6. Uréteres.

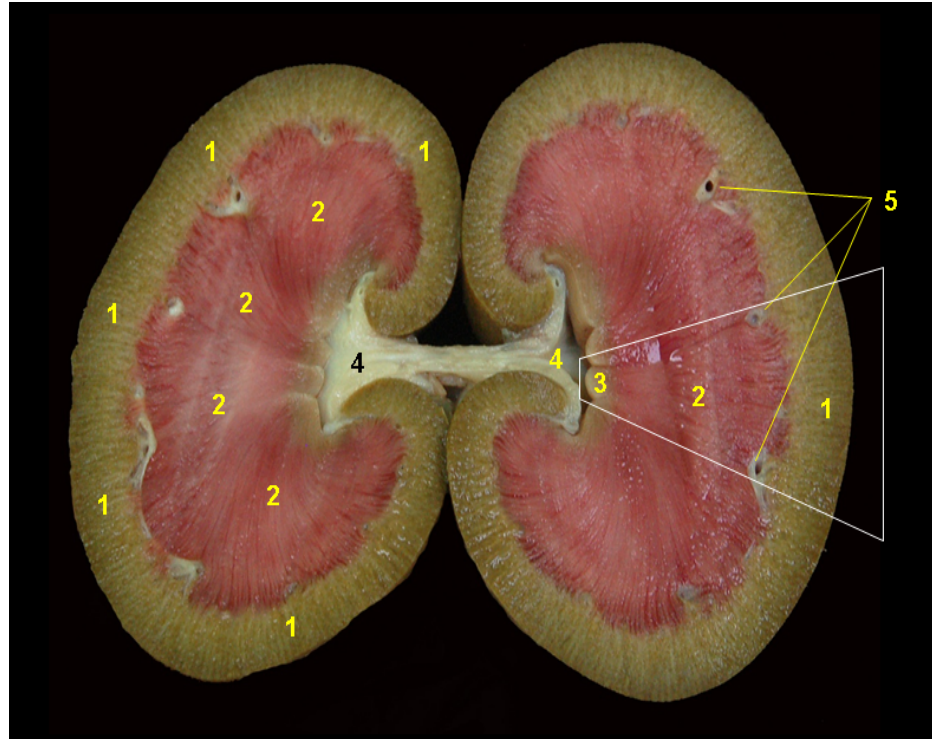


Figura 5.19 - Corte dorsal del riñón de oso hormiguero (*Myrmecophaga tridactyla*). Se ha indicado la posición de un lóbulo renal. 1. Corteza; 2. Médula; 3. Papila renal; 4. Pelvis renal; 5. Vasos interlobulares.

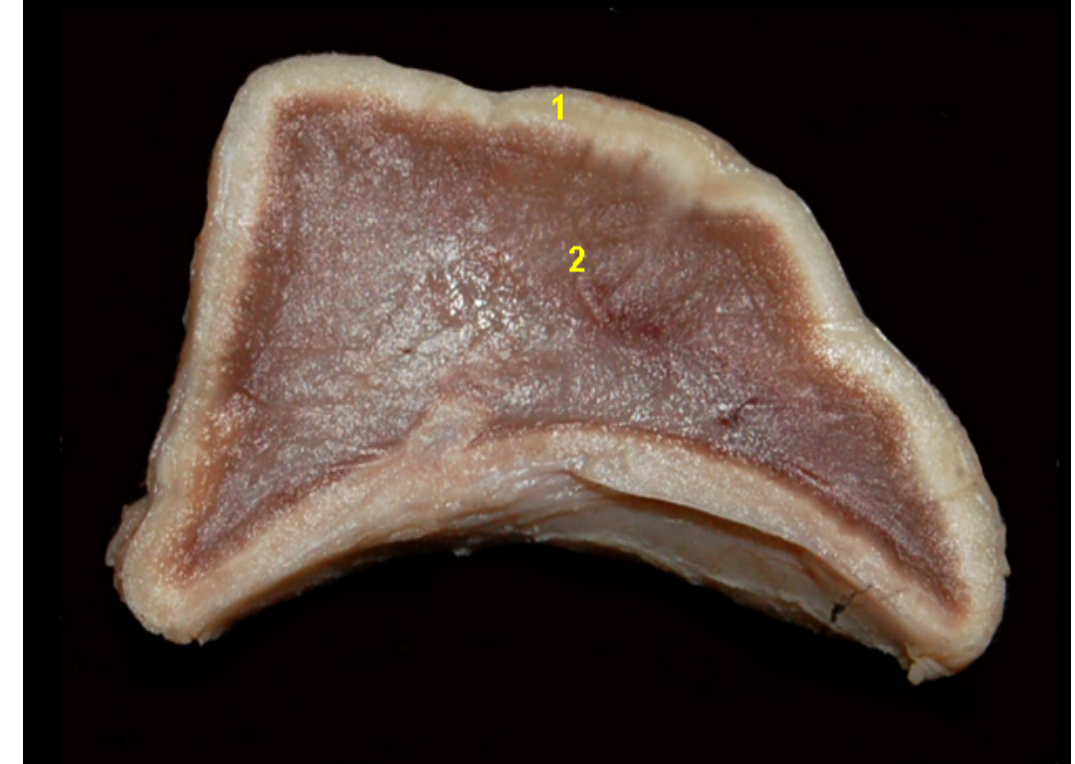


Figura 5.21 - Corte longitudinal de la glándula adrenal de oso hormiguero (*Myrmecophaga tridactyla*). 1. Corteza; 2. Médula.

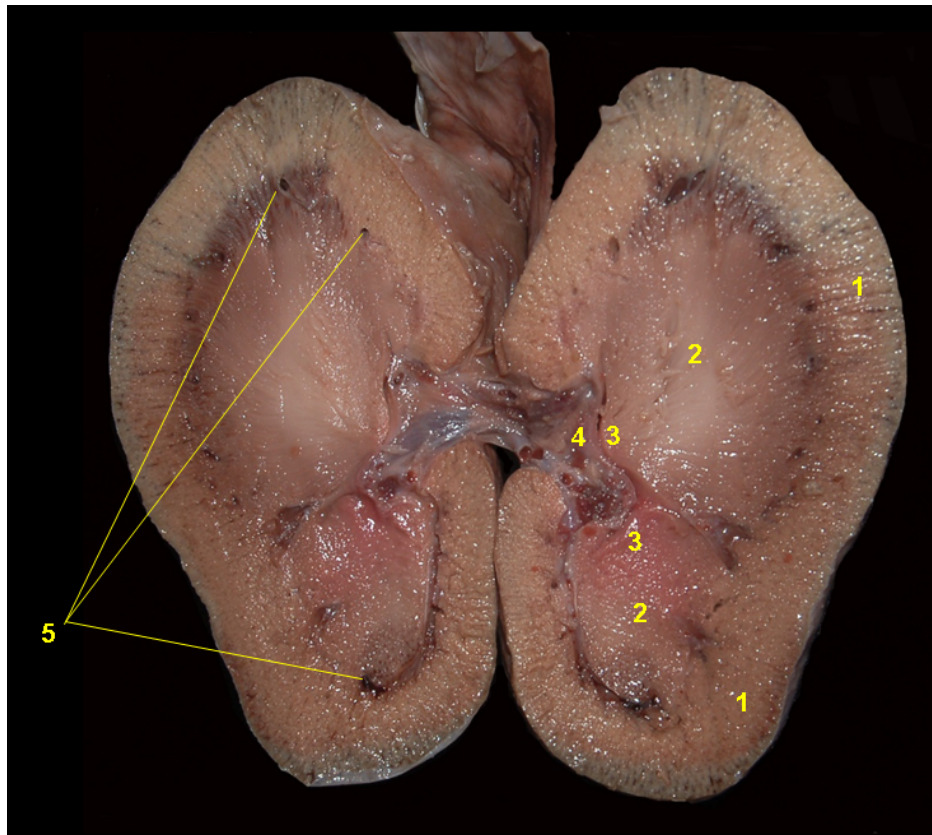


Figura 5.20 - Corte dorsal del riñón de oso hormiguero (*Myrmecophaga tridactyla*). 1. Corteza; 2. Médula; 3. Papila renal; 4. Pelvis renal; 5. Vasos interlobulares.



OSO PEREZOSO DE TRES DEDOS (*Bradypus variegatus*)



Figura 5.22 - Visión ventral *in situ* de los órganos urogenitales femeninos del oso perezoso de tres dedos (*Bradypus variegatus*). 1. Estómago; 2. Colon descendente; 3. Recto; 4. Riñones; 5. Ovarios; 6. Cuerpo uterino; 7. Cuello uterino; 8. Uréteres; 9. Vejiga urinaria.

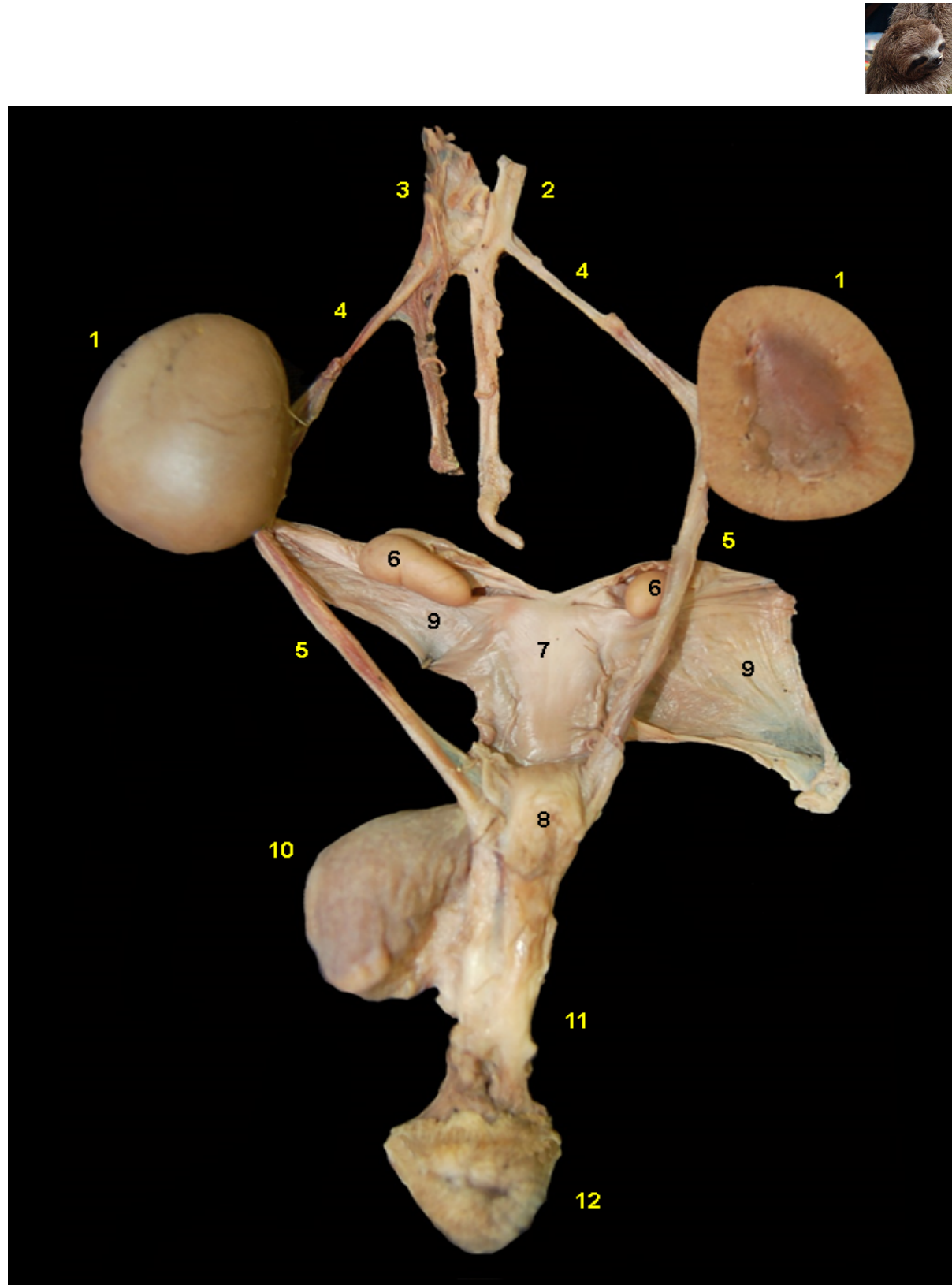


Figura 5.23 - Visión dorsal de los órganos urogenitales femeninos del oso perezoso de tres dedos (*Bradypus variegatus*). 1. Riñones; 2. Aorta abdominal; 3. Vena cava caudal; 4. Arterias renales; 5. Uréteres; 6. Ovarios; 7. Cuerpo uterino; 8. Cuello uterino; 9. Ligamento ancho; 10. Vejiga urinaria; 11. Vagina; 12. Vulva.

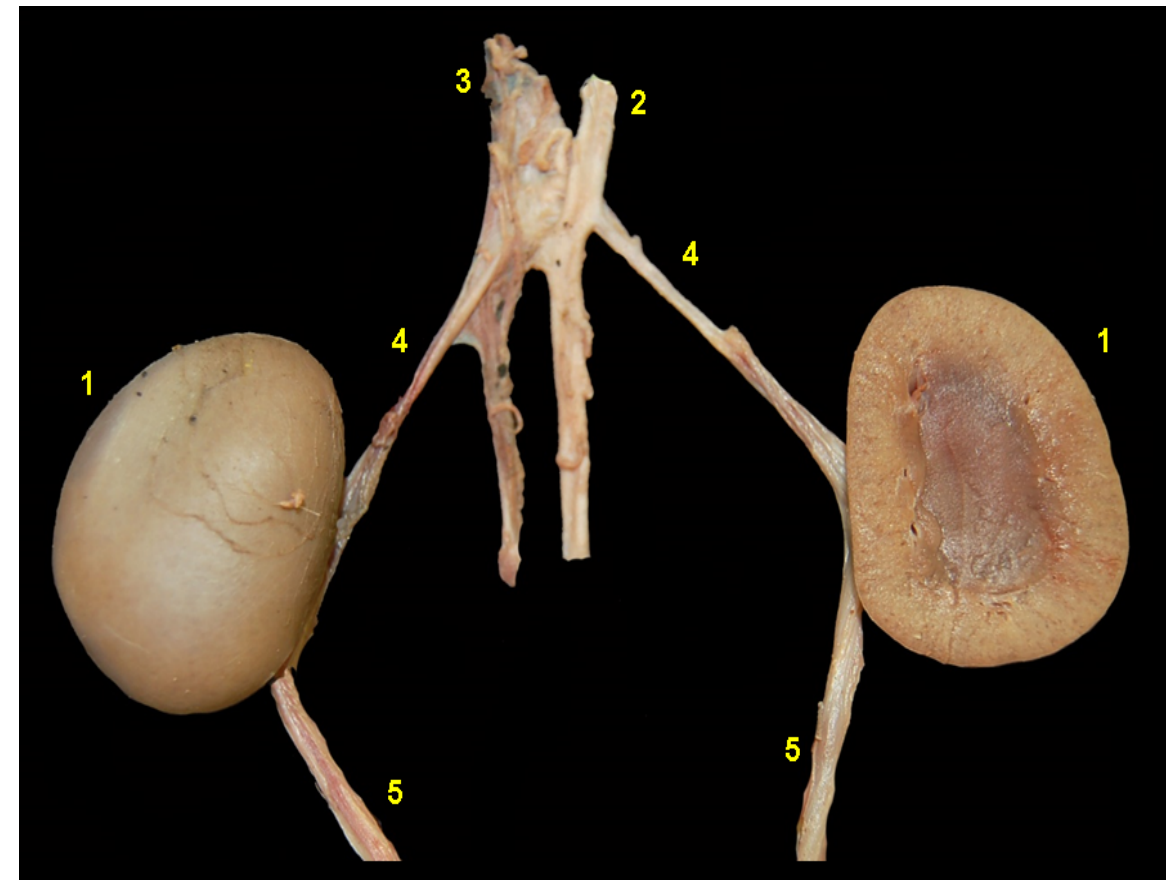


Figura 5.24 - Visión dorsal de los órganos urinarios del oso perezoso de tres dedos (*Bradypus variegatus*). 1. Riñones; 2. Aorta abdominal; 3. Vena cava caudal; 4. Arteria renal; 5. Uréteres.

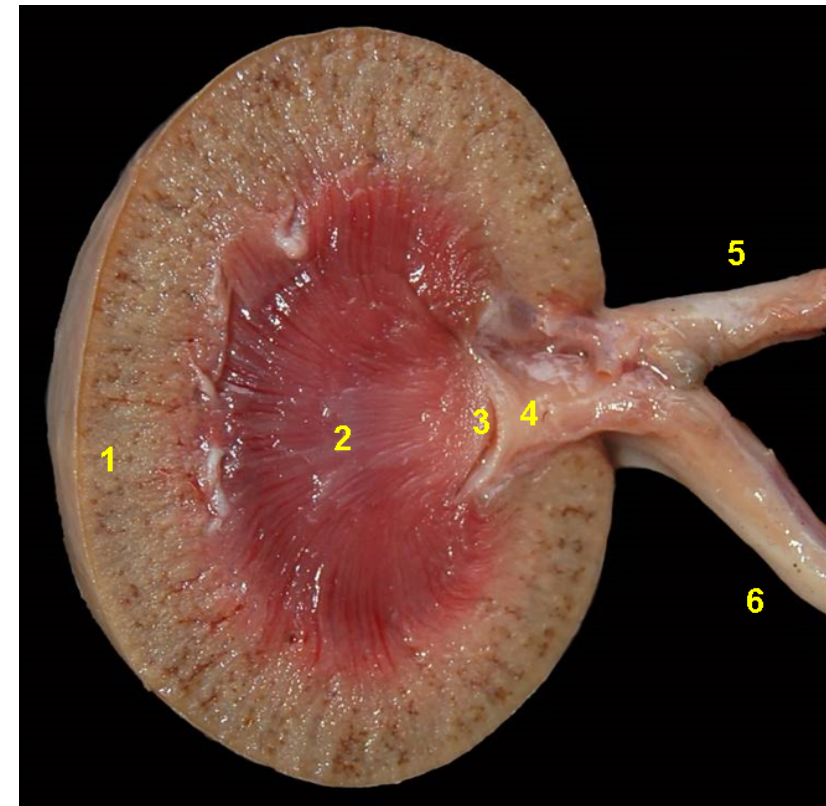


Figura 5.25 - Corte dorsal del riñón del oso perezoso de tres dedos (*Bradypus variegatus*). 1. Corteza; 2. Médula; 3. Cresta renal; 4. Pelvis renal; 5. Arteria renal; 6. Uréter.



OSO PEREZOSO DE DOS DEDOS (*Choloepus hoffmanni*)



Figura 5.26 - Visión ventral de los órganos urogenitales femeninos *in situ* del oso perezoso de dos dedos (*Choloepus hoffmanni*). 1. Asas yeyunales; 2. Colon descendente; 3. Riñones; 4. Uréteres; 5. Ovarios; 6. Cuerpo uterino; 7. Vejiga urinaria.

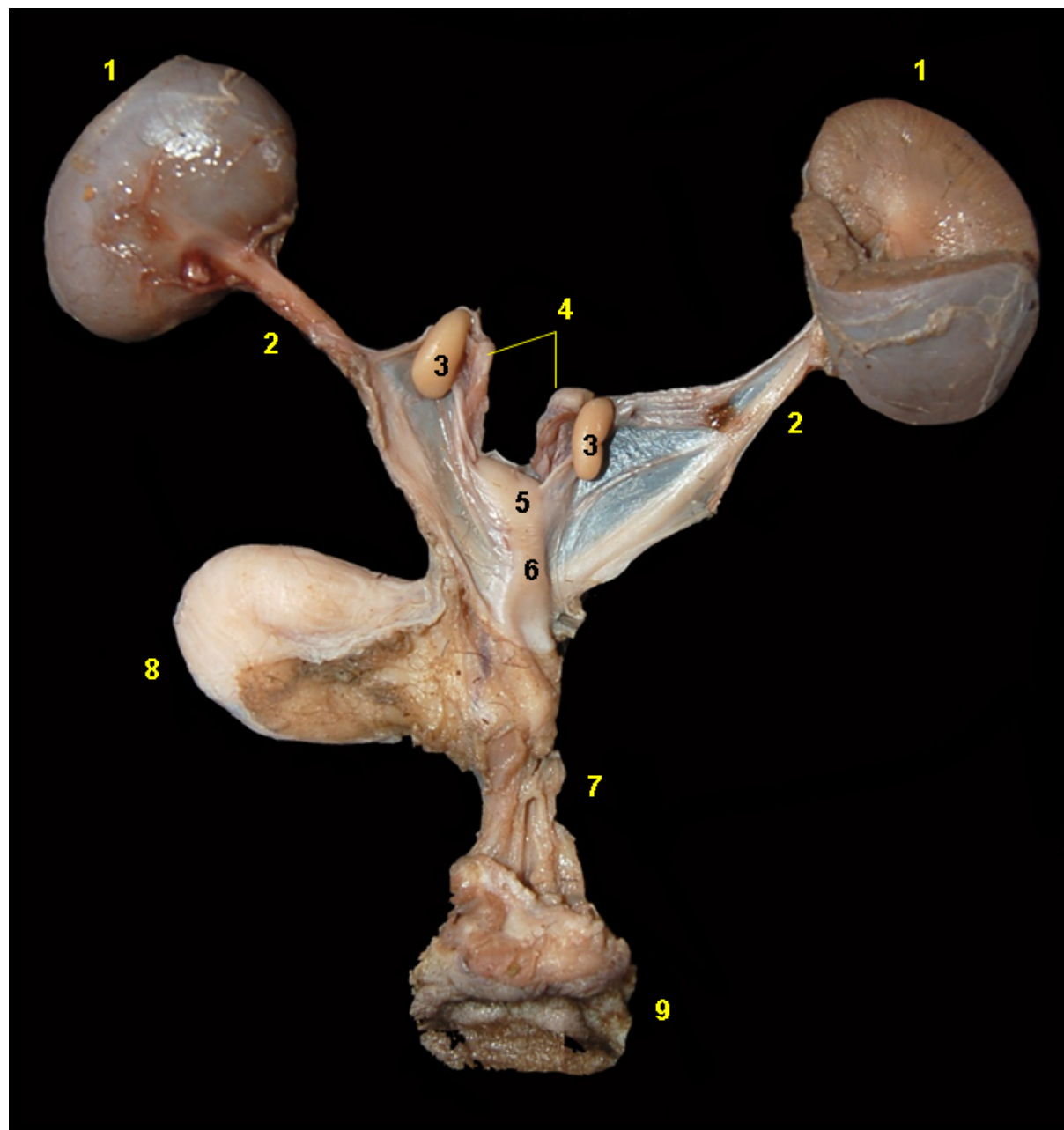


Figura 5.27 - Visión dorsal de los órganos urogenitales femeninos del oso perezoso de dos dedos (*Choloepus hoffmanni*). 1. Riñones; 2. Uréteres; 3. Ovarios; 4. Trompa uterina; 5. Cuello uterino; 6. Cuerpo uterino; 7. Vagina; 8. Vejiga urinaria; 9. Vulva.



Figura 5.28 - Corte dorsal del riñón del oso perezoso de dos dedos (*Choloepus hoffmanni*). 1. Corteza; 2. Médula; 3. Cresta renal; 4. Pelvis renal.



PÉCARI DE COLLAR (*Pecari tajacu*)

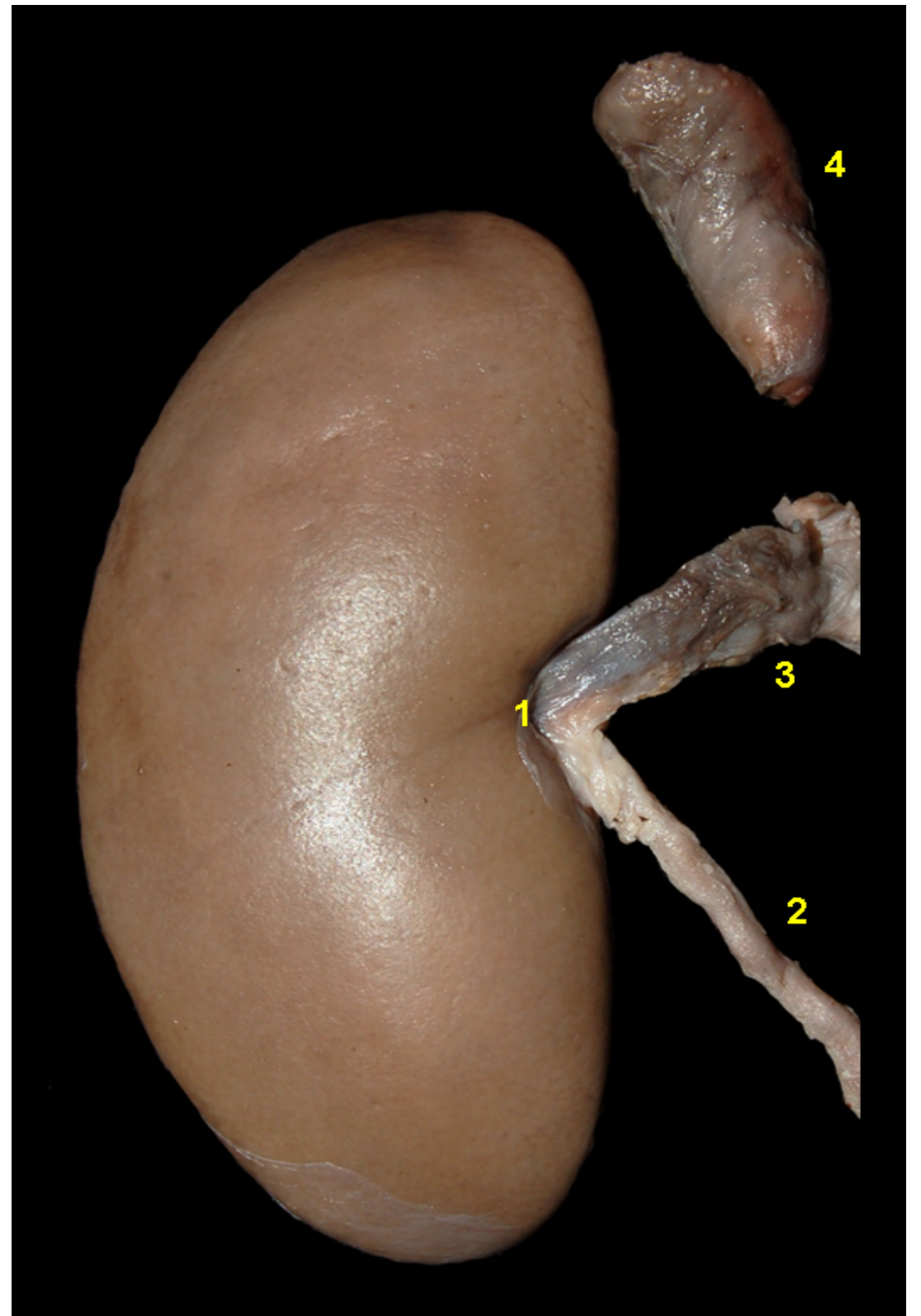


Figura 5.29 - Riñón y glándula adrenal del pécari de collar (*Pecari tajacu*). 1. Hilario renal; 2. Uréter; 3. Arteria y vena renal; 4. Glándula adrenal.

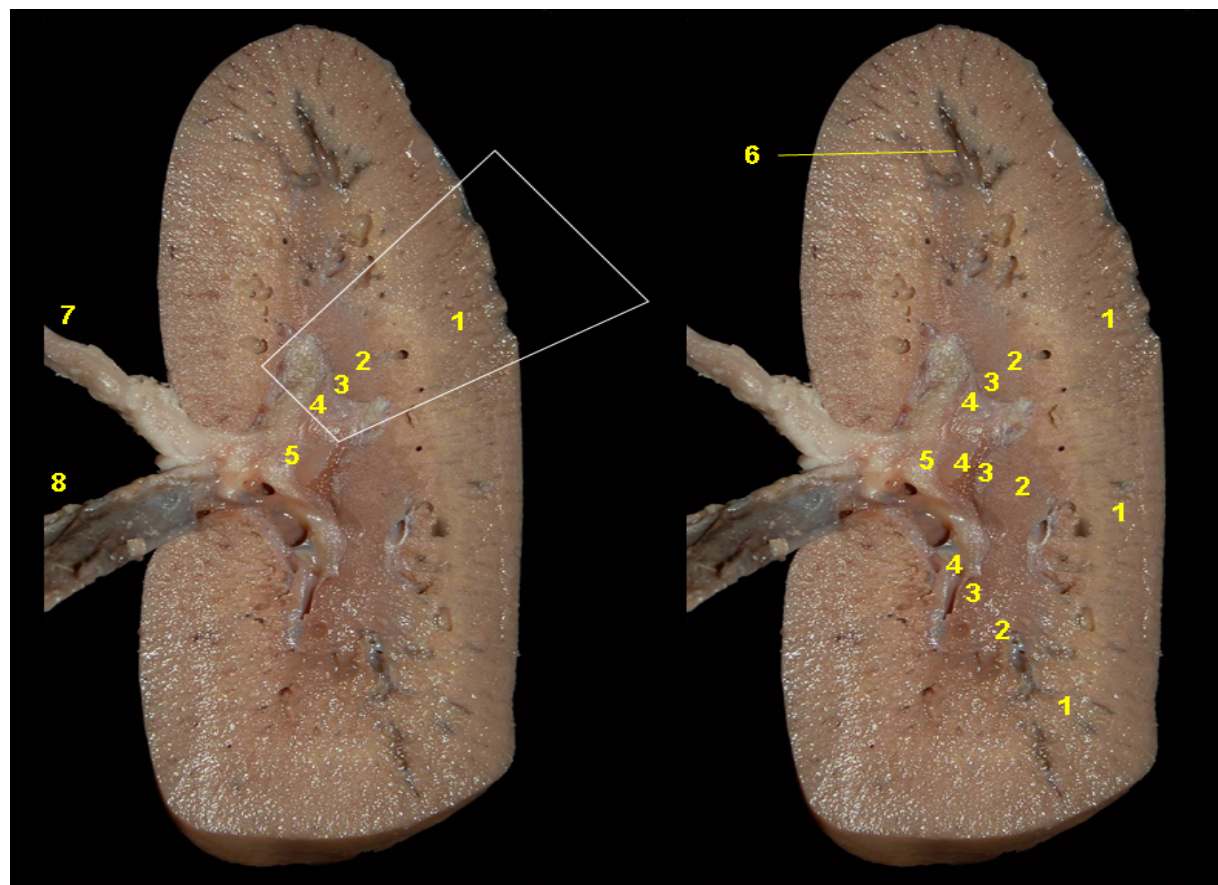


Figura 5.30 - Corte dorsal del riñón del pécari de collar (*Pecari tajacu*). Se ha indicado la posición de un lóbulo renal. 1. Corteza; 2. Médula; 3. Papila renal; 4. Cálice renal; 5. Pelvis renal; 6. Vaso interlobular; 7. Uréter; 8. Arteria y vena renal.

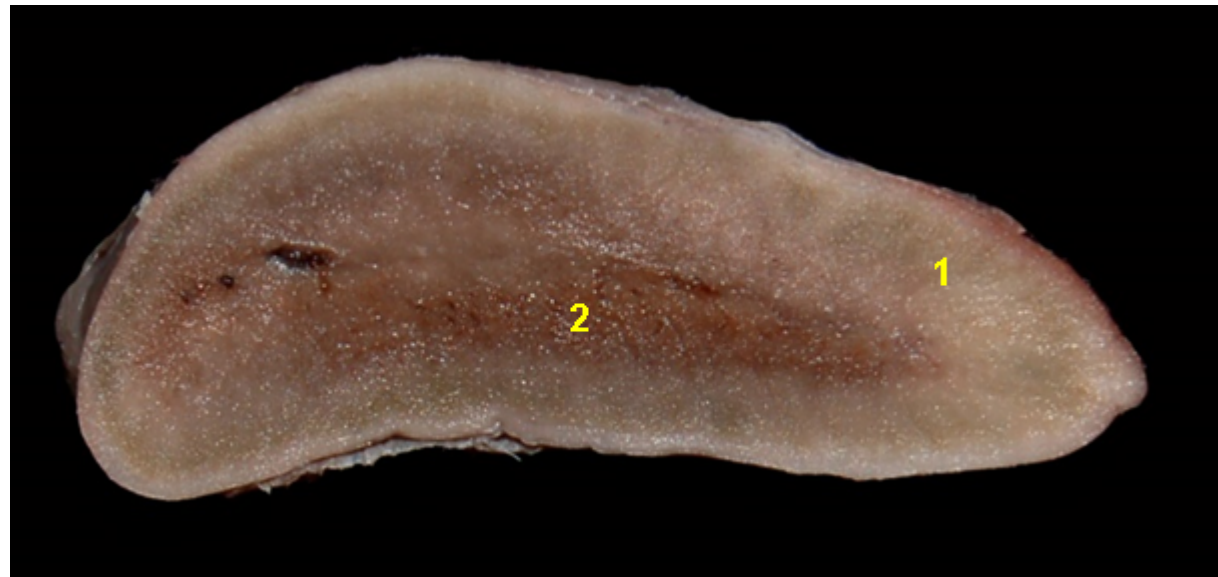


Figura 5.31 - Corte longitudinal de la glándula adrenal del pécari de collar (*Pecari tajacu*). 1. Corteza; 2. Médula.



PÉCARI LABIADO (*Tayassu pecari*)

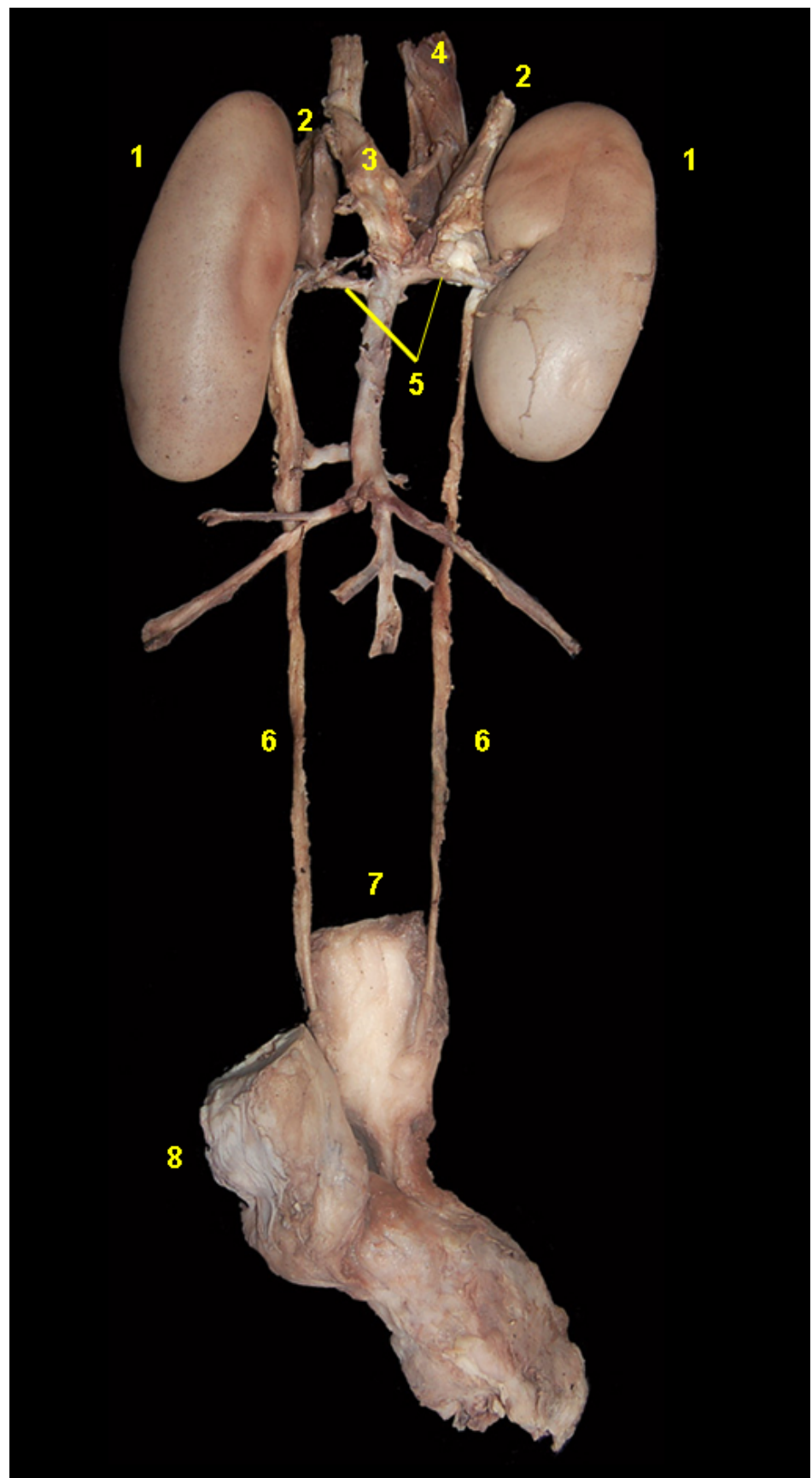


Figura 5.32 - Visión dorsal de los órganos urogenitales femeninos del pécari labiado (*Tayassu pecari*). 1. Riñones; 2. Glándulas adrenales; 3. Aorta abdominal; 4. Vena cava caudal; 5. Arterias renales; 6. Uréteres; 7. Vejiga urinaria; 8. Vagina.

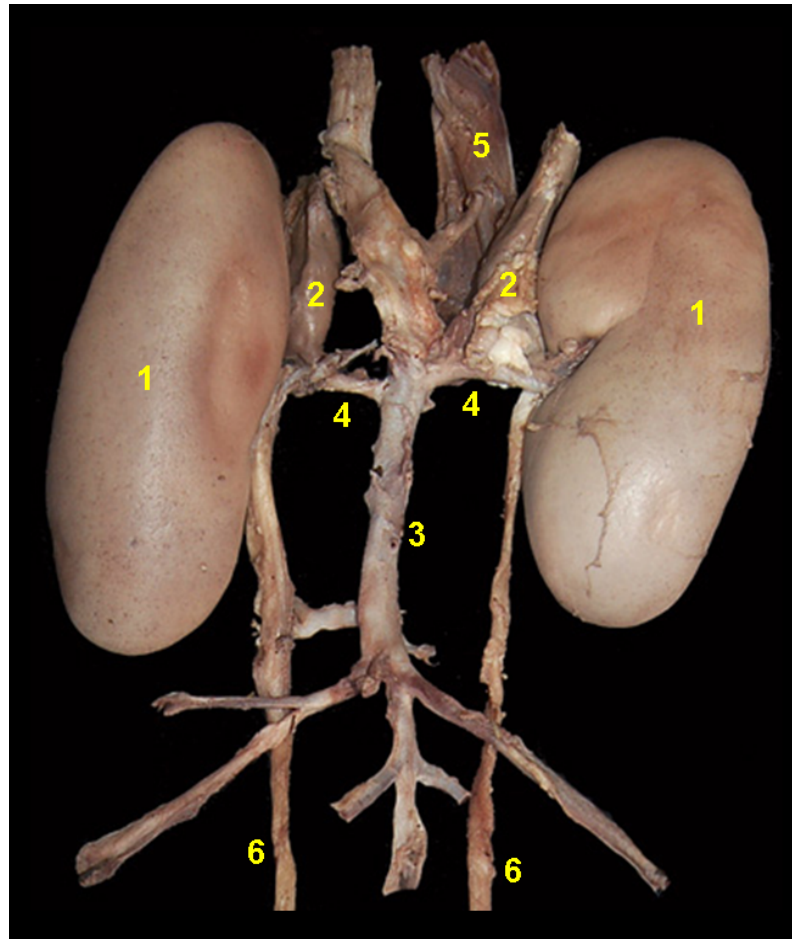


Figura 5.33 - Visión dorsal de los órganos urinarios del pécari labiado (*Tayassu pecari*). 1. Riñones; 2. Glándulas adrenales; 3. Aorta abdominal; 4. Arterias renales; 5. Vena cava caudal; 6. Uréteres.

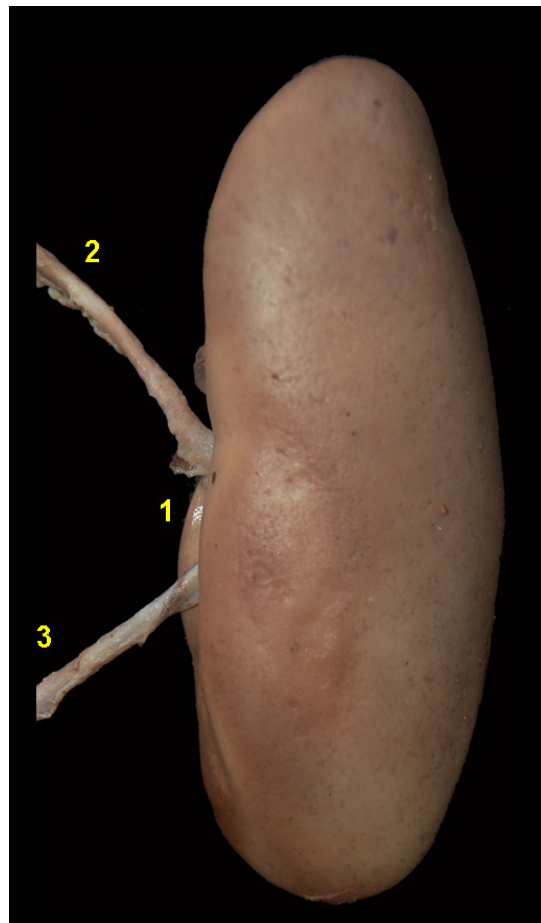


Figura 5.34 - Riñón del pécari labiado (*Tayassu pecari*). 1. Hilum renal; 2. Arteria renal; 3. Uréter.

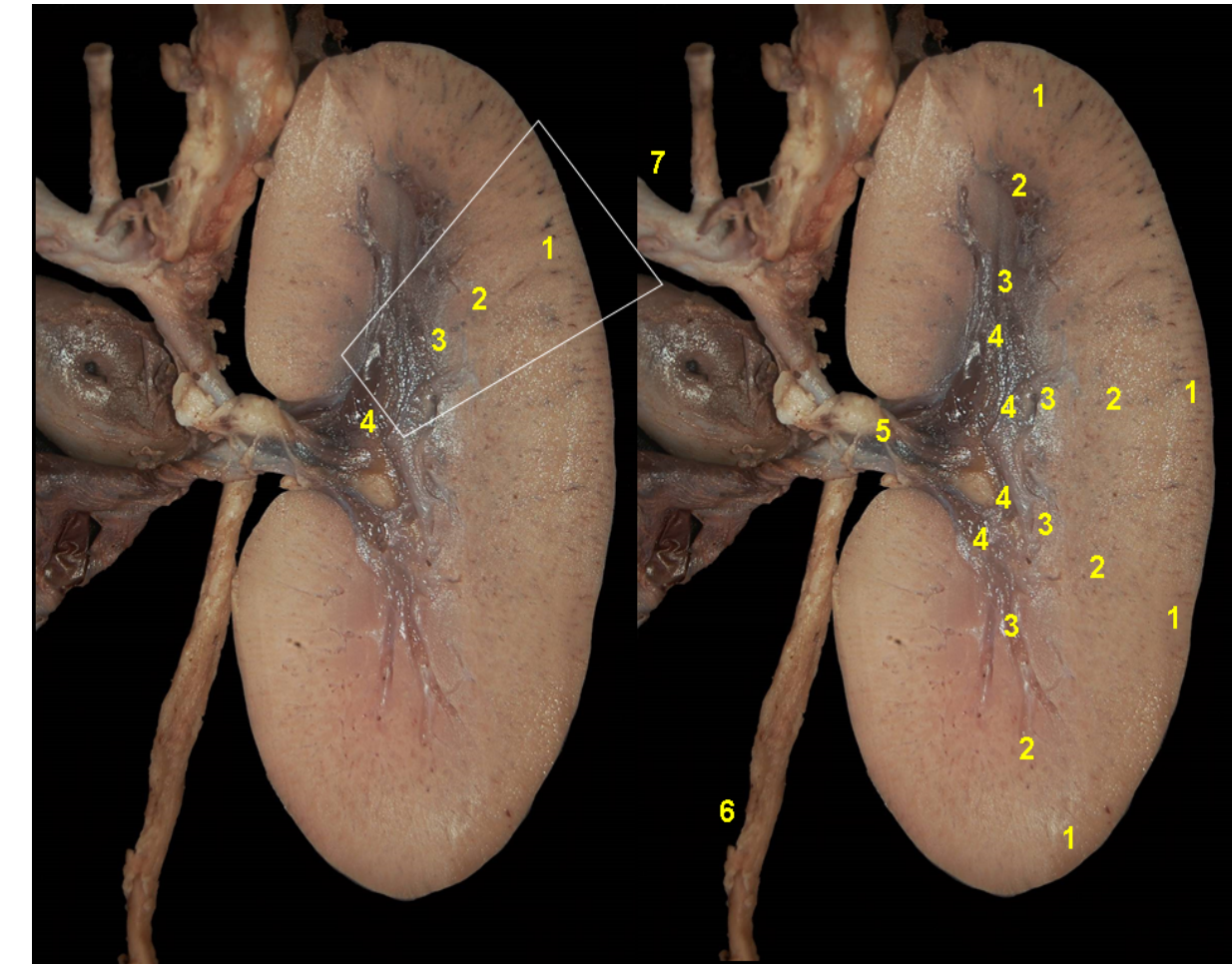


Figura 5.35 - Corte dorsal del riñón del pécari labiado (*Tayassu pecari*). Se ha indicado la posición de un lóbulo renal. 1. Corteza; 2. Médula; 3. Papila renal y cálix renal; 4. Pelvis renal; 5. Hilum renal; 6. Uréter; 7. Arteria renal.



VENADO GRIS

(Mazama nemorivaga)

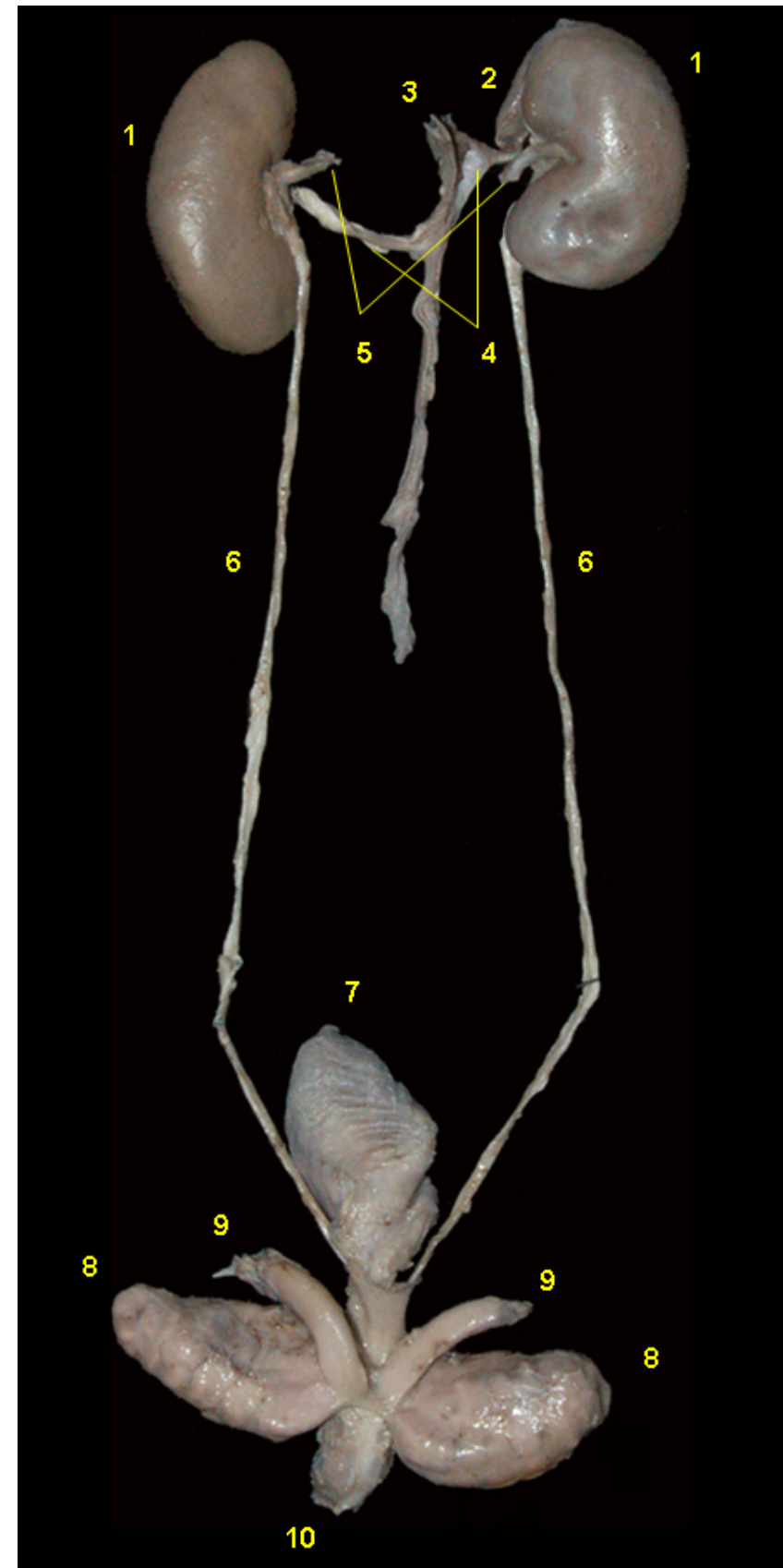


Figura 5.36 - Visión dorsal los órganos urogenitales masculinos del venado gris (*Mazama nemorivaga*). 1. Riñones; 2. Glándulas adrenales; 3. Aorta abdominal; 4. Arterias renales; 5. Venas renales; 6. Uréteres; 7. Vejiga urinaria; 8. Glándulas vesiculares; 9. Ampollas de los conductos deferentes; 10. Próstata.

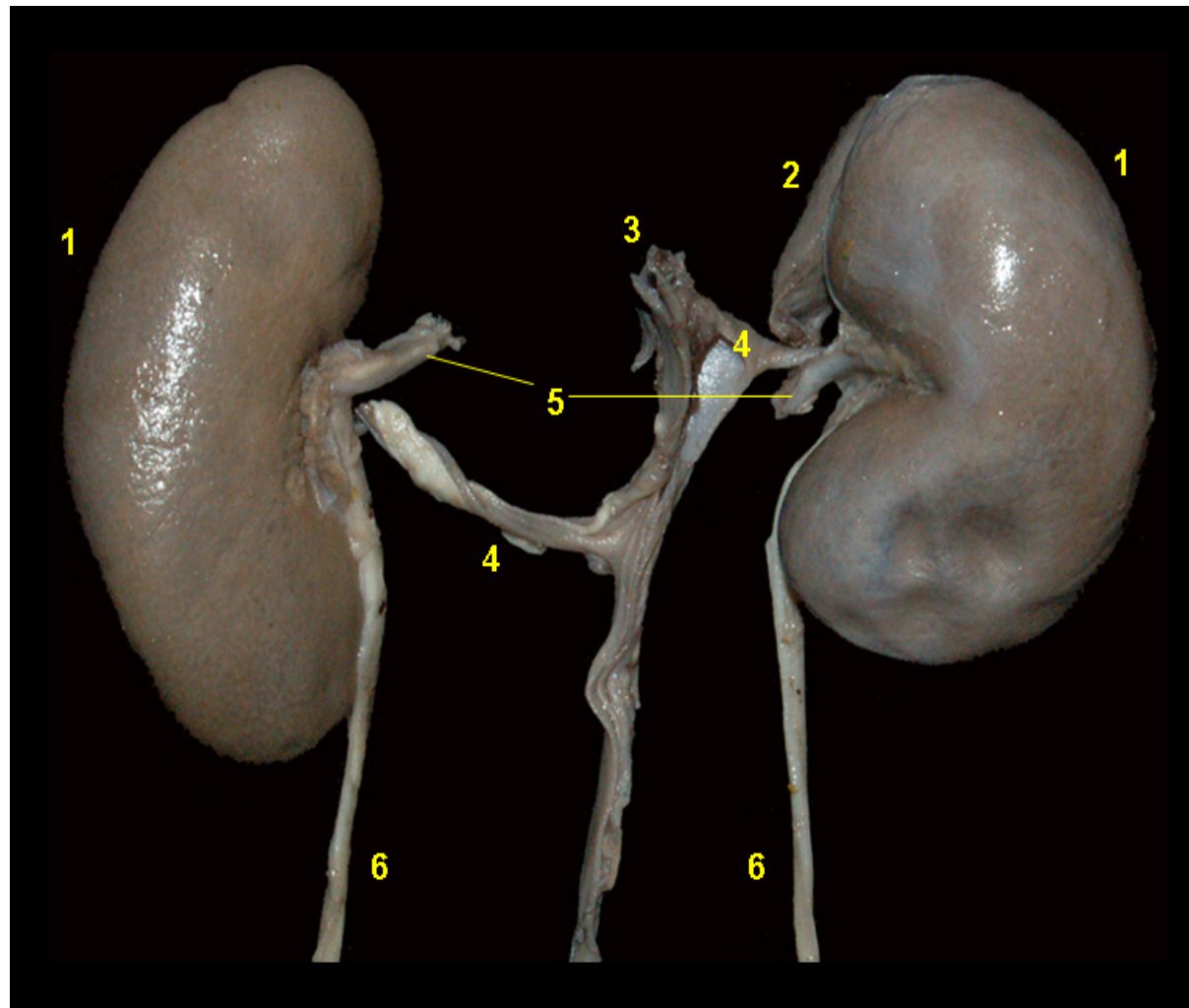


Figura 5.37 - Visión dorsal los órganos urinarios del venado gris (*Mazama nemorivaga*). 1. Riñones; 2. Glándula adrenal; 3. Aorta abdominal; 4. Arteria renal; 5. Venas renales; 6. Uréteres.

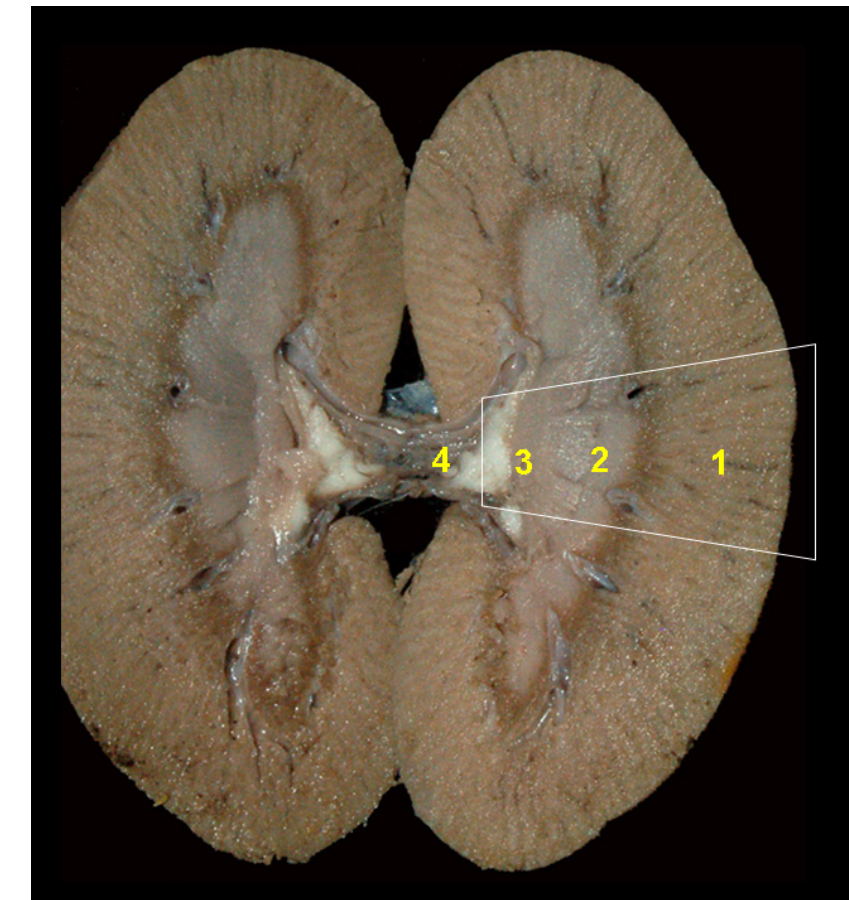


Figura 5.38 - Corte dorsal del riñón del venado gris (*Mazama nemorivaga*). Se ha indicado la posición de un lóbulo renal. 1. Corteza; 2. Pirámide renal (médula); 3. Papila renal; 4. Pelvis renal.

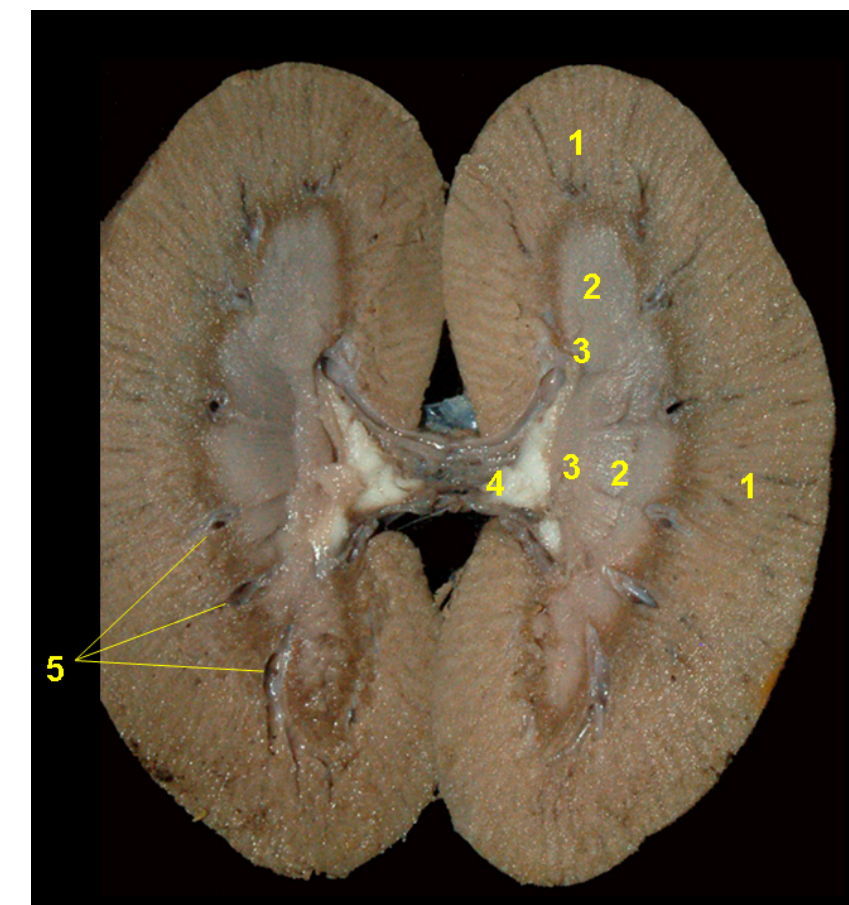


Figura 5.39 - Corte dorsal del riñón del venado gris (*Mazama nemorivaga*). 1. Corteza; 2. Pirámide renal; 3. Papila renal; 4. Pelvis renal; 5. Vasos interlobulares.



VENADO ROJO (*Mazama americana*)

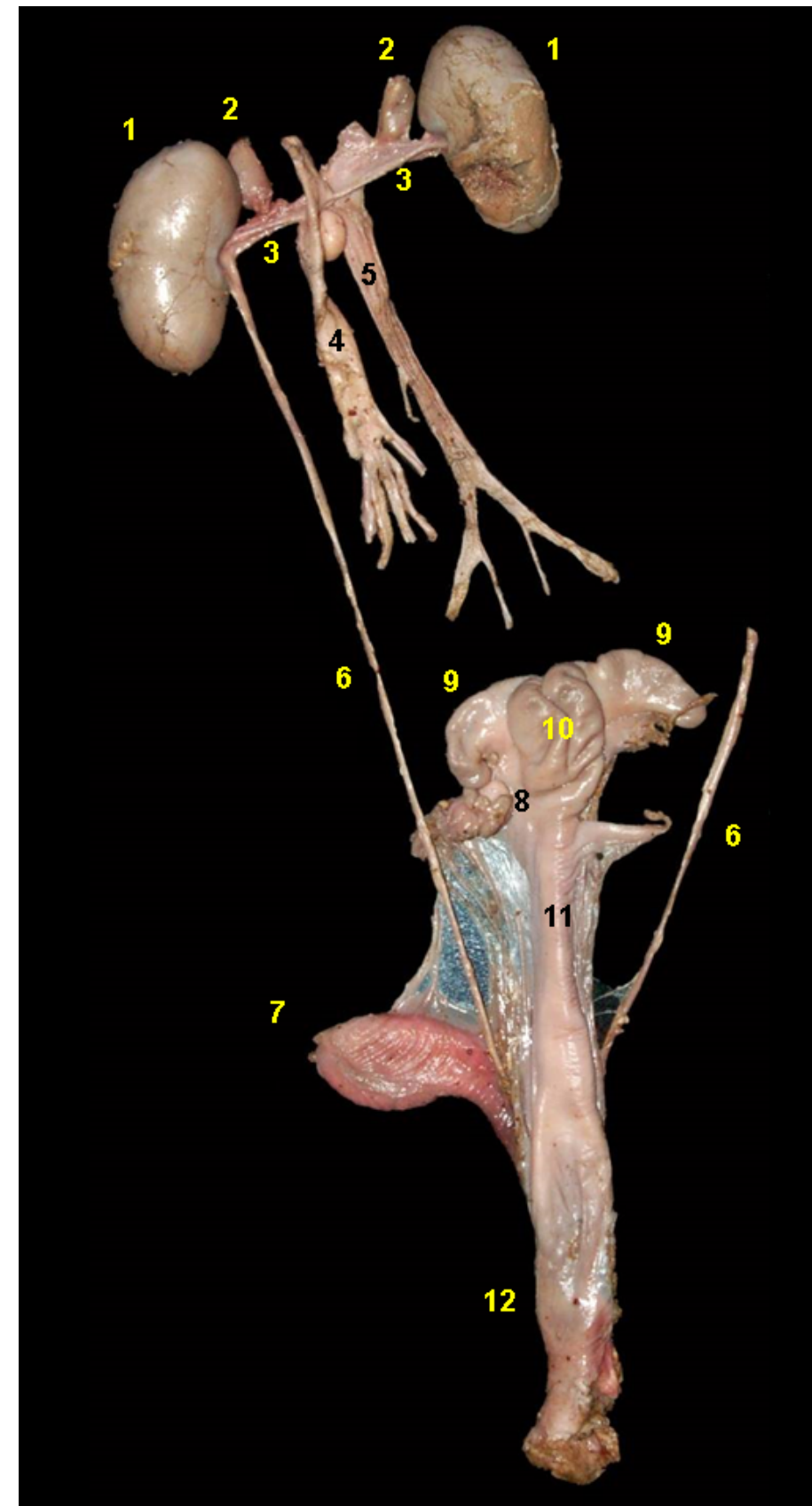


Figura 5.40 - Visión dorsal de los órganos urogenitales femeninos del venado rojo (*Mazama americana*). 1. Riñones; 2. Glándulas adrenales; 3. Arterias y venas renales; 4. Aorta abdominal; 5. Vena cava caudal; 6. Uréteres; 7. Vejiga urinaria; 8. Ovario; 9. Cuernos uterinos; 10. Cuerpo uterino; 11. Cuello uterino; 12. Vagina.

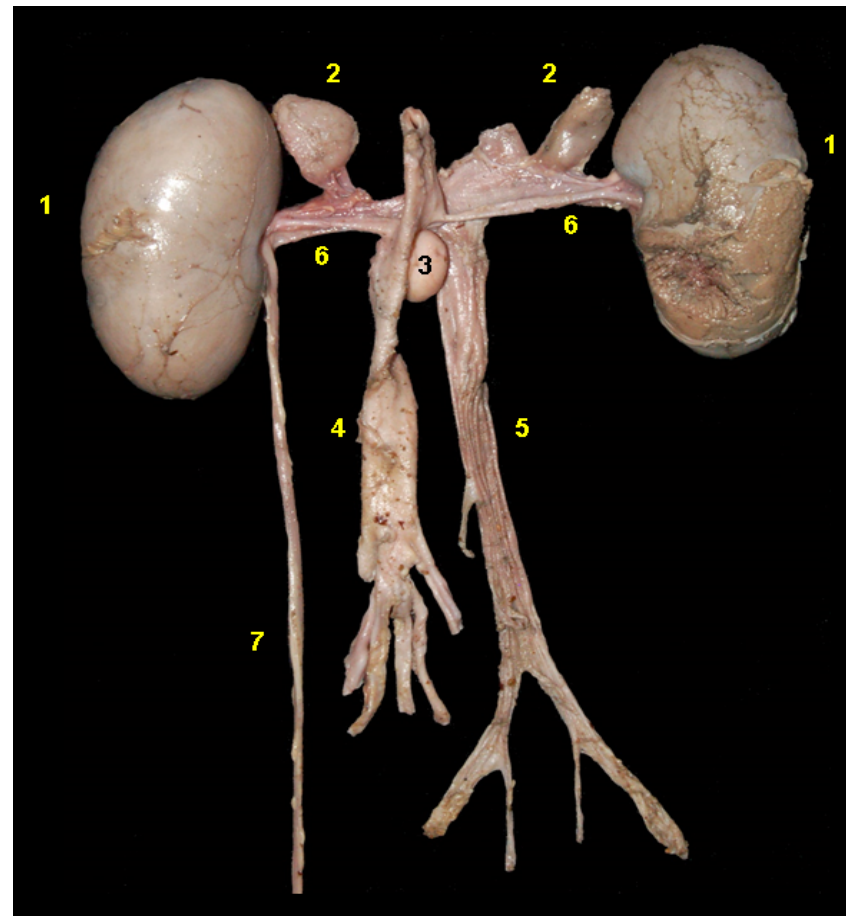


Figura 5.41 - Visión dorsal de los órganos urinarios del venado rojo (*Mazama americana*). 1. Riñones; 2. Glándulas adrenales; 3. Nódulo linfático renal; 4. Aorta abdominal; 5. Vena cava caudal; 6. Arterias y venas renales; 7. Uréteres.

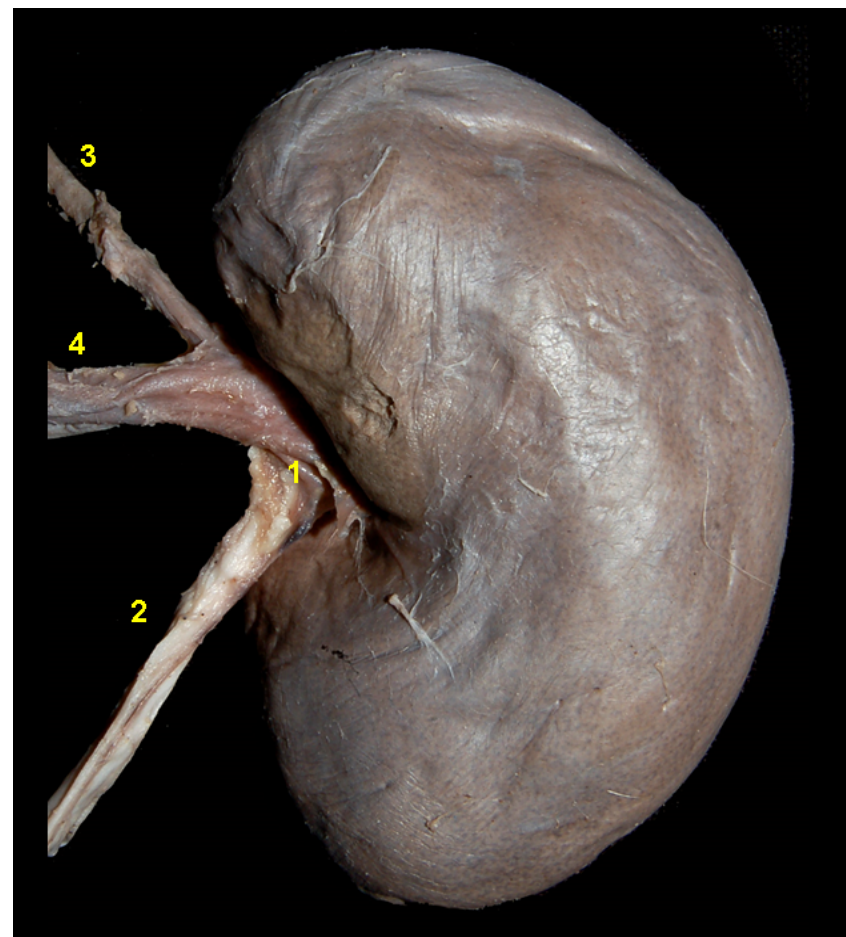


Figura 5.42 - Riñón del venado rojo (*Mazama americana*). 1. Hilio renal; 2. Uréter; 3. Arteria renal; 4. Vena renal.

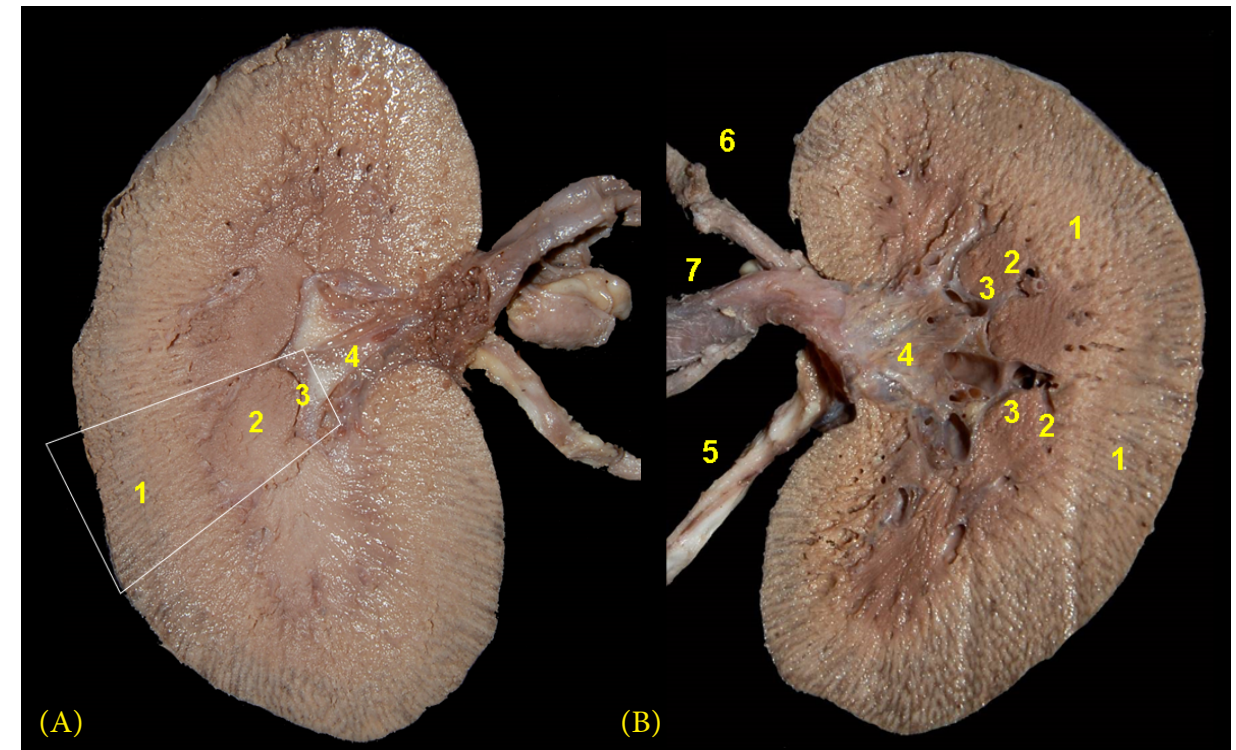


Figura 5.43 - A y B - Corte dorsal del riñón del venado rojo (*Mazama americana*). Se ha indicado la posición de un lóbulo renal. 1. Corteza; 2. Pirámide renal; 3. Papila renal; 4. Pelvis renal; 5. Uréter; 6. Arteria renal; 7. Vena renal.



Figura 5.44 - Corte dorsal de la glándula adrenal del venado rojo (*Mazama americana*). 1. Corteza; 2. Médula.



TAPIR (*Tapirus terrestris*)

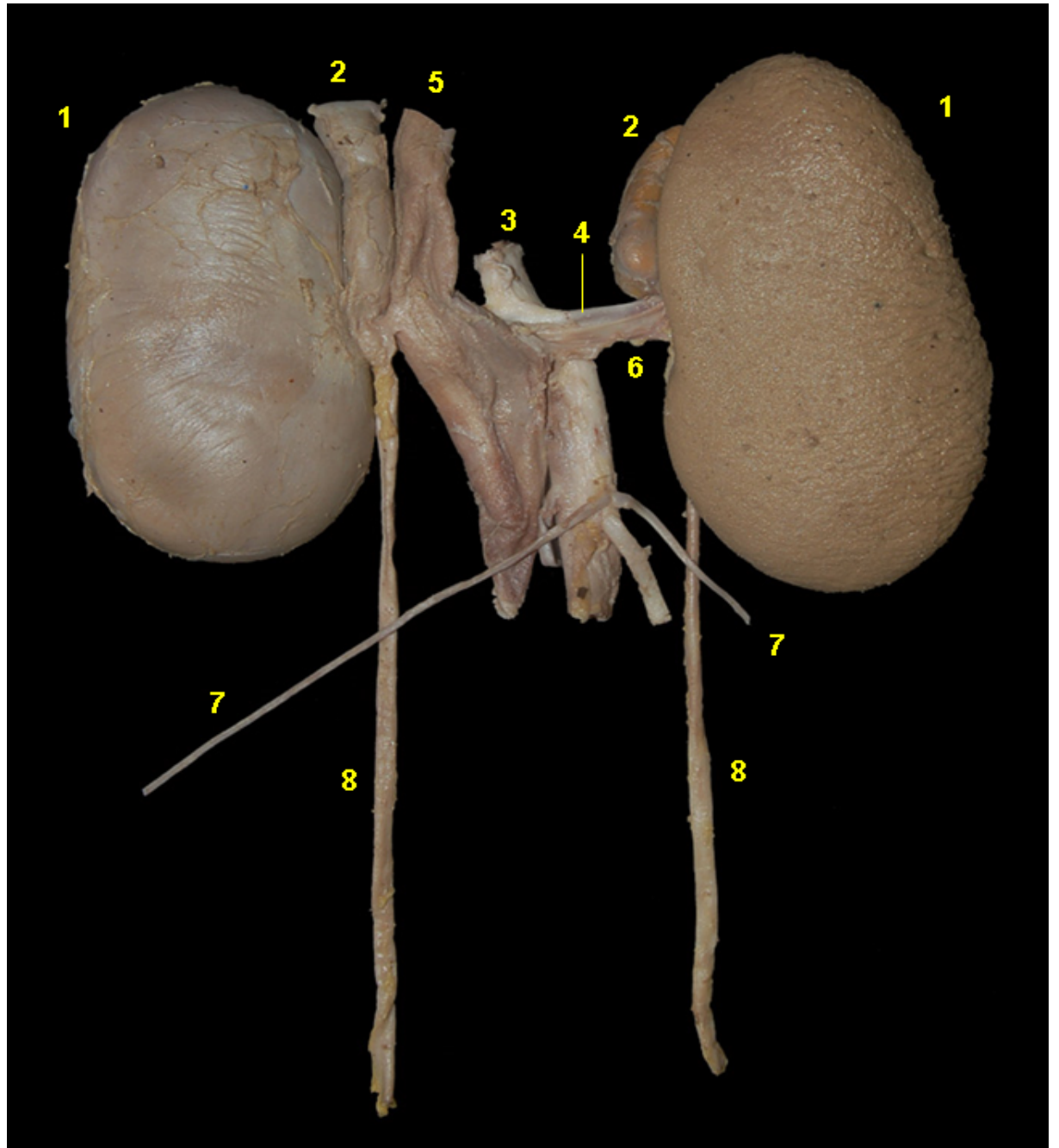


Figura 5.45 - Visión ventral de los órganos urinarios del tapir (*Tapirus terrestris*). 1. Riñones; 2. Glándulas adrenales; 3. Aorta abdominal; 4. Arteria renal; 5. Vena cava caudal; 6. Vena renal; 7. Arterias testiculares; 8. Uréteres.



Figura 5.46 - Visión dorsal del riñón y la glándula adrenal del tapir (*Tapirus terrestris*). 1. Riñón; 2. Glándula adrenal.

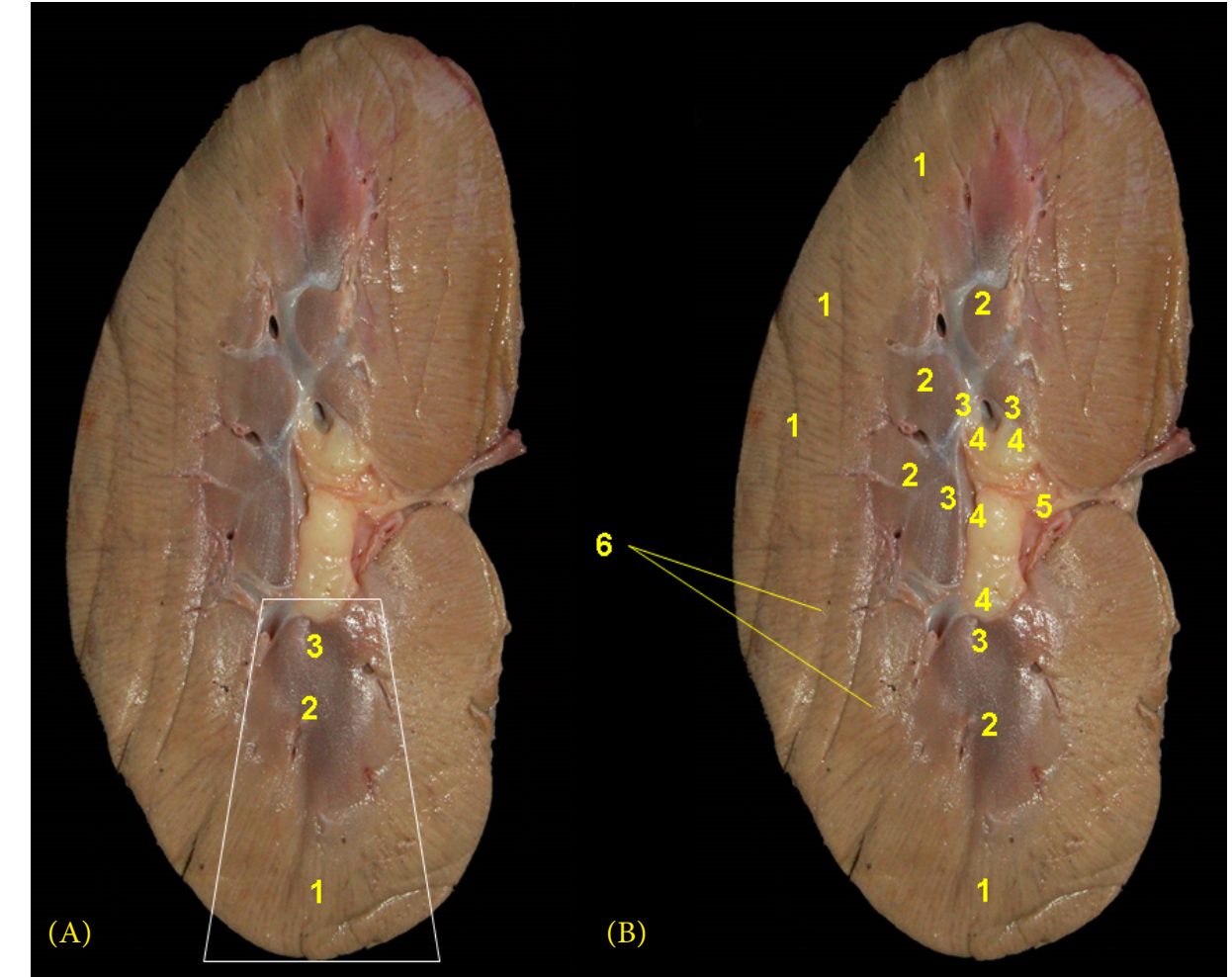


Figura 5.48 - A e B - Corte dorsal del riñón del tapir (*Tapirus terrestris*). Se ha indicado la posición de un lóbulo renal. 1. Corteza; 2. Pirámide renal (médula); 3. Papila renal; 4. Cresta renal; 5. Pelvis renal; 6. Vasos interlobulares.

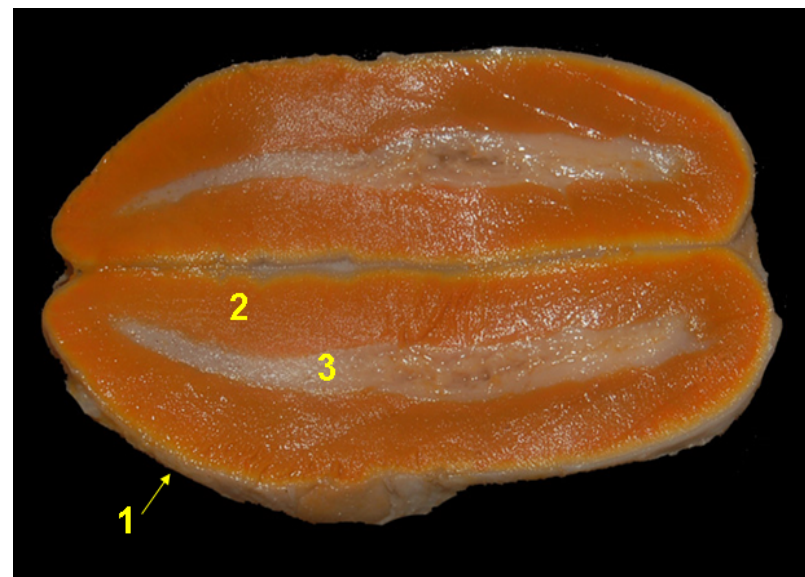


Figura 5.47 - Corte longitudinal de la glándula adrenal del tapir (*Tapirus terrestris*). 1. Cápsula; 2. Corteza; 3. Médula.



OCELOTE (*Leopardus pardalis*)

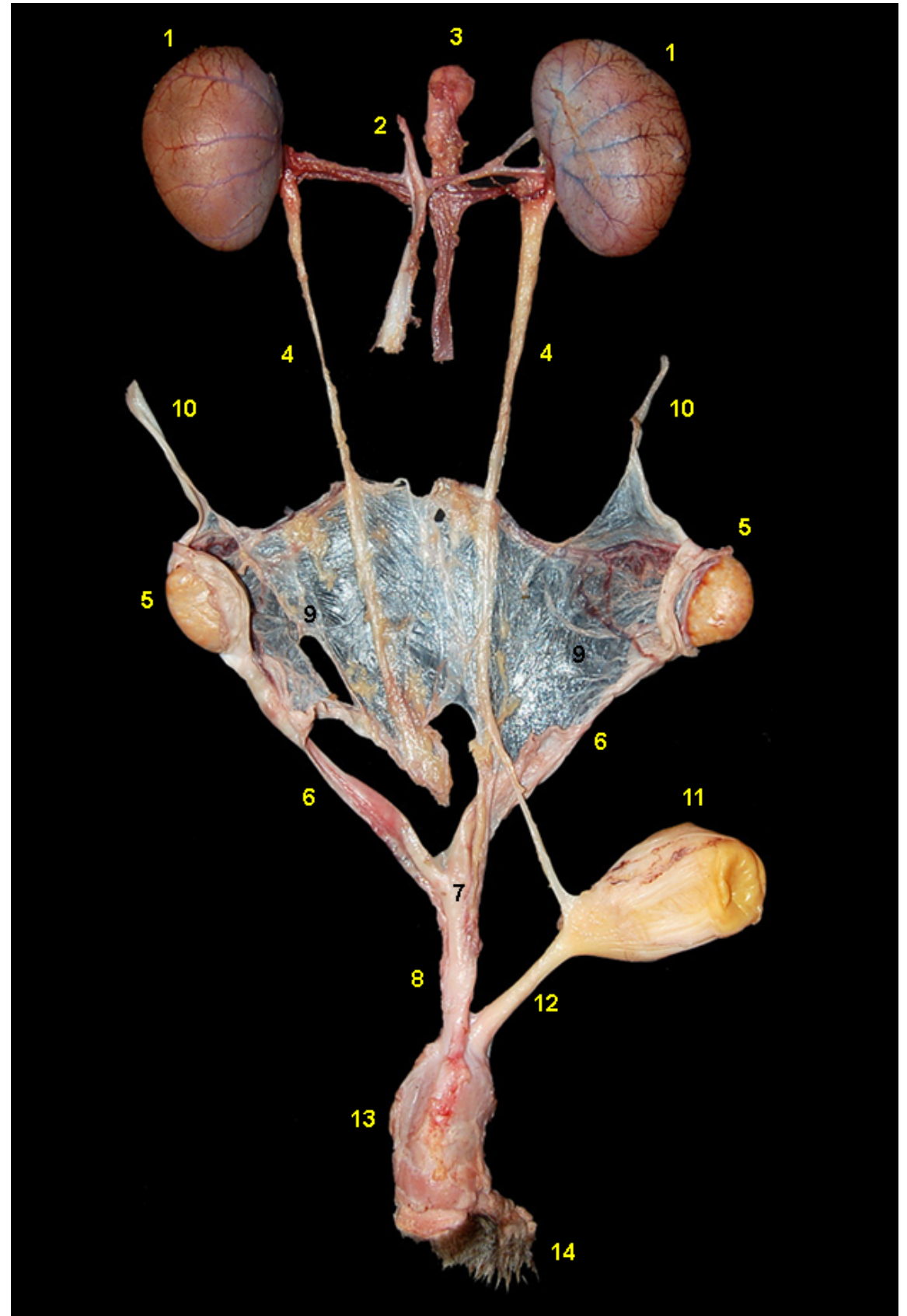


Figura 5.49 - Visión dorsal de los órganos urogenitales femeninos del ocelote (*Leopardus pardalis*). 1. Riñones; 2. Aorta abdominal; 3. Vena cava caudal; 4. Uréteres; 5. Ovarios; 6. Cuernos uterinos; 7. Cuerpo uterino; 8. Cuello uterino; 9. Ligamento ancho; 10. Ligamentos suspensores del ovario; 11. Vejiga urinaria; 12. Uretra; 13. Vagina; 14. Vulva.

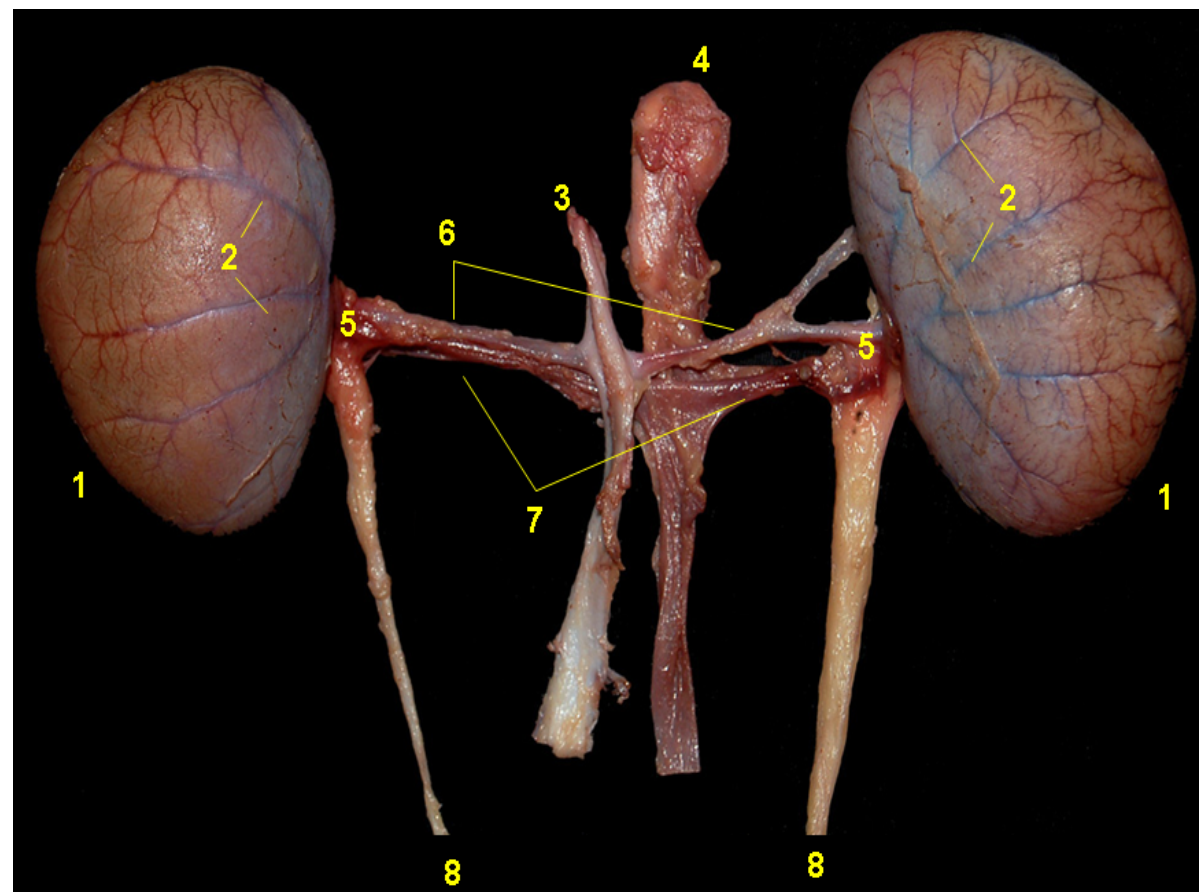


Figura 5.50 - Visión dorsal de los órganos urinarios del ocelote (*Leopardus pardalis*). 1. Riñones; 2. Venas capsulares; 3. Aorta abdominal; 4. Vena cava caudal; 5. Hilio renal; 6. Arterias renales; 7. Venas renales; 8. Uréteres.

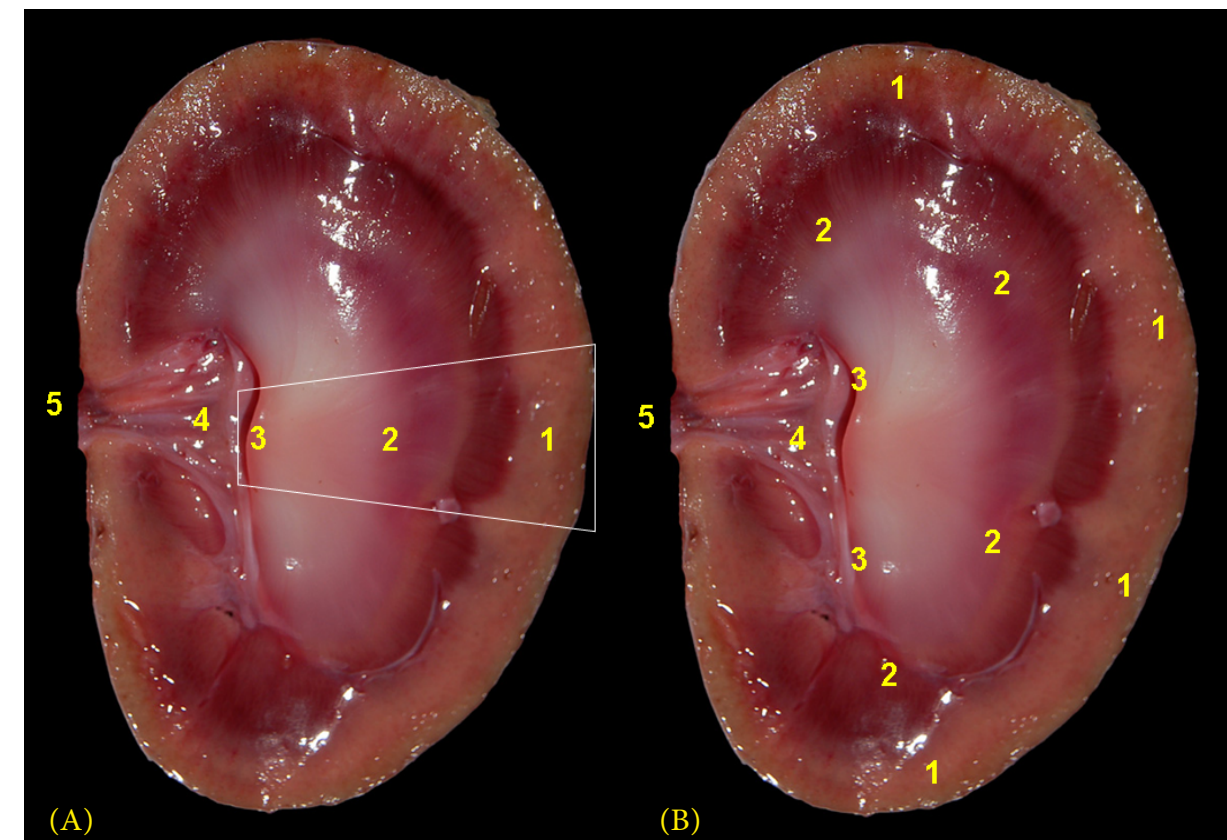


Figura 5.51 - A y B - Corte dorsal del riñón del ocelote (*Leopardus pardalis*). Se ha indicado la posición de un lóbulo renal. 1. Corteza; 2. Pirámide renal (médula); 3. Cresta renal; 4. Pelvis renal; 5. Uréter.



JAGUAR (*Panthera onca*)

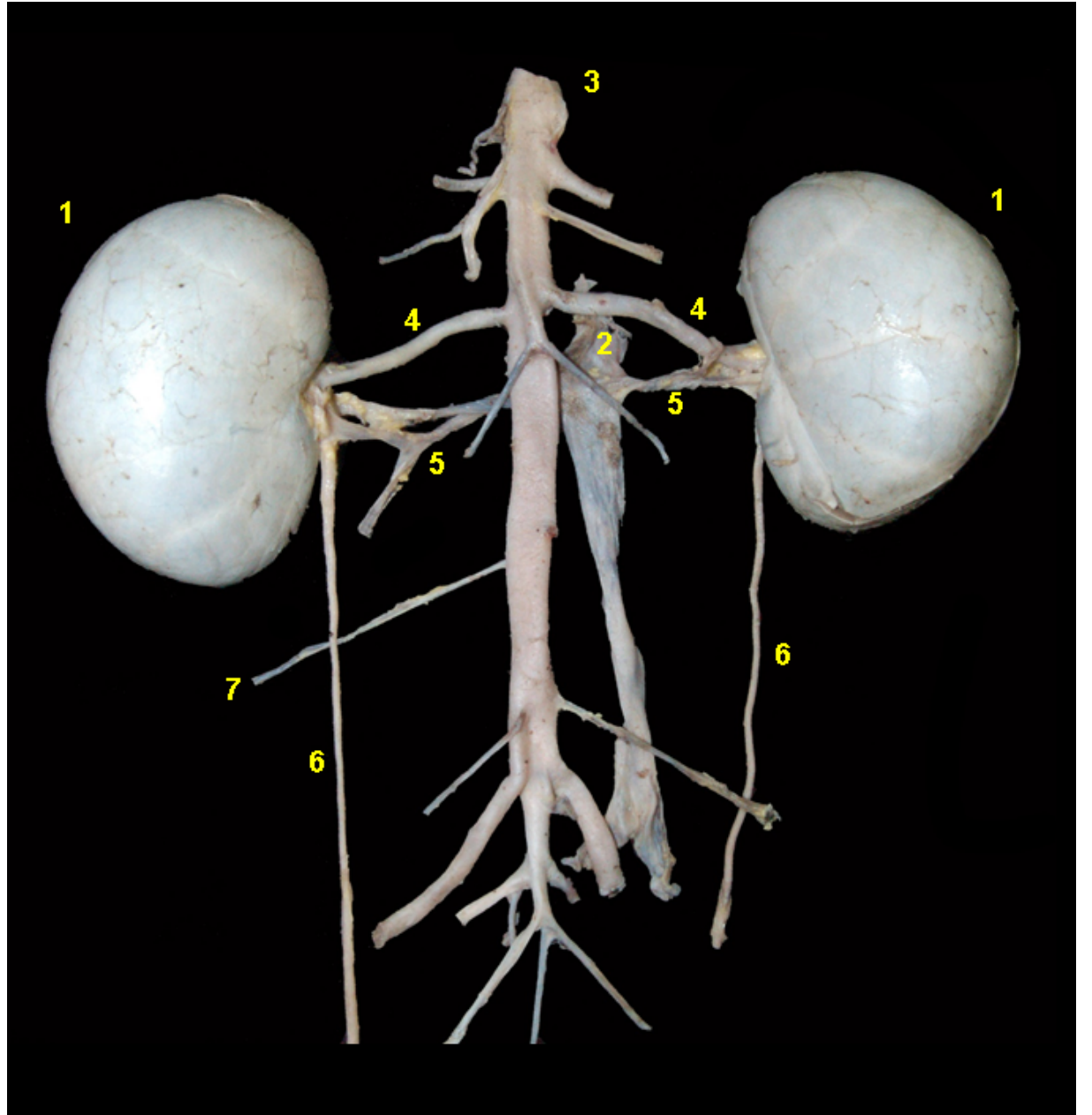


Figura 5.52 - Visión dorsal de los órganos urinarios del jaguar (*Panthera onca*). 1. Riñones; 2. Vena cava caudal; 3. Glándulas adrenales; 3. Aorta abdominal; 4. Arterias renales; 5. Venas renales; 6. Uréteres; 7. Arteria testicular.

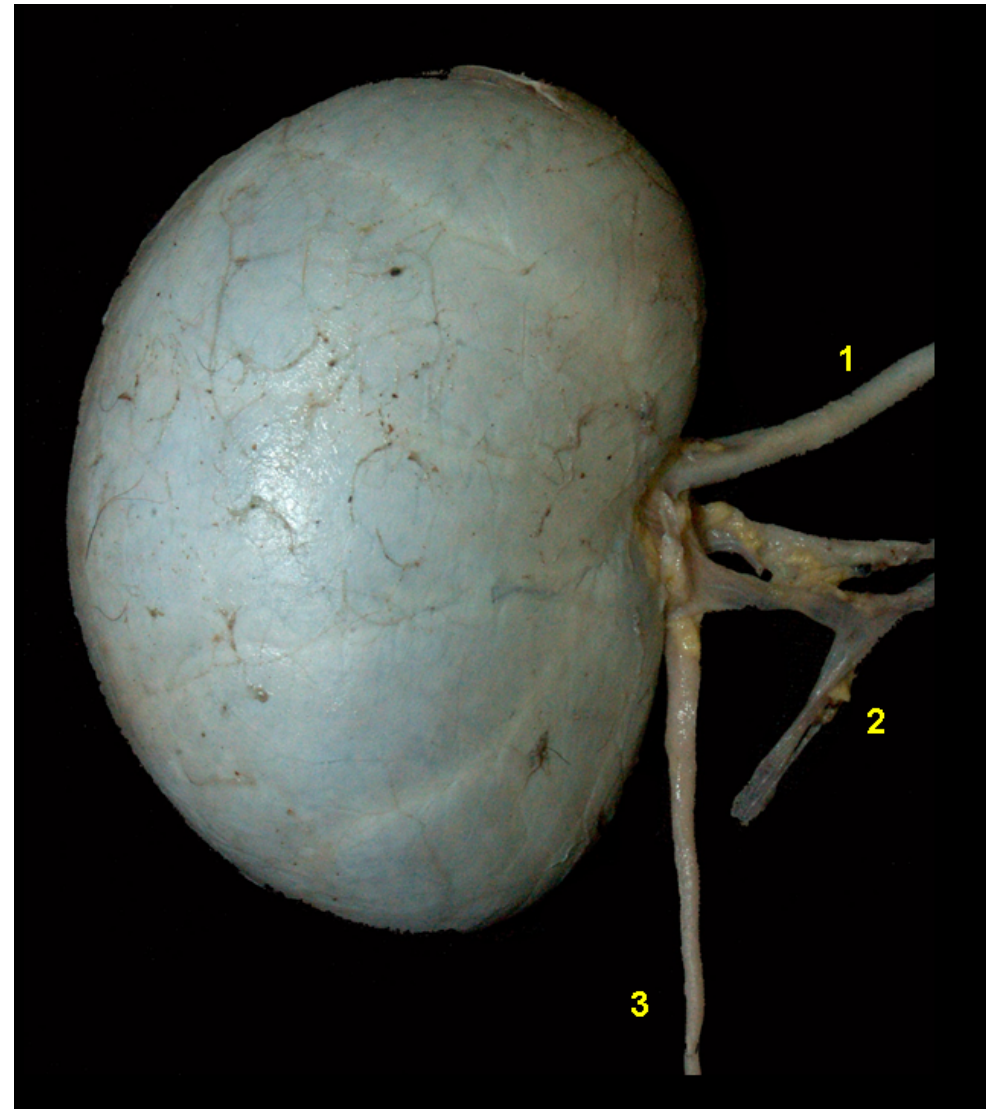


Figura 5.53 - Visión dorsal de riñón del jaguar (*Panthera onca*). 1. Arteria renal; 2. Vena renal; 3. Uréter.

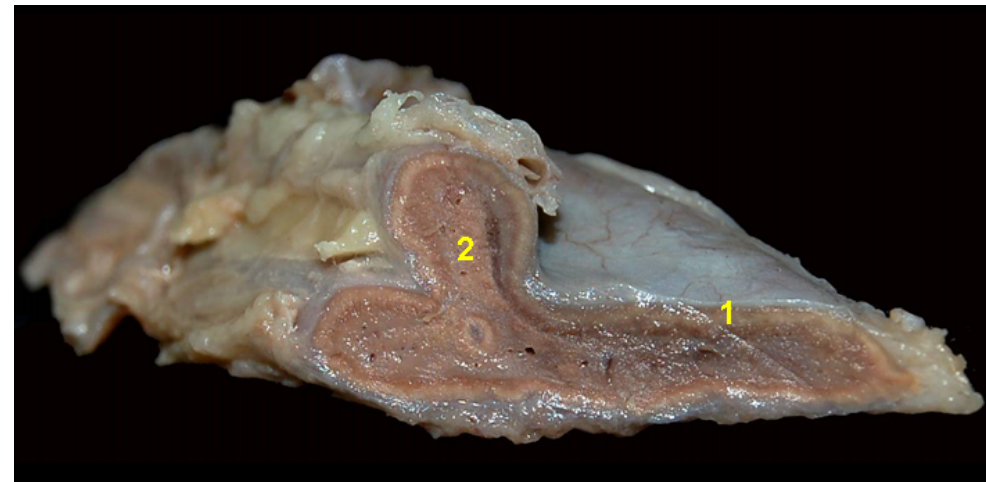


Figura 5.54 - Corte longitudinal de la glándula adrenal del jaguar (*Panthera onca*). 1. Córtez; 2. Médula.

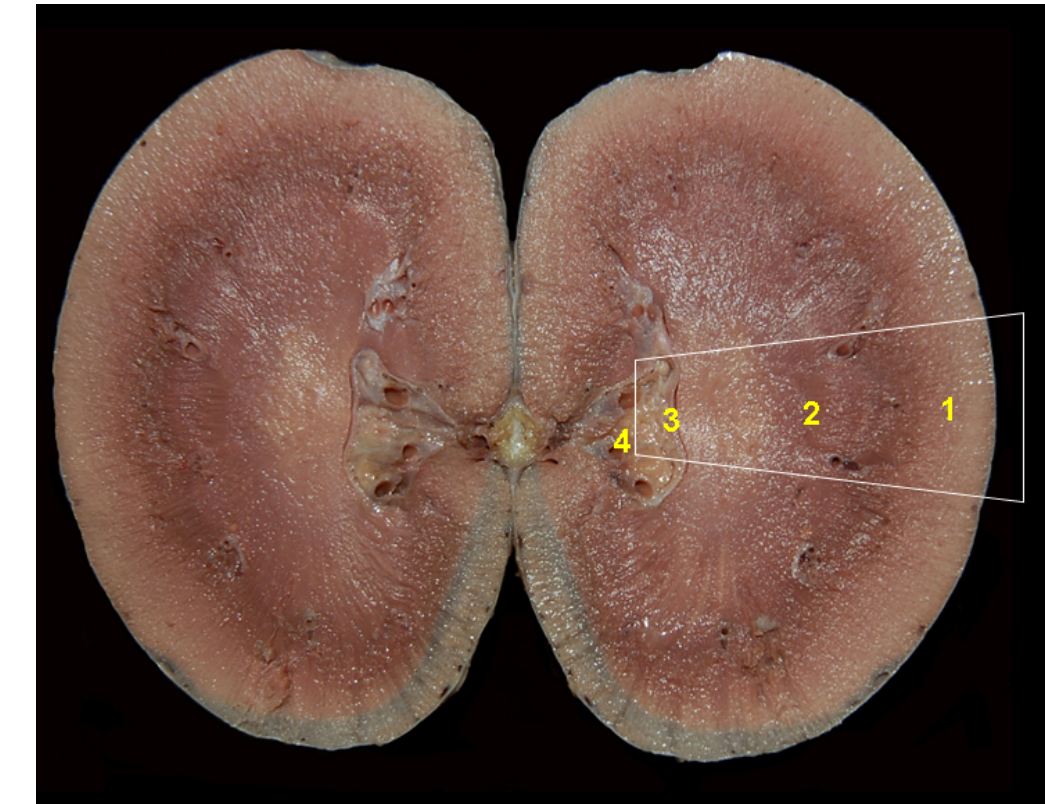


Figura 5.55 - Corte dorsal del riñón del jaguar (*Panthera onca*). Se ha indicado la posición de un lóbulo renal. 1. Corteza; 2. Pirámide renal (médula); 3. Cresta renal; 4. Pelvis renal.

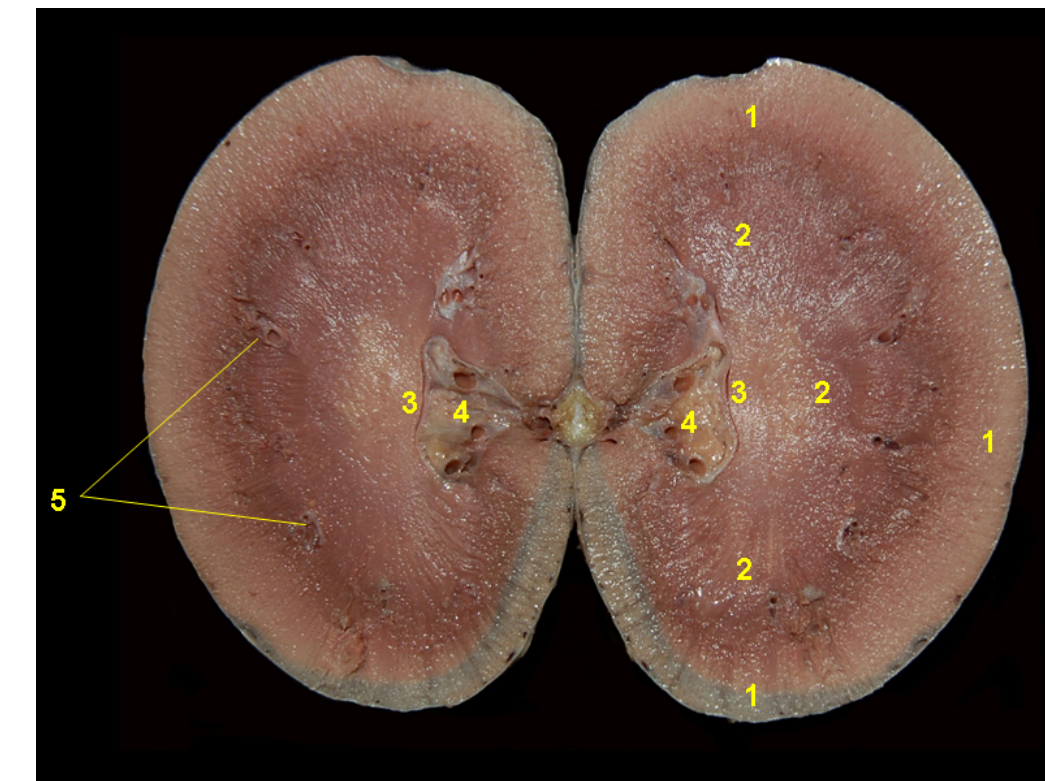


Figura 5.56 - Corte dorsal del riñón del jaguar (*Panthera onca*). 1. Corteza; 2. Médula; 3. Cresta renal; 4. Pelvis renal; 5. Vasos interlobulares.



COATÍ DE COLA ANILLADA (*Nasua nasua*)

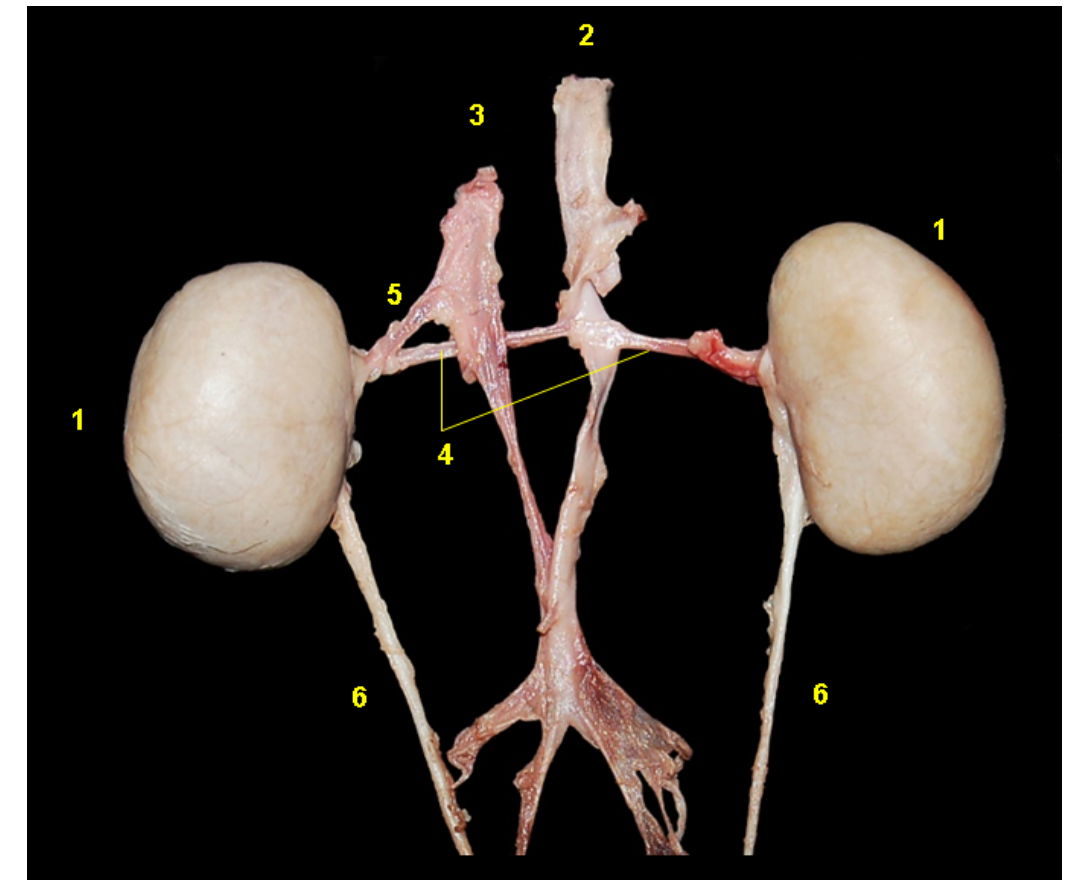


Figura 5.57 - Visión ventral de los órganos urinarios del coatí de cola anillada (*Nasua nasua*). 1. Riñones; 2. Aorta abdominal; 3. Vena cava caudal; 4. Arterias renales; 5. Vena renal; 6. Uréteres.

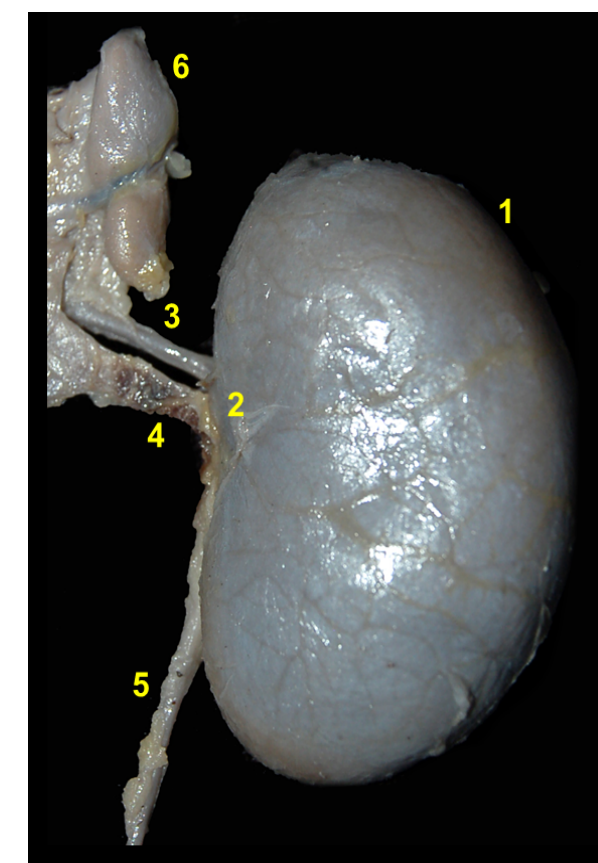


Figura 5.58 - Visión dorsal del riñón del coatí de cola anillada (*Nasua nasua*). 1. Riñón; 2. Hilio renal; 3. Arteria renal; 4. Vena renal; 5. Uréter; 6. Glándula adrenal.

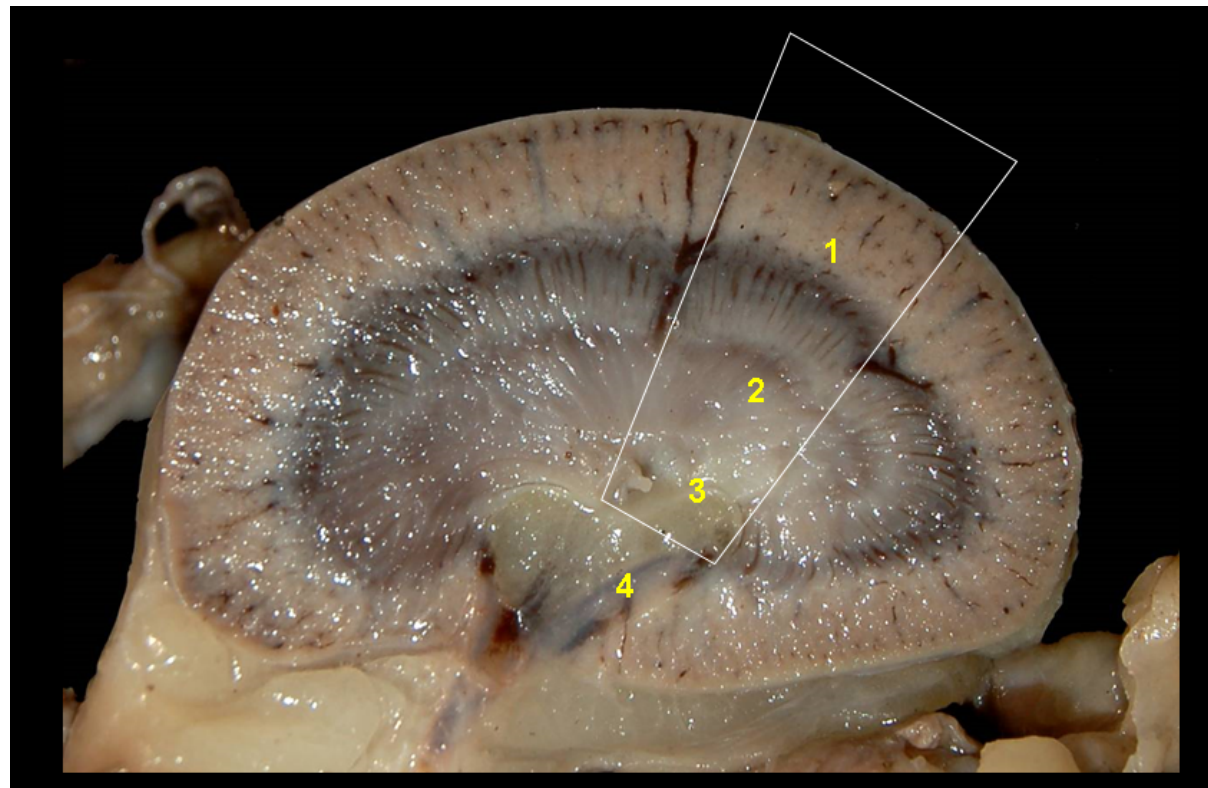


Figura 5.59 - Corte dorsal del riñón del coati de cola anillada (*Nasua nasua*). Se ha indicado la posición de un lóbulo renal. 1. Corteza; 2. Pirámide renal (médula); 3. Cresta renal; 4. Pelvis renal.



Figura 5.60 - Corte longitudinal de la glándula adrenal del coati de cola anillada (*Nasua nasua*). 1. Corteza; 2. Médula.

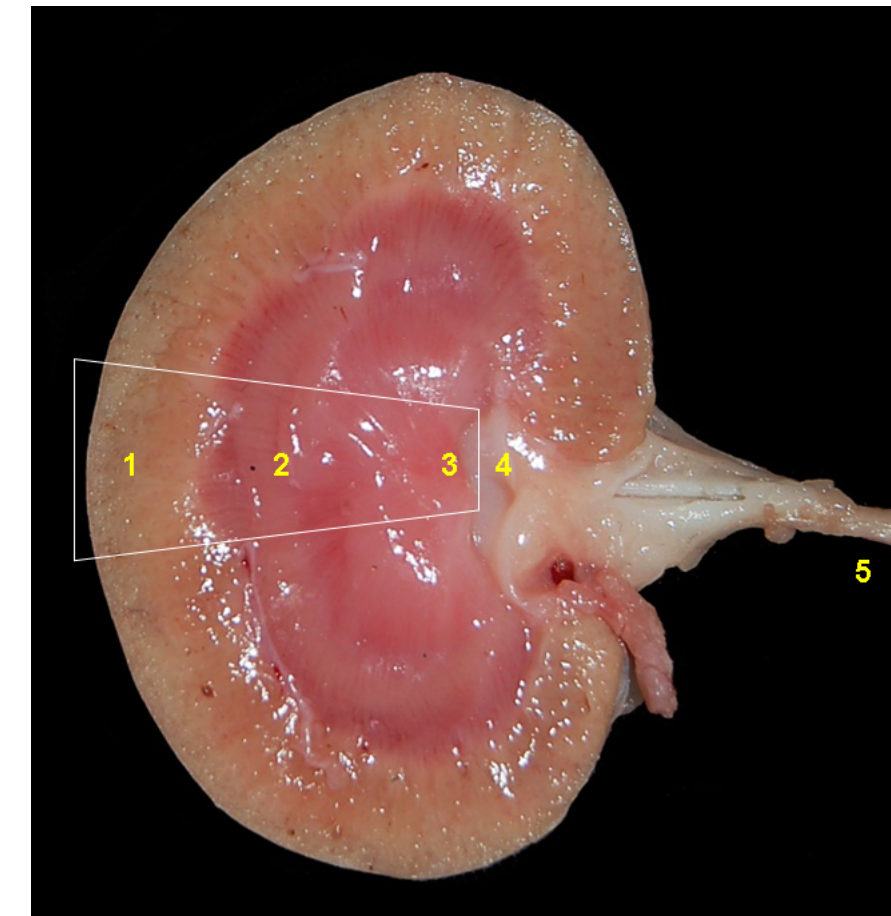


Figura 5.61 - Corte dorsal del riñón del coati de cola anillada (*Nasua nasua*). Se ha indicado la posición de un lóbulo renal. 1. Corteza; 2. Pirámide renal (médula); 3. Cresta renal; 4. Pelvis renal; 5. Uréter.

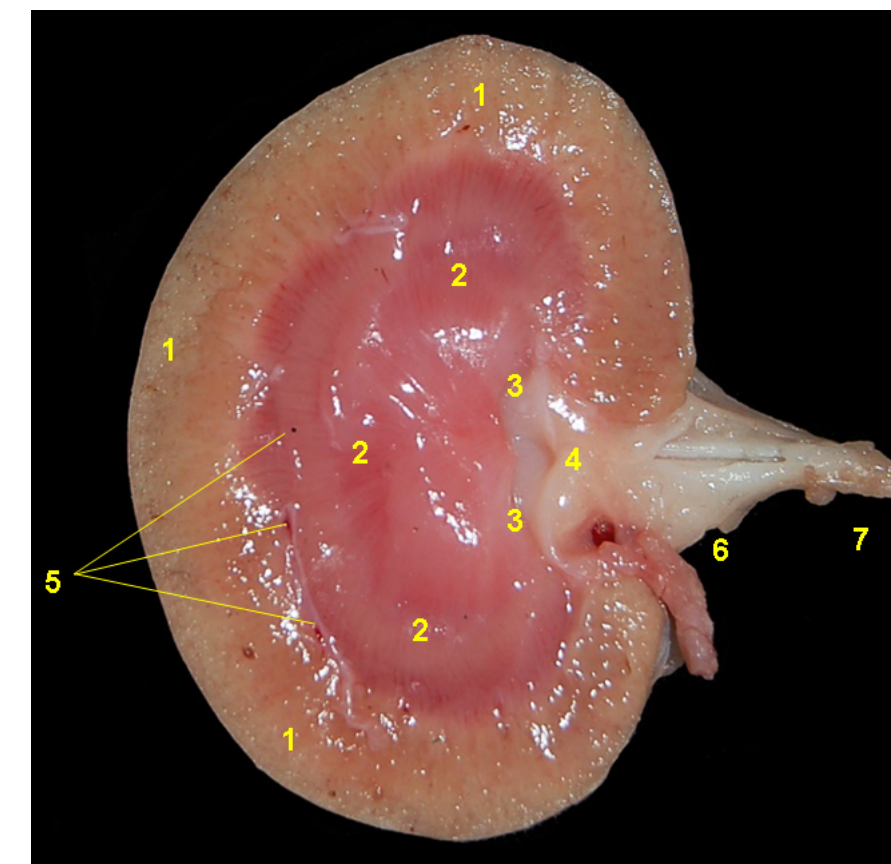


Figura 5.62 - Corte dorsal del riñón del coati de cola anillada (*Nasua nasua*). 1. Corteza; 2. Médula; 3. Cresta renal; 4. Pelvis renal; 5. Vasos interlobulares; 6. Hilario renal; 7. Uréter.



KINKAJOU (*Potos flavus*)

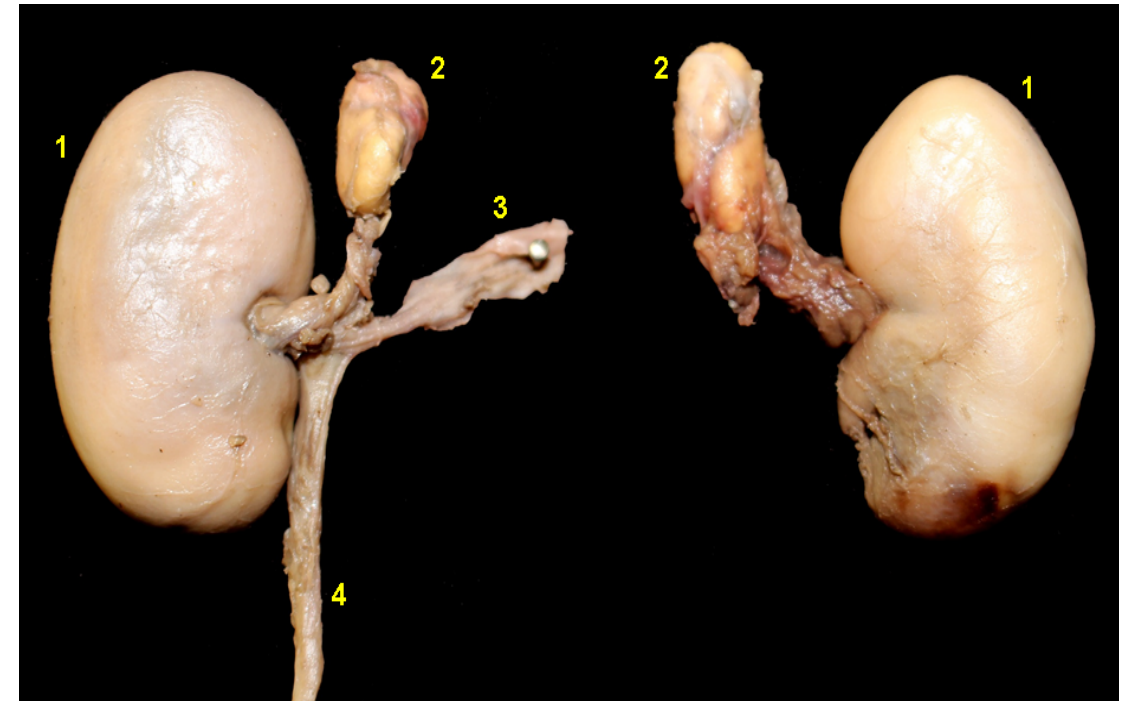


Figura 5.63 - Visión ventral de los riñones del kinkajou (*Potos flavus*). 1. Riñones; 2. Glándulas adrenales; 3. Arteria renal; 4. Uréter.

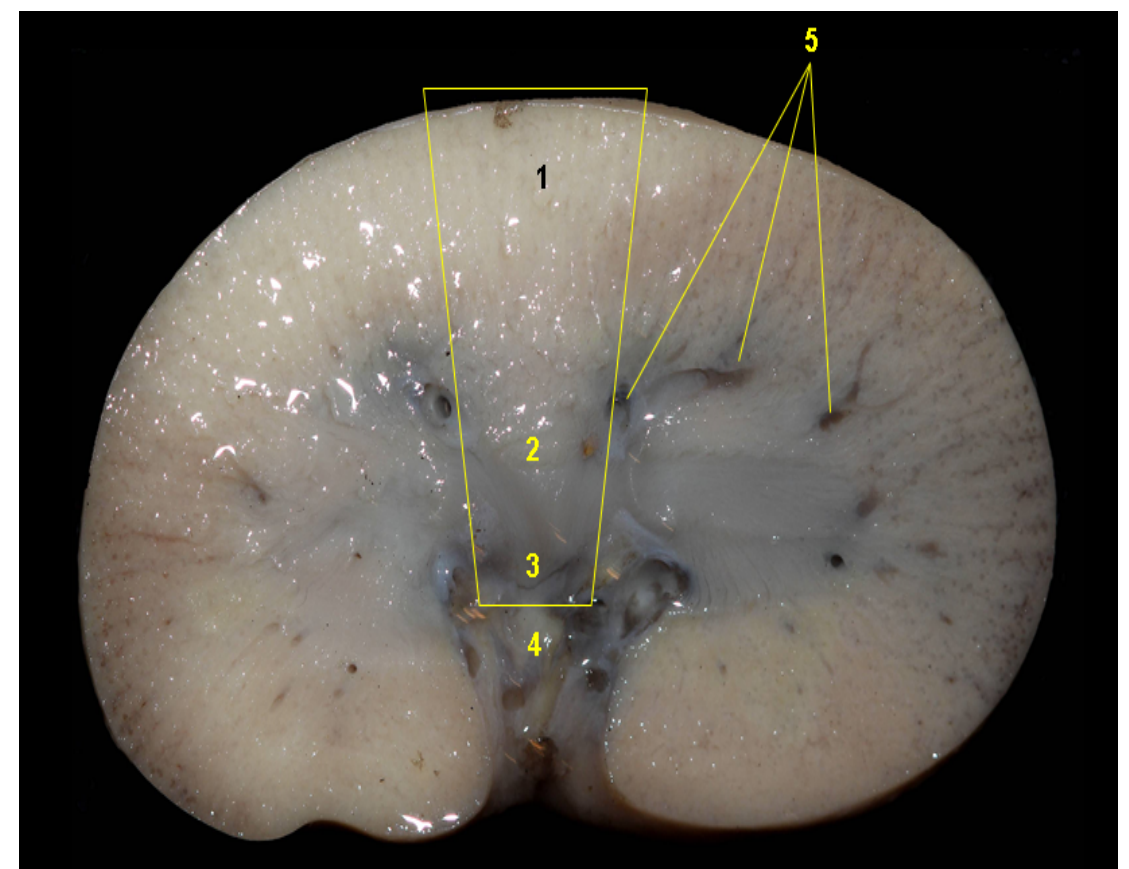


Figura 5.64 - Corte dorsal del riñón del kinkajou (*Potos flavus*). Se ha indicado la posición de un lóbulo renal. 1. Corteza; 2. Pirámide renal (médula); 3. Cresta renal; 4. Pelys renal; 5. Vasos interlobulares.



NUTRIA GIGANTE (*Pteronura brasiliensis*)

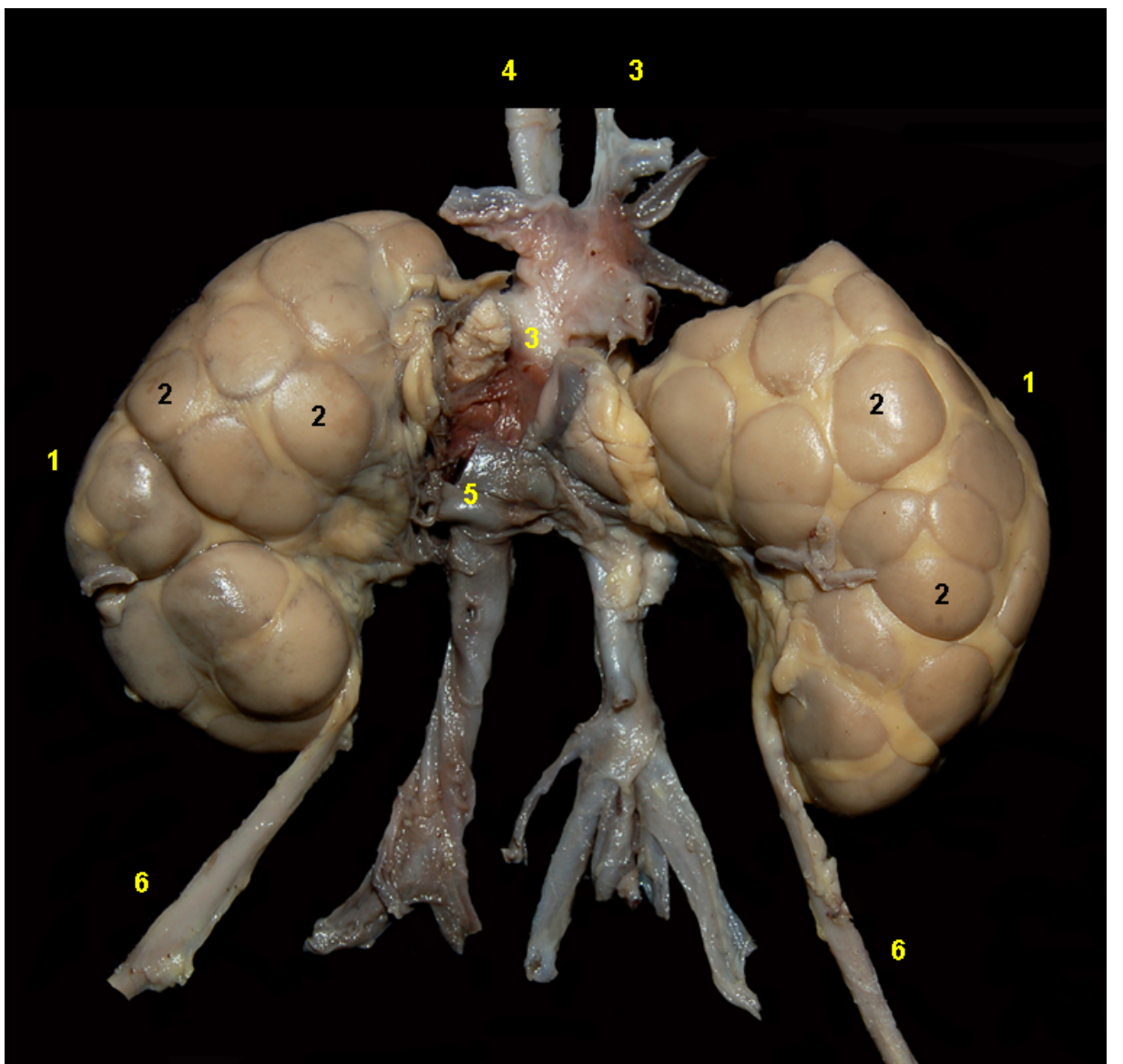


Figura 5.65 - Visión ventral de los órganos urinarios de la nutria gigante (*Pteronura brasiliensis*). 1. Riñones; 2. Lóbulos renales; 3. Aorta abdominal; 4. Vena cava caudal; 5. Arteria renal; 6. Uréteres.

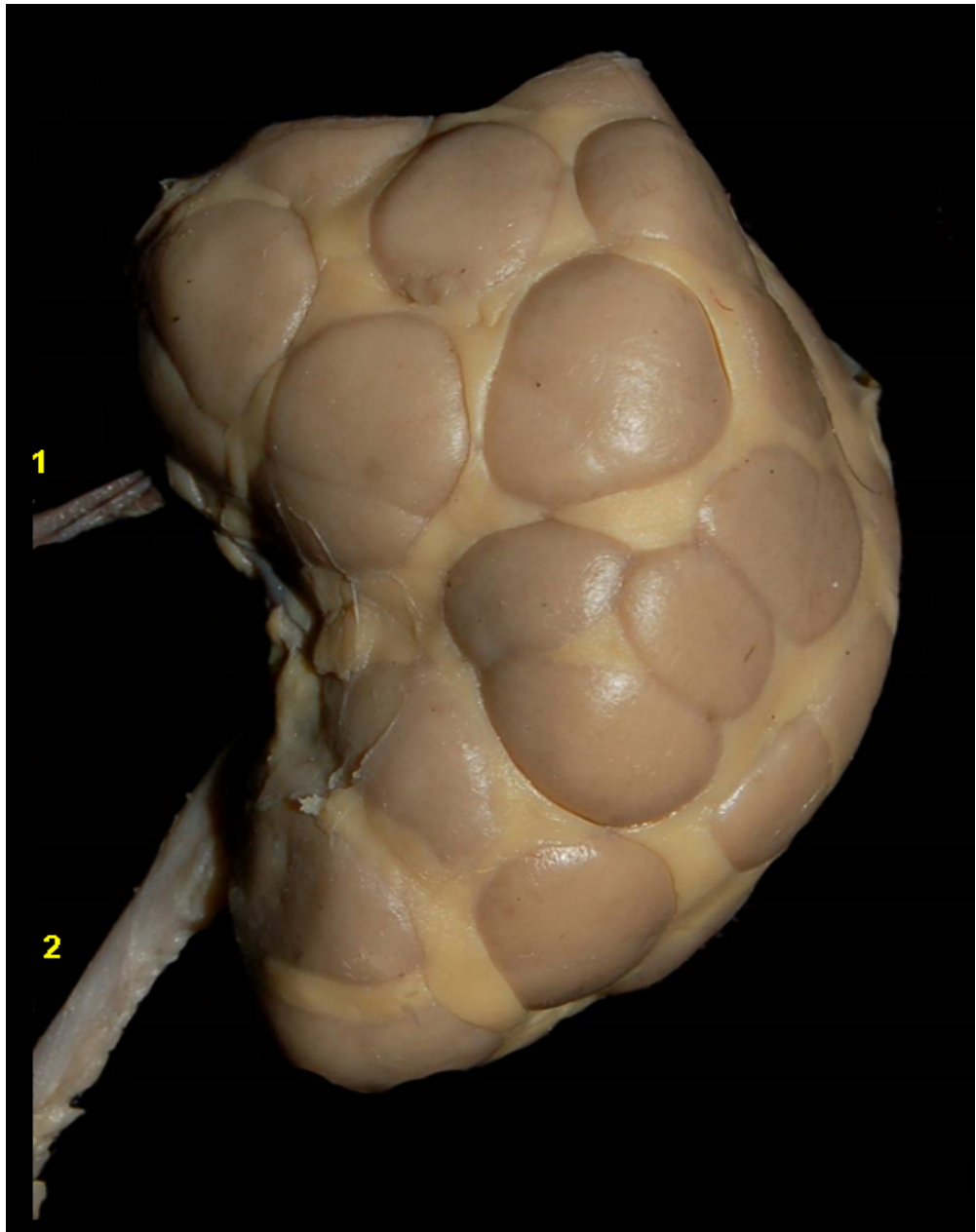


Figura 5.66 - Visión dorsal del riñón de la nutria gigante (*Pteronura brasiliensis*). 1. Arteria renal; 2. Uréter.

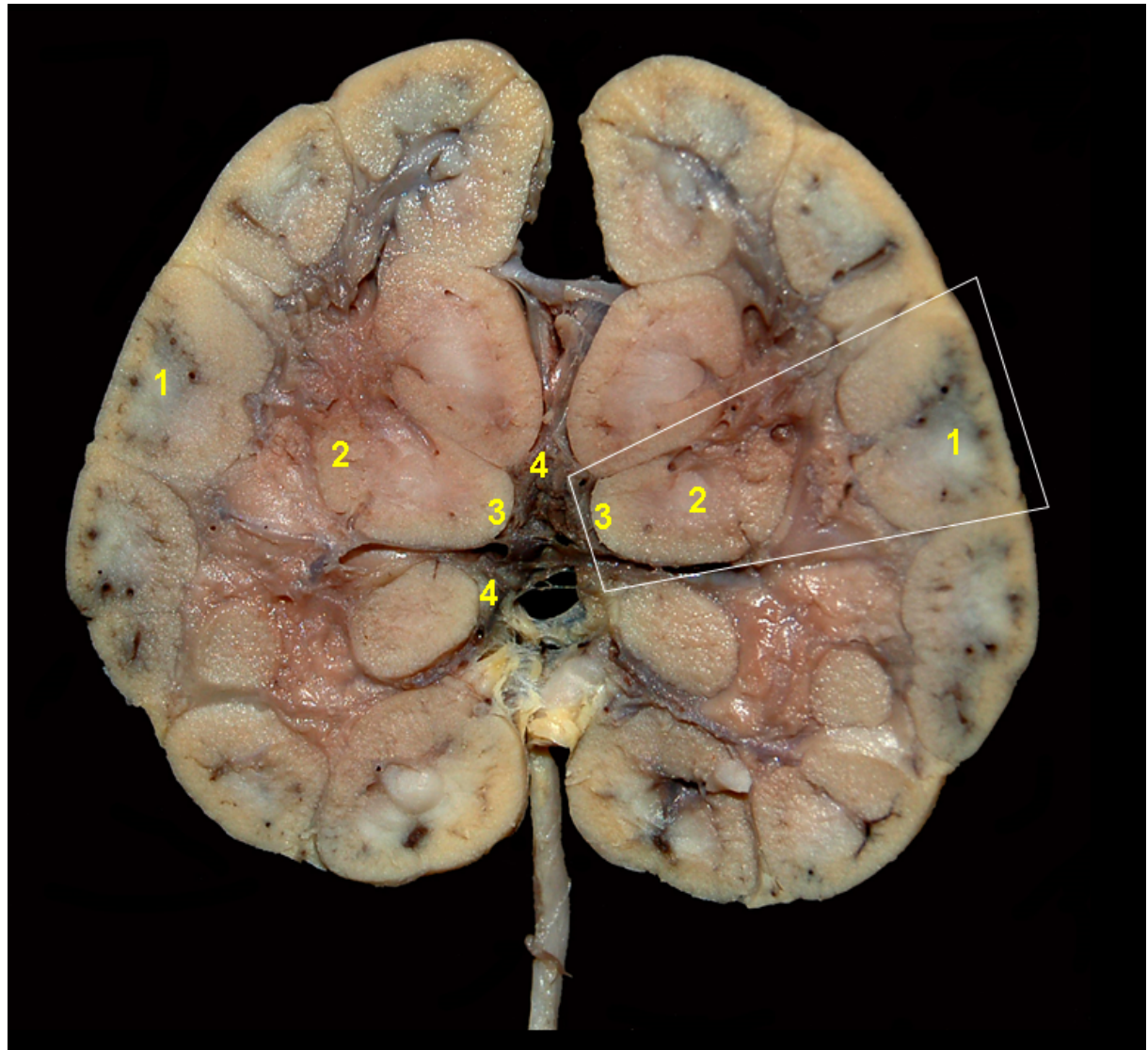


Figura 5.67 - Corte dorsal del riñón de la nutria gigante (*Pteronura brasiliensis*). Se ha indicado la posición de un lóbulo renal. 1. Corteza; 2. Pirámide renal (médula); 3. Papila renal; 4. Cálix renal.



MONO MACHÍN BLANCO (*Cebus albifrons*)

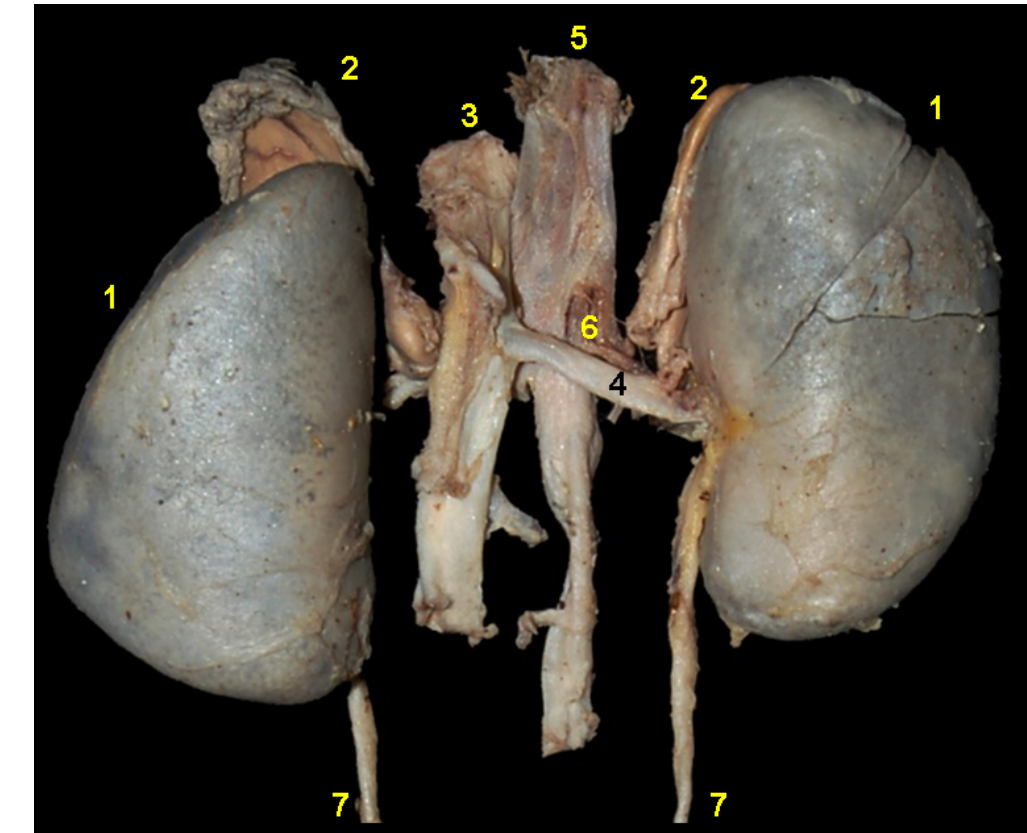


Figura 5.68 - Visión dorsal de los órganos urinarios del mono machín blanco (*Cebus albifrons*). 1. Riñones; 2. Glándulas adrenales; 3. Aorta abdominal; 4. Arteria renal; 5. Vena cava caudal; 6. Vena renal; 7. Uréteres.

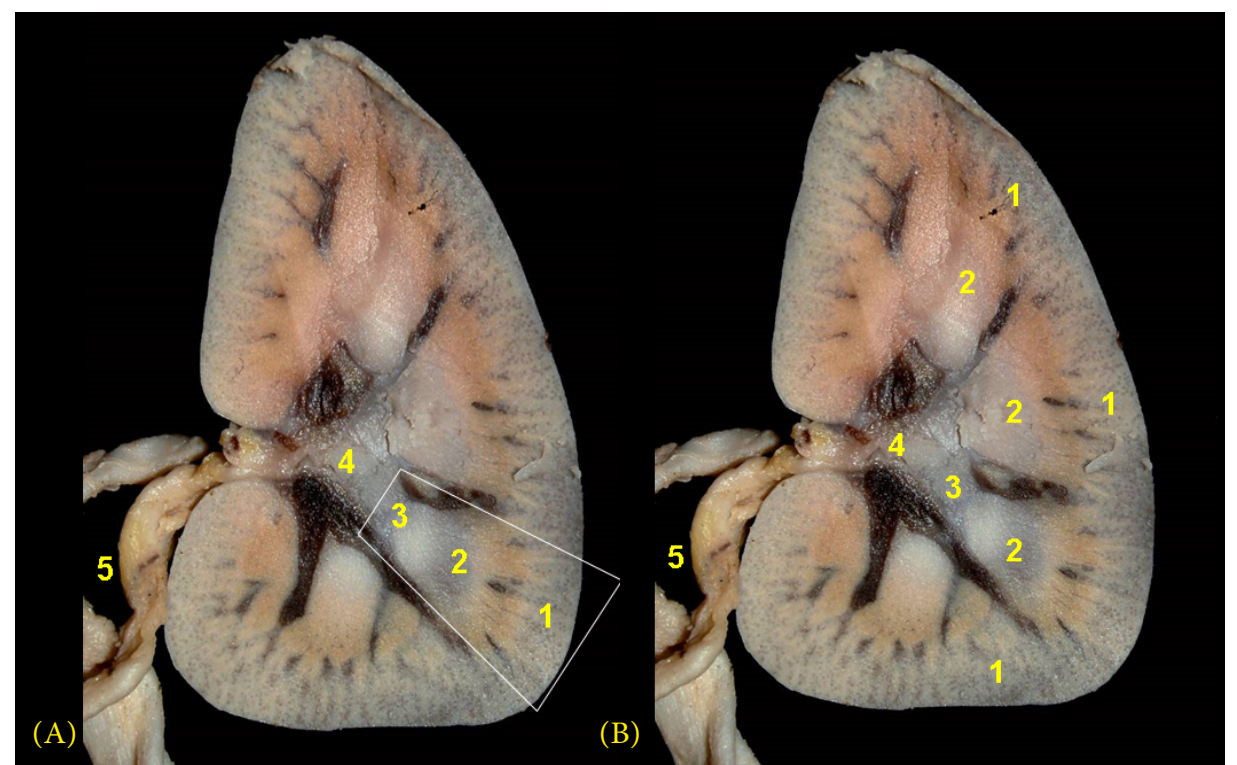


Figura 5.69 - A y B - Corte dorsal del riñón del mono machín blanco (*Cebus albifrons*). Se ha indicado la posición de un lóbulo renal. 1. Corteza; 2. Pirámide renal (médula); 3. Papila renal; 4. Pelvis renal; 5. Uréter.



MONO MACHÍN NEGRO

(Sapajus macrocephalus)

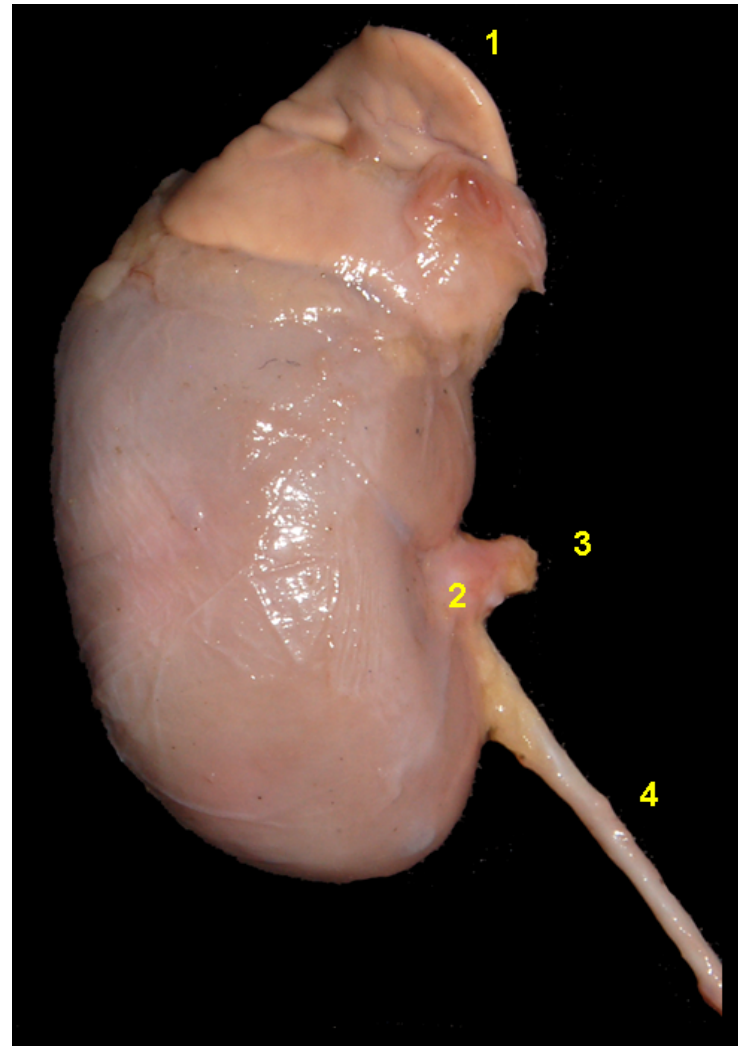


Figura 5.70 - Visión dorsal del riñón del mono machín negro (*Sapajus macrocephalus*). 1. Glándula adrenal; 2. Hilio; 3. Arteria renal; 4. Uréter.

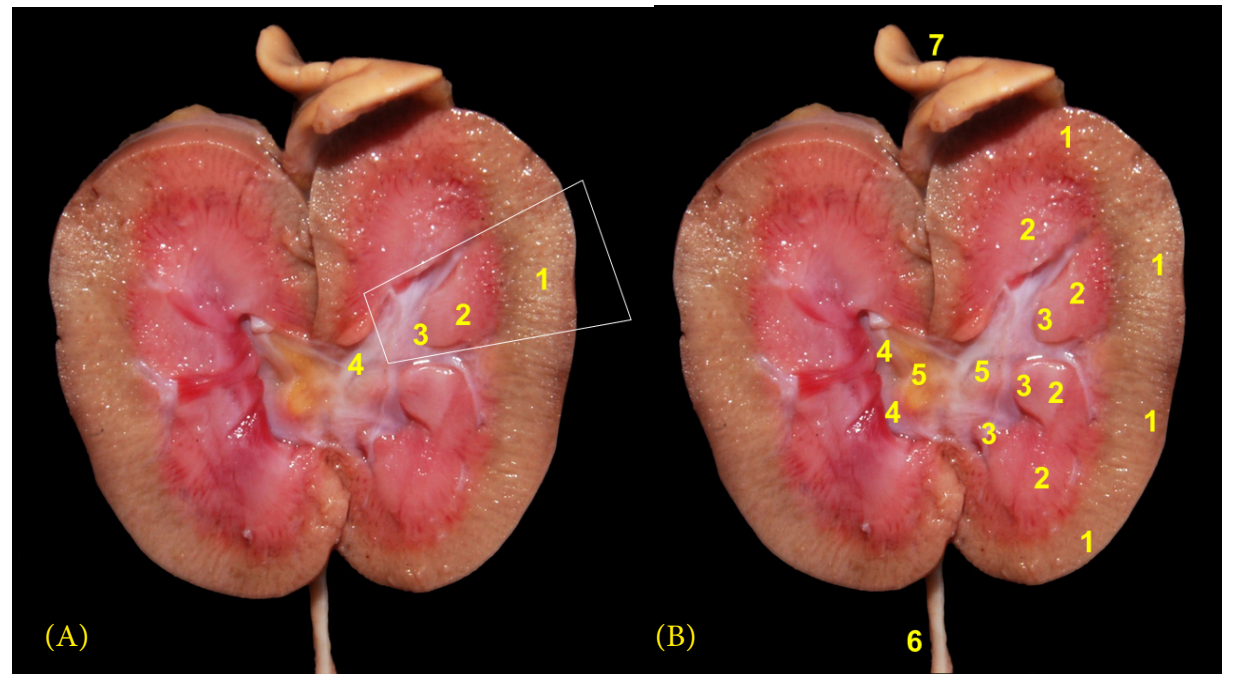


Figura 5.71 - A y B - Corte dorsal del riñón del mono machín negro (*Sapajus macrocephalus*). Se ha indicado la posición de un lóbulo renal. 1. Corteza; 2. Pirámide renal (médula); 3. Papila renal; 4. Cáliz renal; 5. Pelvis renal; 6. Uréter; 7. Glándula adrenal.



MONO BARRIGUDO

(Lagothrix poeppigii)

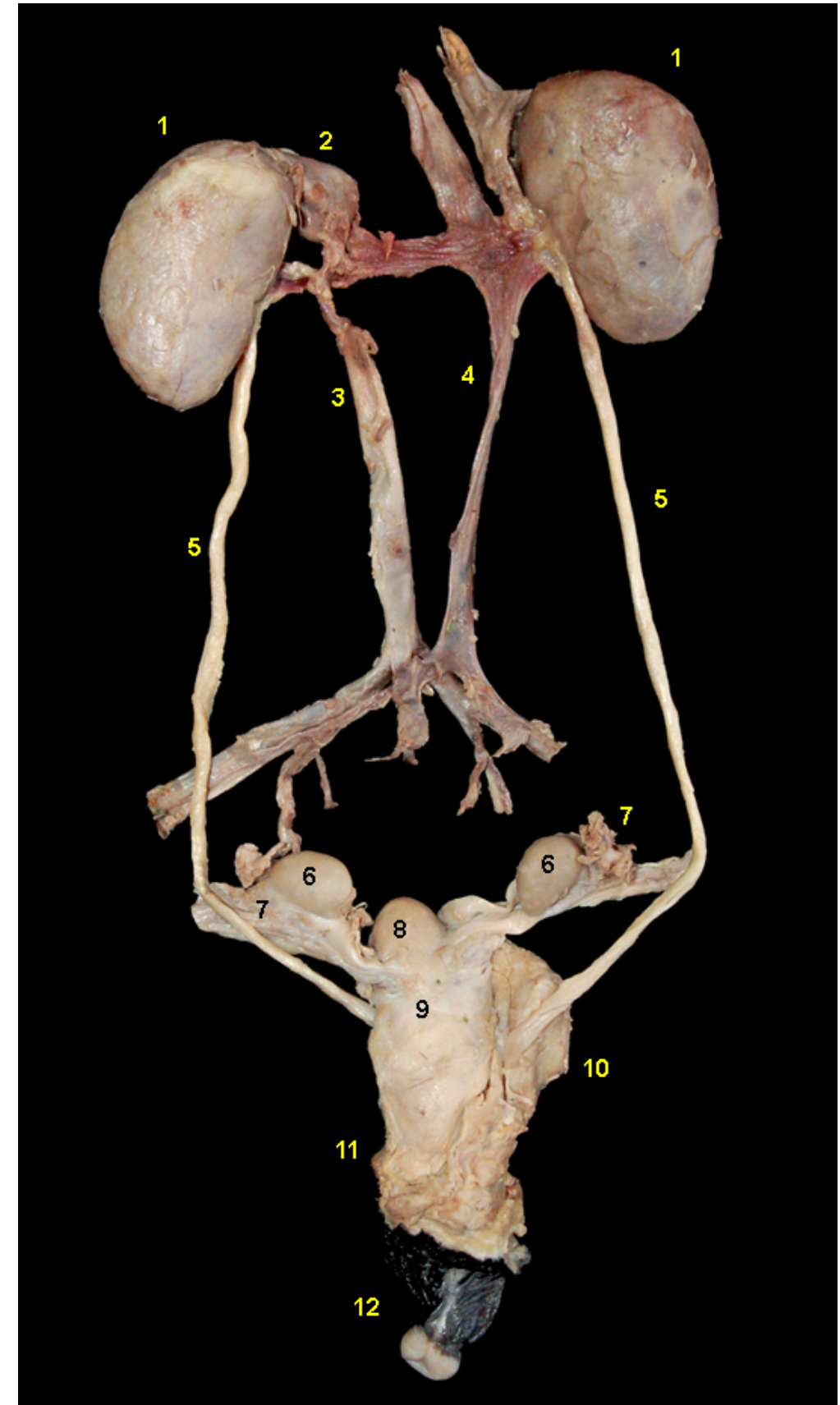


Figura 5.72 - Visión dorsal de los órganos urogenitales femeninos del mono barrigudo (*Lagothrix poeppigii*). 1. Riñones; 2. Glándula adrenal; 3. Arteria renal; 4. Vena renal; 5. Uréteres; 6. Ovarios; 7. Trompa uterina; 8. Cuerpo uterino gestante; 9. Cuello uterino; 10. Vejiga urinaria; 11. Vagina; 12. Vulva.

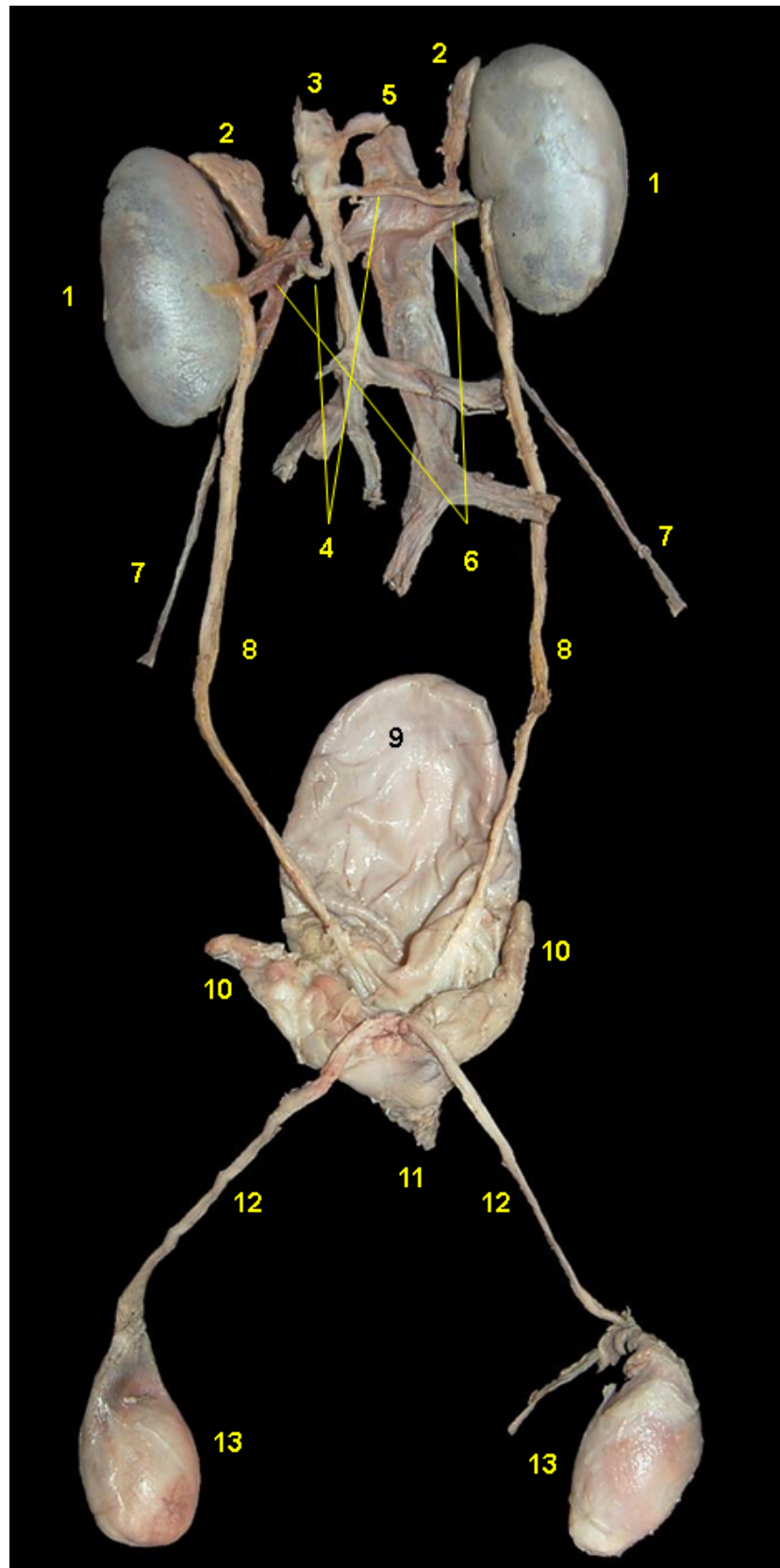


Figura 5.73 - Visión dorsal de los órganos urogenitales masculinos del mono barrigudo (*Lagothrix poeppigii*). 1. Riñones; 2. Glándulas adrenales; 3. Aorta abdominal; 4. Arterias renales; 5. Vena cava caudal; 6. Venas renales; 7. Venas testiculares; 8. Uréteres; 9. Vejiga urinaria; 10. Glándulas vesiculares; 11. Uretra; 12. Conducto deferente; 13. Testículo.

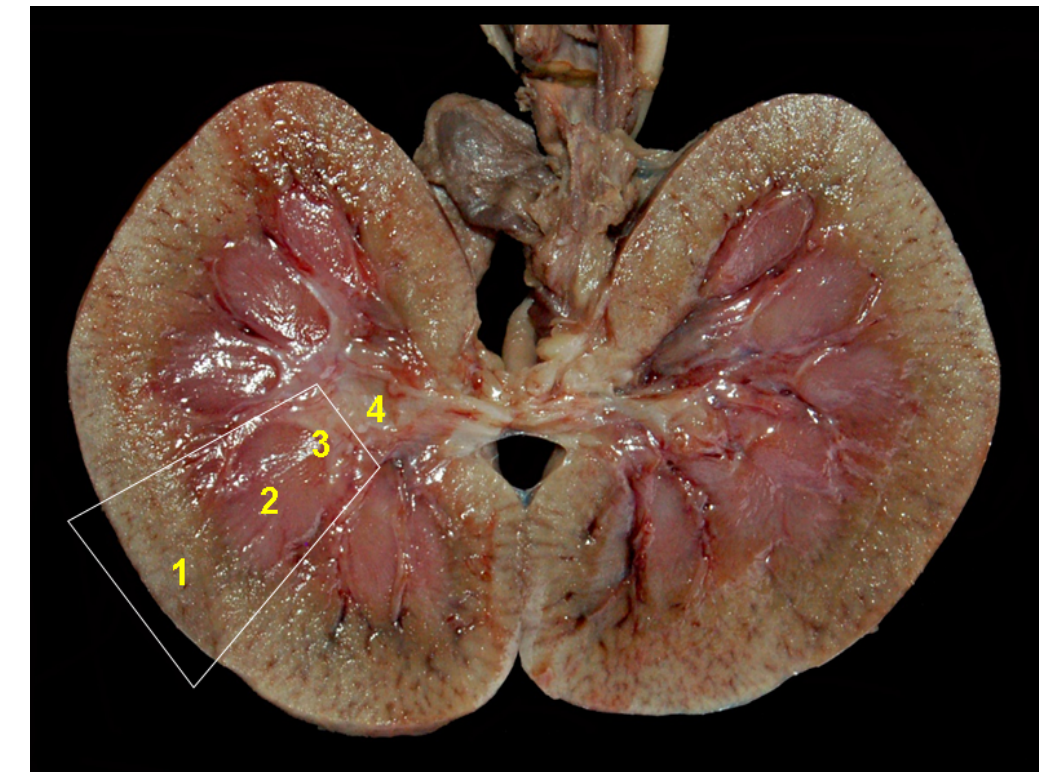


Figura 5.74 - Corte dorsal del riñón del mono barrigudo (*Lagothrix poeppigii*). Se ha indicado la posición de un lóbulo renal. 1. Corteza; 2. Pirámide renal (médula); 3. Papila renal y cáliz renal; 4. Pelvis renal.

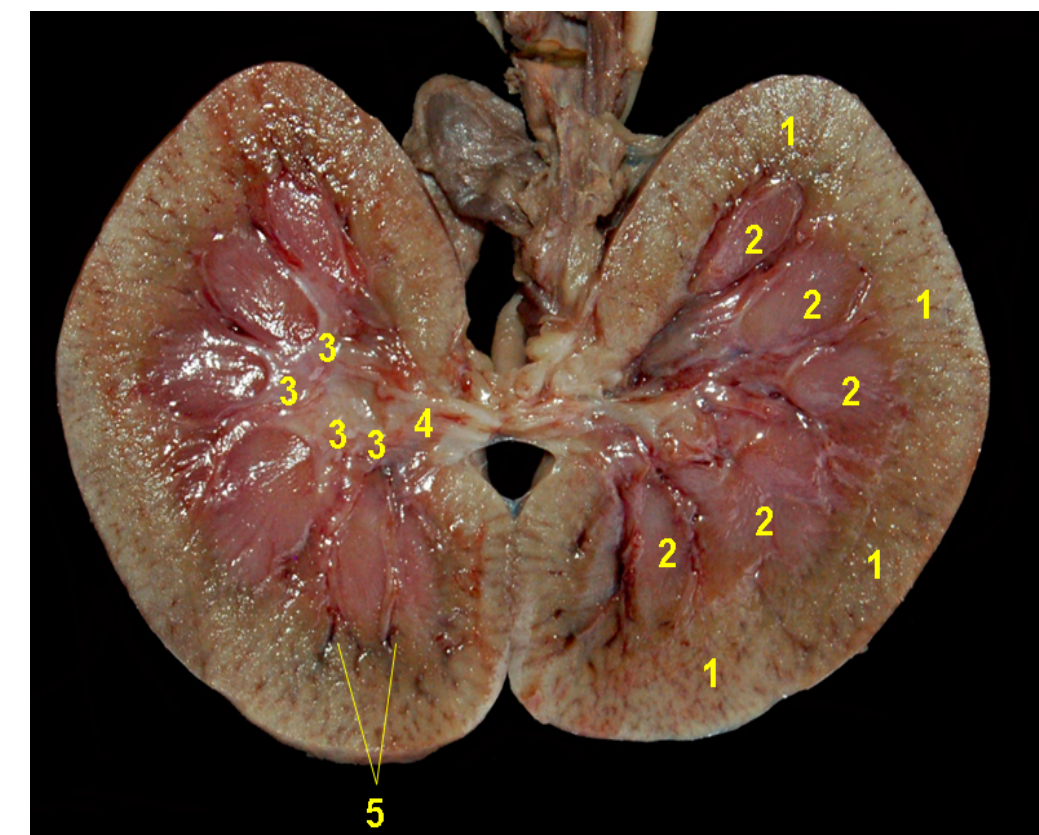


Figura 5.75 - Corte dorsal del riñón del mono barrigudo (*Lagothrix poeppigii*). 1. Corteza; 2. Médula; 3. Cáliz renal; 4. Pelvis renal; 5. Vasos interlobulares.



MONO AULLADOR (*Alouatta seniculus*)

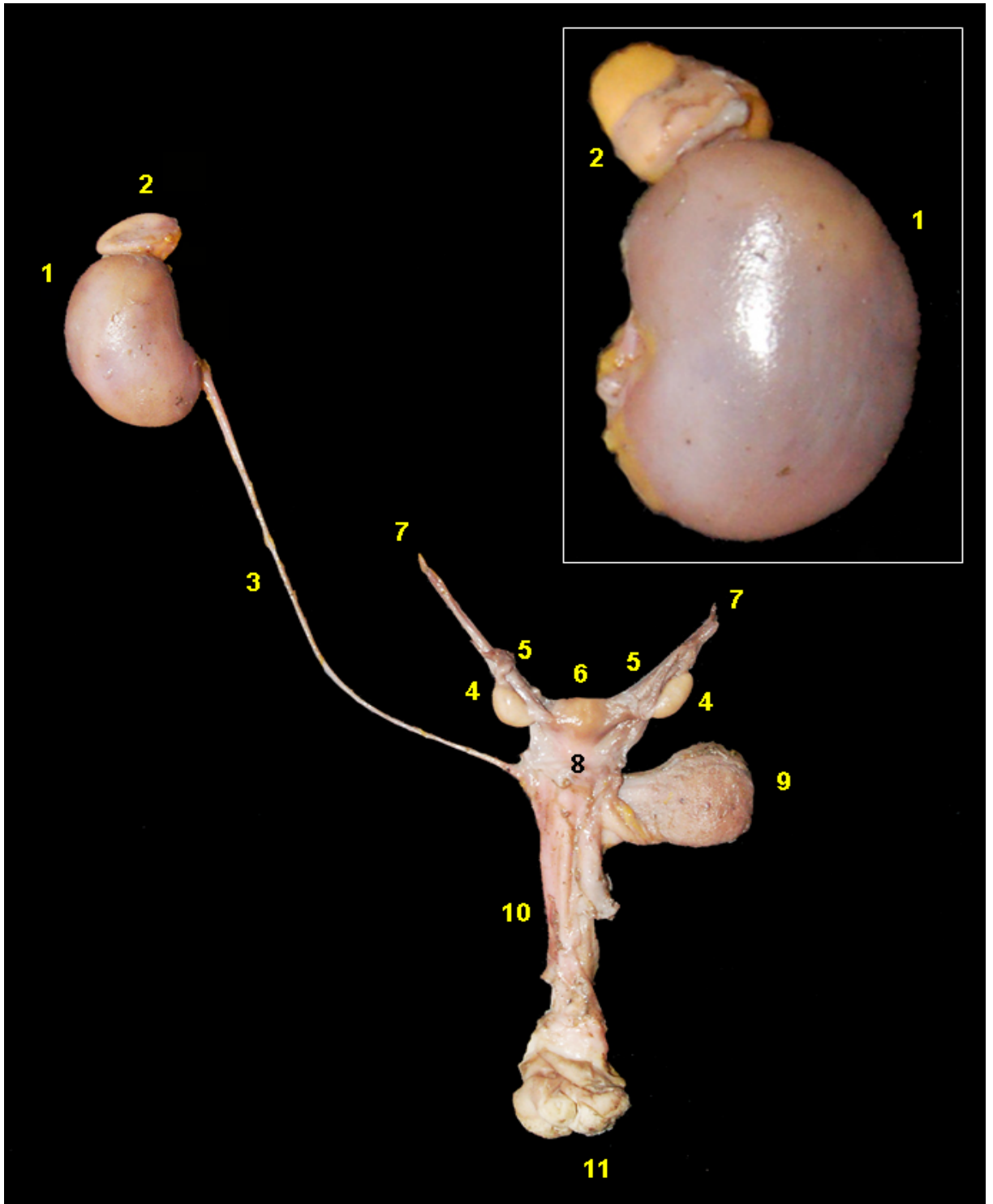


Figura 5.76 - Visión dorsal de los órganos urogenitales femeninos del mono aullador (*Alouatta seniculus*). 1. Riñón; 2. Glándula adrenal; 3. Uréter; 4. Ovarios; 5. Trompa uterina; 6. Cuello uterino; 7. Ligamento suspensorio; 8. Cuello uterino; 9. Vejiga urinaria; 10. Vagina; 11. Vulva.

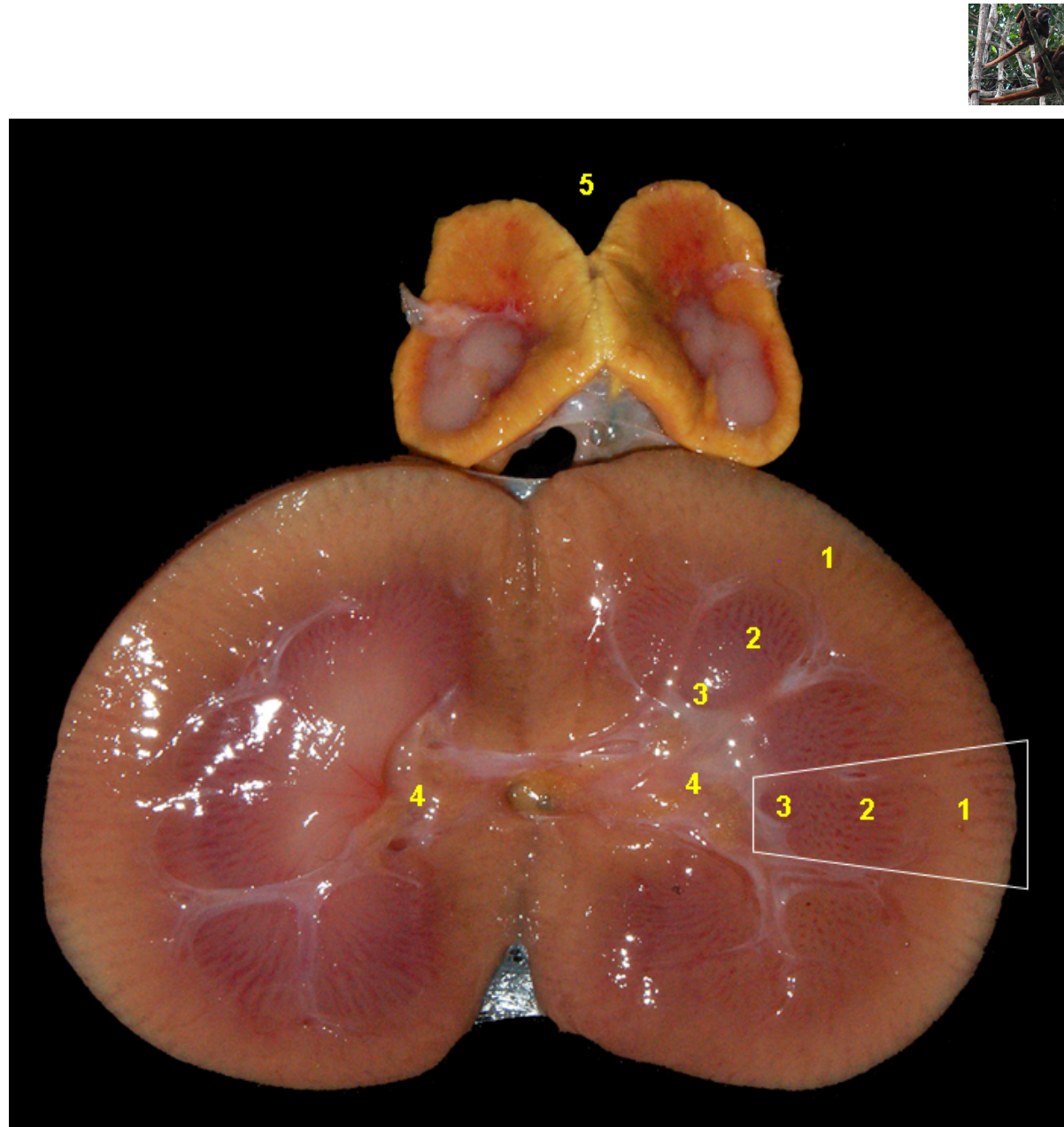


Figura 5.77 - Corte dorsal del riñón del mono aullador (*Alouatta seniculus*). Se ha indicado la posición de un lóbulo renal. 1. Corteza; 2. Pirámide renal (médula); 3. Papila renal y cálix renal; 4. Pelvis renal; 5. Glándula adrenal.

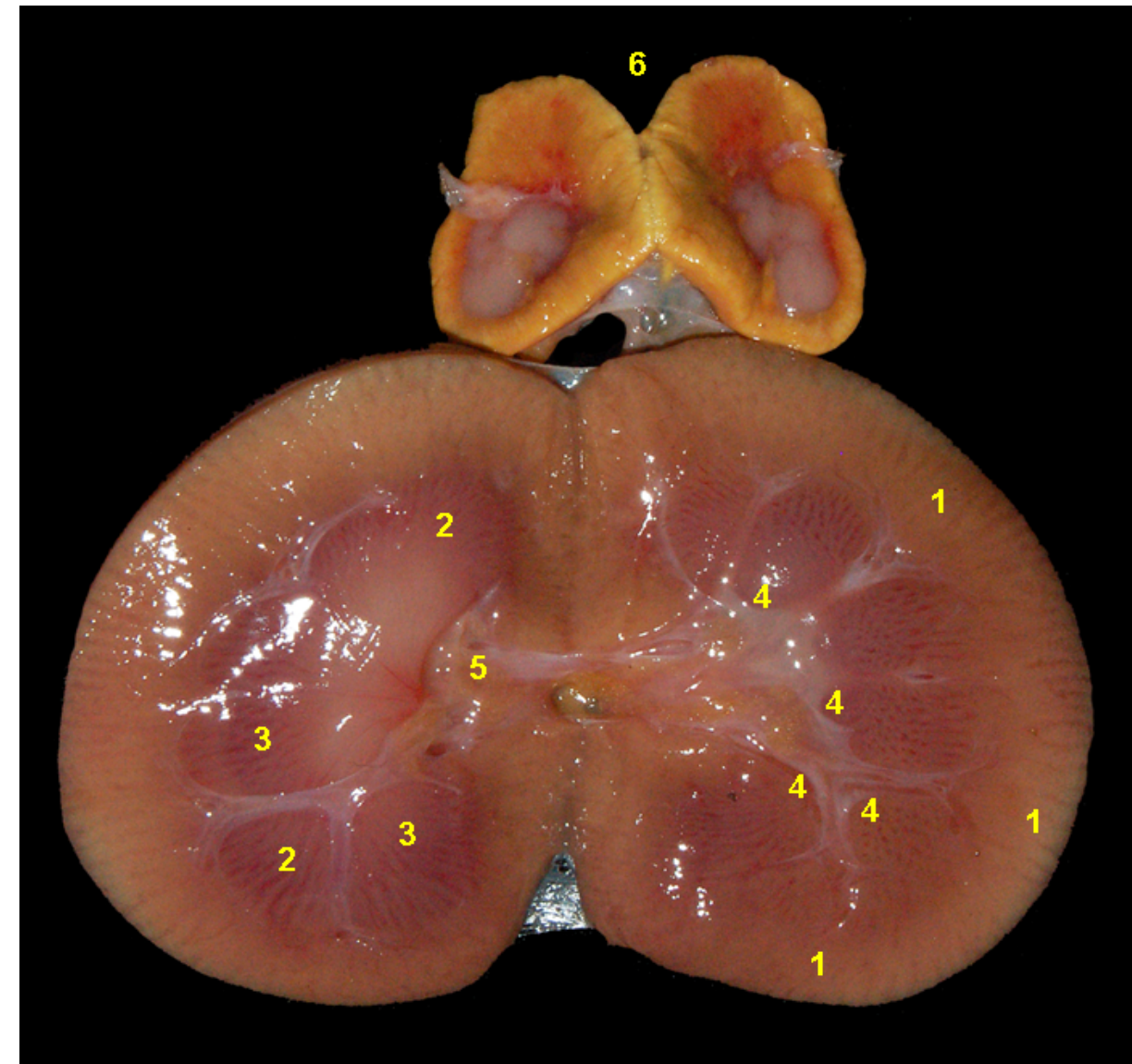


Figura 5.78 - Corte dorsal del riñón del mono aullador (*Alouatta seniculus*). 1. Corteza; 2. Pirámide renal; 3. Médula; 4. Papila renal y cálix renal; 5. Pelvis renal; 6. Glándula adrenal.



MONO ARAÑA

(Ateles chamek)

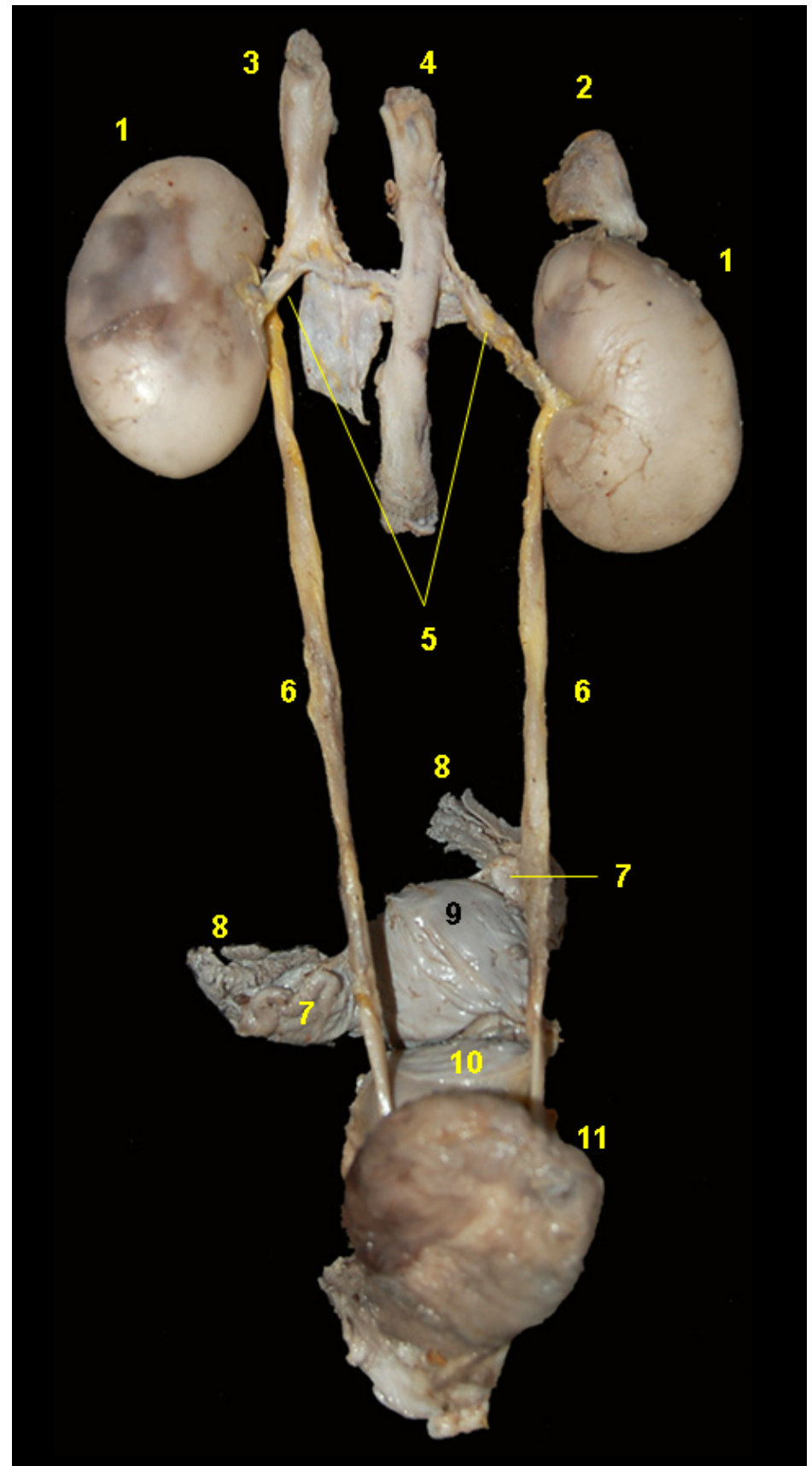


Figura 5.79 - Visión ventral de los órganos urogenitales femeninos del mono araña (*Ateles chamek*). 1. Riñones; 2. Glándula adrenal; 3. Vena cava caudal; 4. Aorta abdominal; 5. Arterias y venas renales; 6. Uréteres; 7. Ovarios; 8. Trompa uterina; 9. Cuerpo uterino; 10. Cuello uterino; 11. Vejiga urinaria.



Figura 5.80 - Visión dorsal del riñón del mono araña (*Ateles chamek*). 1. Glándula adrenal; 2. Arteria renal; 3. Hilio renal; 4. Uréteres.

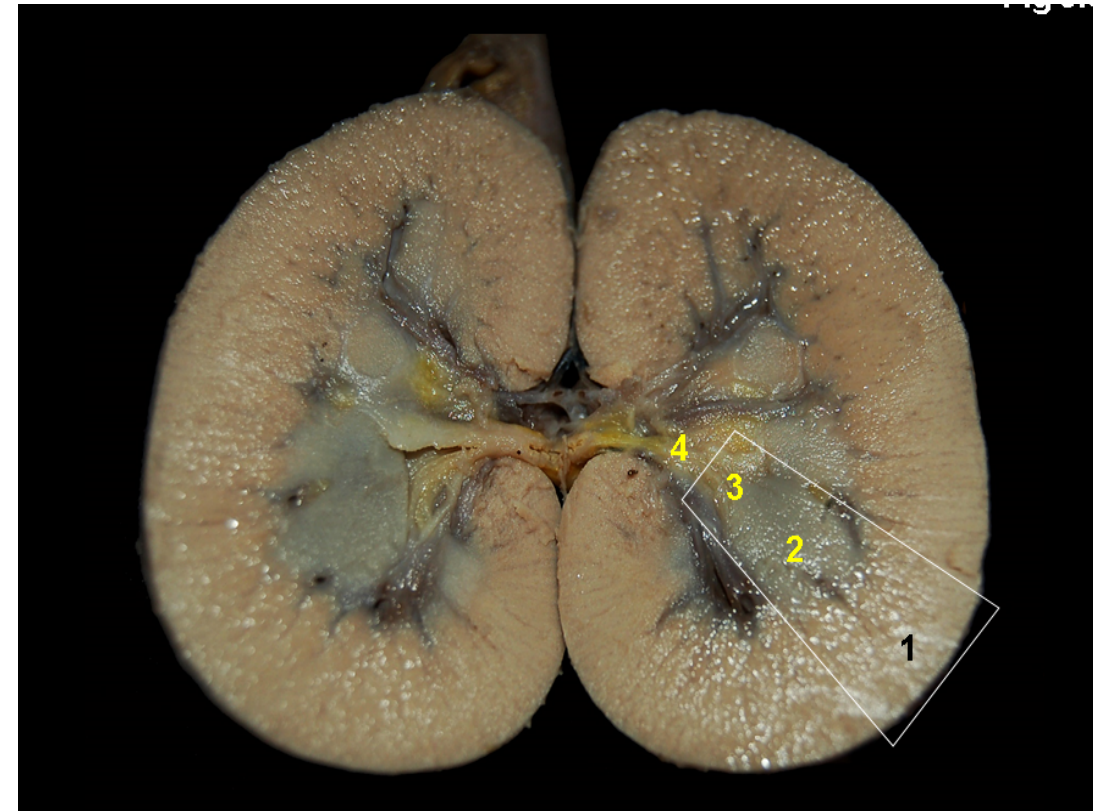


Figura 5.81 - Corte dorsal del riñón del mono araña (*Ateles chamek*). Se ha indicado la posición de un lóbulo renal. 1. Corteza; 2. Pirámide renal (médula); 3. Papila renal y cáliz renal; 4. Pelvis renal.

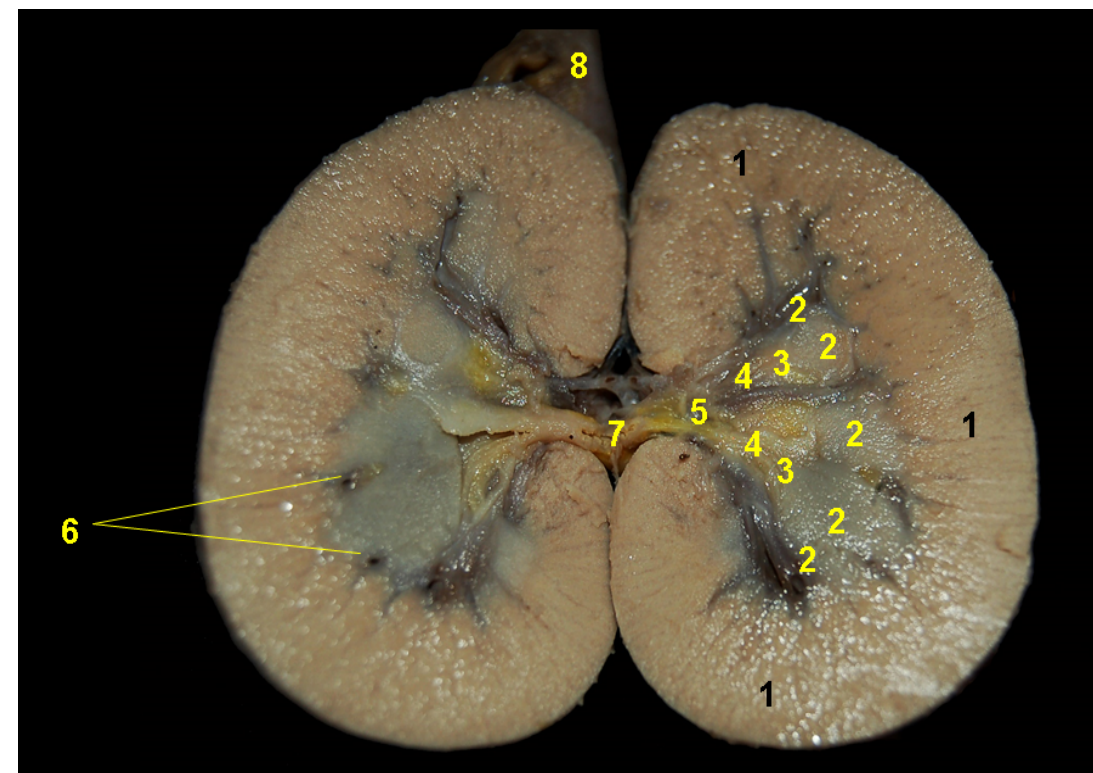


Figura 5.82 - Corte dorsal del riñón del mono araña (*Ateles chamek*). 1. Corteza; 2. Médula; 3. Papila renal; 4. Cáliz renal; 5. Pelvis renal; 6. Vasos interlobulares; 7. Hilio; 8. Glándula adrenal.



MONO FRAILE

(Saimiri macrodon)

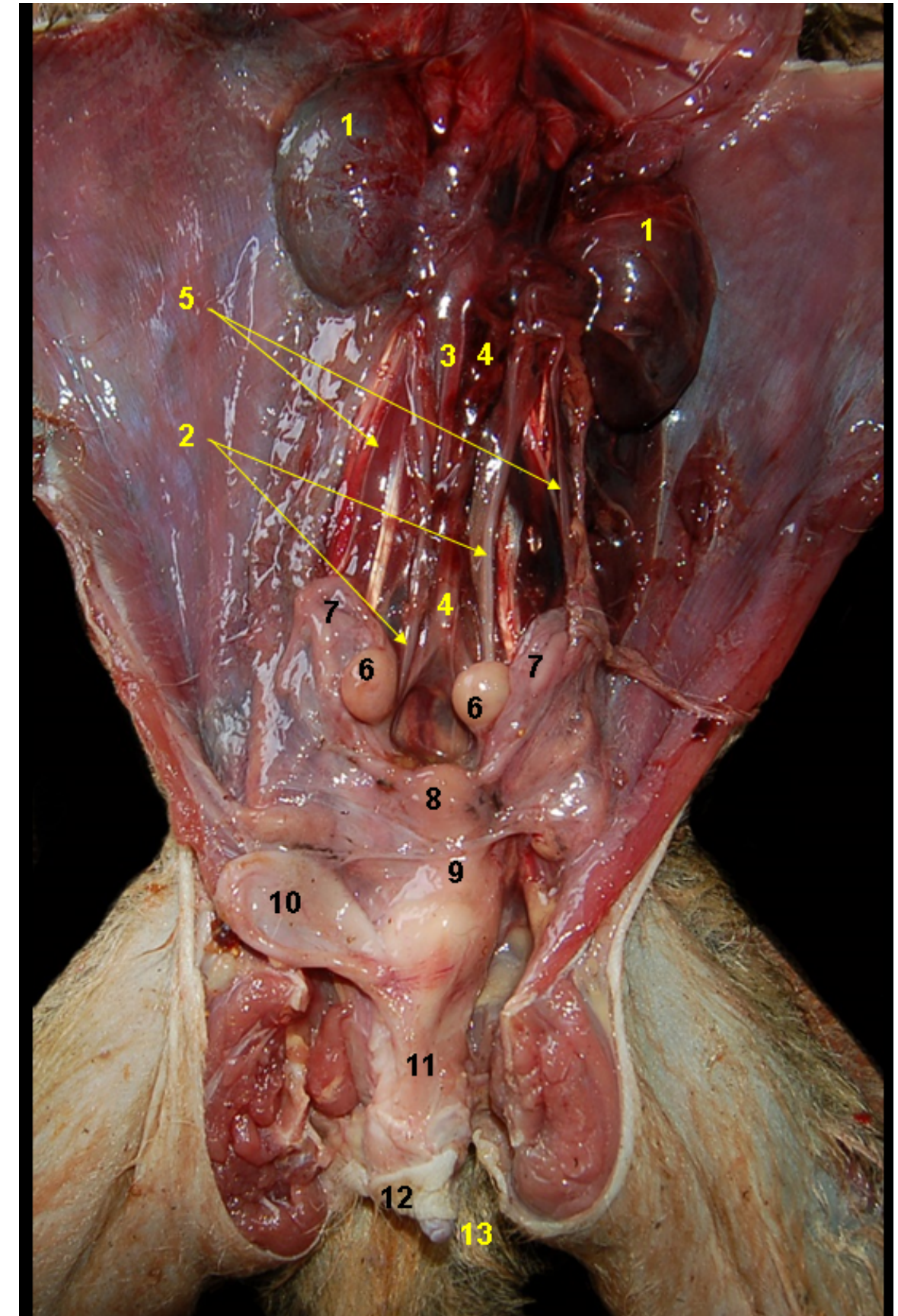


Figura 5.83 - Visión ventral *in situ* de los órganos urogenitales femeninos del mono fraile (*Saimiri macrodon*). 1. Riñones; 2. Uréteres; 3. Vena cava caudal. 4. Aorta abdominal; 5. Arterias ováricas; 6. Ovarios; 7. Trompa uterina; 8. Cuerpo uterino; 9. Cuello uterino; 10. Vejiga urinaria; 11. Vagina; 12. Vulva; 13. Clítoris.



Figura 5.84 - Visión dorsal de los órganos urogenitales femeninos del mono fraile (*Saimiri macrodon*). 1. Riñones; 2. Aorta abdominal; 3. Arterias renales; 4. Vena renal; 5. Uréteres; 6. Ovarios; 7. Trompa uterina; 8. Cuerpo uterino; 9. Cuello uterino; 10. Vagina.

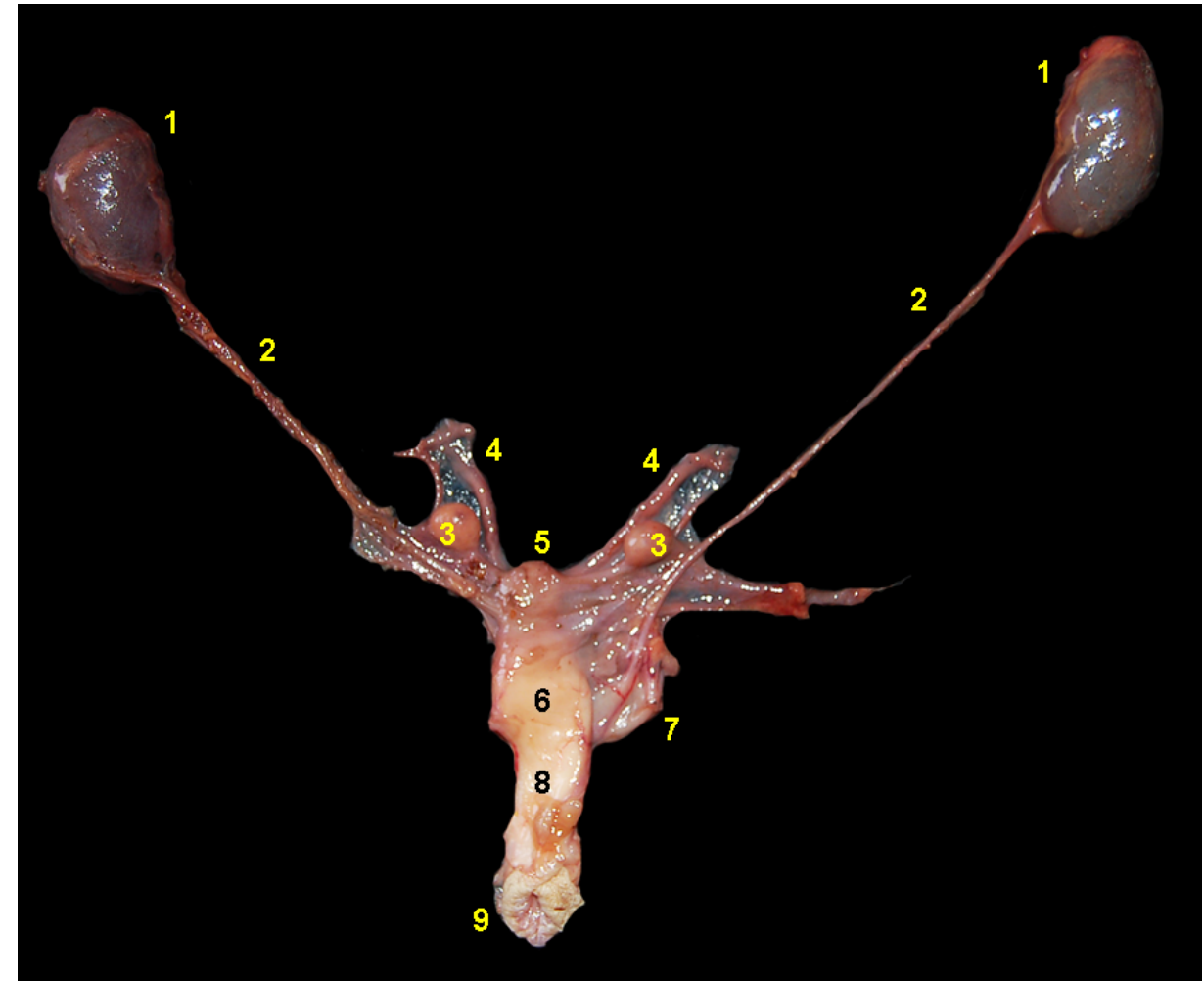


Figura 5.85 - Visión dorsal de los órganos urogenitales femeninos del mono fraile (*Saimiri macrodon*). 1. Riñones; 2. Uréteres; 3. Ovarios; 4. Trompa uterina; 5. Cuerpo uterino; 6. Cuello uterino; 7. Vejiga urinaria; 8. Vagina; 9. Vulva.

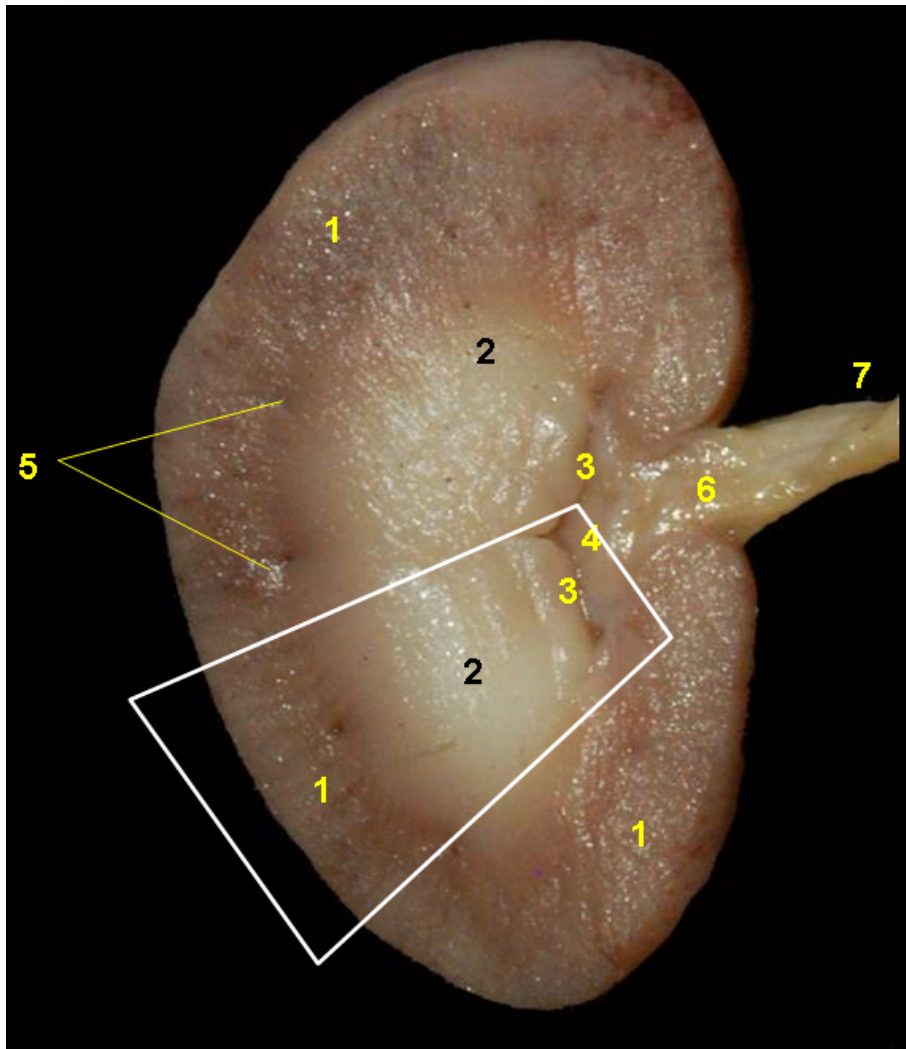


Figura 5.86 - Corte dorsal del riñón del mono fraile (*Saimiri macrodon*). Se ha indicado la posición de un lóbulo renal. 1. Corteza; 2. Pirámide renal (médula); 3. Papila renal; 4. Pelvis renal; 5. Vasos interlobulares; 6. Hilio; 7. Uréter.

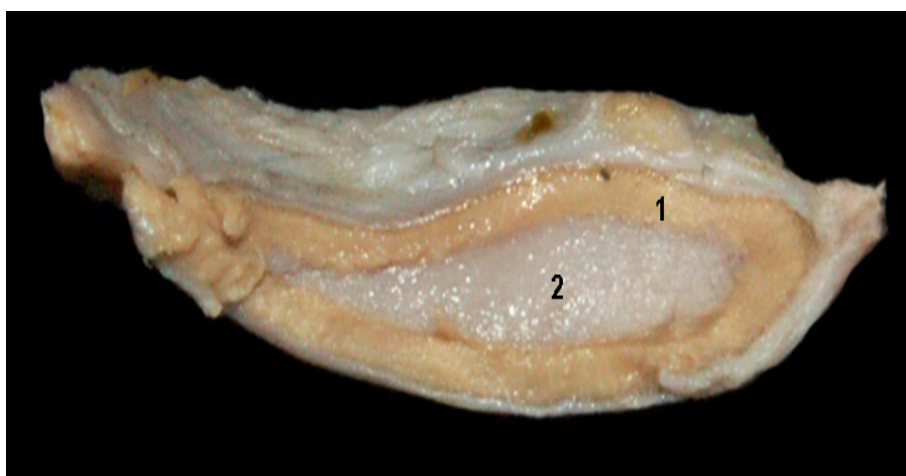


Figura 5.87 - Corte longitudinal de la glándula adrenal del mono fraile (*Saimiri macrodon*). 1. Corteza; 2. Médula.



UACÁRI ROJO (*Cacajao calvus*)

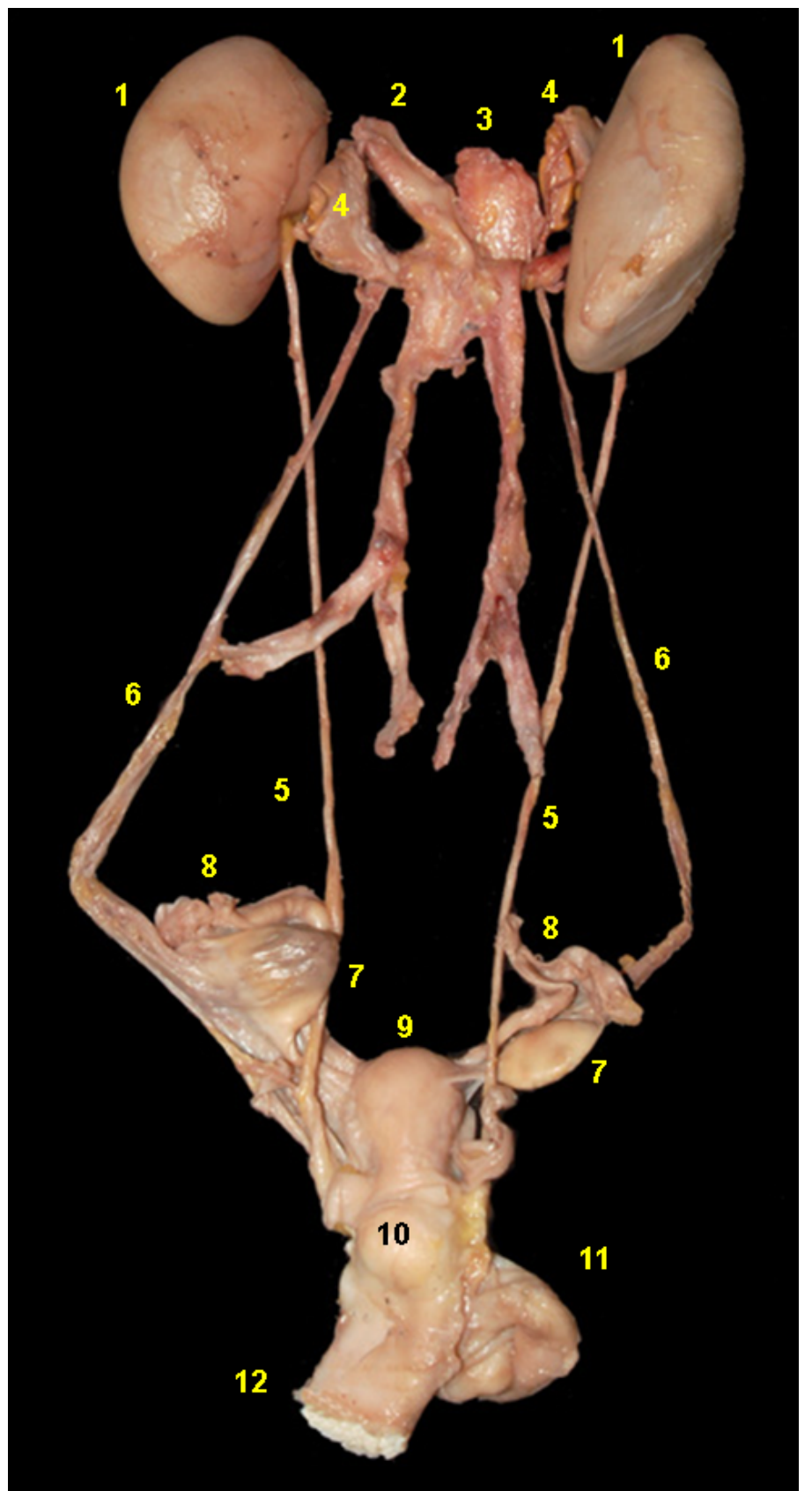


Figura 5.88 - Visión dorsal de los órganos urogenitales femeninos del uácaro rojo (*Cacajao calvus*). 1. Riñones; 2. Aorta abdominal; 3. Vena cava caudal; 4. Glándula adrenal; 5. Uréteres; 6. Arterias ováricas; 7. Ovarios; 8. Trompa uterina; 9. Cuerpo uterino; 10. Cuello uterino; 11. Vejiga urinaria; 12. Vagina.

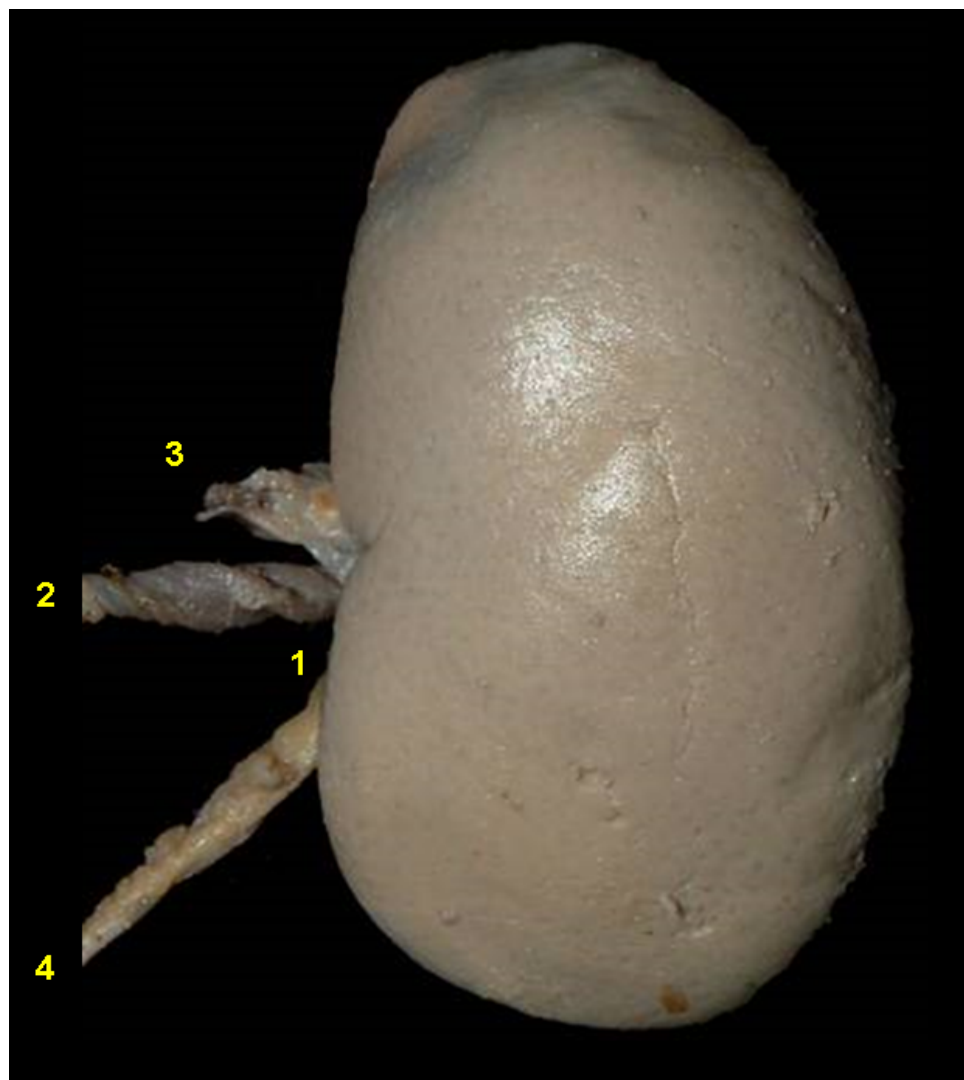
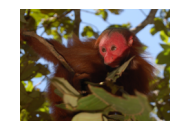
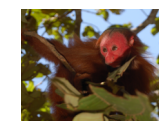


Figura 5.89 - Visión dorsal del riñón del uácaro rojo (*Cacajao calvus*). 1. Hilio renal; 2. Arteria renal; 3. Vena renal; 4. Uréter.

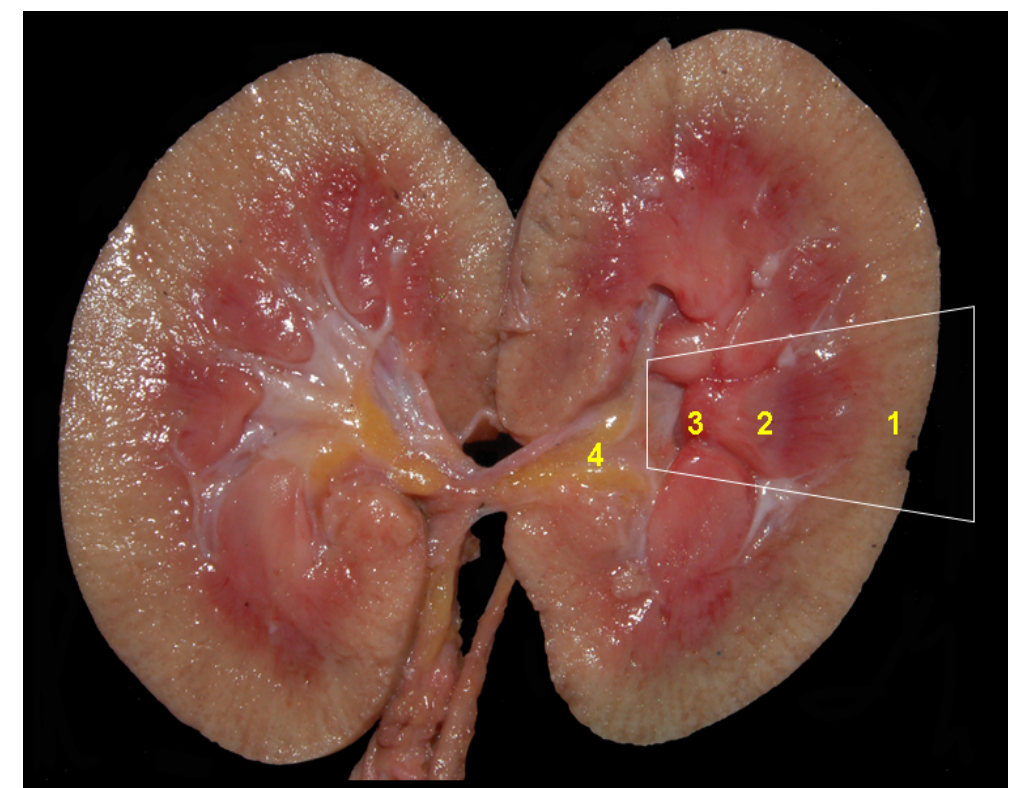


Figura 5.90 - Corte dorsal del riñón del uácaro rojo (*Cacajao calvus*). Se ha indicado la posición de un lóbulo renal. 1. Corteza; 2. Pirámide renal (médula); 3. Papila renal y cáliz renal; 4. Pelvis renal.

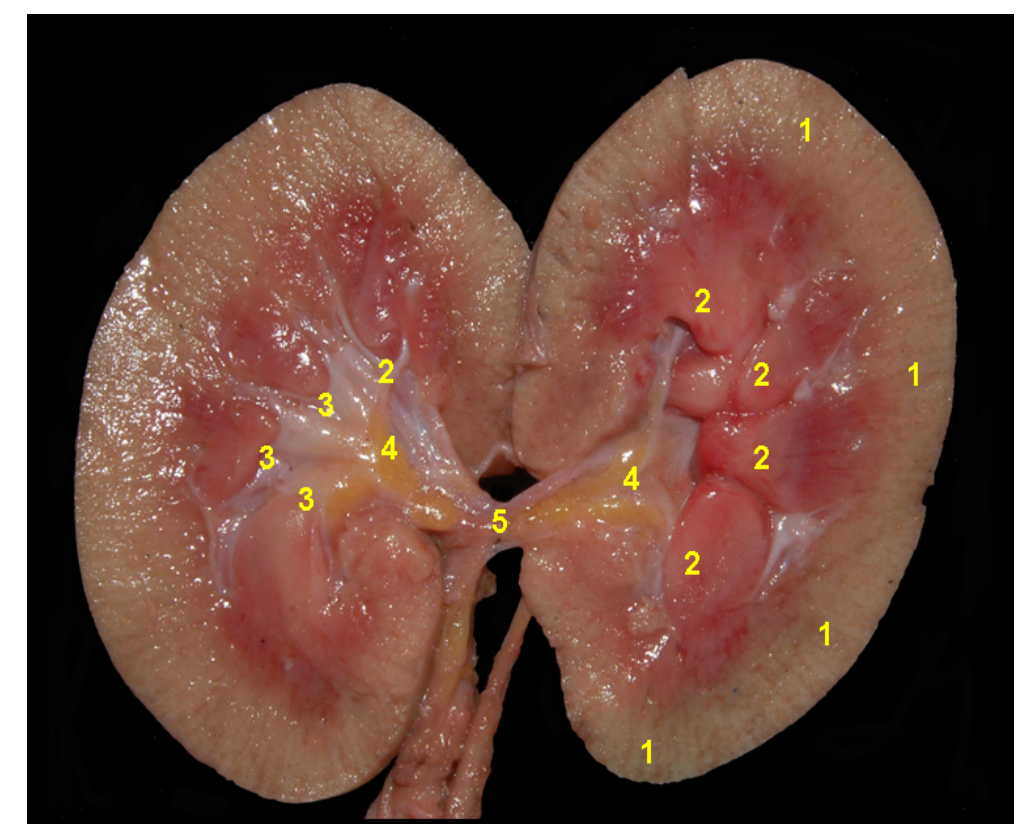


Figura 5.91 - Corte dorsal del riñón del uácaro rojo (*Cacajao calvus*). 1. Corteza; 2. Médula; 3. Cáliz renal; 4. Pelvis renal; 5. Hilio.



MONO HUAPO NEGRO (*Pithecia monachus*)

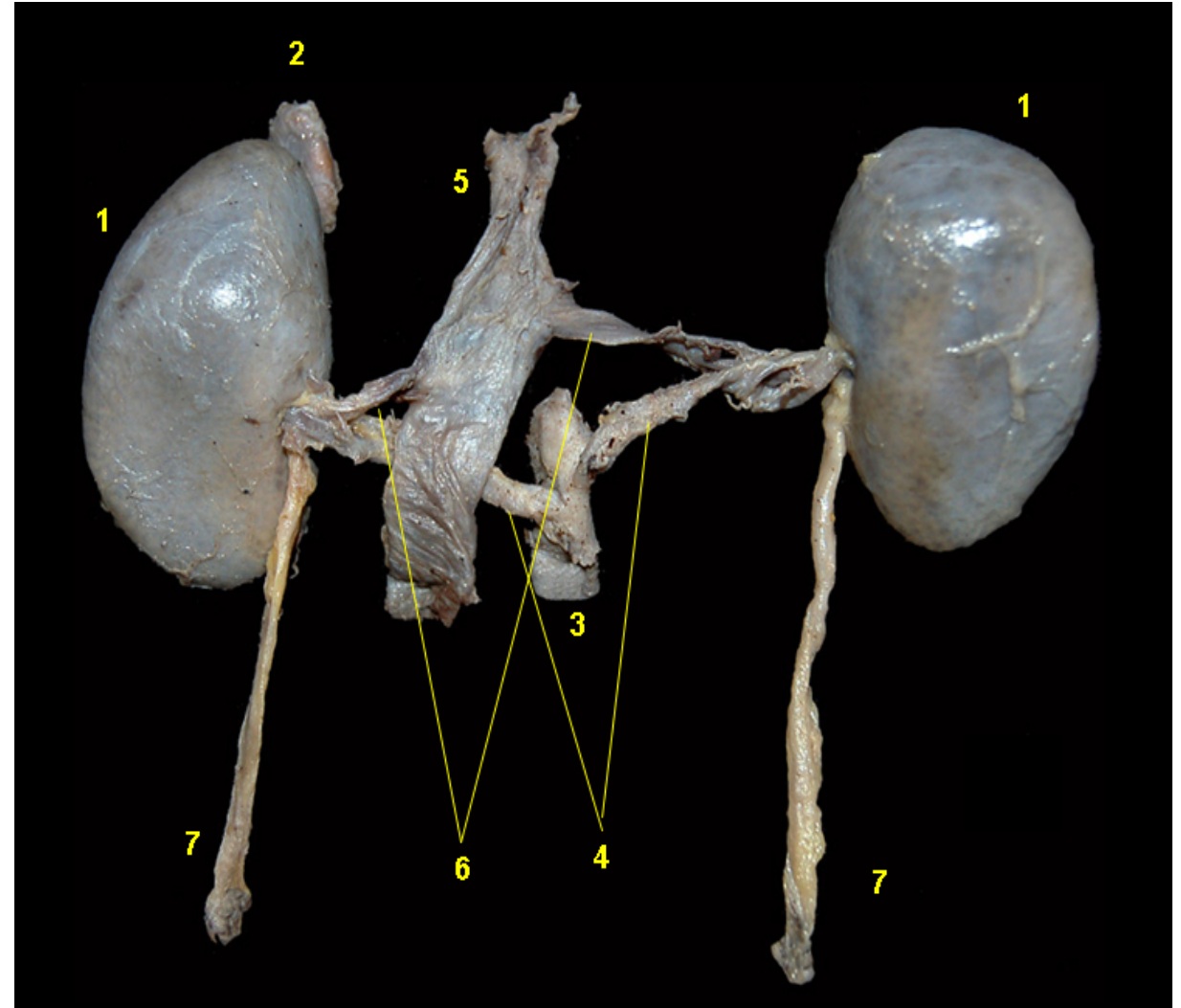


Figura 5.92 - Visión ventral de los órganos urinarios del mono huapo negro (*Pithecia monachus*). 1. Riñones; 2. Glándula adrenal; 3. Aorta abdominal; 4. Arterias renales; 5. Vena cava caudal, 6. Venas renales, 7. Uréteres.

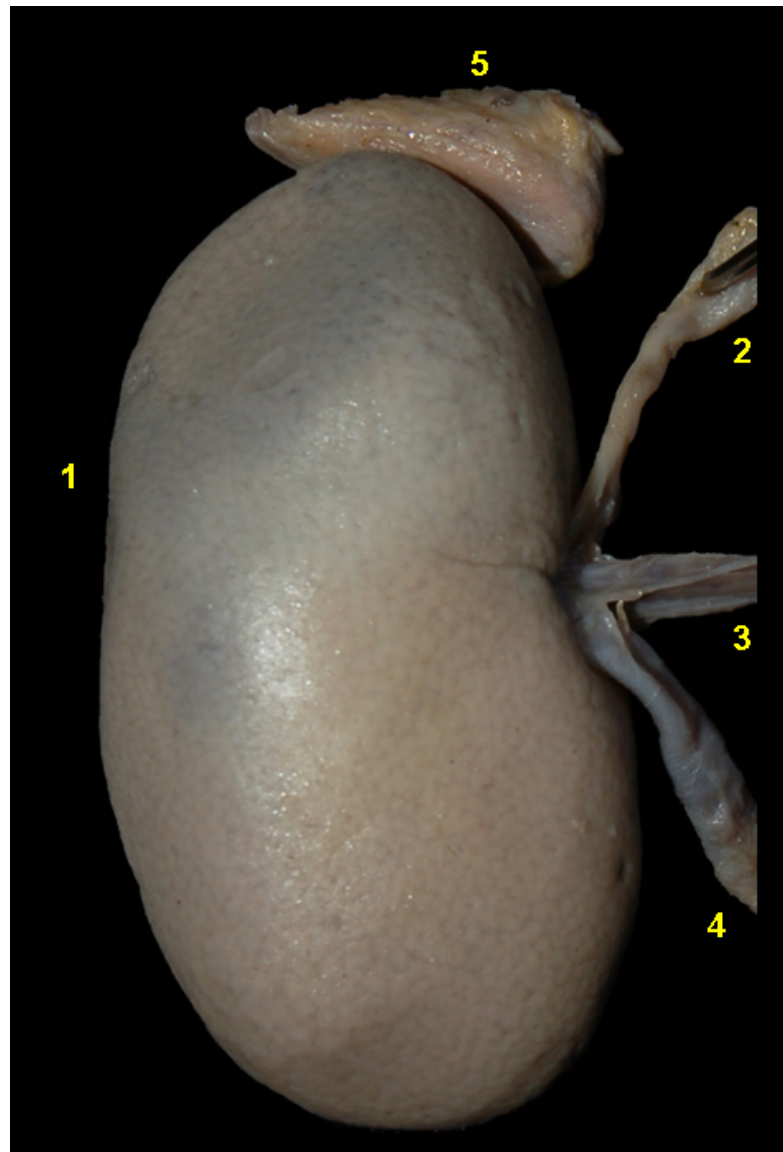


Figura 5.93 - Visión dorsal del riñón del mono huapo negro (*Pithecia monachus*). 1. Riñón; 2. Arteria renal; 3. Vena renal; 4. Uréter; 5. Glándula adrenal.



Figura 5.94 - Corte longitudinal de la glándula adrenal del mono huapo negro (*Pithecia monachus*). 1. Corteza; 2. Médula.

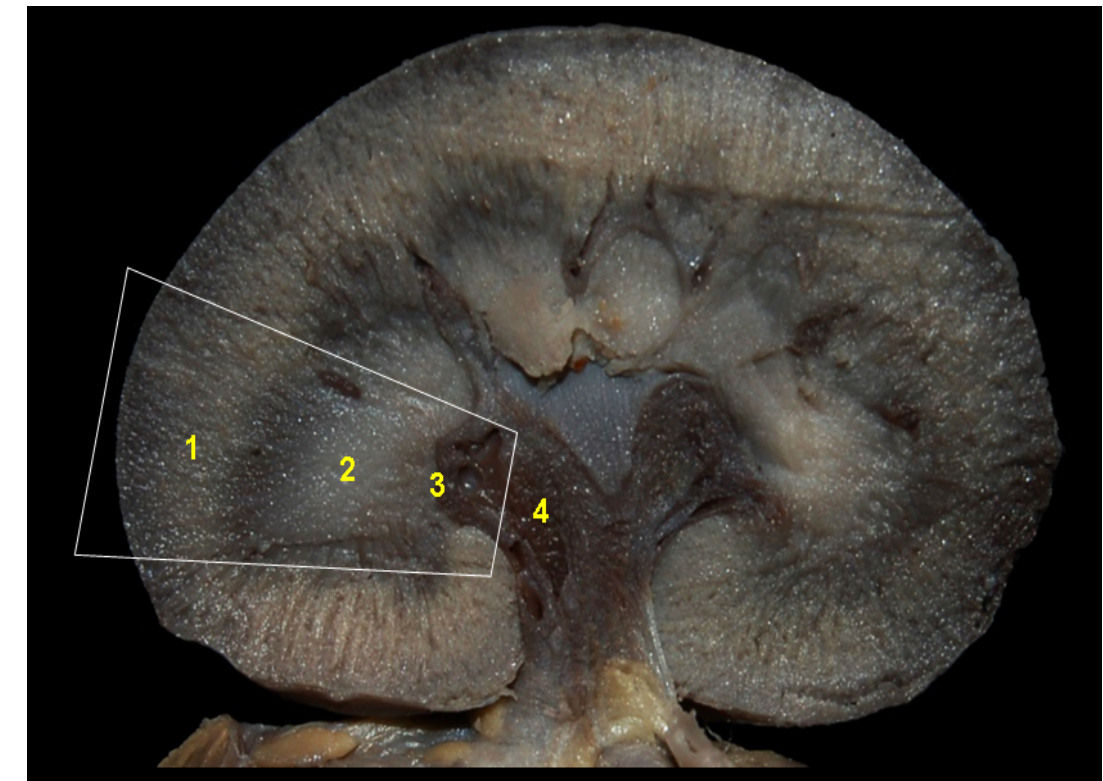


Figura 5.95 - Corte dorsal del riñón del mono huapo negro (*Pithecia monachus*). Se ha indicado la posición de un lóbulo renal. 1. Corteza; 2. Pirámide renal (médula); 3. Papila renal y cáliz renal; 4. Pelvis renal.

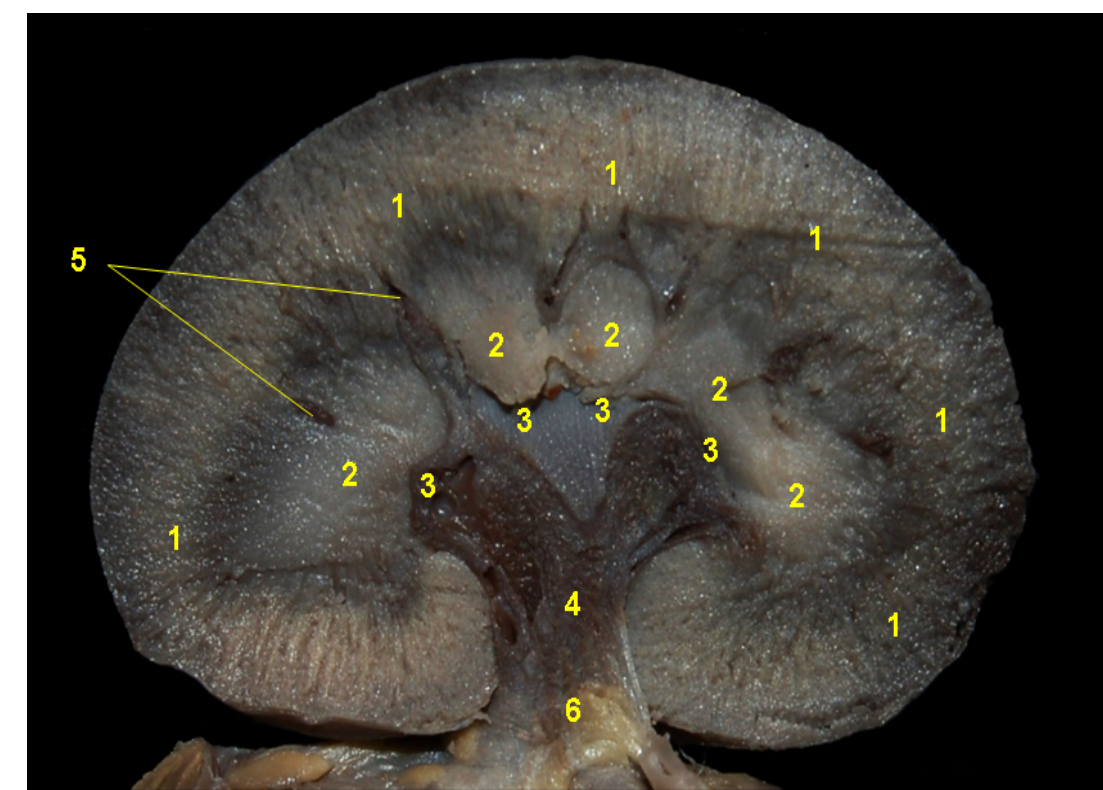


Figura 5.96 - Corte dorsal del riñón del mono huapo negro (*Pithecia monachus*). 1. Corteza; 2. Médula; 3. Cáliz renal; 4. Pelvis renal; 5. Vasos interlobulares; 6. Hilio.



MONO NOCTURNO (*Aotus nancymae*)

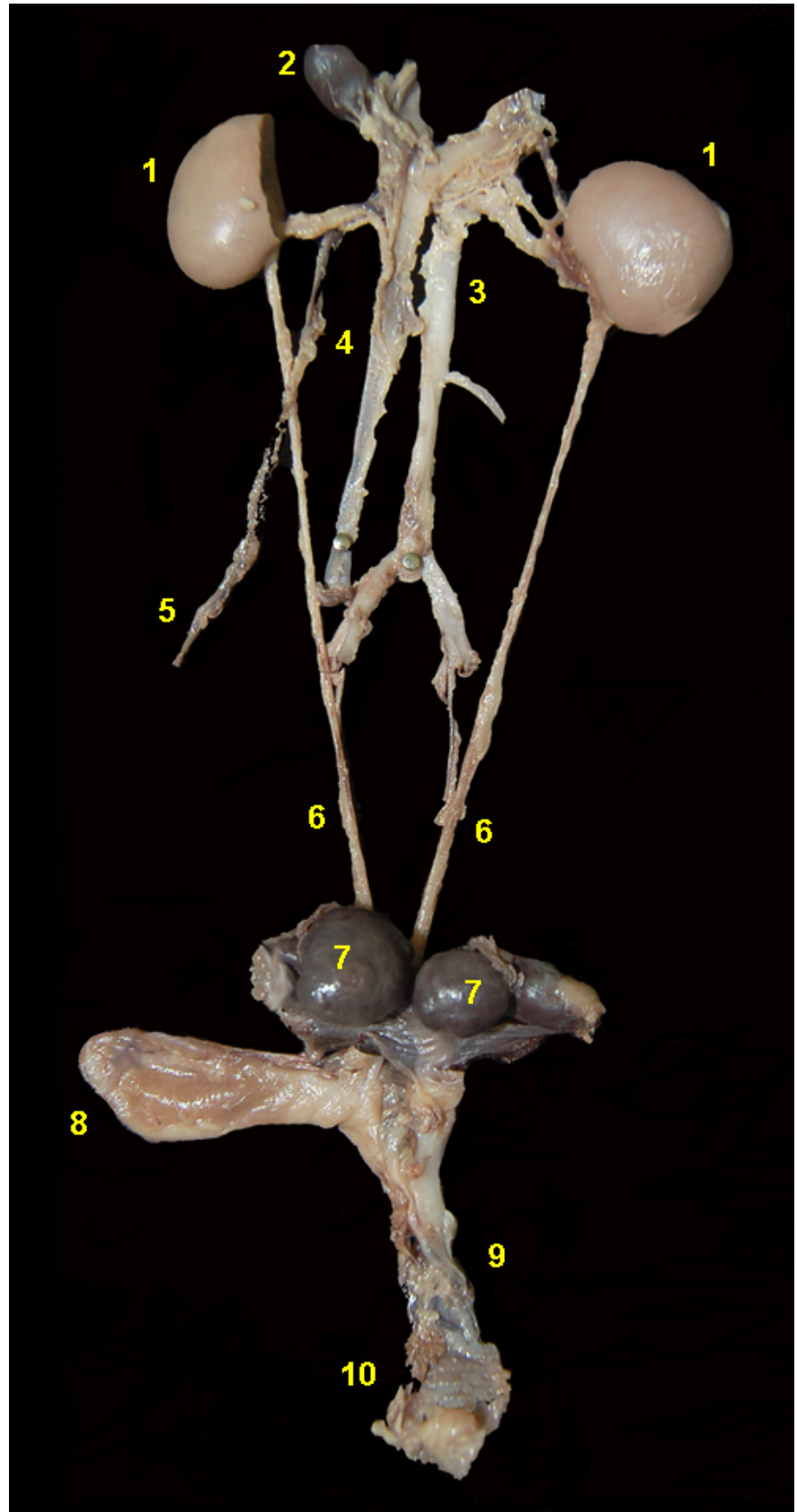


Figura 5.97 - Visión ventral de los órganos urogenitales femeninos del mono nocturno (*Aotus nancymae*). 1. Riñones; 2. Glándula adrenal; 3. Aorta abdominal; 4. Vena cava caudal; 5. Vena ovárica; 6. Uréteres; 7. Ovarios; 8. Vejiga urinaria; 9. Vagina; 10. Vulva.

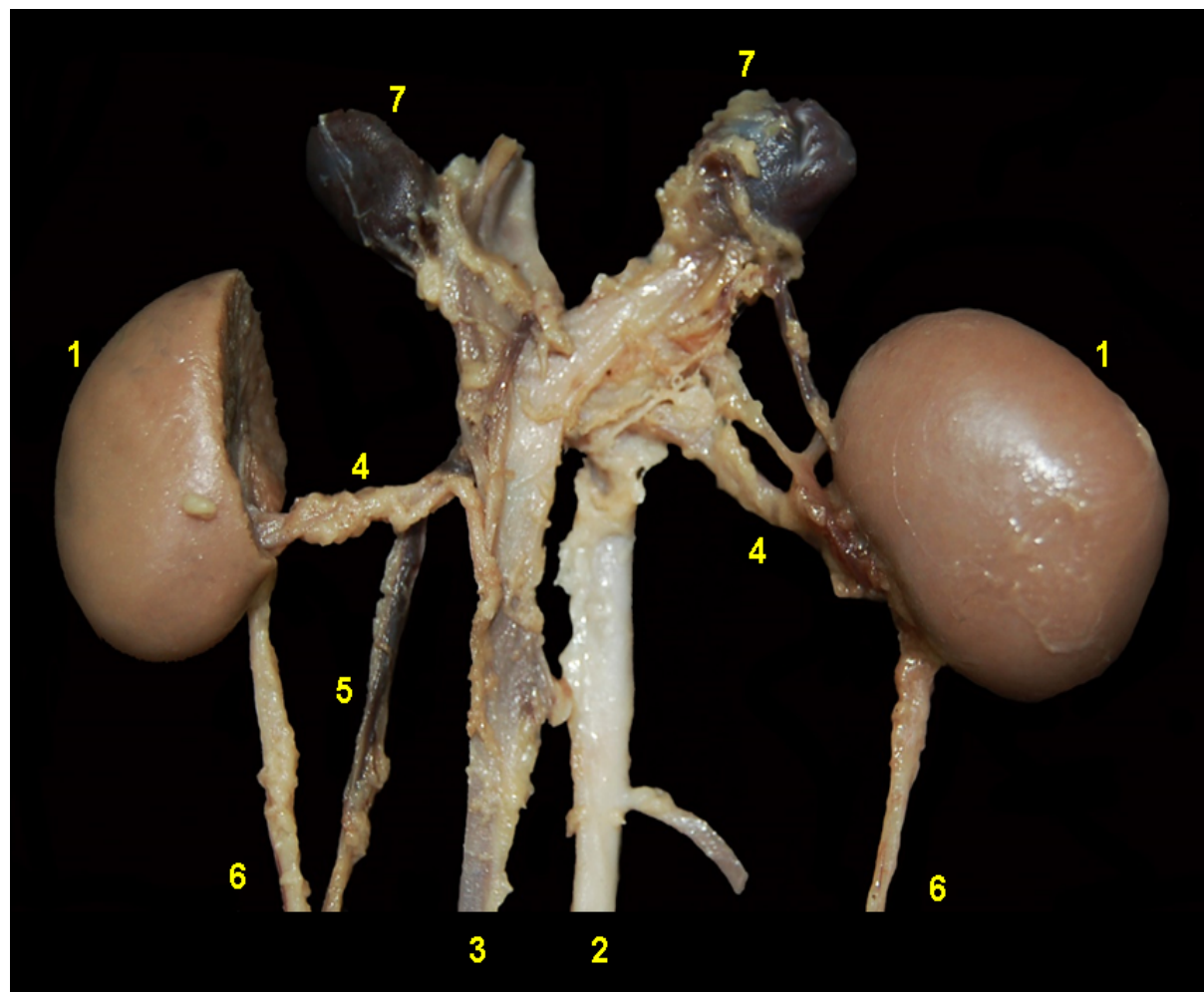


Figura 5.98 - Visión ventral de los órganos urinarios del mono nocturno (*Aotus nancymae*). 1. Riñones; 2. Aorta abdominal; 3. Vena cava caudal; 4. Arterias y venas renales; 5. Vena ovárica; 6. Uréteres; 7. Glándulas adrenales.

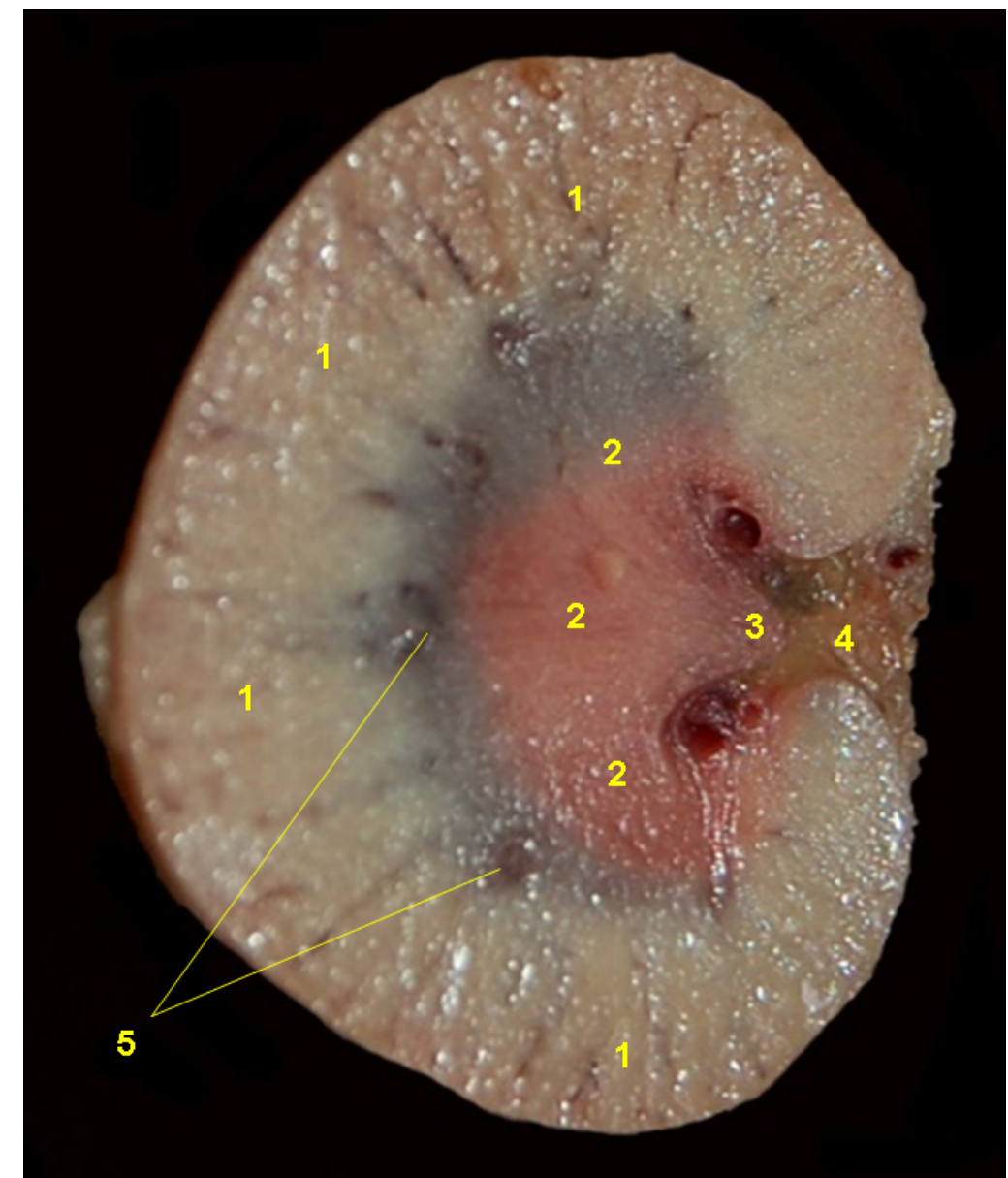


Figura 5.99 - Corte dorsal del riñón del mono nocturno (*Aotus nancymae*). 1. Corteza; 2. Médula; 3. Cresta renal; 4. Pelvis renal; 5. Vasos interlobulares.



TITÍ PIGMEO (*Cebuella pygmaea*)

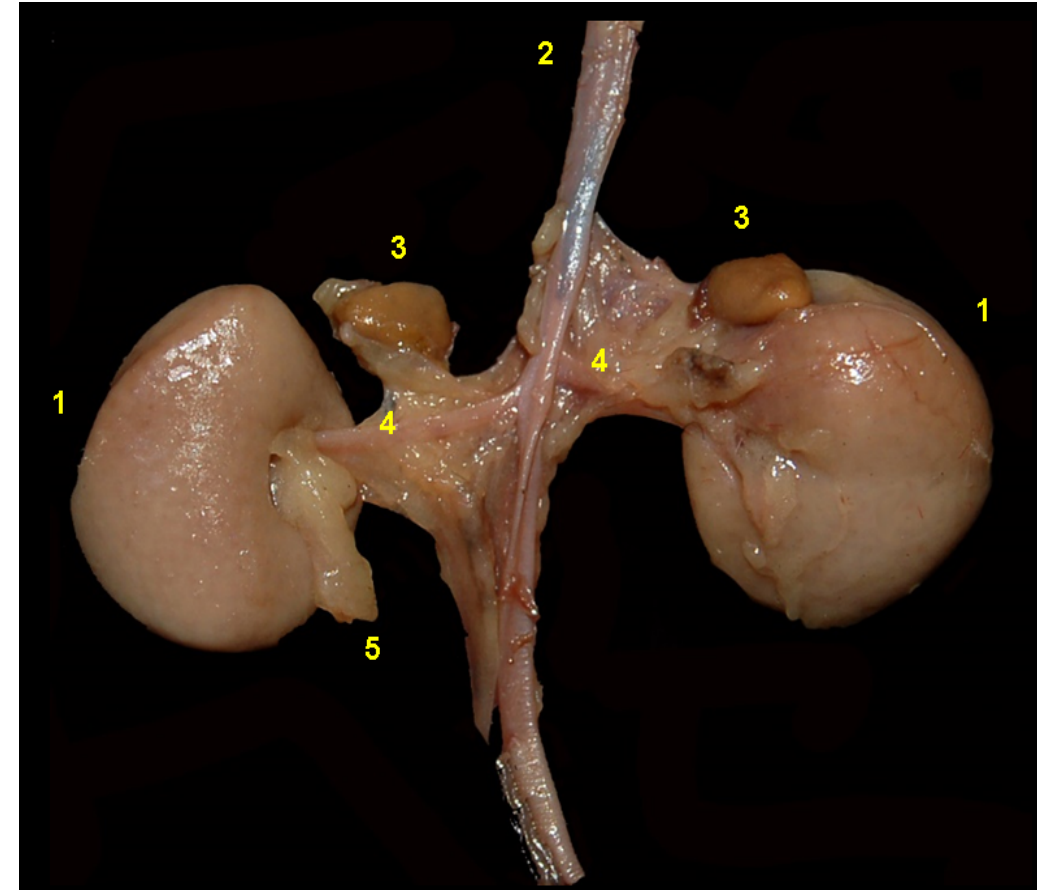


Figura 5.100 - Visión dorsal de los órganos urinarios del tití pigmeo (*Cebuella pygmaea*). 1. Riñón; 2. Aorta abdominal; 3. Glándulas adrenales; 4. Arterias y venas renales; 5. Uréter.

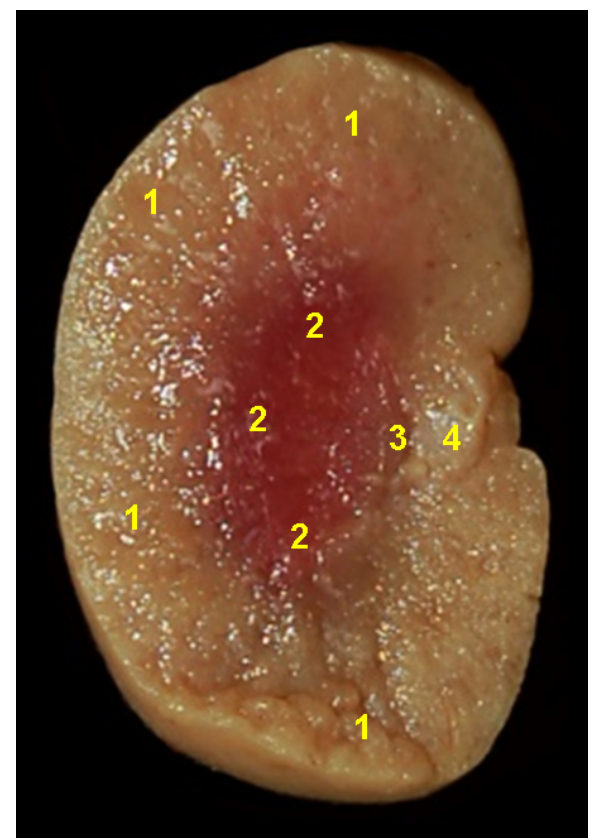


Figura 5.101 - Corte dorsal del riñón del tití pigmeo (*Cebuella pygmaea*). 1. Corteza; 2. Médula; 3. Cresta renal; 4. Pelvis renal.



MICO BEBELECHE (*Leontocebus fuscicollis*)

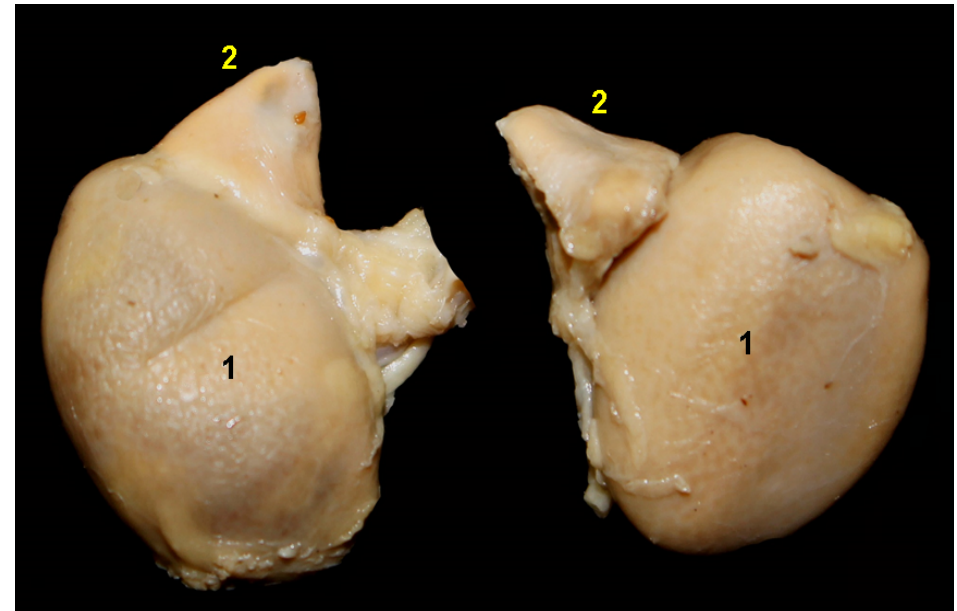


Figura 5.102 - Visión dorsal de los riñones del mico bebeleche (*Leontocebus fuscicollis*). 1. Riñones; 2. Glándulas adrenales.

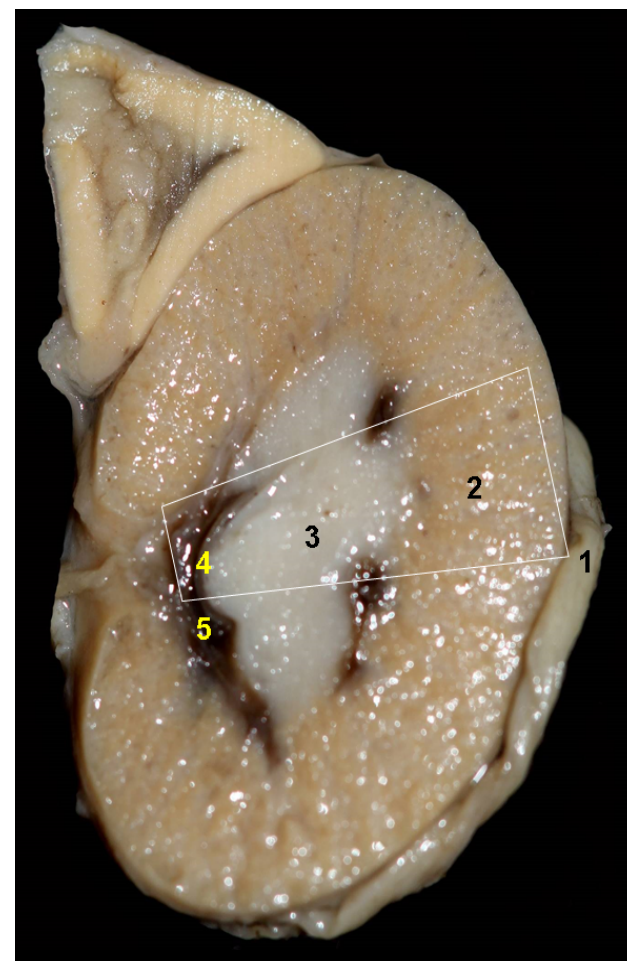


Figura 5.103 - Corte dorsal del riñón del mico bebeleche (*Leontocebus fuscicollis*). Se ha indicado la posición de un lóbulo renal. 1. Cápsula fibrosa; 2. Corteza; 3. Pirámide renal (médula); 4. Papila renal y cálix renal; 5. Pelvis renal; 6. Vasos interlobulares.

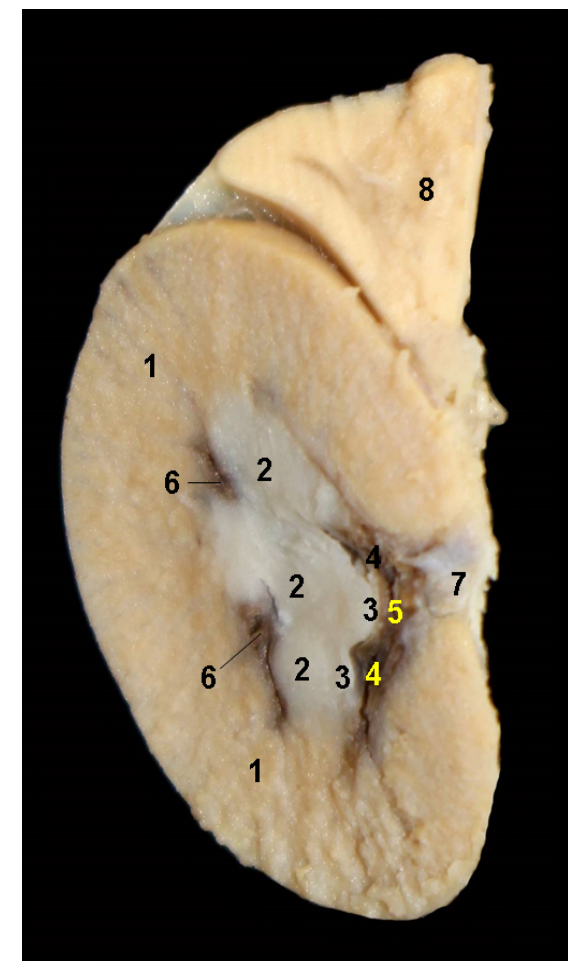


Figura 5.104 - Corte dorsal del riñón del mico bebeleche (*Leontocebus fuscicollis*). 1. Corteza; 2. Médula; 3. Papila renal; 4. Cálices renales; 5. Pelvis renal; 6. Vasos interlobulares; 7. Seno renal; 8. Glándula adrenal.

CAPÍTULO 6

ÓRGANOS GENITALES FEMENINOS

ÓRGANOS GENITALES FEMENINOS

Los órganos genitales femeninos son los responsables de la formación, almacenamiento, maduración y transporte de las células germinales femeninas.

Ovarios

En los ovarios se producen, almacenan y maduran los ovocitos o gametos femeninos. En los mamíferos se encuentran inmediatamente caudales a los riñones, en posición dorsal en la cavidad abdominal. Las principales estructuras funcionales del ovario son los folículos y los cuerpos lúteos, que, dependiendo de la especie, protruyen y pueden ser observados externamente. El ovario actúa además como una glándula endocrina.

Particularidades según el orden taxonómico

Artiodactyla

Los ovarios de los venados rojo y gris, de igual forma que en los rumiantes domésticos, son más caudales que en otras especies. Habitualmente se localizan cranealmente al pecten del pubis. En este grupo es donde se diferencia con mayor claridad la presencia de folículos antrales y de cuerpos lúteos.

Primates

Los folículos antrales no suelen ser observados con facilidad; únicamente se observan los grandes folículos antrales. El cuerpo lúteo invade prácticamente todo el estroma ovárico. En ocasiones no se diferenciarán los límites del cuerpo lúteo, pero se observa su coloración ocre en la sección ovárica.

Trompa uterina

La trompa uterina, también llamada oviducto, es una estructura tubular que, tras la ovulación, transporta los ovocitos desde el ovario hasta el útero. En la trompa uterina tiene lugar la fecundación. La trompa uterina está incluida en el mesosalpinx, que es un pliegue de peritoneo que deriva del ligamento ancho del útero. El mesosalpinx, junto con el mesovario y el propio ovario, participa en la formación de la bolsa ovárica.

Particularidades según el orden taxonómico

Cingulata, Pilosa, Primates, Rodentia e Perissodactyla

La bolsa ovárica no rodea completamente al ovario.

Artiodactyla

La bolsa ovárica rodea completamente al ovario.

Carnivora

La bolsa ovárica rodea al ovario de una forma prácticamente completa.

Útero

El útero alberga al embrión o feto en desarrollo. Las glándulas del endometrio producen secreciones que nutren al embrión antes de la formación de la placenta. El útero de los mamíferos se divide en tres porciones: cuernos, cuerpo y cuello. La porción más variable son los cuernos uterinos, que pueden estar ausentes en algunos grupos taxonómicos; de esta forma, las dos trompas uterinas pueden desembocar en los cuernos o, si no los hay, directamente en el cuerpo uterino. El cuello uterino (o cérvix) se caracteriza por presentar una gruesa pared que permite aislar el útero del exterior, de modo que la luz del canal cervical está abierta sólo en momentos como el parto y el celo.

Particularidades según el orden taxonómico

Rodentia

El útero de los roedores histicognatos es doble. Los dos cuernos del útero, que son intraabdominales, continúan caudalmente con dos cuellos uterinos (o cérvix) completamente independientes el uno del otro. La gestación tiene lugar en los cuernos uterinos.

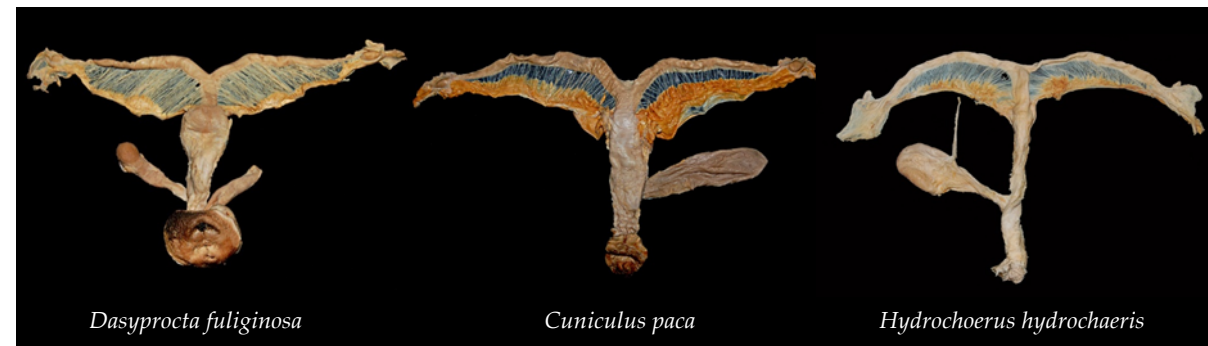


Figura 6.1 - Visión dorsal de los órganos urogenitales de las hembras no gestantes de diferentes especies de roedores: agutí (*Dasypus fuliginosa*), paca (*Cuniculus paca*) y capibara (*Hydrochoerus hydrochaeris*).

Cingulata e Pilosa

El útero no presenta cuernos uterinos y se considera útero simple. Las dos trompas uterinas desembocan en un cuerpo uterino de reducido tamaño, donde tiene lugar la gestación.



Figura 6.2 - Visión dorsal de los órganos urogenitales de las hembras no gestantes de diferentes especies en las Órdenes Cingulata y Pilosa: armadillo de nueve bandas (*Dasypus novemcinctus*), armadillo gigante (*Priodontes maximus*), oso hormiguero (*Myrmecophaga tridactyla*), oso perezoso de dos dedos (*Choloepus hoffmanni*) y oso perezoso de tres dedos (*Bradypus variegatus*).

Artiodactyla

El útero de los pecaríes y de los venados es bicorne. Los dos cuernos del útero son intraabdominales y se fusionan caudalmente formando un único cuerpo uterino de reducido tamaño. Los cuernos de los pecaríes son alargados y sinuosos, mientras que los de los venados son cortos y enrollados sobre sí mismos. Un septo mediano, el velo del útero, (no visible exteriormente) divide la porción craneal del cuerpo uterino. La gestación de los pecaríes tiene lugar en los cuernos uterinos. La gestación de los venados tiene lugar en la porción más proximal del cuerpo uterino, relacionada con el septo mediano.

Perissodactyla

El útero del tapir es bicorne. Los dos cuernos del útero, que son intraabdominales, se fusionan caudalmente formando un cuerpo uterino de reducido tamaño. La gestación tiene lugar en los cuernos uterinos. Un septo mediano, el velo del útero, (no visible exteriormente) divide la porción craneal del cuerpo uterino.

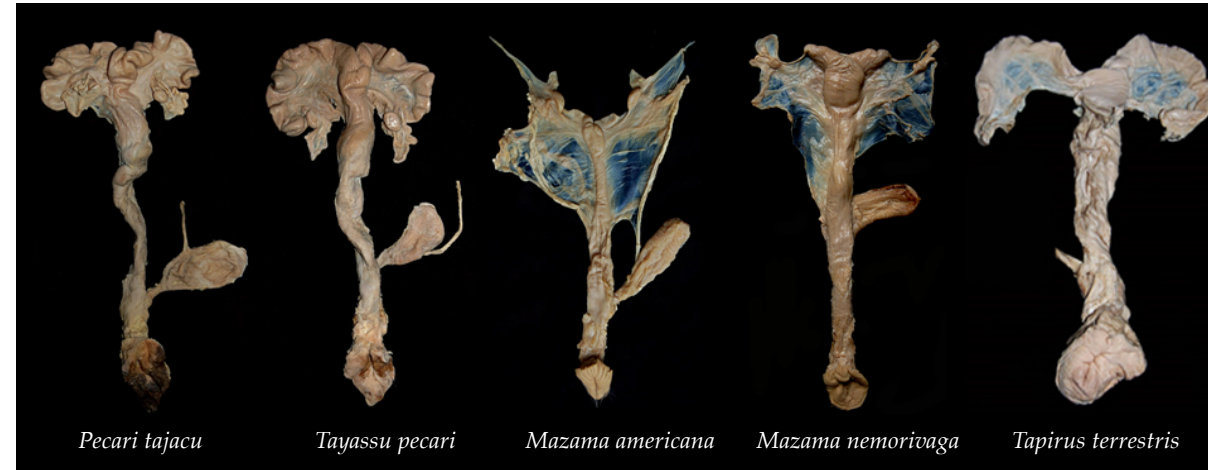


Figura 6.3 - Visión dorsal de los órganos urogenitales de las hembras no gestantes en las Órdenes Artiodactyla y Perissodactyla: pécari de collar (*Pecari tajacu*), pécari labiado (*Tayassu pecari*), venado rojo (*Mazama americana*), venado gris (*Mazama nemorivaga*) y tapir (*Tapirus terrestris*).

Carnivora

El útero es bicorne. Los dos cuernos del útero, que son intraabdominales, se fusionan caudalmente formando un cuerpo uterino de reducido tamaño. La gestación tiene lugar en los cuernos uterinos.

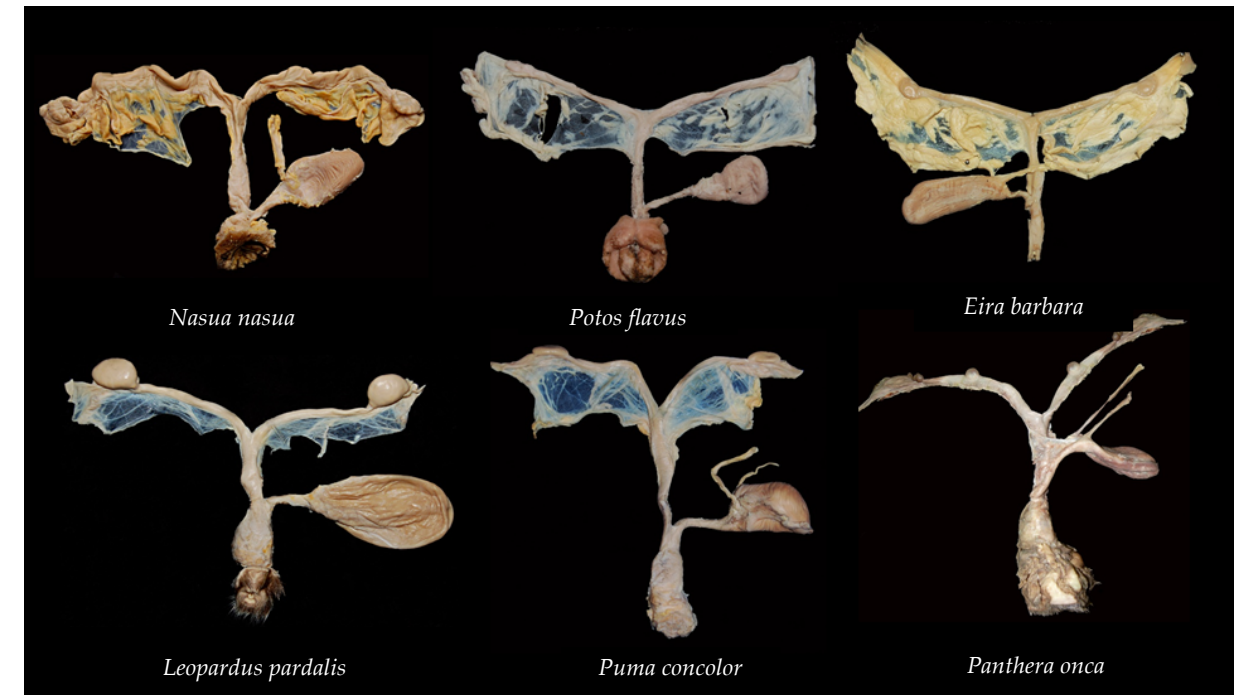


Figura 6.4 - Visión dorsal de los órganos urogenitales de las hembras no gestantes de diferentes especies de carnívoros: coatí de cola anillada (*Nasua nasua*), kinkajou (*Potos flavus*), tayra (*Eira barbara*), ocelote (*Leopardus pardalis*), puma (*Puma concolor*) y jaguar (*Panthera onca*).

Primates

El útero no presenta cuernos uterinos y se considera útero simple. Las dos trompas uterinas desembocan en un cuerpo uterino de reducido tamaño, donde tiene lugar la gestación.

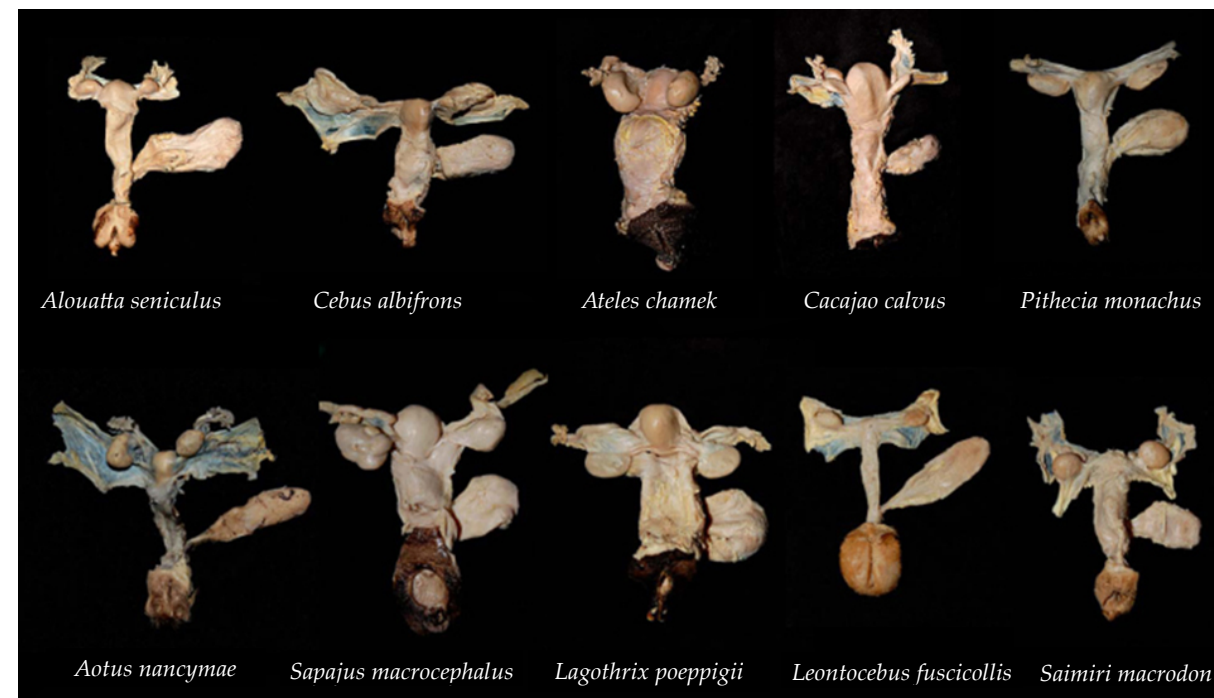


Figura 6.5 - Visión dorsal de los órganos urogenitales de las hembras no gestantes de diferentes especies de primates: mono aullador (*Alouatta seniculus*), mono machín blanco (*Cebus albifrons*), mono araña (*Ateles chamek*), uácaro rojo (*Cacajao calvus*), mono huapo negro (*Pithecia monachus*), mono nocturno (*Aotus nancymae*), mono machín negro (*Sapajus macrocephalus*), mono barrigudo (*Lagothrix poeppigii*), mico bebeleche (*Leontocebus fuscicollis*), mono fraile (*Saimiri macrodon*).

Vagina

La vagina es el órgano copulador femenino. Se extiende desde el cuello uterino (orificio externo del útero) hasta la desembocadura de la uretra (orificio externo de la uretra). Más caudalmente se encuentra el vestíbulo vaginal, compartido por los tractos genital y urinario.

Particularidades según el orden taxonómico

Rodentia

En los roedores histríognatos, en los que existen dos cuellos uterinos, aparecen dos orificios externos del útero.

Vulva

La vulva está formada por dos labios que se unen en comisuras que limitan la hendidura vulvar o abertura urogenital externa. El clítoris, que presenta una estructura en parte homóloga a la del pene, se encuentra ventralmente en la fosa del clítoris.

Particularidades según el orden taxonómico

Rodentia y Carnivora (excepto ocelote)

La hendidura vulvar está alargada en su plano horizontal en las especies estudiadas.

Cingulata, Pilosa, Primates, Perosidactyla y Artiodactyla

La hendidura vulvar está alargada en su plano vertical en las especies estudiadas.

Placentación

La placenta de los mamíferos euterios es una estructura que se forma por la aposición de membranas fetales y tejidos maternos. Su principal función consiste en regular el intercambio fisiológico entre feto y madre, aunque también actúa como importante órgano endocrino durante la gestación.

Particularidades según el orden taxonómico

Rodentia

La placenta de los roedores histríognatos es una placenta hemocorial, ya que contactan directamente el corion fetal y la sangre materna. La pérdida de endometrio ocurre durante la formación de la placenta y también en el nacimiento, por lo que la placenta se clasifica como decidua. El feto se fija al endometrio a través de una estructura de gran tamaño que mejora la unión materno-fetal. Debido a la forma de disco de esta estructura, la placenta de los roedores histríognatos se clasifica como discoidea.

Cingulata y Pilosa

La placenta del armadillo de nueve bandas es una placenta hemocorial, ya que existe un contacto directo de las células del corion fetal con la sangre materna. En el oso hormiguero es una placenta endoteliochorial, ya que contactan el corion fetal con el endotelio de los vasos uterinos. La pérdida de endometrio ocurre durante su formación y también en el nacimiento, por lo que es una placenta decidua. Por la forma del área de aposición de los tejidos, es una placenta discoidea, aunque en el armadillo de nueve bandas presenta una morfología externa de tipo zonal. El armadillo de nueve bandas se caracteriza por llevar a cabo de forma natural procesos de clonación. De esta forma, todas las crías pertenecientes a una misma camada se forman por división de un mismo zigoto y son idénticas entre sí. Solo hay una cavidad amniótica y, cuando se forman los dos primeros embriones, los dos amnios están conectados íntimamente.

Artiodactyla

La placenta de los pecaríes es una placenta epiteliocorial, ya que existe un contacto directo de las células del corion fetal con el epitelio uterino materno. No existe pérdida de epitelio uterino ni en la formación de la placenta ni en el momento del parto, por lo

que se clasifica como placenta adecidua. Teniendo en cuenta que las microvellosidades que permiten el contacto entre feto y madre se encuentran ampliamente distribuidas en la superficie placentaria, la placenta se clasifica como difusa. Los extremos del saco coriónico son apéndices necróticos.

La placenta del venado es una placenta sindesmocorial y cotidelonaria, igual que en rumiantes domésticos. En un principio esta placenta es epiteliocorial y, posteriormente, invade el tejido conectivo materno estableciendo contacto directo con las células del corion fetal. Existe un contacto directo de las células del corion fetal con el epitelio uterino materno caracterizado por presentar zonas concretas de unión materno-fetal denominadas placentomas. Un placentoma está formado por una carúncula de origen materno (proliferación subepitelial provista de microvellosidades) y un cotiledón fetal (conjunto de microvellosidades especializadas del corioalantoides). Cuando las criptas de las carúnculas se necrosan por isquemia y las células se pueden descamar por lo que la placenta se considera como parcialmente decidua. En las áreas entre cotiledones se forman vellosidades muy simples que no facilitan el contacto materno-fetal.

Perissodactyla

La placenta del tapir es una placenta epiteliocorial, ya que existe un contacto directo de las células del corion fetal con el epitelio uterino materno. No existe pérdida de epitelio uterino ni en la formación de la placenta ni en el momento del parto, por lo que se clasifica como placenta adecidua. Teniendo en cuenta que las microvellosidades que permiten el contacto entre feto y madre se encuentran ampliamente distribuidas en la superficie placentaria, la placenta se clasifica como difusa.

Carnivora

La placenta del coati y de los grandes felinos amazónicos es una placenta endoteliocorial, ya que contactan el corion fetal con el endotelio de los vasos uterinos. La pérdida de endometrio ocurre durante su formación y también en el nacimiento, por lo que es una placenta decidua. Por la forma del área de aposición de los tejidos, es una placenta zonal.

Primates

La placenta de los primates neotropicales es una placenta hemocorial, ya que existe un contacto directo de las células del corion fetal con la sangre materna (incluso se elimina el endotelio vascular); consecuentemente es una placenta decidua en la que hay abundante pérdida de tejido.

El saco coriónico se fija al endometrio del cuerpo uterino a través de uno o dos placentomas en forma de disco, que definen la placenta como discoidea. Existe gran variabilidad en el número de discos por especie. La mayor parte de los primates neotropicales (Cebinae, Pithecinae y Cebidae) tiene una placenta bidiscoide, con dos placentomas o discos; en el caso de los primates neotropicales de mayor tamaño, *Alouatta* sp. y *Lagothrix* sp., presentan un solo disco de contacto materno-fetal, mientras que *Ateles* sp. tiene dos discos. La relación filogenética entre especies de primates sugiere que el ancestro común más cercano poseía una placenta hemocorial con un único disco, y que posteriormente se desarrolló la placenta bidiscoide.



CUTIA (*Dasyprocta fuliginosa*)

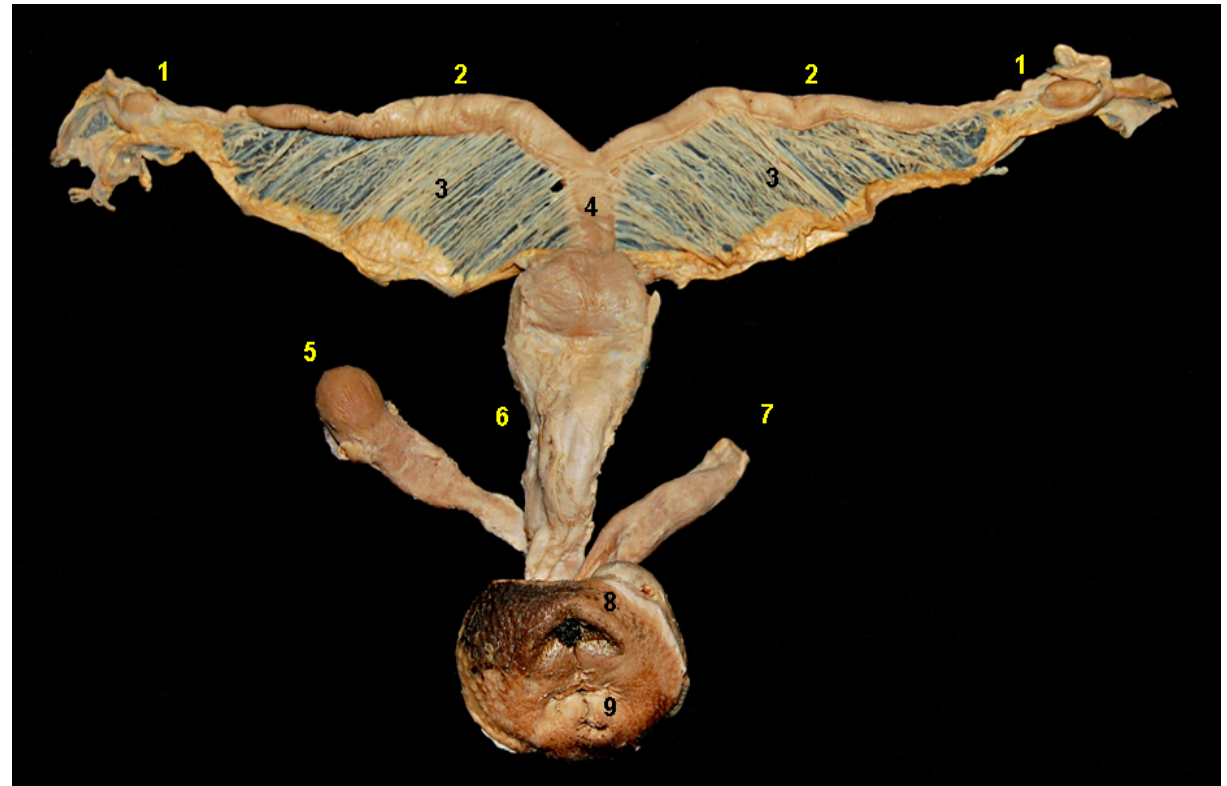


Figura 6.6 - Visión dorsal de los órganos urogenitales de una hembra no gestante de agutí (*Dasyprocta fuliginosa*). 1. Ovarios y trompa uterina; 2. Cuernos uterinos; 3. Ligamento ancho del útero; 4. Cuello uterino; 5. Vejiga urinaria; 6. Vagina; 7. Recto; 8. Ano; 9. Vulva.

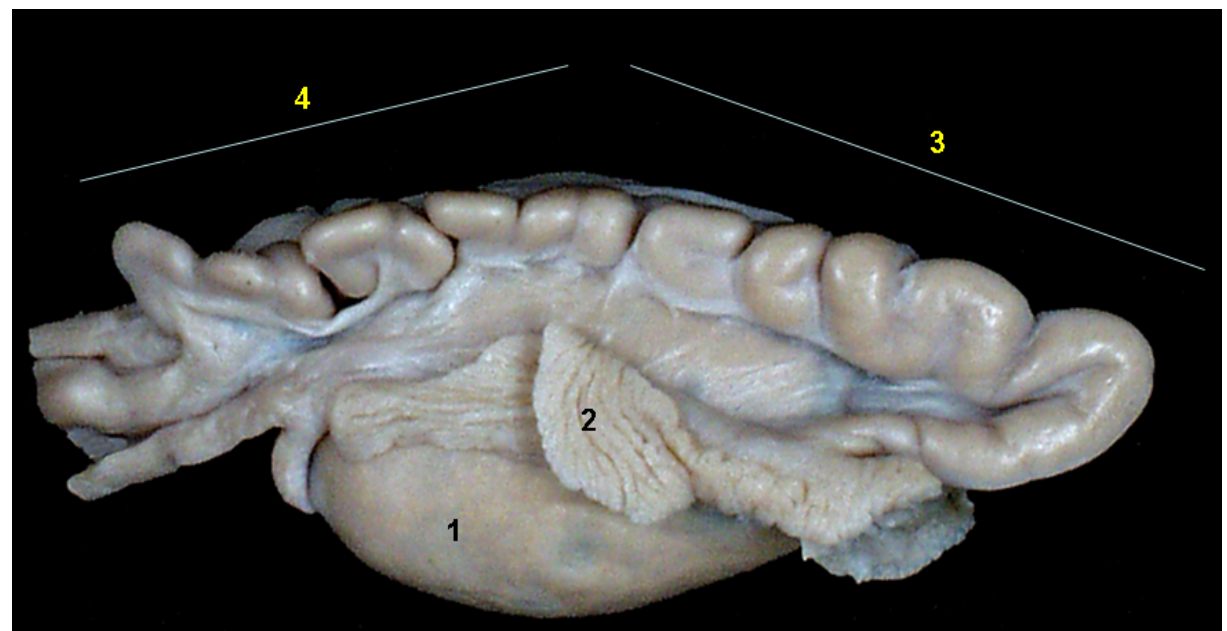


Figura 6.7 - Ovario y trompa uterina de una hembra de agutí (*Dasyprocta fuliginosa*). 1. Ovario; 2. Infundíbulo; 3. Ampolla; 4. Istmo.

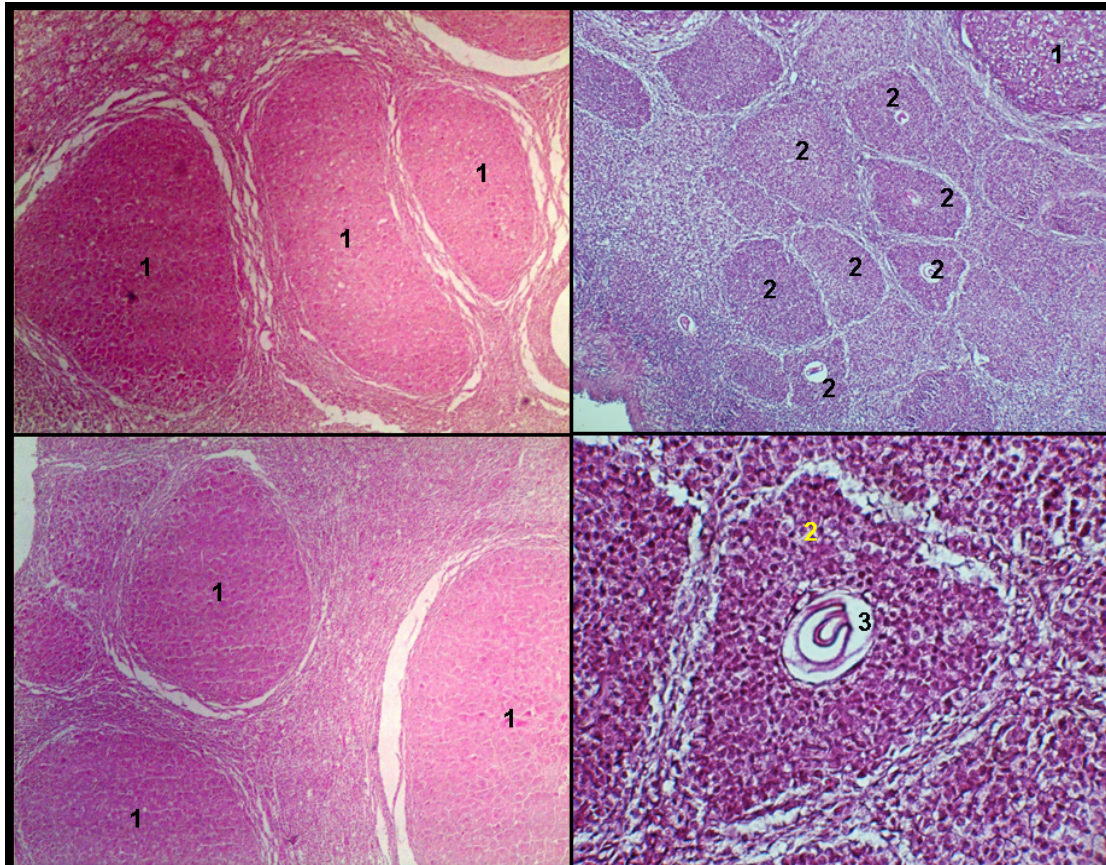


Figura 6.8 - Secciones histológicas de ovarios de varias hembras de agutí (*Dasyprocta fuliginosa*). 1. Cuerpos lúteos de gestación; 2. Cuerpos lúteos accesorios desarrollados a partir de folículos ováricos no ovulados; 3. Zona pelúcida de un ovocito atrofiado.

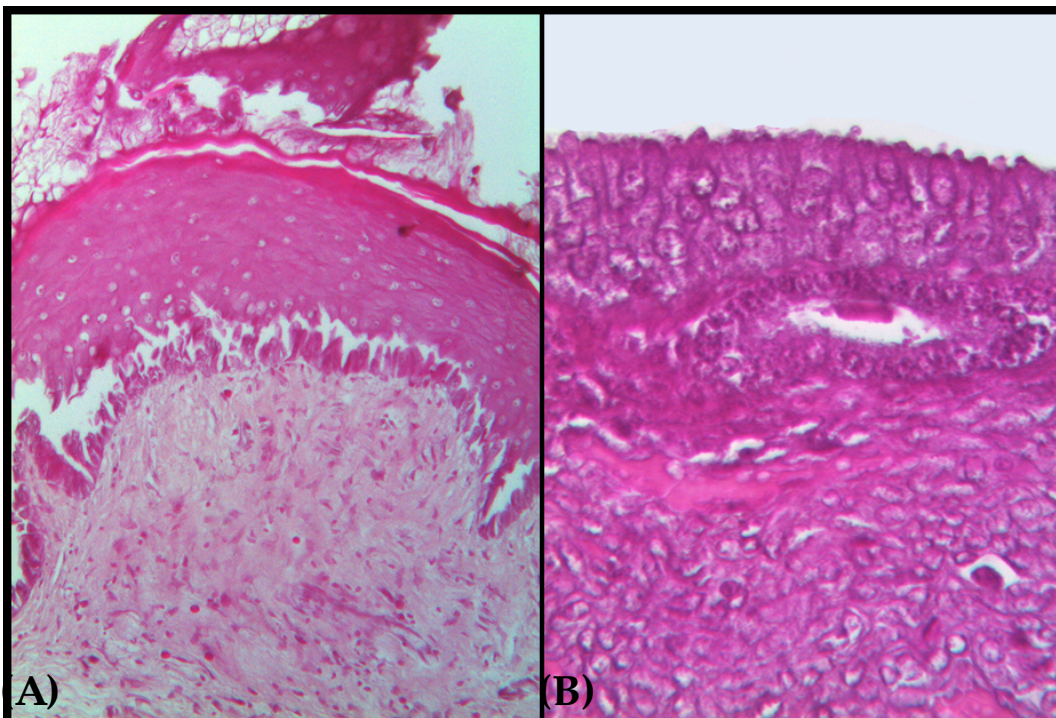


Figura 6.9 - Sección histológica del epitelio vaginal de hembras de agutí (*Dasyprocta fuliginosa*) en fase folicular (A) y en fase luteal (B) del ciclo estral. En la fase folicular se observa un mayor desarrollo y queratinización del epitelio vaginal.



Figura 6.10 - Órganos genitales femeninos de agutí (*Dasyprocta fuliginosa*). Útero doble abierto: Cuello uterino doble. 1. Cuernos uterinos; 2. Cuellos uterinos; 3. Velo uterino; 4. Porción vaginal del cuello; 5. Fórnix vaginal; 6. Vagina.

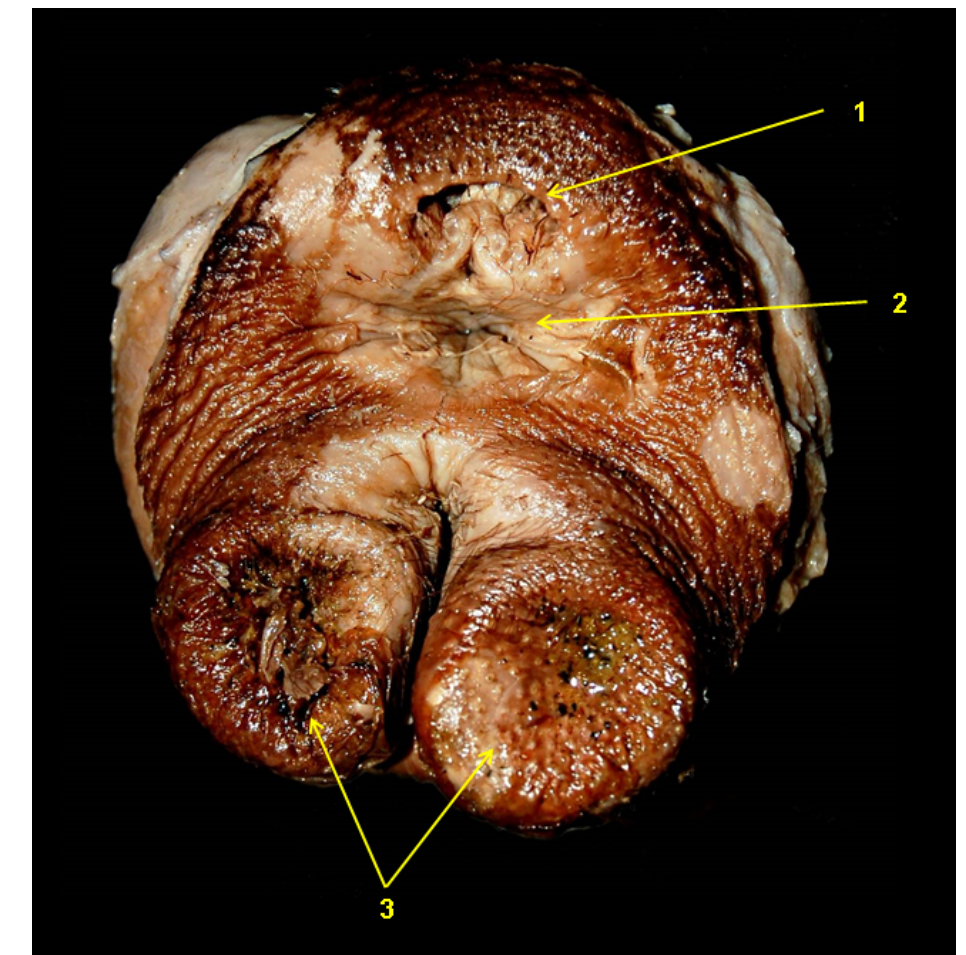


Figura 6.11 - Región perineal de agutí (*Dasyprocta fuliginosa*). 1. Ano; 2. Abertura vaginal; 3. Glándulas perineales.

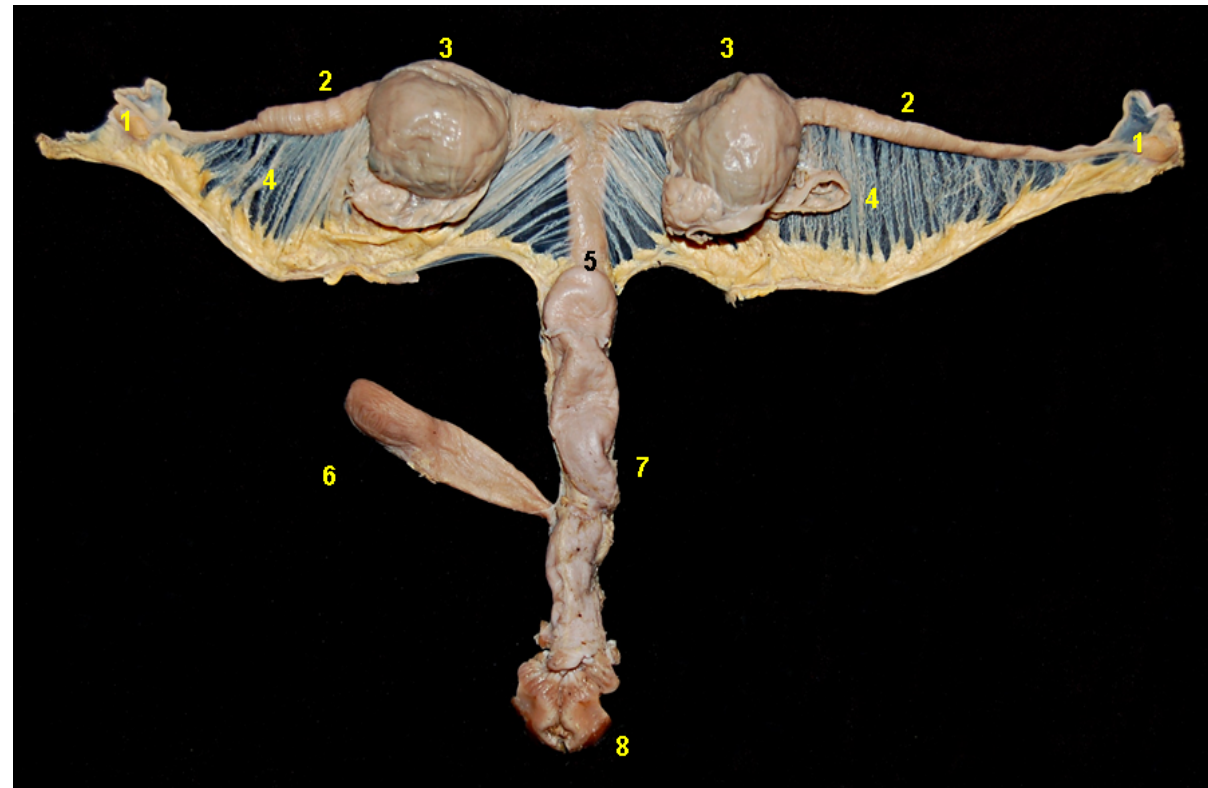


Figura 6.12 - Visión dorsal de los órganos genitales de una hembra gestante de agutí (*Dasyprocta fuliginosa*). 1. Ovarios y trompa uterina; 2. Cuernos uterinos; 3. Lugar de implantación; 4. Ligamento ancho del útero; 5. Cuello uterino; 6. Vejiga urinaria; 7. Vagina; 8. Vulva.

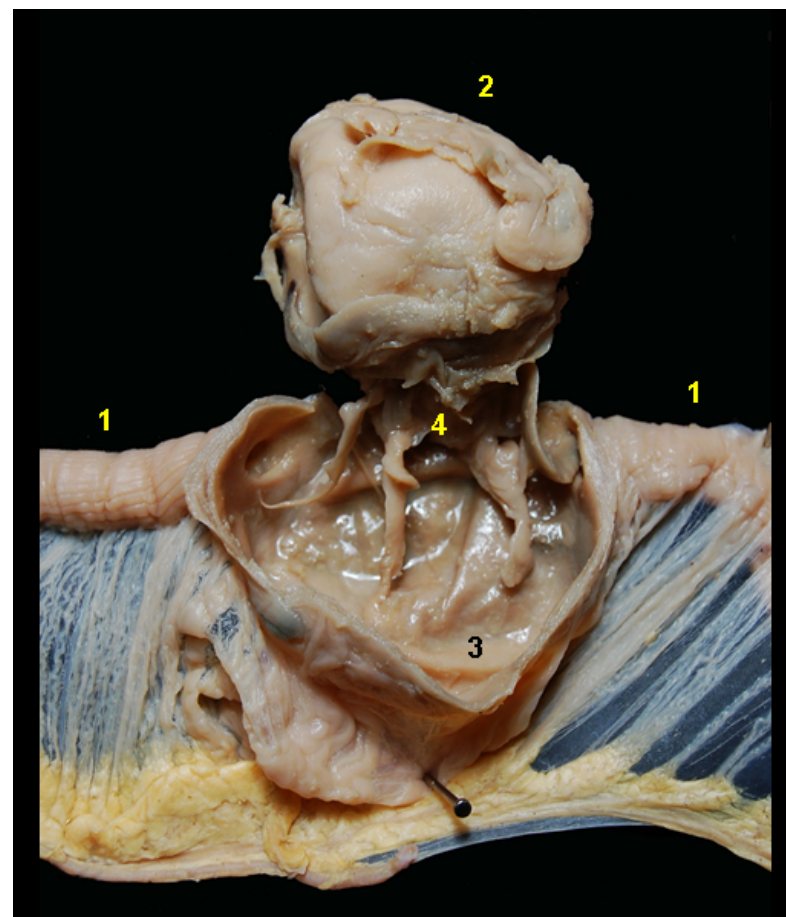


Figura 6.13 - Implantación embrionaria en un cuerno uterino de una hembra de agutí (*Dasyprocta fuliginosa*). 1. Cuello uterino; 2. Vesícula embrionaria; 3. Lugar de aposición del cuerno uterino; 4. Zona de contacto materno-fetal.



Figura 6.14 - Membranas fetales y feto en edad gestacional intermedia de agutí (*Dasyprocta fuliginosa*). Placenta discoide, decidua y hemocorial. 1. Área discoidea de contacto materno-fetal; 2. Membrana corioamniótica; 3. Amnios; 4. Cordón umbilical.



Figura 6.15 - Membranas fetales y feto de agutí (*Dasyprocta fuliginosa*). Placenta discoide, decidua y hemocorial. 1. Saco coriónico; 2. Zona de contacto materno-fetal.



Figura 6.16 - Fetos de agutí (*Dasypus fuliginosus*) en diferentes estadios del desarrollo, desde edad gestacional temprana hasta fetos próximos al parto.



PACA (*Cuniculus paca*)

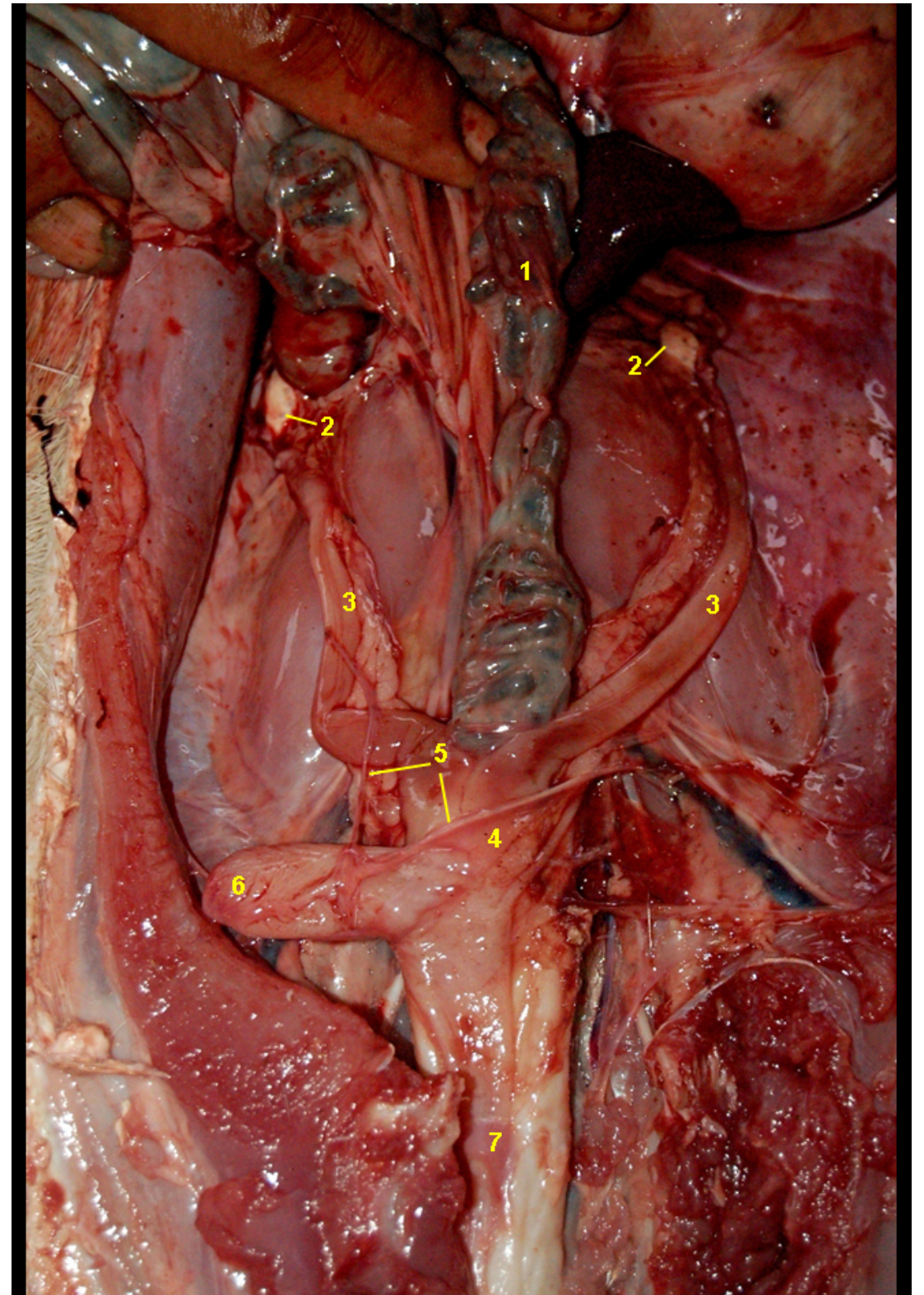


Figura 6.17 - Visión ventral de los órganos abdominales y pelvianos femeninos *in situ* de paca (*Cuniculus paca*). 1. Colon descendente; 2. Ovarios; 3. Cuernos uterinos; 4. Cuello uterino; 5. Uréteres; 6. Vejiga urinaria; 7. Vagina.



Figura 6.18 - Visión ventral de los órganos urogenitales femeninos de paca (*Cuniculus paca*). 1. Colon descendente; 2. Riñones; 3. Ovarios; 4. Cuernos uterinos; 5. Cuello uterino; 6. Ligamento ancho del útero; 7. Vejiga urinaria; 8. Vagina; 9. Vulva.

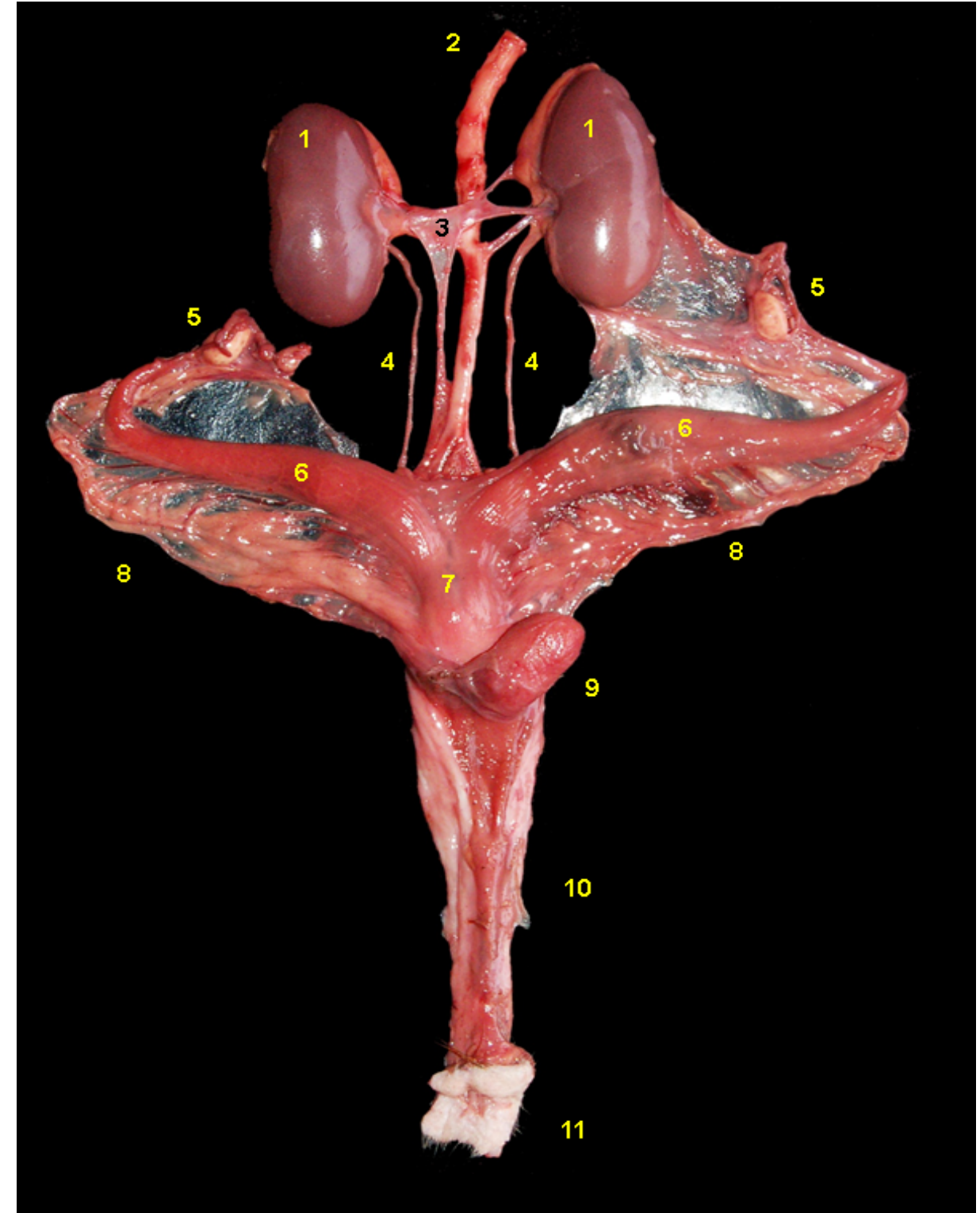


Figura 6.19 - Visión ventral de los órganos urogenitales femeninos de paca (*Cuniculus paca*). 1. Riñones; 2. Aorta abdominal; 3. Vena cava caudal; 4. Uréteres; 5. Ovarios y trompas uterinas; 6. Cuernos uterinos; 7. Cuello uterino; 8. Ligamento ancho; 9. Vejiga urinaria; 10. Vagina; 11. Vulva.



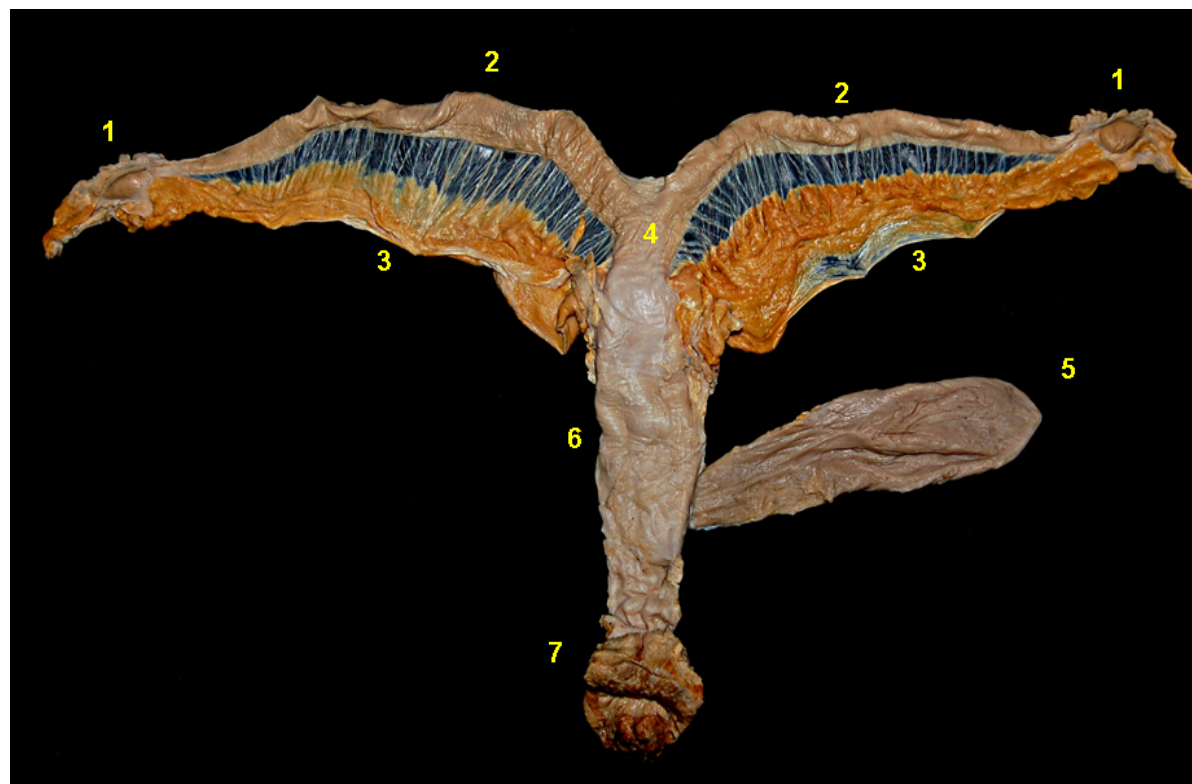


Figura 6.20 - Visión dorsal de los órganos urogenitales de la hembra no gestante de paca (*Cuniculus paca*). 1. Ovarios y trompas uterinas; 2. Cuernos uterinos; 3. Ligamento ancho; 4. Cuello uterino; 5. Vejiga urinaria; 6. Vagina; 7. Vulva.



Figura 6.22 - Secciones ováricas de paca (*Cuniculus paca*). 1. Folículos antrales; 2. Cuerpo lúteo cíclico; 3. Cuerpo lúteo de gestación; 4. Cuerpos lúteos accesorios; 5. Folículo en proceso de luteinización.

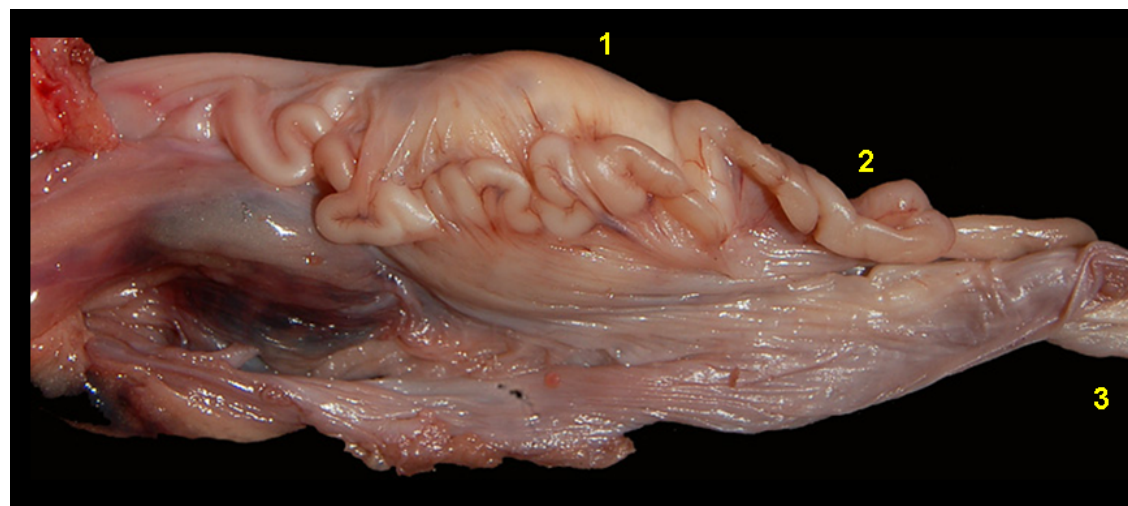


Figura 6.21 - Ovario y trompa uterina de una lebra de paca (*Cuniculus paca*). 1. Ovario; 2. Trompa uterina; 3. Ligamento suspensor del ovario.

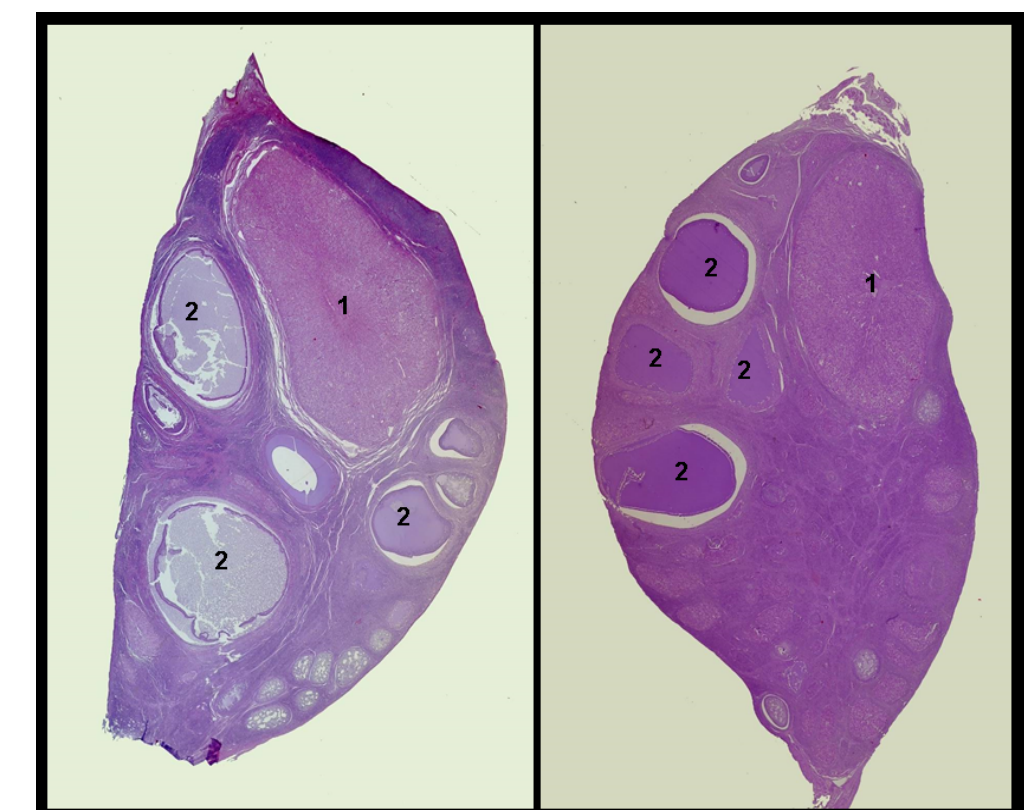


Figura 6.23 - Secciones histológicas del ovario de una hembra de paca (*Cuniculus paca*). 1. Cuerpos lúteos; 2. Folículos ováricos.

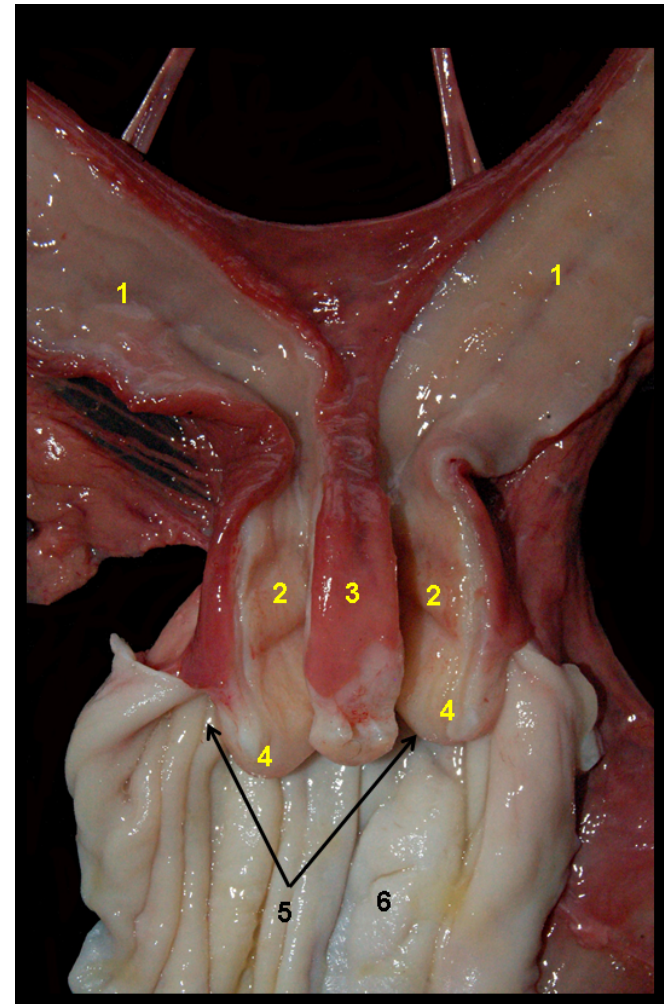


Figura 6.24 - Órganos genitales femeninos de pacón (*Cuniculus paca*). Útero bícorne abierto: Cuello uterino doble. 1. Cuernos uterinos; 2. Cuellos uterinos; 3. Velo uterino; 4. Porción vaginal del cuello; 5. Fórnix vaginal; 6. Vagina.

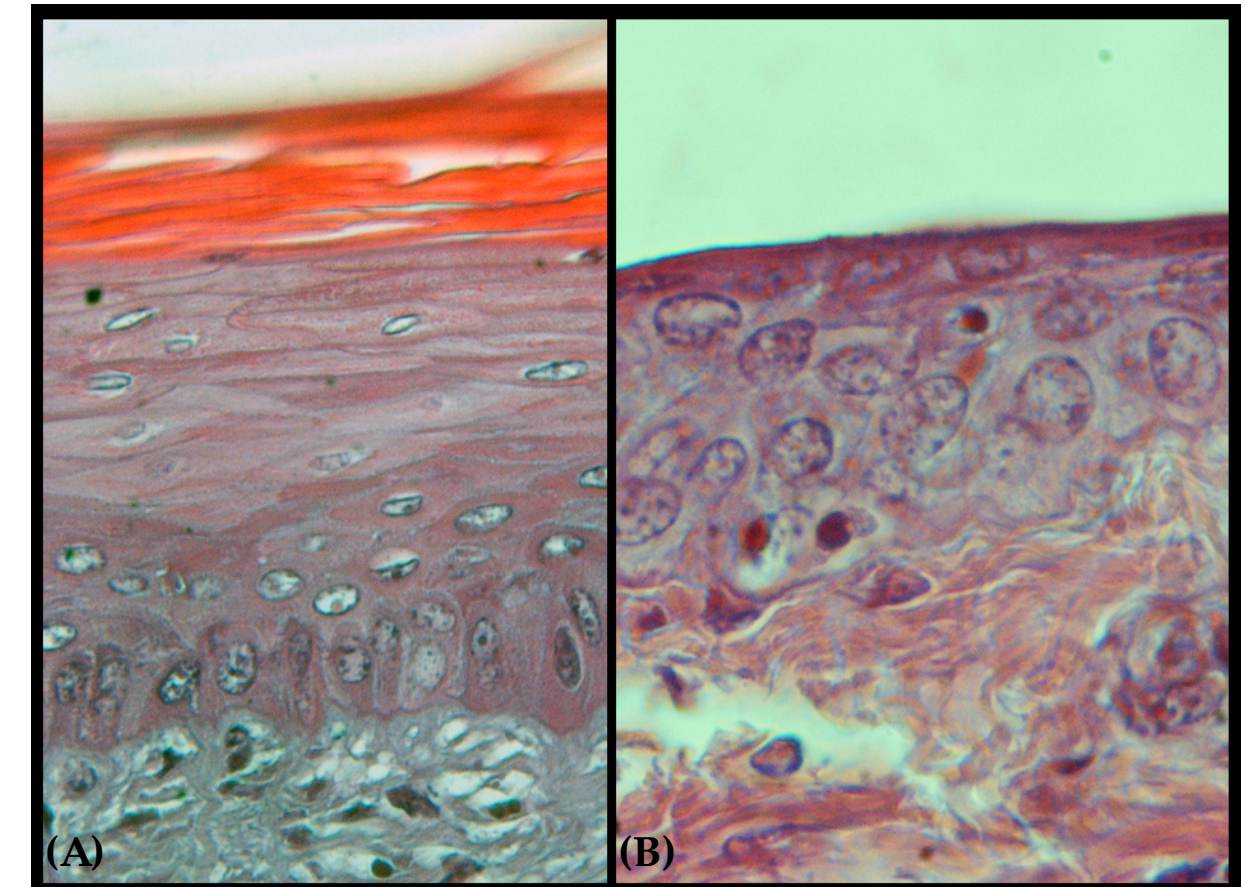


Figura 6.26 - Secciones histológicas de la vagina de una hembra de pacón (*Cuniculus paca*) en fase folicular (A) y en fase luteal (B) del ciclo estral. En la fase folicular se observa un mayor desarrollo y cornificación del epitelio vaginal.

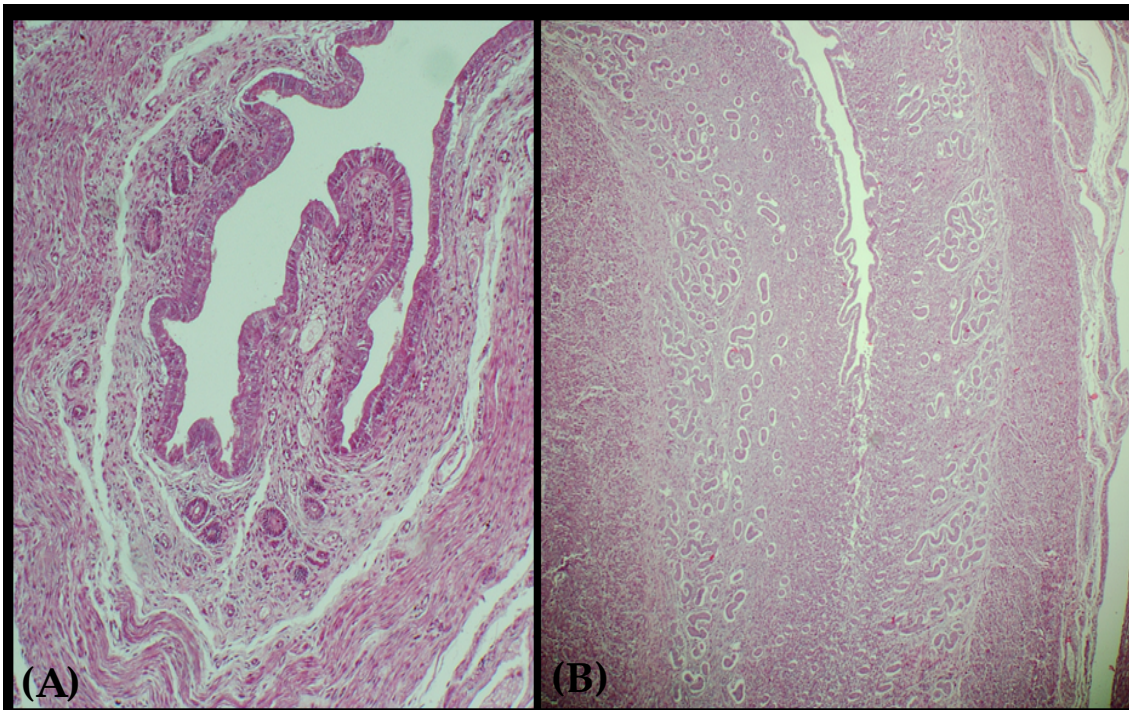


Figura 6.25 - Secciones histológicas del cuerno uterino de una hembra de pacón (*Cuniculus paca*) en fase folicular (A) y en fase luteal (B) del ciclo estral. En la fase luteal se observa un mayor desarrollo del endometrio y de las glándulas endometriales.

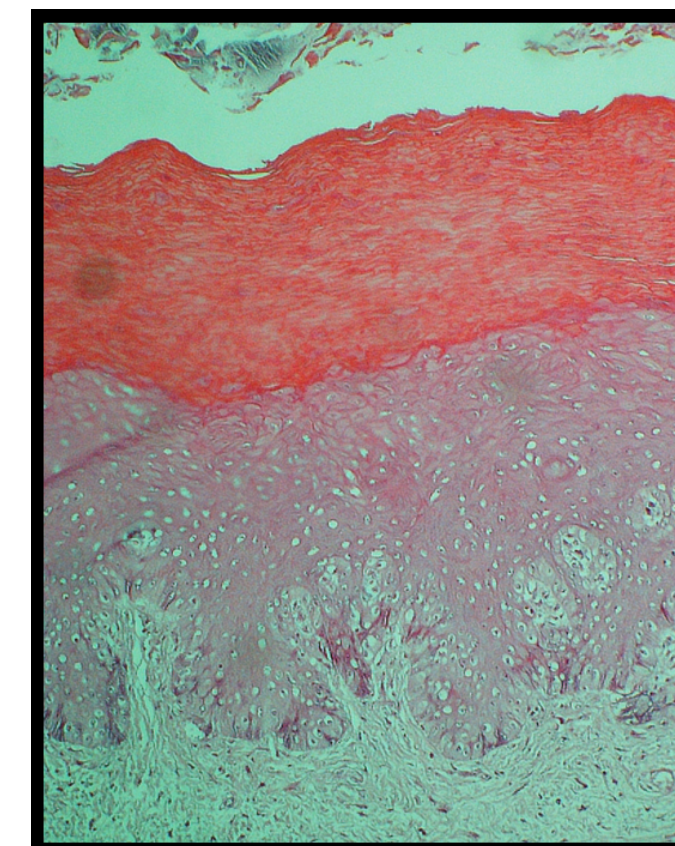


Figura 6.27 - Sección histológica de la vagina de una hembra de pacón (*Cuniculus paca*) en fase folicular donde se observa el gran desarrollo y cornificación del epitelio vaginal.

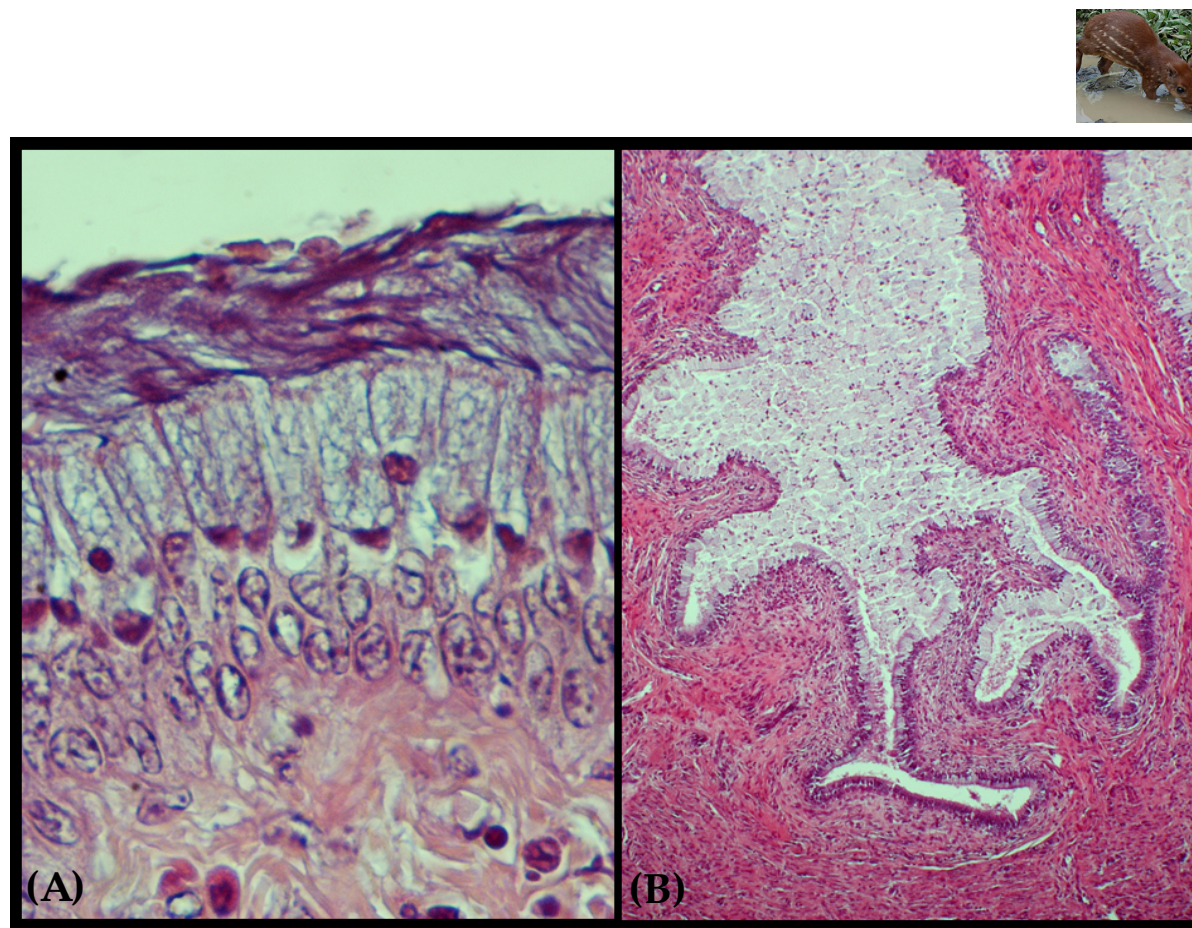


Figura 6.28 - Secciones histológicas del epitelio vaginal de la hembra de paca (*Cuniculus paca*). A - Células columnares secretoras de la porción craneal del epitelio vaginal de una hembra gestante. B - Gran cantidad de moco formando un tapón vaginal que evita la entrada de material extraño en el canal cervical protegiendo la gestación.

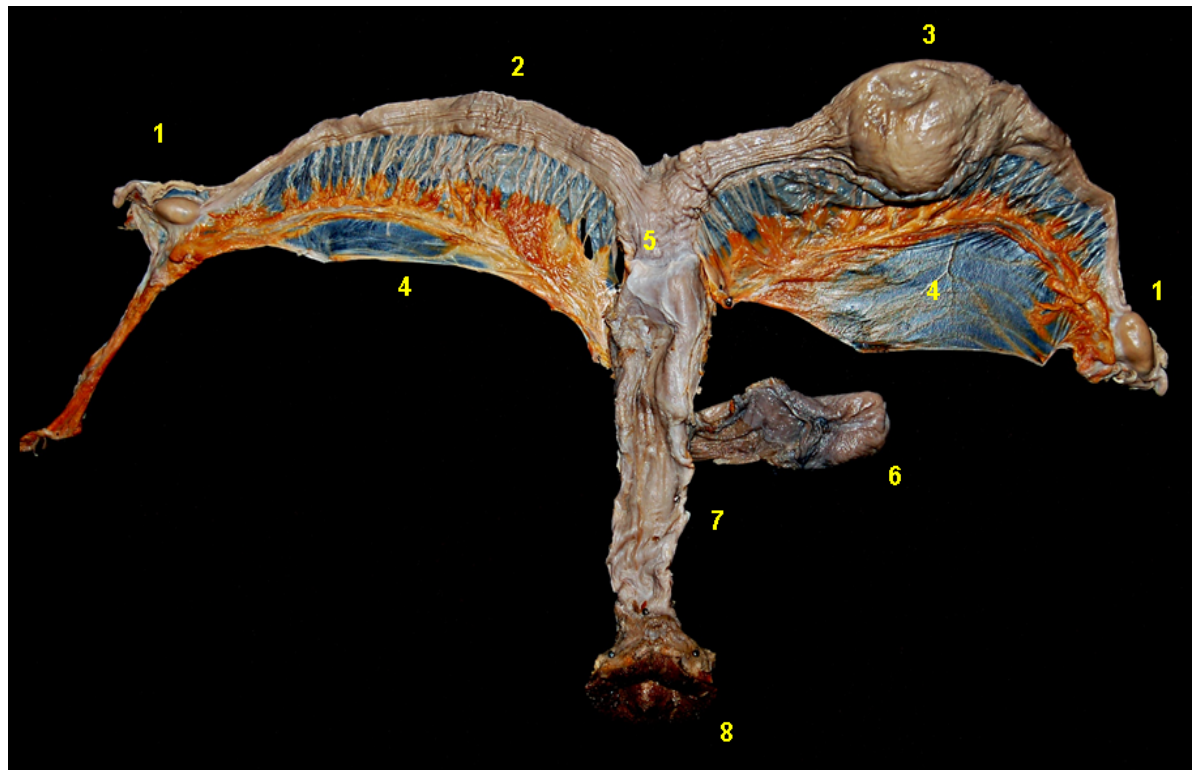


Figura 6.29 - Visión dorsal de los órganos genitales de una hembra de paca (*Cuniculus paca*) en periodo gestacional temprano. 1. Ovarios y trompas uterinas; 2. Cuerno uterino no gestante; 3. Cuerno uterino gestante; 4. Ligamento ancho; 5. Cuello uterino; 6. Vejiga urinaria; 7. Vagina; 8. Vulva.

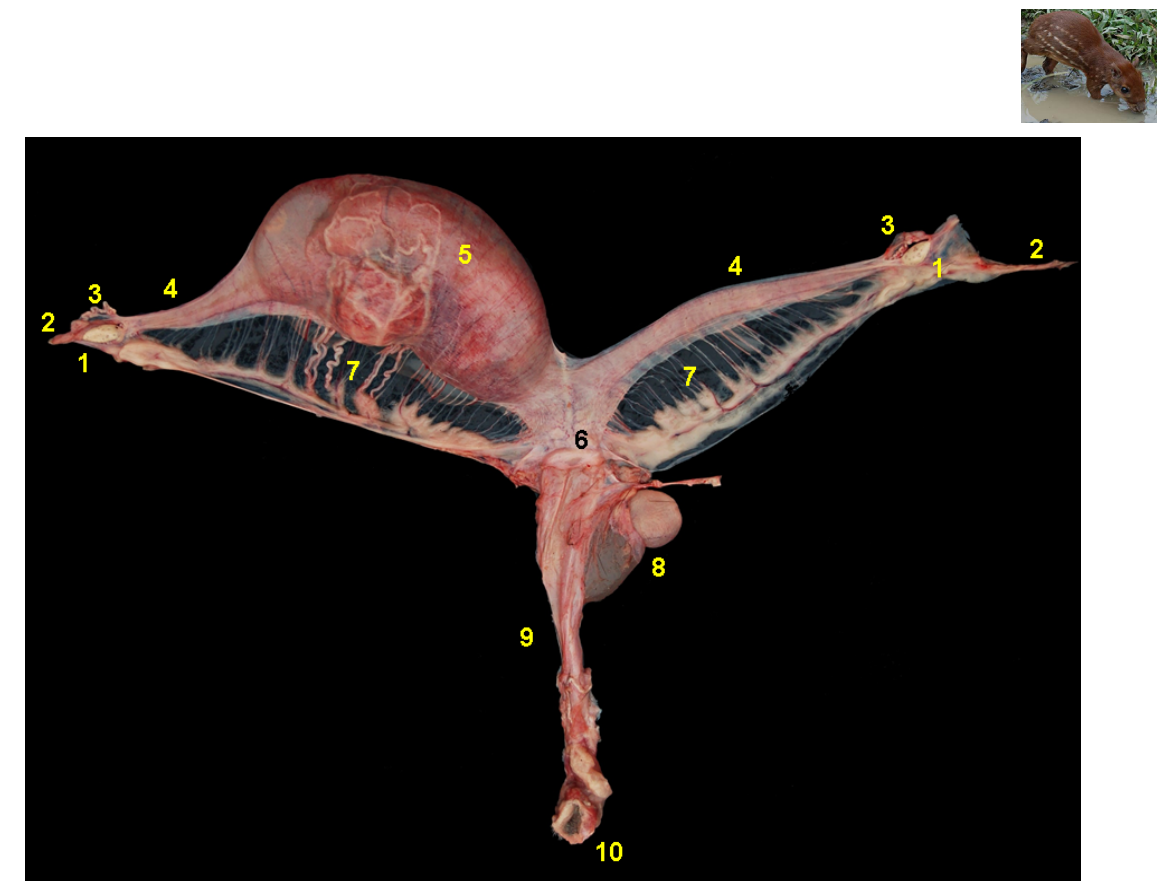


Figura 6.30 - Visión dorsal de los órganos genitales de una hembra de paca (*Cuniculus paca*) en periodo gestacional intermedio. 1. Ovarios; 2. Ligamento suspensorio del ovario; 3. Trompas uterinas; 4. Cuernos uterinos; 5. Lugar de implantación placentaria; 6. Cuello uterino; 7. Ligamento ancho del útero; 8. Vejiga urinaria; 9. Vagina; 10. Vulva.



Figura 6.31 - Visión dorsal de los órganos genitales de una hembra de paca (*Cuniculus paca*) en periodo gestacional intermedio. 1. Ovario; 2. Trompa uterina; 3. Cuerno uterino; 4. Lugar de implantación placentaria; 5. Zona discoidea de contacto materno-fetal; 6. Cuerpo uterino; 7. Ligamento ancho del útero.



Figura 6.32 - Membranas fetales y feto de paca (*Cuniculus paca*). Se ha abierto el cuerno uterino para observar las membranas placentarias. Placenta discoide, decidua y hemocorial. 1. Cuerpos uterinos; 2. Saco coriónico; 3. Zona discoidea de contacto materno-fetal; 4. Feto cubierto por el saco coriónico; 5. Cuello uterino.

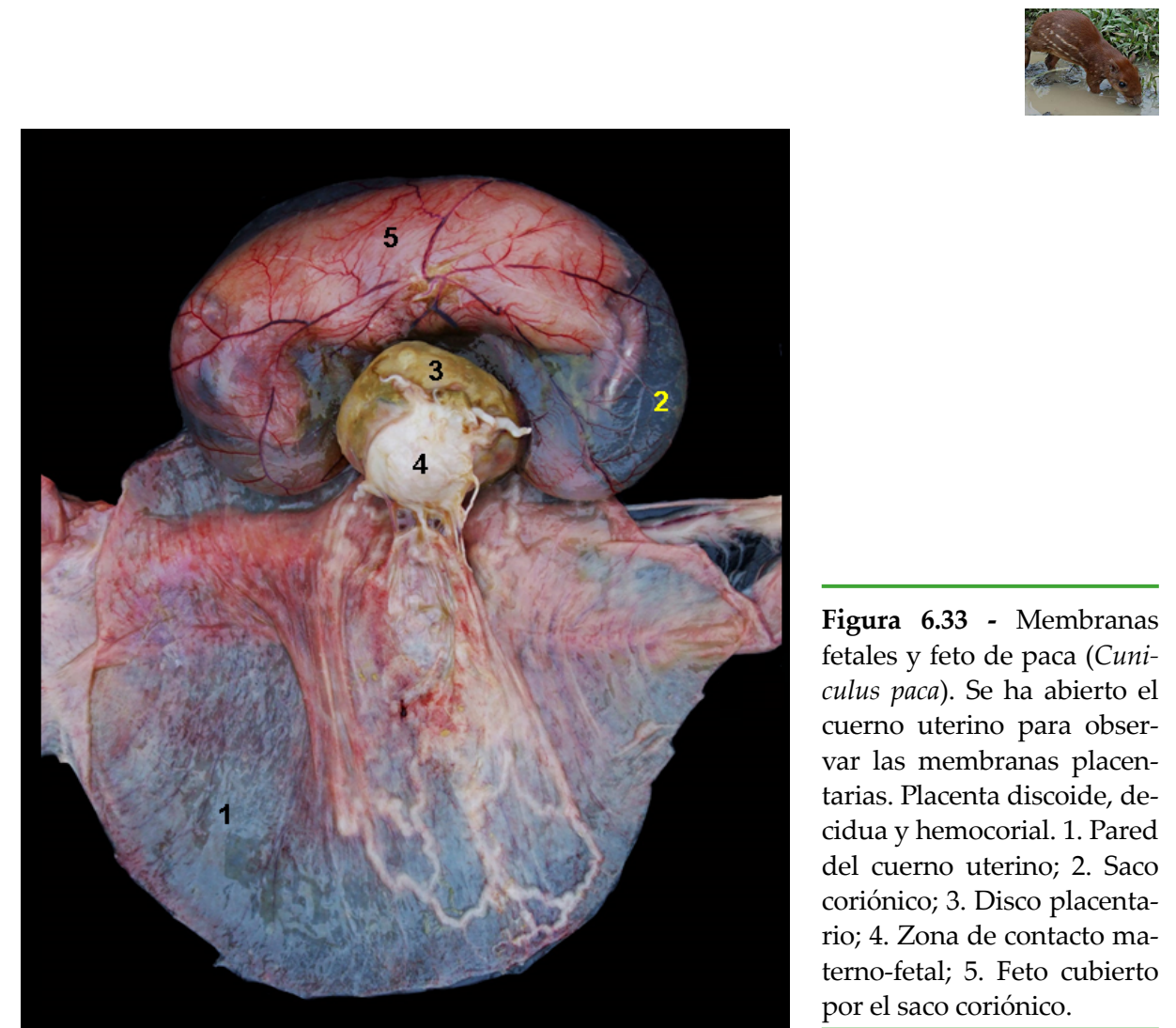


Figura 6.33 - Membranas fetales y feto de paca (*Cuniculus paca*). Se ha abierto el cuerno uterino para observar las membranas placentarias. Placenta discoide, decidua y hemocorial. 1. Pared del cuerno uterino; 2. Saco coriónico; 3. Disco placentario; 4. Zona de contacto materno-fetal; 5. Feto cubierto por el saco coriónico.

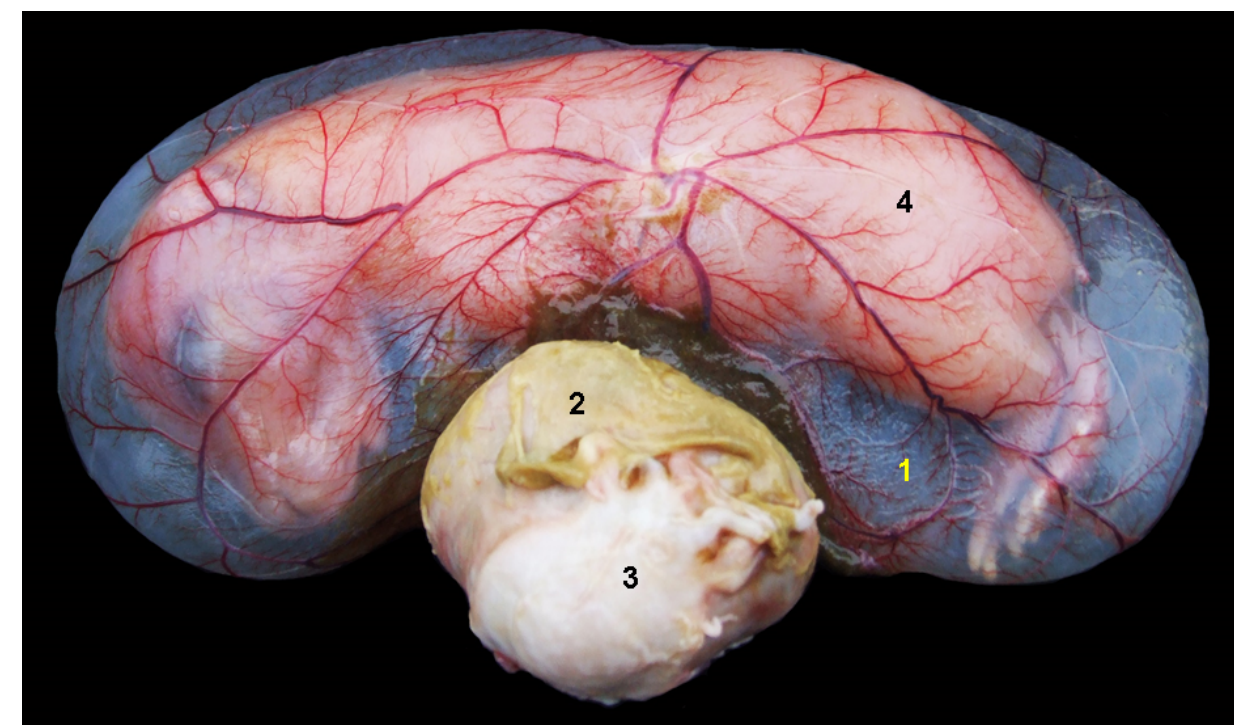


Figura 6.34 - Membranas fetales y feto de paca (*Cuniculus paca*). Placenta discoide, decidua y hemocorial. 1. Saco coriónico; 2. Disco placentario; 3. Zona de contacto materno-fetal; 4. Feto cubierto por el saco coriónico.

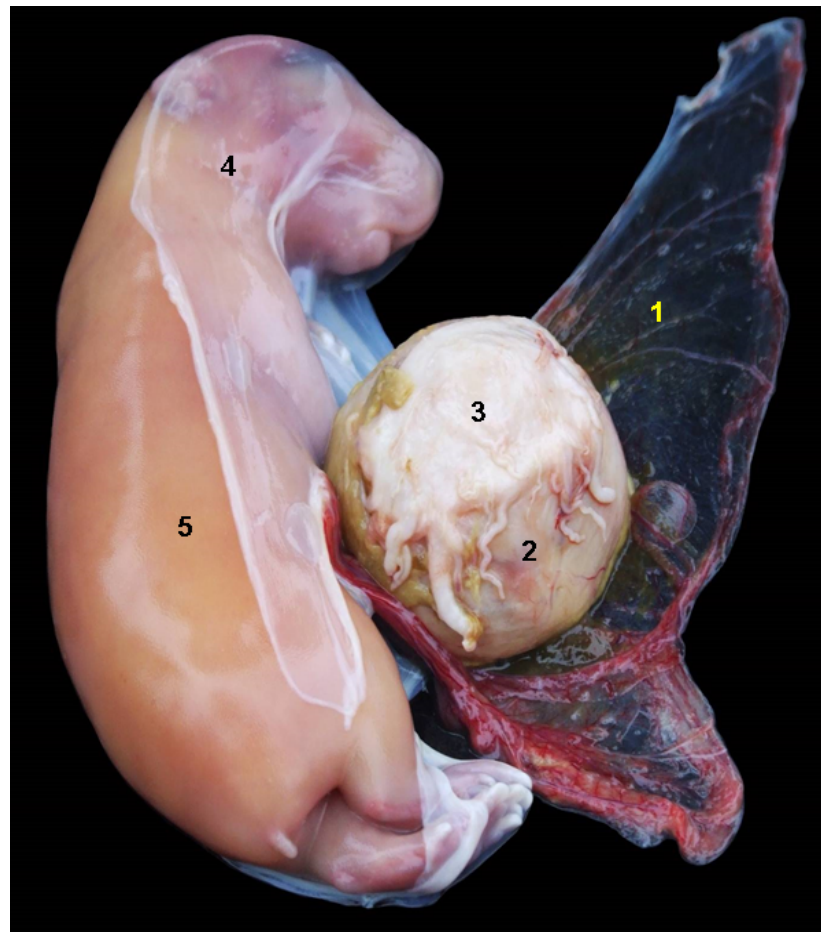


Figura 6.35 - Membranas fetales y feto de paca (*Cuniculus paca*). Placenta discoide, decidua y hemocorial. Se ha seccionado el saco coriónico y parcialmente la membrana amniótica. 1. Membrana corioalantoidea; 2. Disco placentario; 3. Zona de contacto materno-fetal; 4. Amnios; 5. Feto.



Figura 6.36 - Membranas fetales y feto de paca (*Cuniculus paca*). Placenta discoide, decidua y hemocorial. Se han seccionado el saco coriónico y la membrana amniótica. 1. Membrana corioalantoidea; 2. Disco placentario; 3. Zona de contacto materno-fetal; 4. Amnios; 5. Feto.

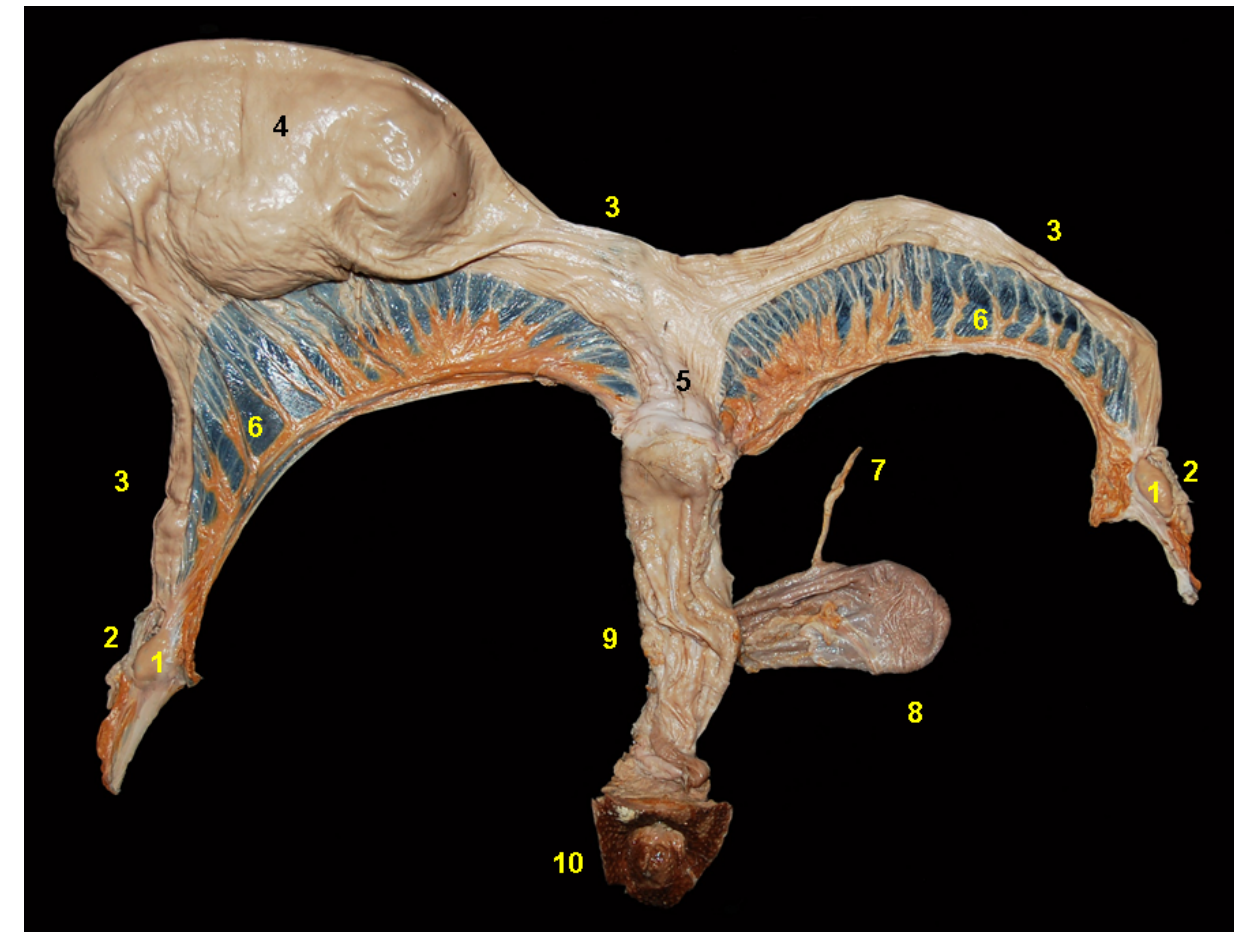


Figura 6.37 - Visión dorsal de los órganos genitales de una hembra de paca (*Cuniculus paca*) en periodo gestacional intermedio. 1. Ovarios; 2. Trompas uterinas; 3. Cuernos uterinos; 4. Lugar de implantación placentaria; 5. Cuello uterino; 6. Ligamento ancho del útero; 7. Uréter; 8. Vejiga urinaria; 9. Vagina; 10. Vulva.



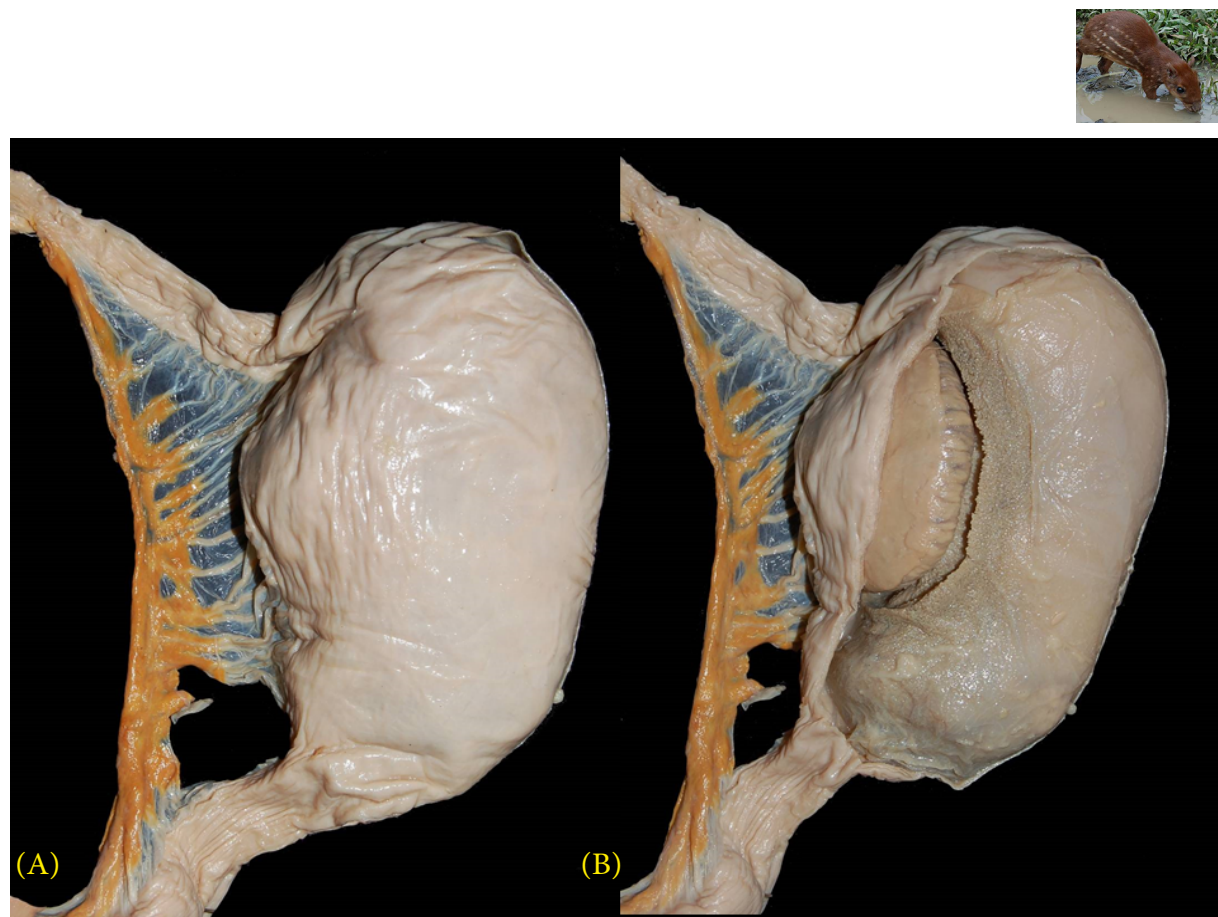


Figura 6.38 - Órganos genitales de una hembra de paca (*Cuniculus paca*) en periodo gestacional intermedio. Placenta discoide, decidua y hemocorial. **A** - Cuerno uterino gestante intacto; **B** - Cuerno uterino abierto mostrando el saco coriónico y la placenta.

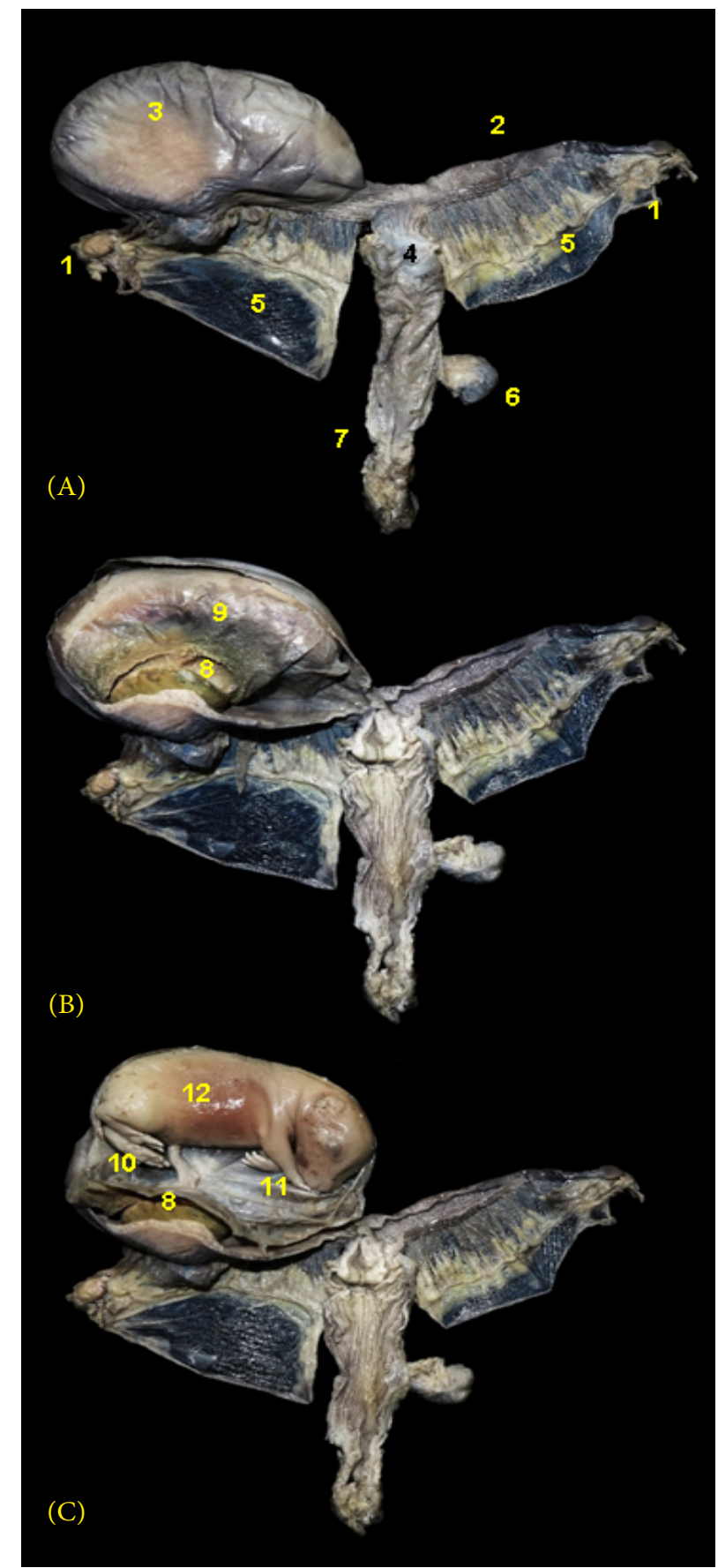


Figura 6.40 - Visión dorsal de los órganos genitales de una hembra de paca (*Cuniculus paca*) en periodo gestacional intermedio. **A** - Se mantienen los cuernos uterinos intactos. **B** - Se ha seccionado la pared del cuerno uterino izquierdo para visualizar el saco coriónico. **C** - Se ha seccionado el saco coriónico para visualizar al feto. 1. Ovarios; 2. Cuernos uterinos; 3. Lugar de implantación placentaria; 4. Cuello uterino; 5. Ligamento ancho; 6. Vejiga urinaria; 7. Vagina; 8. Zona discoidea de contacto materno-fetal; 9. Saco coriónico; 10. Membrana corioalantoidea; 11. Amnios; 12. Feto.

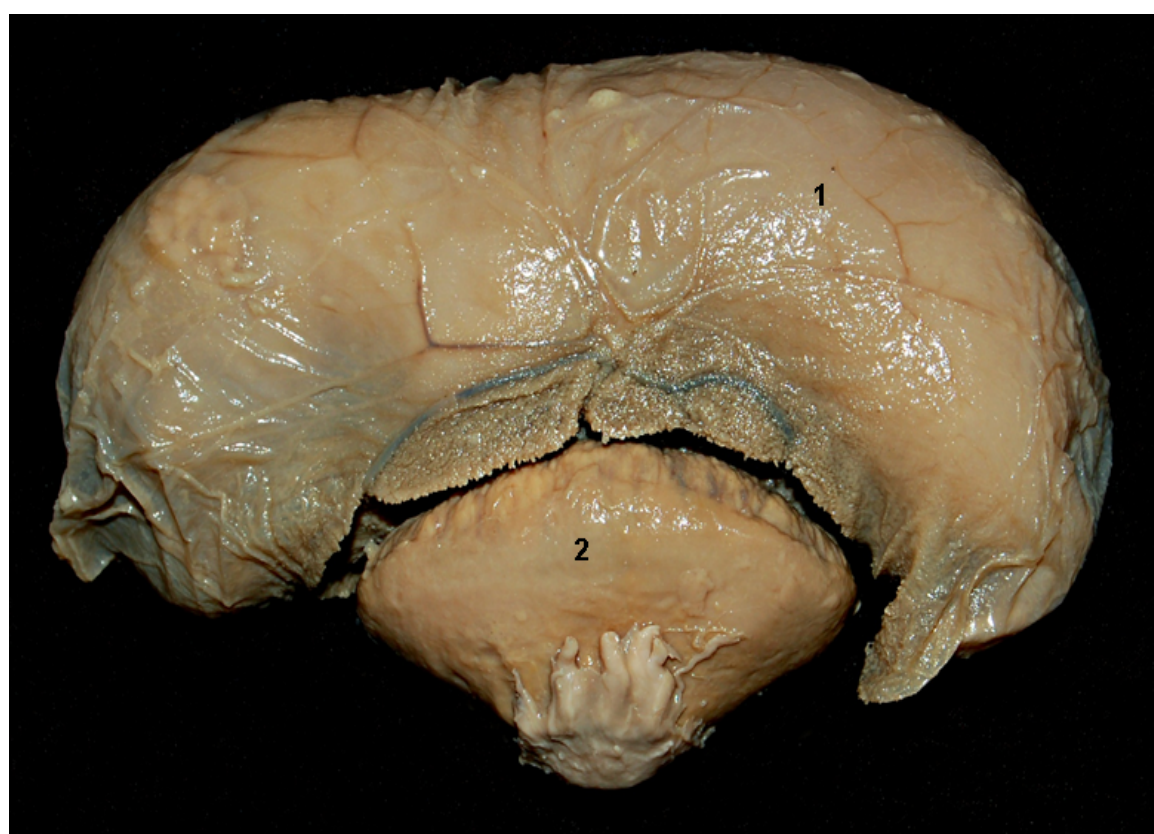


Figura 6.39 - Membranas fetales y feto de paca (*Cuniculus paca*). Placenta discoide, decidua y hemocorial. 1. Saco coriónico; 2. Zona de contacto materno-fetal.

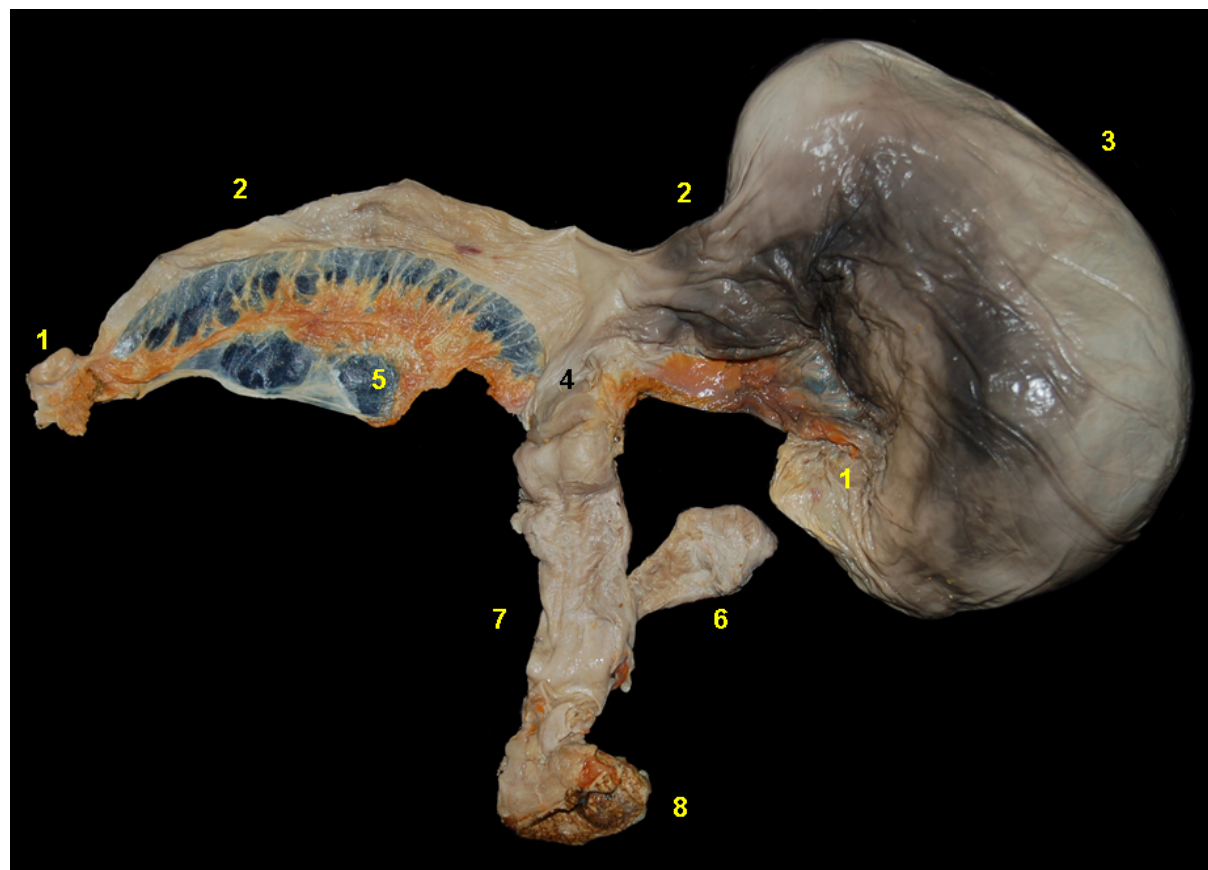


Figura 6.41 - Visión dorsal de los órganos genitales de una hembra de paca (*Cuniculus paca*) en periodo gestacional avanzado. 1. Ovarios; 2. Cuernos uterinos; 3. Lugar de implantación placental; 4. Cuello uterino; 5. Ligamento ancho; 6. Vejiga urinaria; 7. Vagina; 8. Vulva.

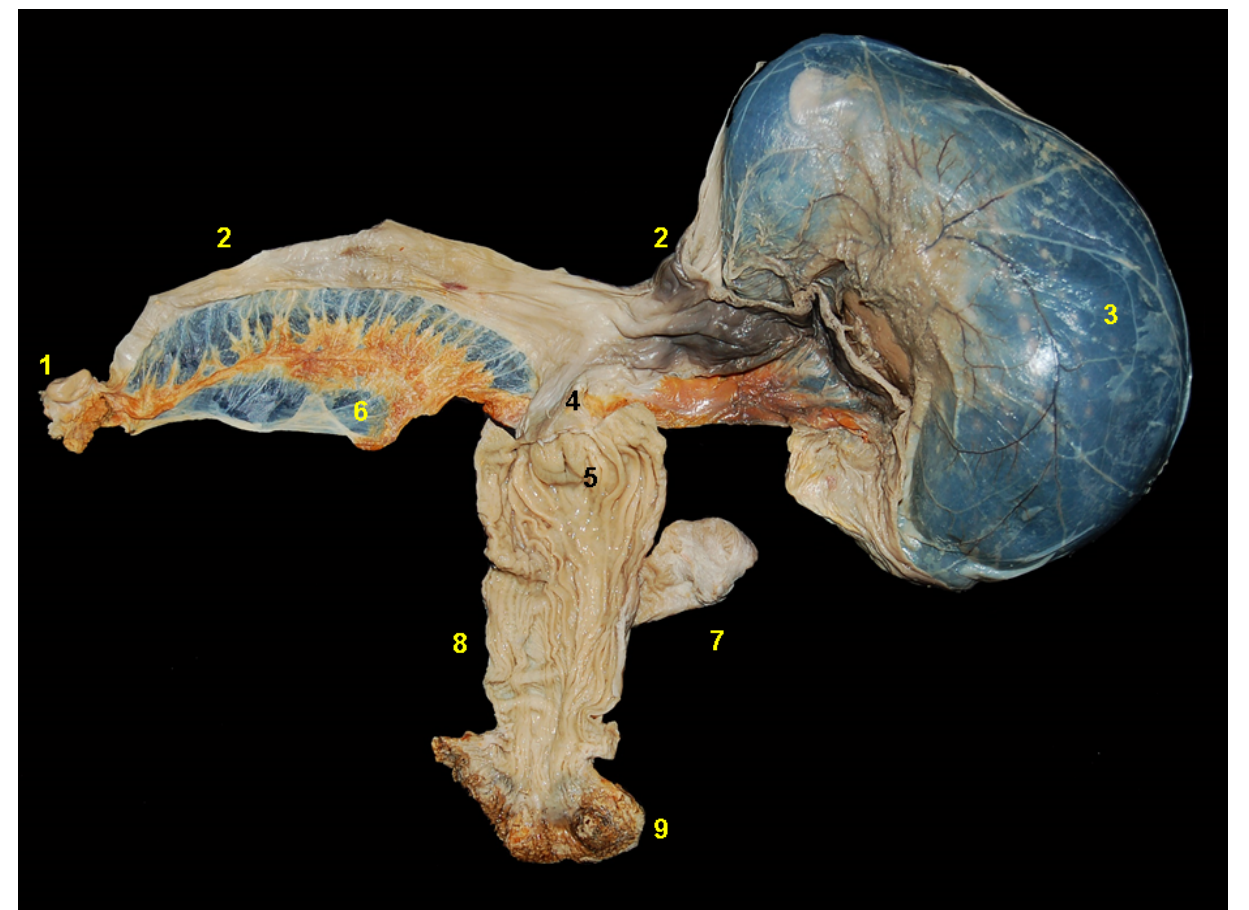


Figura 6.42 - Visión dorsal de los órganos genitales de una hembra de paca (*Cuniculus paca*) en periodo gestacional avanzado. Se ha seccionado la pared del cuerno uterino para visualizar el saco coriônico, y se ha abierto la vagina para observar el orificio uterino externo. 1. Ovarios; 2. Cuernos uterinos; 3. Saco coriônico; 4. Cuello uterino; 5. Orificio uterino externo; 6. Ligamento ancho; 7. Vejiga urinaria; 8. Vagina; 9. Vulva.

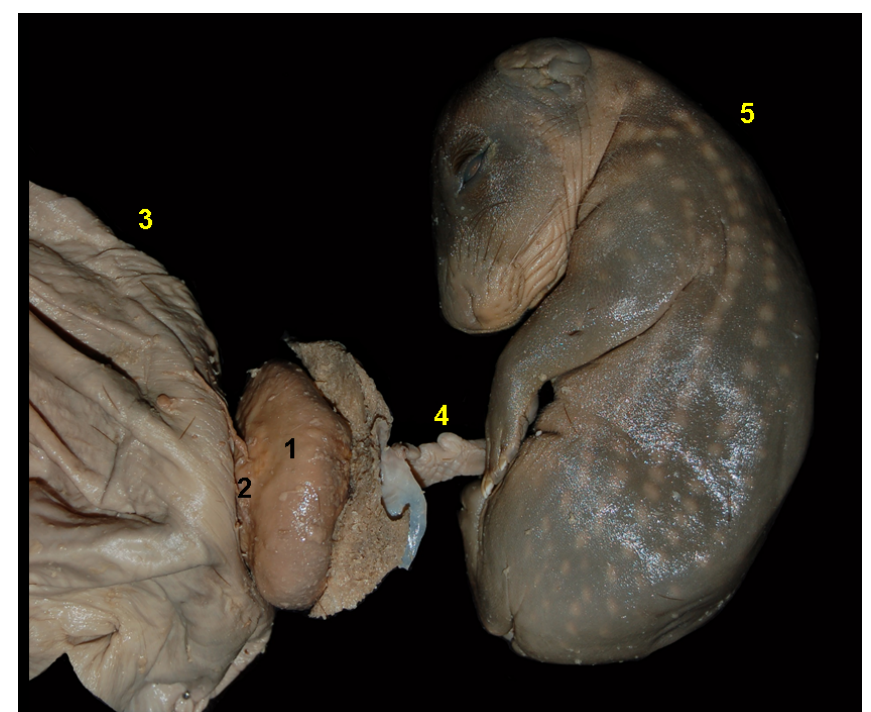


Figura 6.43 - Membranas fetales y feto de una paca (*Cuniculus paca*) en periodo gestacional avanzado. Placenta discoide, decidua y hemocorial. Se han seccionado el saco coriônico y la membrana amniótica. 1. Disco placentario; 2. Zona de contacto materno-fetal; 3. Pared del cuerno uterino; 4. Cordón umbilical; 5. Feto.



Figura 6.44 - Visión dorsal de los órganos genitales de una hembra de paca (*Cuniculus paca*) con dos fetos en periodo gestacional intermedio. **A** - Se mantienen los cuernos uterinos intactos. **B** - Se ha seccionado la pared de los cuernos uterinos para visualizar los sacos coriónicos. **C** - Se ha seccionado el saco coriónico de uno de los fetos. 1. Cuernos uterinos; 2. Lugar de implantación placentaria; 3. Cuello uterino; 4. Ligamentos anchos; 5. Zonas discoideas de contacto materno-fetal; 6. Sacos coriónicos; 7. Amnios; 8. Feto.

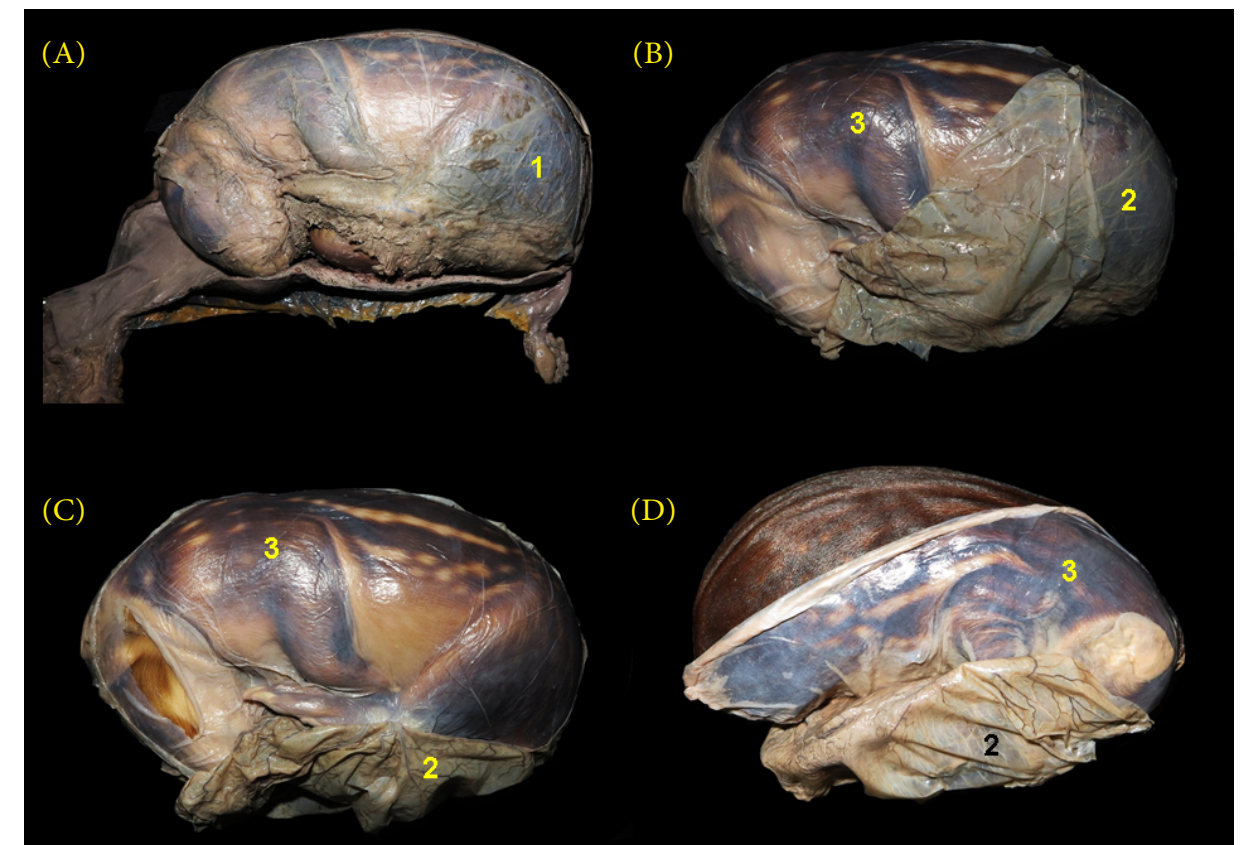


Figura 6.45 - Membranas fetales y feto de una paca (*Cuniculus paca*) en periodo gestacional avanzado y próximo al parto. En las imágenes A a D se van retirando progresivamente las membranas fetales. Placenta discoide, decidua y hemocorial. 1. Saco coriónico; 2. Membrana corioalantoidea; 3. Amnios.

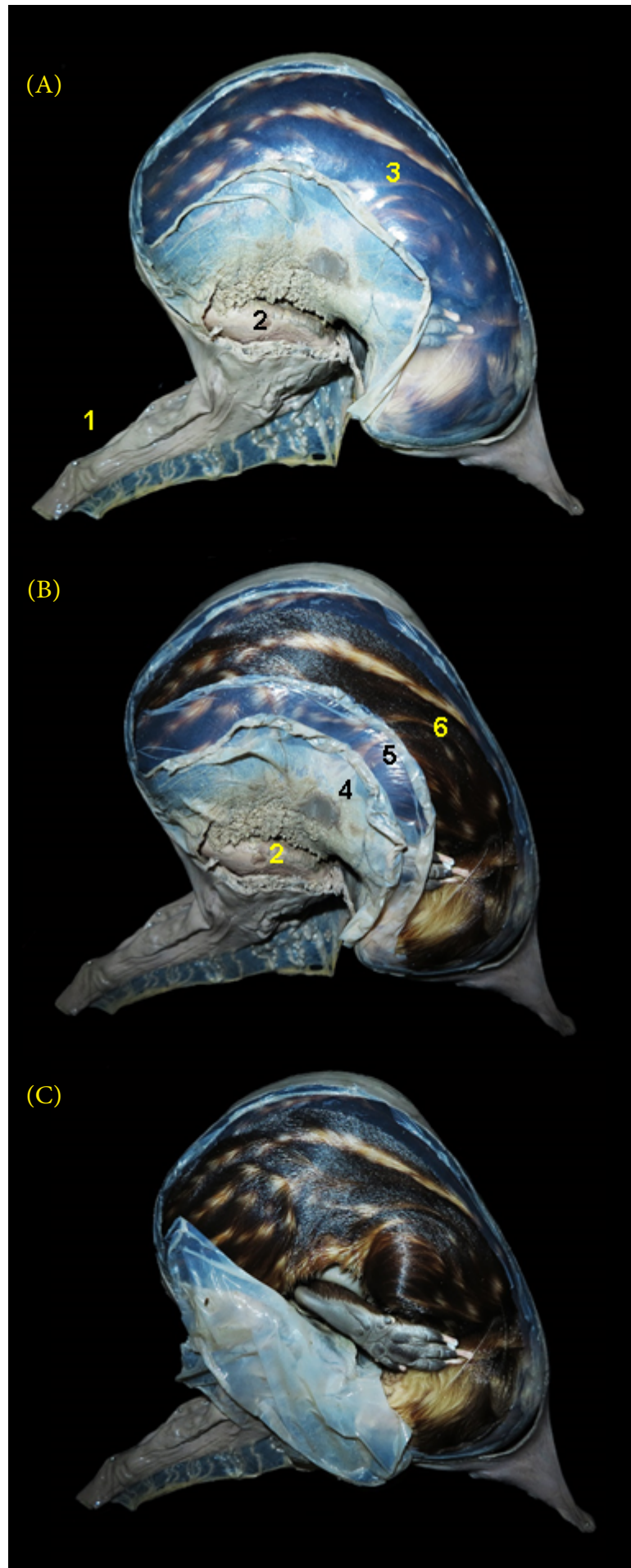


Figura 6.46 - Membranas fetales y feto de una paca (*Cuniculus paca*) en periodo gestacional avanzado y próximo al parto, tras seccionar la pared del cuerno uterino. En las imágenes A a C se van retirando progresivamente las membranas fetales. Placenta discoide, decidua y hemocorial. 1. Cuerno uterino; 2. Zona discoidea de contacto materno-fetal; 3. Saco coriónico; 4. Membrana corioalantoidea; 5. Amnios; 6. Feto.



Figura 6.47 - Fetos de paca (*Cuniculus paca*) en diferentes estadios del desarrollo, desde etapas embrionarias hasta fetos próximos al parto.



CAPIBARA *(Hydrochoerus hydrochaeris)*

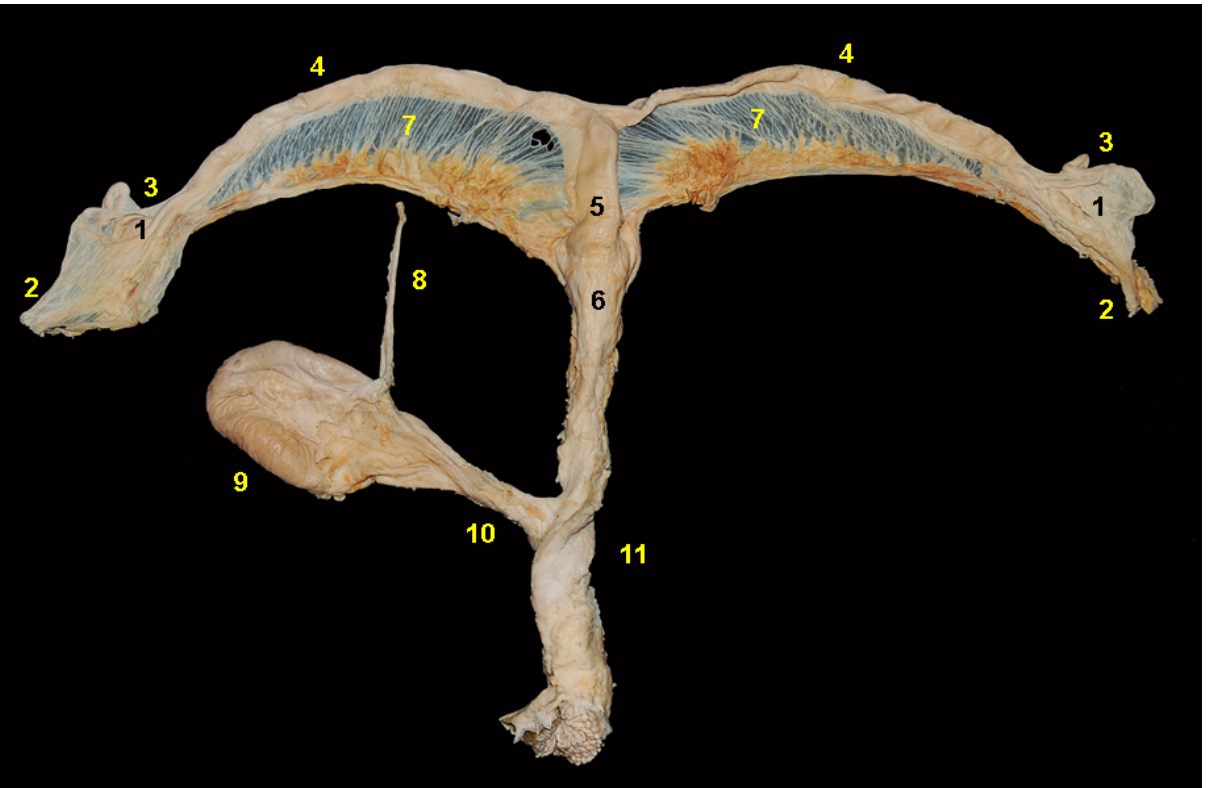


Figura 6.48 - Visión dorsal de los órganos genitales de una hembra de capibara (*Hydrochoerus hydrochaeris*). 1. Ovarios; 2. Ligamentos suspensores del ovario; 3. Trompas uterinas; 4. Cuerpos uterinos; 5. Cuerpo uterino; 6. Cuello uterino; 7. Ligamento ancho del útero; 8. Uréter; 9. Vejiga urinaria; 10. Uretra; 11. Vagina.



Figura 6.49 - Visión dorsal de los órganos genitales de una hembra de capibara (*Hydrochoerus hydrochaeris*) gestante. 1. Ovarios; 2. Cuernos uterinos; 3. Vesículas embrionarias; 4. Cuerpo uterino; 5. Vagina; 6. Ligamentos anchos.



Figura 6.50 - Implantación embrionaria en un cuerno uterino de una hembra de capibara (*Hydrochoerus hydrochaeris*). 1. Cuerno uterino; 2. Vesículas embrionarias.



ARMADILLO DE NUEVE BANDAS (*Dasypus novemcinctus*)

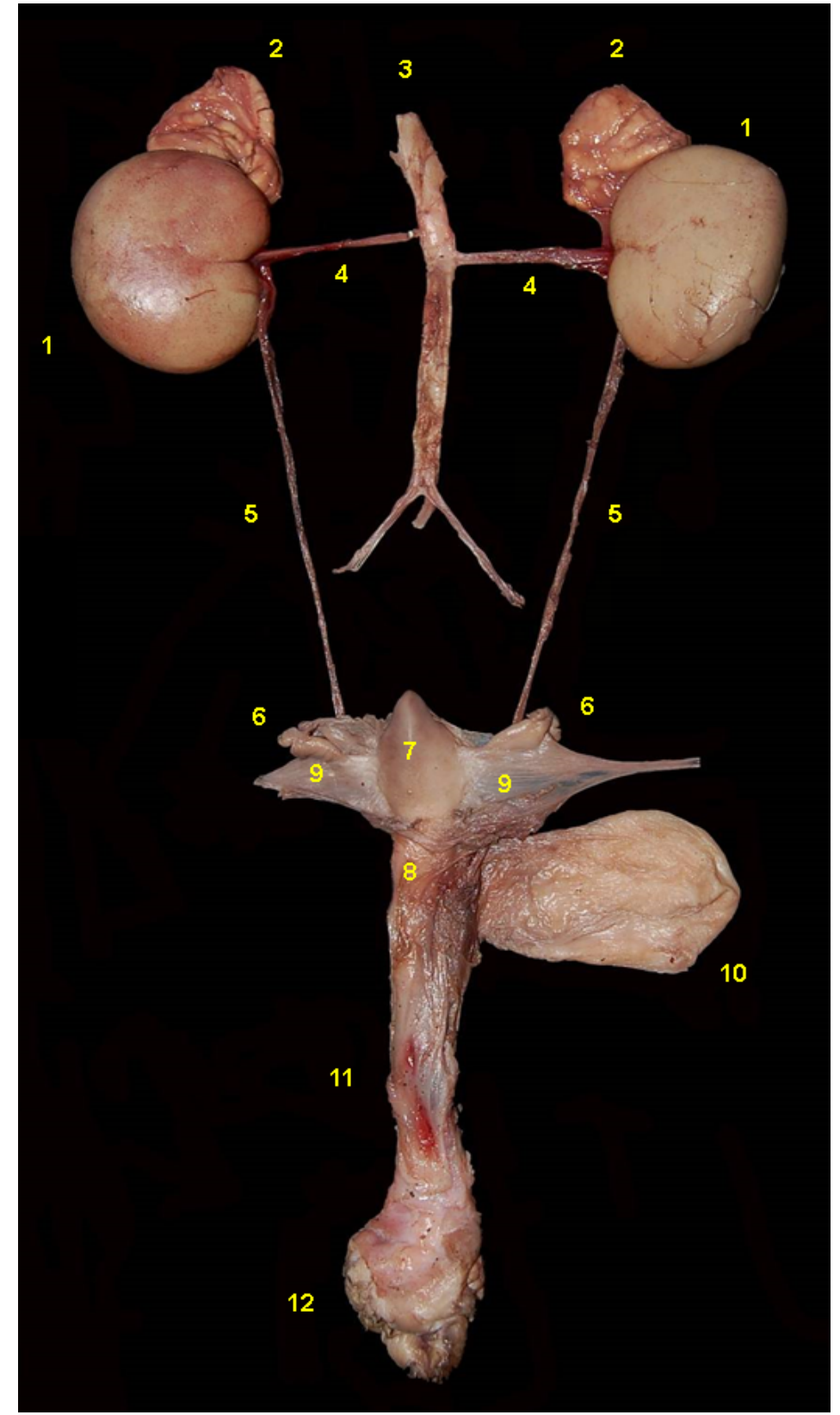


Figura 6.51 - Visión dorsal de los órganos urogenitales de una hembra no gestante de armadillo de nueve bandas (*Dasypus novemcinctus*). 1. Riñones; 2. Glándulas adrenales; 3. Aorta abdominal; 4. Arterias renales; 5. Uréteres; 6. Ovarios; 7. Cuerpo uterino; 8. Cuello uterino; 9. Ligamento ancho; 10. Vejiga urinaria; 11. Vagina; 12. Vulva.

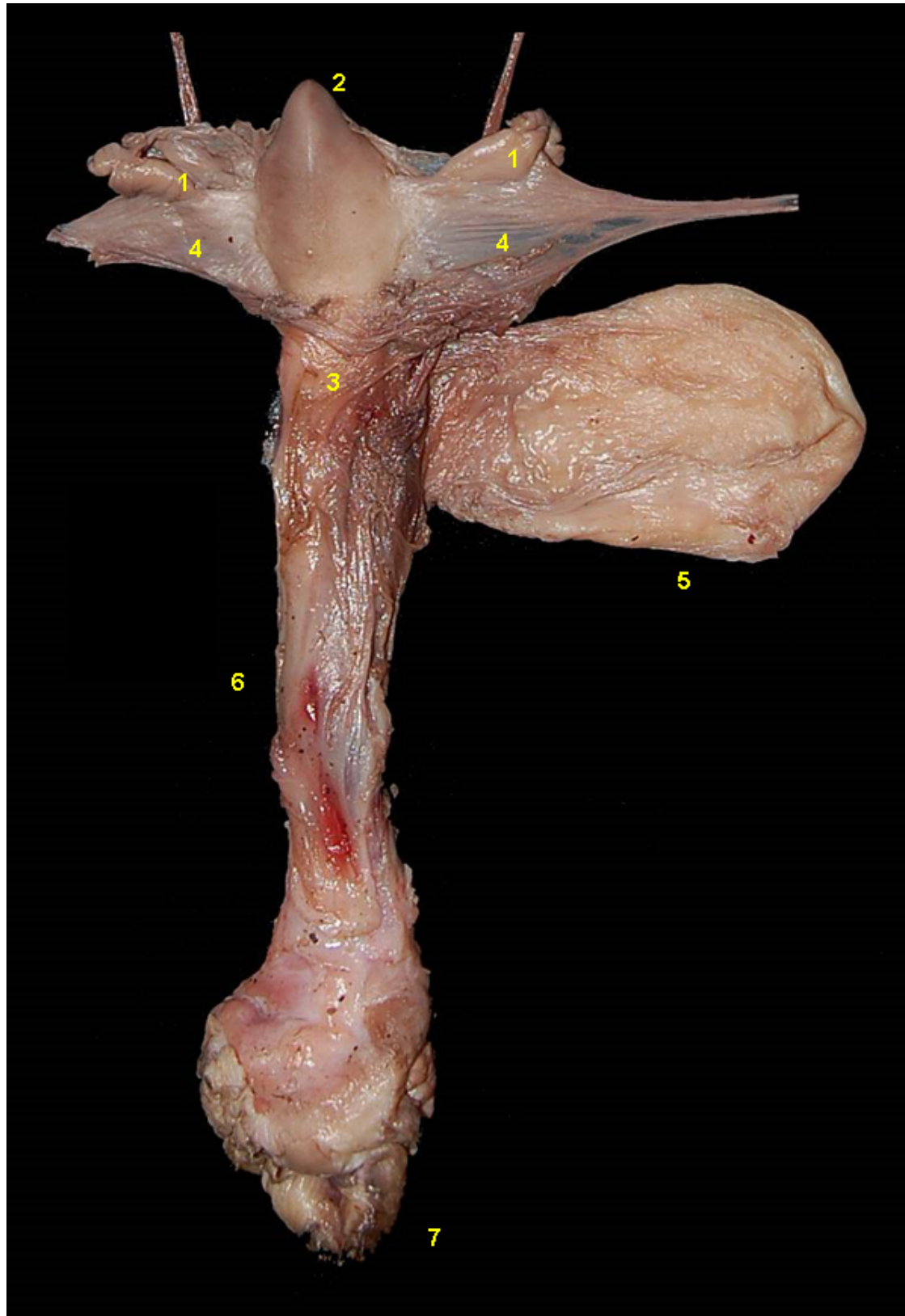


Figura 6.52 - Visión dorsal de los órganos genitales de una hembra no gestante de armadillo de nueve bandas (*Dasypus novemcinctus*). 1. Ovarios; 2. Cuerpo uterino; 3. Cuello uterino; 4. Ligamento ancho; 5. Vejiga urinaria; 6. Vagina; 7. Vulva.

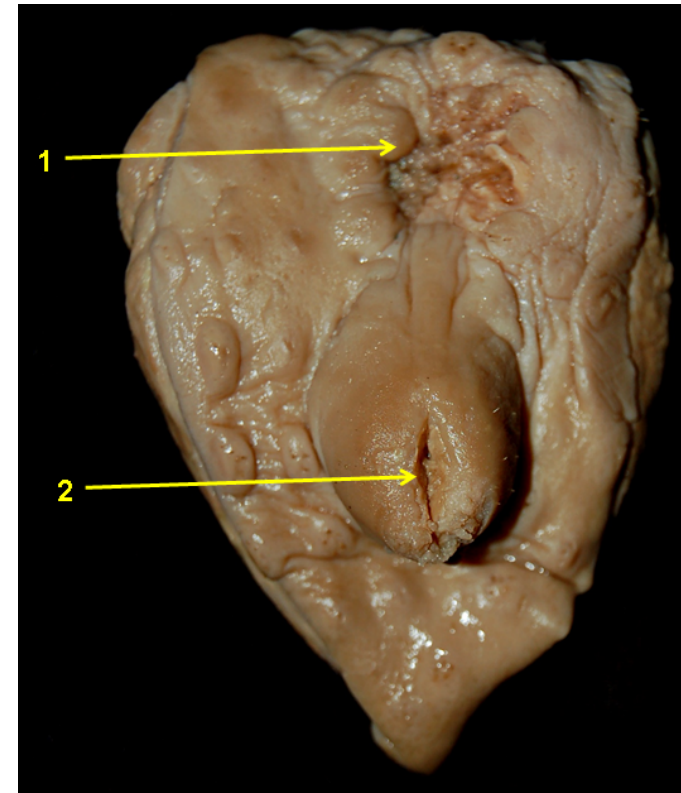


Figura 6.53 - Ano y vulva del armadillo de nueve bandas (*Dasypus novemcinctus*). 1. Ano; 2. Hendidura vulvar.

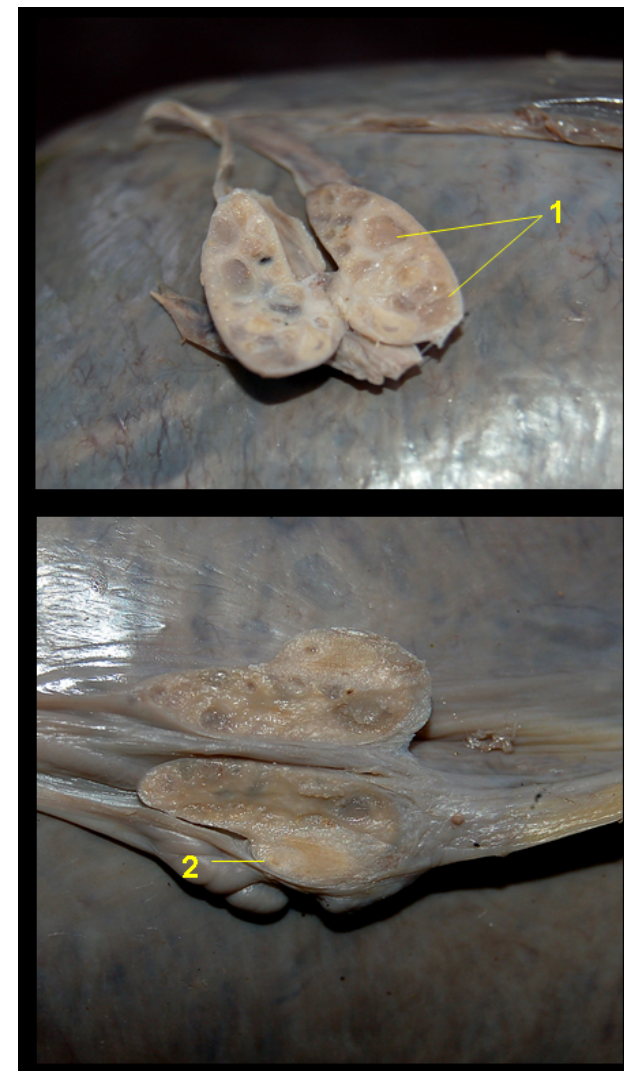


Figura 6.54 - Secciones de los ovarios de una hembra gestante del armadillo de nueve bandas (*Dasypus novemcinctus*). 1. Folículos ováricos; 2. Cuerpo lúteo.

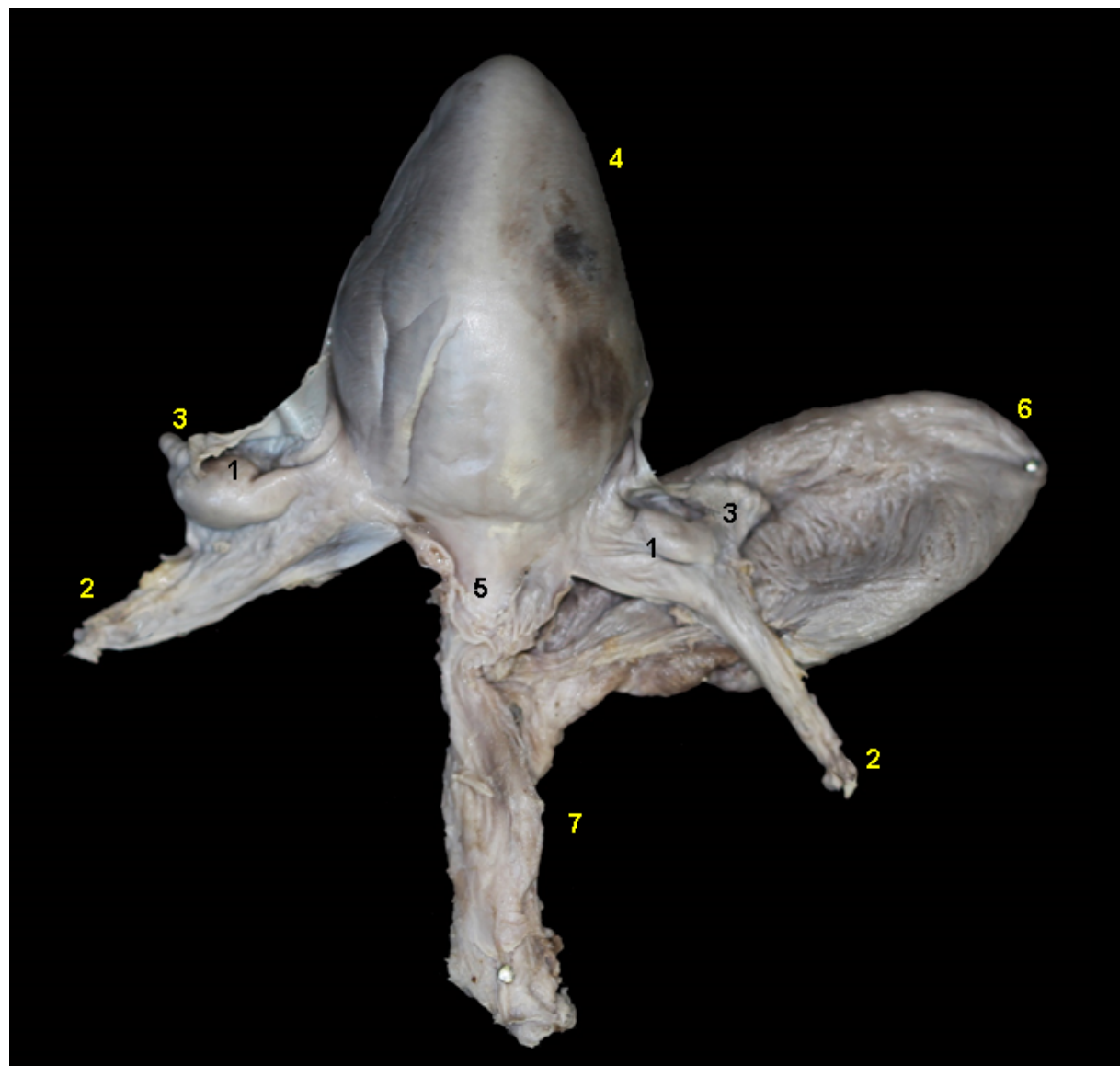


Figura 6.55 - Visión dorsal de los órganos genitales de una hembra de armadillo de nueve bandas (*Dasypus novemcinctus*) en periodo gestacional temprano. 1. Ovarios; 2. Ligamento suspensor del ovario; 3. Trompas uterinas; 4. Cuerpo uterino; 5. Cuello uterino; 6. Vejiga urinaria; 7. Vagina.

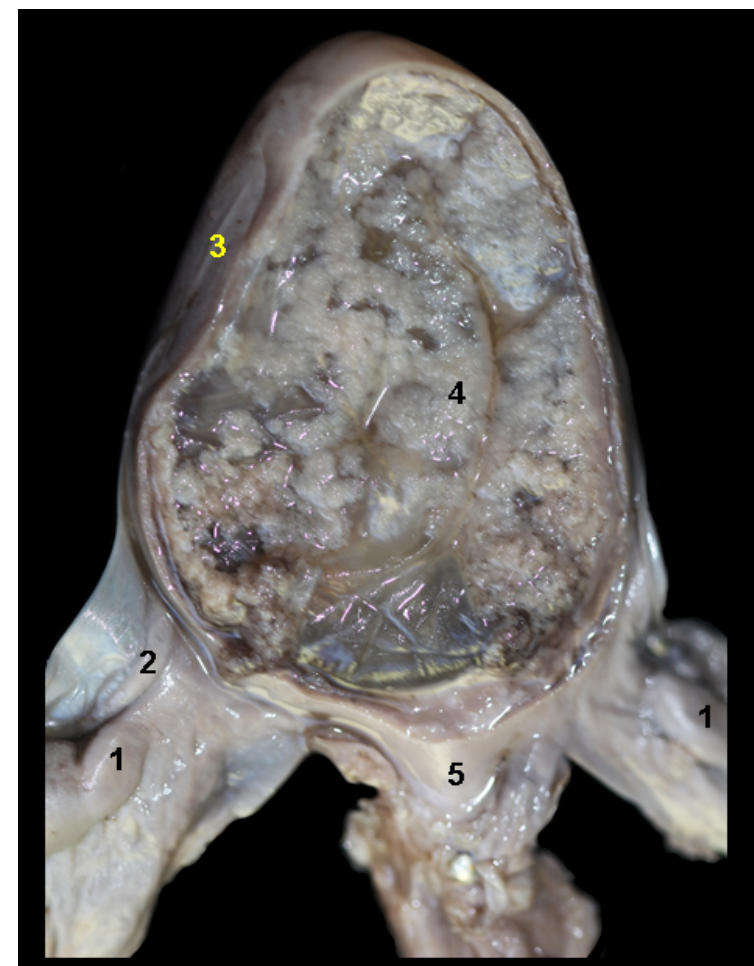


Figura 6.56 - Visión dorsal de los órganos genitales de una hembra de armadillo de nueve bandas (*Dasypus novemcinctus*) en periodo gestacional temprano. Se ha abierto el cuerpo uterino para observar el saco coriónico. Placenta morfológicamente zonal y funcionalmente discoide, hemocorial y decidua. 1. Ovarios; 2. Trompa uterina; 3. Cuerpo uterino; 4. Saco coriónico; 5. Cuello uterino.



Figura 6.57 - Saco coriónico de armadillo de nueve bandas (*Dasypus novemcinctus*). Placenta morfológicamente zonal y funcionalmente discoide, hemocorial y decidua. 1. Zona de contacto materno-fetal; 2. Zona sin contacto materno-fetal.

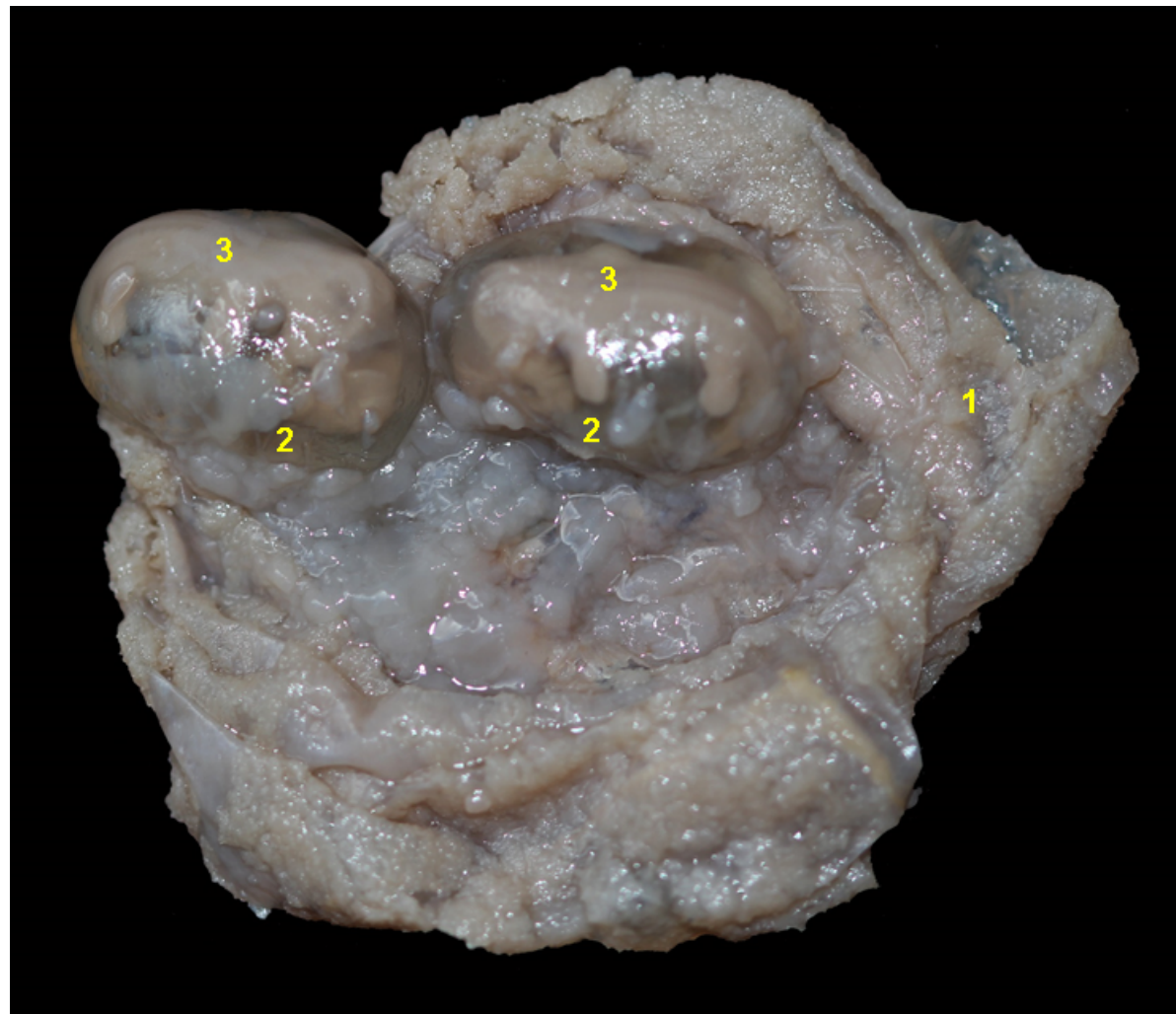


Figura 6.58 - Membranas placentarias y embriones de armadillo de nueve bandas (*Dasypus novemcinctus*). Placenta morfológicamente zonal y funcionalmente discoide, hemocorial y decidua. 1. Membrana corioalantoidea; 2. Amnios; 3. Embriones.

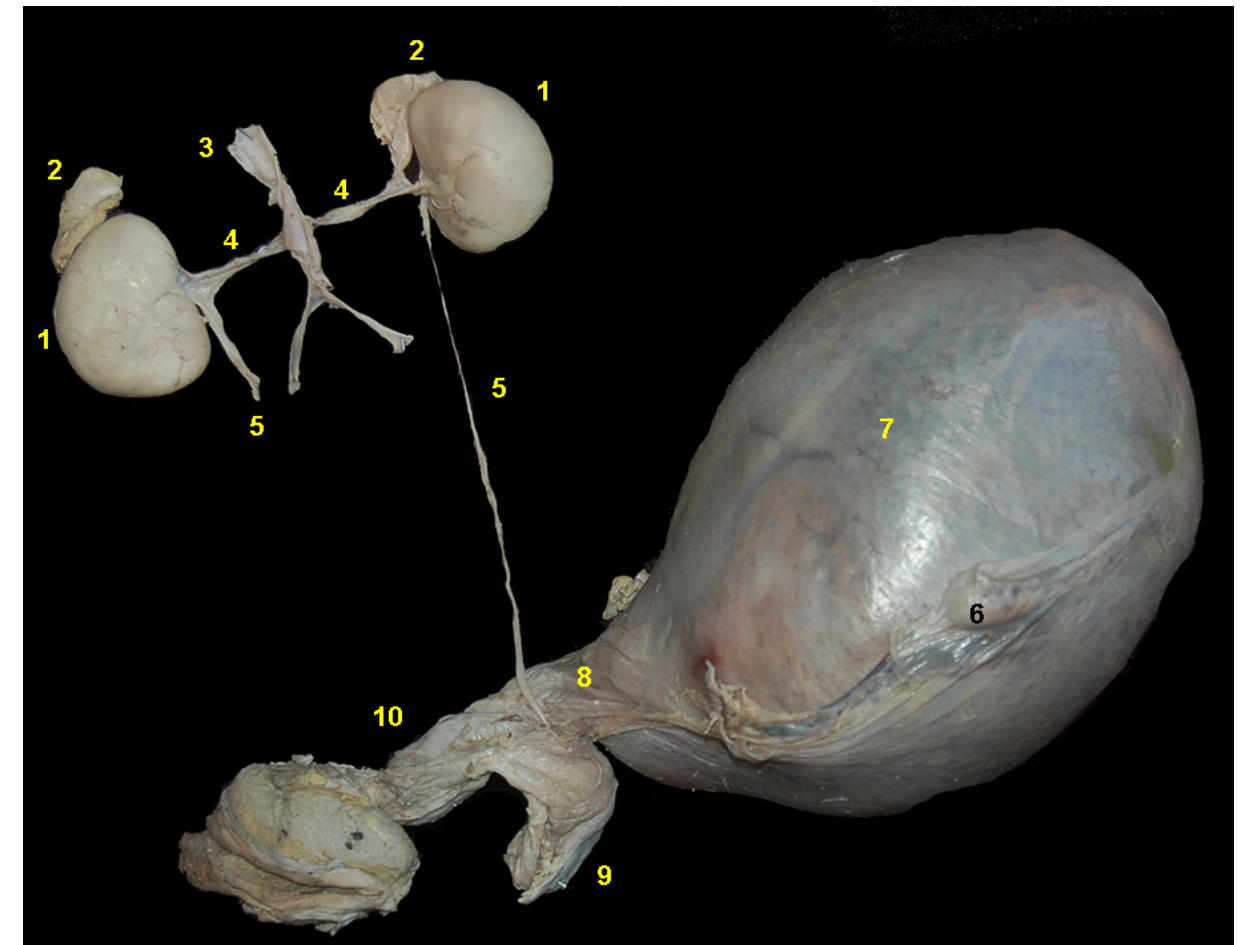


Figura 6.59 - Órganos urogenitales de una hembra gestante de armadillo de nueve bandas (*Dasypus novemcinctus*). 1. Riñones; 2. Glándulas adrenales; 3. Aorta abdominal; 4. Arterias renales; 5. Uréteres; 6. Ovario; 7. Cuerpo uterino gestante; 8. Cuello uterino; 9. Vejiga urinaria; 10. Vagina.



Figura 6.60 - Visión dorsal de los órganos genitales de una hembra del armadillo de nueve bandas (*Dasypus novemcinctus*) gestante. 1. Cuerpo uterino gestante; 2. Cuello uterino; 3. Vejiga urinaria; 4. Vagina.

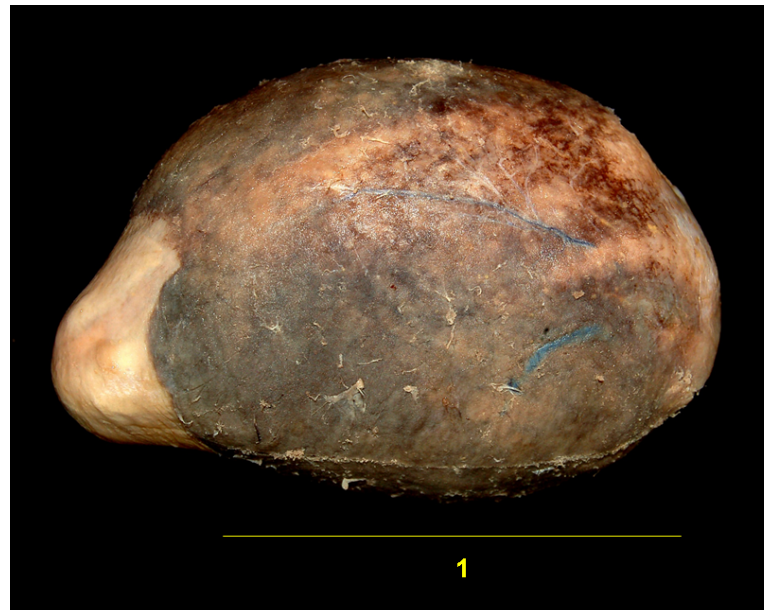


Figura 6.61 - Saco coriónico de armadillo de nueve bandas (*Dasypus novemcinctus*). Placenta morfológicamente zonal y funcionalmente discoide, hemocorial y decidua. 1. Zona de contacto materno-fetal.

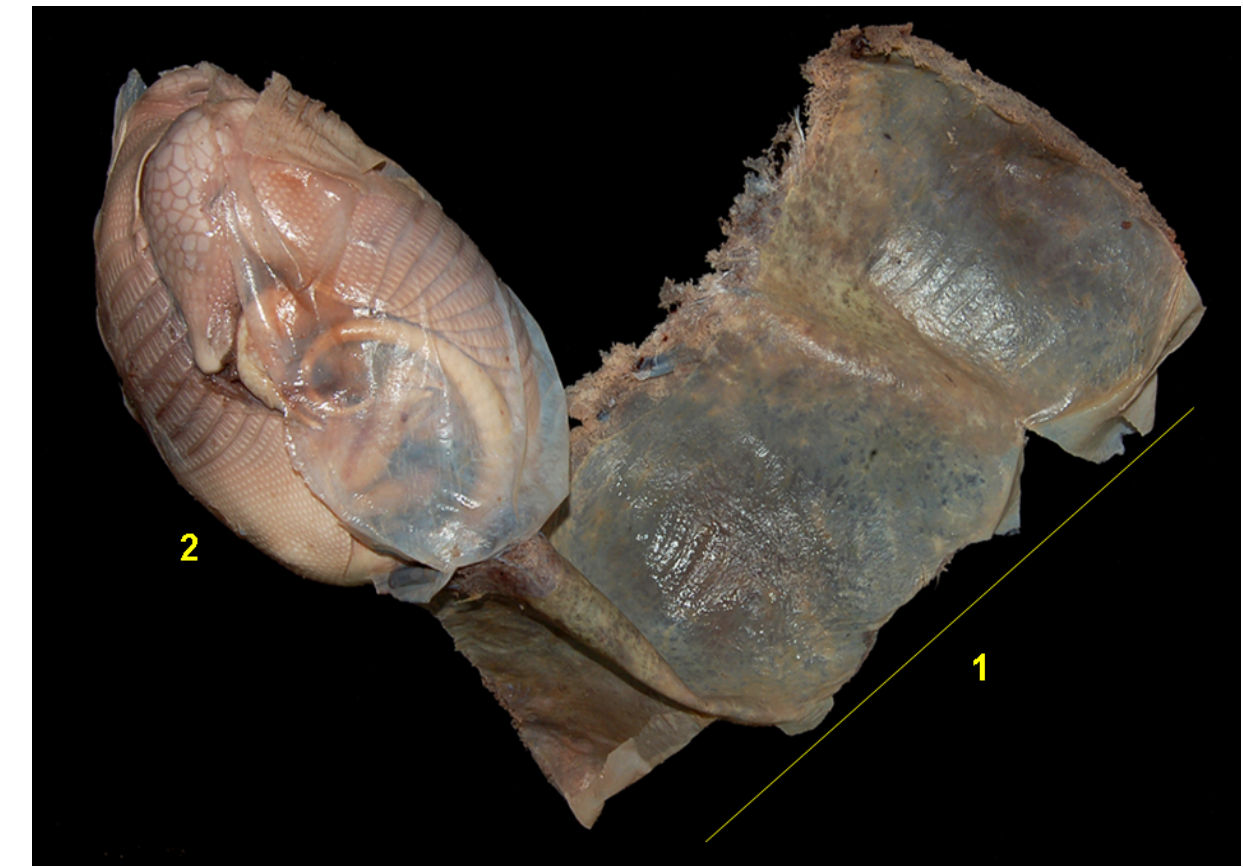


Figura 6.62 - Membranas fetales y feto de armadillo de nueve bandas (*Dasypus novemcinctus*). Placenta morfológicamente zonal y funcionalmente discoide, hemocorial y decidua. 1. Membrana corioalantoidea. Zona de contacto materno-fetal; 2. Amnios rodeando al feto.

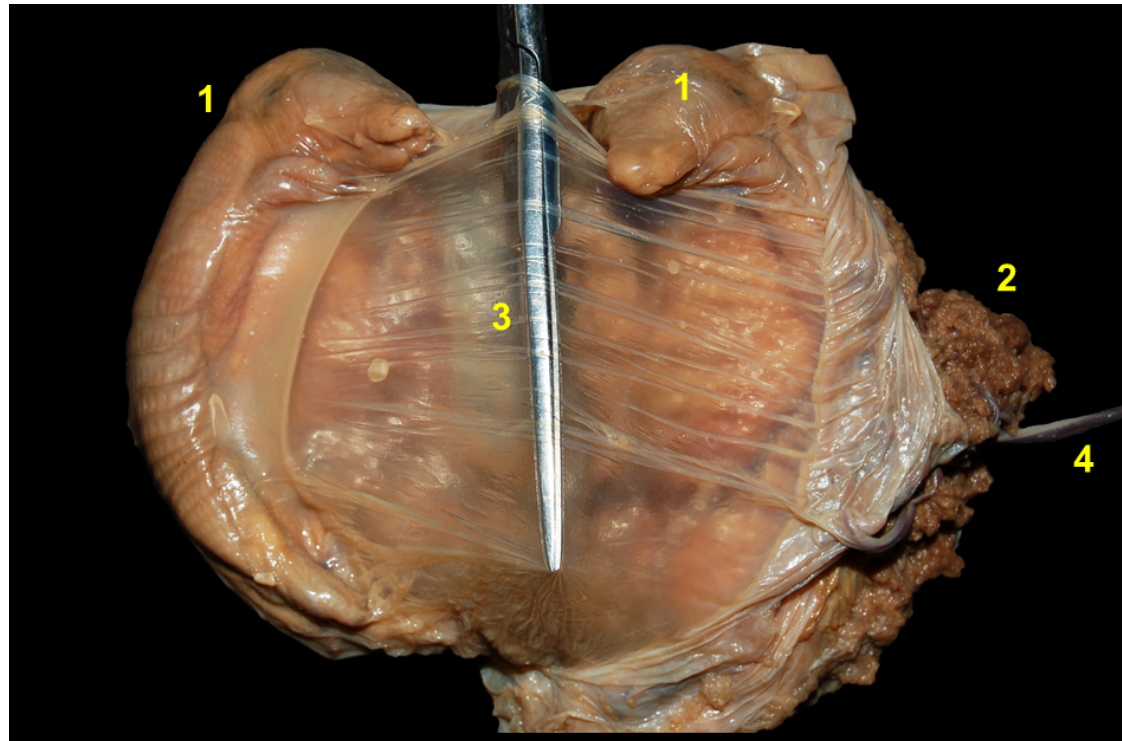


Figura 6.63 - Membranas placentarias y fetos de armadillo de nueve bandas (*Dasypus novemcinctus*). Placenta morfológicamente zonal y funcionalmente discoide, hemocorial y decidua. El armadillo es conocido por su proceso natural de clonación. Todas las crías de una camada se forman debido a la división de un mismo zigoto, son idénticos entre sí, y tienen una sola cavidad amniótica que engloba a los fetos. 1. Fetos; 2. Membrana corioalantoidea; 3. Amnios; 4. Cordón umbilical.

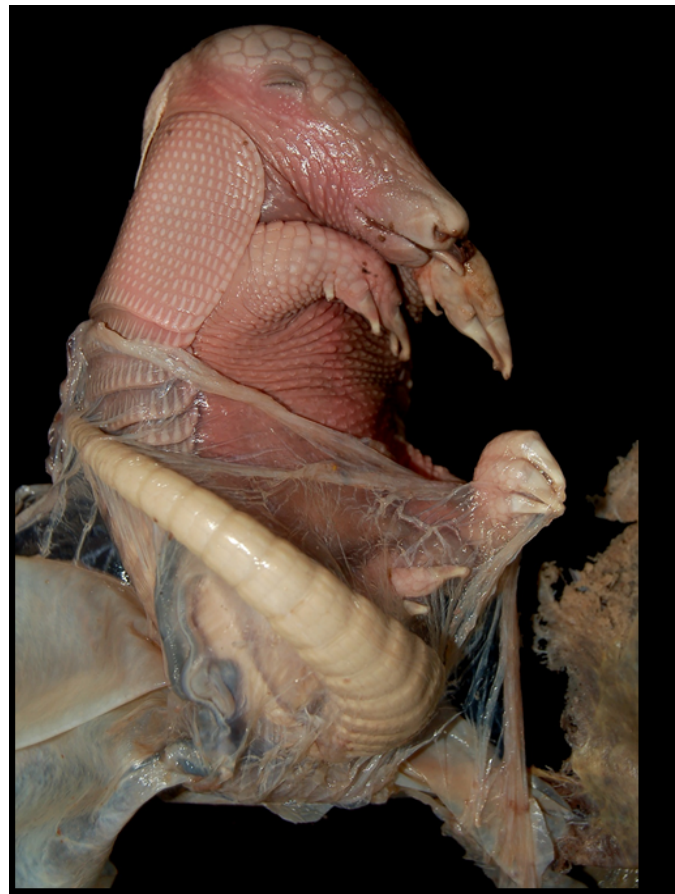


Figura 6.64 - Feto de armadillo de nueve bandas (*Dasypus novemcinctus*) envuelto en sus membranas fetales (amnios). Placenta morfológicamente zonal y funcionalmente discoide, hemocorial y decidua.

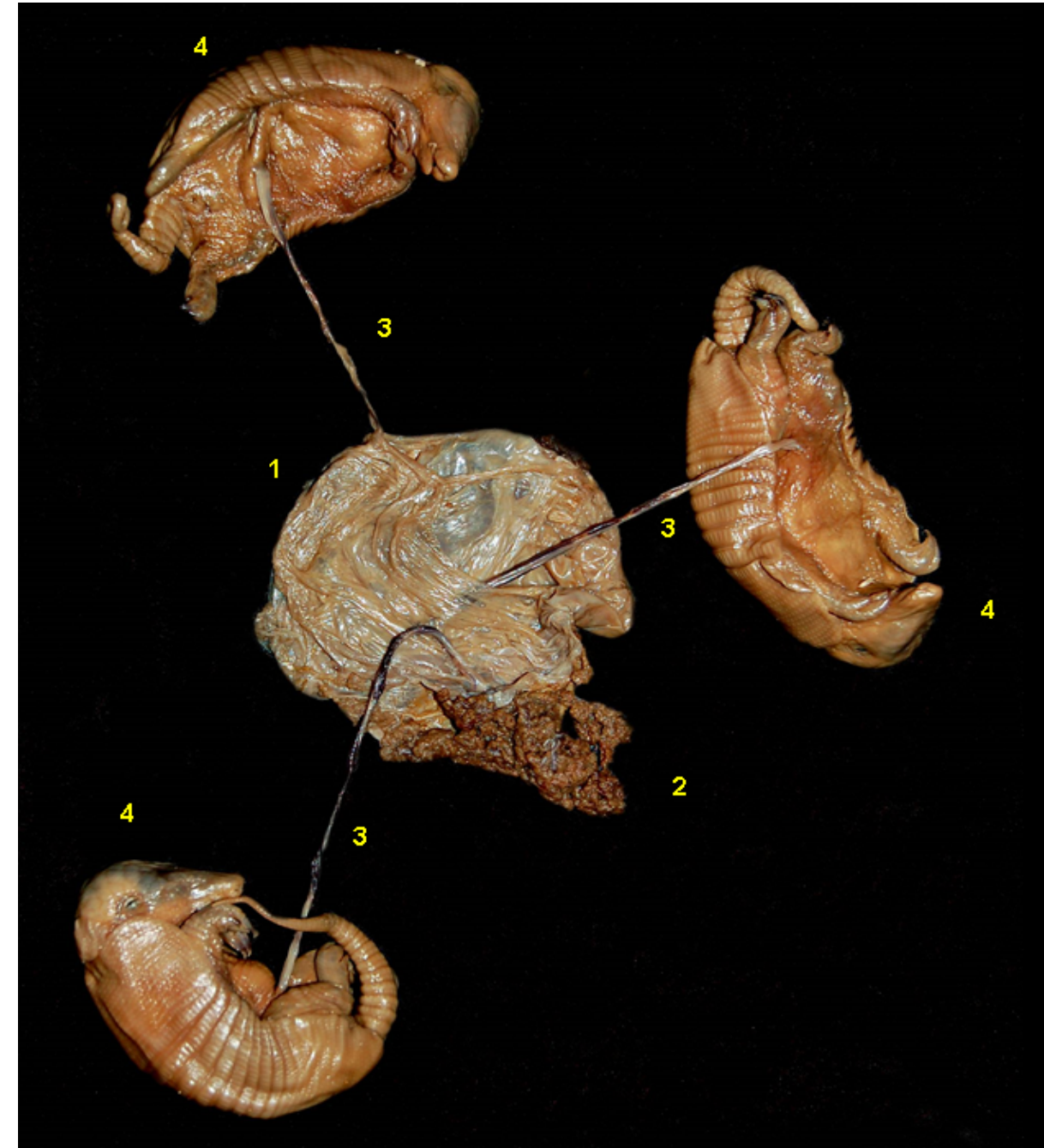


Figura 6.65 - Membranas fetales y feto de armadillo de nueve bandas (*Dasypus novemcinctus*). Placenta morfológicamente zonal y funcionalmente discoide, hemocorial y decidua. Los fetos sufren un proceso de clonación natural. 1. Membrana corioalantoidea; 2. Zona de contacto materno-fetal; 3. Cordones umbilicales; 4. Fetos.



ARMADILLO GIGANTE (*Priodontes maximus*)



Figura 6.66 - Visión ventral de los órganos genitales femeninos de una hembra gestante de armadillo gigante (*Priodontes maximus*). 1. Ovarios; 2. Trompas uterinas; 3. Cuerpo uterino; 4. Cuello uterino; 5. Vejiga urinaria; 6. Uretra; 7. Vagina; 8. Vulva.



OSO HORMIGUERO (*Myrmecophaga tridactyla*)

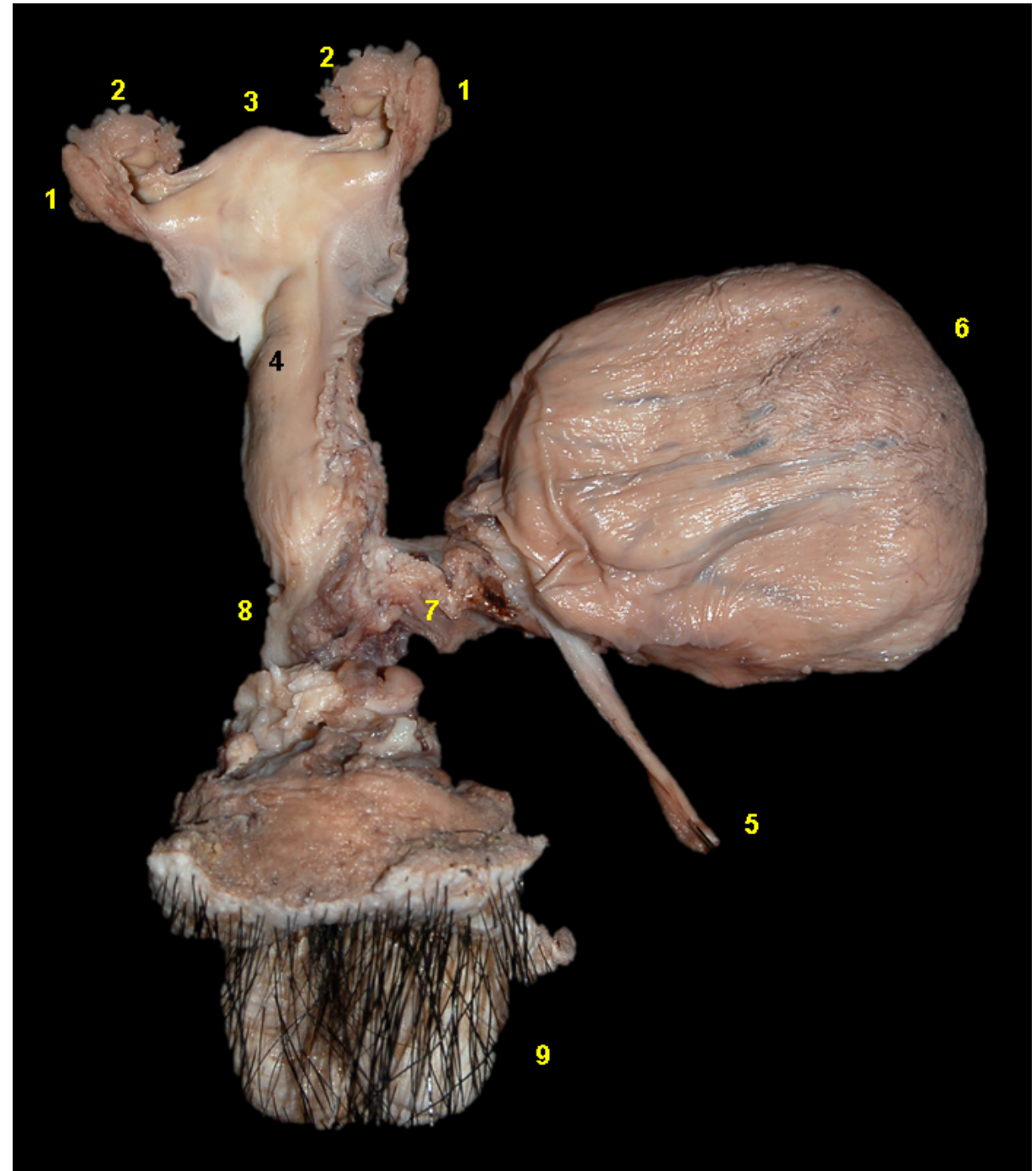


Figura 6.67 - Visión dorsal de los órganos genitales femeninos de oso hormiguero (*Myrmecophaga tridactyla*). 1. Ovarios; 2. Trompas uterinas; 3. Cuello uterino; 4. Cuello uterino; 5. Uréter; 6. Vejiga urinaria; 7. Uretra; 8. Vagina; 9. Vulva (montículo púbico).

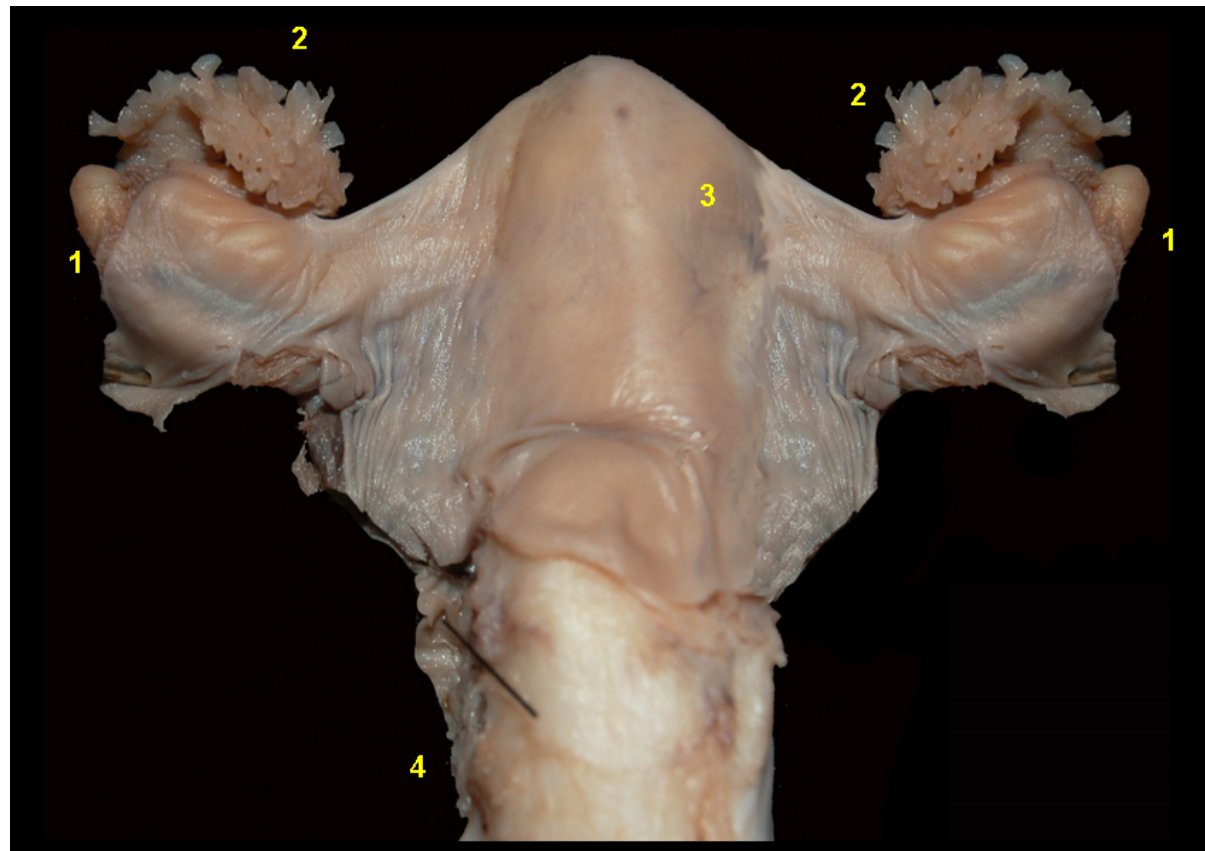


Figura 6.68 - Visión dorsal de los órganos genitales femeninos de oso hormiguero (*Myrmecophaga tridactyla*). 1. Ovarios; 2. Trompas uterinas (fimbrias); 3. Cuerpo uterino; 4. Cuello uterino.

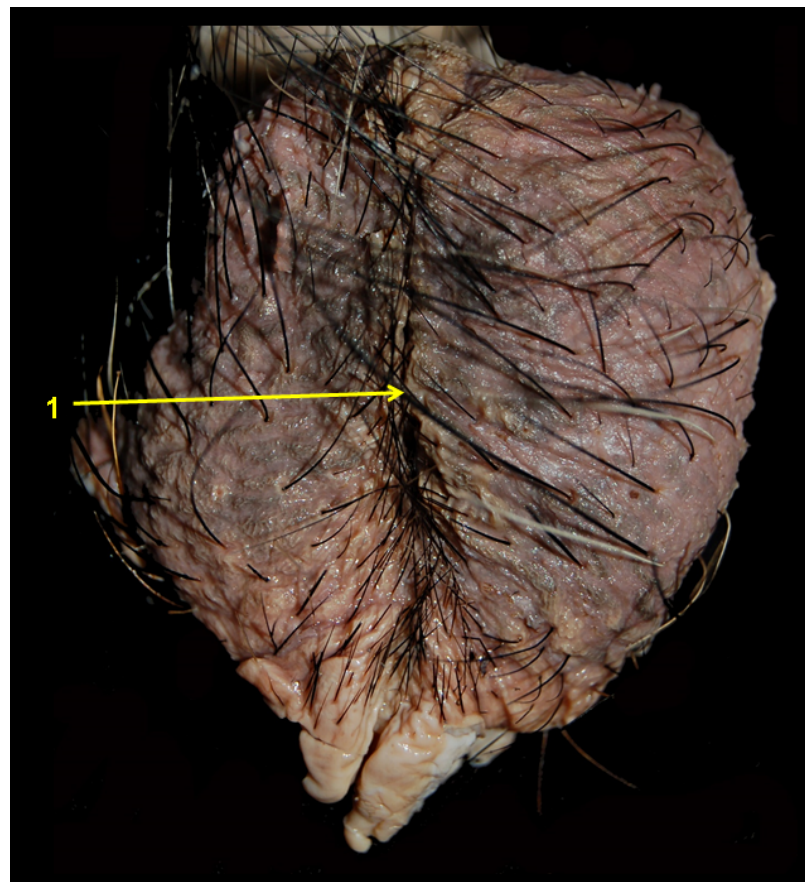


Figura 6.69 - Vulva de oso hormiguero (*Myrmecophaga tridactyla*). 1. Hendidura vulvar.

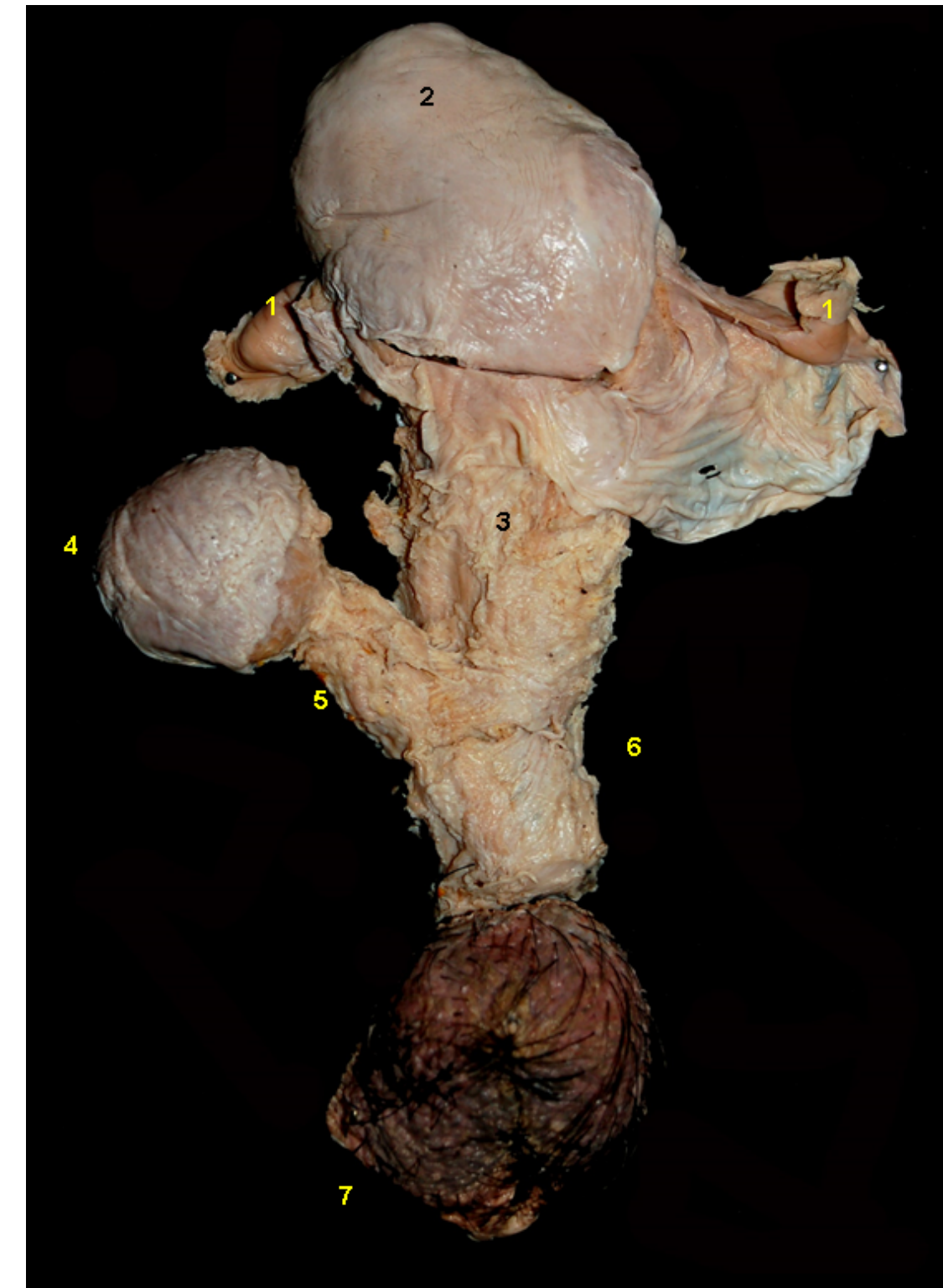


Figura 6.70 - Visión dorsal de los órganos genitales de una hembra gestante de oso hormiguero (*Myrmecophaga tridactyla*). 1. Ovarios; 2. Cuerpo uterino; 3. Cuello uterino; 4. Vejiga urinaria; 5. Uretra; 6. Vagina; 7. Vulva (montículo púbico).

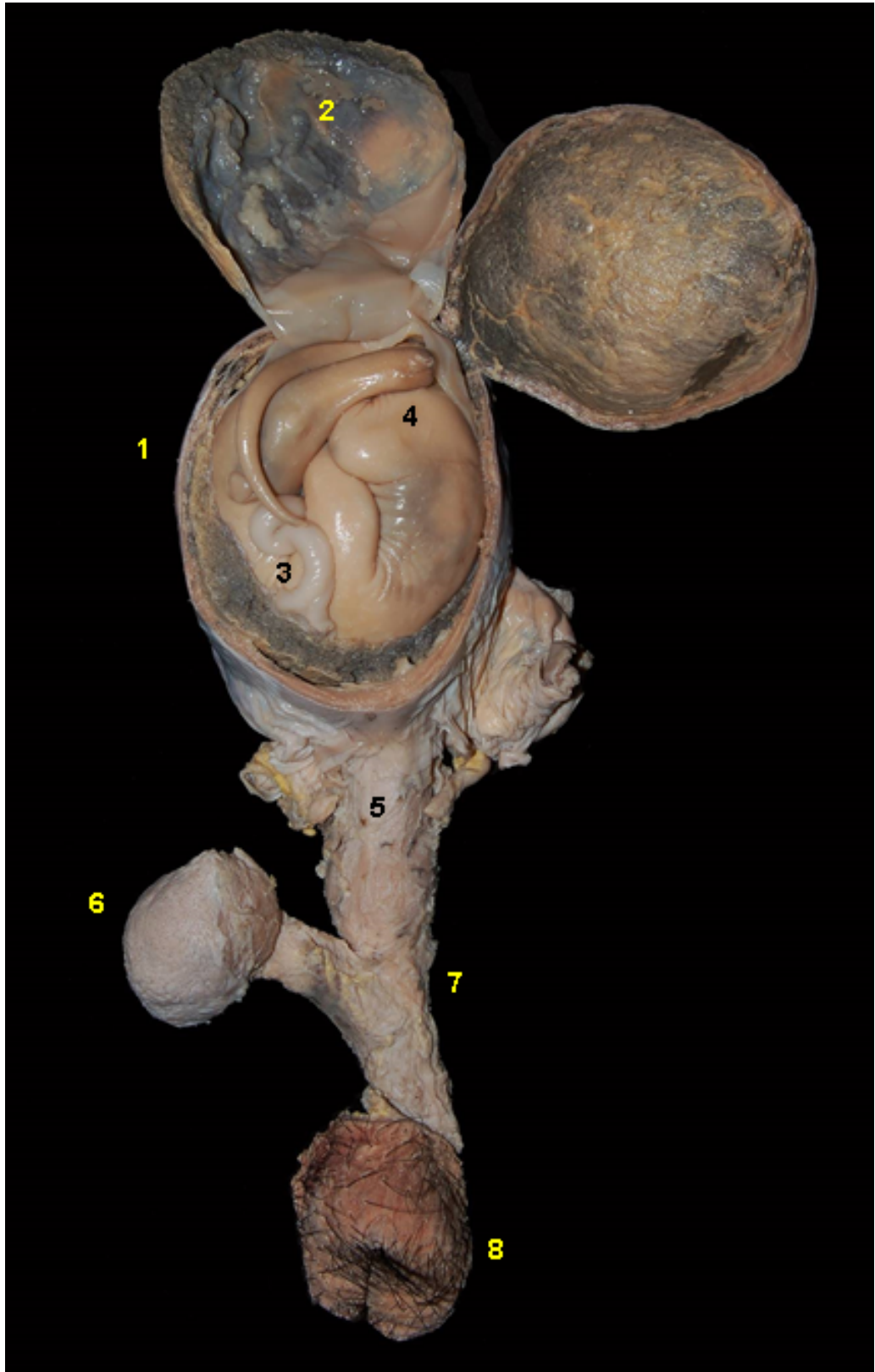


Figura 6.71 - Visión dorsal de los órganos genitales de una hembra de oso hormiguero (*Myrmecophaga tridactyla*) en periodo gestacional intermedio. Se han abierto el cuerpo del útero y el saco coriónico para observar el feto. Placenta discoide, decidua y endoteliocorial. 1. Cuerpo uterino; 2. Saco coriónico; 3. Cordón umbilical; 4. Feto; 5. Cuello uterino; 6. Vejiga urinaria; 7. Vagina; 8. Vulva.

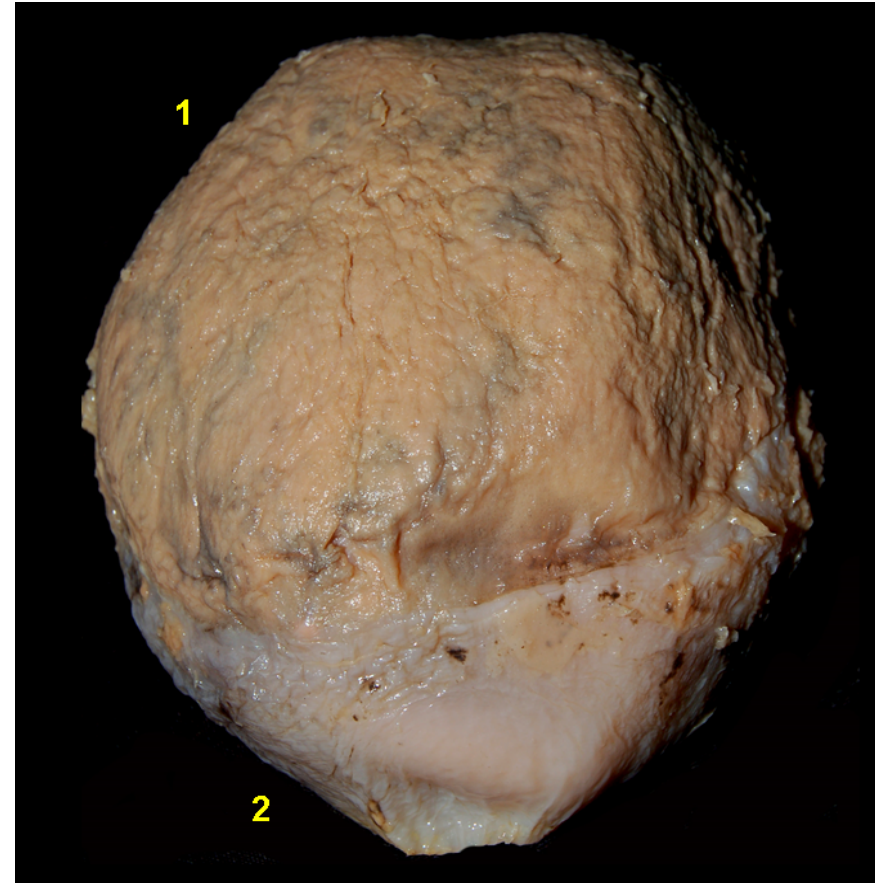


Figura 6.72 - Saco coriónico de oso hormiguero (*Myrmecophaga tridactyla*). Placenta discoide, decidua y endoteliocorial. 1. Zona de contacto materno-fetal. 2. Zona sin contacto materno-fetal.

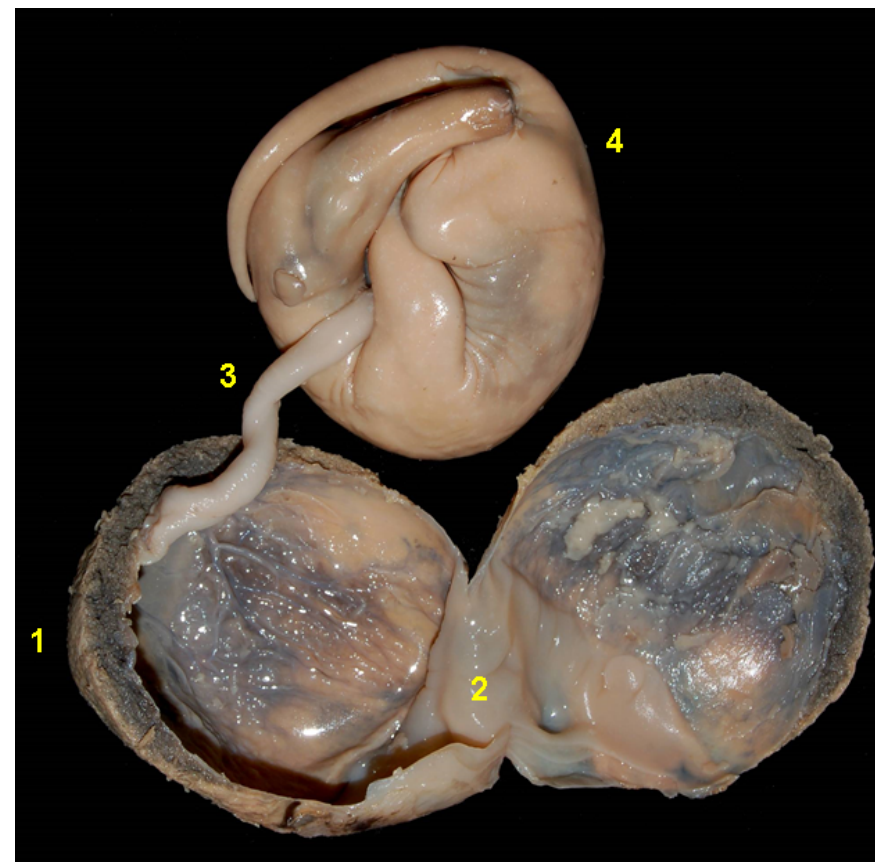
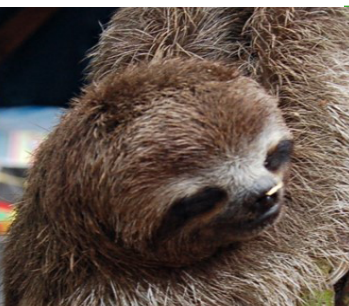


Figura 6.73 - Membranas fetales y feto de oso hormiguero (*Myrmecophaga tridactyla*) después de abrir el saco coriónico. Placenta discoide, decidua y endoteliocorial. 1. Membrana corioallantoidea. Zona de contacto materno-fetal; 2. Zona sin contacto materno-fetal; 3. Cordón umbilical; 4. Feto.



OSO PEREZOSO DE TRES DEDOS (*Bradypus variegatus*)



Figura 6.74 - Visión ventral de los órganos urogenitales femeninos *in situ* de oso perezoso de tres dedos (*Bradipus variegatus*). 1. Estómago; 2. Colon descendente; 3. Recto; 4. Riñones; 5. Ovarios; 6. Cuerpo uterino; 7. Cuello uterino; 8. Uréteres; 9. Vejiga urinaria.

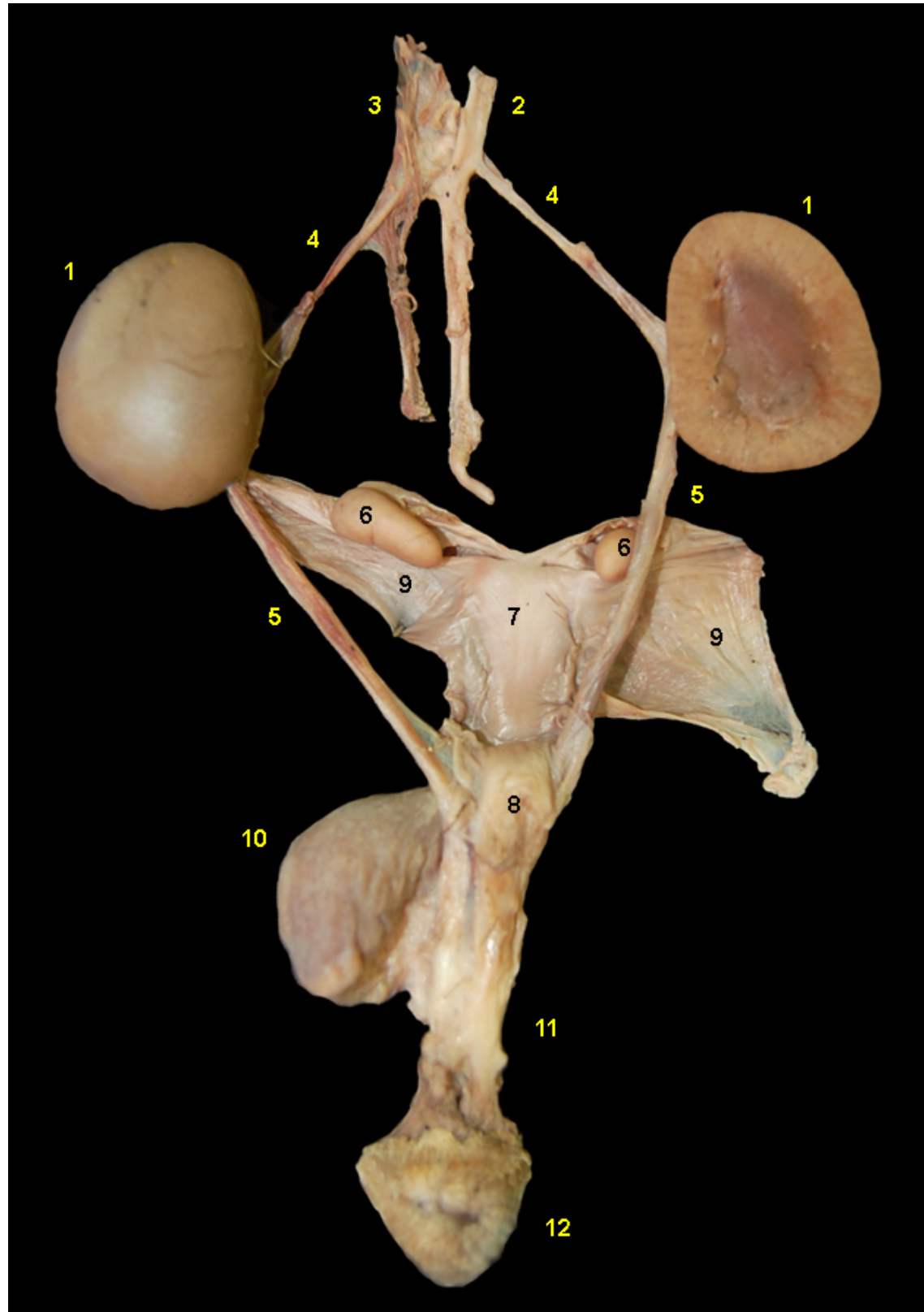


Figura 6.75 - Visión dorsal de los órganos genitales femeninos de oso perezoso de tres dedos (*Bradypus variegatus*). 1. Riñones; 2. Aorta abdominal; 3. Vena cava caudal; 4. Arterias renales; 5. Uréteres; 6. Ovarios; 7. Cuerpo uterino; 8. Cuello uterino; 9. Ligamentos anchos del útero; 10. Vejiga urinaria; 11. Vagina; 12. Vulva.

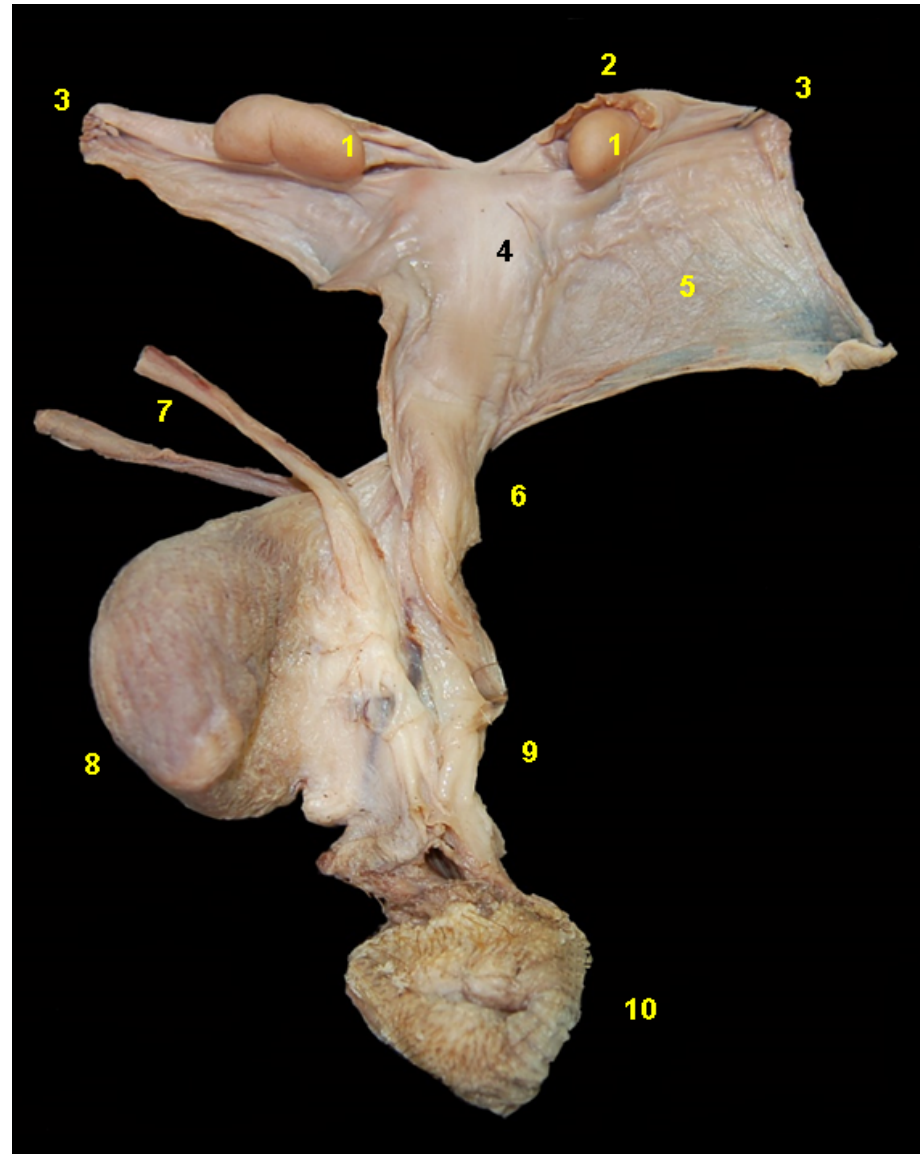


Figura 6.76 - Visión dorsal de los órganos genitales femeninos de oso perezoso de tres dedos (*Bradypus variegatus*). 1. Ovarios; 2. Trompas uterinas; 3. Mesovarios; 4. Cuerpo uterino; 5. Ligamento ancho; 6. Cuello uterino; 7. Uréteres; 8. Vejiga urinaria; 9. Vagina; 10. Vulva.

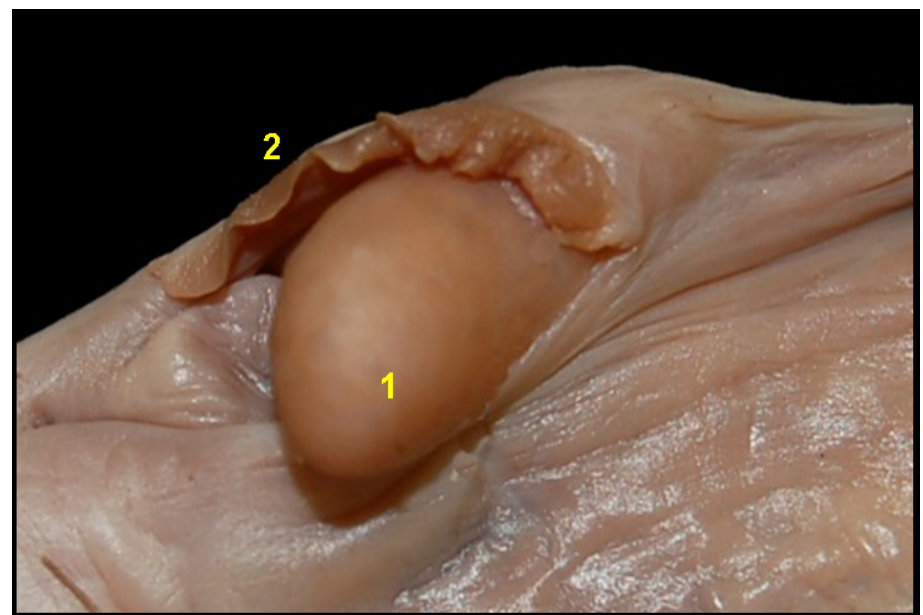


Figura 6.77 - Ovarios y trompa uterina de una hembra de oso perezoso de tres dedos (*Bradypus variegatus*). La bolsa ovárica no rodea completamente al ovario. 1. Ovario; 2. Infundíbulo de la trompa uterina.



OSO PEREZOSO DE DOS DEDOS (*Choloepus hoffmanni*)



Figura 6.78 - Visión ventral de los órganos urogenitales femeninos *in situ* de oso perezoso de dos dedos (*Choloepus hoffmanni*). 1. Asas yeyunales; 2. Colon descendente; 3. Riñones; 4. Uréteres; 5. Ovario; 6. Cuerpo uterino; 7. Vejiga urinaria.



Figura 6.79 - Visión ventral de los órganos genitales femeninos de oso perezoso de dos dedos (*Choloepus hoffmanni*). 1. Ovarios; 2. Trompa uterina; 3. Mesovarios; 4. Cuerpo uterino; 5. Ligamento ancho del útero; 6. Cuello uterino; 7. Vejiga urinaria; 8. Vagina; 9. Vulva.



PÉCARI DE COLLAR (*Pecari tajacu*)



Figura 6.80 - Visión dorsal de los órganos genitales femeninos de pécari de collar (*Pecari tajacu*). 1. Ovario; 2. Trompas uterinas; 3. Cuernos uterinos; 4. Cuerpo uterino; 5. Cuello uterino; 6. Vagina; 7. Uréter; 8. Vejiga urinaria; 9. Vulva.



Figura 6.81 - Ovario de pécari de collar (*Pecari tajacu*). 1. Cuerpos lúteos de gestación.



Figura 6.83 - Corte dorsal del cuello uterino de pécari de collar (*Pecari tajacu*). 1. Cojinete cervicale o *pulvini cervicales*; 2. Canal cervical.

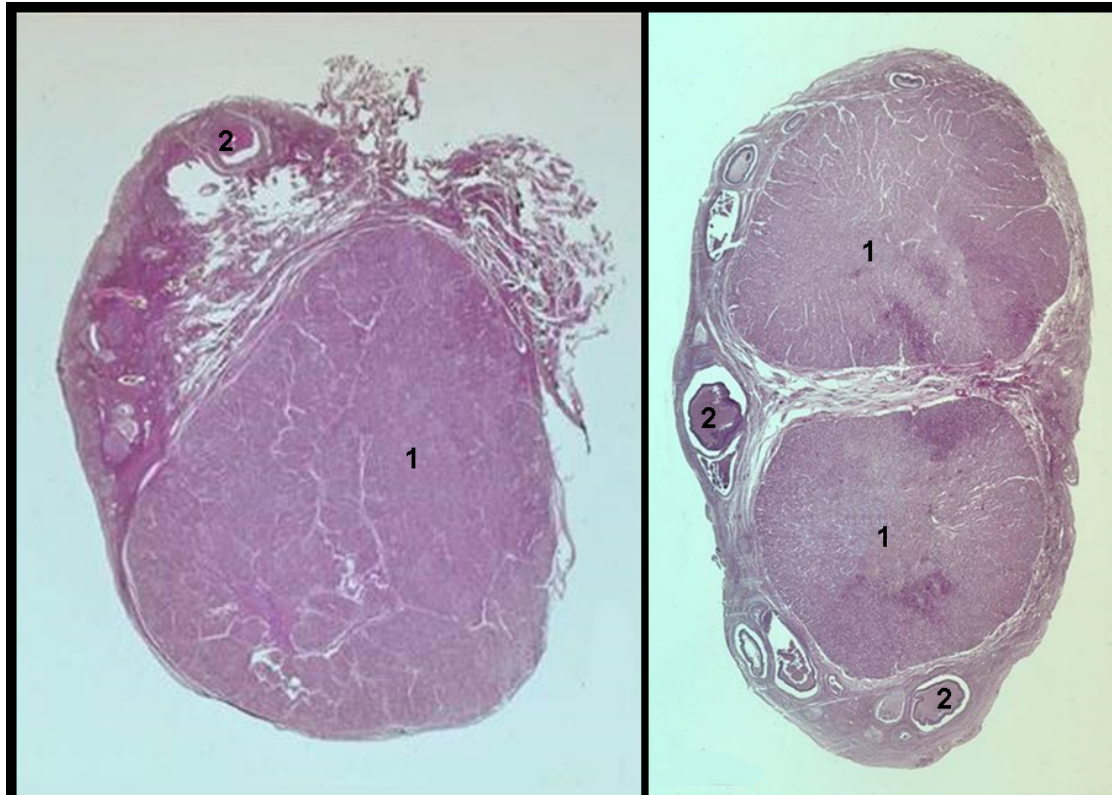


Figura 6.82 - Secciones histológicas del ovario de una hembra de pécari de collar (*Pecari tajacu*). 1. Cuerpos lúteos; 2. Folículos.

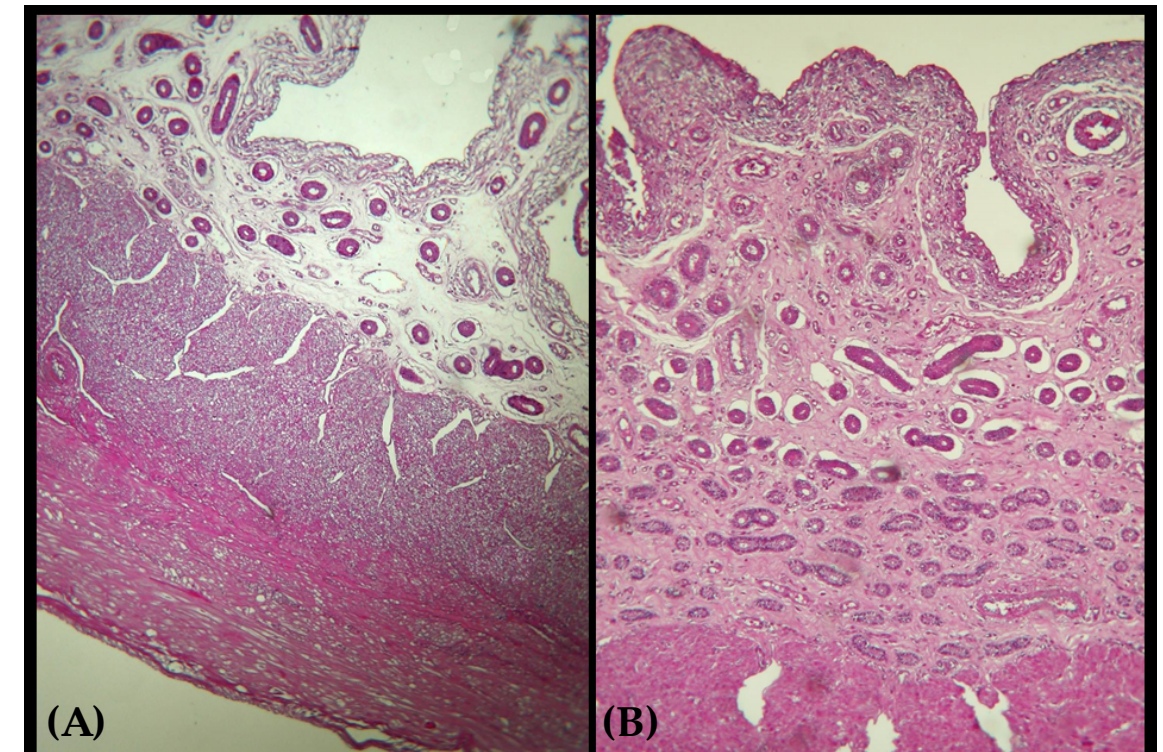


Figura 6.84 - Secciones histológicas del cuerno uterino de una hembra de pécari de collar (*Pecari tajacu*) en fase folicular (A) y en fase luteal (B) del ciclo estral. En la fase luteal se observa un mayor desarrollo del endometrio y de las glándulas endometriales.

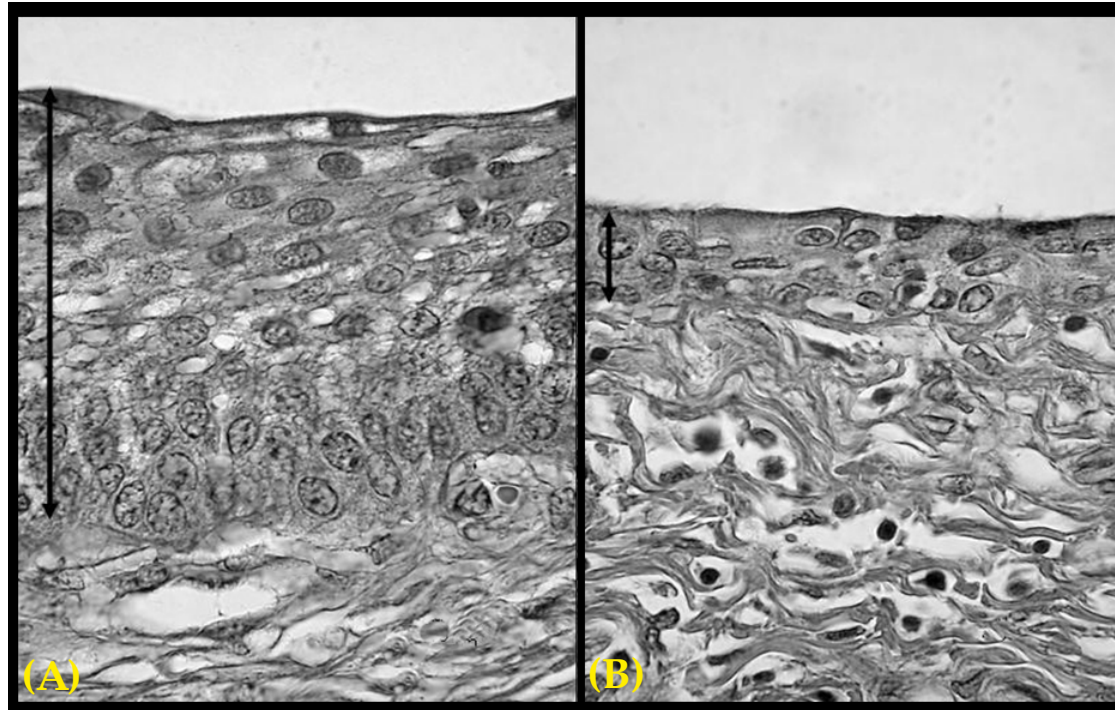


Figura 6.85 - Secciones histológicas de la vagina de una hembra de pécari de collar (*Pecari tajacu*) en fase folicular (A) y en fase luteal (B) del ciclo estral. En la fase folicular se observa un mayor desarrollo del epitelio vaginal.

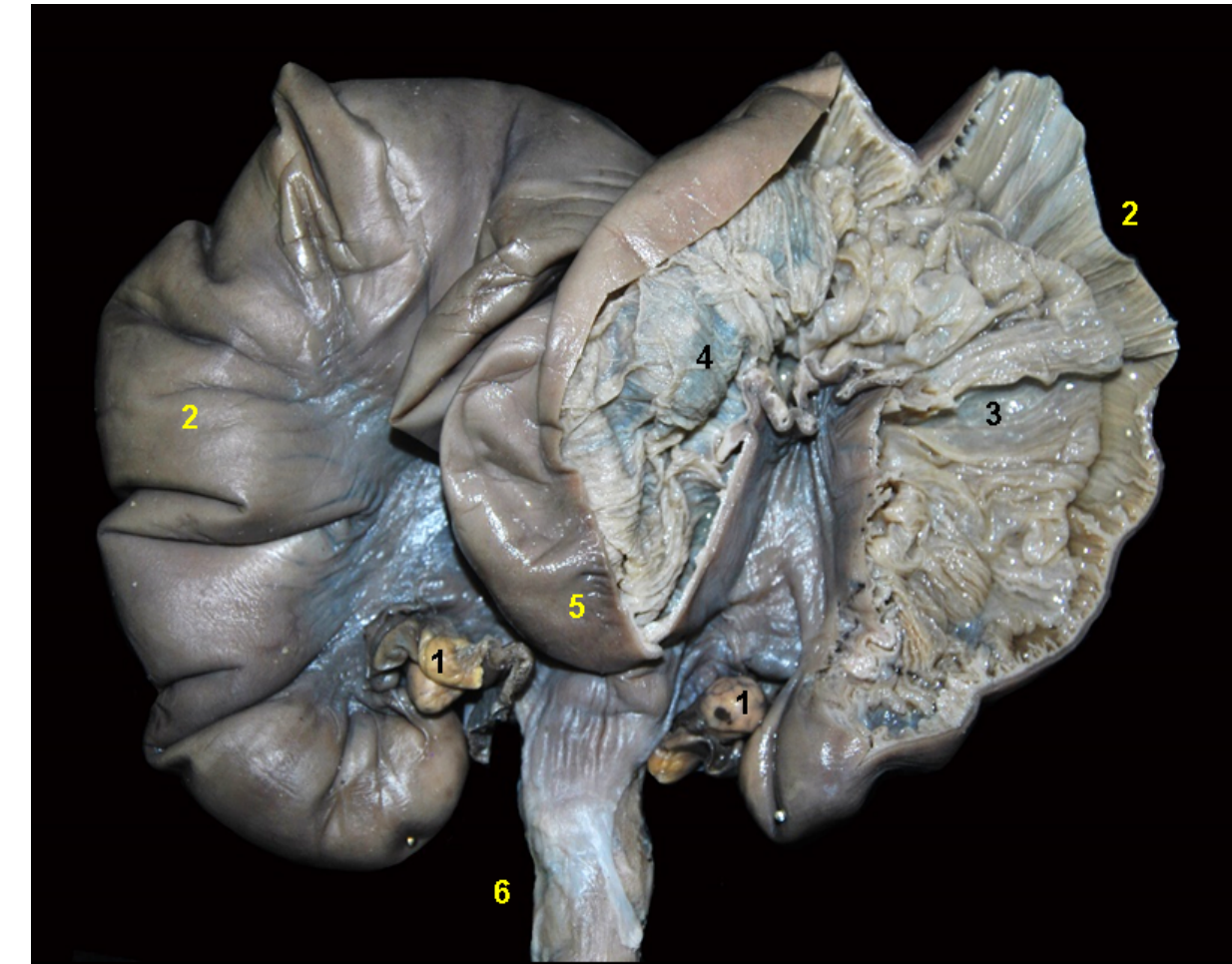


Figura 6.87 - Visión dorsal de los órganos genitales de una hembra de pécari de collar (*Pecari tajacu*) en periodo gestacional temprano. Se ha abierto un cuerno uterino para observar las membranas placentarias. Placenta difusa, adecidua y epiteliocorial. 1. Ovarios; 2. Cuernos uterinos; 3. Saco coriónico; 4. Feto cubierto por el saco coriónico; 5. Cuerpo uterino; 6. Cuello uterino.

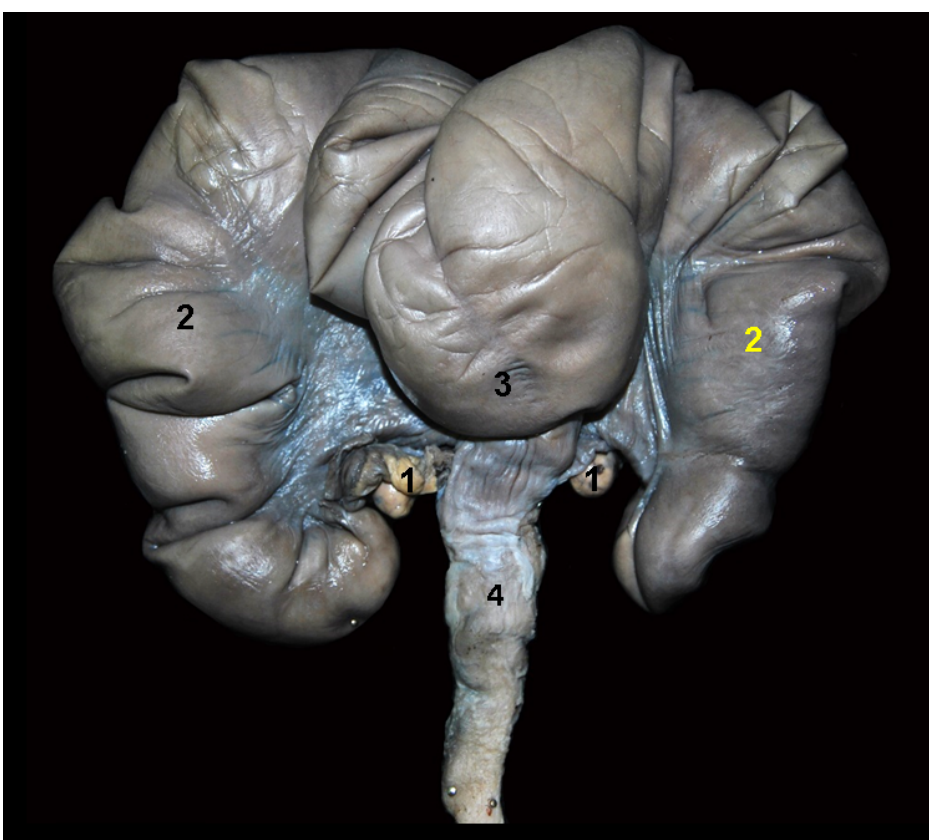


Figura 6.86 - Visión dorsal de los órganos genitales de una hembra de pécari de collar (*Pecari tajacu*) en periodo gestacional temprano. 1. Ovarios; 2. Cuernos uterinos; 3. Cuerpo uterino; 4. Cuello uterino.

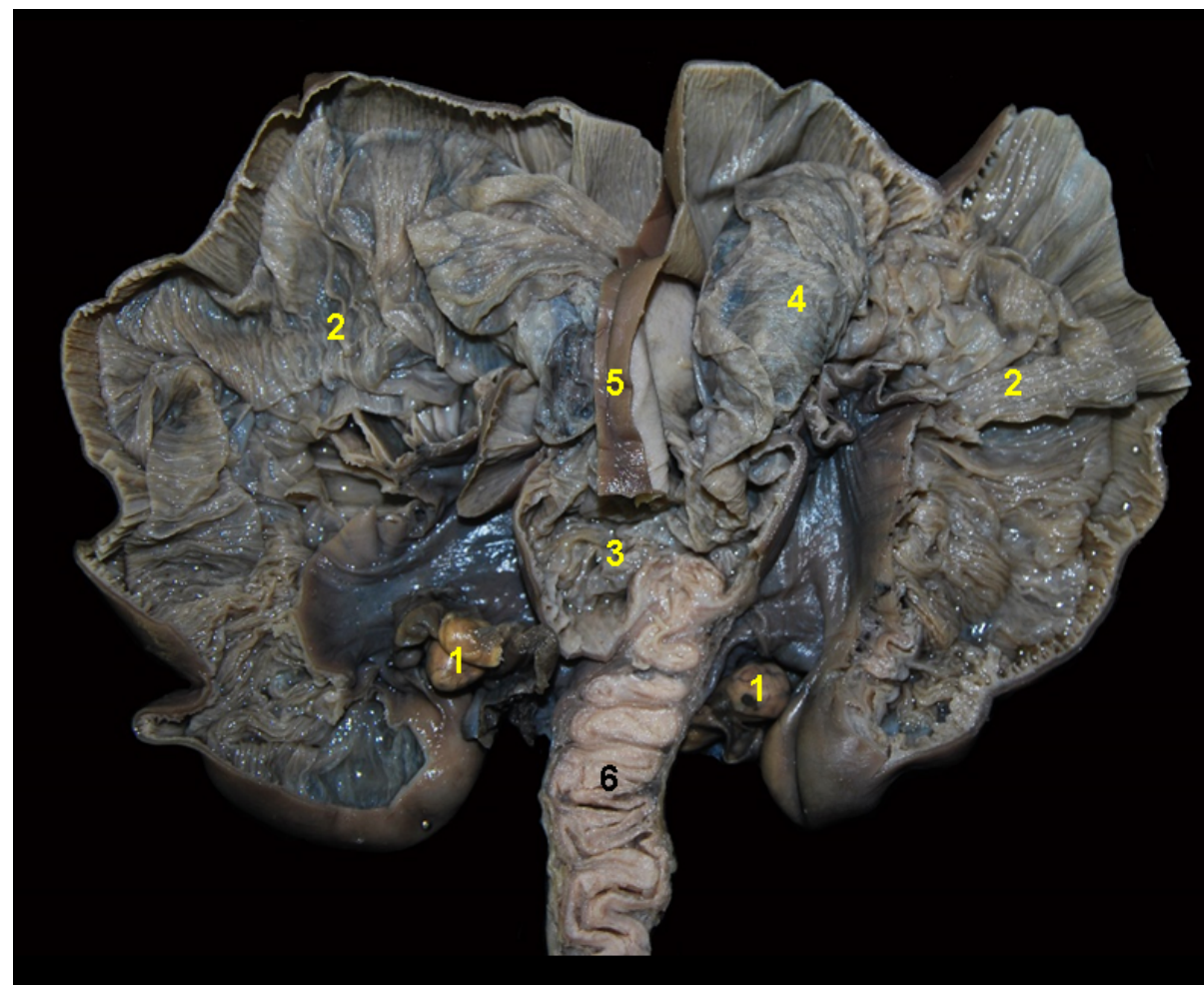


Figura 6.88 - Visión dorsal de los órganos genitales de una hembra de pécari de collar (*Pecari tajacu*) en periodo gestacional temprano. Se han abierto las diferentes porciones del útero para observar las membranas placentarias. Placenta difusa, adecidua y epiteliocorial. 1. Ovarios; 2. Saco coriónico en los cuernos uterinos; 3. Saco coriónico en el cuerpo uterino; 4. Feto cubierto por el saco coriónico; 5. Velo del útero; 6. Cojinete cervicale o *pulvini cervicales*.

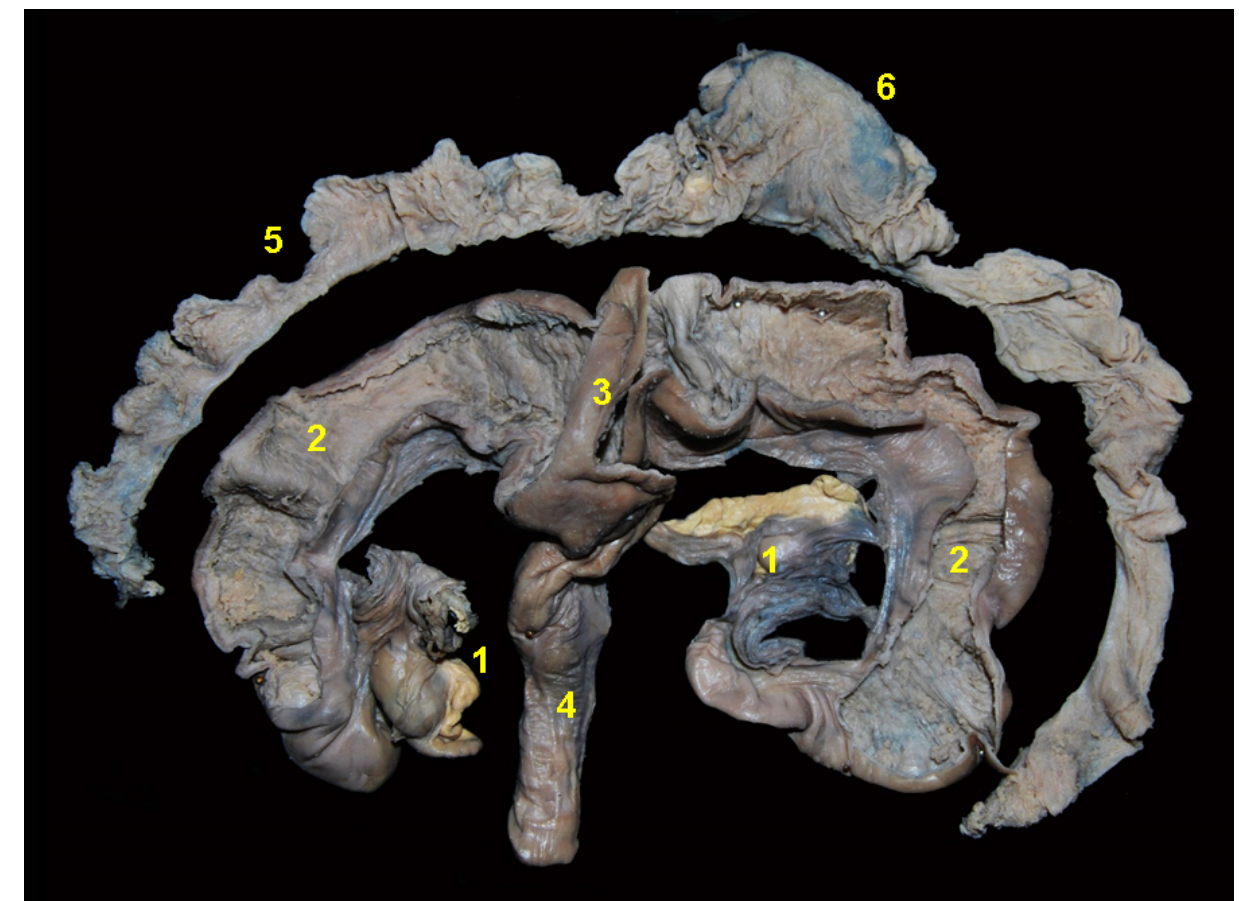


Figura 6.89 - Visión dorsal de los órganos genitales de una hembra de pécari de collar (*Pecari tajacu*) en periodo gestacional temprano. Se han abierto las diferentes porciones del útero y se ha extraído el saco coriónico para observar las membranas placentarias. Placenta difusa, adecidua y epiteliocorial. 1. Ovarios; 2. Cuernos uterinos; 3. Velo del útero; 4. Cuello uterino; 5. Saco coriónico; 6. Feto cubierto por el saco coriónico.

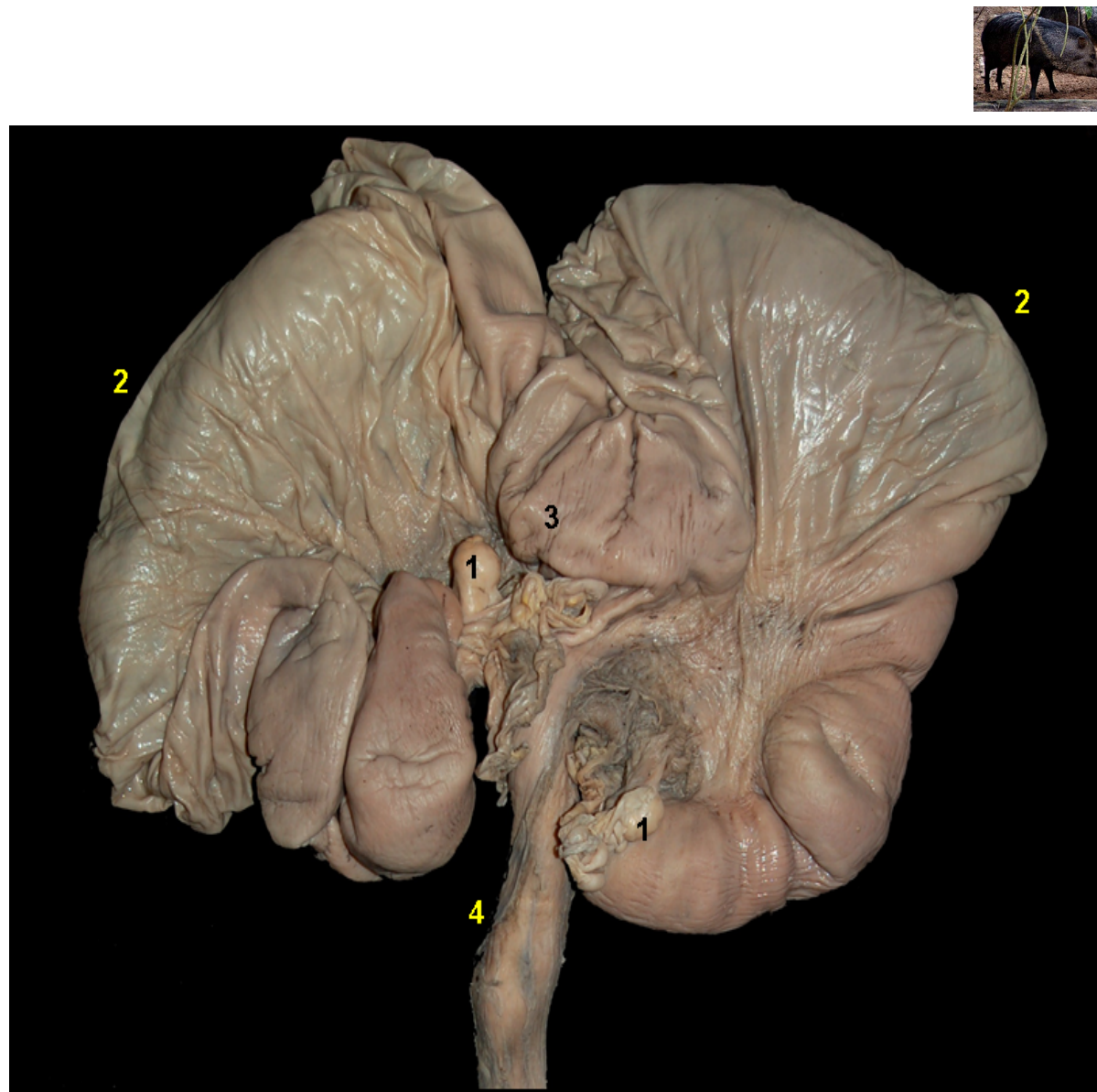


Figura 6.90 - Visión dorsal de los órganos genitales de una hembra gestante de pécari de collar (*Pecari tajacu*) en periodo gestacional intermedio. 1. Ovarios con cuerpo lúteo; 2. Cuernos uterinos; 3. Cuerpo uterino; 4. Cuello uterino.

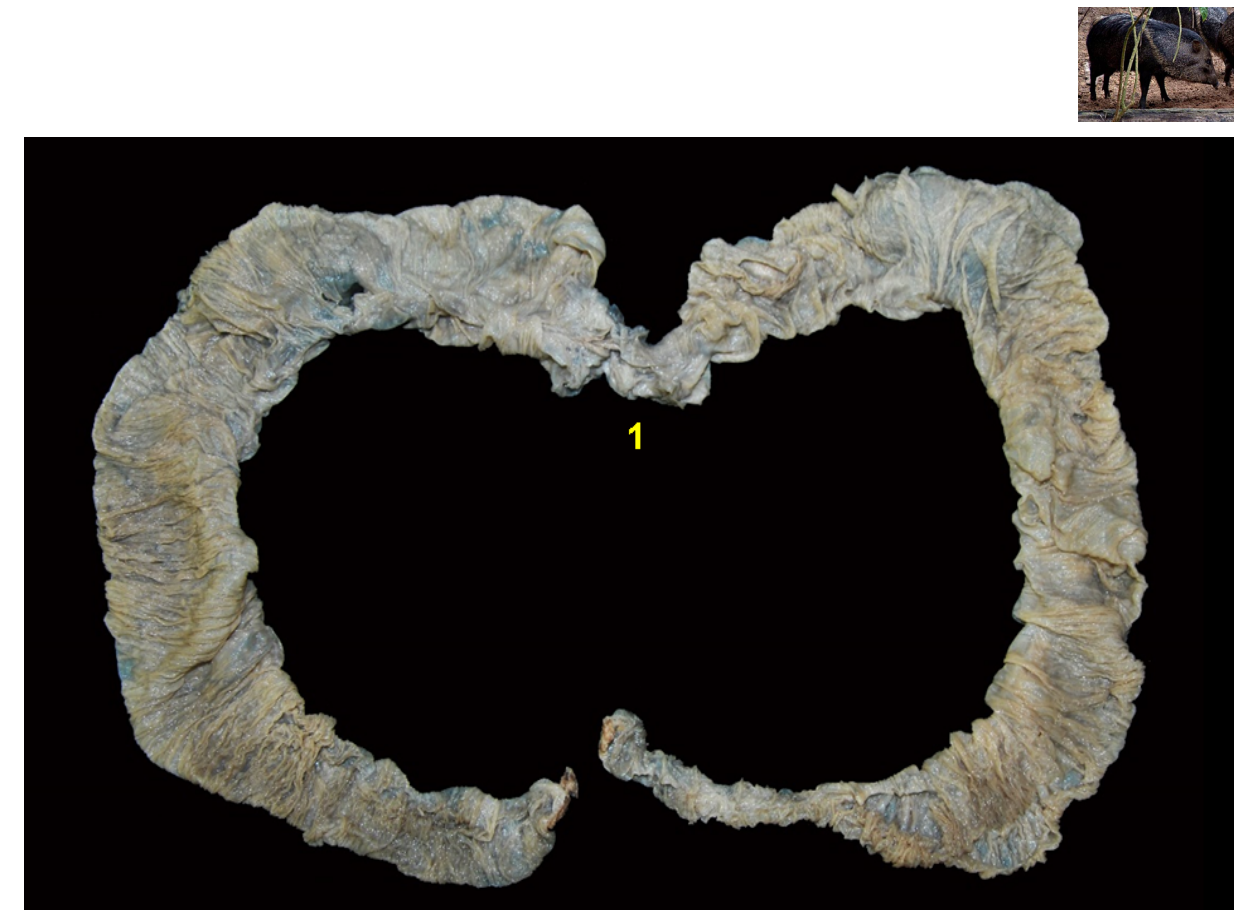


Figura 6.91 - Membranas fetales y feto de pécari de collar (*Pecari tajacu*). Placenta difusa, adecidua y epiteliocorial. 1. Fusión de las áreas necróticas de los dos sacos coriónicos.



Figura 6.92 - Membranas fetales y feto de pécari de collar (*Pecari tajacu*). Placenta difusa, adecidua y epiteliocorial. Se han abierto los dos sacos coriónicos.

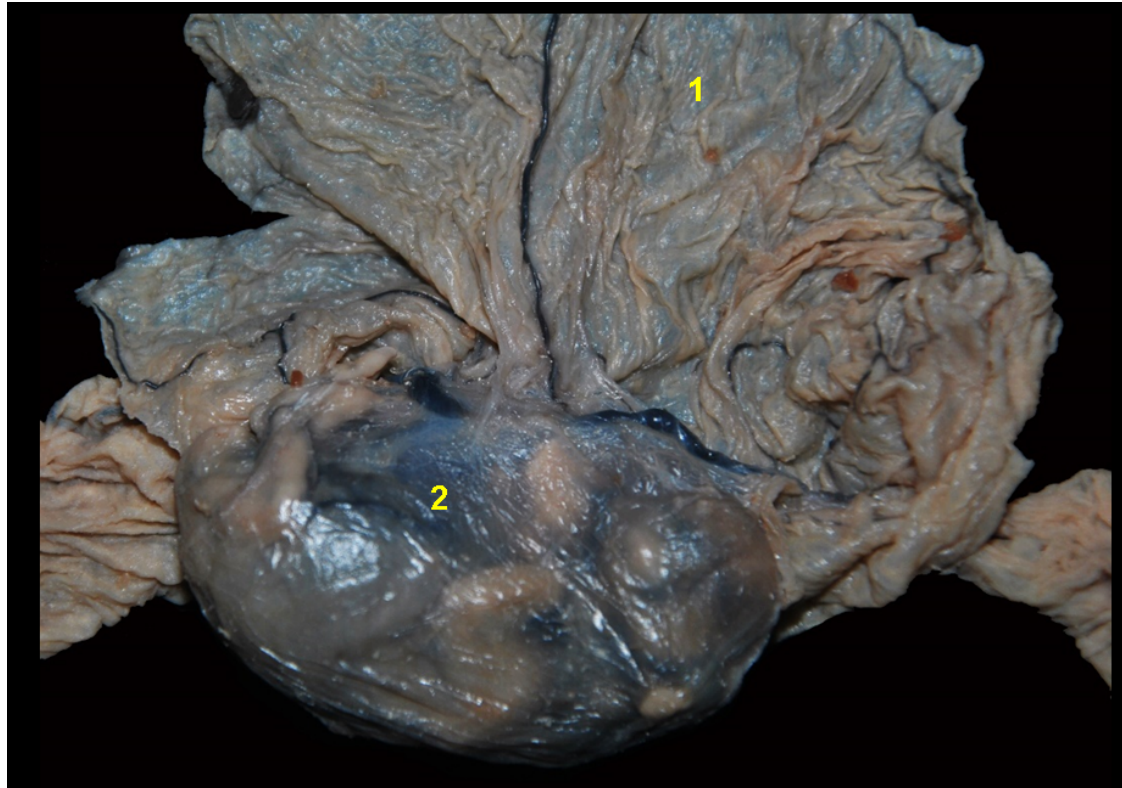


Figura 6.93 - Membranas fetales y feto de pécari de collar (*Pecari tajacu*). Placenta difusa, adecidua y epiteliocorial. Se ha abierto el saco coriônico. 1. Membrana corioalantoidea; 2. Amnios.

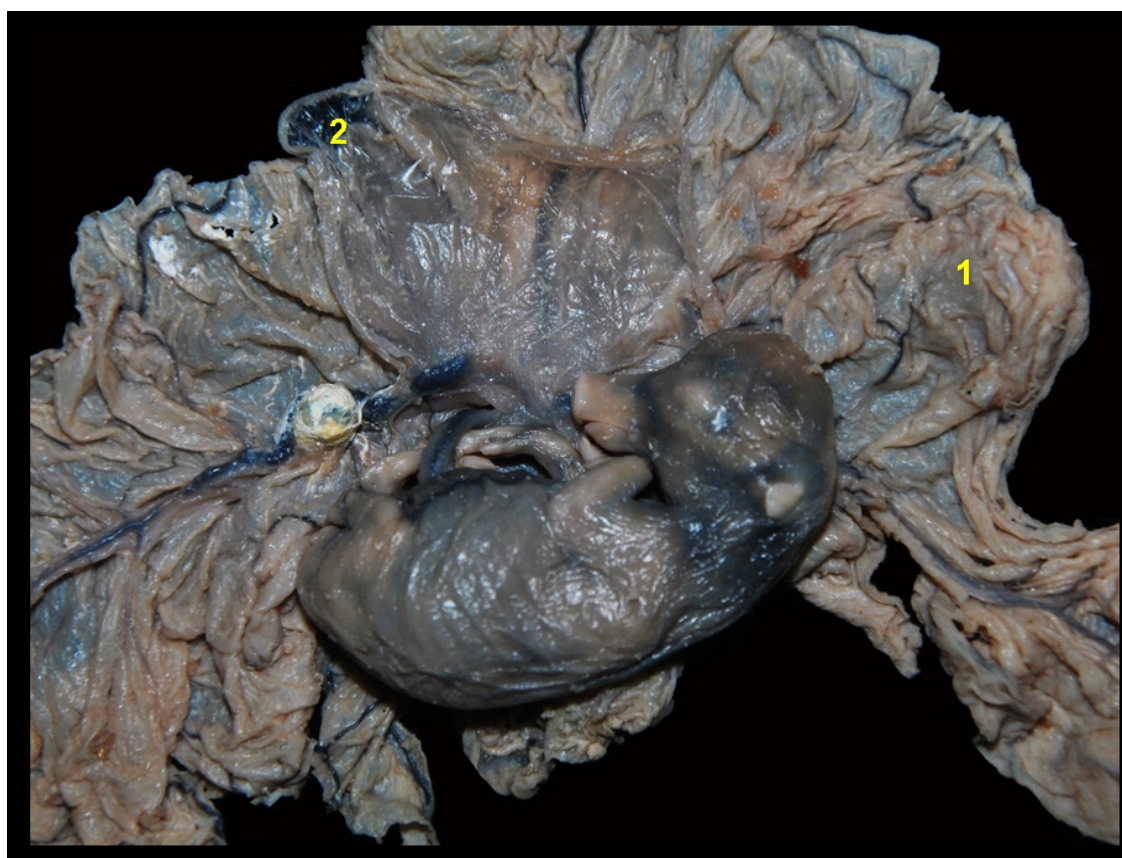


Figura 6.94 - Membranas fetales y feto de pécari de collar (*Pecari tajacu*). Placenta difusa, adecidua y epiteliocorial. Se han abierto el saco coriônico y la membrana amniótica. 1. Membrana corioalantoidea; 2. Amnios.

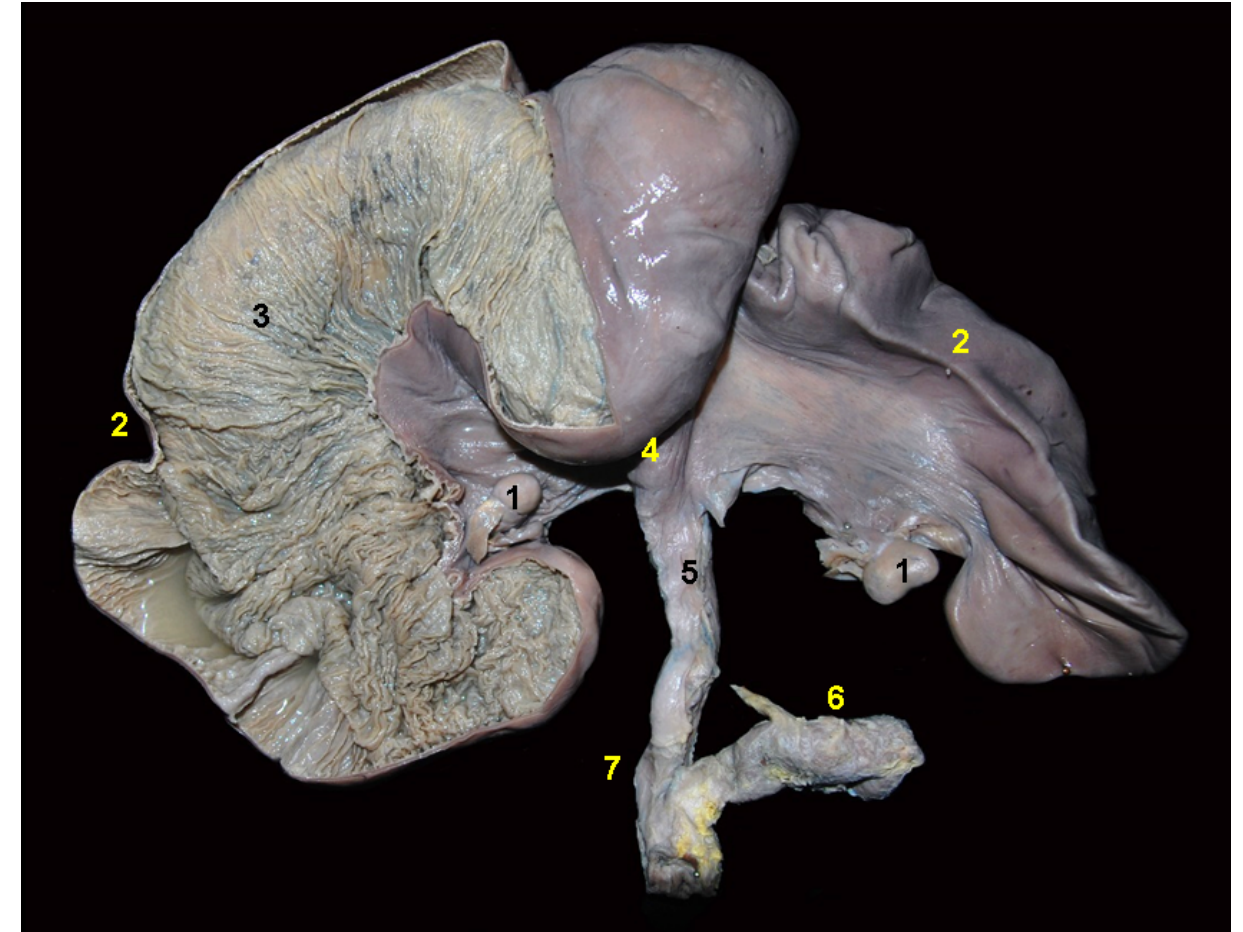


Figura 6.95 - Visión dorsal de los órganos genitales de una hembra de pécari de collar (*Pecari tajacu*) en periodo gestacional intermedio. Se ha abierto el cuerno uterino izquierdo para observar las membranas placentarias. Placenta difusa, adecidua y epiteliocorial. 1. Ovarios; 2. Cuernos uterinos; 3. Saco coriônico; 4. Cuerpo uterino; 5. Cuello uterino; 6. Vejiga urinaria; 7. Vagina.

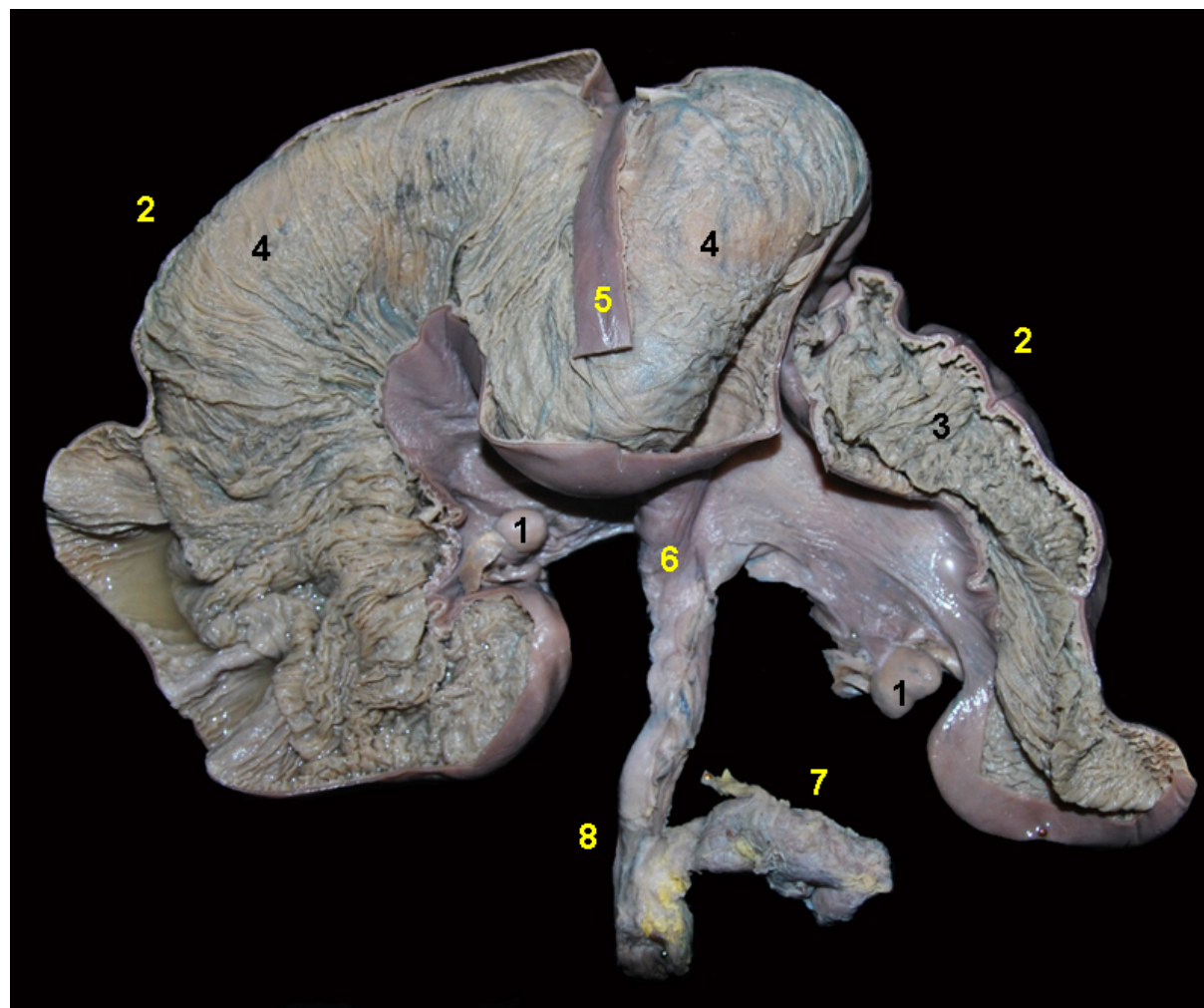


Figura 6.96 - Visión dorsal de los órganos genitales de una hembra de pécari de collar (*Pecari tajacu*) en periodo gestacional intermedio. Se ha abierto el cuerno uterino izquierdo para observar las membranas placentarias. Placenta difusa, adecidua y epiteliocorial. 1. Ovarios; 2. Cuernos uterinos; 3. Saco coriónico; 4. Cuerpo uterino; 5. Cuello uterino; 6. Vejiga urinaria; 7. Vagina.



Figura 6.97 - Membranas fetales y feto de pécari de collar (*Pecari tajacu*). Placenta difusa, adecidua y epiteliocorial. Se han abierto los sacos coriónicos. Uno de los fetos aún conserva la membrana amniótica intacta. 1. Membrana corioalantoidea; 2. Amnios.



Figura 6.98 - Visión dorsal de los órganos genitales de una hembra de pécari de collar (*Pecari tajacu*) en periodo gestacional avanzado. 1. Ovarios; 2. Cuernos uterinos; 3. Cuerpo uterino; 4. Cuello uterino; 5. Vejiga urinaria; 6. Uréteres; 7. Vagina.

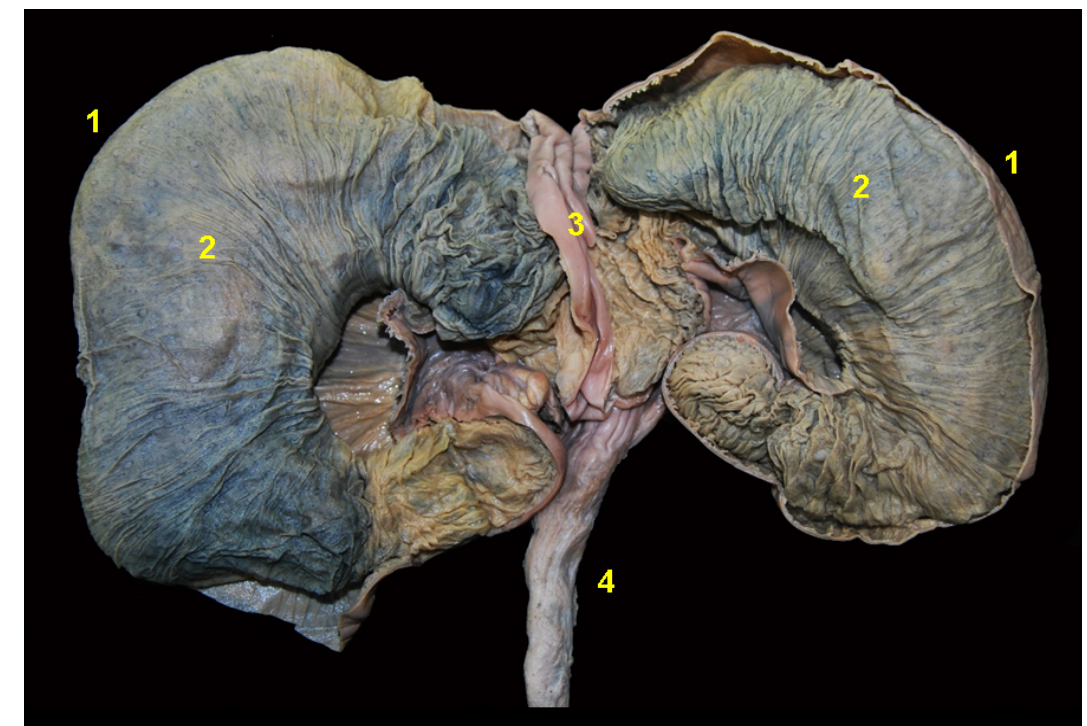


Figura 6.99 - Visión dorsal de los órganos genitales de una hembra de pécari de collar (*Pecari tajacu*) en periodo gestacional avanzado. Se han abierto los dos cuernos uterinos para observar las membranas placentarias. Placenta difusa, adecidua y epiteliorial. 1. Cuernos uterinos; 2. Sacos coriónicos; 3. Velo uterino; 4. Cuello uterino.

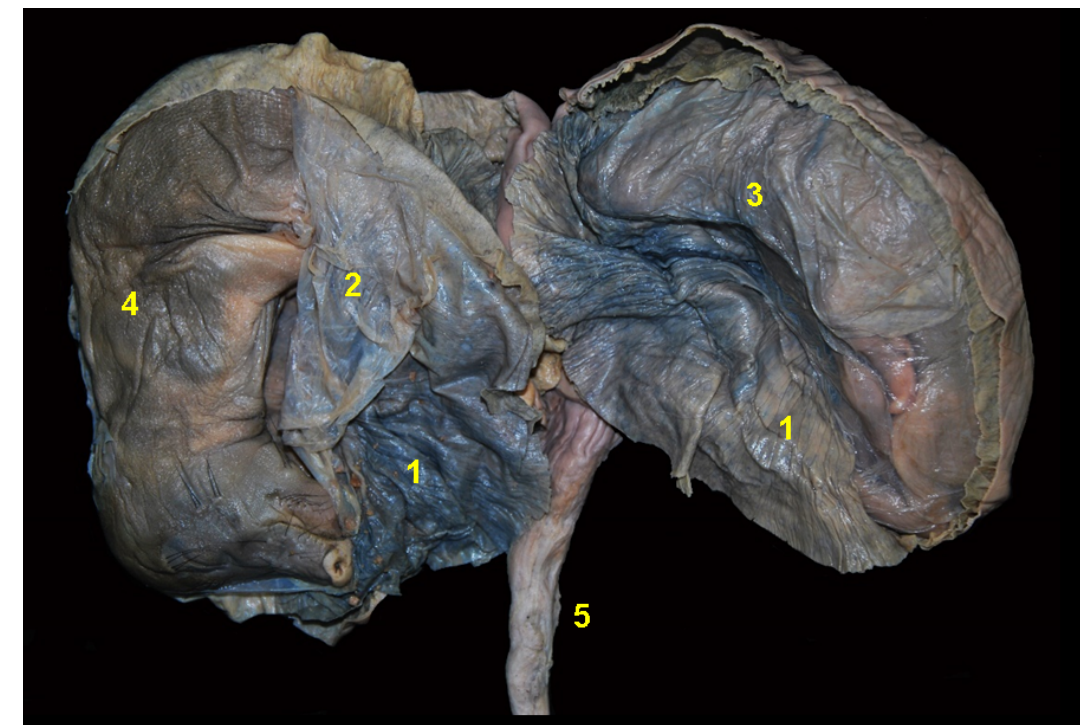


Figura 6.100 - Visión dorsal de los órganos genitales de una hembra de pécari de collar (*Pecari tajacu*) en periodo gestacional avanzado. Se han abierto los cuernos uterinos, los sacos coriónicos y una de las membranas amnióticas para observar el feto. 1. Saco coriónico; 2. Amnios; 3. Feto cubierto por la membrana amniótica; 4. Feto; 5. Cuello uterino.

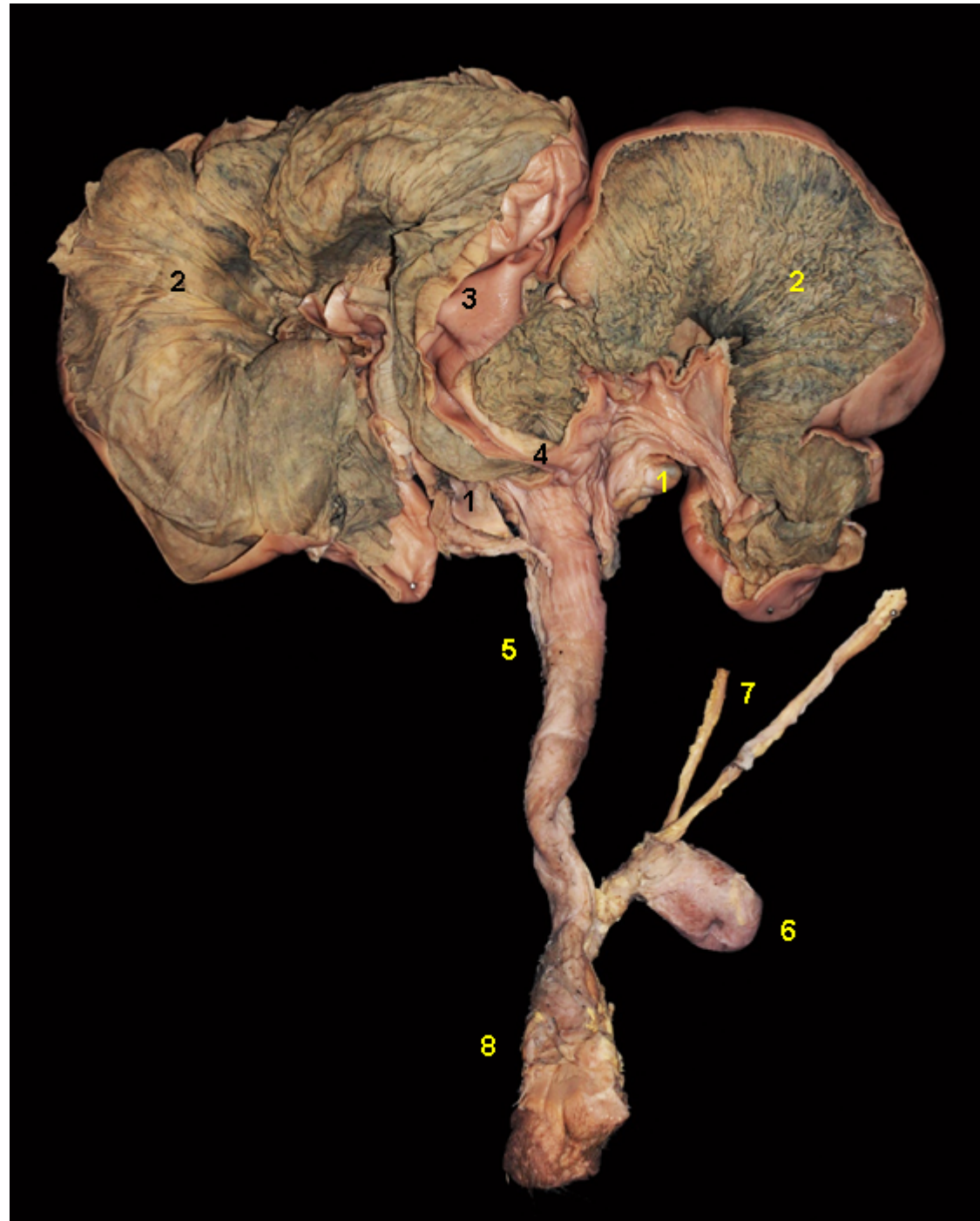


Figura 6.101 - Visión dorsal de los órganos genitales de una hembra de pécari de collar (*Pecari tajacu*) en periodo gestacional avanzado. Se han abierto los dos cuernos uterinos para observar las membranas placentarias. Placenta difusa, adecidua y epiteliocorial. 1. Ovarios; 2. Sacos coriónicos dentro de cada cuerno uterino; 3. Velo del útero; 4. Cuerpo uterino; 5. Cuello uterino; 6. Vejiga urinaria; 7. Uréteres; 8. Vagina.



Figura 6.102 - Membranas fetales y feto en edad gestacional avanzada de pécari de collar (*Pecari tajacu*). Placenta difusa, adecidua y epiteliocorial. 1. Fusión de las áreas necróticas de los dos sacos coriónicos.



Figura 6.103 - Membranas fetales y feto en edad gestacional avanzada de pécari de collar (*Pecari tajacu*). Placenta difusa, adecidua y epiteliocorial. Se han abierto los sacos coriónicos. 1. Membranas corioalantoideas; 2. Amnios.



Figura 6.104 - Membranas fetales y feto en edad gestacional avanzada de pécari de collar (*Pecari tajacu*). Placenta difusa, adecidua y epiteliocorial. Se han abierto el saco coriónico y la membrana amniótica. 1. Membranas corioalantoideas; 2. Amnios.

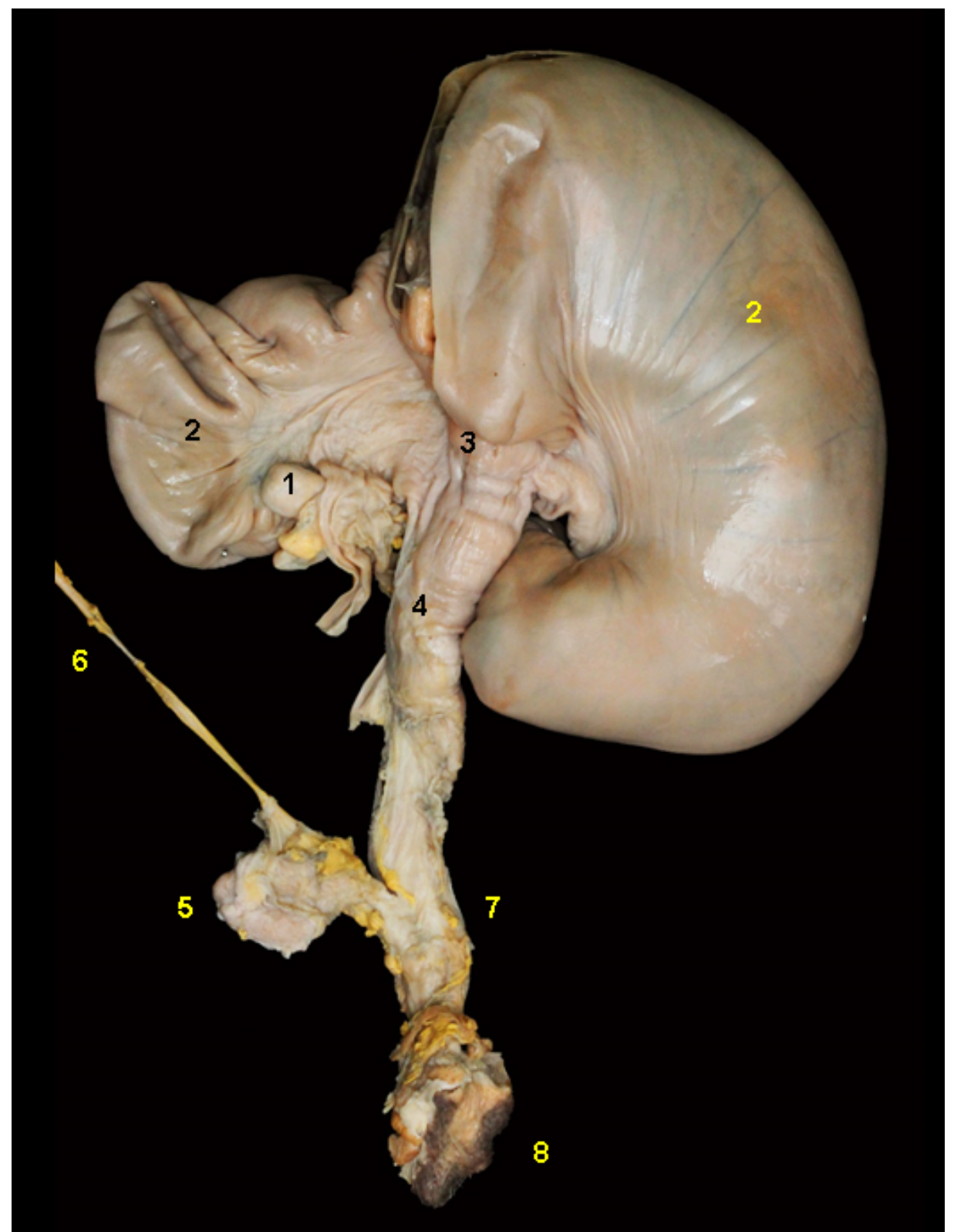


Figura 6.105 - Visión dorsal de los órganos genitales de una hembra de pécari de collar (*Pecari tajacu*) en periodo gestacional peripartal. 1. Ovarios; 2. Cuernos uterinos; 3. Cuerpo uterino; 4. Cuello uterino; 5. Vejiga urinaria; 6. Uréter; 7. Vagina; 8. Vulva.

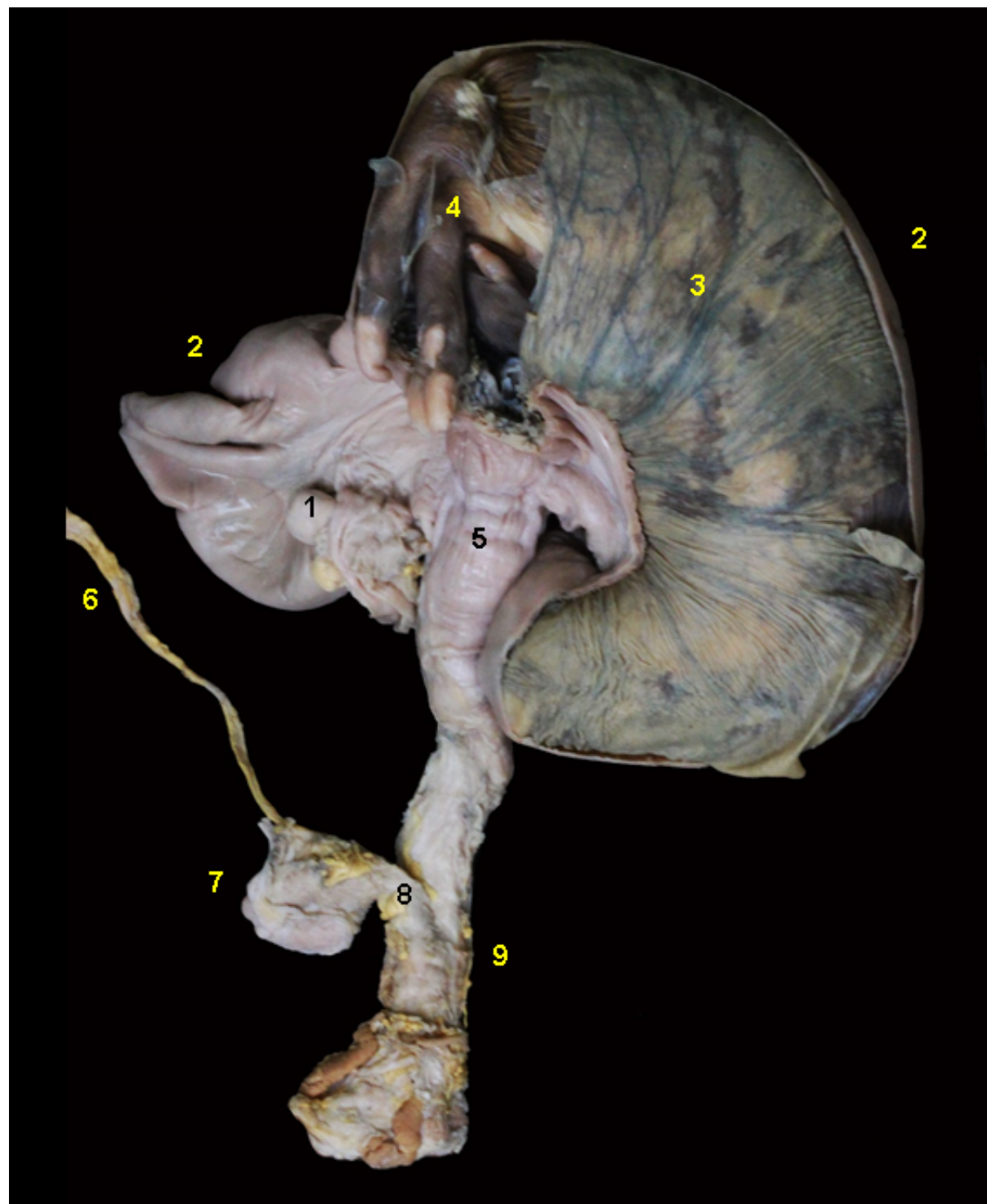


Figura 6.106 - Visión dorsal de los órganos genitales de una hembra de pécari de collar (*Pecari tajacu*) en periodo gestacional próximo al parto. Se ha abierto el cuerno uterino derecho para observar las membranas placentarias. 1. Ovarios; 2. Cuernos uterinos; 3. Saco coriónico; 4. Feto; 5. Cuello uterino; 6. Uréter; 7. Vejiga urinaria; 8. Uretra; 9. Vagina.

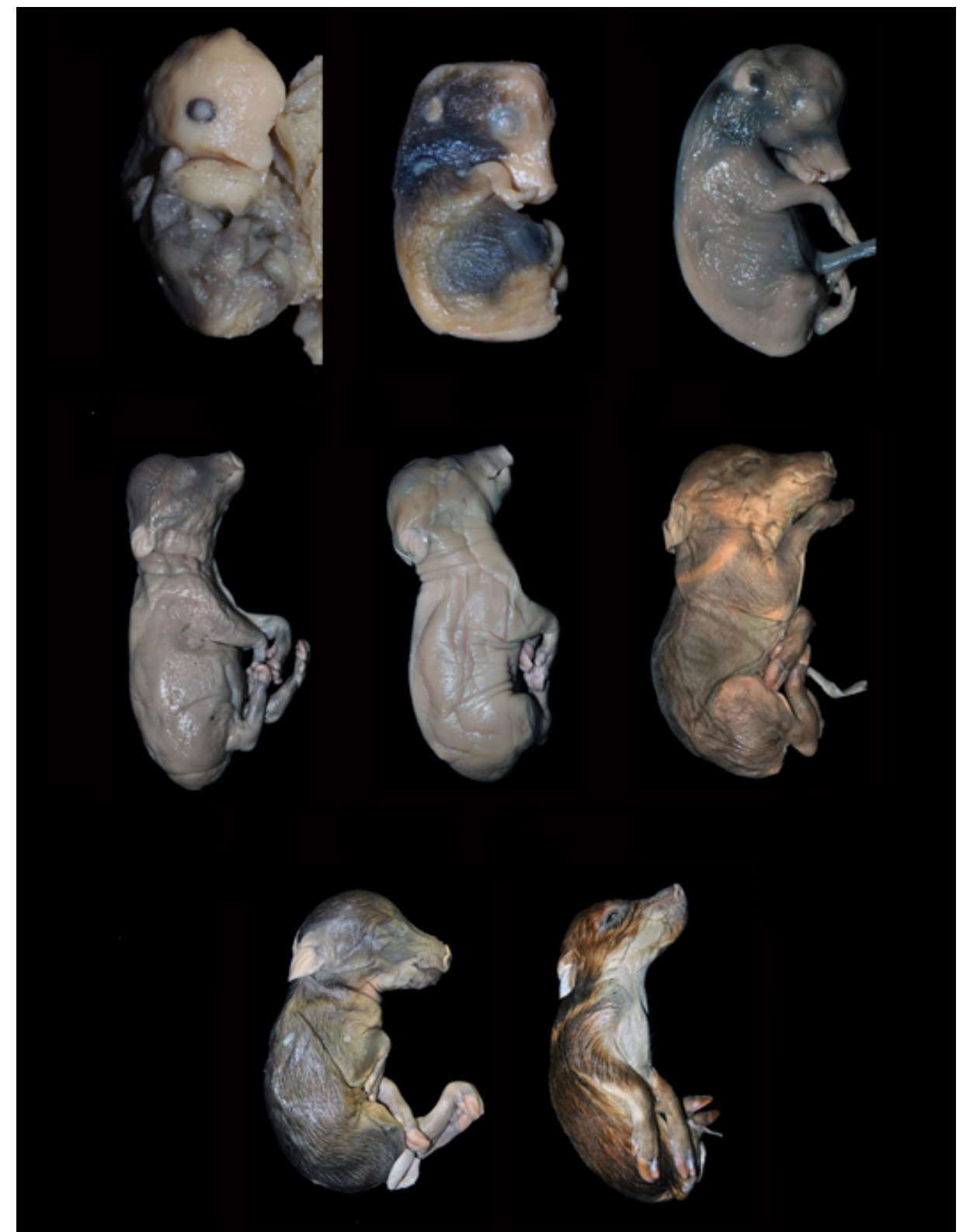


Figura 6.107 - Fetus de pécari de collar (*Pecari tajacu*) en diferente estado del desarrollo, desde etapas embrionarias hasta fetos próximos al parto. Se han igualado el tamaño de los fetos para poder observar las diferencias morfológicas entre etapas de gestación.





PÉCARI LABIADO (*Tayassu pecari*)

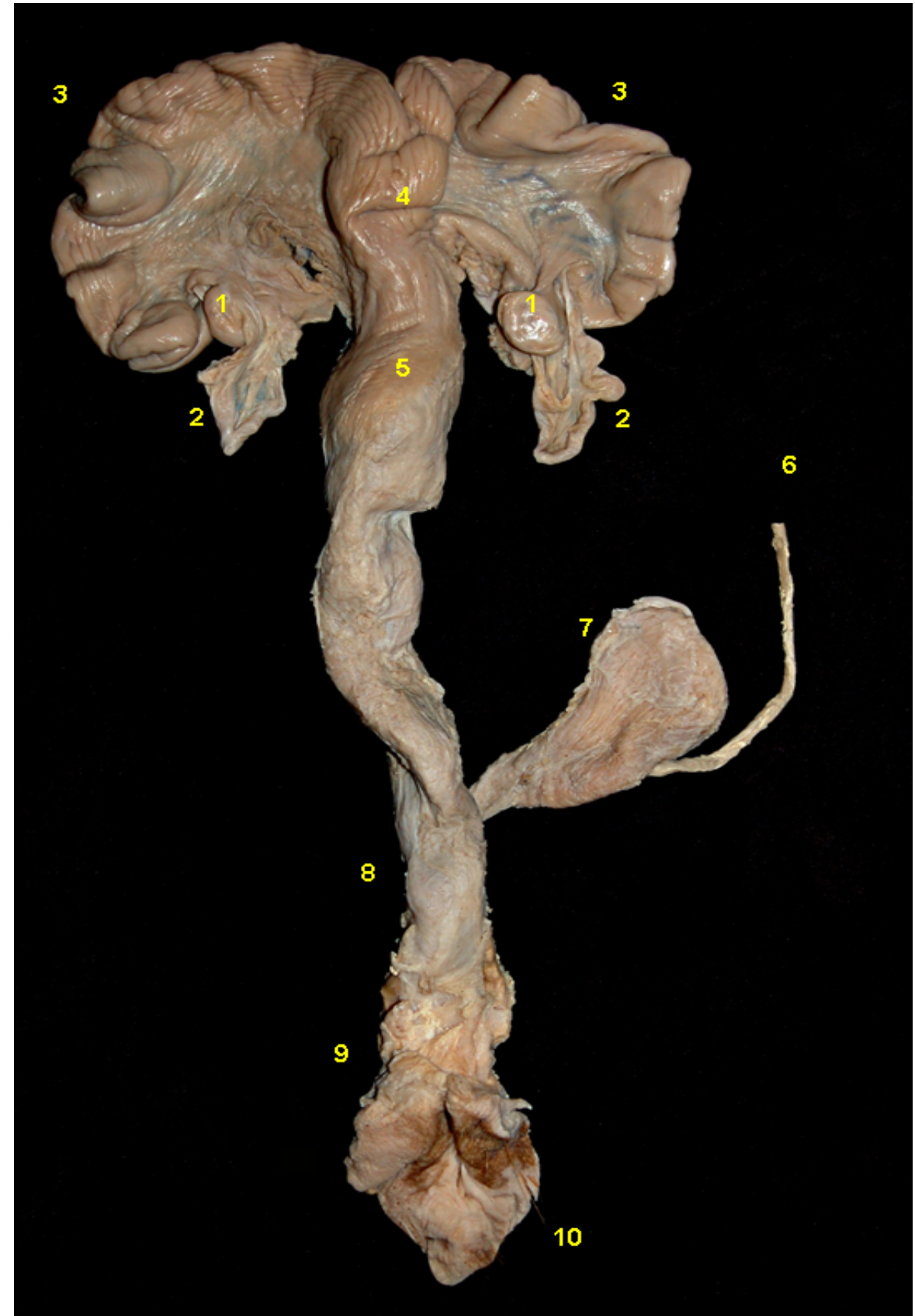


Figura 6.108 - Visión dorsal de los órganos genitales femeninos de pécari labiado (*Tayassu pecari*). 1. Ovarios; 2. Trompas uterinas; 3. Cuernos uterinos; 4. Cuerpo uterino; 5. Cuello uterino; 6. Uréter; 7. Vejiga urinaria; 8. Vagina; 9. Vestíbulo vaginal; 10. Vulva.



Figura 6.109 - Ovario de pécaro labiado (*Tayassu pecari*). 1. Cuerpos lúteos; 2. Fosa ovárica; 3. Trompa uterina; 4. Mesosalpinx; 5. Cuerno uterino.



Figura 6.111 - Visión interna del cuello uterino de pécaro labiado (*Tayassu pecari*). Se observan los cojinetes cervicales o *pulvini cervicales*.

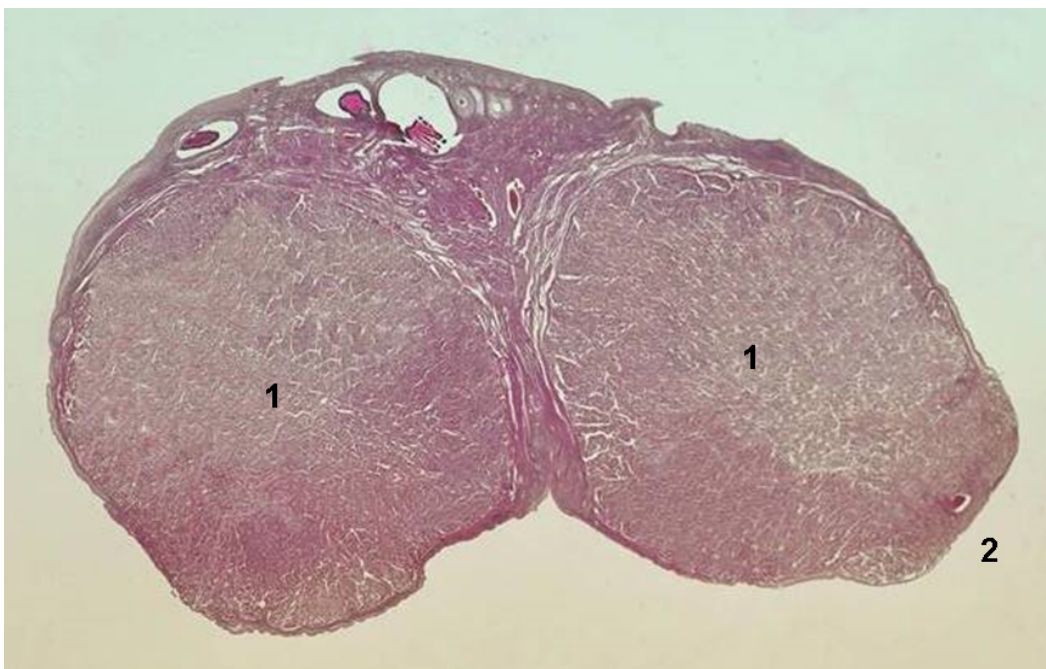
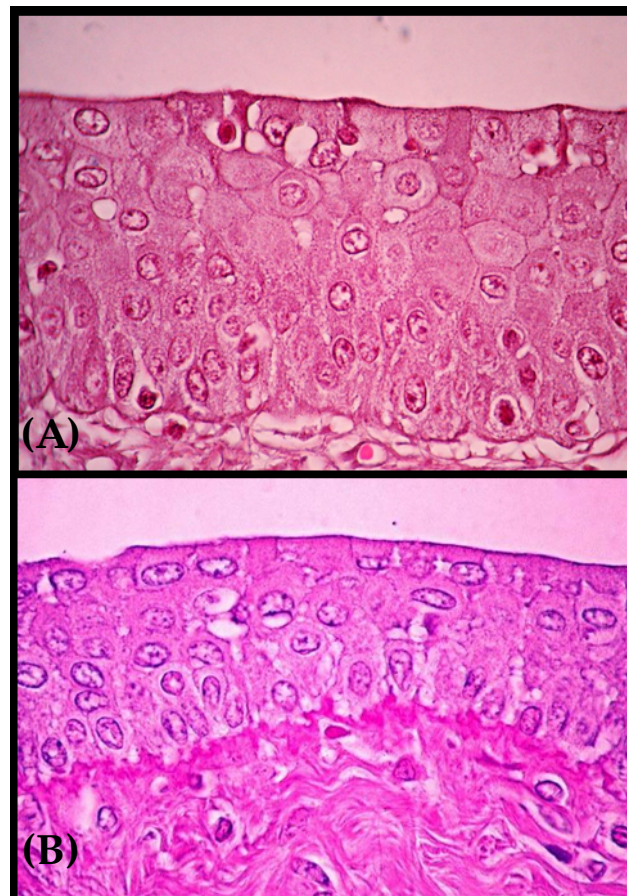


Figura 6.110 - Sección histológica del ovario de una hembra de pécaro labiado (*Tayassu pecari*). 1. Cuerpos lúteos; 2. Fosa ovárica.



Figura 6.112 - Cortes longitudinales de cuello uterino de una hembra del pécaro labiado (*Tayassu pecari*). 1. Cojinetes cervicales o *pulvini cervicales*; 2. Canal cervical.



(A)

(B)

Figura 6.113 - Secciones histológicas de la vagina de una hembra de pécari labiado (*Tayassu pecari*) en fase folicular (A) y en fase luteal (B) del ciclo estral. En la fase folicular se observa un mayor desarrollo del epitelio vaginal.

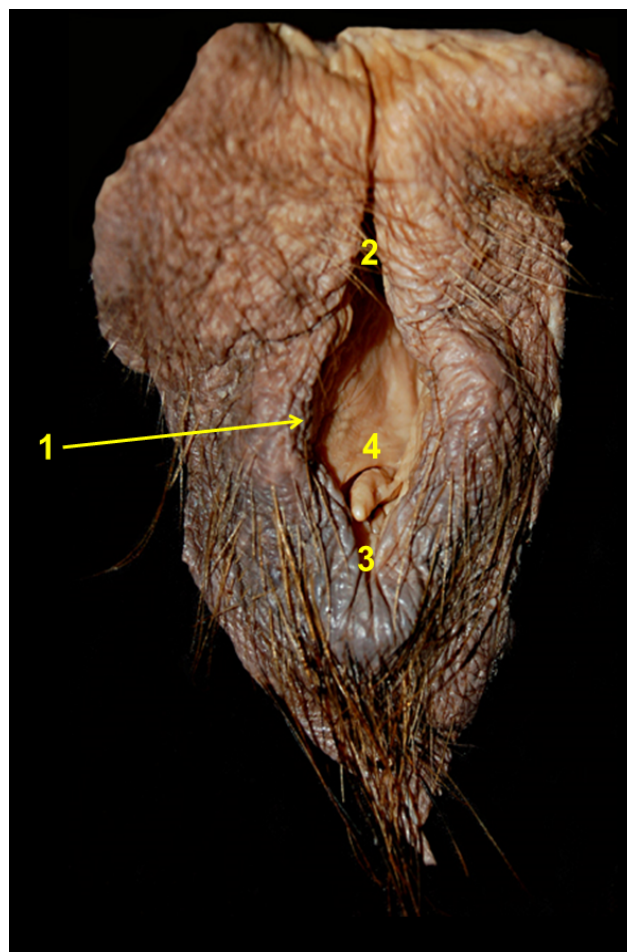


Figura 6.114 - Visión caudal de la vulva de pécari labiado (*Tayassu pecari*). 1. Hendidura vulvar; 2. Comisura vulvar dorsal; 3. Comisura vulvar ventral; 4. Clítoris.



Figura 6.115 - Visión dorsal de los órganos genitales de una hembra de pécari labiado (*Tayassu pecari*) en periodo gestacional temprano. Se ha abierto un cuerno uterino para observar las membranas placentarias. 1. Ovarios; 2. Cuernos uterinos; 3. Saco coriónico; 4. Cuerpo uterino; 5. Cuello uterino; 6. Uréteres; 7. Vejiga urinaria; 8. Uretra; 9. Vagina.

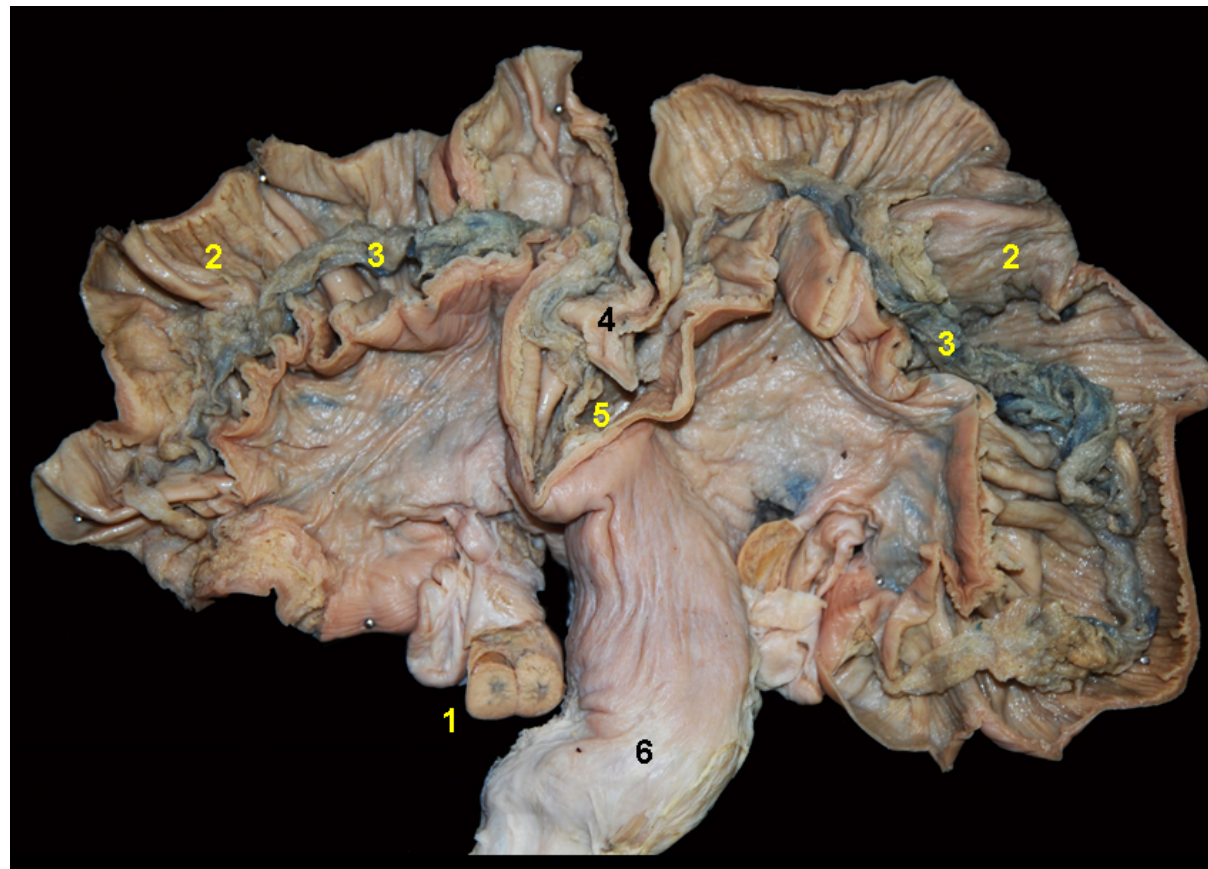


Figura 6.116 - Visión dorsal de los órganos genitales de una hembra de pécaro labiado (*Tayassu pecari*) en periodo gestacional temprano. Se han abierto los dos cuernos. 1. Ovario seccionado con dos cuerpos lúteos; 2. Cuernos uterinos; 3. Sacos coriónicos; 4. Velo del útero; 5. Cuerpo uterino; 6. Cuello uterino.

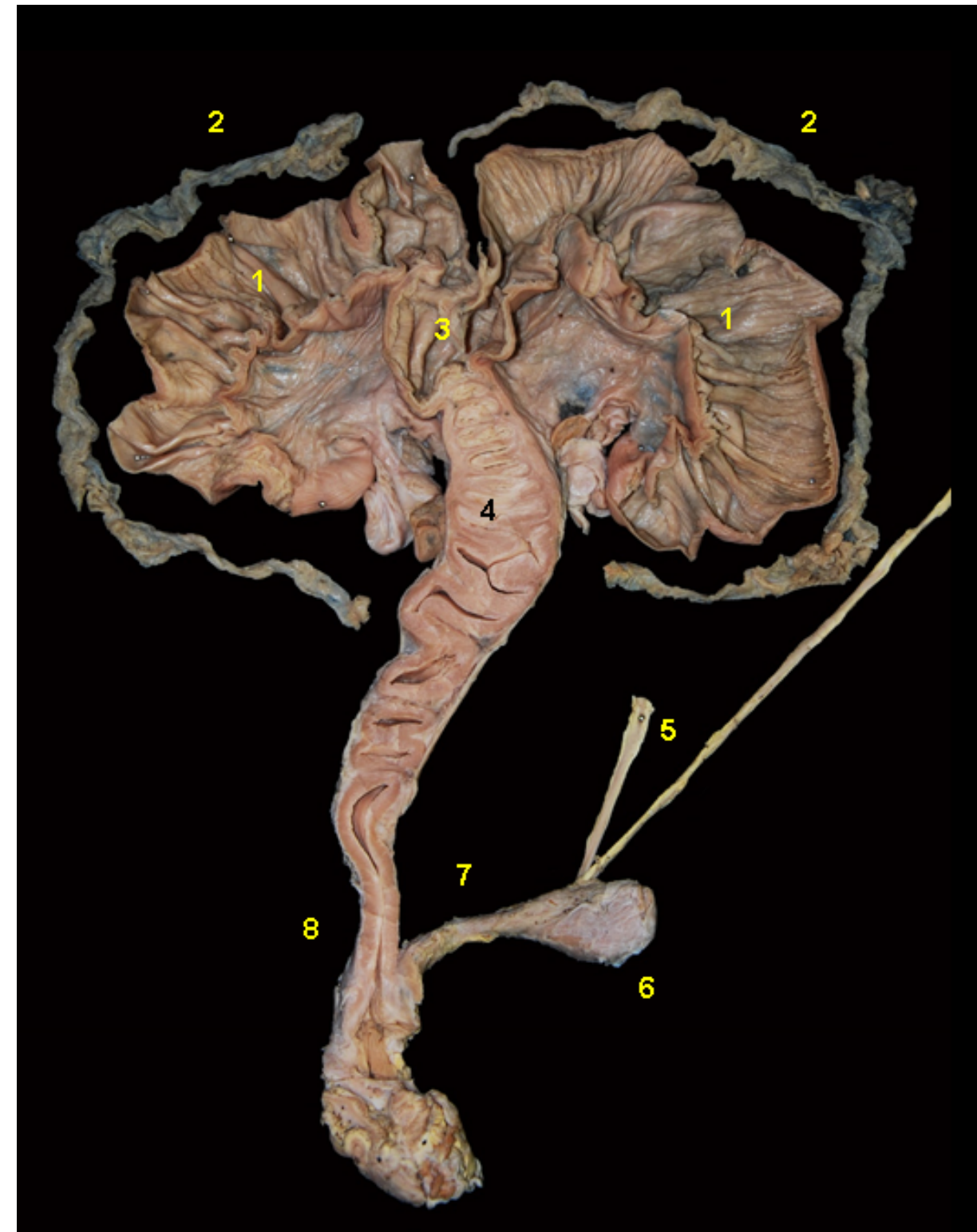


Figura 6.117 - Visión dorsal de los órganos genitales de una hembra de pécaro labiado (*Tayassu pecari*) en periodo gestacional temprano. Se han abierto los dos cuernos uterinos, se han retirado las membranas placentarias, y se han seccionado longitudinalmente el cuello uterino y la vagina. 1. Cuernos uterinos; 2. Sacos coriónico; 3. Cuerpo uterino; 4. Cojinete cervicales o pulvini cervicales; 5. Uréteres; 6. Vejiga urinaria; 7. Uretra; 8. Vagina.



Figura 6.118 - Visión dorsal de los órganos genitales de una hembra de pécari labiado (*Tayassu pecari*) en periodo gestacional temprano. Se ha abierto un cuerno uterino para observar las membranas placentarias. 1. Ovarios; 2. Cuernos uterinos; 3. Saco coriónico; 4. Embrión; 5. Cuerpo uterino; 6. Cuello uterino.



Figura 6.119 - Membranas embrionarias y embrión en edad gestacional temprana de pécari labiado (*Tayassu pecari*). Placenta difusa, adecidua y epiteliocorial.

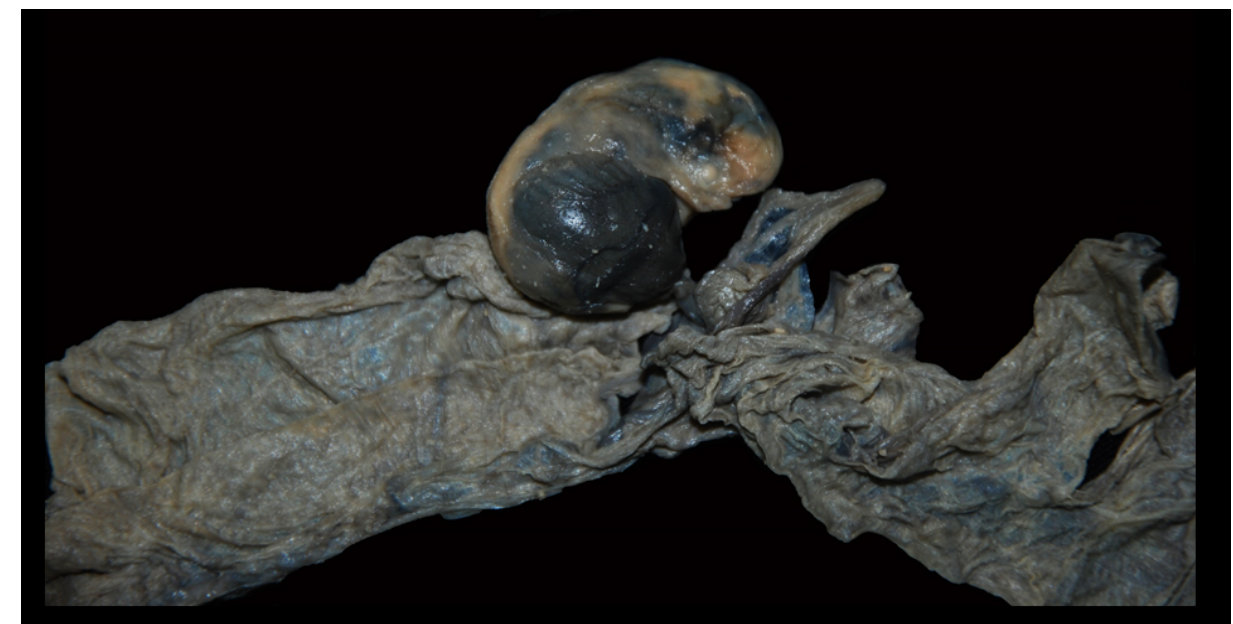


Figura 6.120 - Membranas embrionarias y embrión en edad gestacional temprana de pécari labiado (*Tayassu pecari*). Placenta difusa, adecidua y epiteliocorial.

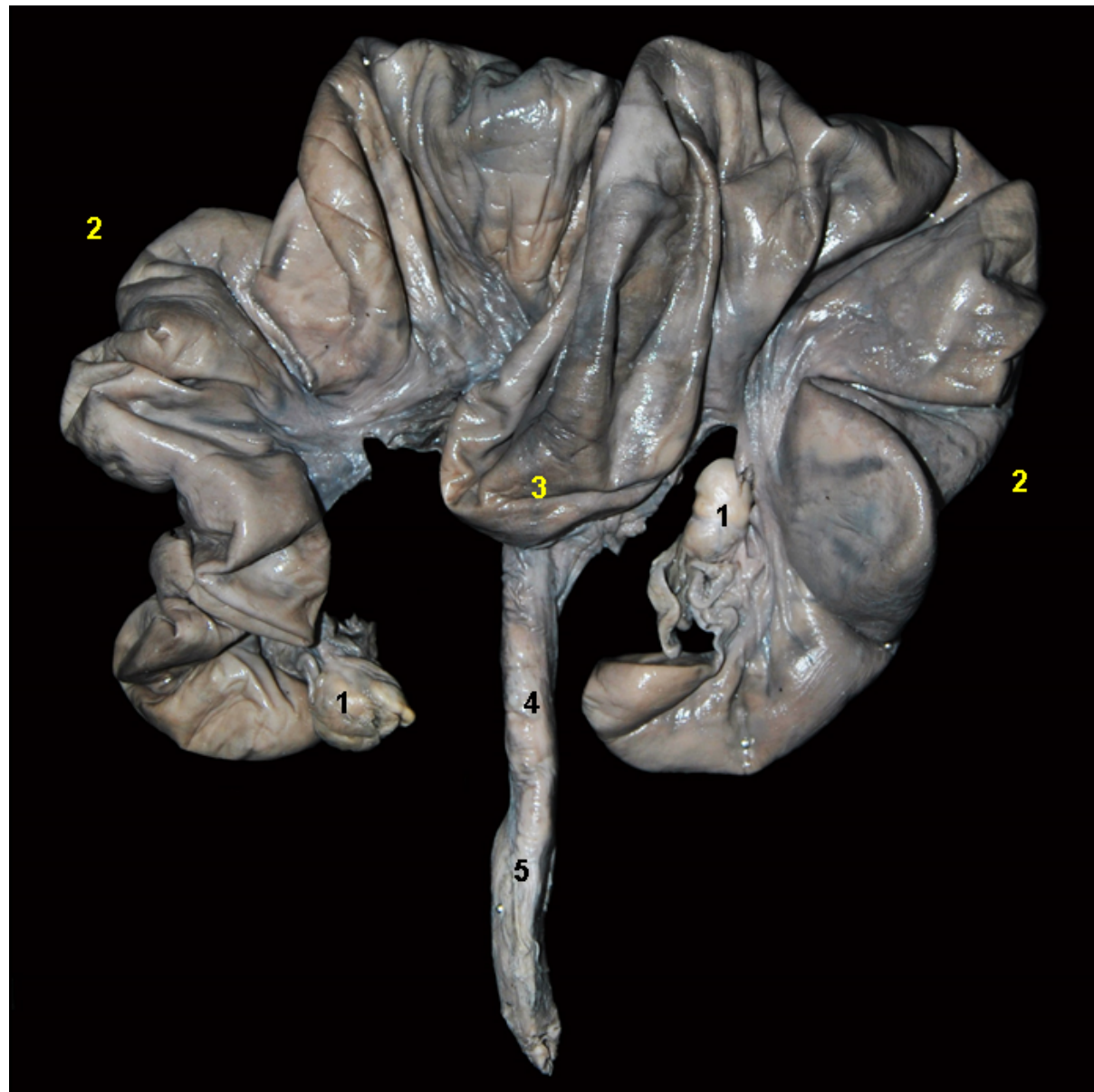


Figura 6.121 - Visión dorsal de los órganos genitales de una hembra de pécari labiado (*Tayassu pecari*) en periodo gestacional temprano. 1. Ovarios; 2. Cuernos uterinos; 3. Cuerpo uterino; 4. Cuello uterino; 5. Vagina.

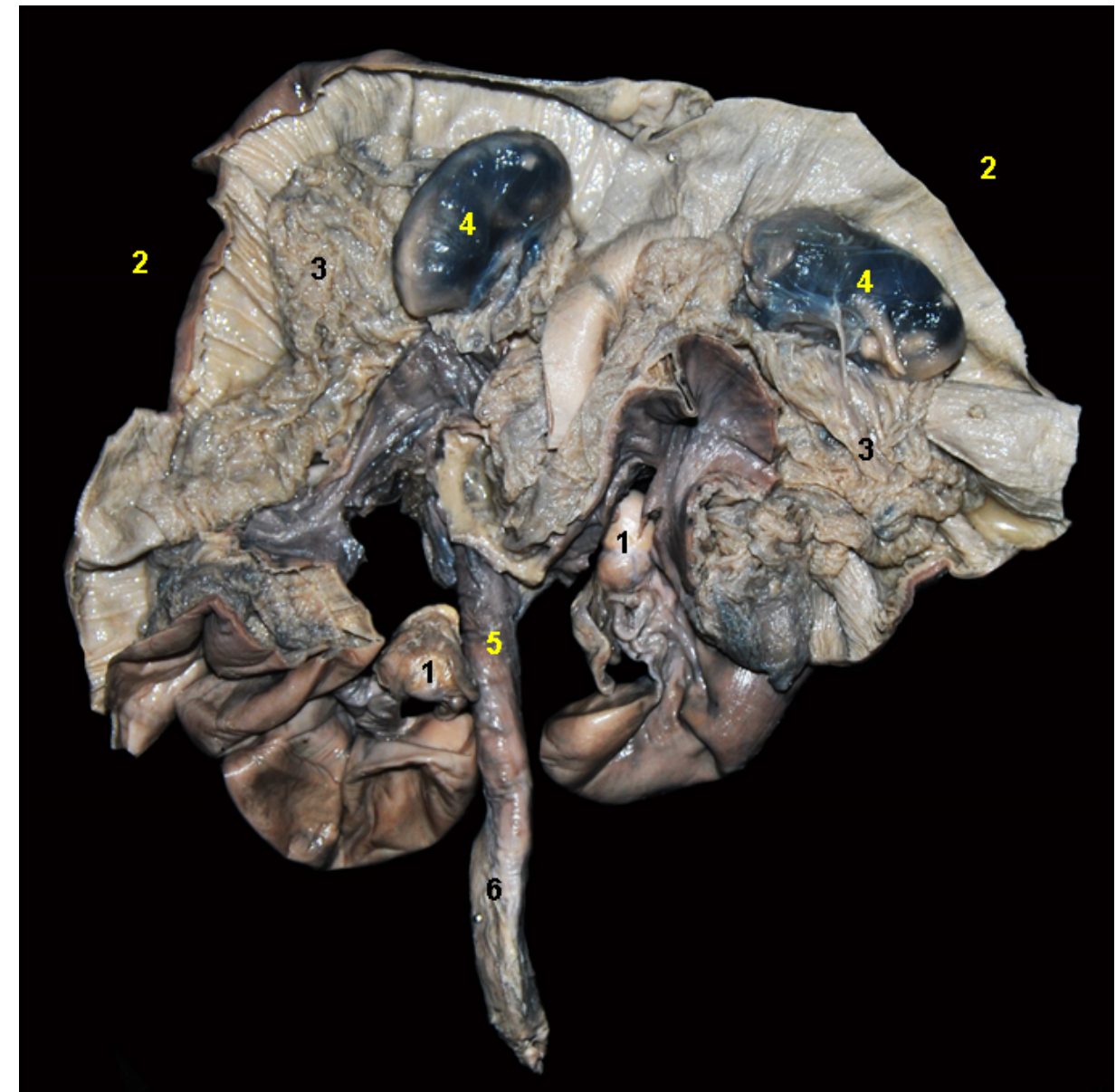


Figura 6.122 - Visión dorsal de los órganos genitales de una hembra de pécari labiado (*Tayassu pecari*) en periodo gestacional temprano. Se han abierto los dos cuernos uterinos para observar las membranas placentarias y los fetos. 1. Ovarios; 2. Cuernos uterinos; 3. Sacos coriónicos; 4. Fetos; 5. Cuello uterino; 6. Vagina.



Figura 6.123 - Visión dorsal de los órganos genitales de una hembra de pécari labiado (*Tayassu pecari*) en periodo gestacional temprano. Se han abierto los dos cuernos uterinos y se han retirado las membranas placentarias. Placenta difusa, adecidua y epiteliocorial. 1. Ovarios; 2. Cuernos uterinos; 3. Cuerpo uterino; 4. Cuello uterino; 5. Sacos coriónicos; 6. Fetos; 7. Fusión de las áreas necróticas de los dos sacos coriónicos.

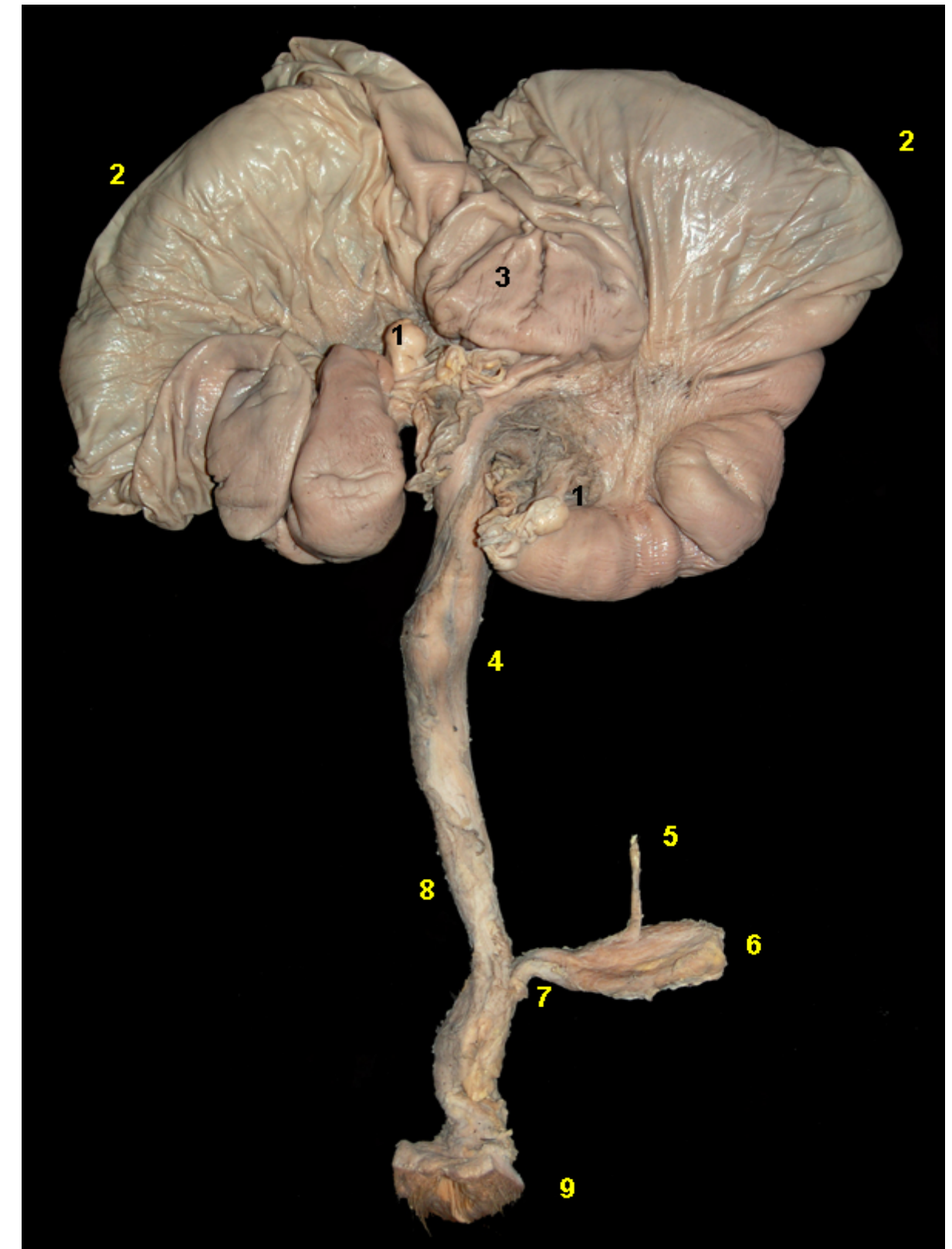


Figura 6.124 - Visión dorsal de los órganos genitales de una hembra gestante de pécari labiado (*Tayassu pecari*). 1. Ovarios; 2. Cuernos uterinos; 3. Cuerpo uterino; 4. Cuello uterino; 5. Uréter; 6. Vejiga urinaria; 7. Uretra; 8. Vagina; 9. Vulva.



Figura 6.125 - Membranas fetales y feto en edad gestacional intermedia de pécari labiado (*Tayassu pecari*). Placenta difusa, adecidua y epiteliocorial. Se ha abierto un saco coriónico para observar el feto. 1. Fusión de las áreas necróticas de los dos sacos coriónicos.



Figura 6.126 - Membranas fetales y feto en edad gestacional intermedia de pécari labiado (*Tayassu pecari*). Placenta difusa, adecidua y epiteliocorial. Se han abierto los dos sacos coriónicos para observar ambos fetos.



Figura 6.127 - Visión dorsal de los órganos genitales de una hembra de pécari labiado (*Tayassu pecari*) en periodo gestacional avanzado. 1. Cuernos uterinos; 2. Cuello uterino; 3. Vejiga urinaria; 4. Vagina; 5. Vulva.



Figura 6.128 - Visión dorsal de los órganos genitales de una hembra de pécari labiado (*Tayassu pecari*) en periodo gestacional avanzado. Se han abierto los dos cuernos uterinos para observar las membranas placentarias. 1. Sacos coriónicos; 2. Velo del útero; 3. Cuerpo uterino; 4. Cuello uterino; 5. Vagina.

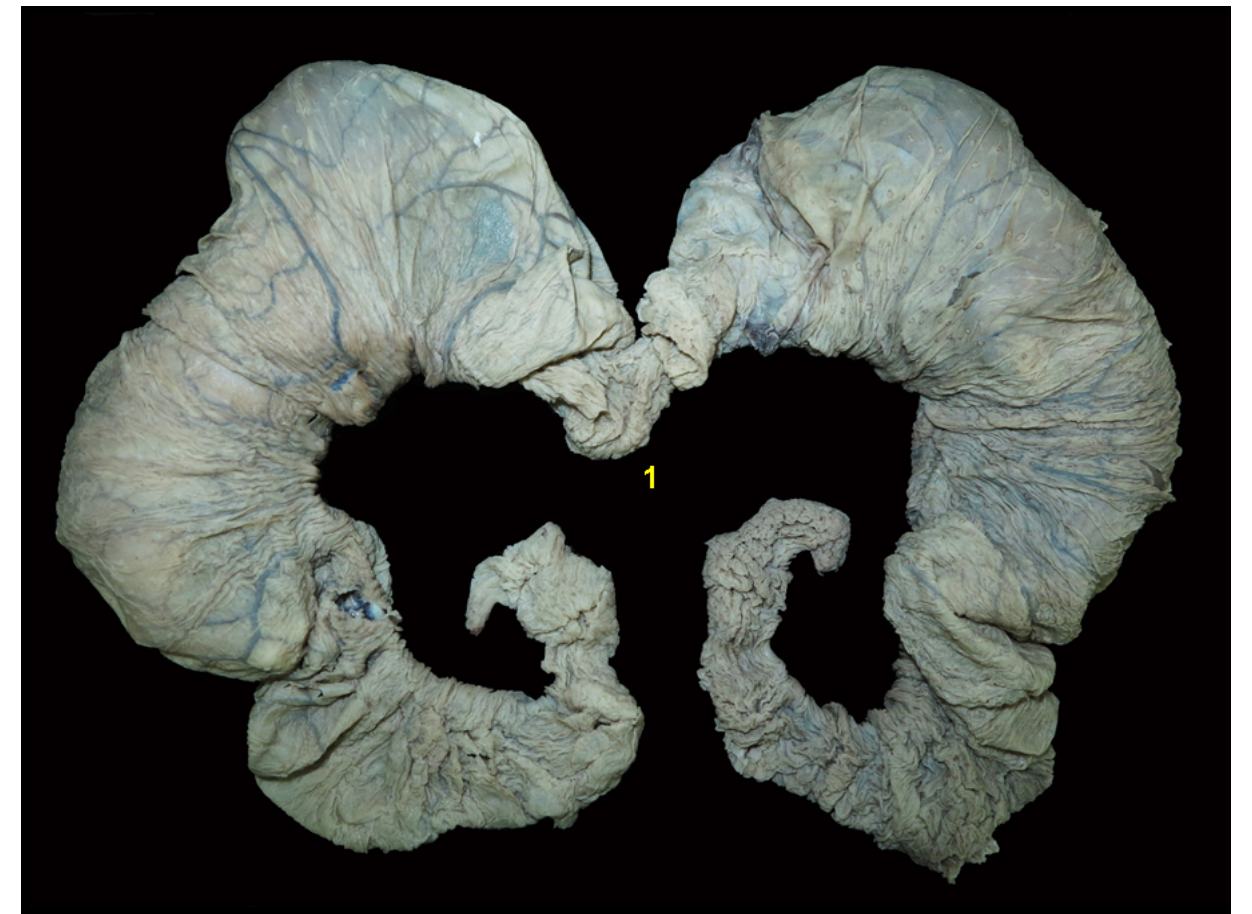


Figura 6.129 - Membranas fetales y feto en edad gestacional avanzada de pécari labiado (*Tayassu pecari*). Placenta difusa, adecidua y epiteliocorial. 1. Fusión de las áreas necróticas de los dos sacos coriónicos.



Figura 6.130 - Membranas fetales y feto en edad gestacional avanzada de pécari labiado (*Tayassu pecari*). Placenta difusa, adecidua y epiteliocorial. Se han abierto los dos sacos coriónicos y una de las membranas amnióticas. 1. Membranas corionalantoideas; 2. Amnios.

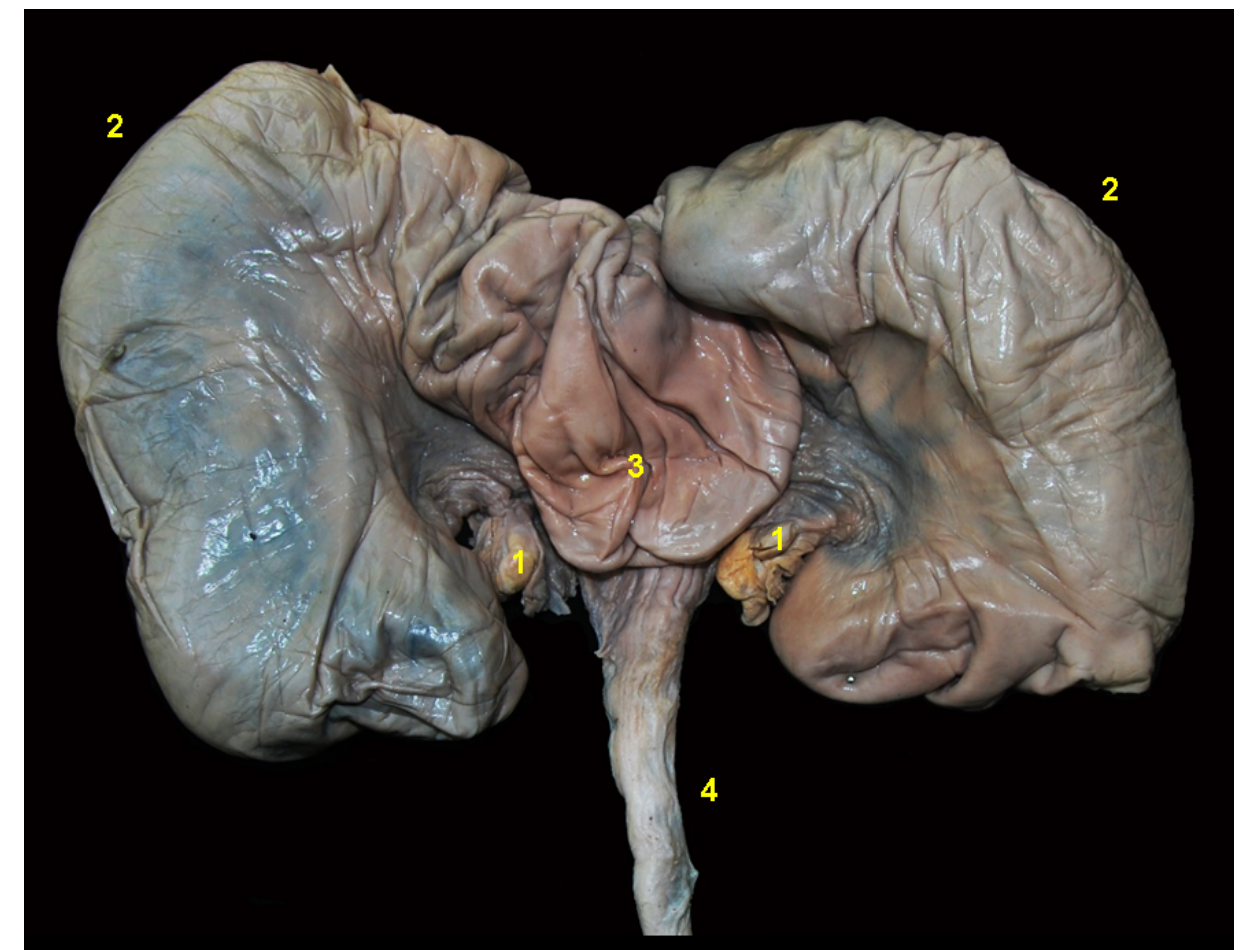


Figura 6.131 - Visión dorsal de los órganos genitales de una hembra de pécari labiado (*Tayassu pecari*) en periodo gestacional avanzado y próximo al parto. 1. Ovarios; 2. Cuernos uterinos; 3. Cuerpo uterino; 4. Cuello uterino.

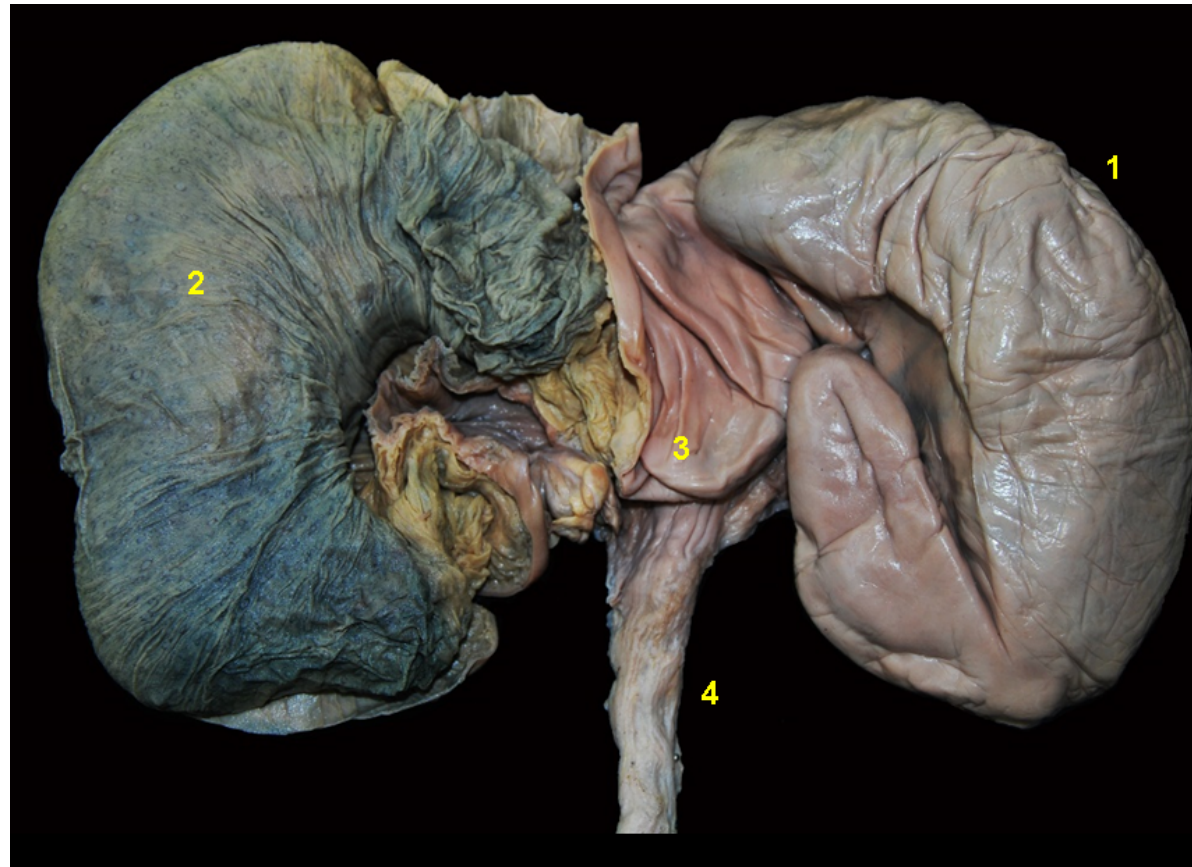


Figura 6.132 - Visión dorsal de los órganos genitales de una hembra de pécari labiado (*Tayassu pecari*) en periodo gestacional avanzado y próximo al parto. Se ha abierto un cuerno uterino para observar las membranas placentarias. 1. Cuerno uterino; 2. Saco coriónico; 3. Cuerpo uterino; 4. Cuello uterino.

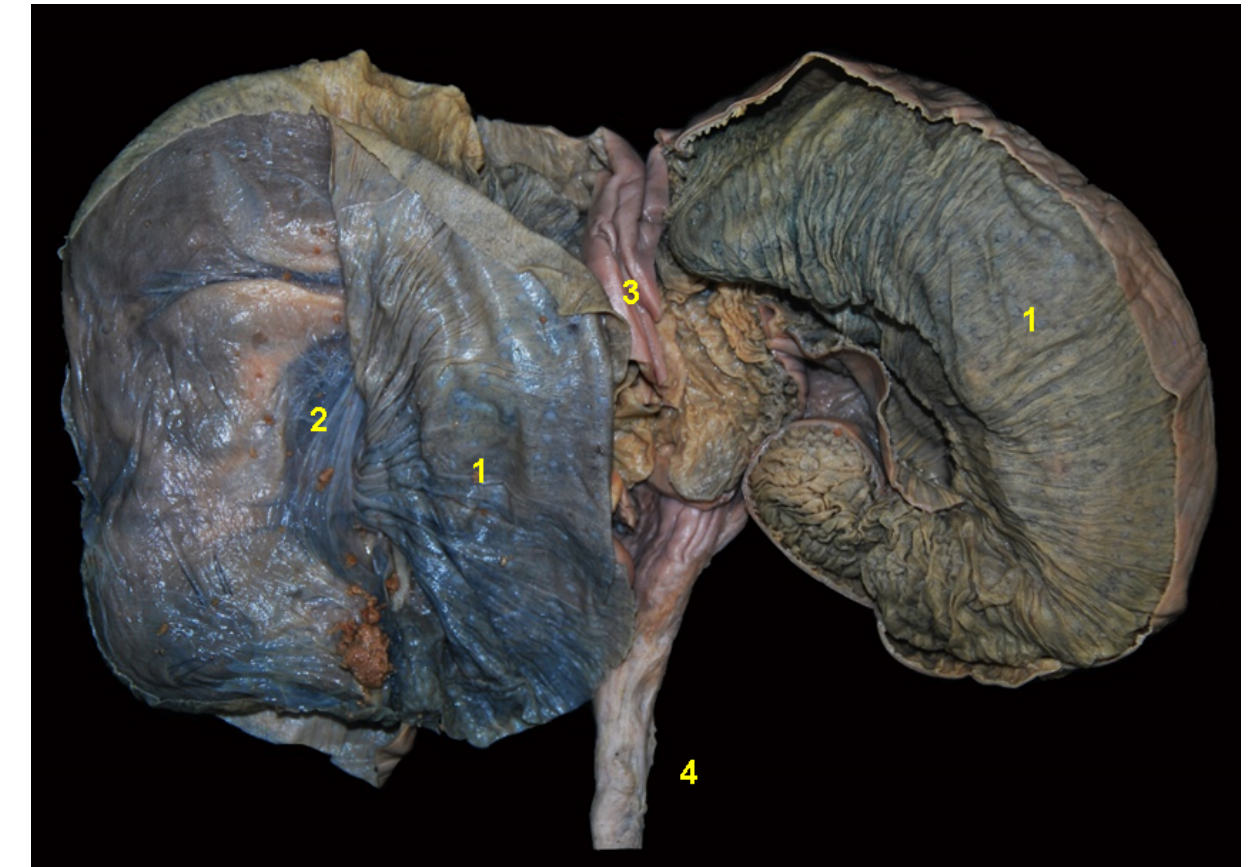


Figura 6.133 - Visión dorsal de los órganos genitales de una hembra de pécari labiado (*Tayassu pecari*) en periodo gestacional avanzado y próximo al parto. Placenta difusa, adecidua y epiteliocorial. Se han abierto los dos cuernos uterinos y uno de los sacos coriónicos. 1. Sacos coriónicos; 2. Amnios; 3. Velo uterino; 4. Cuello uterino.



Figura 6.134 - Visión dorsal de los órganos genitales de una hembra de pécari labiado (*Tayassu pecari*) en periodo gestacional avanzado y próximo al parto. Placenta difusa, adecidua y epiteliochorial. Se han abierto los dos cuernos uterinos, los sacos coriónicos y las membranas amnióticas de ambos fetos. 1. Membranas corioalantoideas; 2. Amnios; 3. Cuello uterino.



Figura 6.136 - Membranas fetales y feto en edad gestacional avanzada y próximos al parto de pécari labiado (*Tayassu pecari*). Se observan los fetos y las membranas fetales separadas.



Figura 6.137 - Fetos de pécari labiado (*Tayassu pecari*) en diferente estado del desarrollo, desde etapas embrionarias hasta fetos próximos al parto.



VENADO GRIS

(*Mazama nemorivaga*)



Figura 6.138 - Visión dorsal los órganos genitales femeninos de venado gris (*Mazama nemorivaga*). 1. Ovarios; 2. Trompas uterinas; 3. Cuernos uterinos; 4. Cuerpo uterino; 5. Cuello uterino; 6. Ligamento ancho; 7. Vejiga urinaria; 8. Vagina; 9. Vulva.

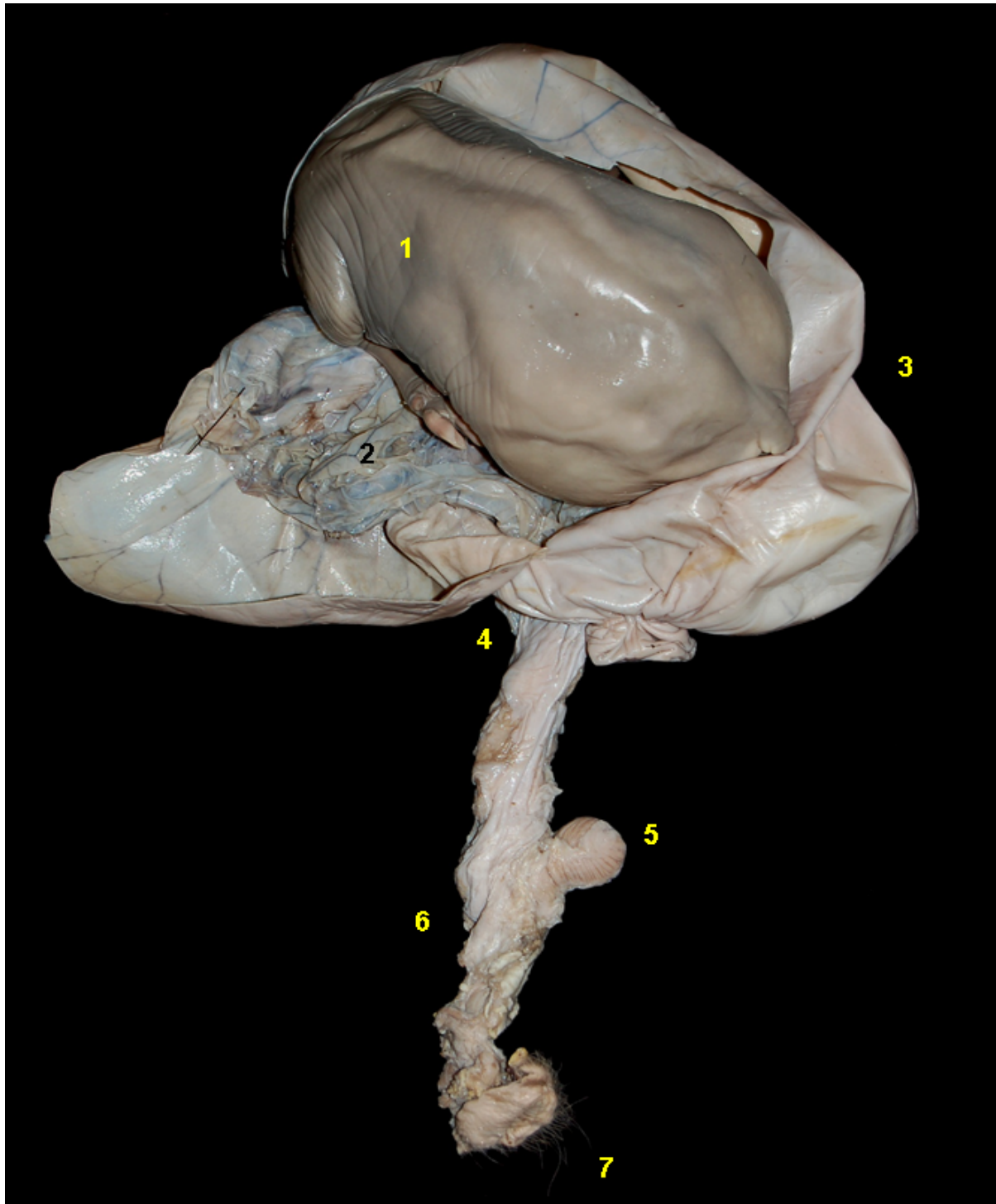


Figura 6.139 - Visión dorsal de los órganos genitales de una hembra de venado gris (*Mazama nemorivaga*) en periodo gestacional avanzado. Se han abierto el cuerno uterino gestante y las membranas fetales. Placenta cotiledonaria, parcialmente decidua y sindesmocorial. 1. Feto; 2. Saco coriónico; 3. Cuerpo uterino gestante; 4. Cuello uterino; 5. Vejiga urinaria; 6. Vagina; 7. Vulva.



VENADO ROJO (*Mazama americana*)

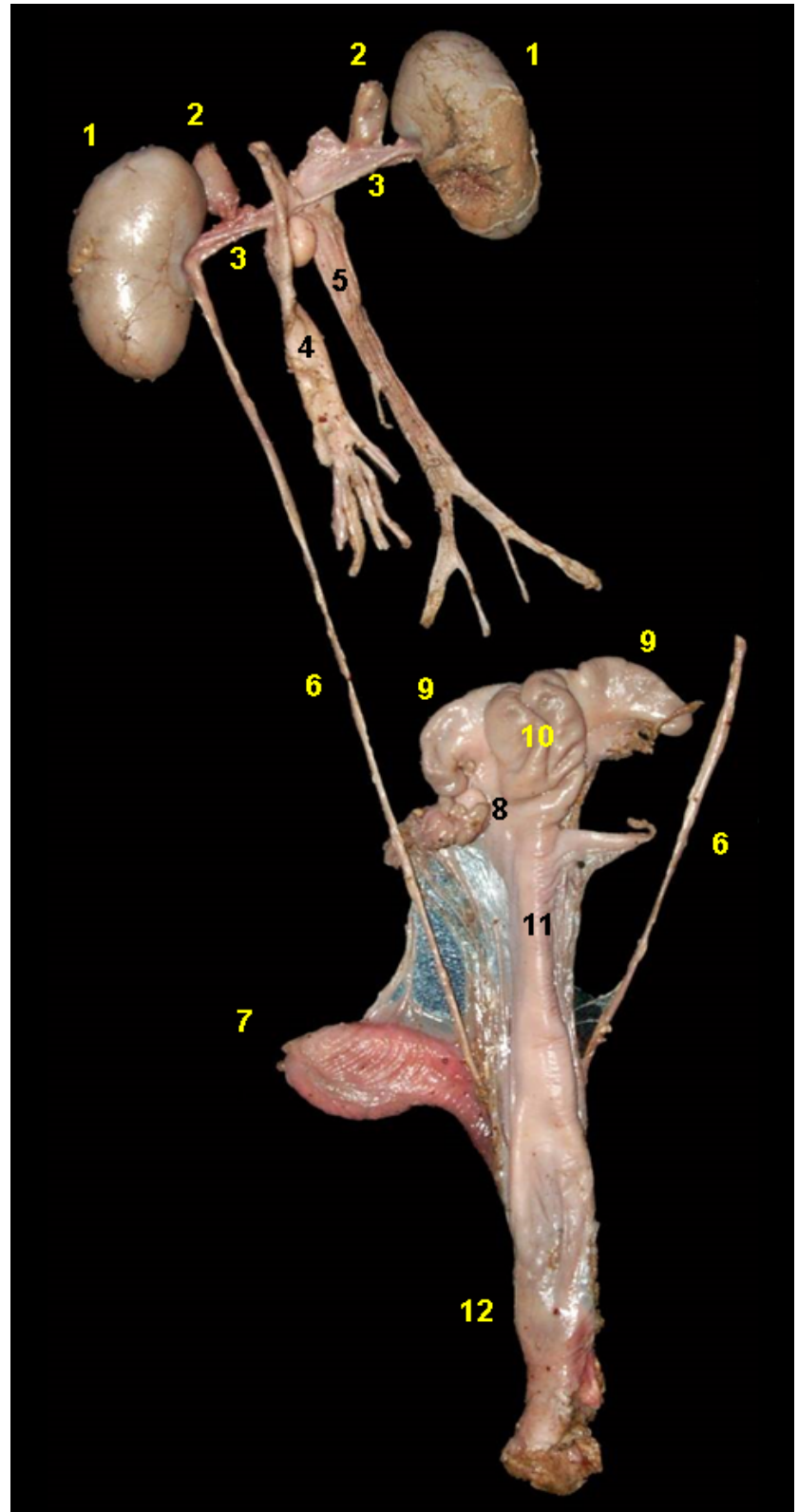


Figura 6.140 - Visión dorsal de los órganos genitales femeninos de venado rojo (*Mazama americana*). 1. Riñones; 2. Glándulas adrenales; 3. Arteria y vena renal; 4. Aorta abdominal; 5. Vena cava caudal; 6. Uréteres; 7. Vejiga urinaria; 8. Ovario; 9. Cuernos uterinos; 10. Cuerpo uterino; 11. Cuello uterino; 12. Vagina.

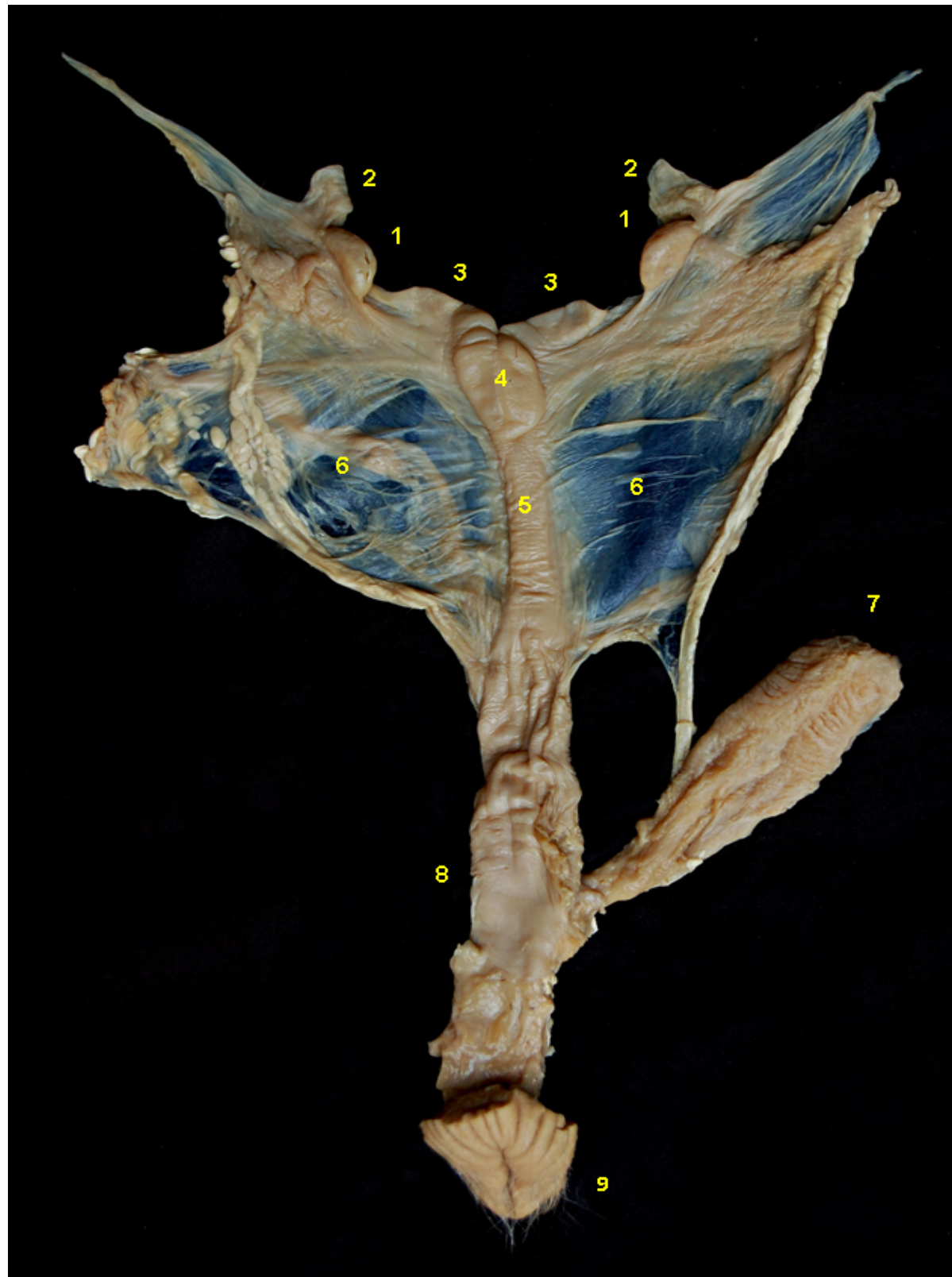


Figura 6.141 - Visión dorsal de los órganos genitales de una hembra no gestante de venado rojo (*Mazama americana*). Ovarios; 2. Trompas uterinas; 3. Cuernos uterinos; 4. Cuerpo uterino; 5. Cuello uterino; 6. Ligamento ancho; 7. Vejiga urinaria; 8. Vagina; 9. Vulva.



Figura 6.142 - Ovario de una hembra de venado rojo (*Mazama americana*). 1. Cuerpo lúteo seccionado.

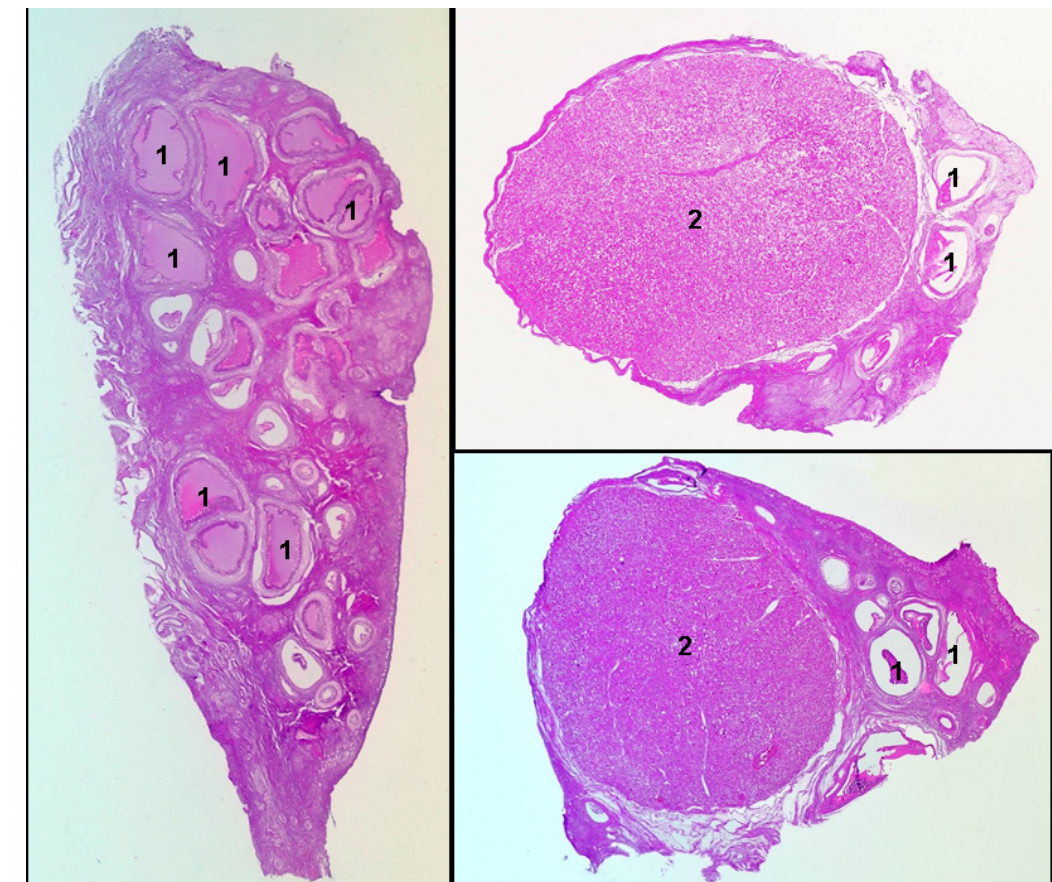


Figura 6.143 - Secciones histológicas de ovarios de varias hembras de venado rojo (*Mazama americana*). 1. Folículos ováricos (se marcan los folículos mayores); 2. Cuerpos lúteos.

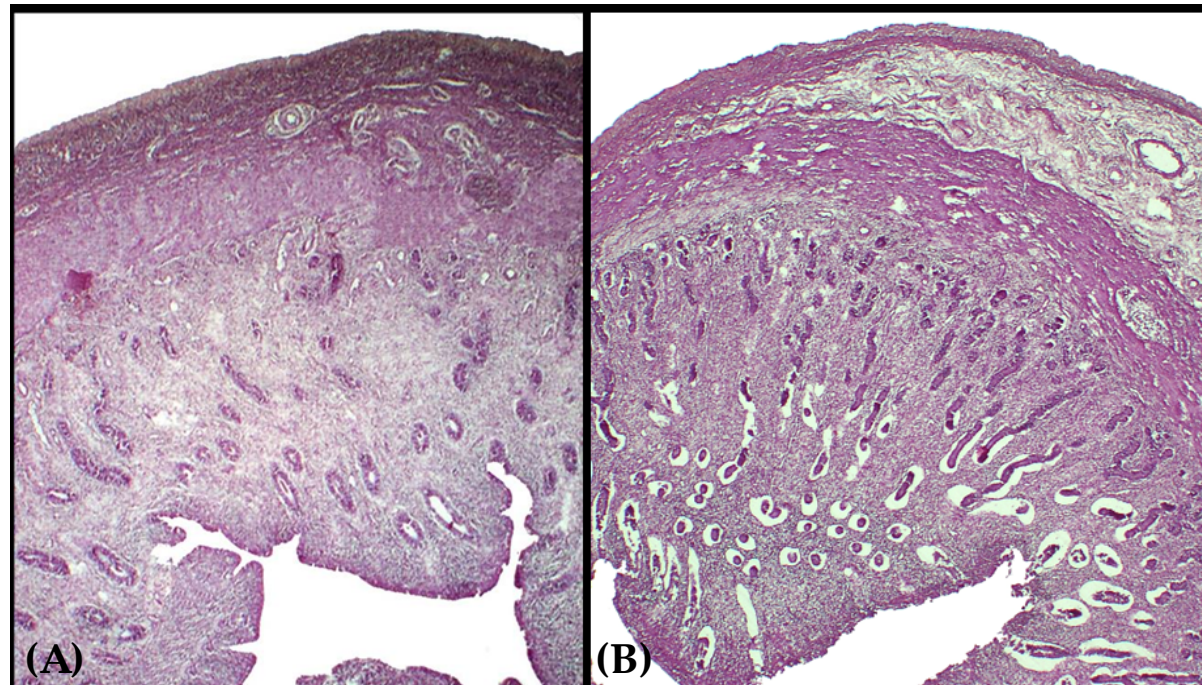


Figura 6.144 - Secciones histológicas de cuernos uterinos de hembras de venado rojo (*Mazama americana*) en fase folicular (A) y en fase luteal (B) del ciclo estral. En la fase folicular se observa un mayor desarrollo del endometrio y de las glándulas endometriales.

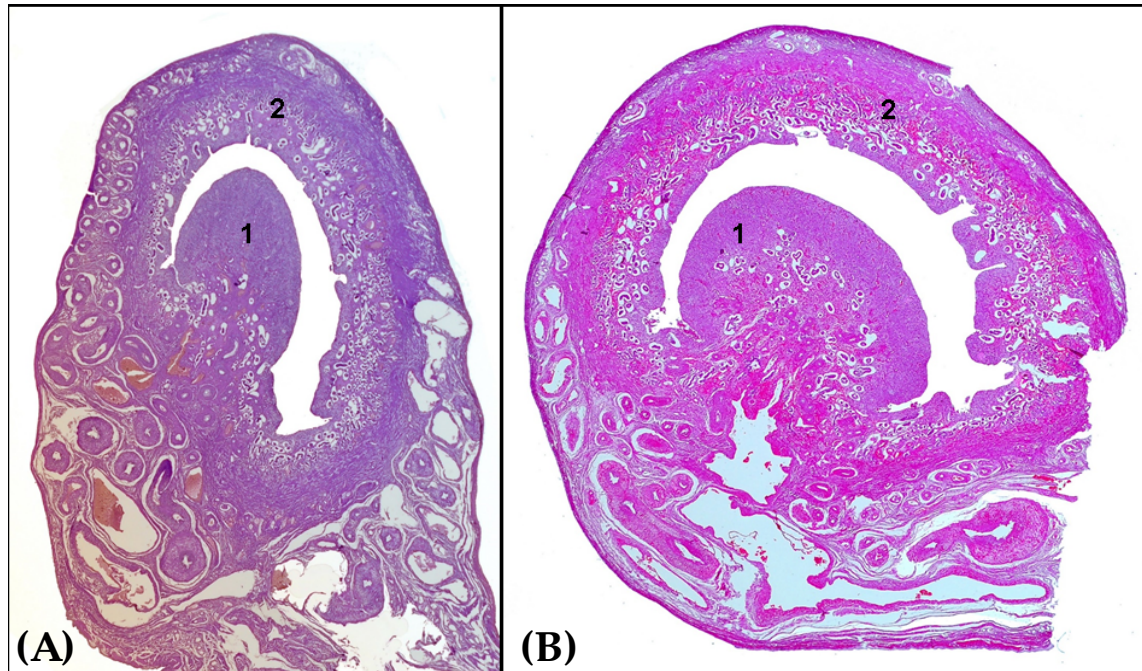


Figura 6.145 - Secciones histológicas de carúnculas de los cuernos uterinos de venado rojo (*Mazama americana*). Se observa la baja densidad de glándulas endometriales en las carúnculas en comparación con el endometrio. 1. Carúnculas uterinas; 2. Endometrio.



Figura 6.146 - Visión interna del cuello uterino de venado rojo (*Mazama americana*). 1. Canal cervical; 2. Pliegues circulares o *plicae circulares*; 3. Orificio uterino interno; 4. Orificio uterino externo; 5. Cavidad uterina; 6. Vagina.

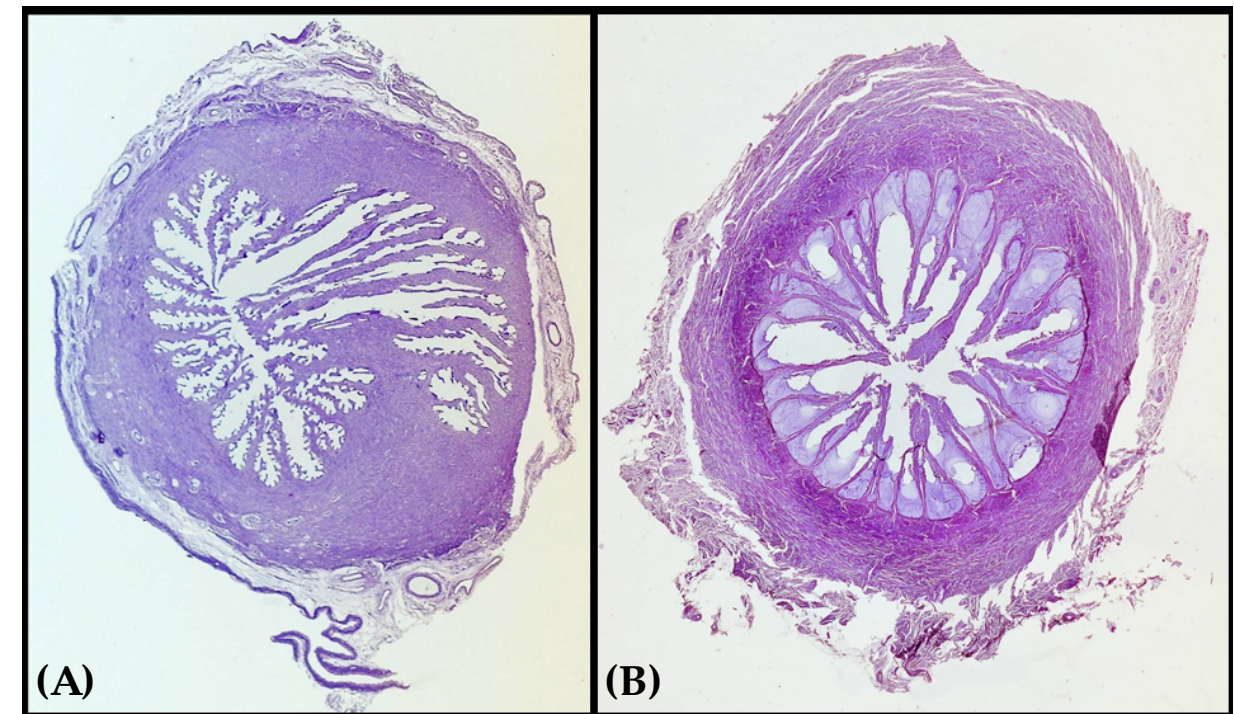


Figura 6.147 - Secciones histológicas del cuello uterino de hembras de venado rojo (*Mazama americana*) en fase folicular (A) y en fase luteal (B) del ciclo estral. En la fase luteal se observa una mayor secreción cervical.

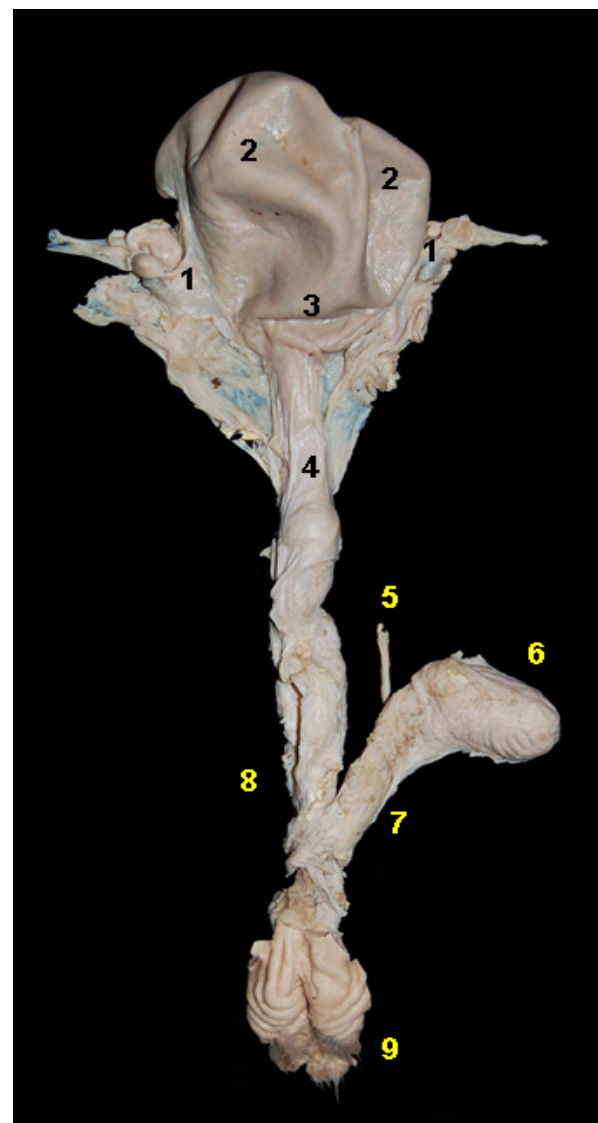


Figura 6.148 - Visión dorsal de los órganos genitales de una hembra de venado rojo (*Mazama americana*) en periodo gestacional temprano. 1. Ovarios; 2. Cuernos uterinos; 3. Cuerpo uterino; 4. Cuello uterino; 5. Uréter; 6. Vejiga urinaria; 7. Uretra; 8. Vagina; 9. Vulva.

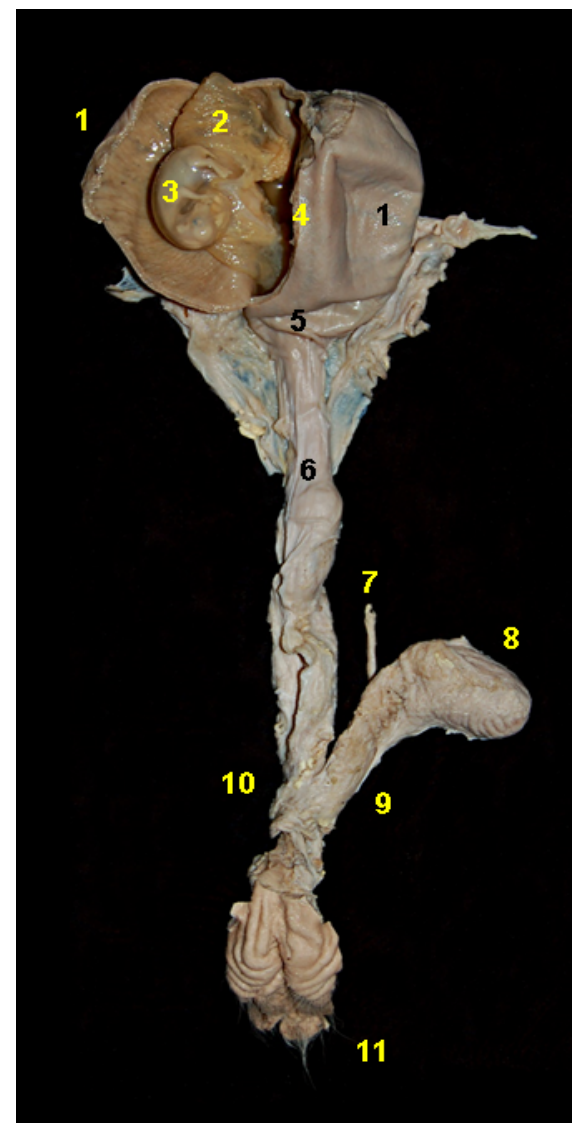


Figura 6.149 - Visión dorsal de los órganos genitales de una hembra de venado rojo (*Mazama americana*) en periodo gestacional temprano. 1. Cuernos uterinos; 2. Saco coriónico; 3. Feto; 4. Velo uterino; 5. Cuerpo uterino; 6. Cuello uterino; 7. Uréter; 8. Vejiga urinaria; 9. Uretra; 10. Vagina; 11. Vulva.

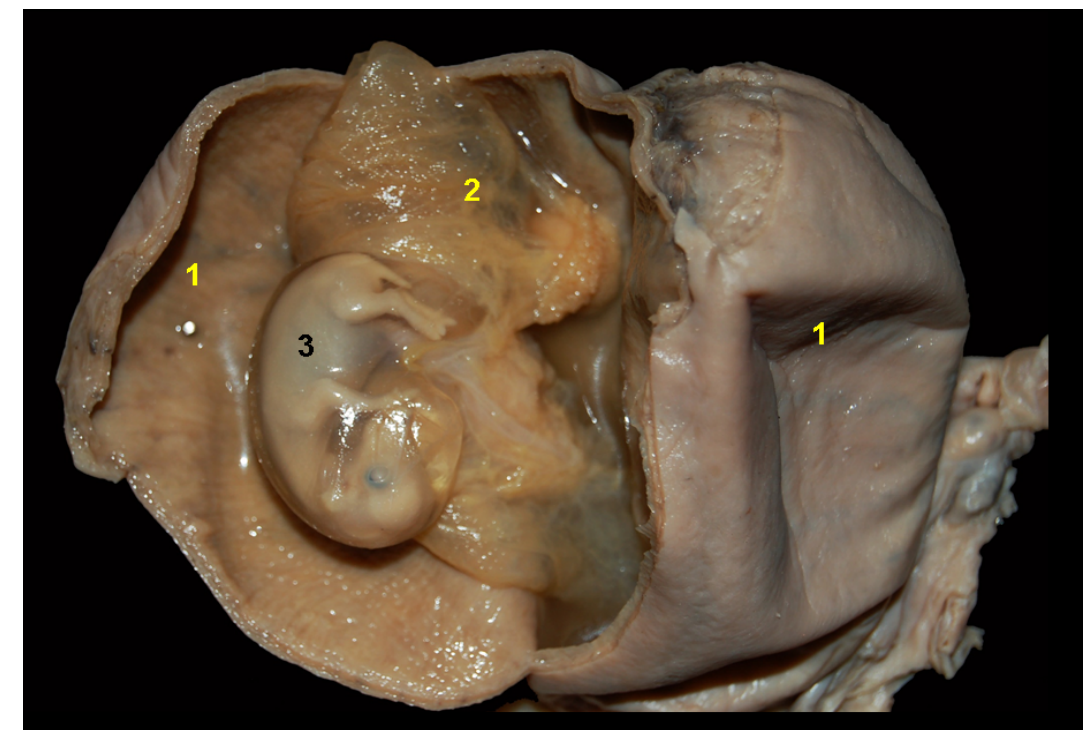


Figura 6.150 - Visión dorsal de los órganos genitales de una hembra de venado rojo (*Mazama americana*) en periodo gestacional temprano. Se ha abierto el cuerno uterino gestante para visualizar el saco coriónico. Placenta cotiledonaria, parcialmente decidua y sindesmocorial. 1. Cuernos uterinos. 2. Saco coriónico; 3. Feto.

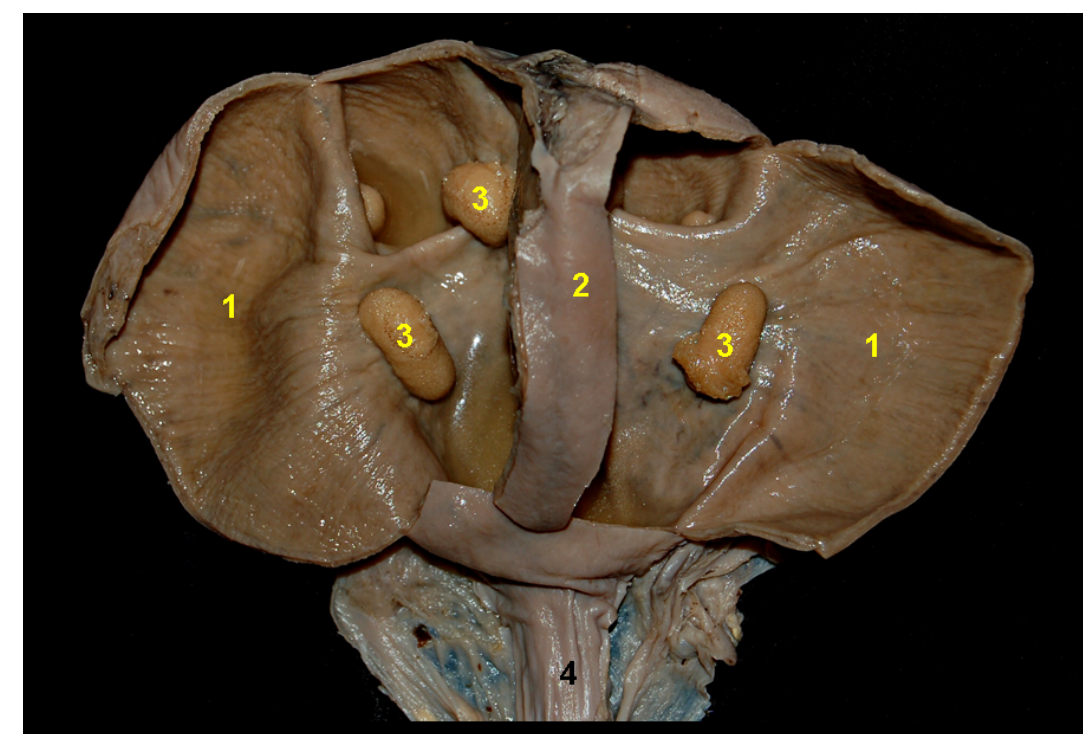


Figura 6.151 - Visión dorsal de los órganos genitales de una hembra de venado rojo (*Mazama americana*) en periodo gestacional temprano. Se ha abierto el cuerno uterino gestante y se ha retirado el saco coriónico. Placenta cotiledonaria, parcialmente decidua y sindesmocorial. 1. Cuernos uterinos. 2. Velo uterino; 3. Carúnculas uterinas; 4. Cuello uterino.

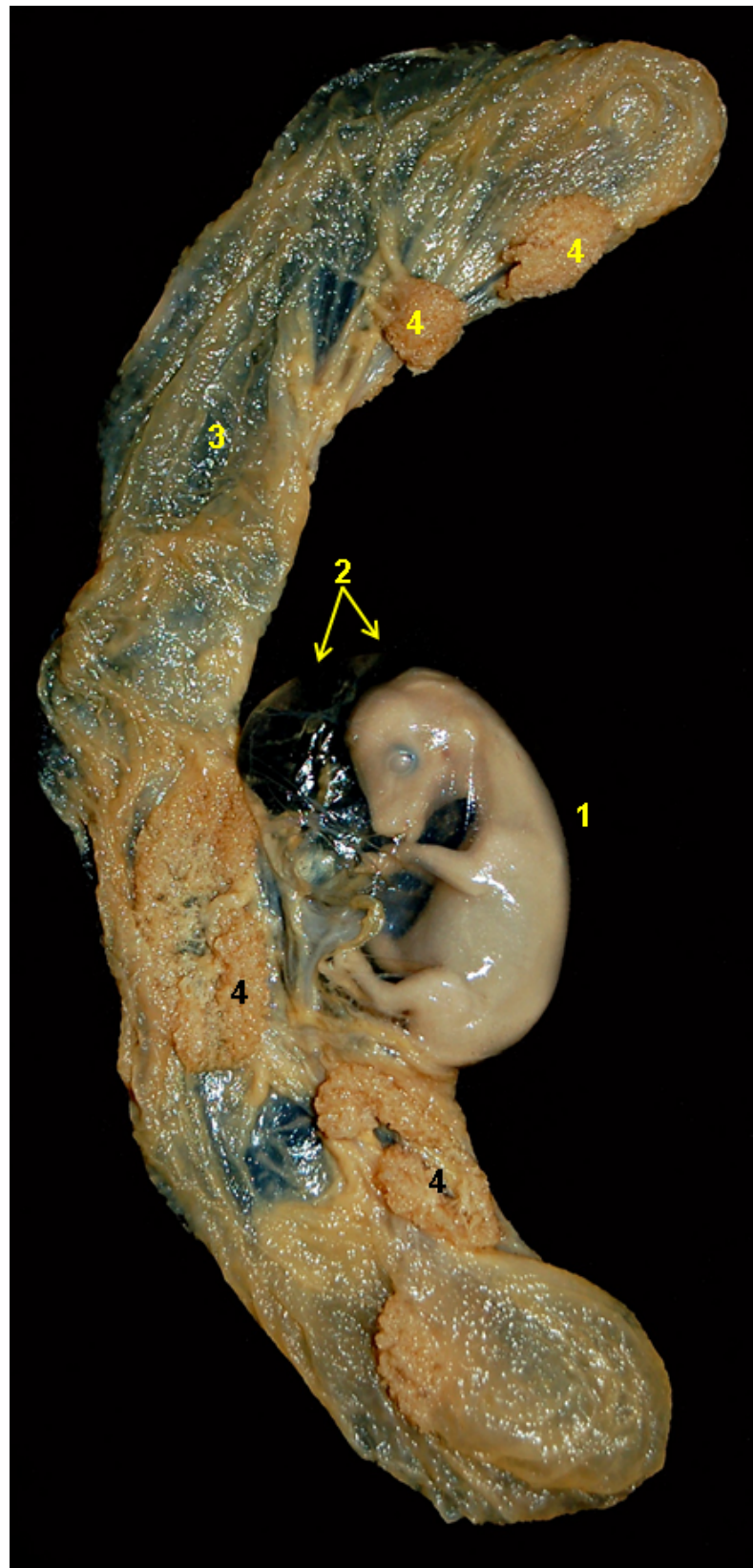


Figura 6.152 - Membranas fetales y feto de venado rojo (*Mazama americana*). Placenta cotiledonaria, parcialmente decidua y sindesmocorial. 1. Feto; 2. Saco amniótico; 3. Saco coriónico; 4. Cotiledones.

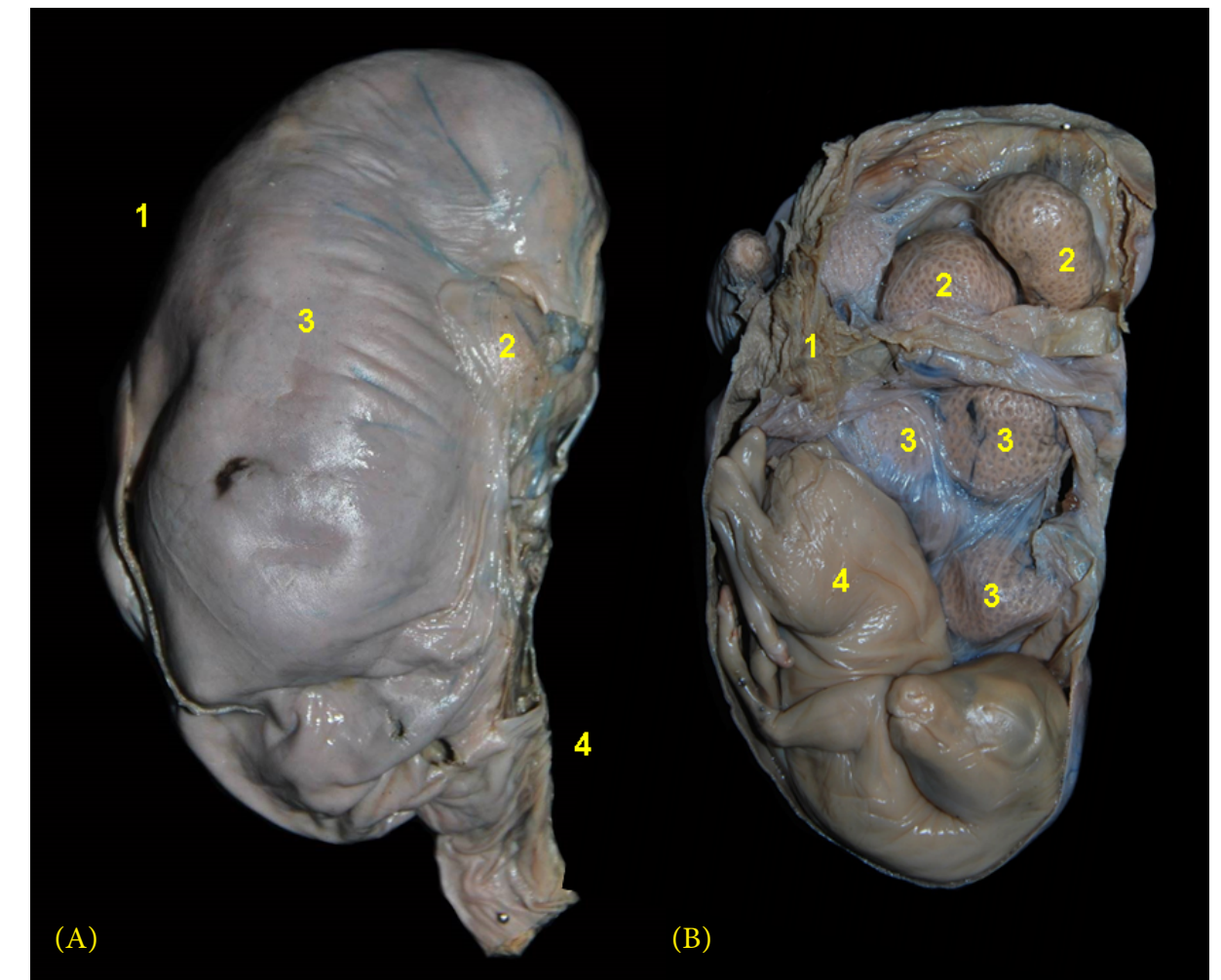


Figura 6.153 - Visión dorsal de los órganos genitales de una hembra de venado rojo (*Mazama americana*) en periodo gestacional intermedio. **A** - Se observa el gran aumento de tamaño del cuerno uterino en el que se desarrolla la gestación. 1. Cuerno uterino; 2. Placentoma dentro del útero; 3. Feto dentro del útero; 4. Cuello uterino. **B** - Se ha abierto el cuerno uterino gestante para observar las membranas placentarias. Placenta cotiledonaria, parcialmente decidua y sindesmocorial. 1. Saco coriónico; 2. Carúnculas uterinas; 3. Unión de carúnculas uterinas y cotiledones fetales formando placentomas; 4. Feto.



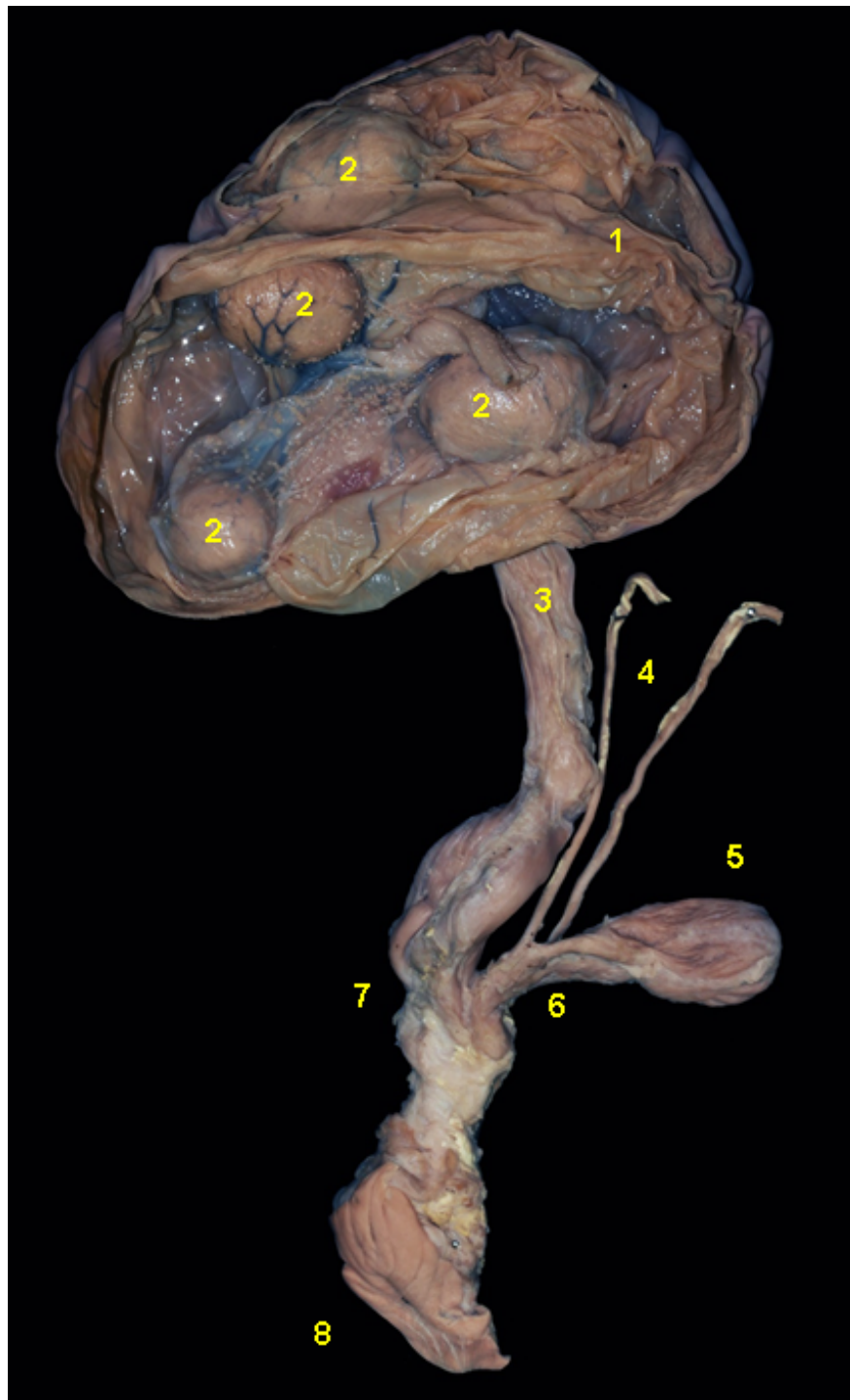


Figura 6.154 - Visión dorsal de los órganos genitales de una hembra de venado rojo (*Mazama americana*) en periodo gestacional intermedio. Se ha abierto el cuerno uterino gestante y el cuerpo uterino y se ha retirado el feto. Placenta cotiledonaria, parcialmente decidua y sindesmocorial. 1. Saco coriónico; 2. Unión de carúnculas uterinas y cotiledones fetales formando placentomas; 3. Cuello uterino; 4. Uréteres; 5. Vejiga urinaria; 6. Uretra; 7. Vagina; 8. Vulva.

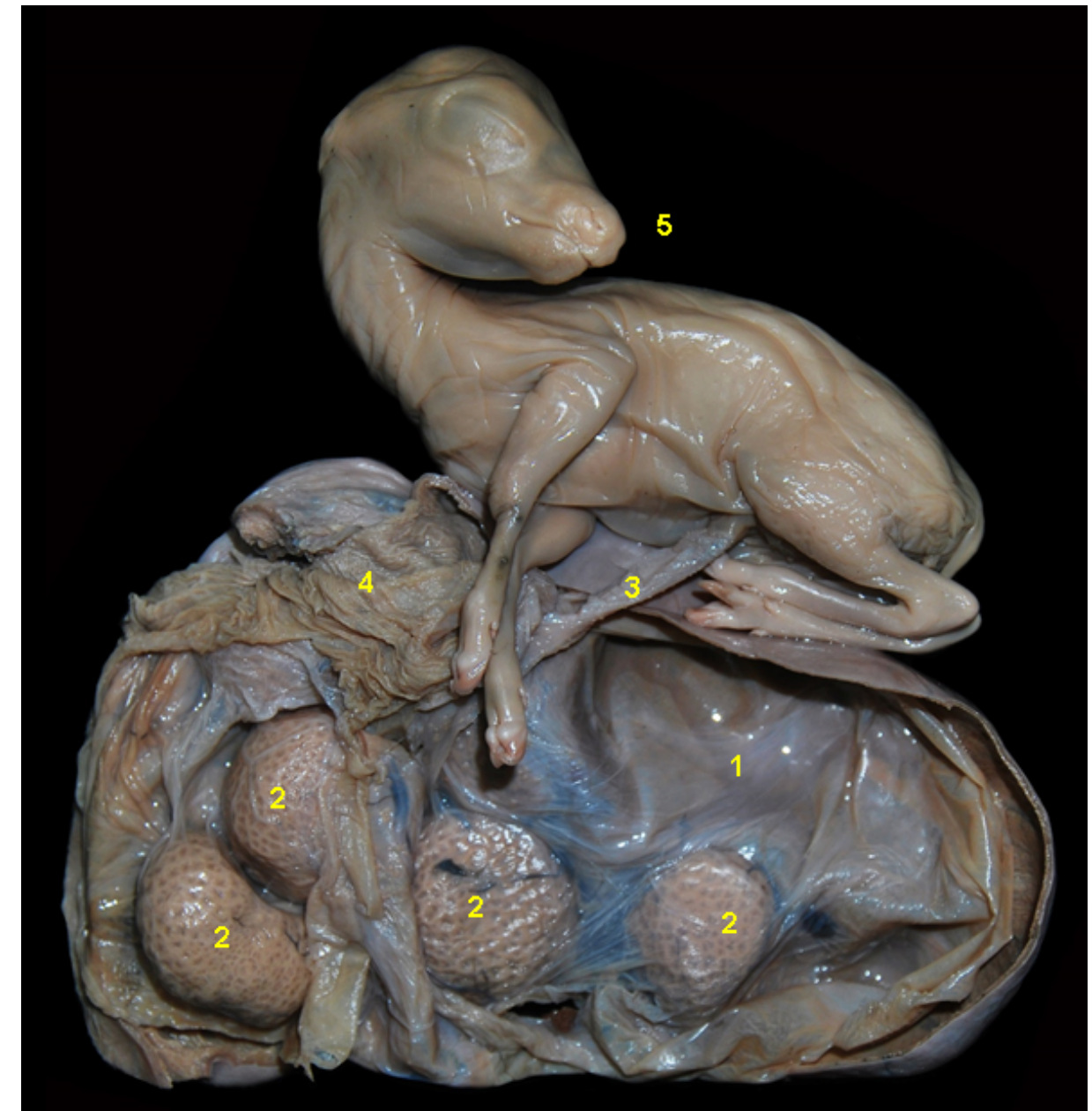


Figura 6.155 - Membranas fetales y feto en edad gestacional intermedia de venado rojo (*Mazama americana*). Se han abierto el saco coriónico y el amnios. Placenta cotilodenaria, parcialmente decidua y sindesmocorial. 1. Saco coriónico; 2. Unión de carúnculas uterinas y cotiledones fetales formando placentomas; 3. Cordón umbilical; 4. Amnios; 5. Feto.

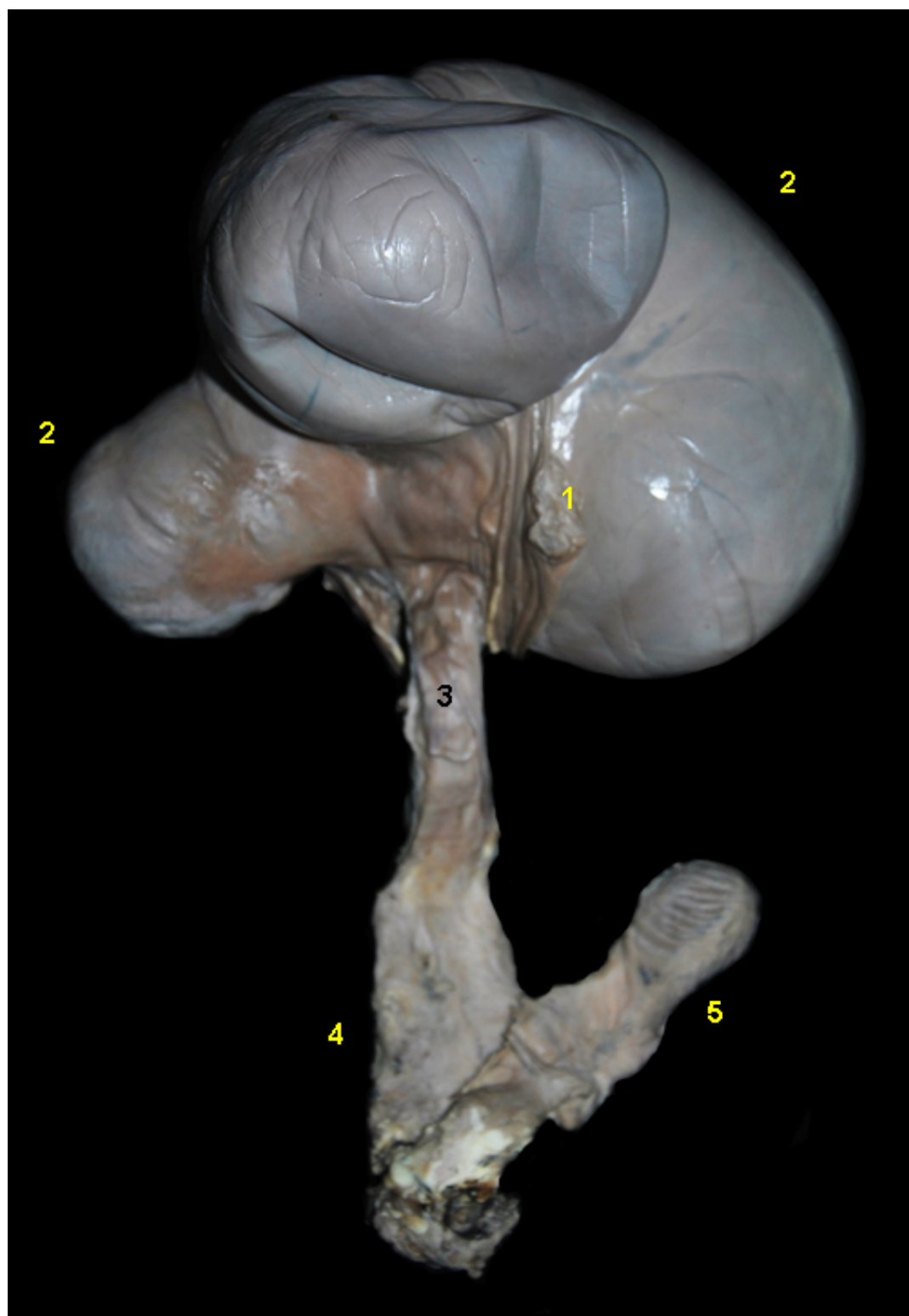


Figura 6.156 - Visión ventral de los órganos genitales de una hembra de venado rojo (*Mazama americana*) en periodo gestacional avanzado. 1. Ovarios; 2. Cuernos uterinos. 3. Cuello uterino; 4. Vagina. 5. Vejiga urinaria.

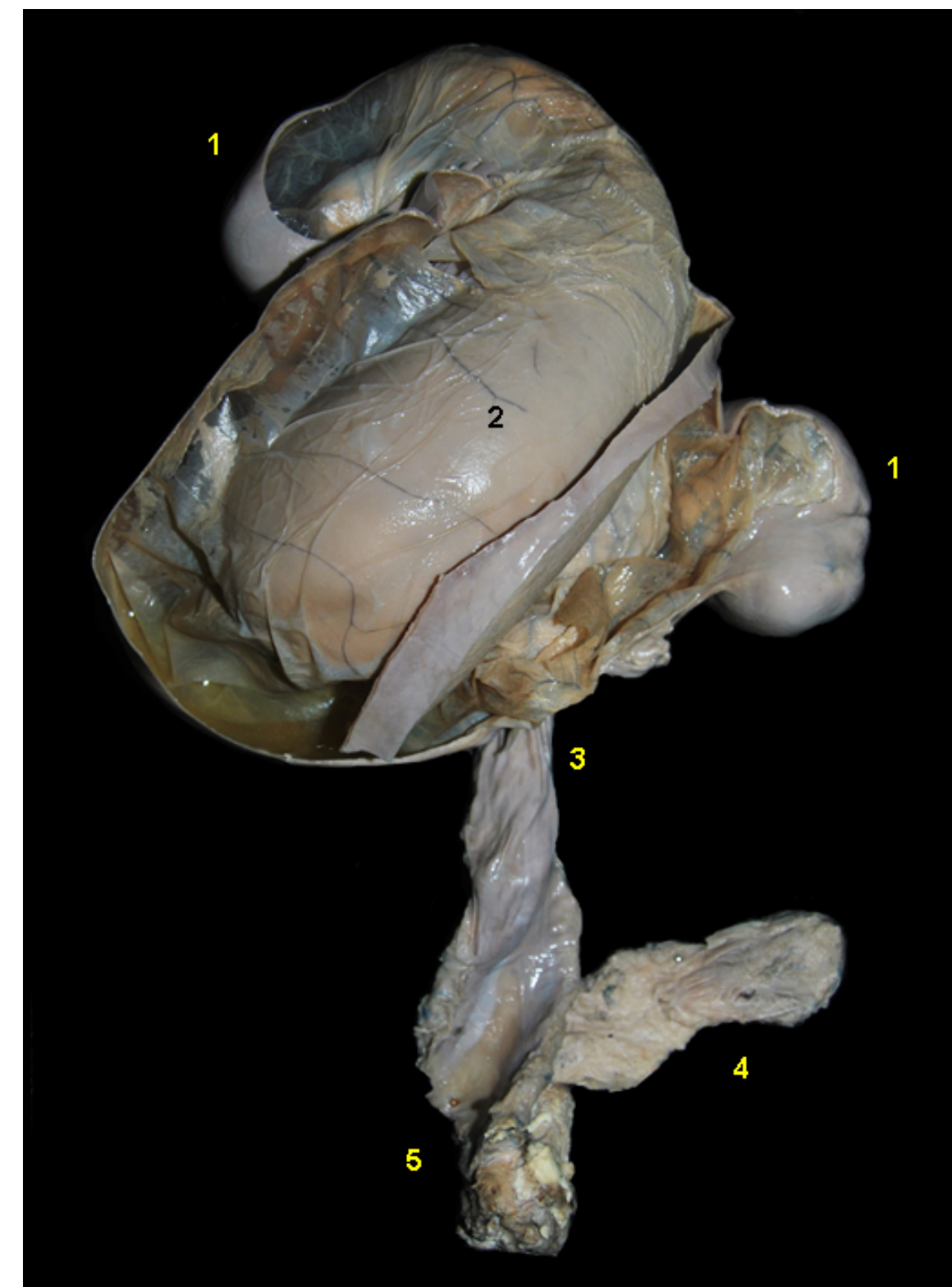


Figura 6.157 - Visión ventral de los órganos genitales de una hembra de venado rojo (*Mazama americana*) en periodo gestacional avanzado. 1. Cuernos uterinos; 2. Feto; 3. Cuello uterino; 4. Vejiga urinaria; 5. Vagina.

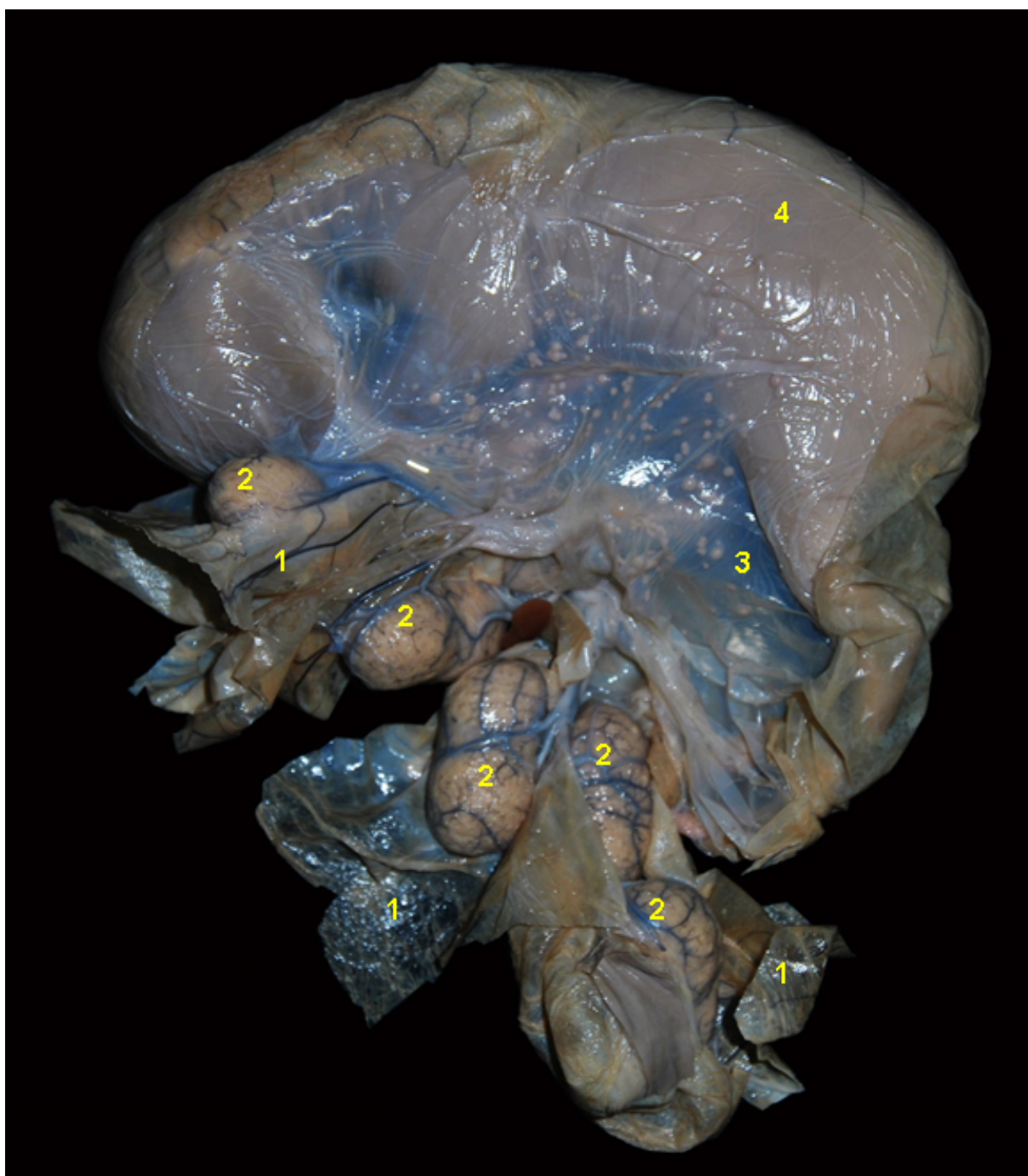


Figura 6.158 - Membranas fetales y feto en edad gestacional avanzada de venado rojo (*Mazama americana*). Placenta cotilodenaria, parcialmente decidua y sindesmocorial. 1. Membrana corioalantoidea; 2. Unión de cotiledones fetales y carúnculas uterinas (éstas últimas se han desprendido del endometrio) formando placentomas; 3. Amnios; 4. Feto.



Figura 6.159 - Membranas fetales y feto en edad gestacional avanzada de venado rojo (*Mazama americana*). Placenta cotilodenaria, parcialmente decidua y sindesmocorial. Se ha abierto la membrana amniótica para visualizar el feto. 1. Membranas corioalantoideas; 2. Unión de cotiledones fetales y carúnculas uterinas (éstas últimas se han desprendido del endometrio) formando placentomas; 3. Amnios; 4. Cordón umbilical; 5. Feto.



Figura 6.160 - Visión dorsal de los órganos genitales de una hembra de venado rojo (*Mazama americana*) en periodo gestacional avanzado. 1. Ovarios; 2. Cuerpo uterino; 3. Cuello uterino; 4. Vejiga urinaria; 5. Vagina; 6. Vulva.



Figura 6.161 - Cueros y cuerpo uterino de venado rojo (*Mazama americana*). Placenta cotilodenaria, parcialmente decidua y sindesmoocorial. Se han abierto el útero y el saco coriónico para visualizar los placentomas. 1. Carúnculas uterinas.



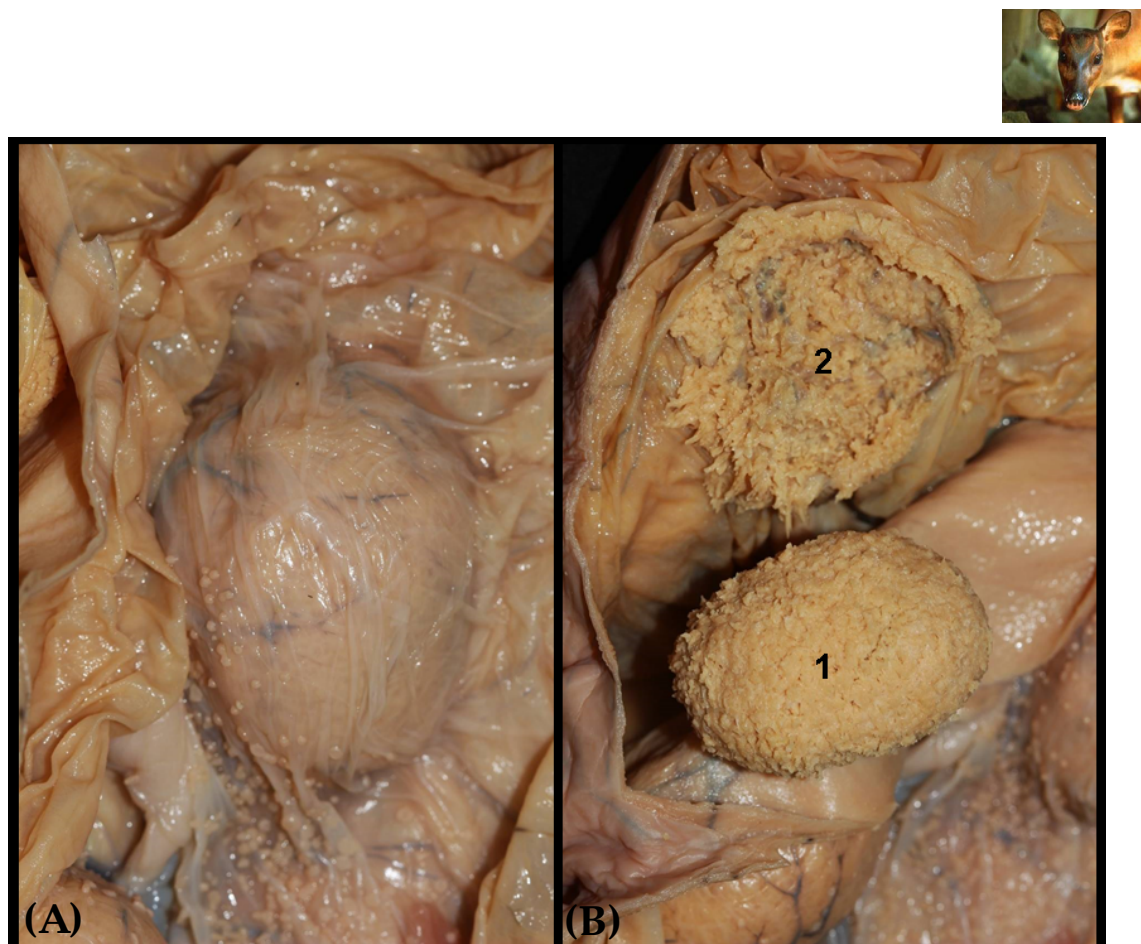


Figura 6.162 - Placentoma de venado rojo (*Mazama americana*). Placenta cotiledenaria, parcialmente decidua y sindesmoocorial. **A** - Unión de cotiledón fetal y carúncula uterina formando el placentoma. **B** - Separación del placentoma en sus dos componentes. 1. Carúncula uterina; 2. Cotiledón fetal.

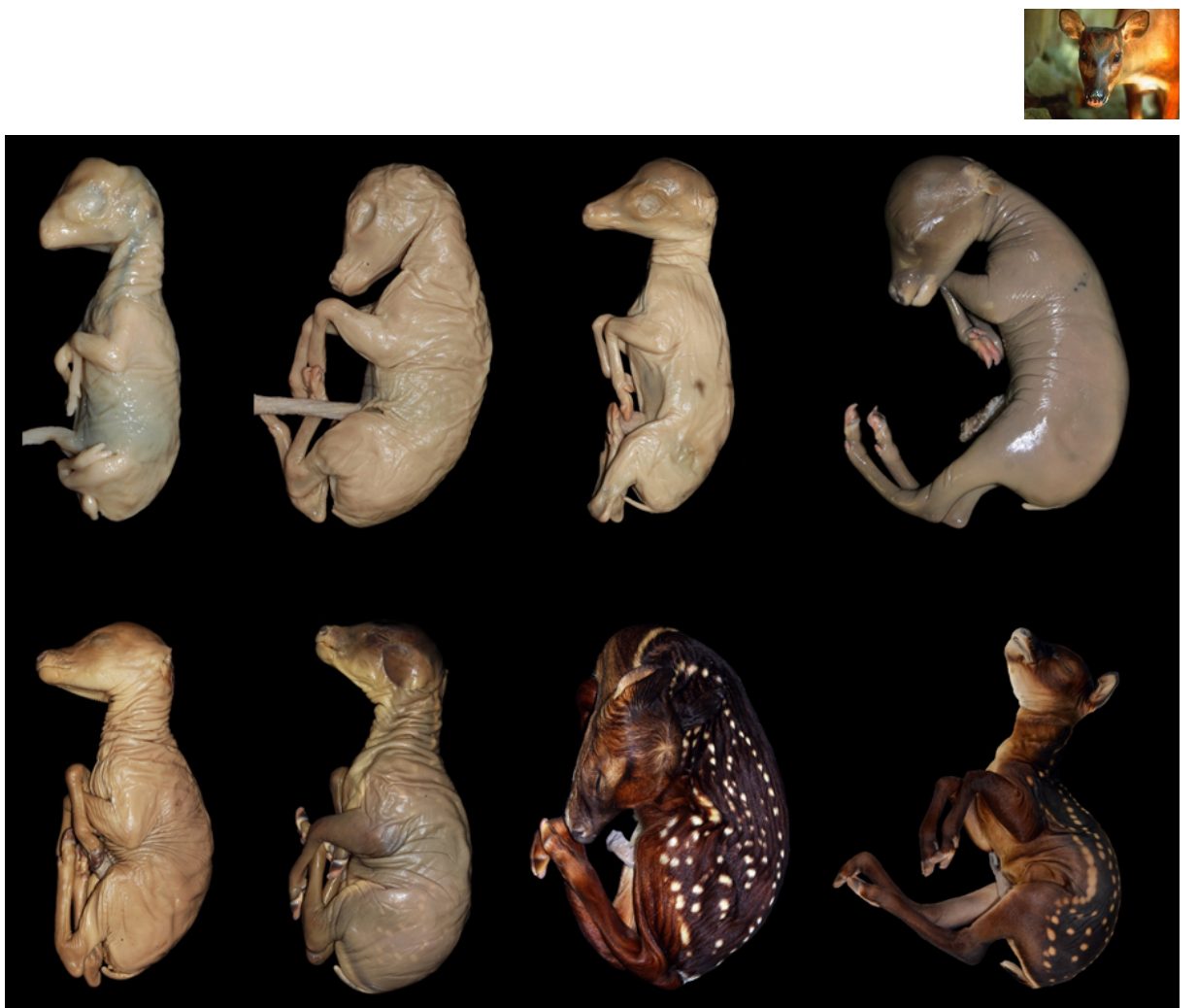


Figura 6.164 - Fetus de venado rojo (*Mazama americana*) en diferente estado del desarrollo, desde etapas embrionarias hasta fetos próximos al parto. Se han igualado el tamaño de los fetos para poder observar las diferencias morfológicas entre etapas de gestación.

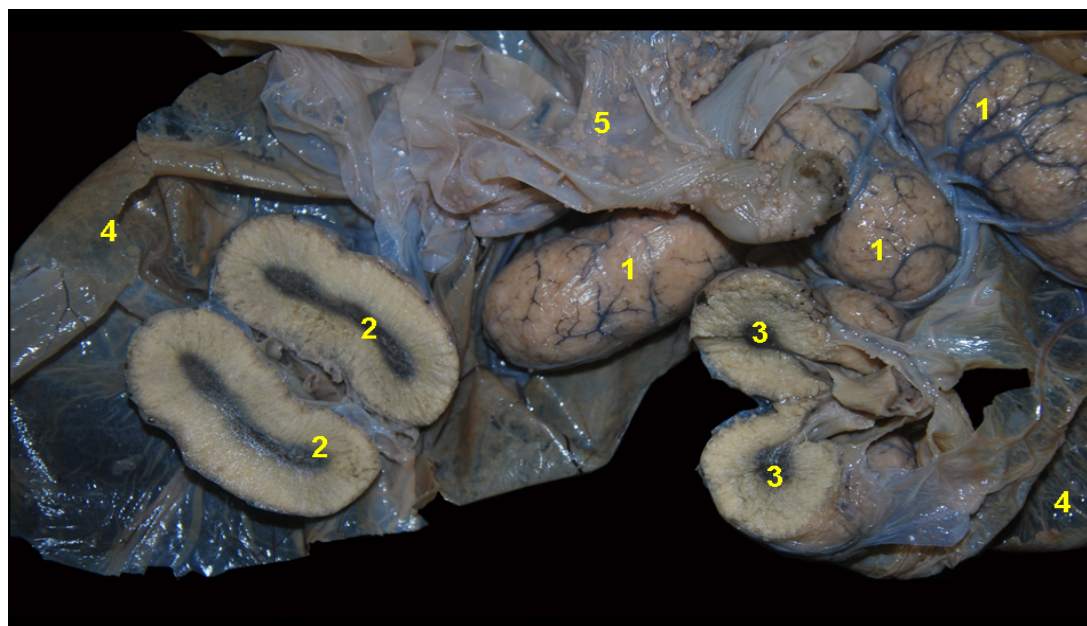


Figura 6.163 - Placentoma de venado rojo (*Mazama americana*). Placenta cotiledenaria, parcialmente decidua y sindesmoocorial. 1. Unión de cotiledones fetales y carúnculas uterinas formando los placentomas. 2. Placentoma seccionado longitudinalmente; 3. Placentoma seccionado transversalmente; 4. Membrana corioalantoidea; 5. Amnios.



TAPIR (*Tapirus terrestris*)



Figura 6.165 - Visión dorsal de los órganos genitales femeninos de tapir (*Tapirus terrestris*). 1. Ovarios; 2. Trompas uterinas; 3. Cuernos uterinos; 4. Cuerpo uterino; 5. Cuello uterino; 6. Uréter; 7. Vejiga urinaria; 8. Vagina; 9. Vulva.

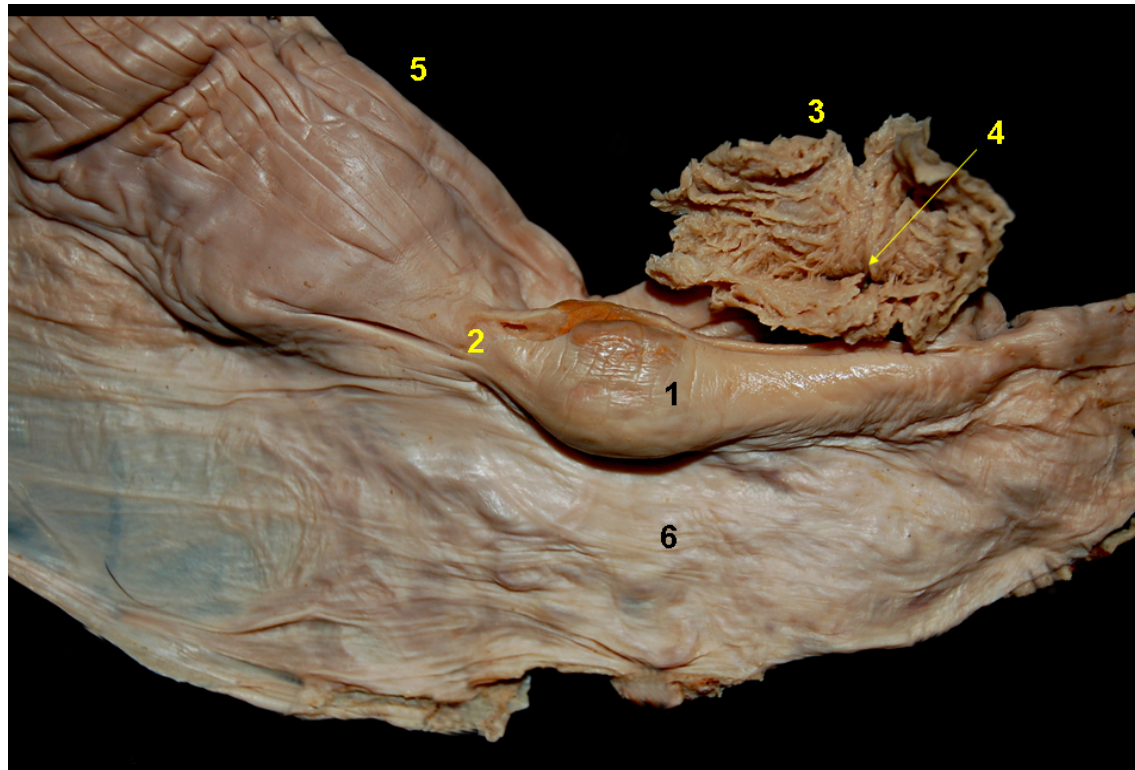


Figura 6.166 - Ovario y trompa uterina de un hembra de tapir (*Tapirus terrestris*). 1. Ovario; 2. Ligamento propio del ovario; 3. Infundíbulo de la trompa uterina; 4. Orificio abdominal de la trompa uterina; 5. Cuerno uterino; 6. Mesovario.

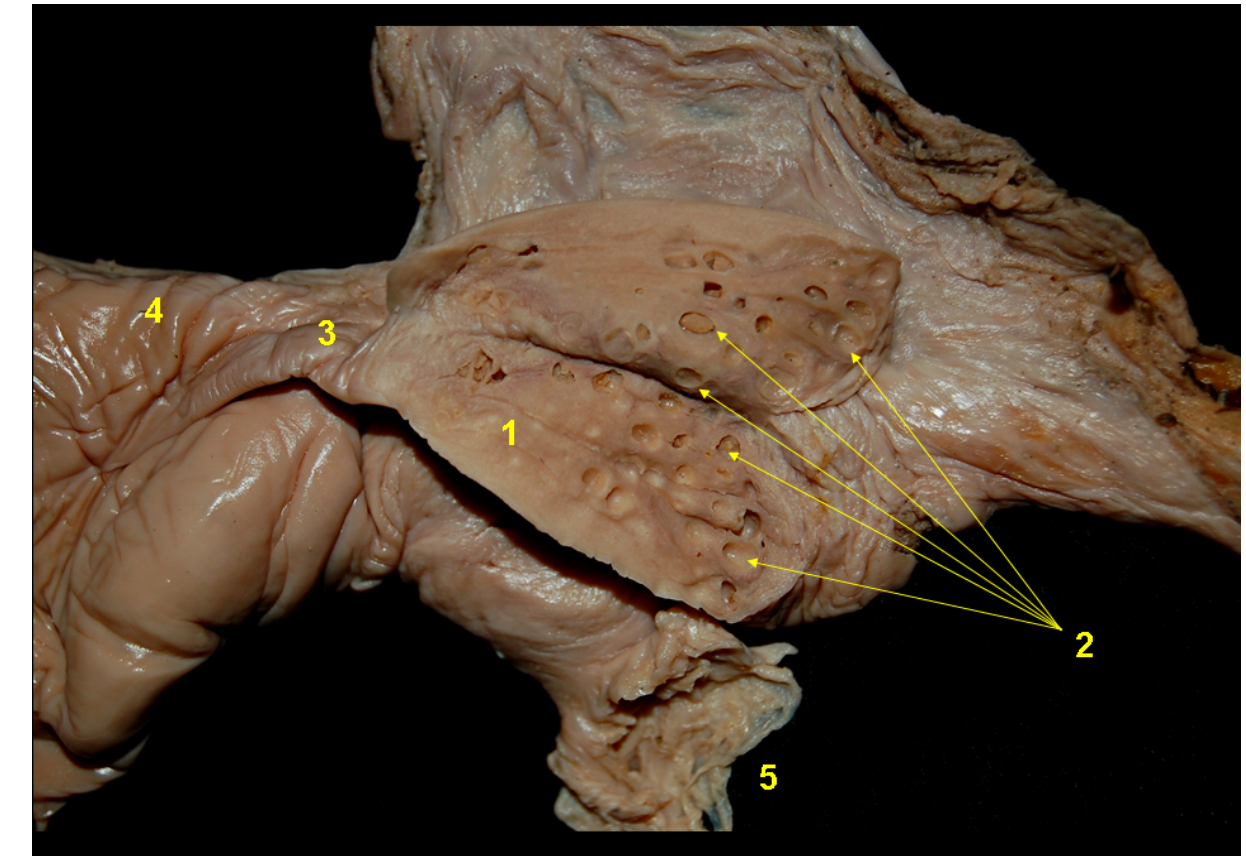


Figura 6.168 - Ovario seccionado de una hembra de tapir (*Tapirus terrestris*) en fase folicular. Se observan múltiples folículos ováricos. 1. Ovario; 2. Folículos ováricos; 3. Infundíbulo de la trompa uterina; 4. Ligamento propio del ovario; 5. Cuero uterino.

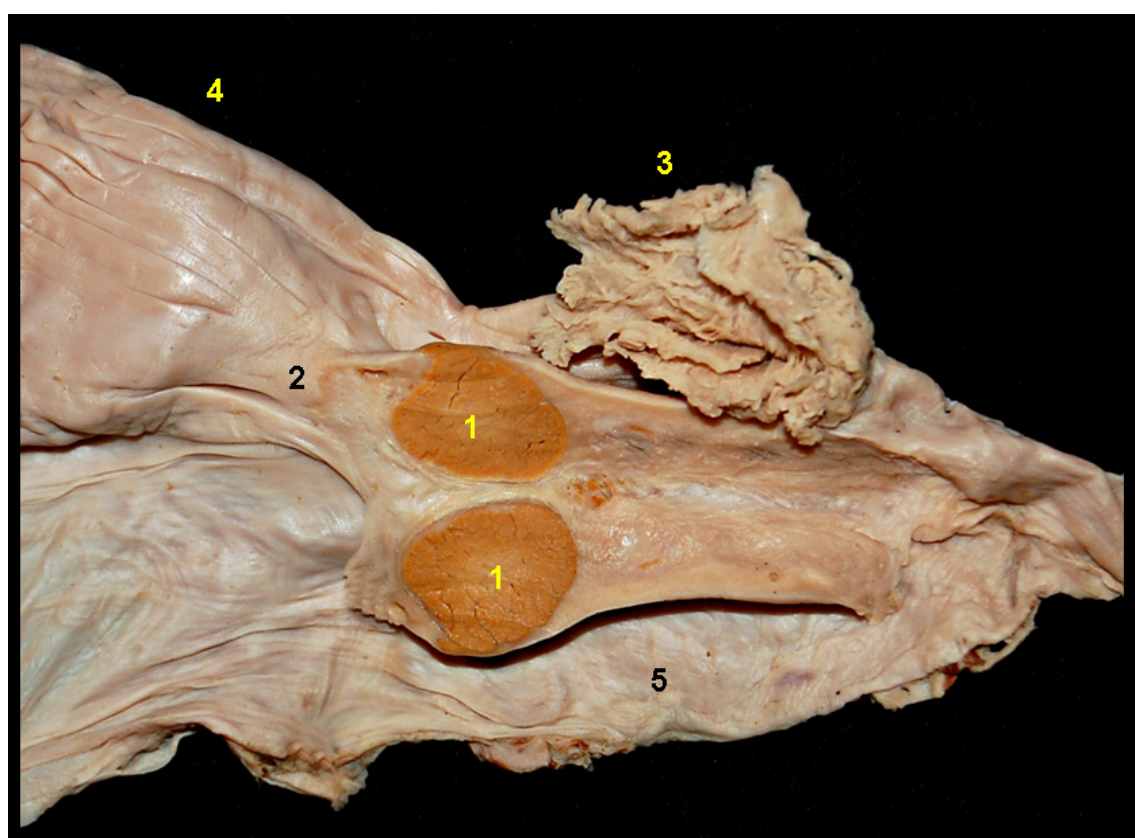


Figura 6.167 - Ovario seccionado de una hembra de tapir (*Tapirus terrestris*) en fase luteal. 1. Cuerpo lúteo; 2. Ligamento propio del ovario; 3. Infundíbulo de la trompa uterina; 4. Cuero uterino; 5. Mesovario.

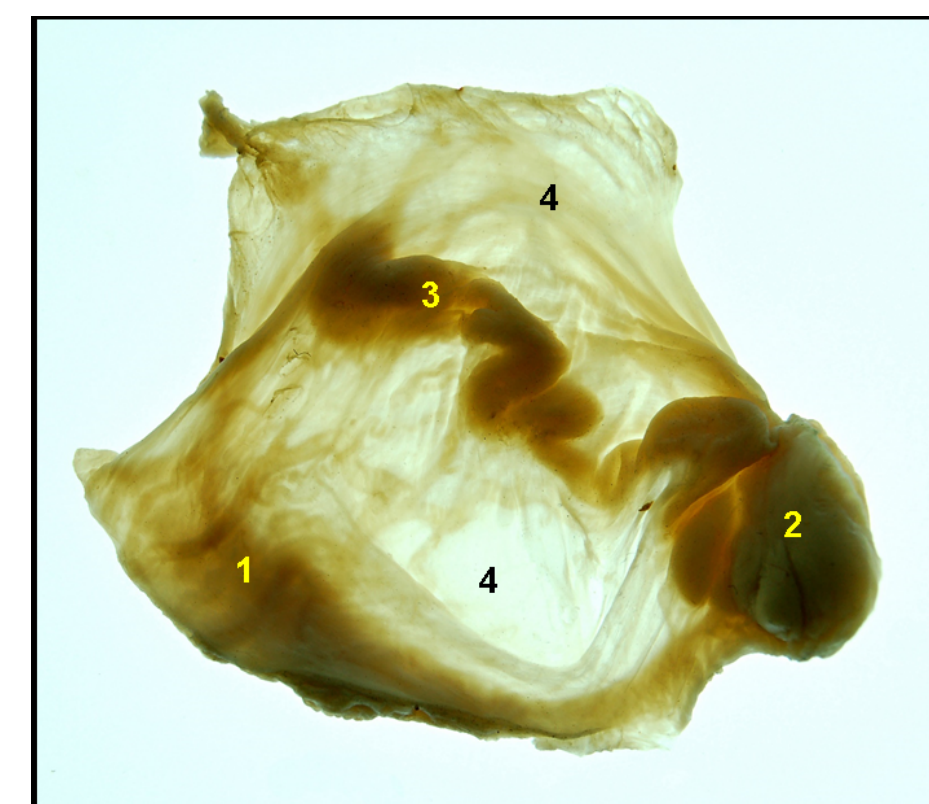


Figura 6.169 - Vista por transparencia de la trompa uterina y la bolsa ovárica de una hembra de tapir (*Tapirus terrestris*). 1. Infundíbulo; 2. Ampolla; 3. Istmo; 4. Mesosalpinx.



Figura 6.170 - Vulva de tapir (*Tapirus terrestris*). 1. Comisura dorsal; 2. Comisura ventral; 3. Hendidura vulvar.



Figura 6.172 - Cuernos y cuerpo uterino de una hembra gestante de tapir (*Tapirus terrestris*).



Figura 6.171 - Saco coriónico de tapir (*Tapirus terrestris*). Placenta difusa, adecidua y epiteliocorial.



Figura 6.173 - Fetos de tapir (*Tapirus terrestris*) en periodo intermedio y final de gestación.



OCELOTE (*Leopardus pardalis*)



Figura 6.174 - Visión ventral *in situ* de los órganos abdominales y pélvicos de ocelote (*Leopardus pardalis*). Se ha incidido la sínfisis pélvica. 1. Duodeno; 2 Asas yeyunales; 3. Ciego; 4. Colon descendente; 5. Uréter; 6. Ovarios; 7. Cuernos uterinos; 8. Cuerpo uterino; 9. Cuello uterino; 10. Vejiga urinaria.

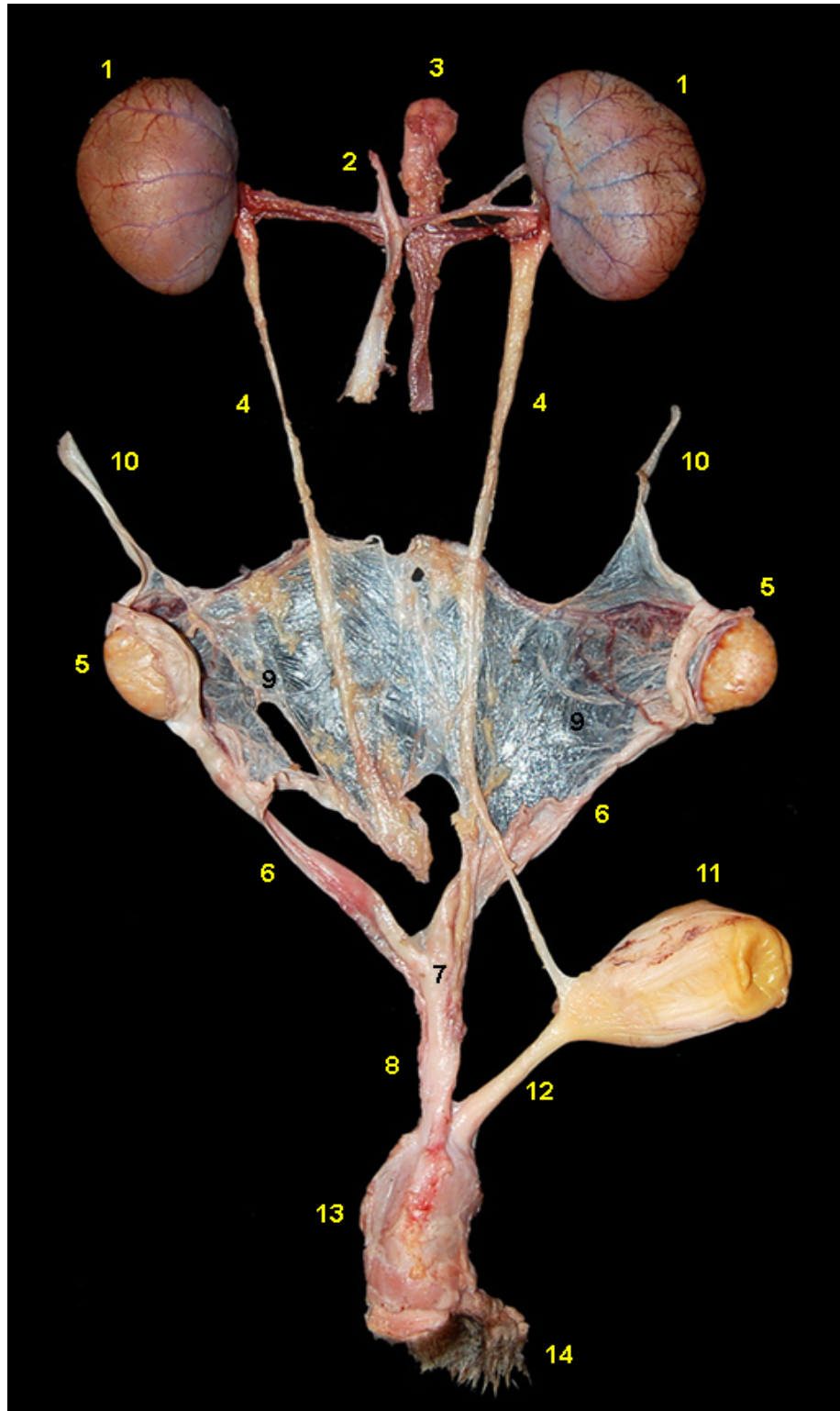


Figura 6.175 - Visión dorsal de los órganos genitales femeninos de ocelote (*Leopardus pardalis*). 1. Riñones; 2. Aorta abdominal; 3. Vena cava caudal; 4. Uréteres; 5. Ovarios; 6. Cuernos uterinos; 7. Cuerpo uterino; 8. Cuello uterino; 9. Ligamentos anchos; 10. Ligamento suspensor del ovario; 11. Vejiga urinaria; 12. Uretra; 13. Vagina; 14. Vulva.

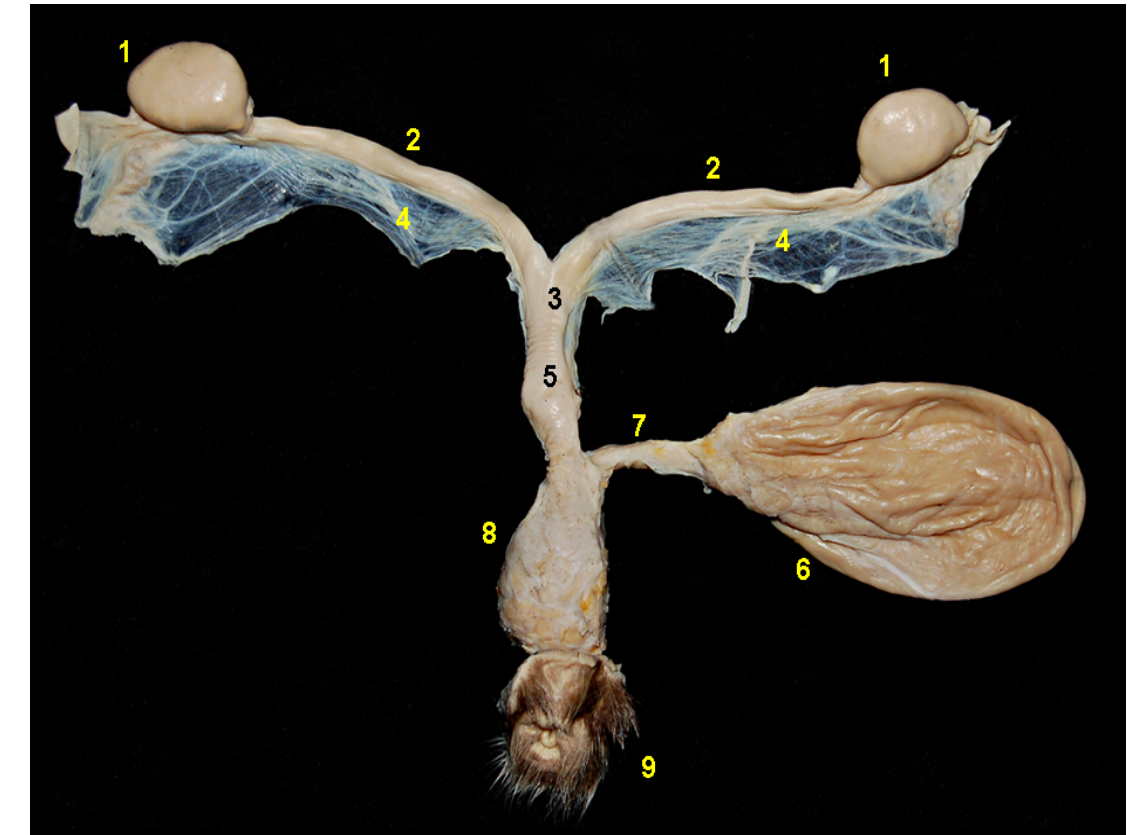


Figura 6.176 - Visión dorsal de los órganos genitales femeninos de ocelote (*Leopardus pardalis*). 1. Ovarios; 2. Cuernos uterinos; 3. Cuerpo uterino; 4. Ligamento ancho; 5. Cuello uterino; 6. Vejiga urinaria; 7. Uretra; 8. Vagina; 9. Vulva.

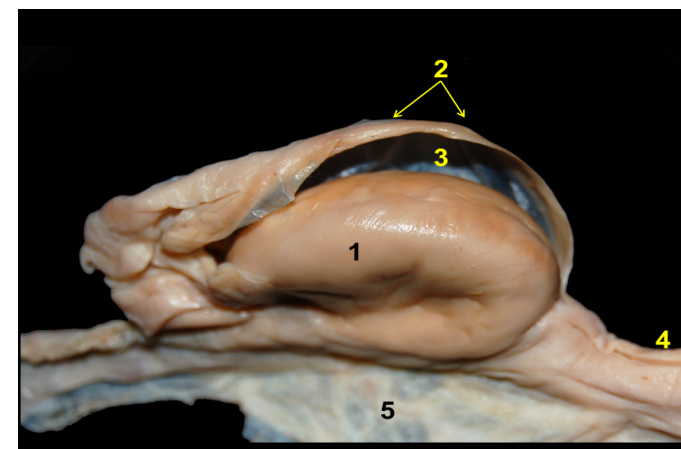


Figura 6.177 - Detalle de la bolsa ovárica de ocelote (*Leopardus pardalis*). 1. Ovario; 2. Trompa uterina; 3. Bolsa ovárica; 4. Cuerno uterino; 5. Ligamento ancho.



Figura 6.178 - Vulva de ocelote (*Leopardus pardalis*). 1. Comisura dorsal; 2. Comisura ventral.



JAGUAR (*Panthera onca*)

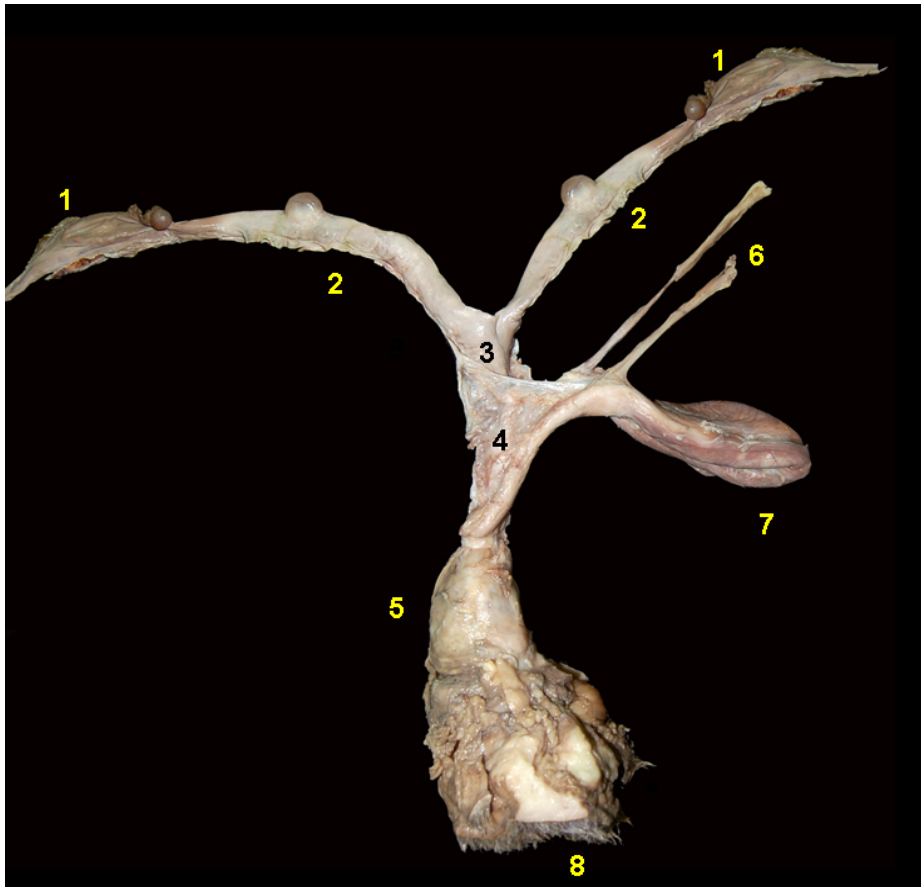


Figura 6.179 - Visión ventral de los órganos genitales femeninos de jaguar (*Panthera onca*). 1. Ovarios; 2. Cuernos uterinos; 3. Cuerpo uterino; 4. Cuello uterino; 5. Vagina; 6. Uréter; 7. Vejiga urinaria; 8. Vulva.

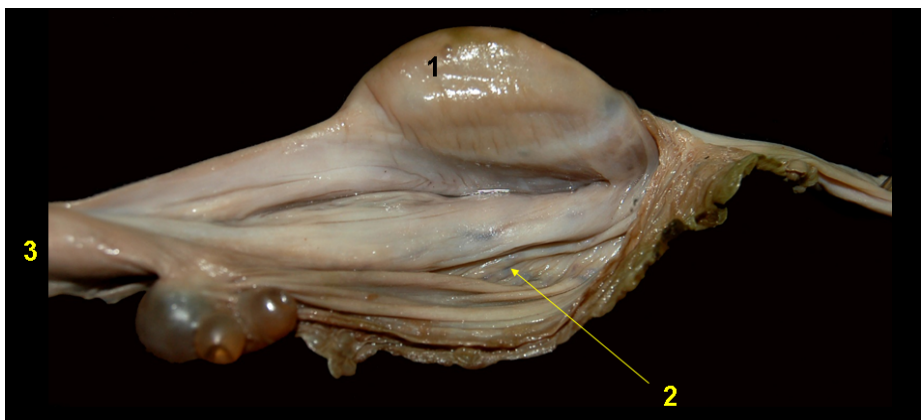


Figura 6.180 - Ovario de jaguar (*Panthera onca*). Se observa la bolsa ovárica abierta. 1. Ovario; 2. Bolsa ovárica; 3. Cuerno uterino.

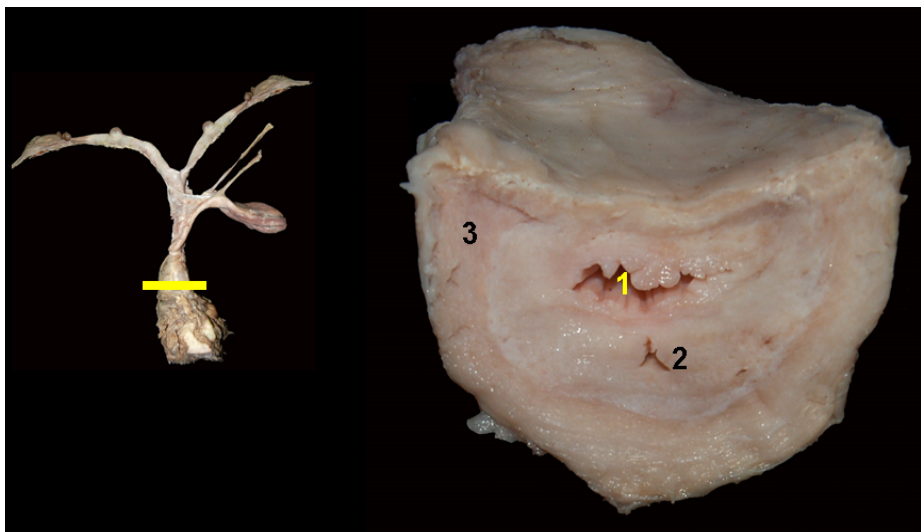


Figura 6.181 - Corte transversal de la parte caudal de la vagina de jaguar (*Panthera onca*). 1. Luz de la vagina; 2. Uretra; 3. Bulbo del vestíbulo.



COATÍ DE COLA ANILLADA (*Nasua nasua*)

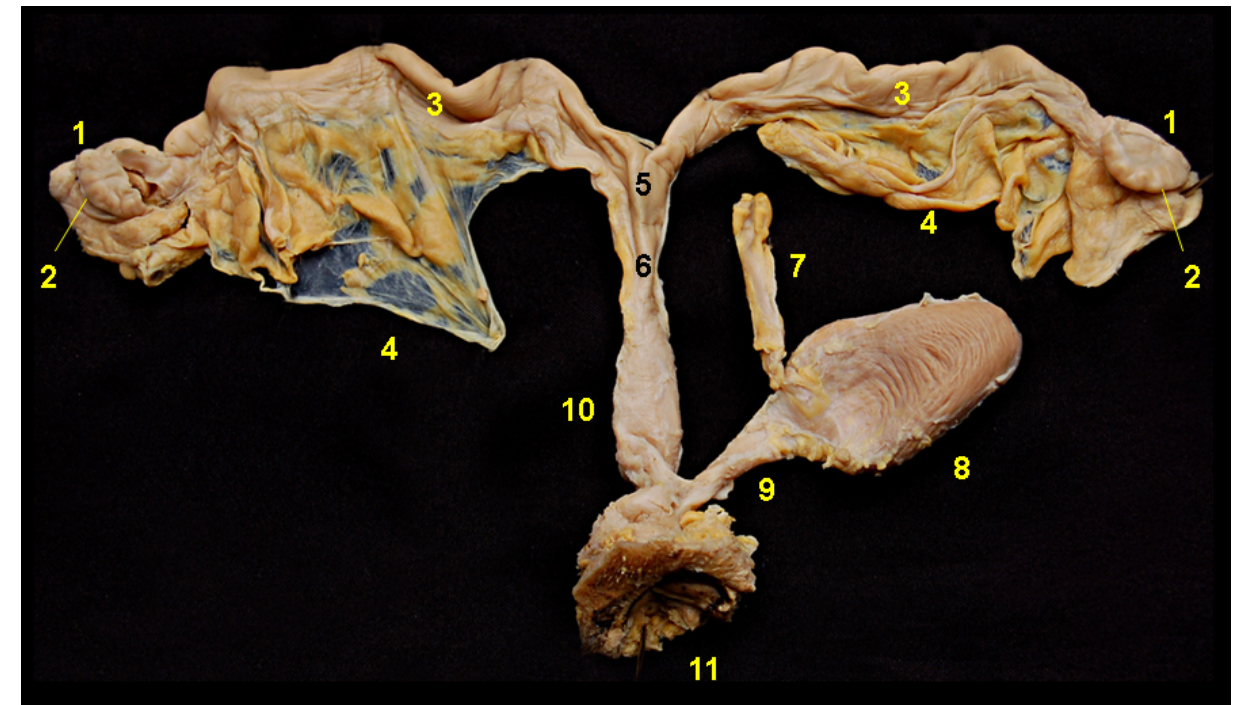


Figura 6.182 - Visión dorsal de los órganos genitales femeninos de coati de cola anillada (*Nasua nasua*). 1. Ovarios; 2. Trompa uterina; 3. Cuernos uterinos; 4. Ligamentos anchos; 5. Cuerpo uterino; 6. Cuello uterino; 7. Uréter; 8. Vejiga urinaria; 10. Vagina; 11. Vulva.

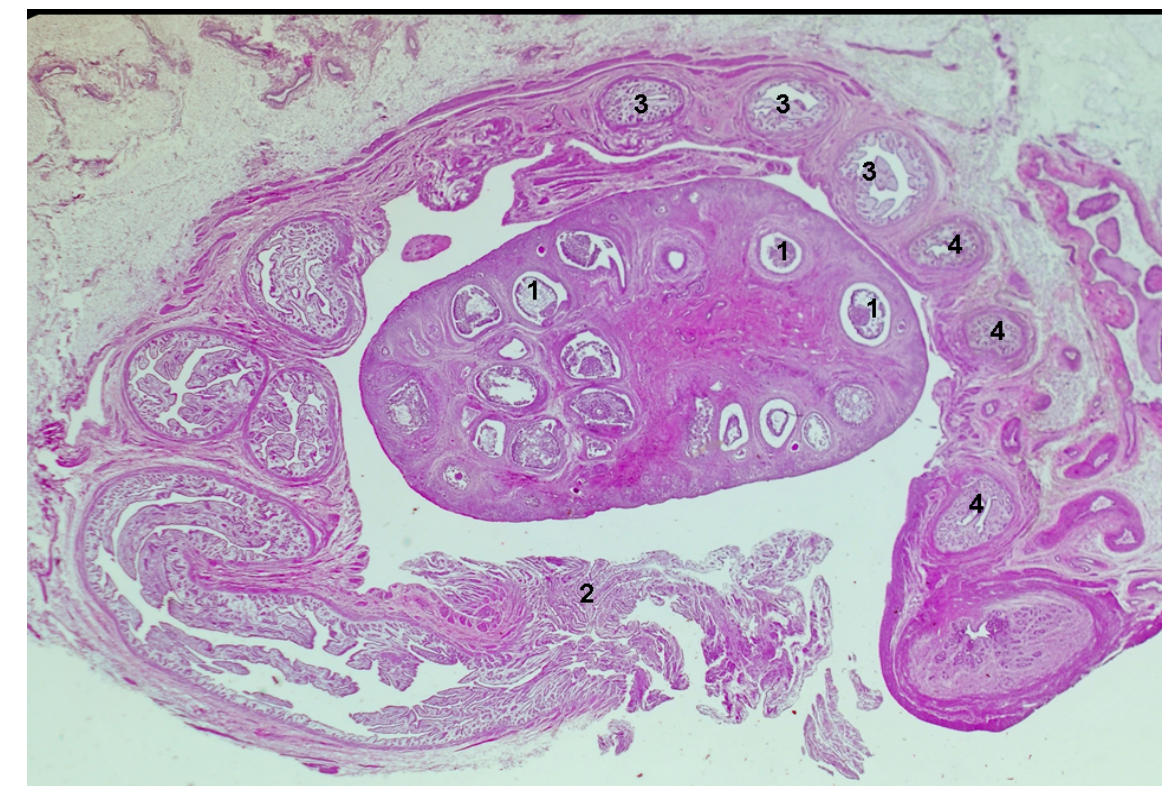


Figura 6.183 - Sección histológica del ovario y de la trompa uterina de una hembra de coati de cola anillada (*Nasua nasua*) en fase folicular. La trompa uterina contribuye a formar la bolsa ovárica que envuelve al ovario. Se diferencian diversas partes de la trompa uterina (infundíbulo, ampolla, istmo). 1. Folículos ováricos; 2. Infundíbulo; 3. Ampolla; 4. Istmo.

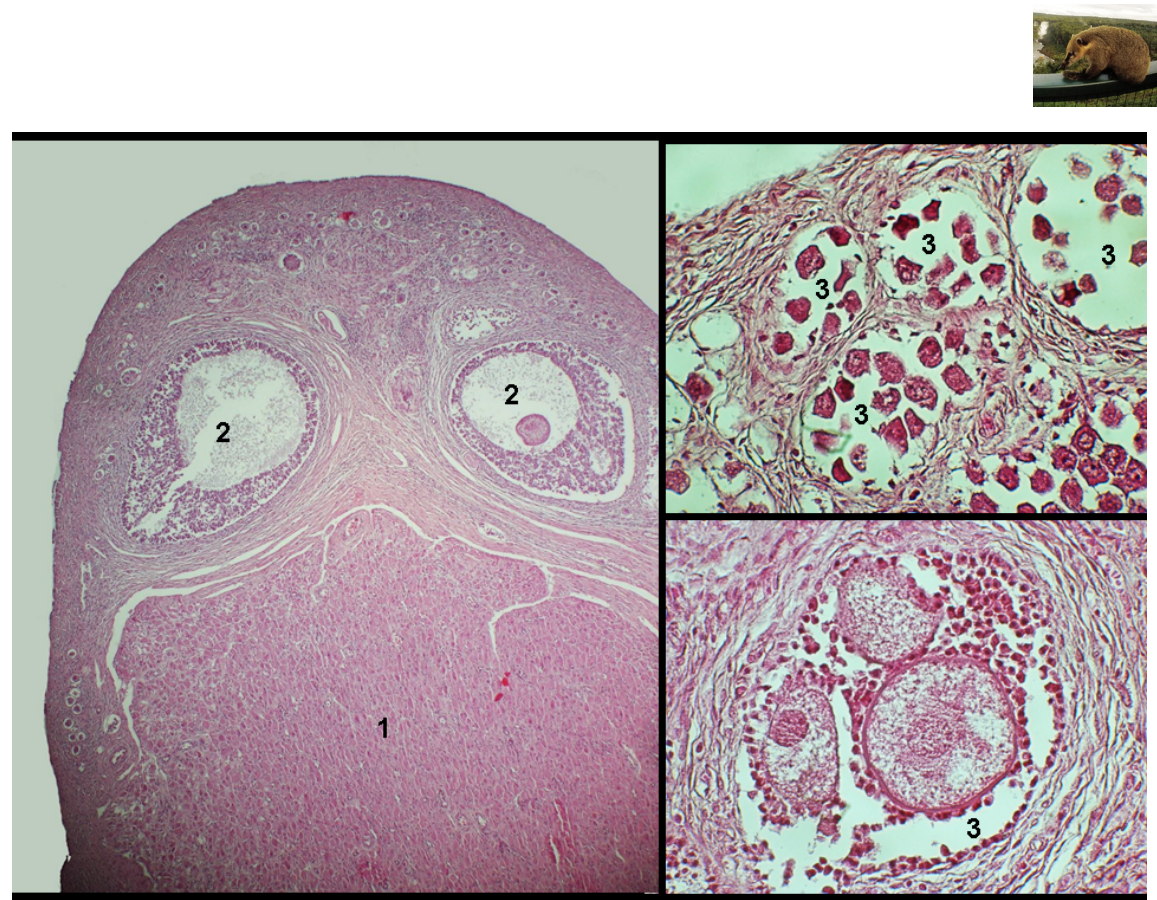


Figura 6.184 - Secciones histológicas del ovario de una hembra de coatí de cola anillada (*Nasua nasua*). 1. Cuerpo lúteo; 2. Folículos; 3. Folículos poliovulares (característico en esta especie).

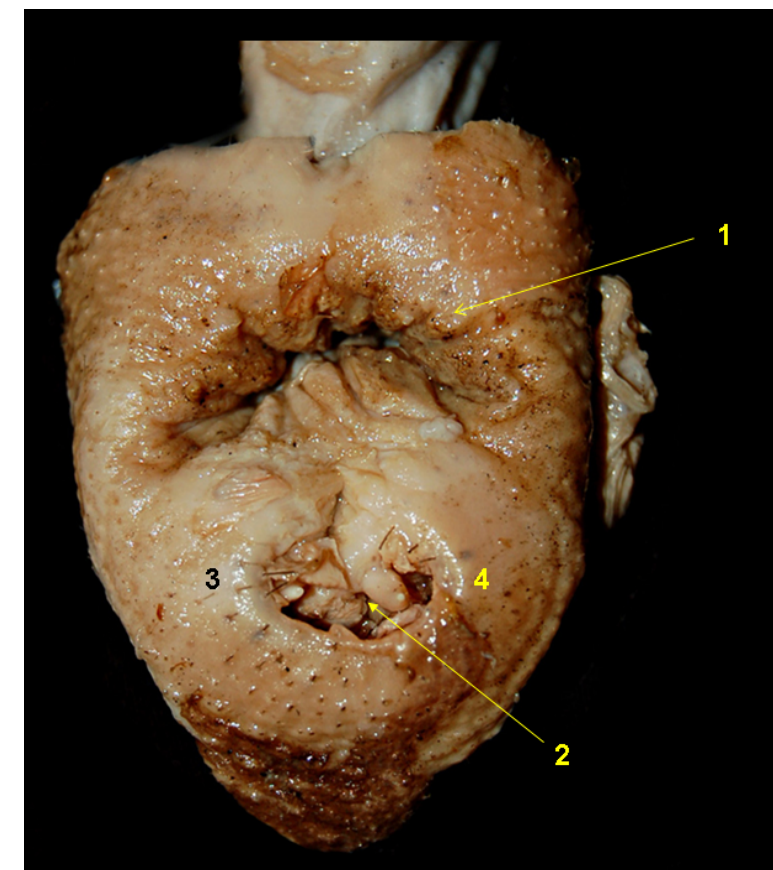


Figura 6.186 - Visión caudal de la región perineal de coatí de cola anillada (*Nasua nasua*). 1. Ano; 2. Hendidura vulvar; 3. Comisura vulvar lateral izquierda; 4. Comisura vulvar lateral derecha.

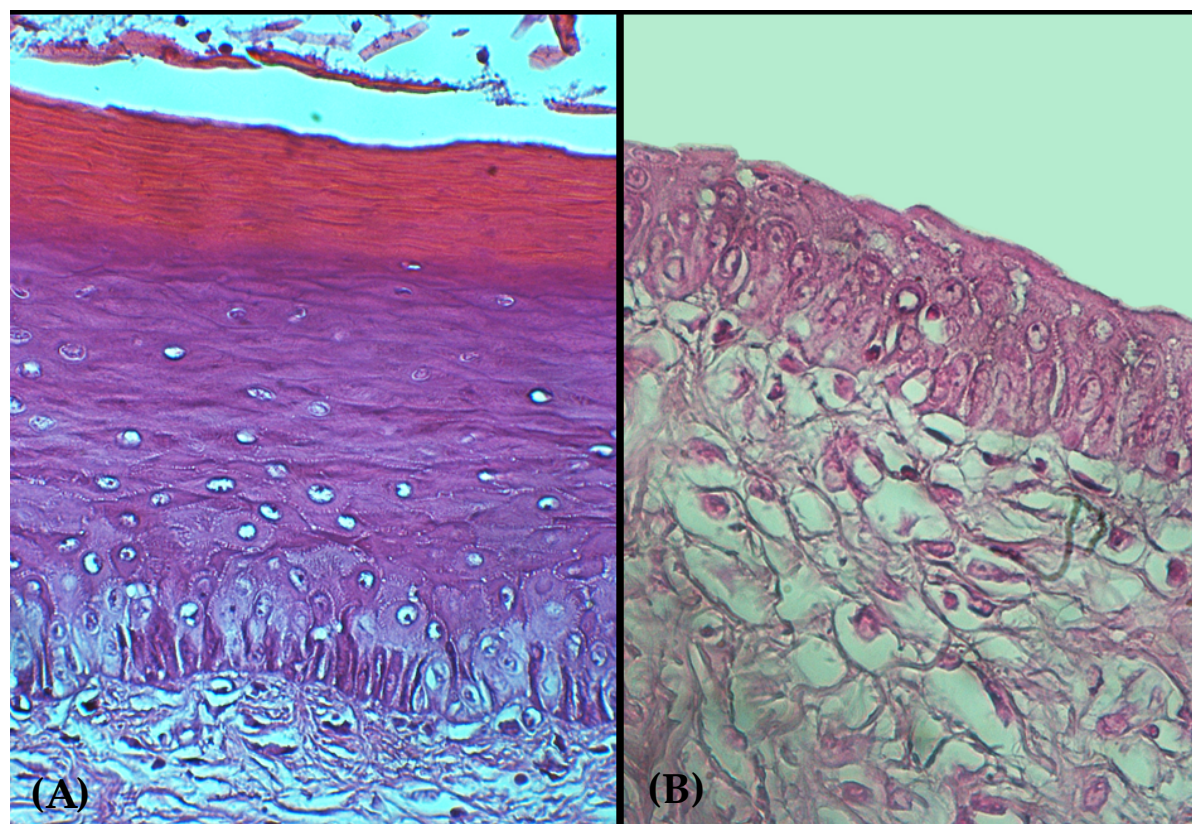


Figura 6.185 - Sección histológica de la vagina de una hembra de coatí de cola anillada (*Nasua nasua*) en fase folicular (A) y en fase luteal (B) del ciclo estral. En la fase folicular se observa un mayor desarrollo y queratinización del epitelio vaginal.

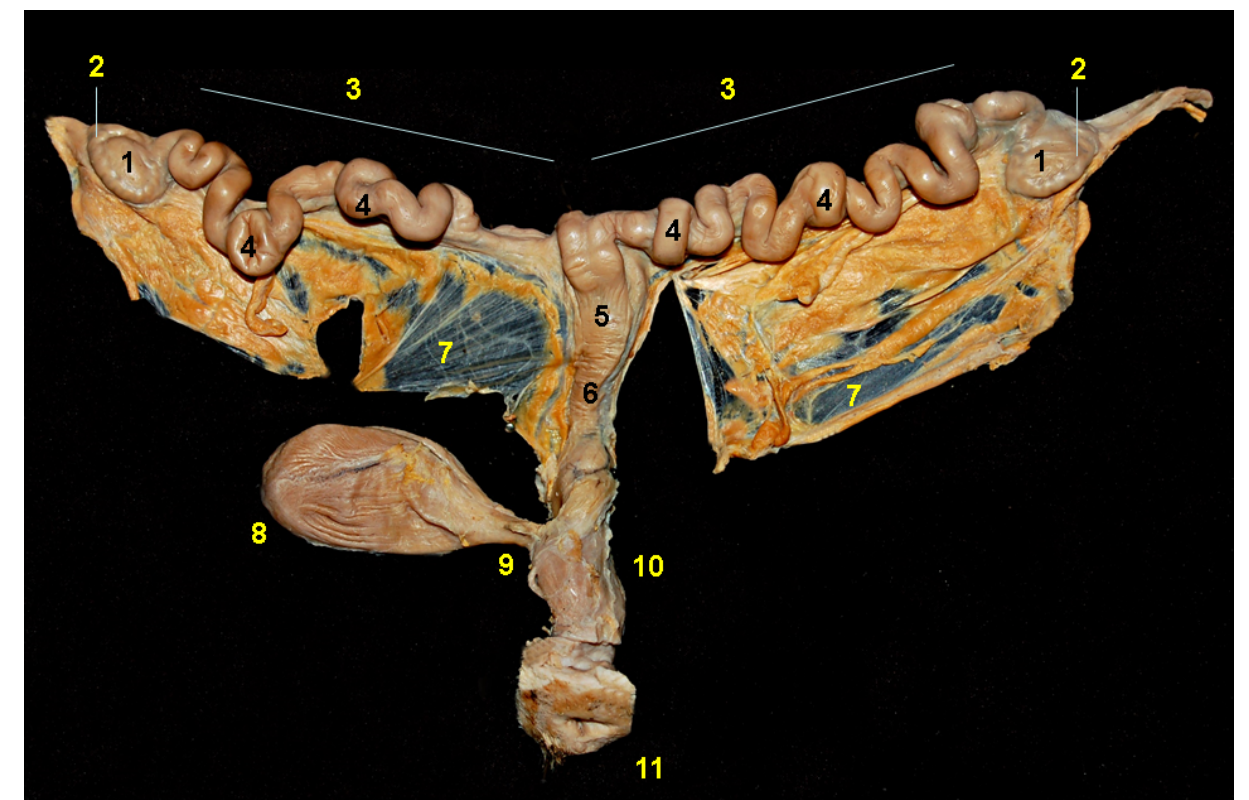


Figura 6.187 - Visión dorsal de los órganos genitales de un hembra de coatí de cola anillada (*Nasua nasua*) en el periodo gestacional temprano. 1. Ovarios; 2. Trompas uterinas; 3. Cuernos uterinos; 4. Sítios de implantación embrionaria; 5. Cuerpo uterino; 6. Cuello uterino; 7. Ligamento ancho del útero; 8. Vejiga urinaria; 9. Uretra; 10. Vagina; 11. Vulva.



Figura 6.188 - Visión dorsal de los órganos genitales de una hembra de coatí de cola anillada (*Nasua nasua*) en el periodo gestacional temprano. 1. Ovario; 2. Trompa uterina; 3. Ligamento suspensor del ovario; 4. Cuerno uterino; 5. Sítios de implantación embrionaria; 6. Cuerpo uterino; 7. Cuello uterino; 8. Ligamento ancho.

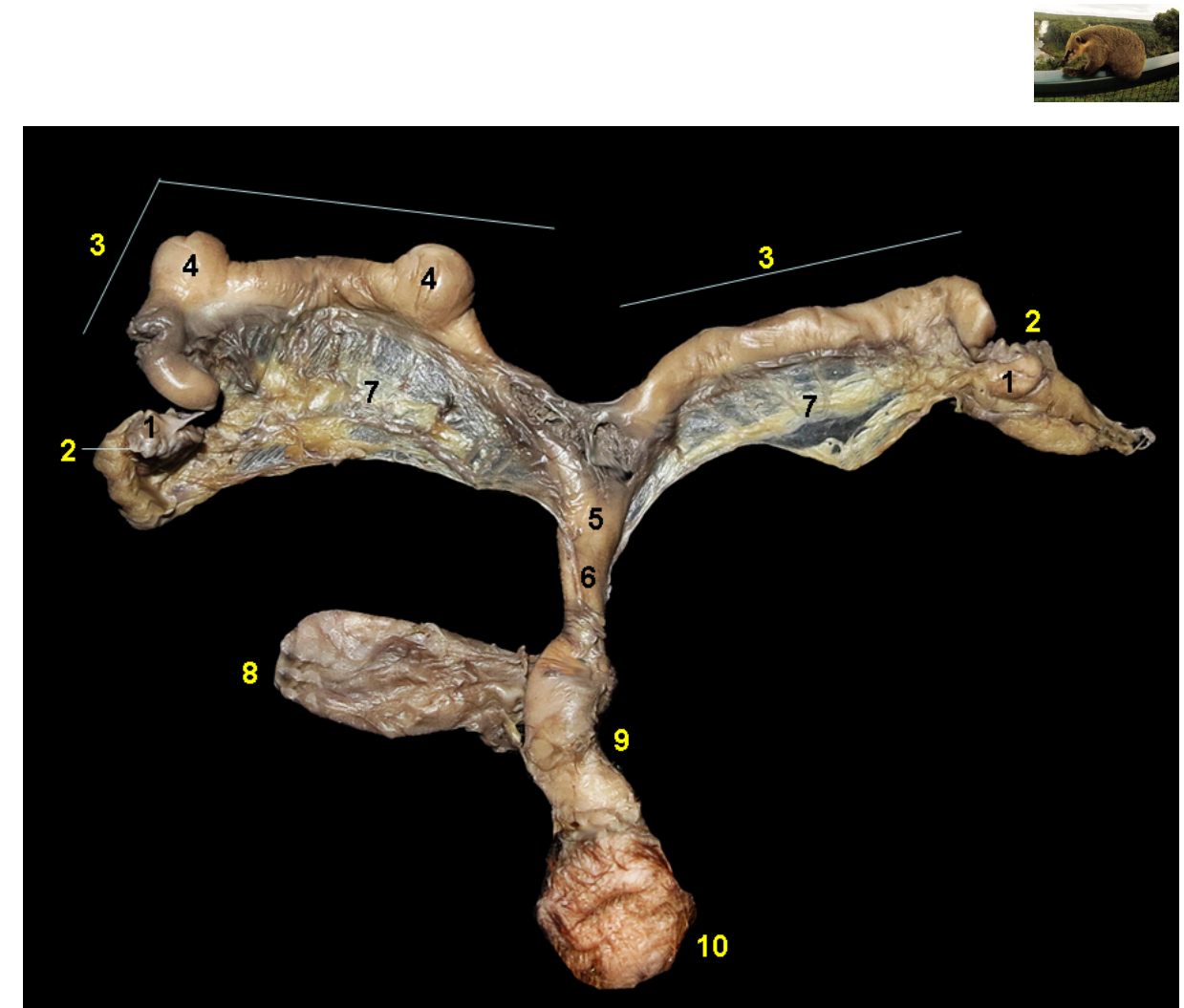


Figura 6.189 - Visión dorsal de los órganos genitales de una hembra de coatí de cola anillada (*Nasua nasua*) en el periodo gestacional temprano. 1. Ovarios; 2. Trompas uterinas; 3. Cuernos uterinos; 4. Sítios de implantación embrionaria; 5. Cuerpo uterino; 6. Cuello uterino; 7. Ligamentos anchos; 8. Vejiga urinaria; 9. Vagina; 10. Vulva.

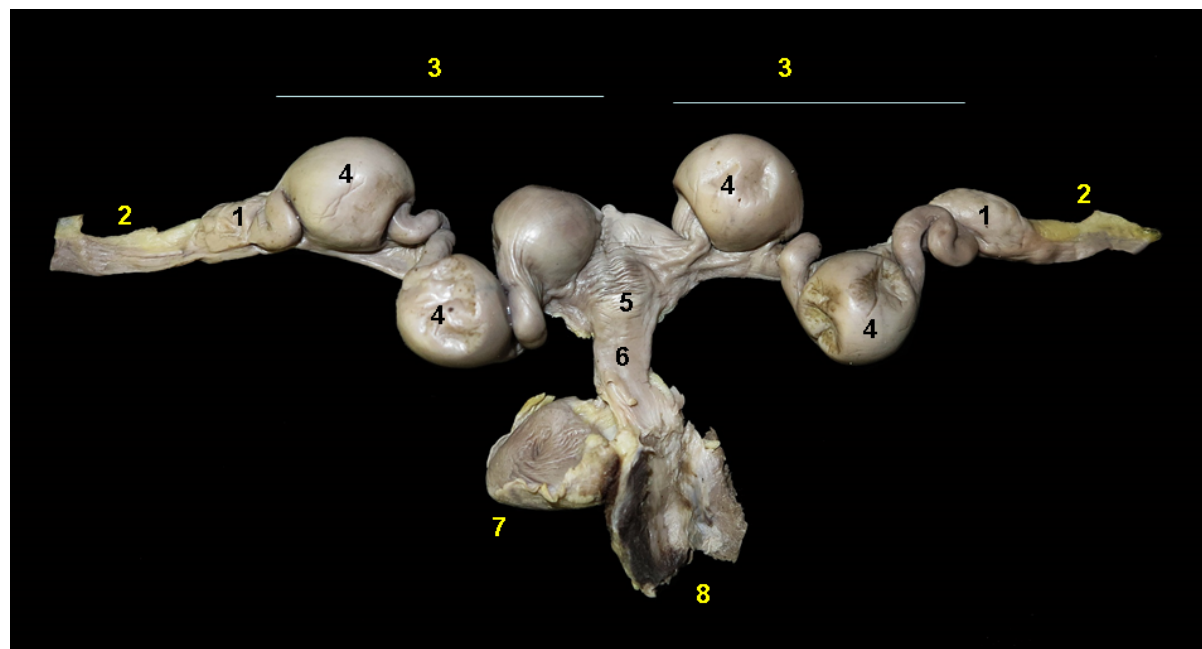


Figura 6.190 - Visión dorsal de los órganos genitales de una hembra de coatí de cola anillada (*Nasua nasua*) en el periodo gestacional temprano. 1. Ovarios; 2. Ligamentos suspensorios del ovario; 3. Cuernos uterinos; 4. Sítios de implantación embrionaria; 5. Cuerpo uterino; 6. Cuello uterino; 7. Vejiga urinaria; 8. Vagina.

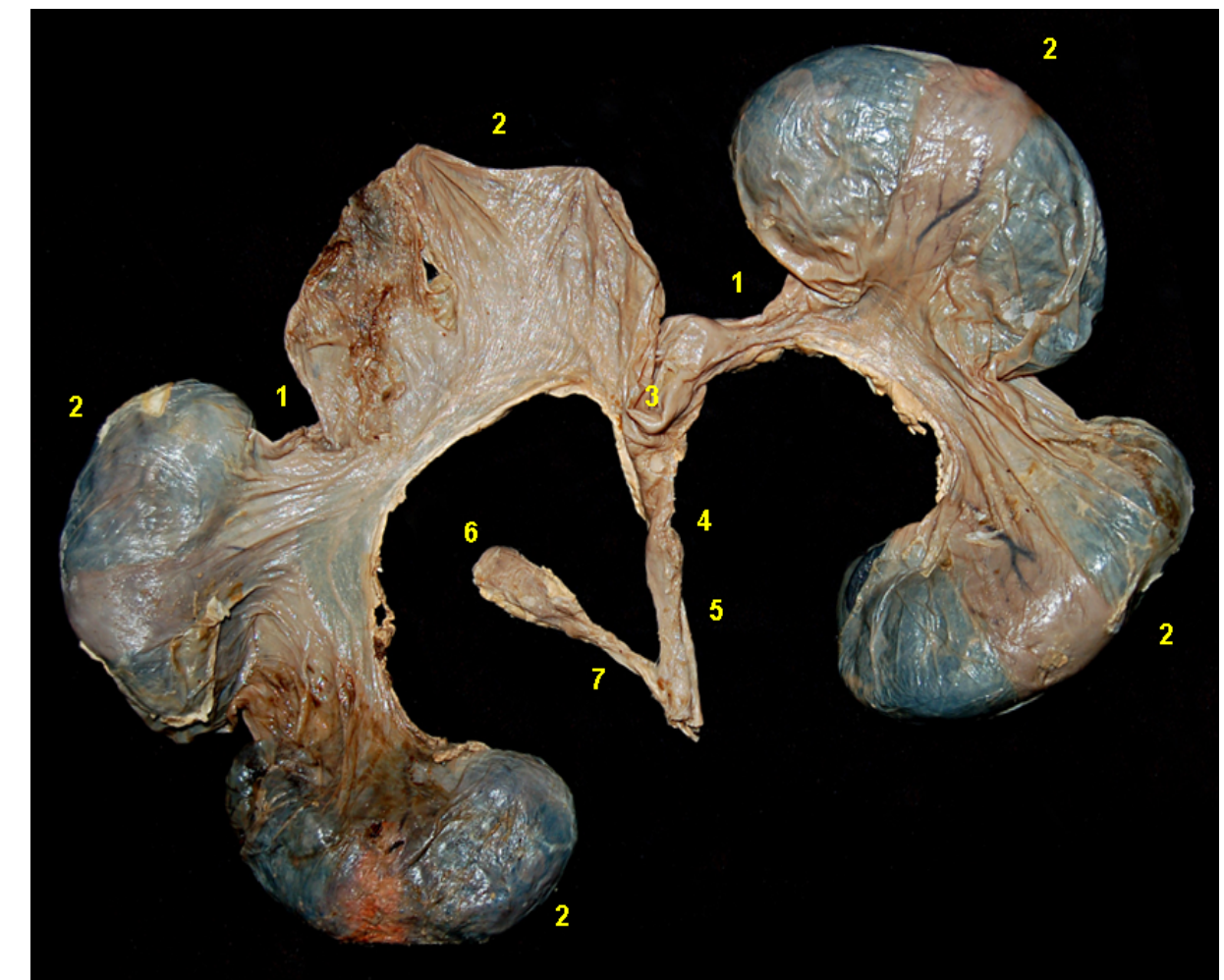


Figura 6.192 - Visión dorsal de los órganos genitales de una hembra de coatí de cola anillada (*Nasua nasua*) en el periodo gestacional avanzado. 1. Cuernos uterinos; 2. Sítios de implantación embrionaria; 3. Cuerpo uterino; 4. Cuello uterino; 5. Vagina; 6. Vejiga urinaria; 7. Uretra.

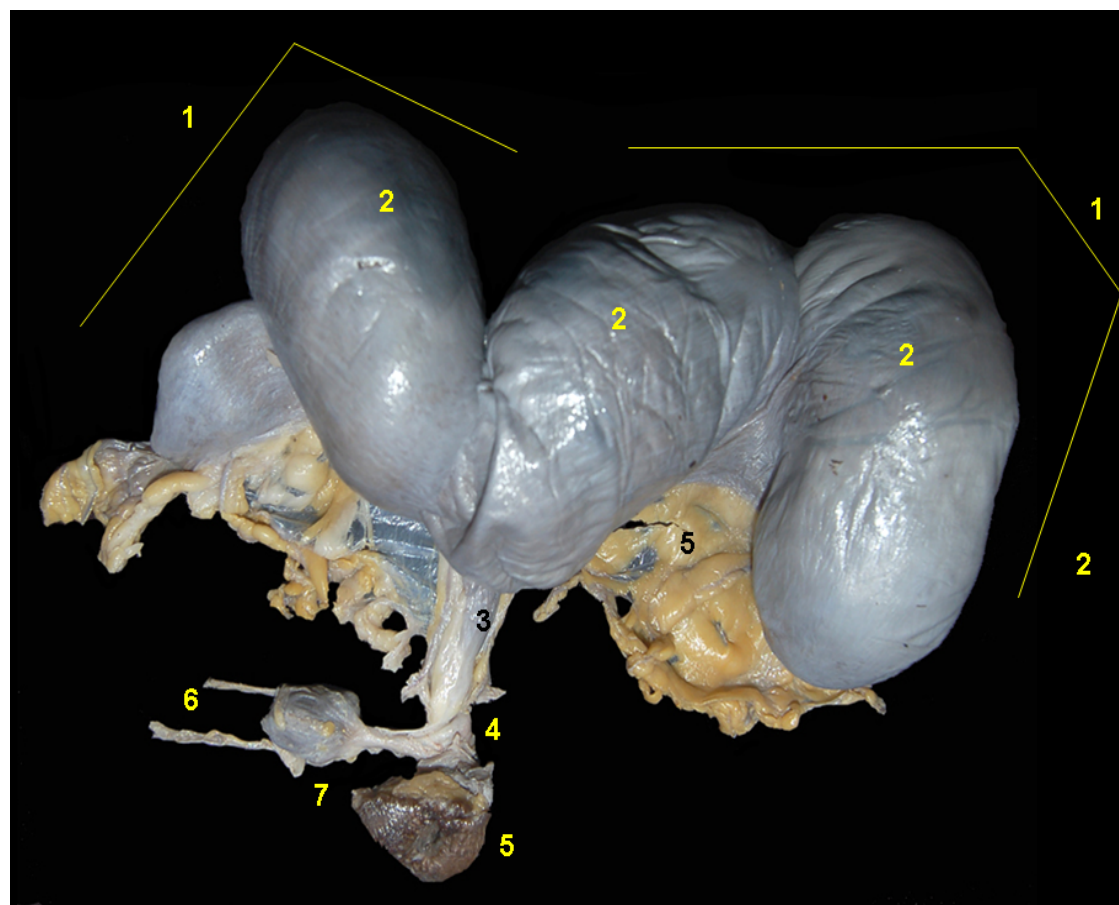


Figura 6.191 - Visión dorsal de los órganos genitales de una hembra de coatí de cola anillada (*Nasua nasua*) en el periodo gestacional avanzado. 1. Cuernos uterinos; 2. Sítios de implantación embrionaria; 3. Cuello uterino; 4. Uréteres; 5. Vejiga urinaria; 6. Vagina; 7. Vulva.





Figura 6.193 - Órganos genitales femeninos de coati de cola anillada (*Nasua nasua*). 1. Cuerno uterino gestante; 2. Ovario; 3. Trompa uterina.

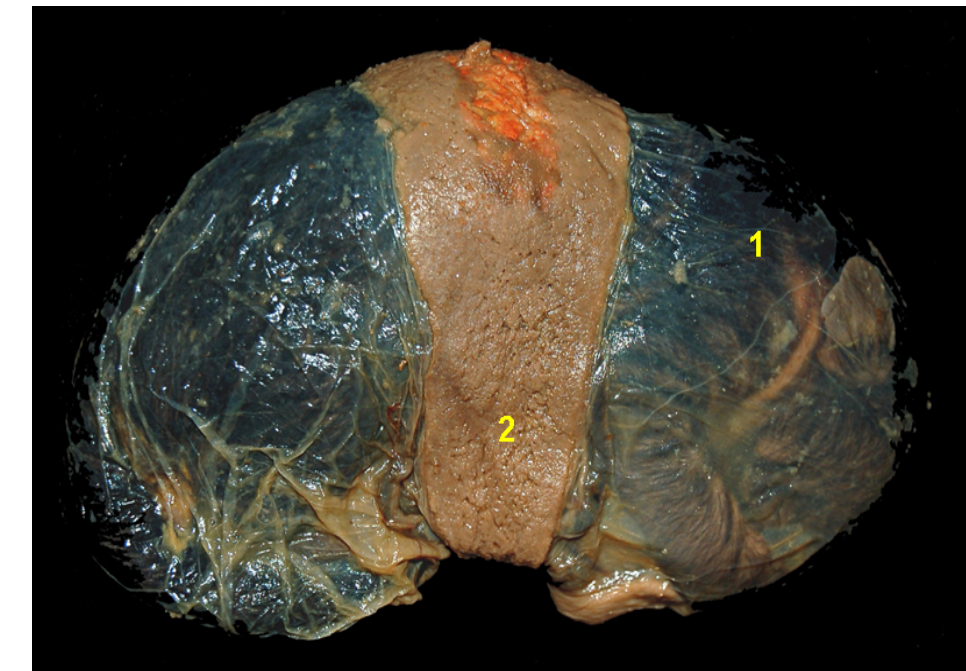


Figura 6.195 - Membranas fetales y feto de coati de cola anillada (*Nasua nasua*). Placenta zonal, decidua y endoteliochorial. 1. Saco coriónico; 2. Zona de contacto materno-fetal.



Figura 6.194 - Membranas fetales y feto de coati de cola anillada (*Nasua nasua*) en periodo gestacional avanzado. Placenta zonal, decidua y endoteliochorial. Se ha abierto el útero para poder observar el saco coriónico. 1. Saco coriónico; 2. Zona de contacto materno-fetal; 3. Endometrio uterino.

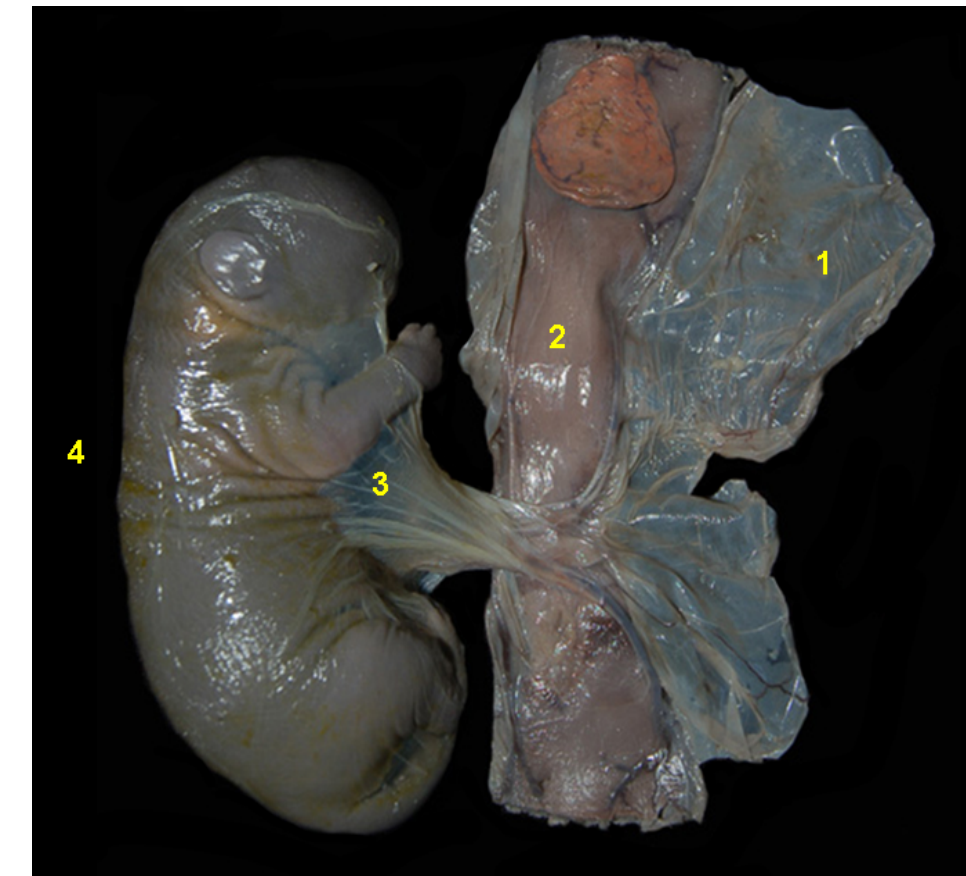


Figura 6.196 - Membranas fetales y feto de coati de cola anillada (*Nasua nasua*). Placenta zonal, decidua y endoteliochorial. 1. Saco coriónico; 2. Zona de contacto materno-fetal; 3. Saco amniótico; 4. Feto.



Figura 6.197 - Fetos de coatí de cola anillada (*Nasua nasua*) en diferente estado del desarrollo, desde etapas fetales tempranas hasta fetos próximos al parto.



KINKAJOU (*Potos flavus*)

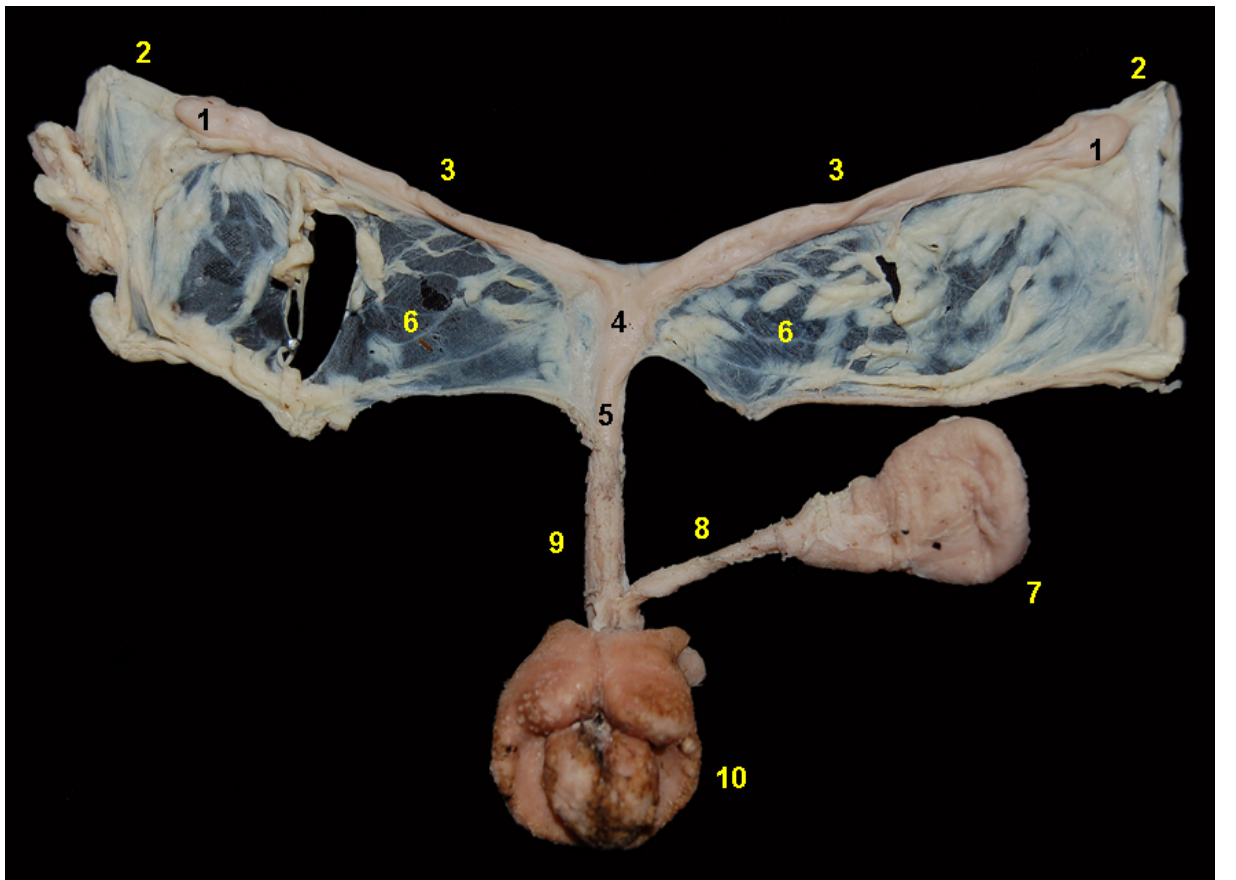


Figura 6.198 - Visión dorsal de los órganos genitales de una hembra de kinkajou (*Potos flavus*). 1. Ovarios; 2. Ligamentos suspensorios del ovario; 3. Cuernos uterinos; 4. Cuerpo uterino; 5. Cuello uterino; 6. Ligamento ancho; 7. Vejiga urinaria; 8. Uretra; 9. Vagina; 10. Vulva.

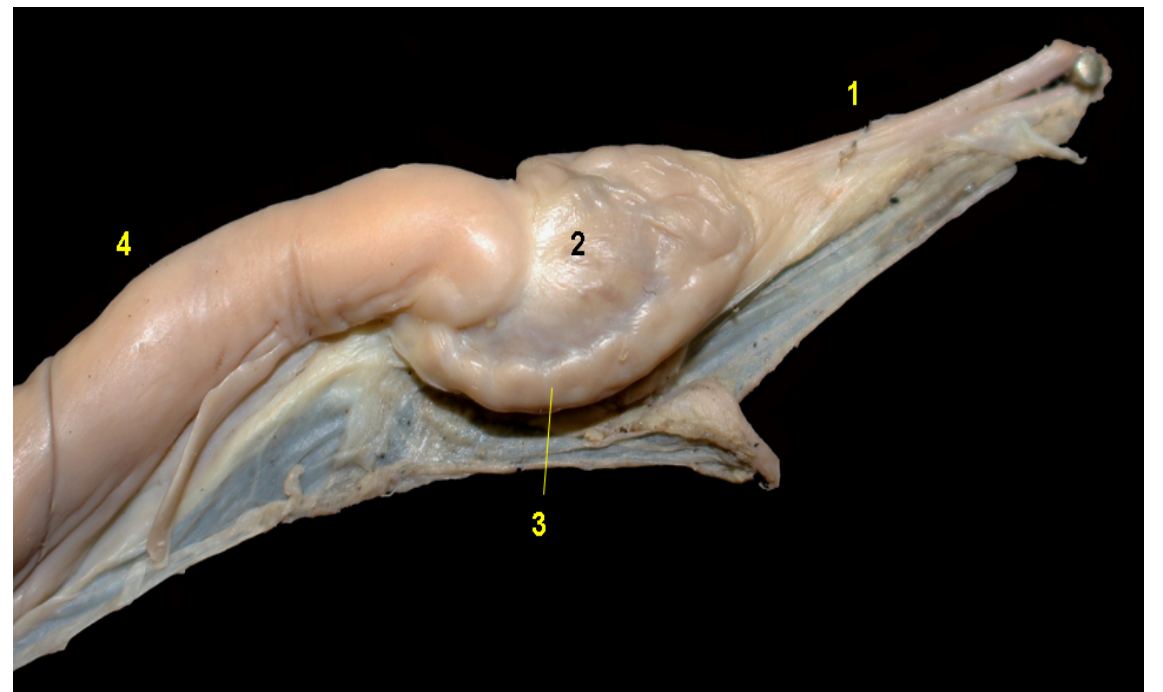


Figura 6.199 - Ovario de kinkajou (*Potos flavus*). 1. Ligamento suspensor del ovario; 2. Ovario; 3. Trompa uterina; 4. Cuerno uterino.



TAYRA (*Eira barbara*)

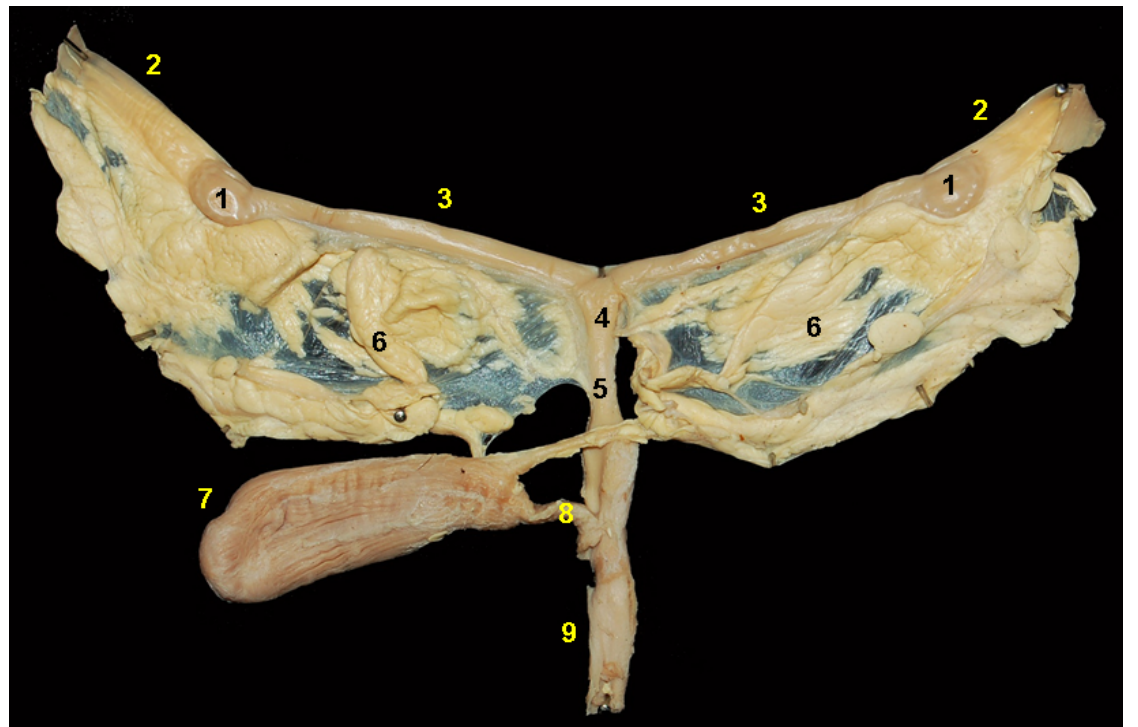


Figura 6.200 - Visión dorsal de los órganos genitales de una hembra de tayra (*Eira barbara*). 1. Ovarios; 2. Ligamentos suspensarios del ovario; 3. Cuernos uterinos; 4. Cuerpo uterino; 5. Cuello uterino; 6. Ligamentos anchos; 7. Vejiga urinaria; 8. Uretra; 9. Vagina.



Figura 6.201 - Visión dorsal de los órganos genitales de una hembra de tayra (*Eira barbara*). 1. Ovarios; 2. Trompa uterina; 3. Ligamento suspensor del ovario; 4. Cuerpo uterino; 5. Ligamento ancho.



PUMA (*Puma concolor*)

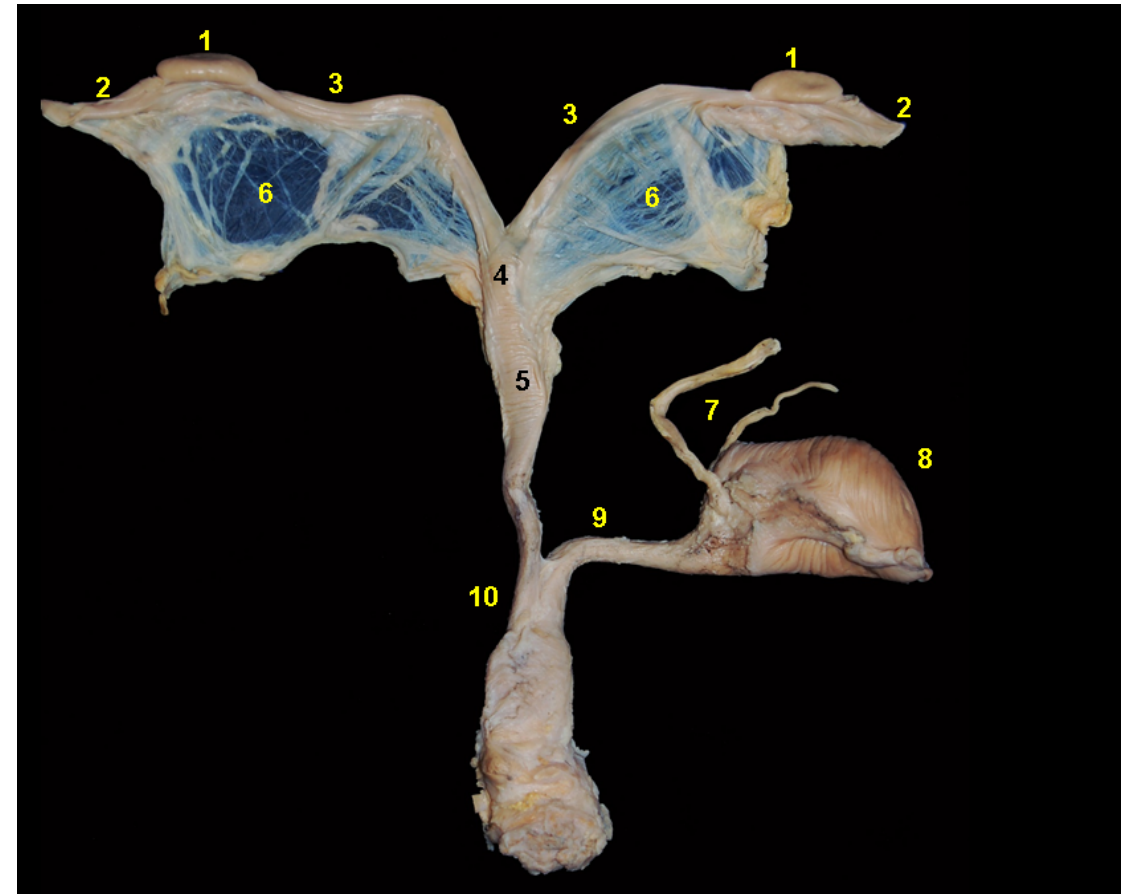


Figura 6.202 - Visión dorsal de los órganos genitales de una hembra de puma (*Puma concolor*). 1. Ovarios; 2. Ligamentos suspensorios del ovario; 3. Cuernos uterinos; 4. Cuello uterino; 5. Ligamento ancho del útero; 7. Uréteres; 8. Vejiga urinaria; 9. Uretra; 10. Vagina.

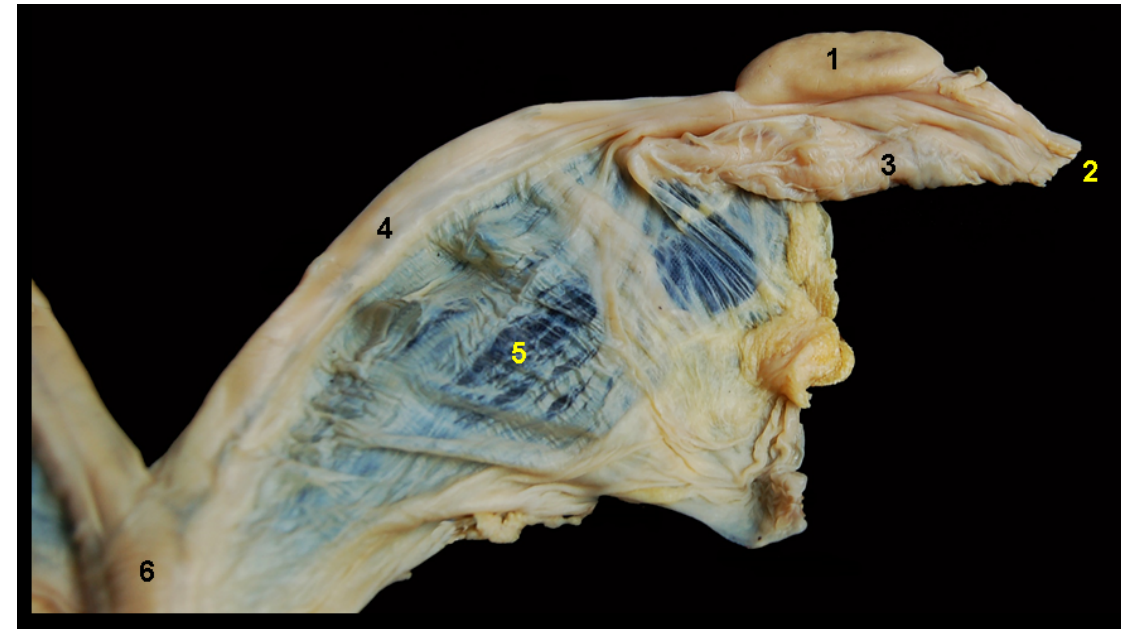


Figura 6.203 - Visión dorsal de los órganos genitales de una hembra de puma (*Puma concolor*). 1. Ovario; 2. Ligamento suspensor del ovario; 3. Trompa uterina; 4. Cuerno uterino; 5. Ligamento ancho del útero; 6. Cuerpo uterino.



MONO MACHÍN BLANCO (*Cebus albifrons*)



Figura 6.204 - Visión dorsal de los órganos genitales femenino de mono machín blanco (*Cebus albifrons*). 1. Ovarios; 2. Cuerpo uterino; 3. Cuello uterino; 4. Vejiga urinaria; 5. Uretra; 6. Vagina; 7. Vulva.

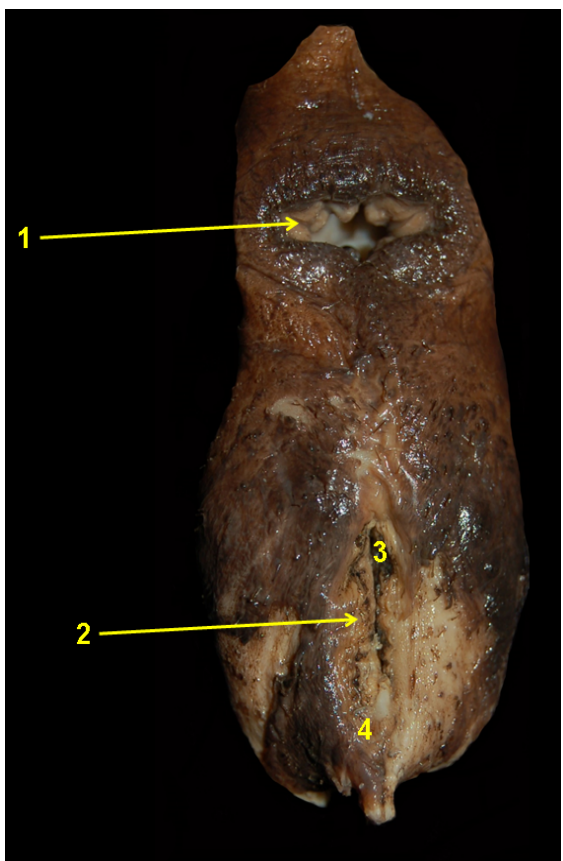


Figura 6.205 - Visión caudal del ano y de la vulva de mono machín blanco (*Cebus albifrons*). 1. Ano. 2. Hendidura vulvar; 3. Comisura vulvar dorsal; 4. Comisura vulvar ventral.

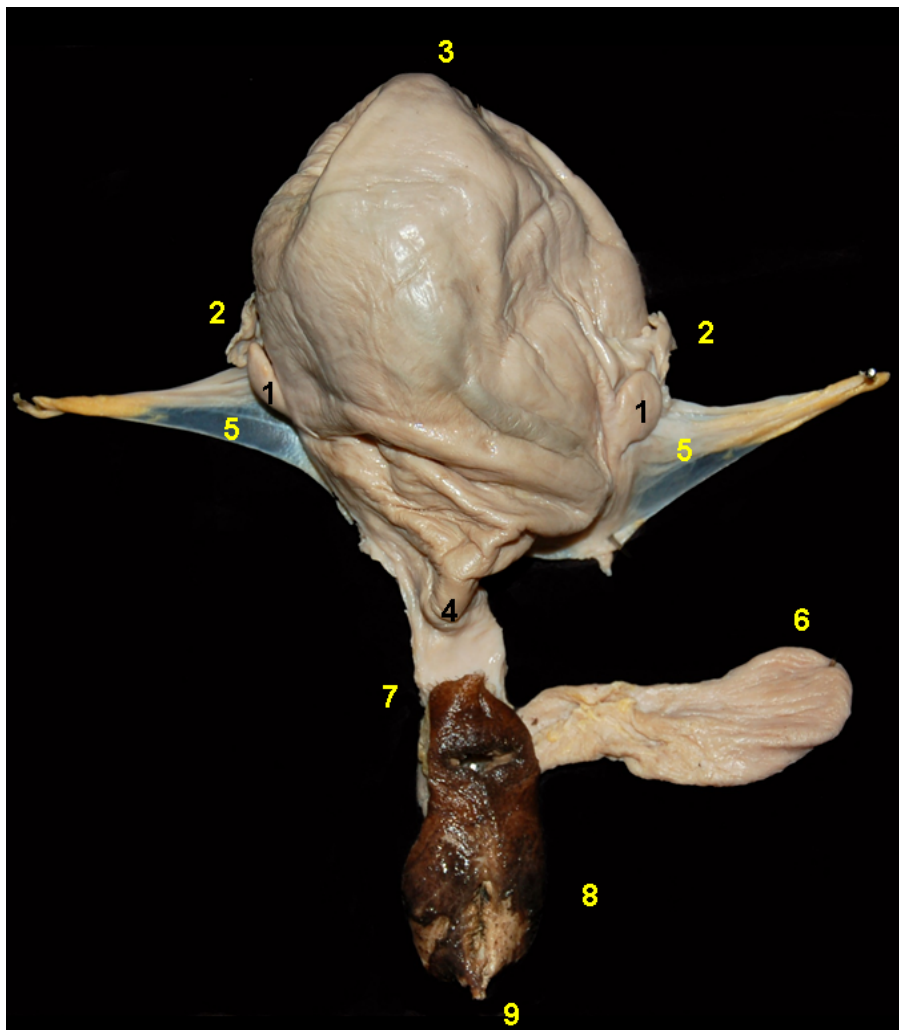


Figura 6.206 - Visión dorsal de los órganos genitales de una hembra gestante de mono machín blanco (*Cebus albifrons*). 1. Ovarios; 2. Trompas uterinas; 3. Cuerpo uterino gestante; 4. Cuello uterino; 5. Ligamento ancho; 6. Vejiga urinaria; 7. Vagina; 8. Vulva; 9. Clítoris.



Figura 6.207 - Visión interna del útero de una hembra de mono machín blanco (*Cebus albifrons*) en periodo gestacional intermedio. 1. Cuerpo uterino; 2. Saco coriónico; 2. Zona discoidea de contacto materno-fetal; 4. Cuello uterino.





Figura 6.208 - Membranas fetales y feto de mono machín blanco (*Cebus albifrons*). Placenta discoidea, decidua y hemocorial. Área discoidea de contacto materno-fetal. 1. Saco coriónico; 2. Zona de contacto materno-fetal.

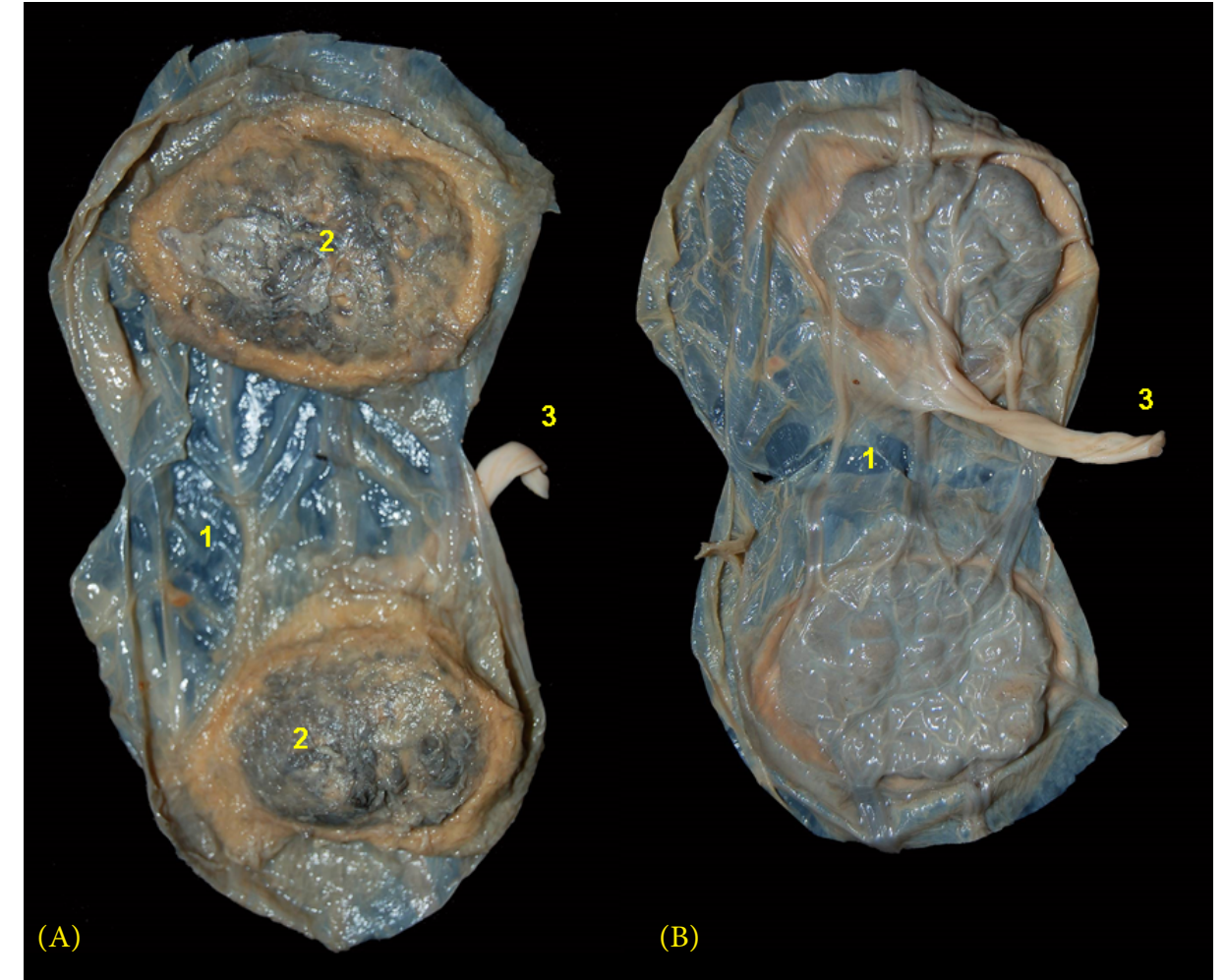


Figura 6.209 - Membranas fetales y feto de mono machín blanco (*Cebus albifrons*) en periodo gestacional intermedio, después de separarlas del feto. Placenta discoidea, decidua y hemocorial. Hay dos áreas discoideas de contacto materno-fetal. A - Visión externa. B - Visión interna. 1. Membrana corioalantoidea; 2. Zona discoidea de contacto materno-fetal; 3. Cordón umbilical.





MONO MACHÍN NEGRO (*Sapajus macrocephalus*)

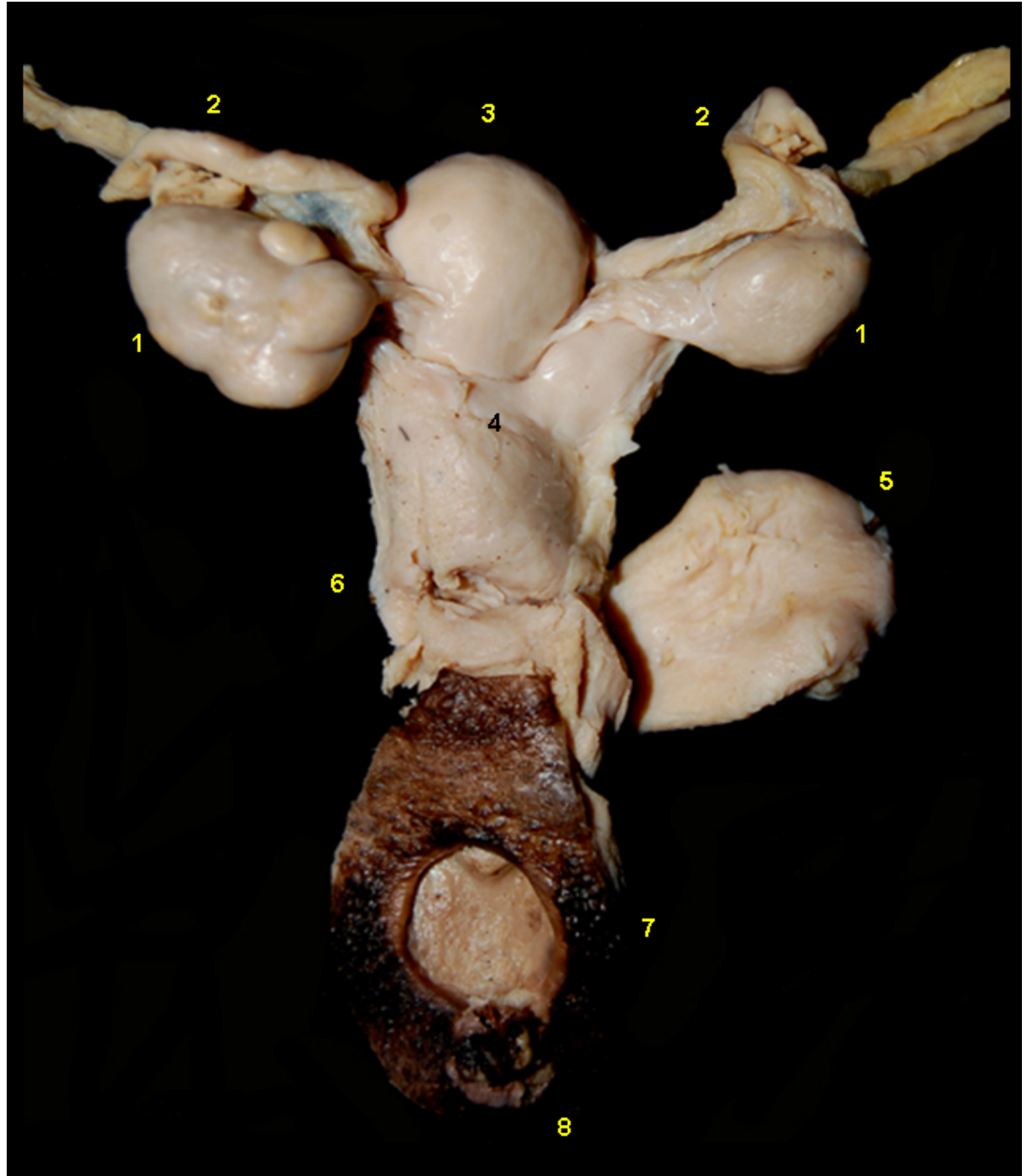


Figura 6.210 - Visión dorsal de los órganos urogenitales femeninos de mono machín negro (*Sapajus macrocephalus*). 1. Ovarios; 2. Trompas uterinas; 3. Cuerpo uterino; 4. Cuello uterino; 5. Vejiga urinaria; 6. Vagina; 7. Vulva; 8. Clítoris.

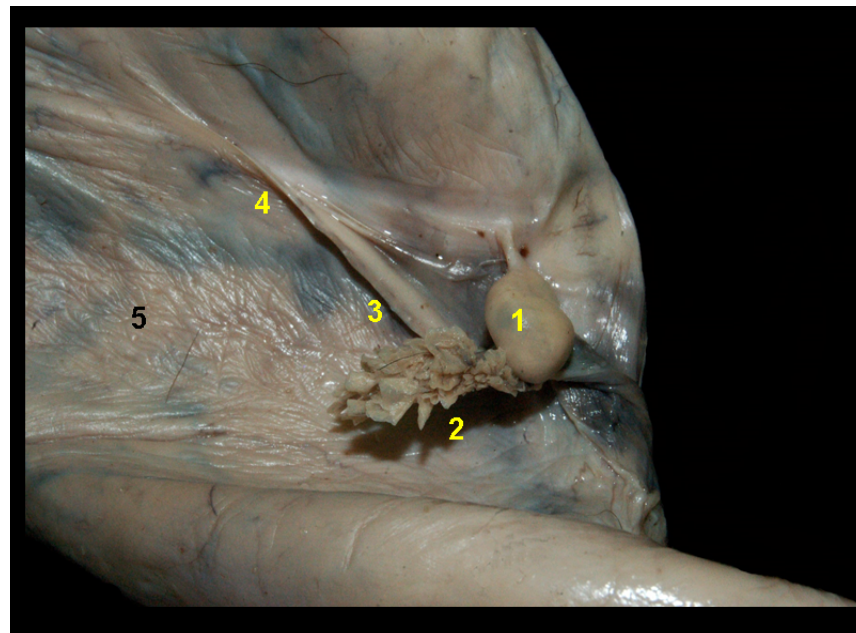


Figura 6.211 - Órganos genitales de una hembra gestante de mono machín negro (*Sapajus macrocephalus*). 1. Ovario; 2. Fimbrias de la trompa uterina; 3. Ampolla de la trompa uterina; 4. Istmo de la trompa uterina; 5. Cuerpo uterino.



Figura 6.212 - Visión caudal de la vulva de mono machín negro (*Sapajus macrocephalus*). 1. Hendidura vulvar; 2. Comisura vulvar dorsal; 3. Comisura vulvar ventral; 4. Labios vulvares; 5. Clítoris.

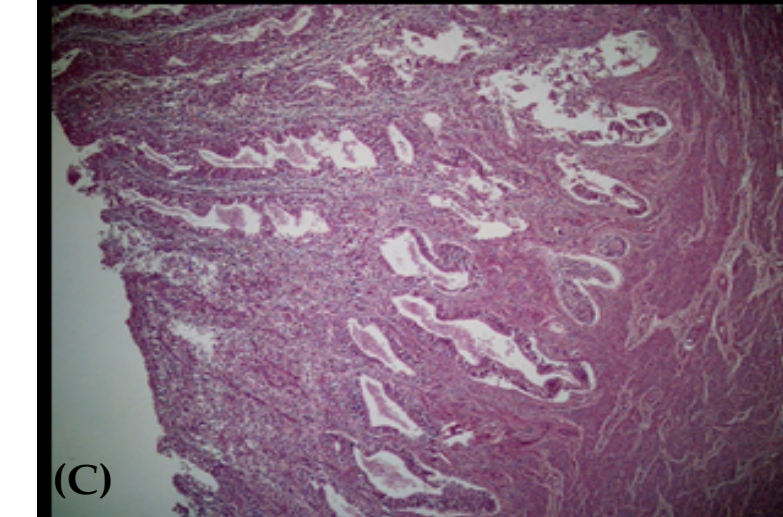
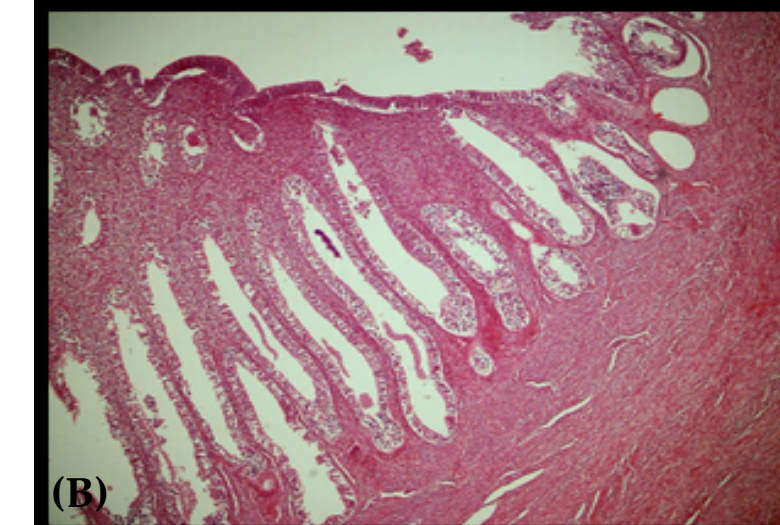
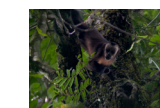


Figura 6.213 - Secciones histológicas del cuerpo uterino de una hembra de mono machín negro (*Sapajus macrocephalus*) en fase folicular-proliferativa intermedia (A), en fase folicular-proliferativa avanzada (B) y en fase luteal-secretrora (C) del ciclo estral. Se observa el crecimiento progresivo del endometrio y de las glándulas endometriales. En la fase luteal se aprecia una mayor secreción de las glándulas endometriales



Figura 6.214 - Visión ventral *in situ* de los órganos abdominales de una hembra de mono machín negro (*Sapajus macrocephalus*) en periodo gestacional intermedio. 1. Hígado; 2. Intestino delgado; 3. Intestino grueso; 4. Cuerpo uterino gestante; 5. Cuello uterino; 6. Ligamento ancho del útero; 7. Ovario.



Figura 6.215 - Visión ventral *in situ* de los órganos abdominales de una hembra de mono machín negro (*Sapajus macrocephalus*) en periodo gestacional intermedio. Se ha abierto el cuerpo uterino y se han exteriorizado los fetos. Gestación gemelar. 1. Hígado; 2. Intestino delgado; 3. Intestino grueso; 4. Cuerpo uterino gestante; 5. Fetos; 6. Cuello uterino.

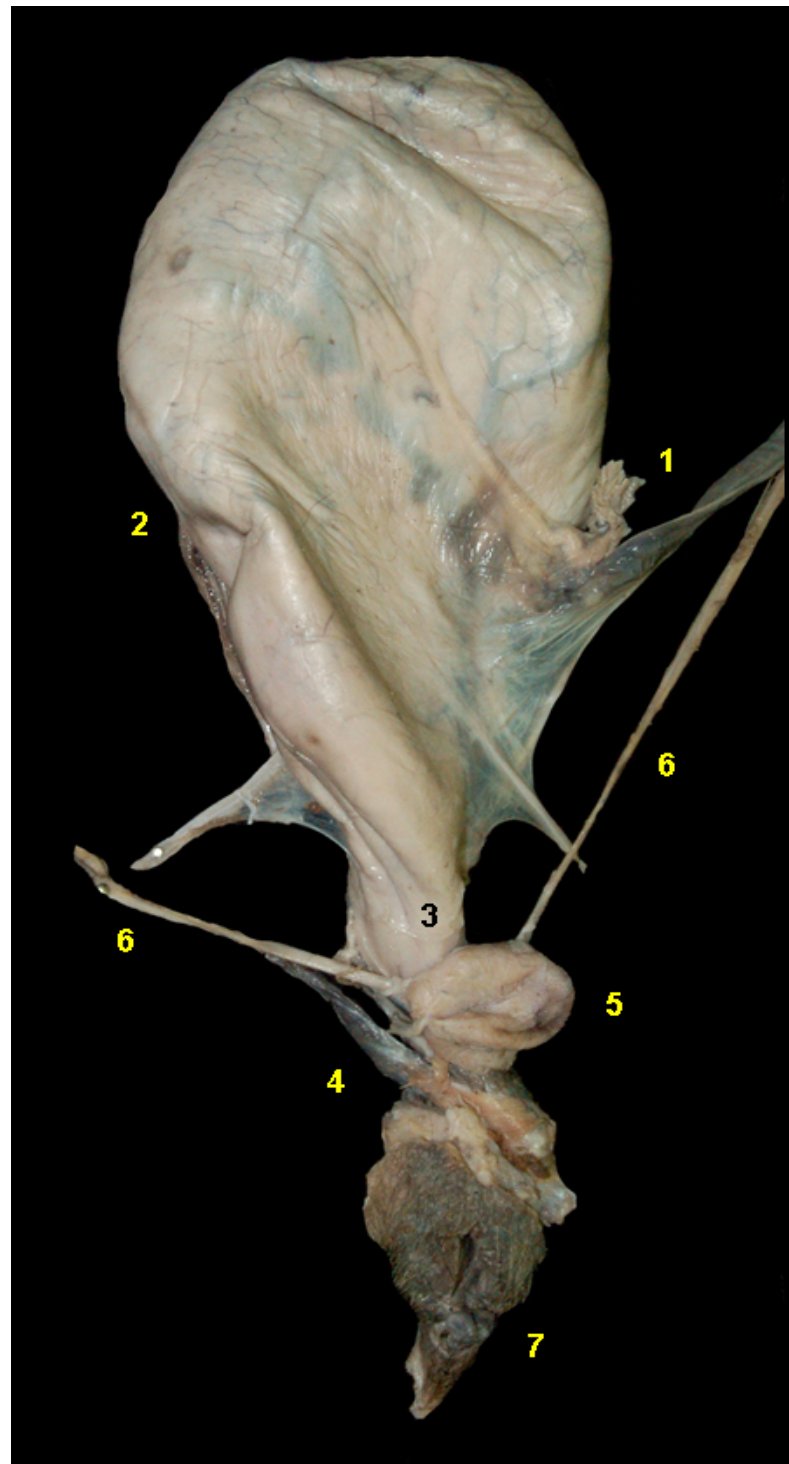


Figura 6.216 - Visión ventral de los órganos abdominales de una hembra de mono machín negro (*Sapajus macrocephalus*) en periodo gestacional intermedio. 1. Trompa uterina; 2. Cuerpo uterino; 3. Cuello uterino; 4. Vagina; 5. Vejiga urinaria; 6. Uréteres; 7. Vulva.

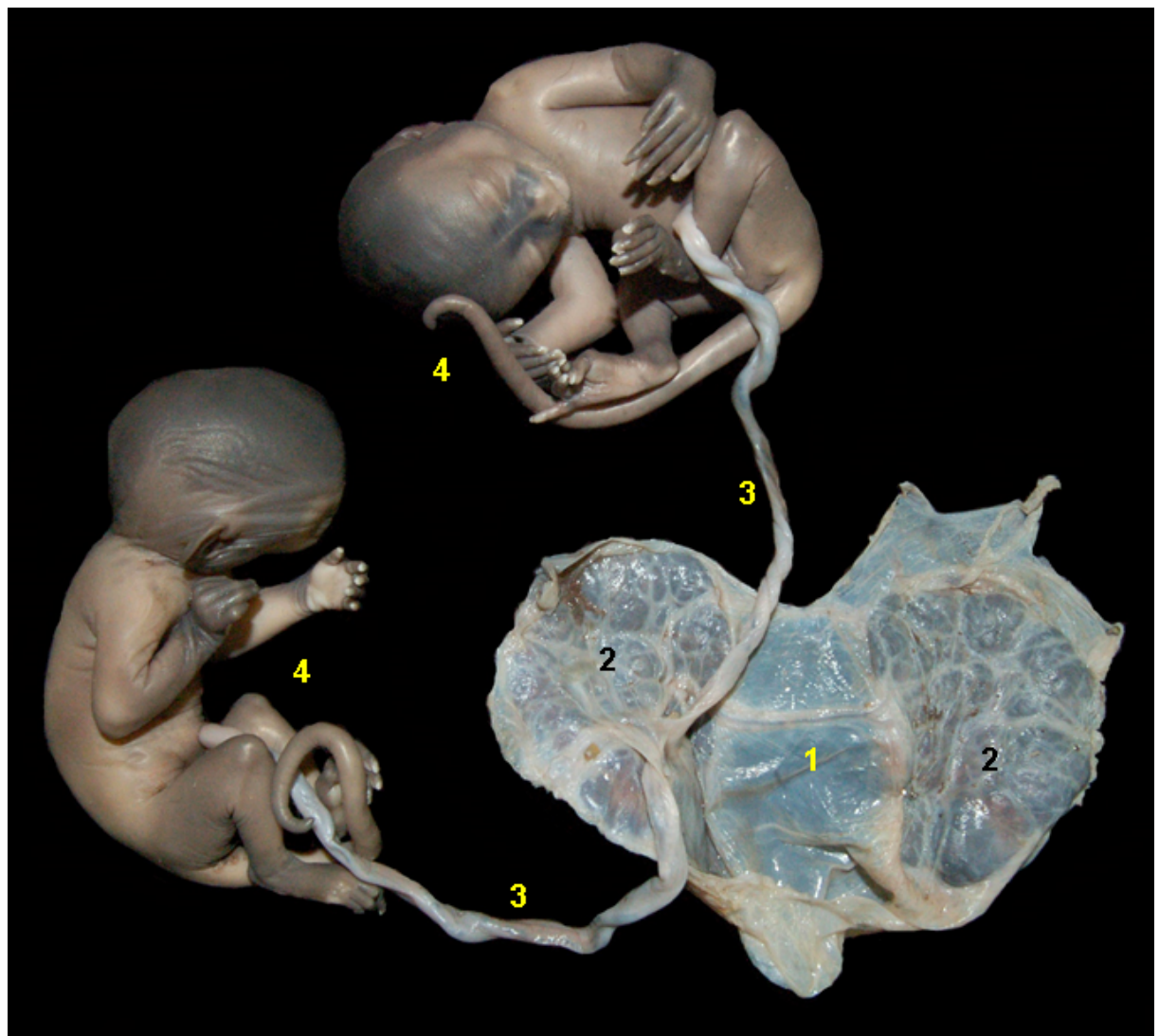
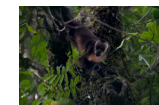


Figura 6.217 - Gestación gemelar. Saco coriónico y fetos en periodo gestacional intermedio de mono machín negro (*Sapajus macrocephalus*). Placenta discoidea, hemocorial y decidua. Esta especie presenta dos discos placentarios. 1. Saco coriónico; 2. Zona de contacto materno-fetal; 3. Cordones umbilicales; 4. Fetos.

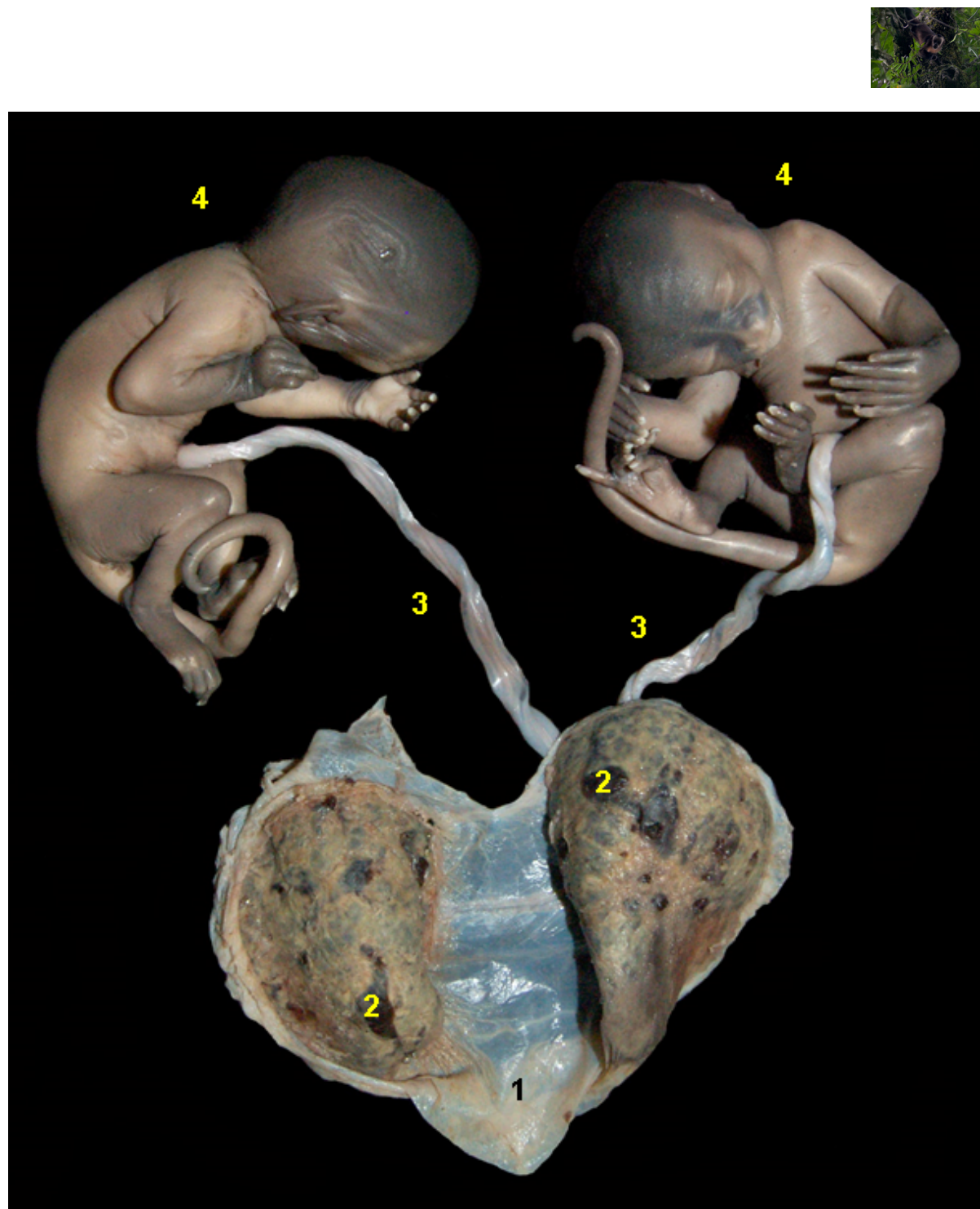


Figura 6.218 - Gestación gemelar. Saco coriônico y fetos en período gestacional intermedio de mono machín negro (*Sapajus macrocephalus*). Placenta discoidea, hemocorial y decidua. Esta especie presenta dos discos placentarios. 1. Saco coriônico; 2. Zona de contacto materno-fetal; 3. Cordones umbilicales; 4. Fetos.

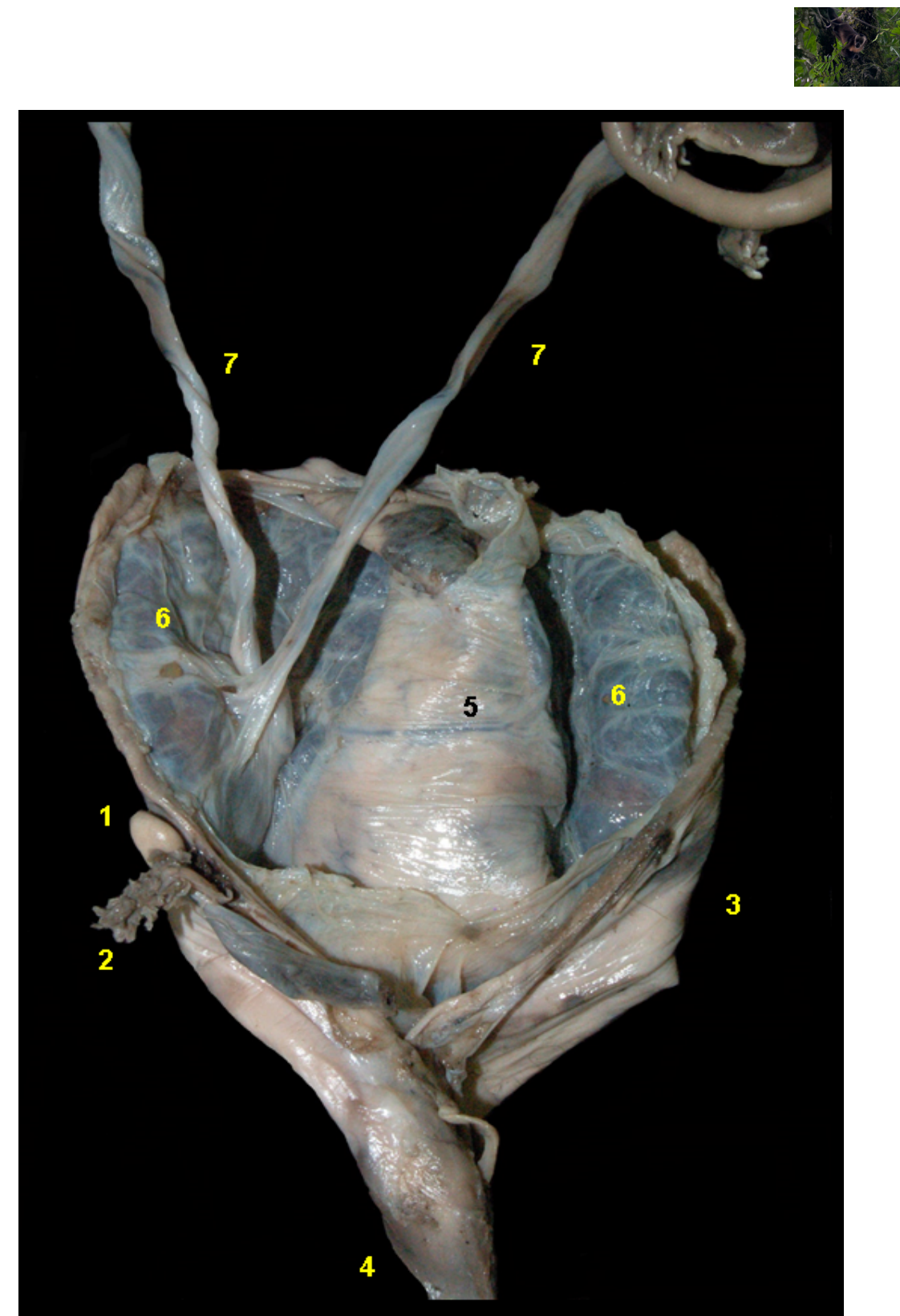


Figura 6.219 - Órganos urogenitales de una hembra de mono machín negro (*Sapajus macrocephalus*) en período gestacional intermedio. Se ha abierto el cuerpo del útero y el saco coriônico, y se han separado los fetos. Gestación gemelar. Placenta discoidea, hemocorial y decidua. Esta especie presenta dos áreas discoideas de contacto materno-fetal. 1. Ovario; 2. Fimbrias de la trompa uterina; 3. Cuerpo uterino; 4. Cuello uterino; 5. Saco coriônico; 6. Zona de contacto materno-fetal; 7. Cordones umbilicales.



MONO BARRIGUDO (*Lagothrix poeppigii*)

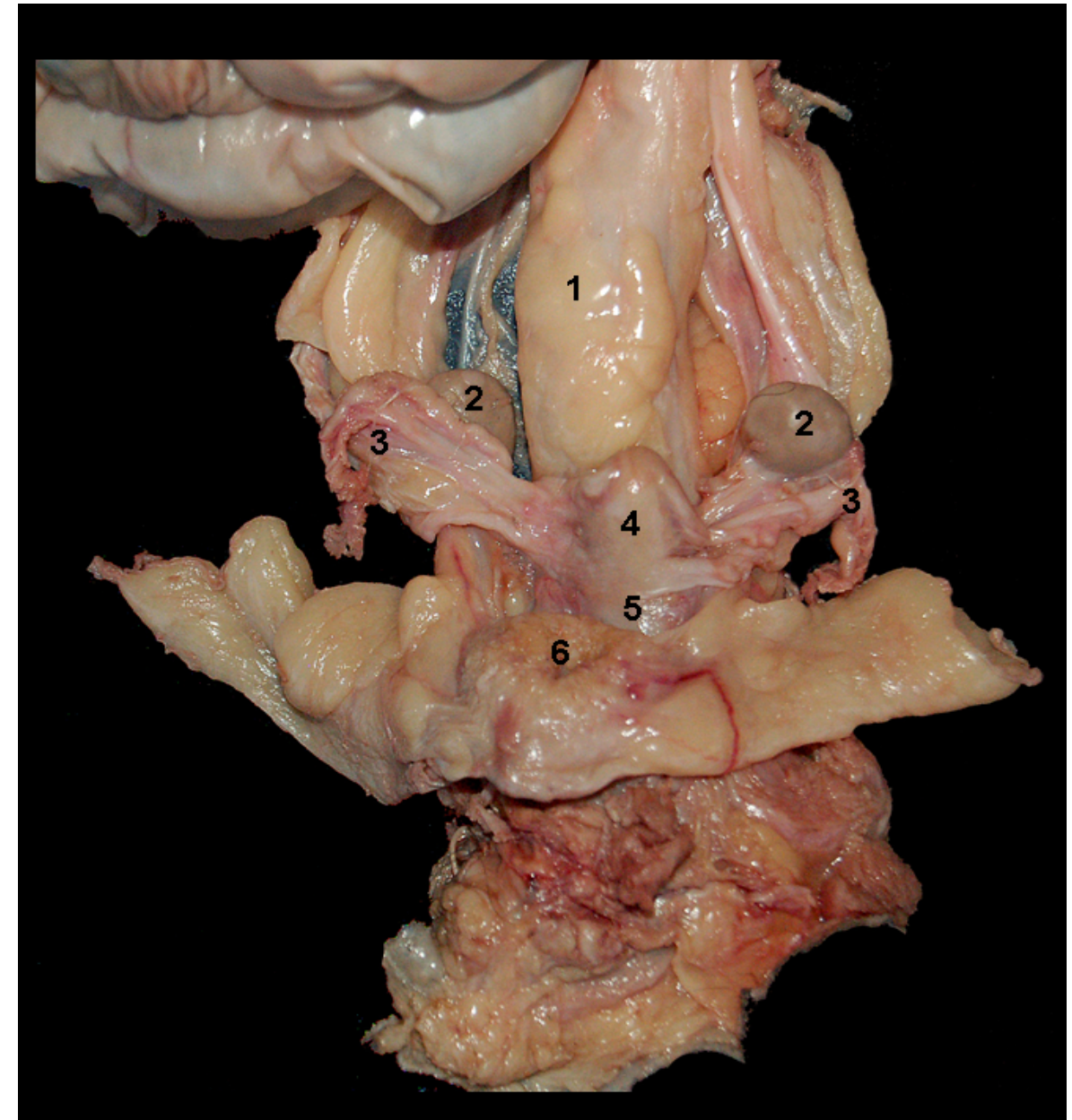


Figura 6.220 - Visión ventral de los órganos urogenitales femeninos de mono barrigudo (*Lagothrix poeppigii*). 1. Colon descendente; 2. Ovarios; 3. Trompas uterinas; 4. Cuerpo uterino; 5. Cuello uterino; 6. Vejiga urinaria.

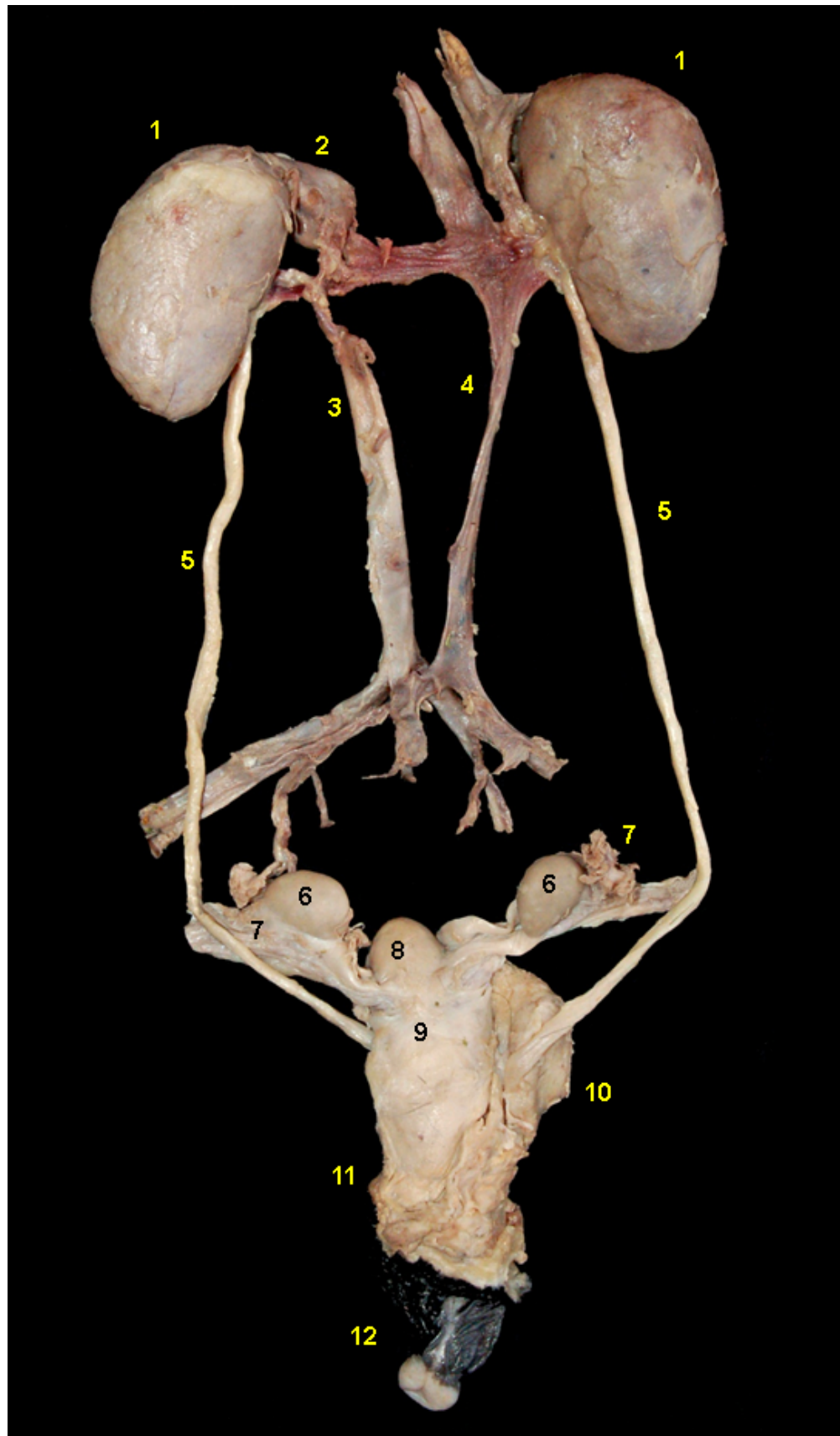


Figura 6.221 - Visión dorsal de los órganos urogenitales femeninos de mono barrigudo (*Lagothrix poeppigii*). 1. Riñones; 2. Glándulas adrenales; 3. Aorta abdominal; 4. Vena cava caudal; 5. Uréteres; 6. Ovarios; 7. Trompas uterinas; 8. Cuerpo uterino; 9. Cuello uterino; 10. Vejiga urinaria; 11. Vagina; 12. Clítoris.

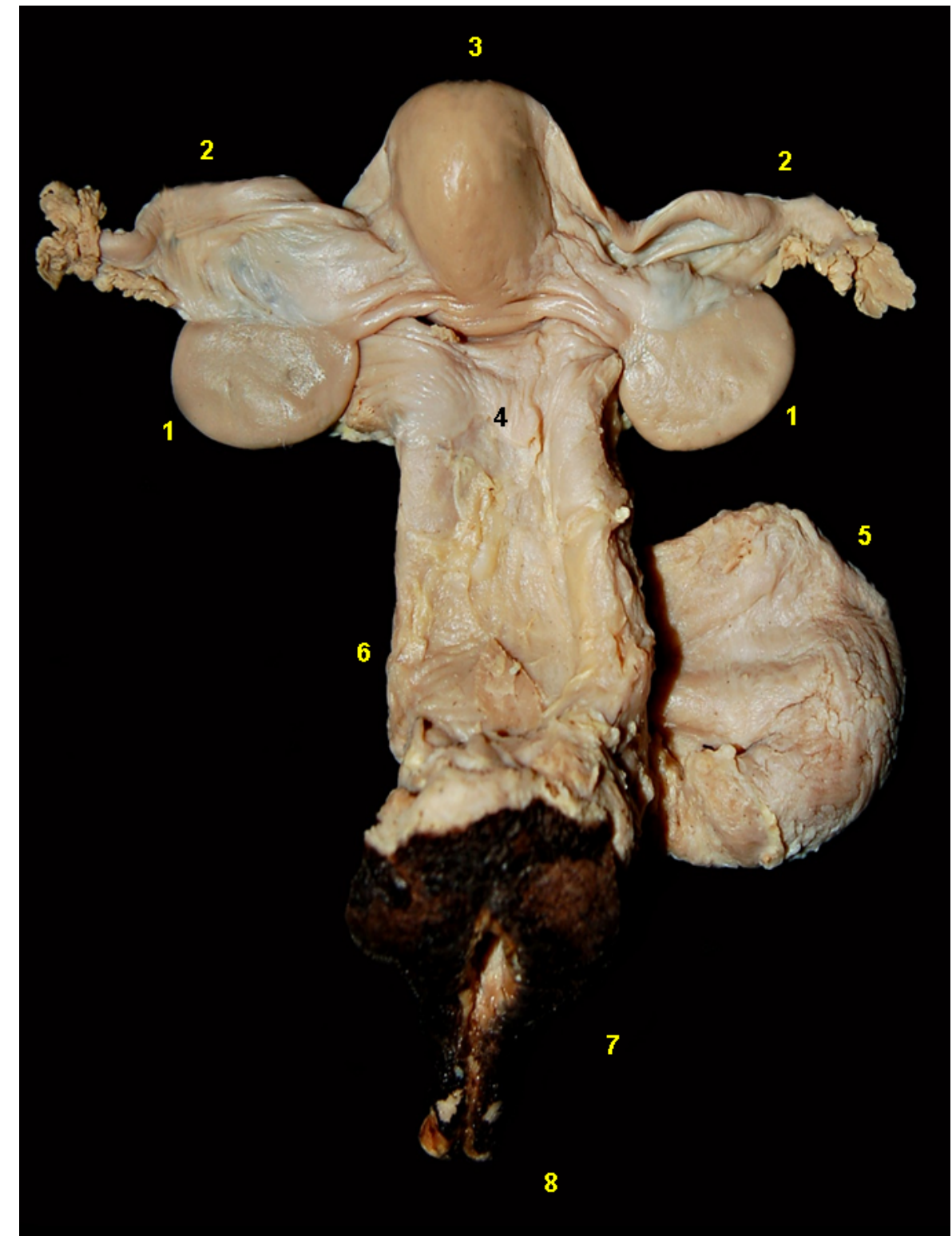


Figura 6.222 - Visión dorsal de los órganos urogenitales femeninos de mono barrigudo (*Lagothrix poeppigii*). 1. Ovarios; 2. Trompas uterinas; 3. Cuerpo uterino; 4. Cuello uterino; 5. Vejiga urinaria; 6. Vagina; 7. Vulva; 8. Clítoris.

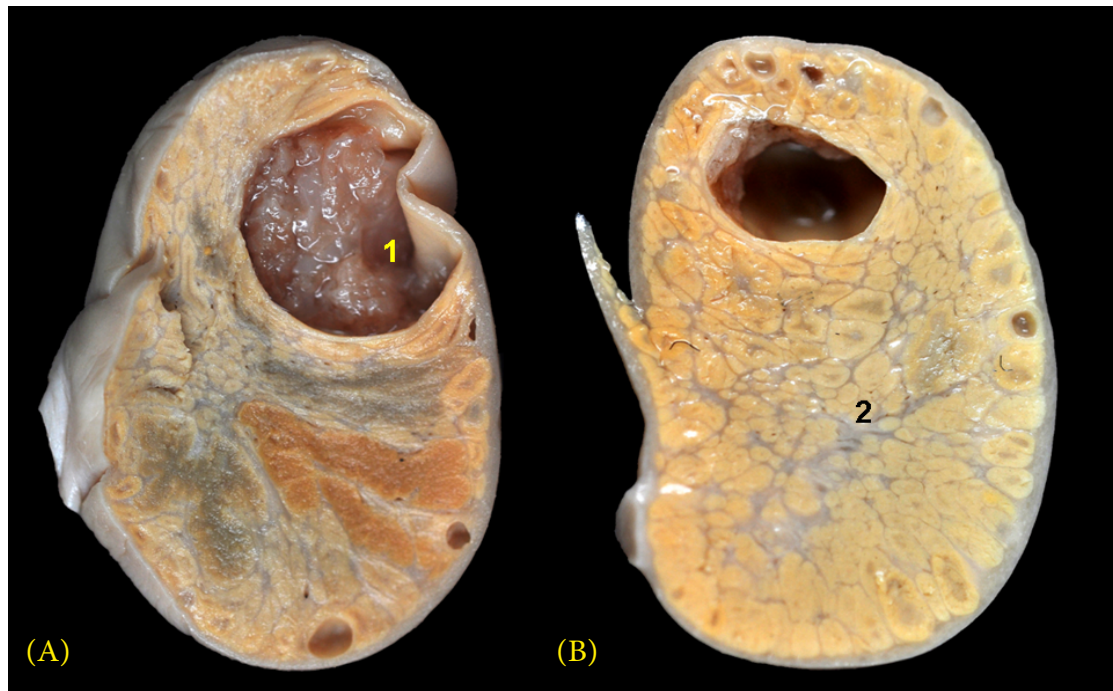


Figura 6.223 - Secciones de ovarios de hembras de mono barrigudo (*Lagothrix poeppigii*) en (A) fase folicular y (B) en fase lútea. 1. Folículo pre-ovulatorio; 2. Cuerpo lúteo de gestación con cavidad antral.

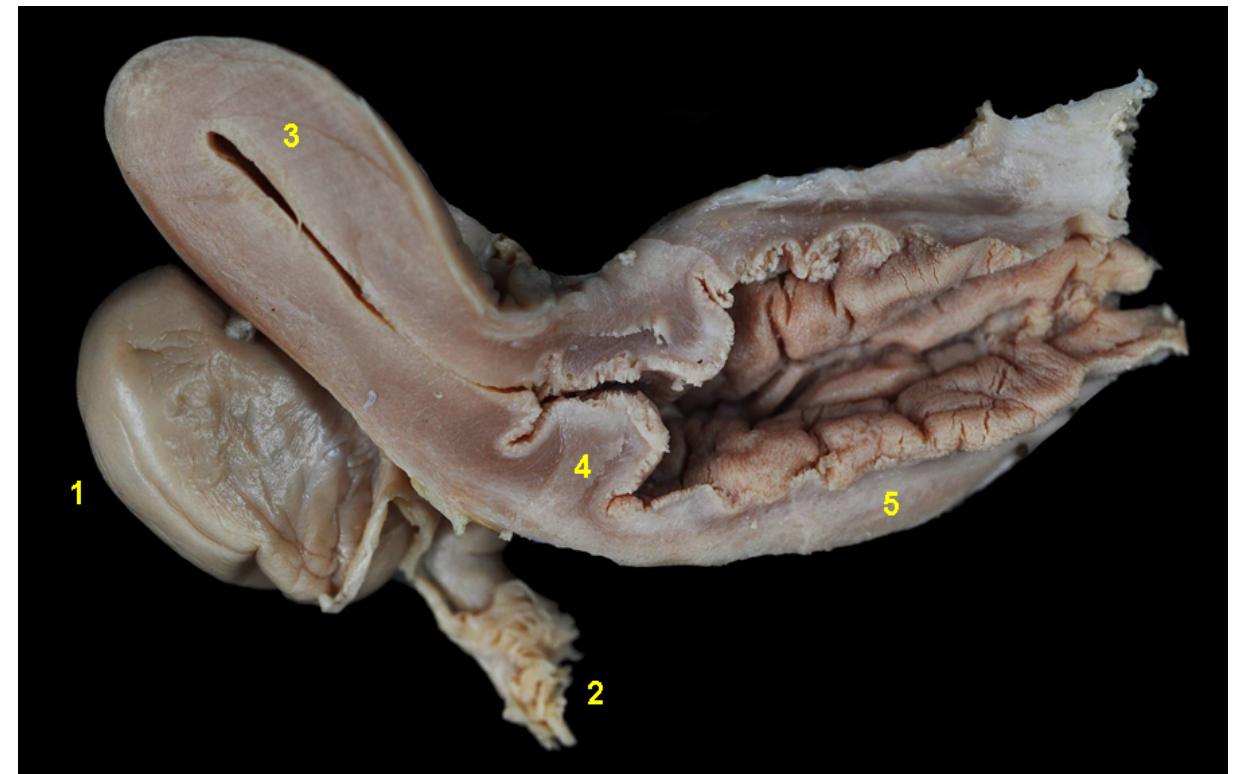


Figura 6.225 - Corte longitudinal de los órganos urogenitales de una hembra de mono barrigudo (*Lagothrix poeppigii*). 1. Ovario; 2. Infundíbulo de la trompa uterina; 3. Cuerpo uterino; 4. Cuello uterino; 5. Vagina.

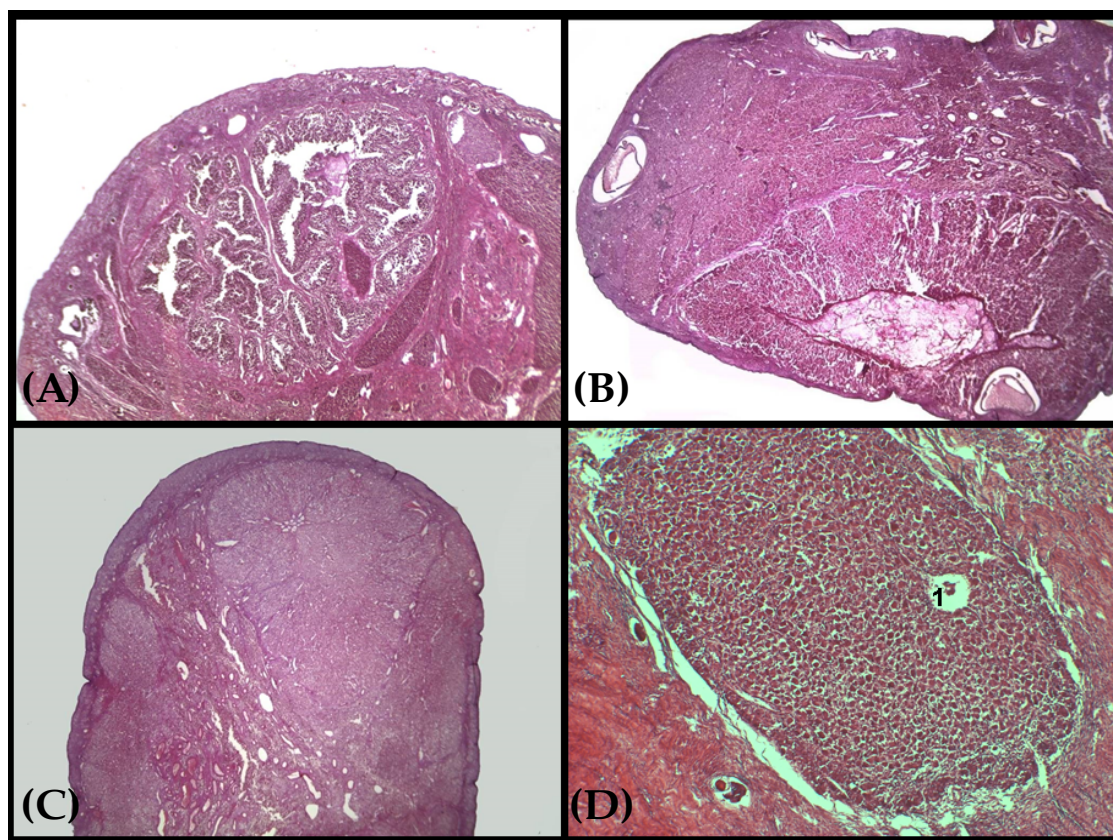


Figura 6.224 - Secciones histológicas de ovarios de mono barrigudo (*Lagothrix poeppigii*). A - Cuerpo lúteo hemorrágico. B - Cuerpo lúteo hemorrágico en formación. C - Cuerpo lúteo de gestación. D - Cuerpo lúteo accesorio. 1. Zona pelúcida de un ovocito no-ovulado y atrofiado.

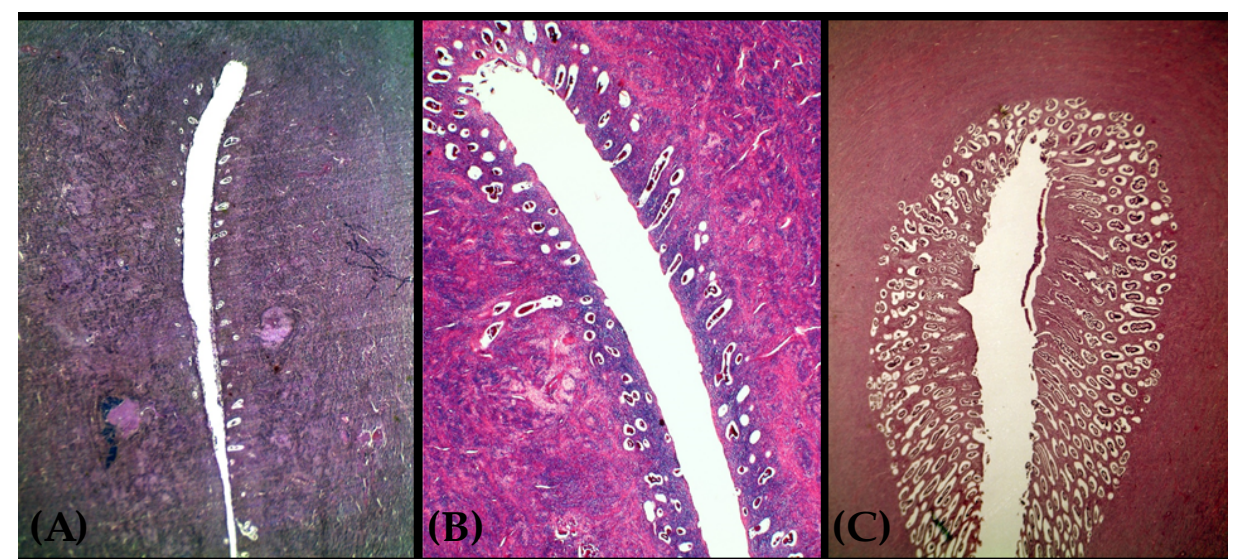


Figura 6.226 - Secciones histológicas del cuerpo uterino de la hembra de mono barrigudo (*Lagothrix poeppigii*) en (A) fase folicular-proliferativa temprana, (B) en fase folicular-proliferativa intermedia y (C) fase luteal-secretrora del ciclo estral. Se observa el crecimiento progresivo del endometrio y de las glándulas endometriales. En la fase luteal-secretrora se observa una mayor densidad de las glándulas endometriales.

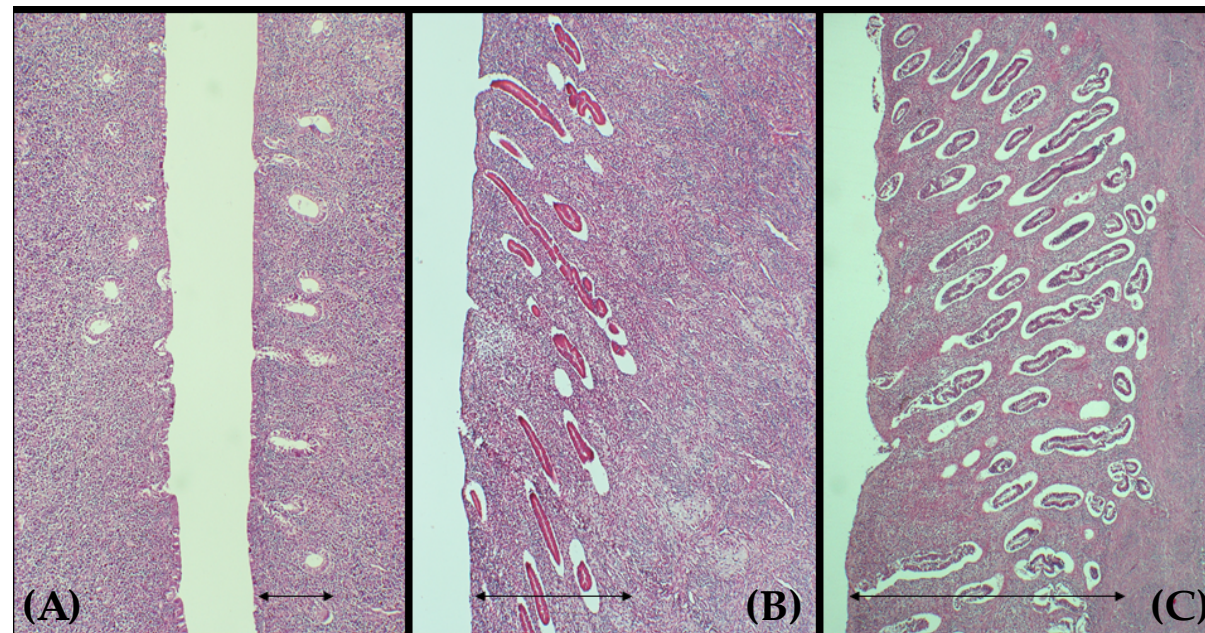


Figura 6.227 - Secciones histológicas del cuerpo uterino de la hembra de mono barrigudo (*Lagothrix poeppigii*) en (A) fase folicular-proliferativa temprana, (B) en fase folicular-proliferativa intermedia y (C) fase luteal-secretrora del ciclo estral. Se observa el crecimiento progresivo del endometrio y de las glándulas endometriales. En la fase luteal-secretrora se observa una mayor sinuosidad y secreción de las glándulas endometriales.

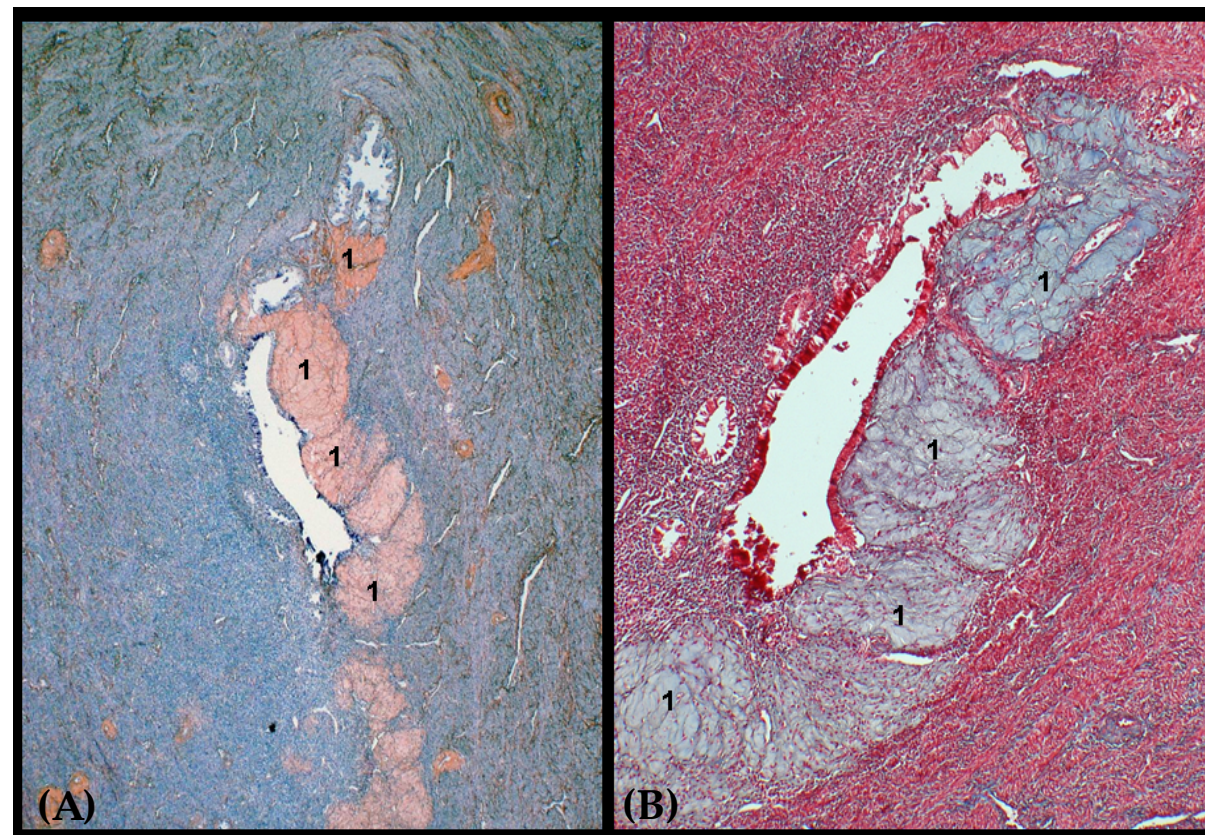


Figura 6.228 - Secciones histológicas del cuerpo uterino de la hembra de mono barrigudo (*Lagothrix poeppigii*) en fase folicular-proliferativa temprana. No se observan glándulas endometriales porque el endometrio funcional se ha desprendido. A - Tinción por ácido fototúngstico. B - Tinción por tricrómica de Masson. 1. Coágulos de fibrina con la función de reparar el endometrio dañado debido a la menstruación.

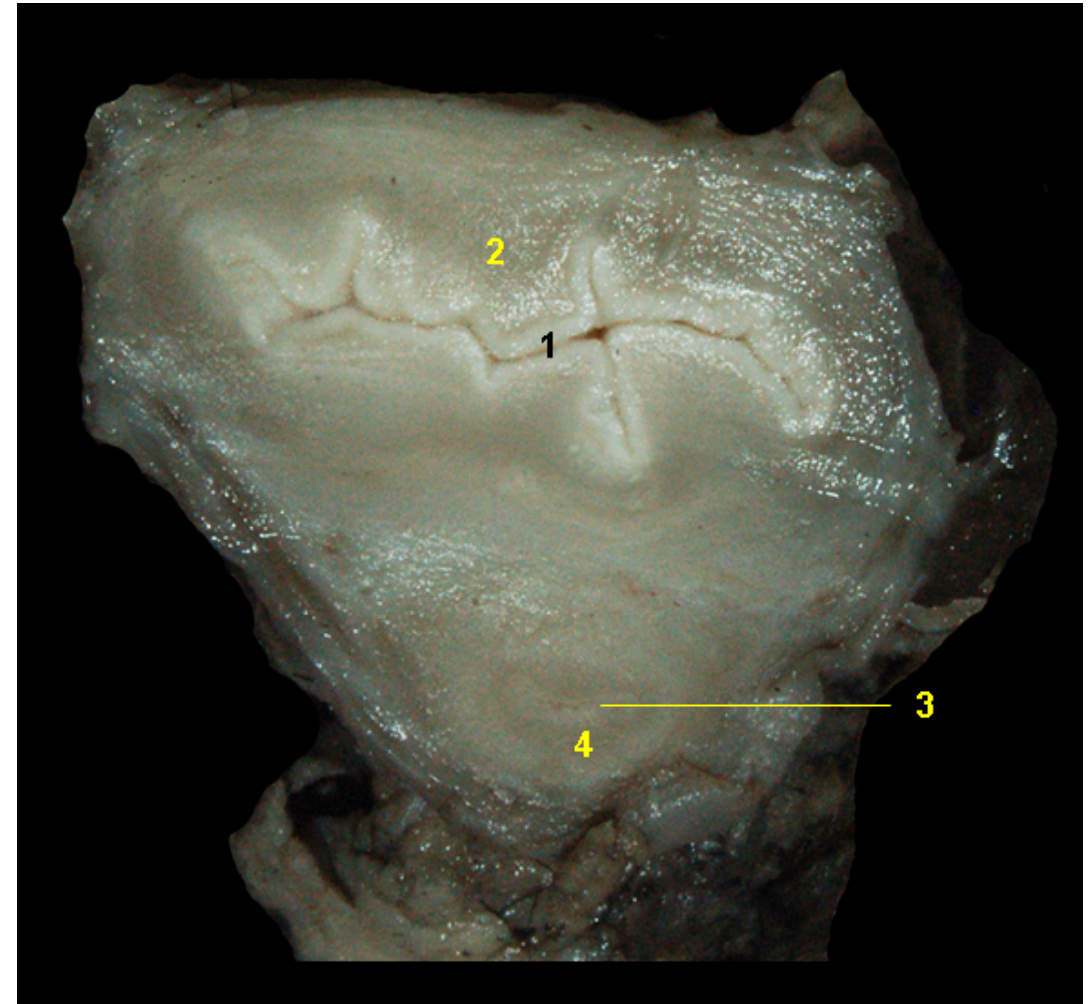


Figura 6.229 - Corte transversal de los órganos urogenitales femeninos del mono barrigudo (*Lagothrix poeppigii*). 1. Epitelio vaginal; 2. Musculo vaginal; 3. Uretra; 4. Musculo uretral.

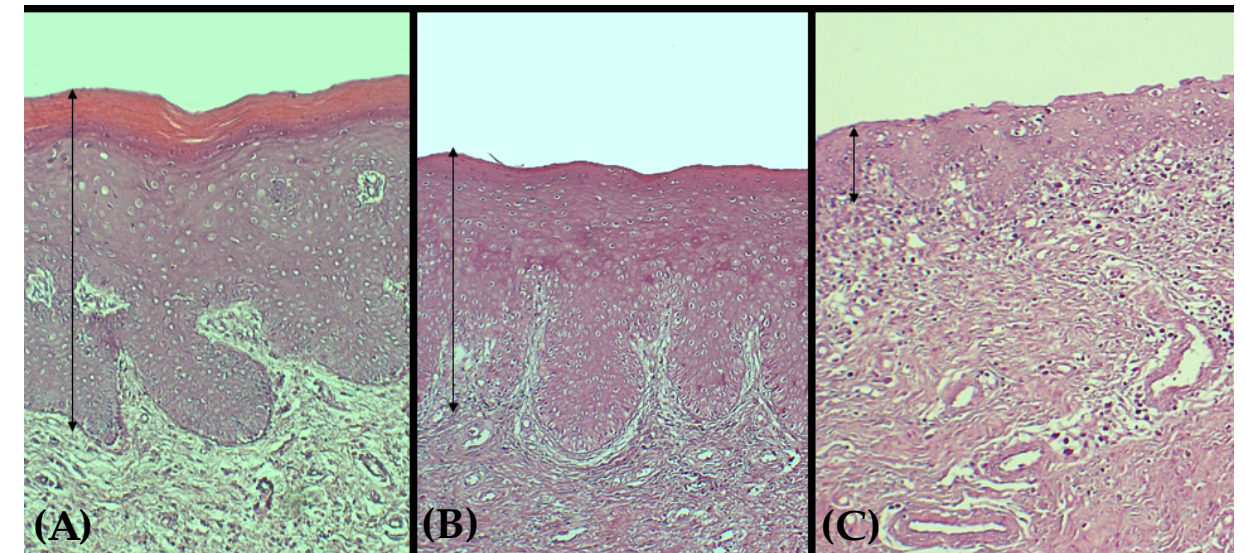


Figura 6.230 - Secciones histológicas de la vagina de la hembra de mono barrigudo (*Lagothrix poeppigii*) en (A) fase folicular, (B) en fase luteal y (C) en gestación. Se observa el gran desarrollo y cornificación del epitelio vaginal en fase folicular.

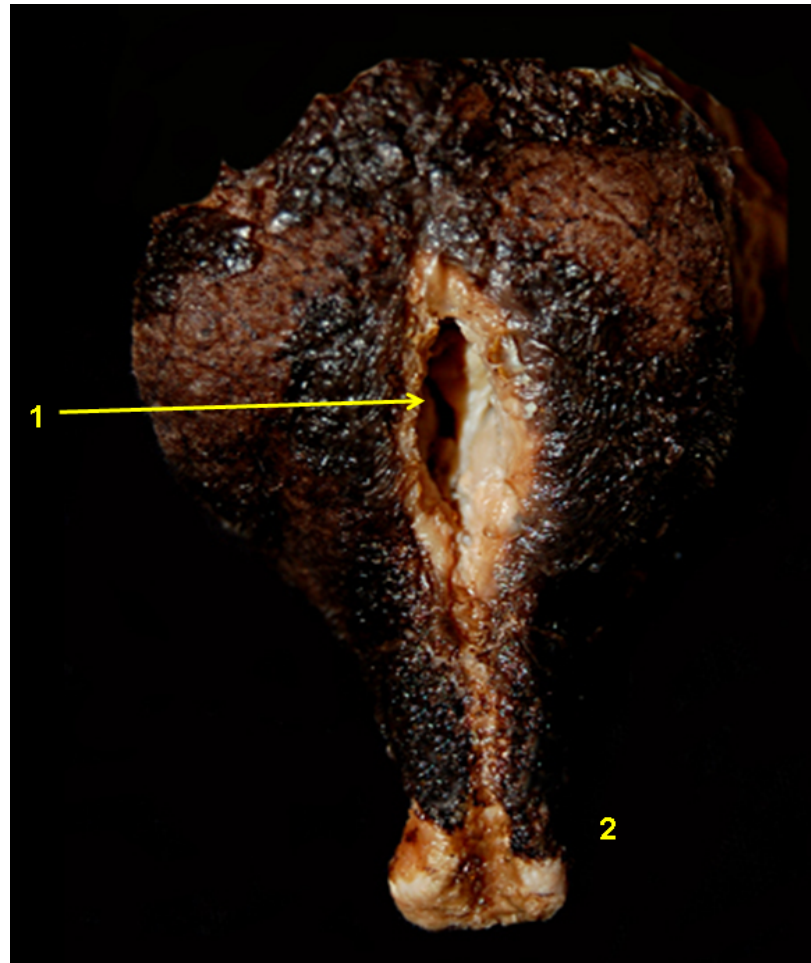
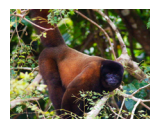


Figura 6.231 - Visión caudal de la vulva del mono barri-gudo (*Lagothrix poeppigii*). 1. Hendidura vulvar; 2. Clítoris.

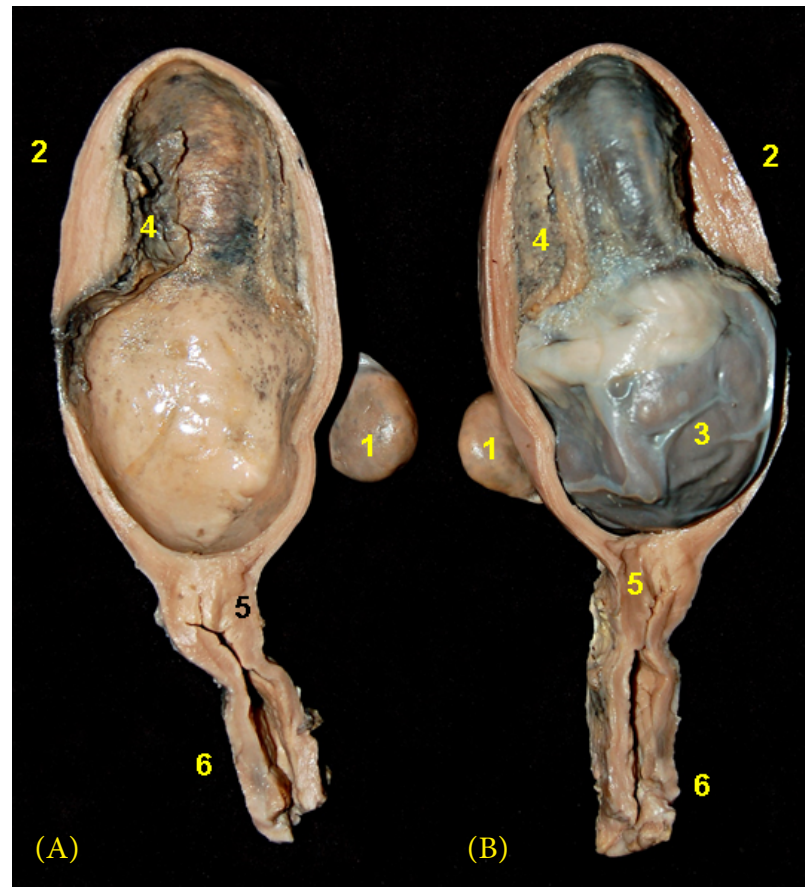


Figura 6.232 - Corte longitudinal de los órganos genitales de una hembra de mono barri-gudo (*Lagothrix poeppigii*) en periodo gestacional intermedio. Después de la sección se observan las dos mitades del tracto genital.. A - Mitad derecha y B - Mitad izquierda del mismo saco coriónico. Placenta discoidea, decidua y hemocorial. Hay un área discoidea única de contacto materno-fetal. 1. Ovario; 2. Cuello uterino; 3. Saco coriónico; 4. Zona discoidea de contacto materno-fetal; 5. Cuello uterino; 6. Vagina.

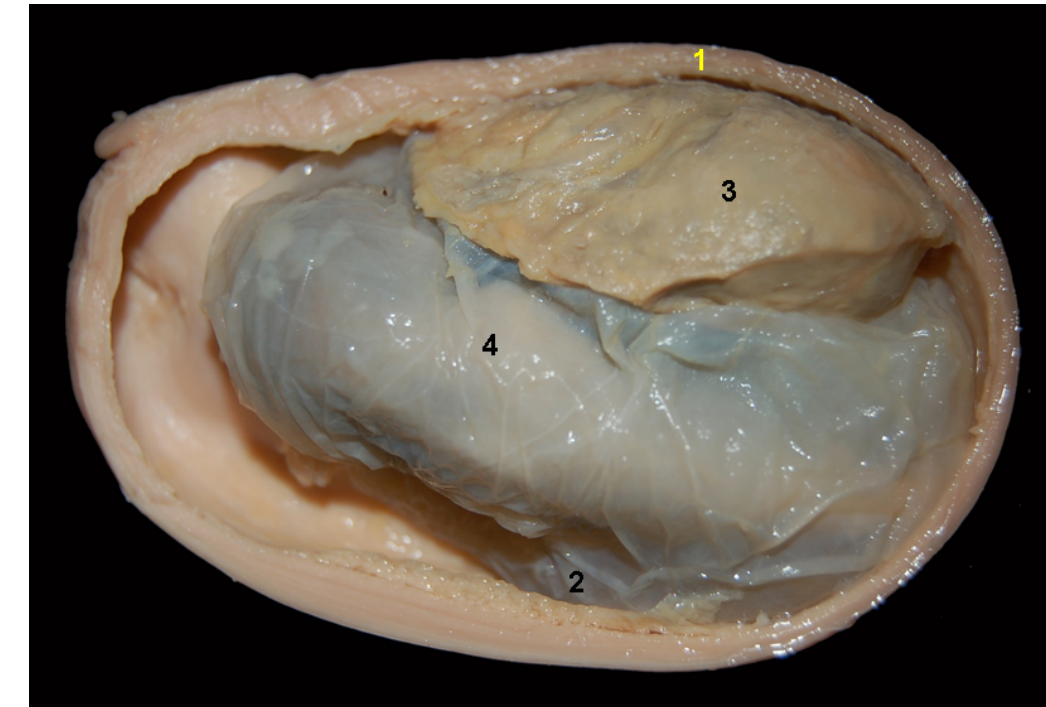


Figura 6.233 - Corte transversal de los órganos genitales de una hembra de mono barrigudo (*Lagothrix poeppigii*) en periodo gestacional intermedio. Placenta discoidea, decidua y hemocorial. Hay un área discoidea única de contacto materno-fetal. 1. Pared del cuerpo uterino; 2. Saco coriónico; 3. Zona discoidea de contacto materno-fetal; 4. Feto dentro del saco coriónico.

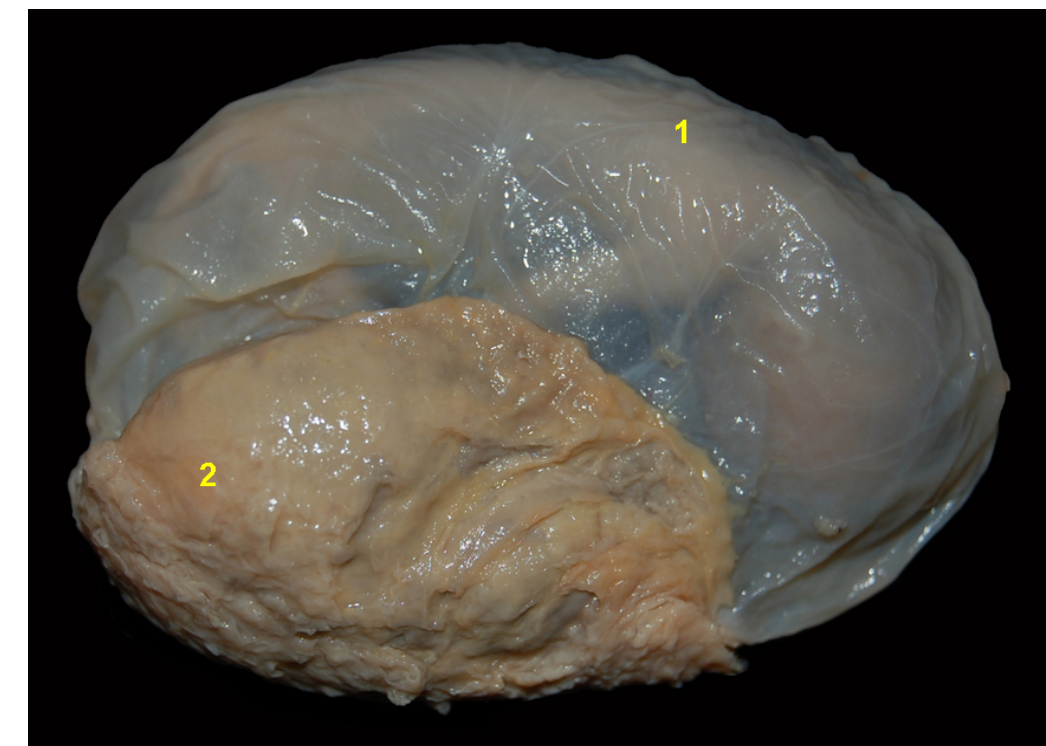


Figura 6.234 - Membranas fetales y feto de mono barrigudo (*Lagothrix poeppigii*) en periodo gestacional intermedio. Placenta discoidea, decidua y hemocorial. Hay un área discoidea única de contacto materno-fetal. 1. Saco coriónico; 2. Zona discoidea de contacto materno-fetal.

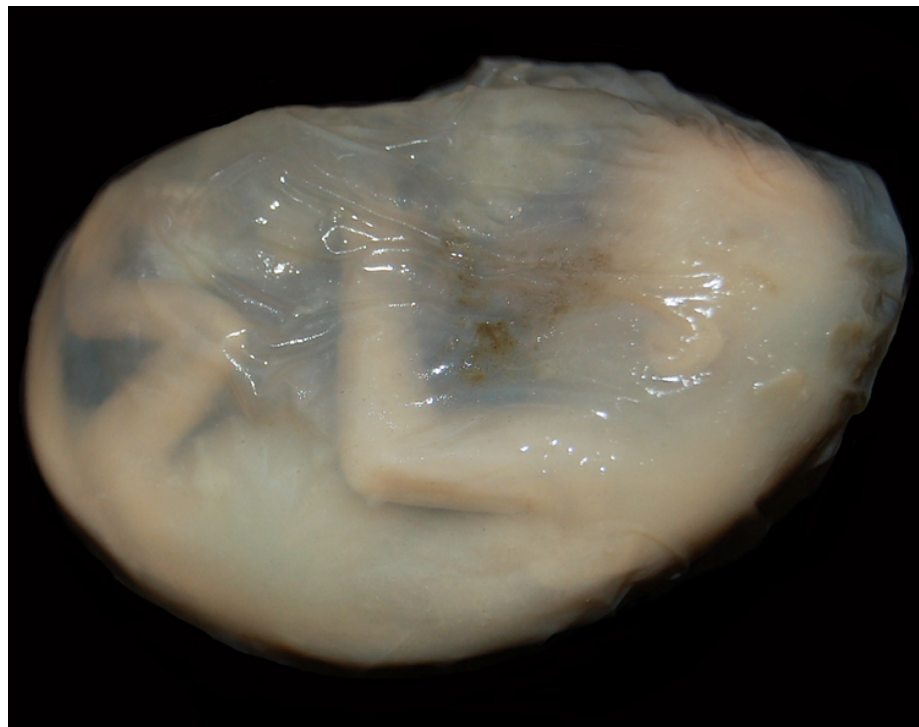


Figura 6.235 - Membranas fetales y feto de mono barrigudo (*Lagothrix poeppigii*) en periodo gestacional intermedio. Placenta discoidea, decidua y hemocorial. El feto se transmite a través de la membrana corioalantoidea.

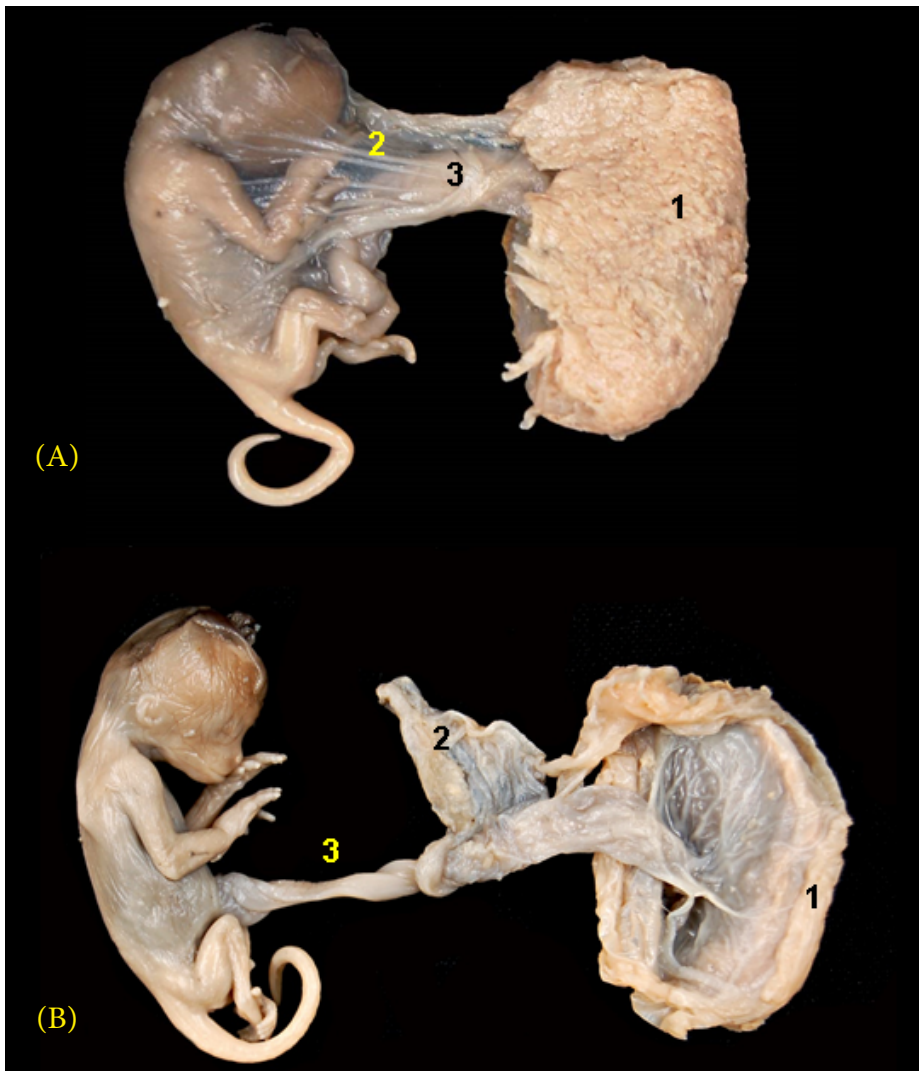


Figura 6.236 - Membranas fetales y feto de mono barrigudo (*Lagothrix poeppigii*) en periodo gestacional intermedio. Placenta discoidea, decidua y hemocorial. Se han seccionado y retirado la membrana corioalantoidea (A) y amnios (B). Esta placenta tiene un área discoidea de contacto materno-fetal.. 1. Zona discoidea de contacto materno-fetal; 2. Amnios; 3. Cordón umbilical.



Figura 6.237 - Membranas fetales y feto de mono barrigudo (*Lagothrix poeppigii*) en periodo gestacional intermedio. Placenta discoidea, decidua y hemocorial. Se han seccionado y retirado la membrana corioalantoidea y amnios. Esta placenta tiene un área discoidea de contacto materno-fetal. 1. Membrana corioalantoidea; 2. Zona discoidea de contacto materno-fetal; 3. Cordón umbilical.



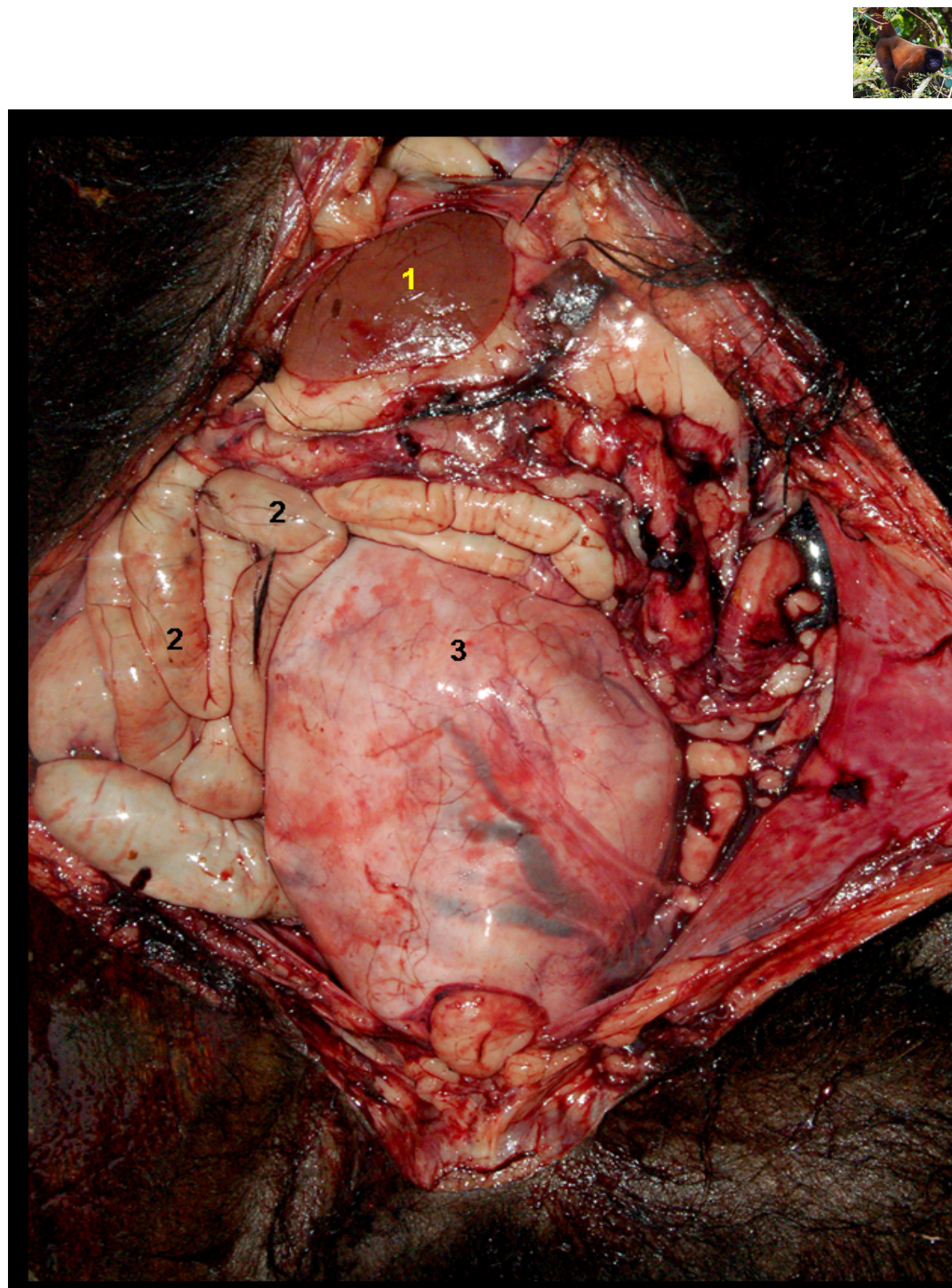


Figura 6.238 - Visión ventral *in situ* de los órganos abdominales de una hembra gestante de mono barrigudo (*Lagothrix poeppigii*). 1. Hígado; 2. Asas intestinales; 3. Cuerpo uterino gestante.

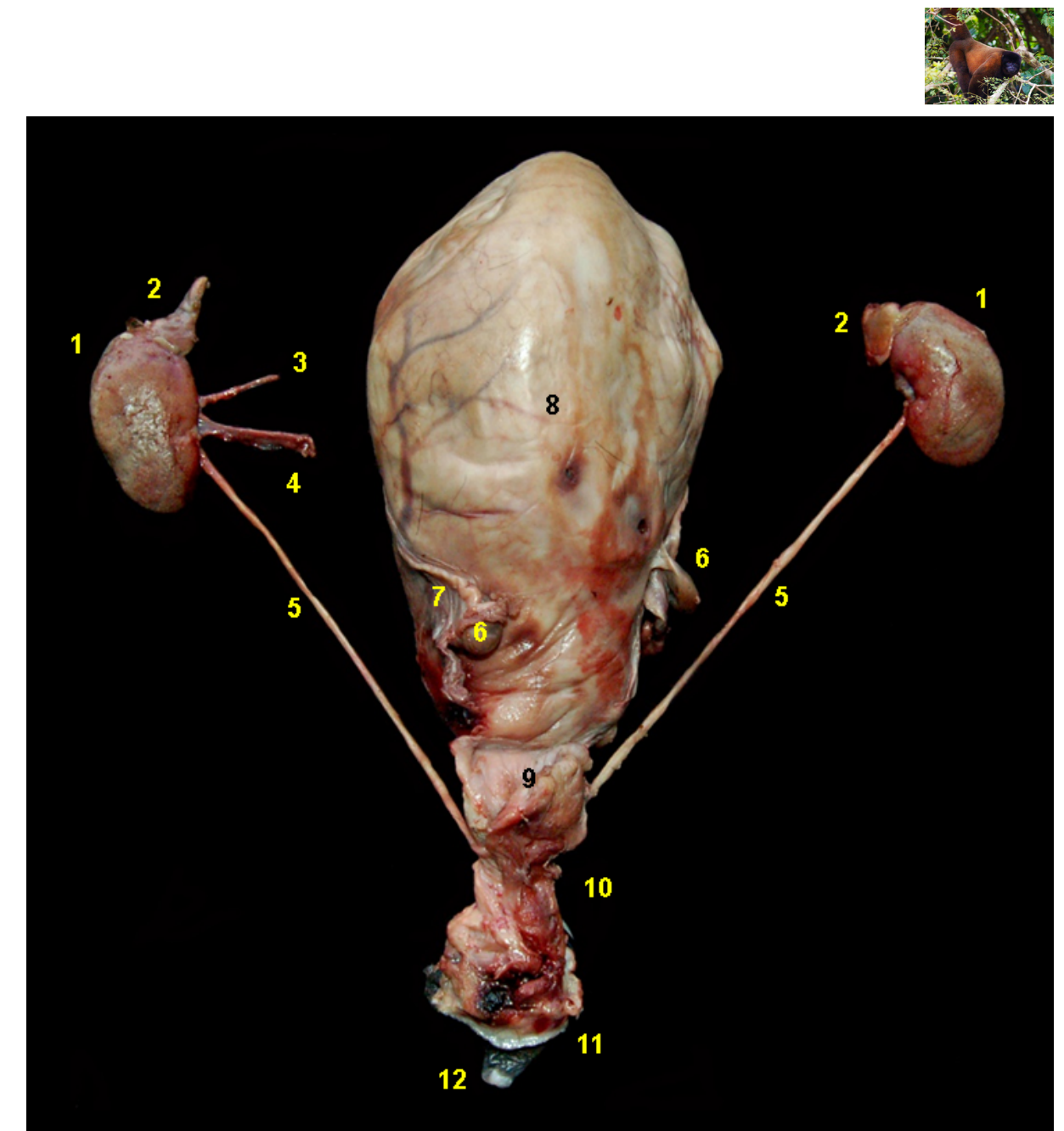


Figura 6.239 - Visión dorsal de los órganos urogenitales femeninos de mono barrigudo (*Lagothrix poeppigii*) en periodo gestacional intermedio. 1. Riñones; 2. Glándulas adrenales; 3. Arteria renal; 4. Vena renal; 5. Uréteres; 6. Ovarios; 7. Trompa uterina; 8. Cuerpo uterino; 9. Cuello uterino; 10. Vagina; 11. Vulva; 12. Clítoris.



Figura 6.240 - Membranas fetales y feto de mono barrigudo (*Lagothrix poeppigii*) después de abrir el cuerpo uterino. Placenta discoidea, decidua y hemocorial. 1. Cuerpo uterino; 2. Saco coriónico; 3. Cuello uterino.

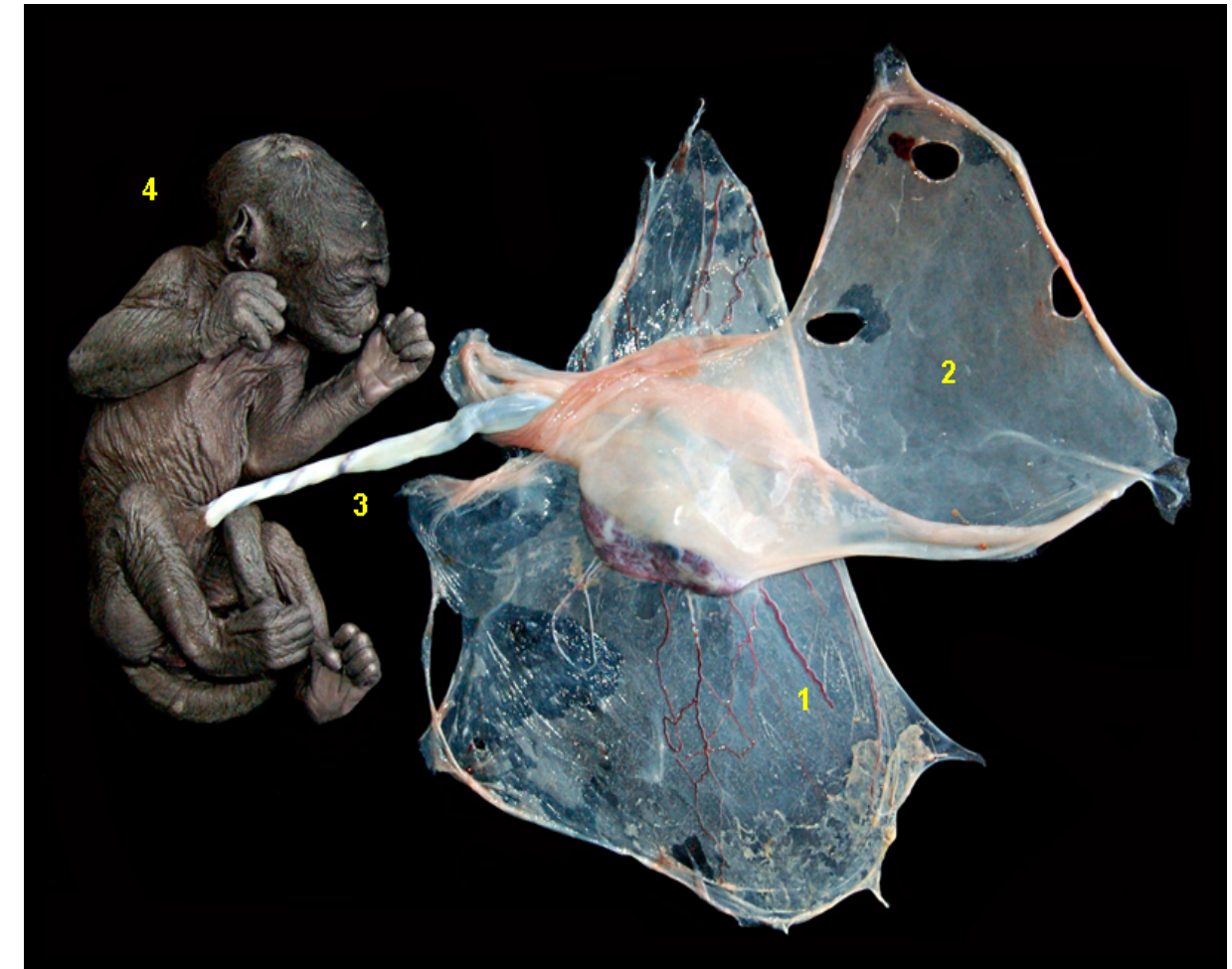


Figura 6.242 - Membranas fetales y feto de mono barrigudo (*Lagothrix poeppigii*). Placenta discoidea, decidua y hemocorial. 1. Membrana corioalantoidea; 2. Saco amniótico; 3. Cordón umbilical; 4. Feto.

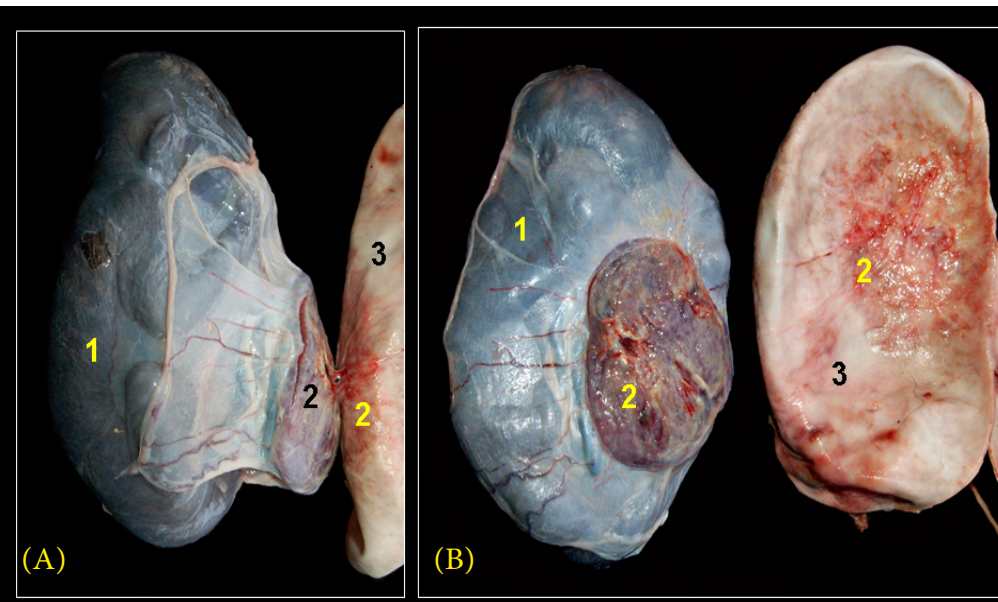


Figura 6.241 - Membranas fetales y feto de mono barrigudo (*Lagothrix poeppigii*). Placenta discoidea, decidua y hemocorial. Esta especie acostuma a tener una área discoide de contacto materno-fetal. A - El área discoide mantiene el contacto con el útero; B - El área discoide está separada del útero. 1. Saco coriónico; 2. Zona de contacto materno-fetal; 3. Cuerpo uterino.

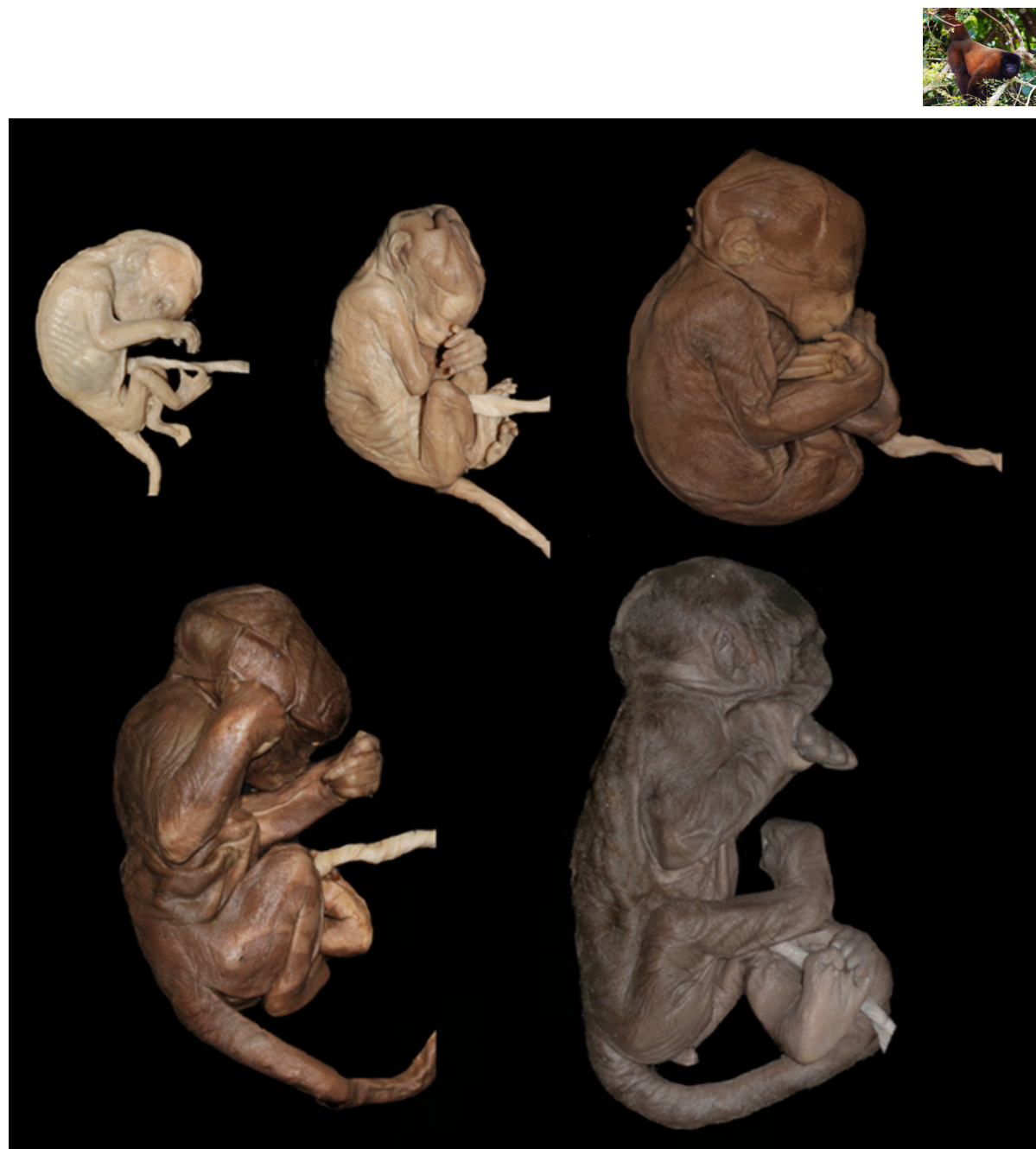


Figura 6.243 - Fetos de mono barrigudo (*Lagothrix poeppigii*) en diferentes estadios del desarrollo, desde etapas embrionarias hasta fetos próximos al parto.



MONO AULLADOR (*Alouatta seniculus*)

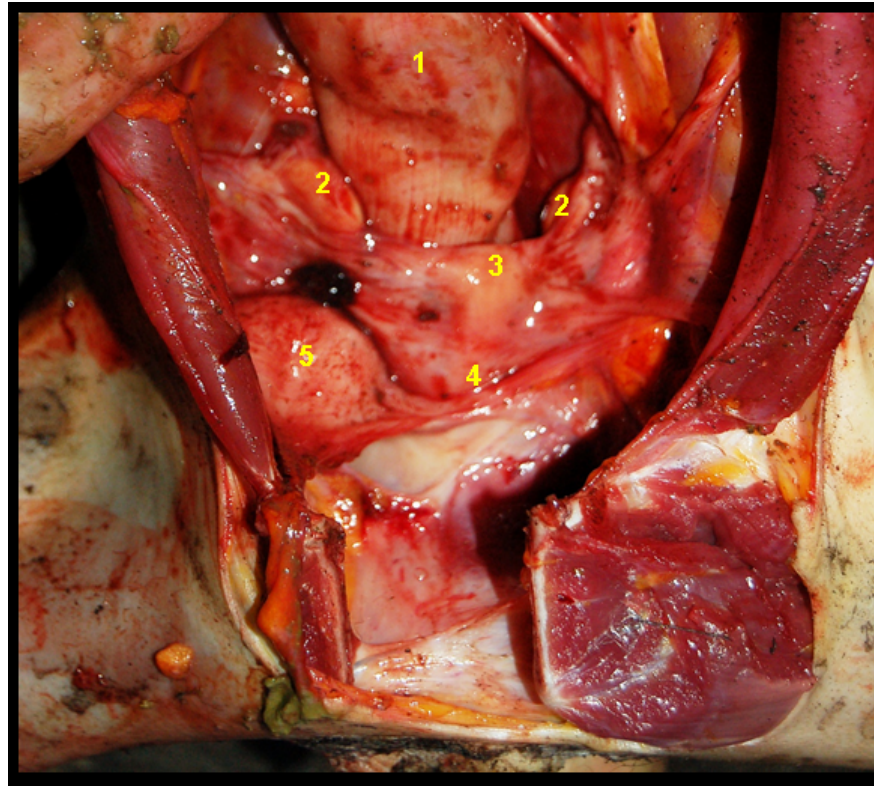


Figura 6.244 - Visión ventral *in situ* de los órganos abdominales y pélvianos de mono aullador (*Alouatta seniculus*). Se ha cortado la sínfisis pélvica.
1. Colon descendente; 2. Ovarios; 3. Cuerpo uterino; 4. Cuello uterino; 5. Vejiga urinaria.

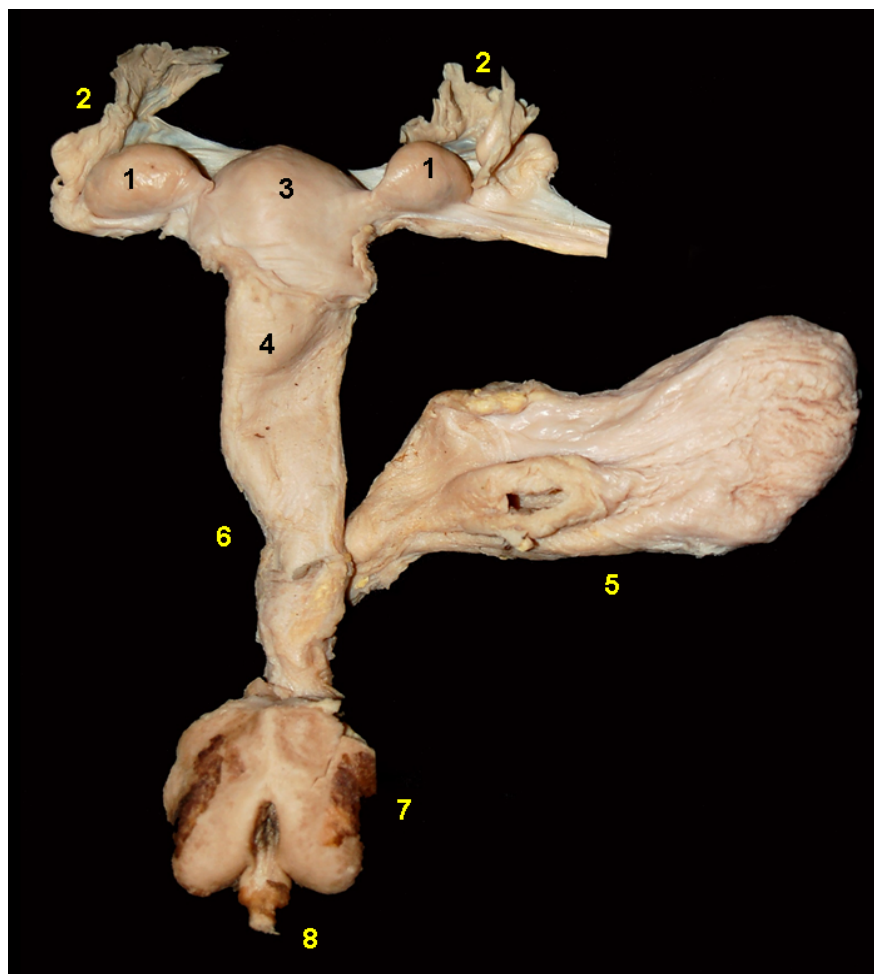


Figura 6.245 - Visión dorsal de los órganos genitales femeninos de mono aullador (*Alouatta seniculus*). 1. Ovario; 2. Trompas uterinas; 3. Cuerpo uterino; 4. Cuello uterino; 5. Vejiga urinaria; 6. Vagina; 7. Vulva; 8. Clítoris.

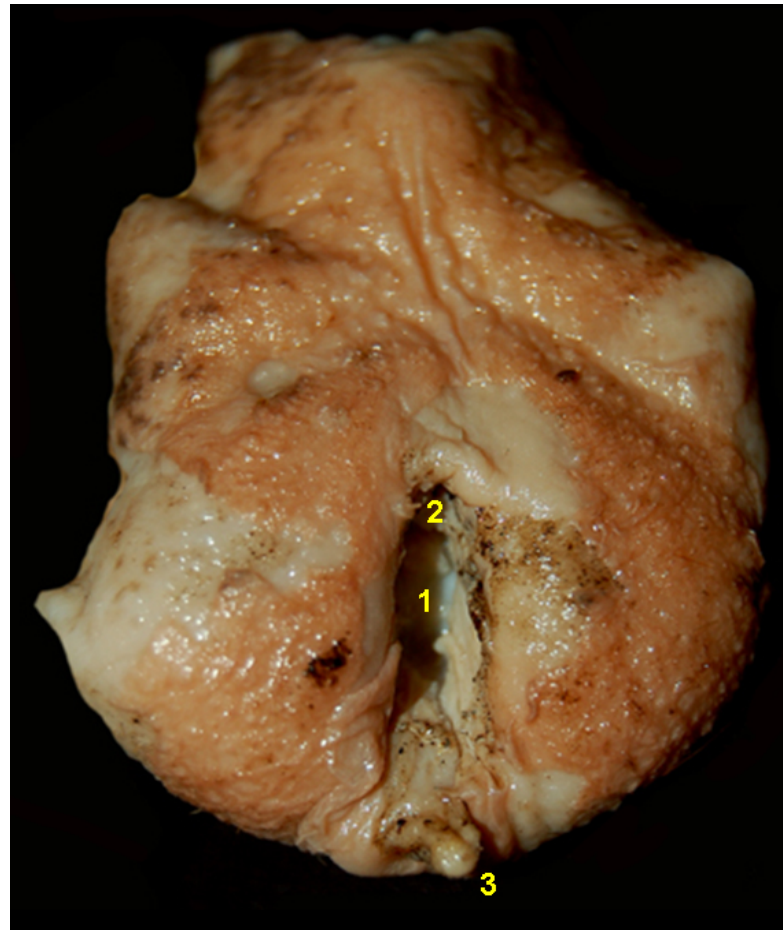


Figura 6.246 - Vulva de mono aullador (*Alouatta seniculus*).
1. Hendidura vulvar; 2. Comisura vulvar dorsal; 3. Clítoris.

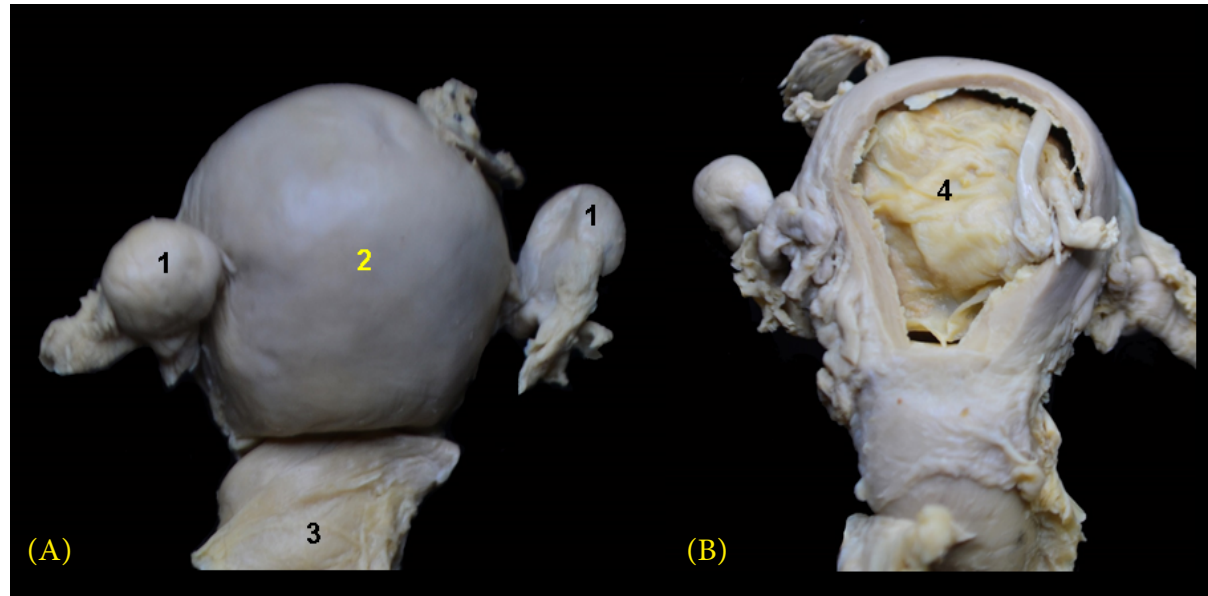


Figura 6.247 - Visión dorsal de los órganos genitales de una hembra de mono aullador (*Alouatta seniculus*) en periodo gestacional temprano. A - Útero intacto. B - Se ha seccionado la pared del cuerpo uterino para visualizar el saco coriónico. 1. Ovarios; 2. Cuerpo uterino; 3. Cuello uterino; 4. Saco coriónico.

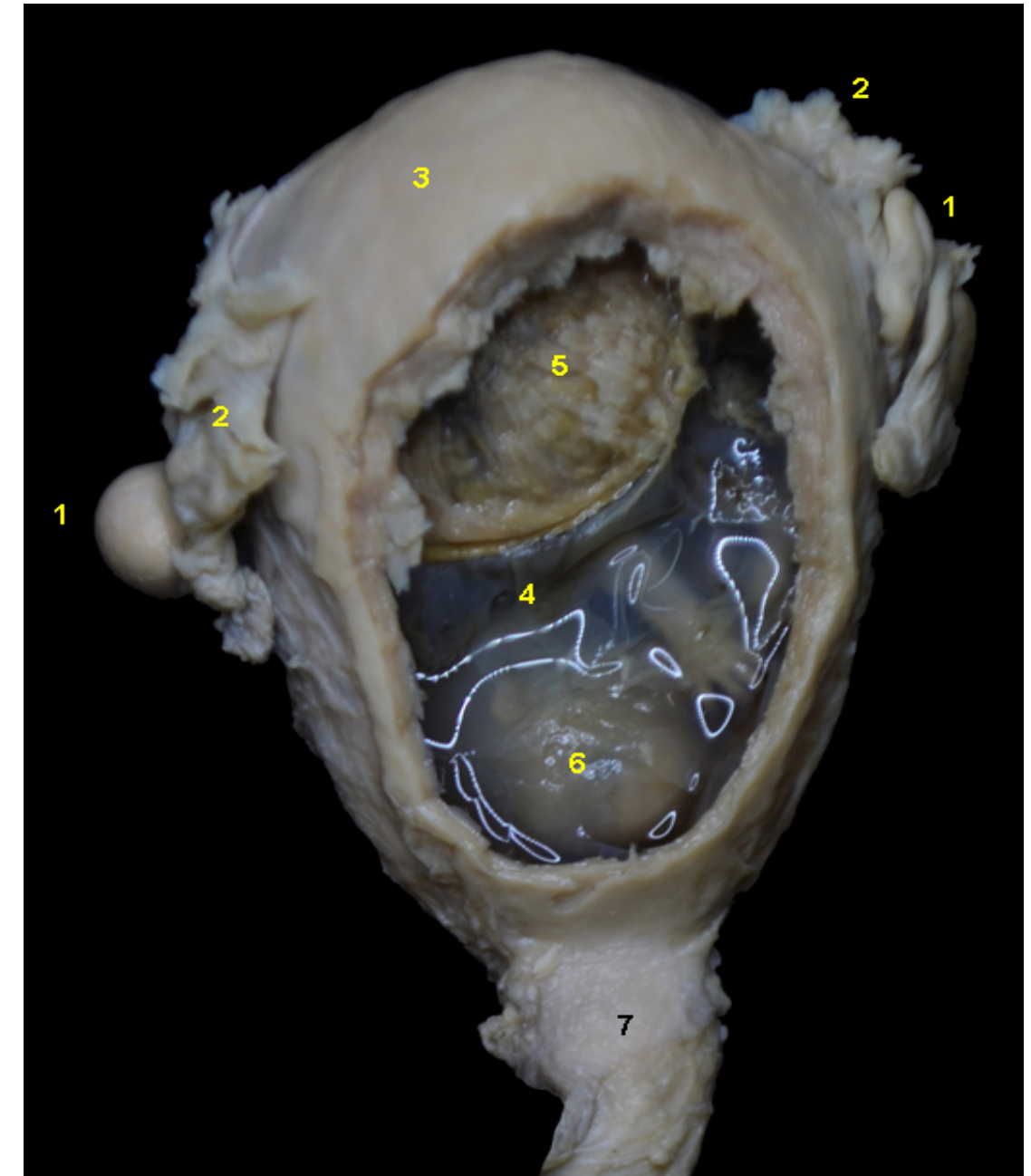


Figura 6.248 - Visión dorsal de los órganos genitales de una hembra de mono aullador (*Alouatta seniculus*) en periodo gestacional intermedio. Se ha seccionado la pared del cuerpo uterino para visualizar el saco coriónico. 1. Ovarios; 2. Infundíbulo de la trompa uterina; 3. Cuerpo uterino; 4. Saco coriónico; 5. Zona discoidea de contacto materno-fetal; 6. Feto dentro del saco coriónico; 7. Cuello uterino.



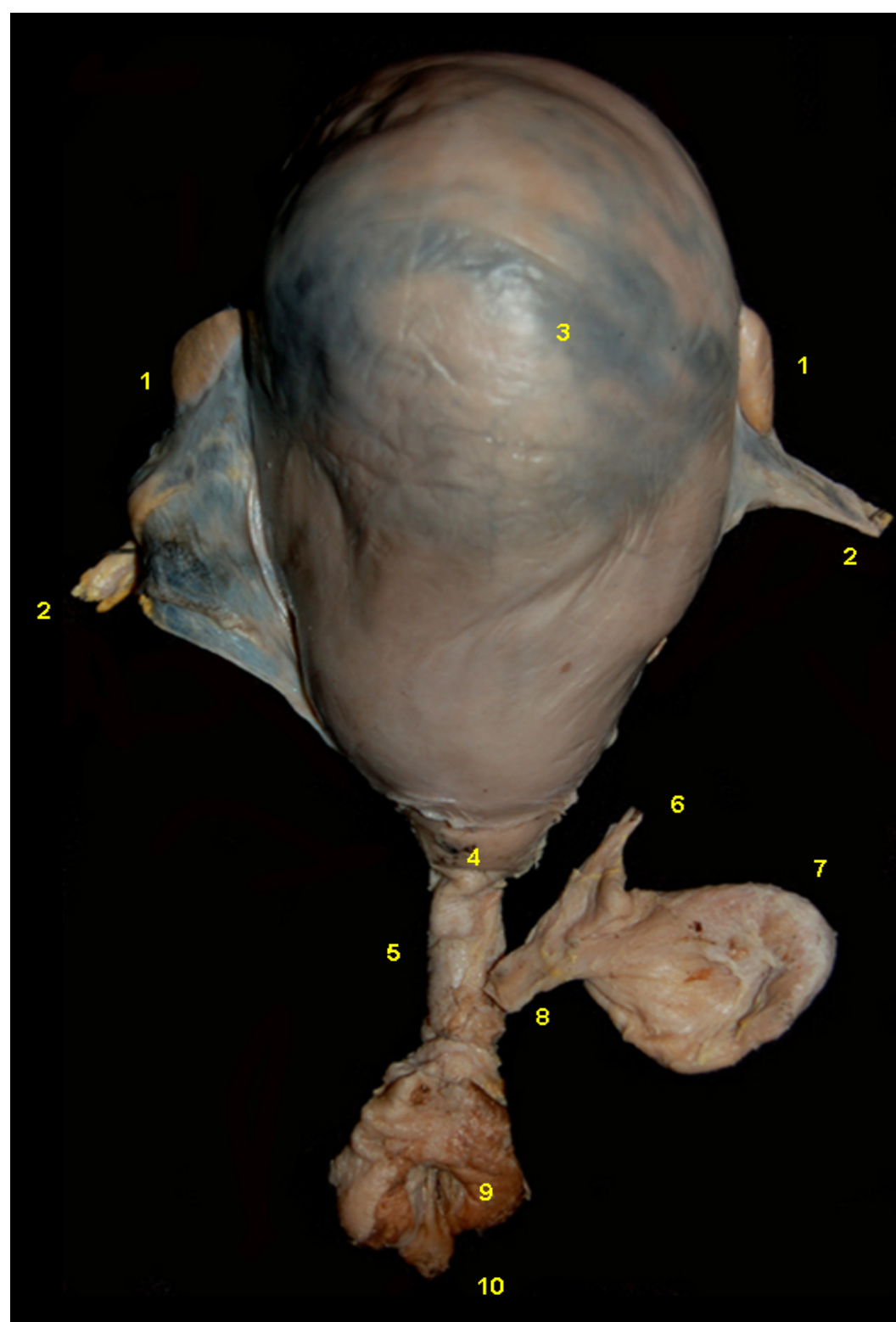


Figura 6.249 - Visión dorsal de los órganos urogenitales de una hembra de mono aullador (*Alouatta seniculus*) en periodo gestacional avanzado. 1. Ovarios; 2. Ligamento ancho; 3. Cuerpo uterino gestante; 4. Cuello uterino; 5. Vagina; 6. Uréter; 7. Vejiga urinaria; 8. Uretra; 9. Vulva, 10. Clítoris.

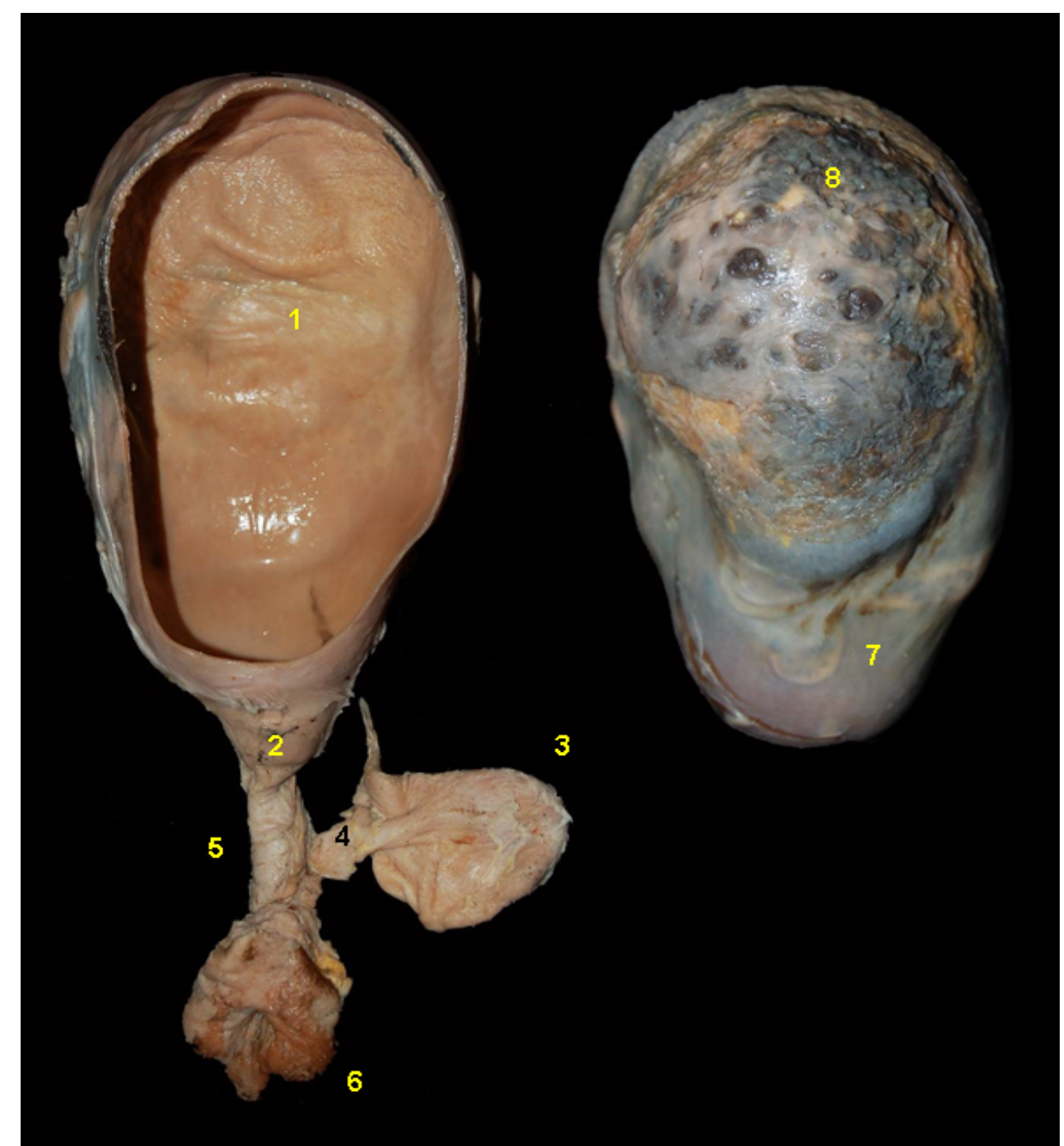


Figura 6.250 - Visión dorsal de los órganos genitales de una hembra de mono aullador (*Alouatta seniculus*) en periodo gestacional avanzado. Se ha seccionado la pared del cuerpo uterino y se ha separado el saco coriónico. 1. Cuerpo uterino; 2. Cuello uterino; 3. Vejiga urinaria; 4. Uretra; 5. Vagina; 6. Vulva; 7. Saco coriónico; 8. Zona discoidea de contacto materno-fetal.



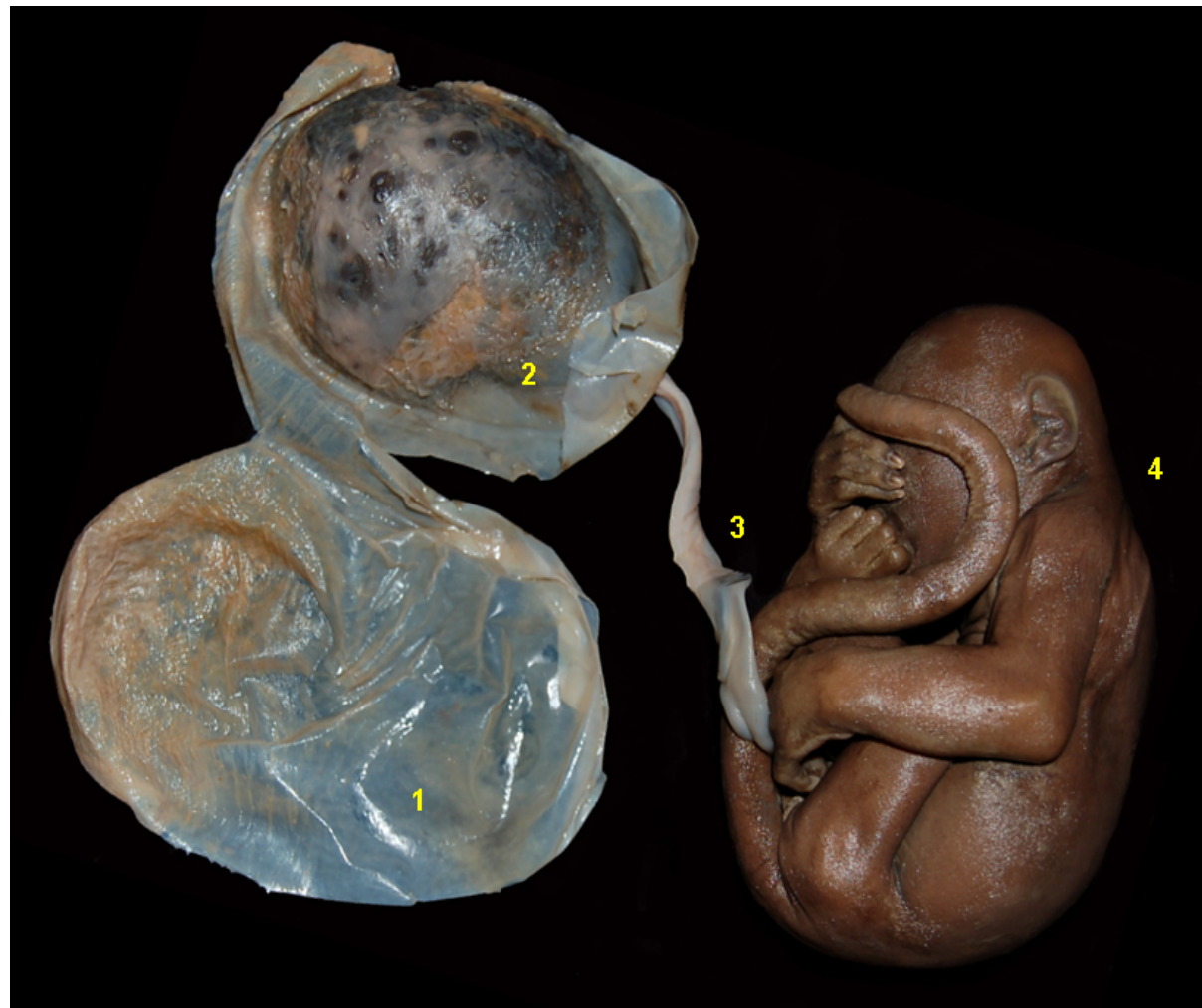


Figura 6.251 - Membranas fetales y feto de mono aullador (*Alouatta seniculus*). Placenta discoidea, decidua y hemocorial. **Esta especie acostuma a ter un área discoide de contacto materno-fetal.** 1. Saco coriónico; 2. Zona de contacto materno-fetal; 3. Cordón umbilical; 4. Feto.



MONO ARAÑA

(Ateles chamek)

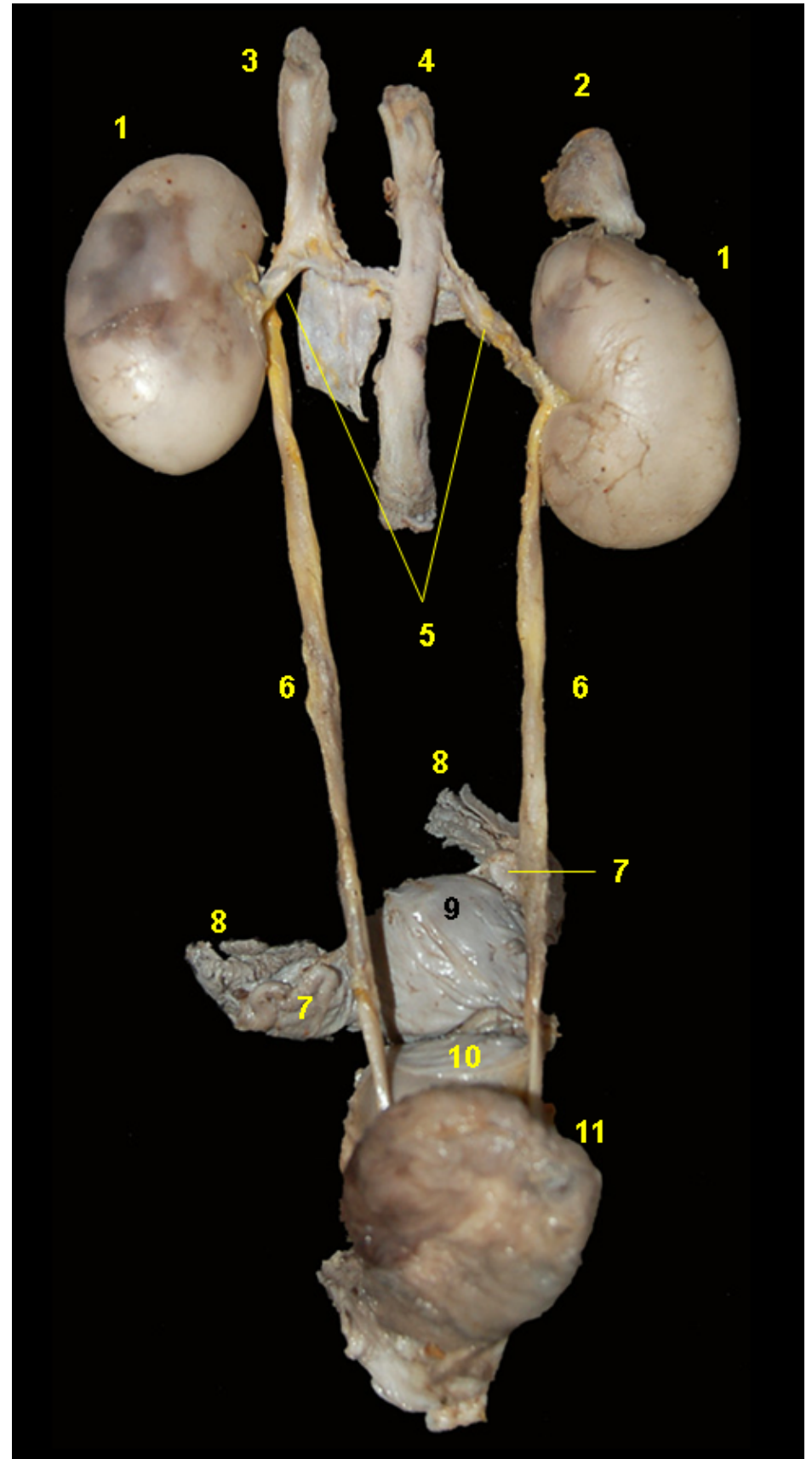


Figura 6.252 - Visión ventral de los órganos urogenitales femeninos de mono araña (*Ateles chamek*). 1. Riñones; 2. Glándula adrenal; 3. Aorta abdominal; 4. Vena cava caudal; 5. Vasos renales; 6. Uréteres; 7. Ovarios; 8. Trompas uterinas; 9. Cuerpo uterino; 10. Cuello uterino; 11. Vejiga urinaria.

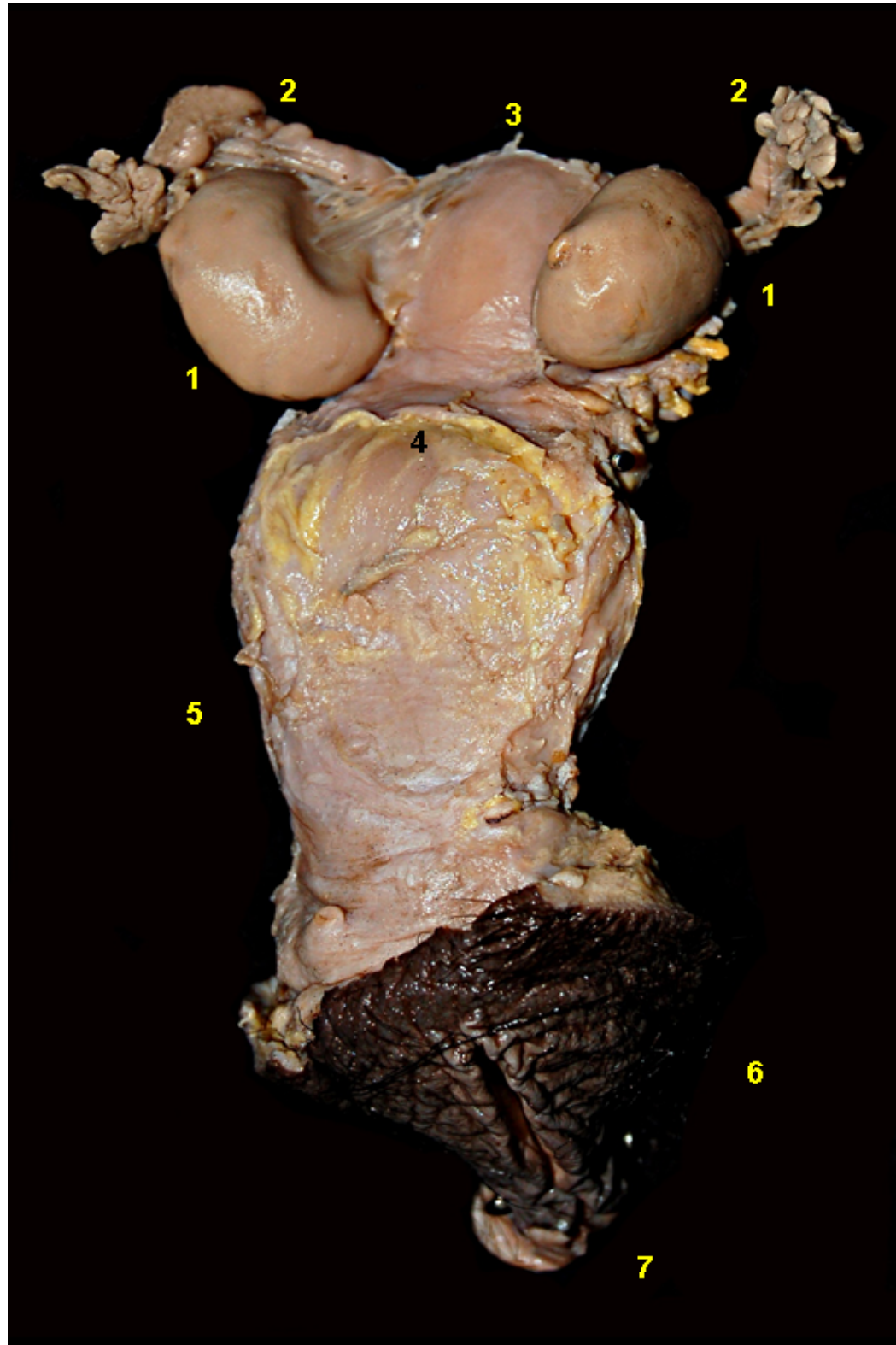


Figura 6.253 - Visión dorsal de los órganos genitales femeninos de mono araña (*Ateles chamek*). 1. Ovarios; 2. Trompas uterinas; 3. Cuerpo uterino; 4. Cuello uterino; 5. Vagina; 6. Vulva; 7. Clítoris.

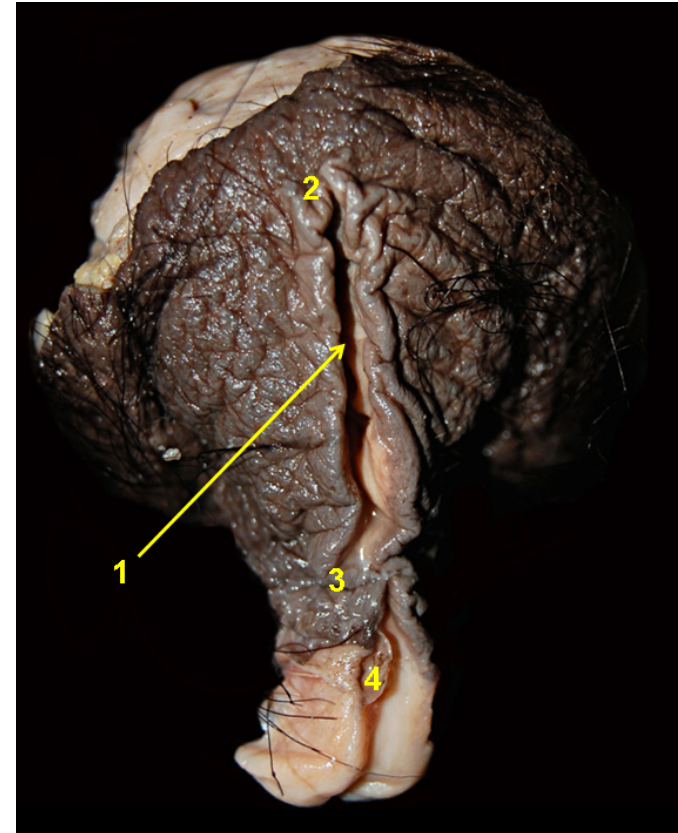


Figura 6.254 - Visión caudal de la vulva de mono araña (*Ateles chamek*). 1. Hendidura vulvar; 2. Comisura vulvar dorsal; 3. Comisura vulvar ventral; 4. Clítoris.

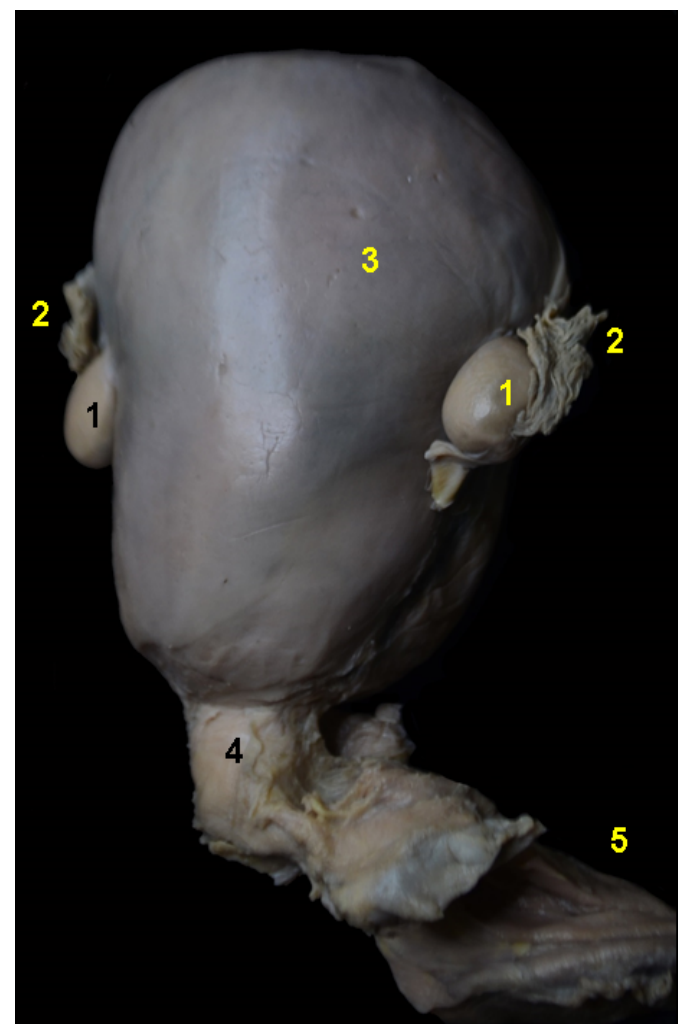


Figura 6.255 - Visión dorsal de los órganos genitales de una hembra de mono araña (*Ateles chamek*) en periodo gestacional temprano. 1. Ovarios; 2. Infundíbulo de la trompa uterina; 3. Cuerpo uterino; 4. Cuello uterino; 5. Vagina.

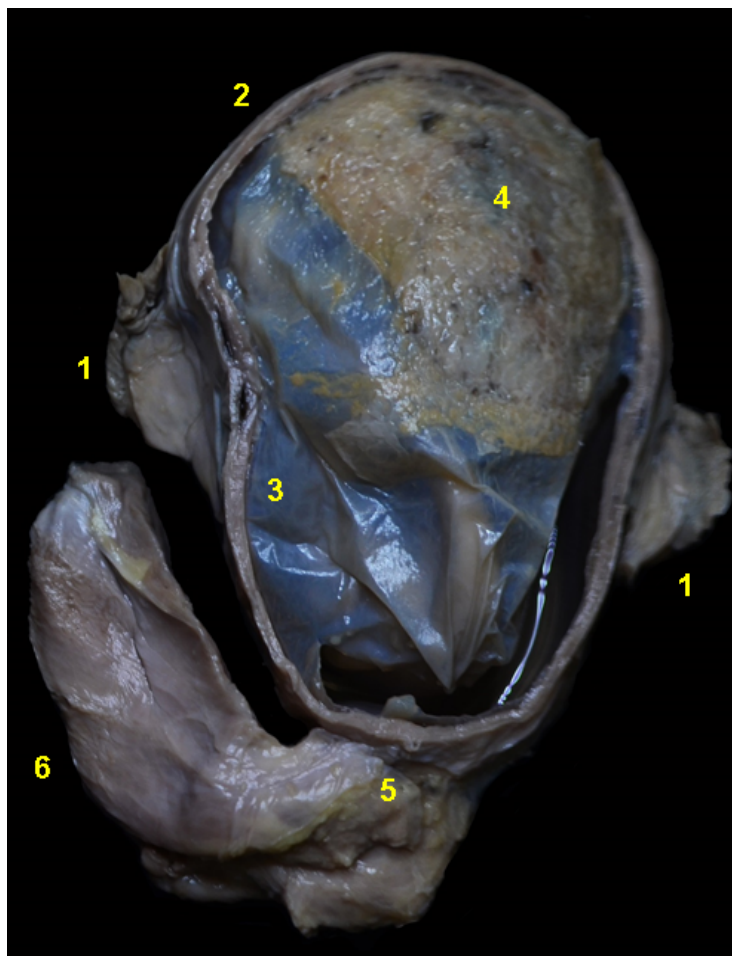


Figura 6.256 - Visión dorsal de los órganos genitales de una hembra de mono araña (*Ateles chamek*) en periodo gestacional intermedio. Se ha seccionado la pared del cuerpo uterino para visualizar el saco coriónico. 1. Ovarios; 2. Cuerpo uterino; 3. Saco coriónico; 4. Zona discoidea de contacto materno-fetal; 5. Cuello uterino; 6. Vagina.

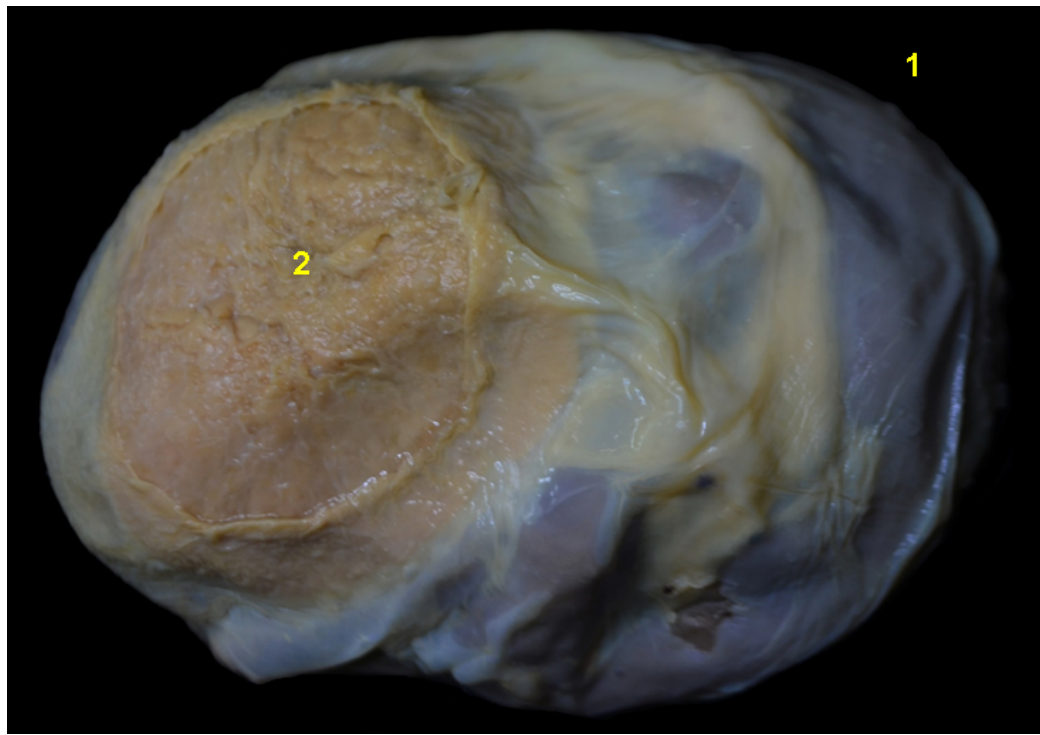


Figura 6.257 - Membranas fetales y feto de mono araña (*Ateles chamek*) en edad gestacional intermedia. Placenta discoidea, decidua y hemocorial. Hay un área discoidea única de contacto materno-fetal. 1. Saco coriónico; 2. Zona discoidea de contacto materno-fetal.

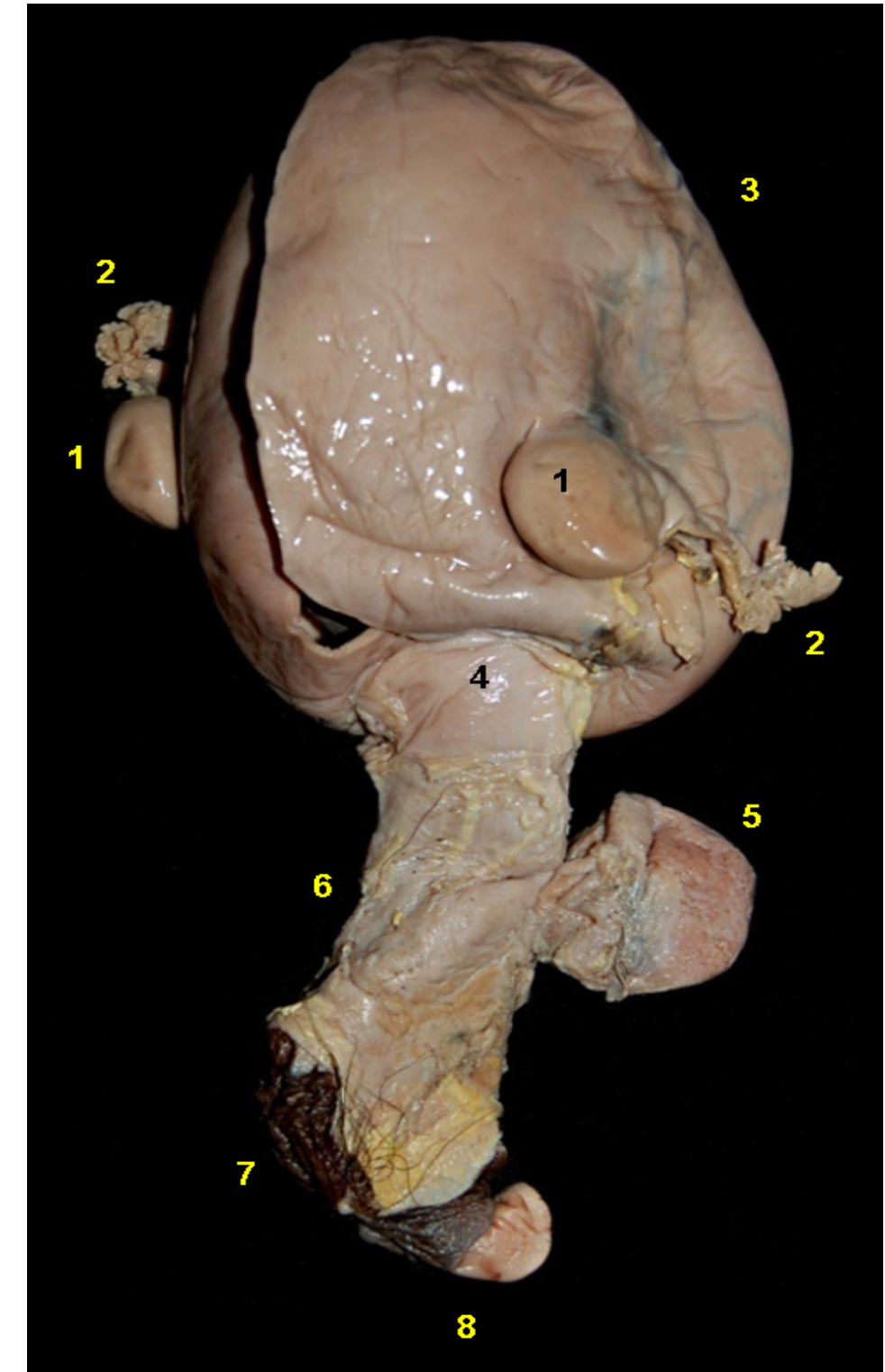


Figura 6.258 - Visión dorsal de los órganos genitales de una hembra gestante de mono araña (*Ateles chamek*) en periodo gestacional avanzado. 1. Ovarios; 2. Infundíbulos de las trompas uterinas; 3. Cuerpo uterino; 4. Cuello uterino; 5. Vejiga urinaria; 6. Vagina; 7. Vulva; 8. Clítoris.



Figura 6.259 - Membranas fetales y feto de mono araña (*Ateles chamek*). Placenta discoidea, decidua y hemocorial. **Esta especie tiene un área discoidea de contacto materno-fetal.** 1. Saco coriónico; 2. Zona de contacto materno-fetal.

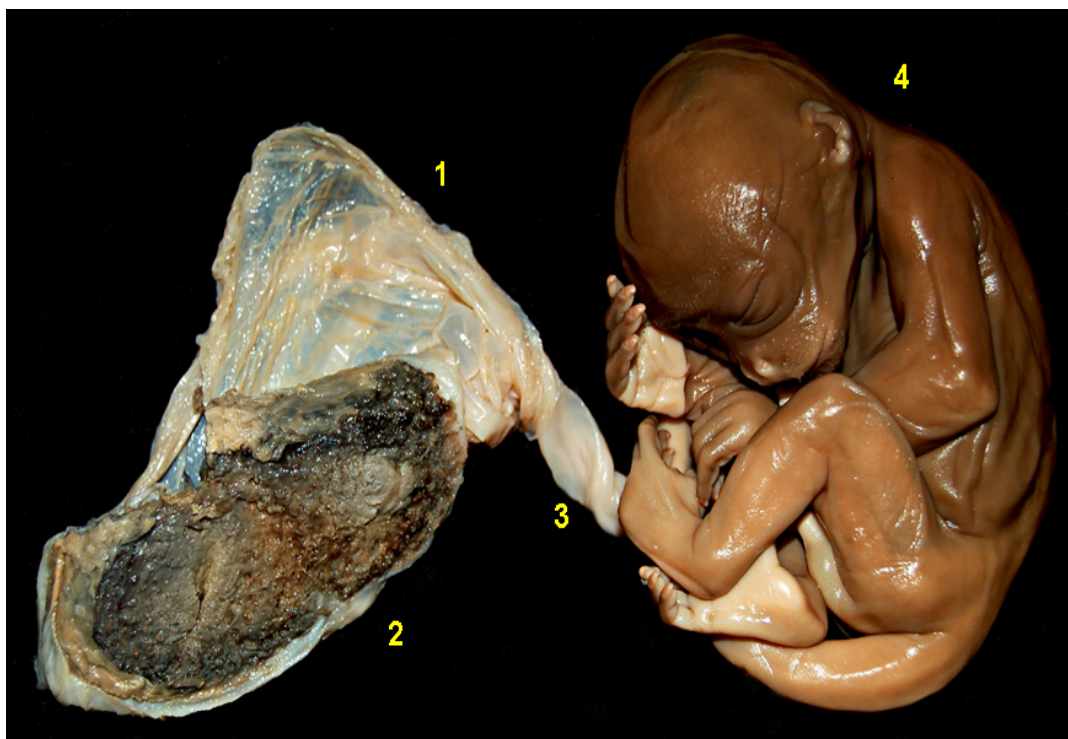


Figura 6.260 - Membranas fetales y feto de mono araña (*Ateles chamek*). Placenta discoidea, decidua y hemocorial. **Esta especie tiene un área discoidea de contacto materno-fetal.** 1. Saco coriónico; 2. Zona de contacto materno-fetal; 3. Cordón umbilical; 4. Feto.

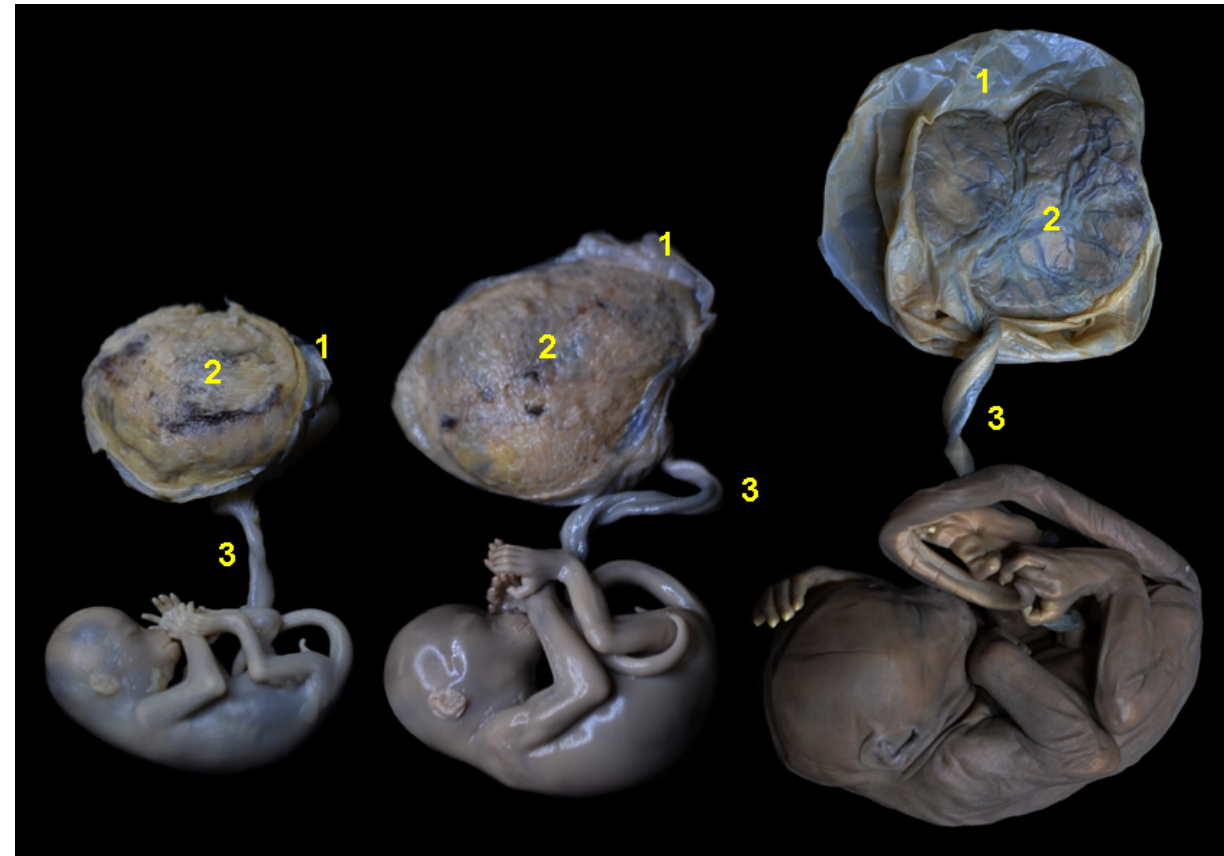


Figura 6.261 - Membranas fetales y feto de mono araña (*Ateles chamek*) en diferentes etapas de desarrollo. Placenta discoidea, decidua y hemocorial. Hay un área discoidea única de contacto materno-fetal. 1. Saco coriónico; 2. Zona de contacto materno-fetal; 3. Cordón umbilical.



MONO FRAILE (*Saimiri macrodon*)

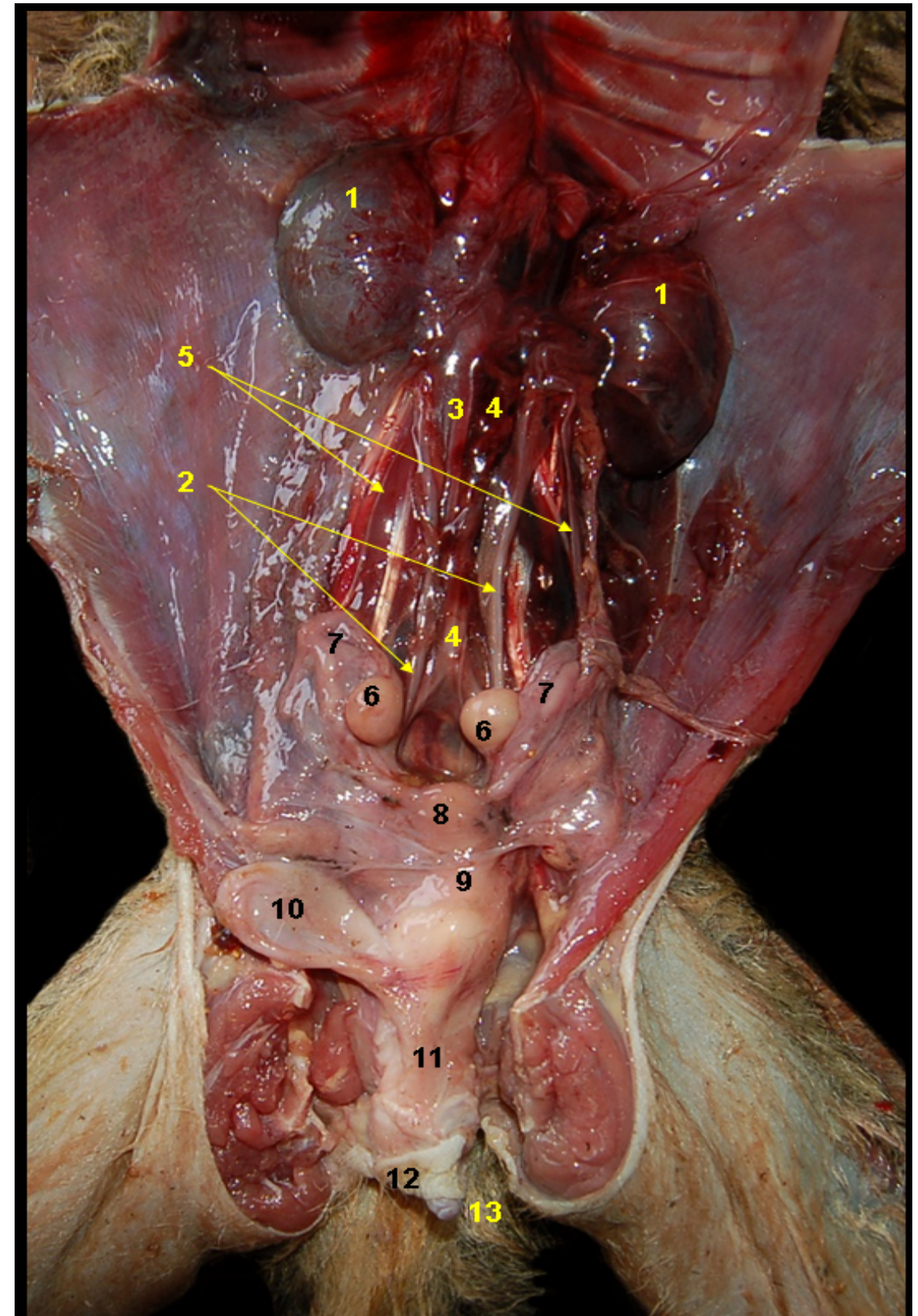


Figura 6.262 - Visión ventral *in situ* de los órganos urogenitales femeninos de mono fraile (*Saimiri macrodon*). Se ha cortado la sínfisis pélvica. 1. Riñones; 2. Uréteres; 3. Vena cava caudal; 4. Aorta abdominal; 5. Arteria ovárica; 6. Ovarios; 7. Trompa uterina; 8. Cuerpo uterino; 9. Cuello uterino; 10. Vejiga urinaria; 11. Vagina; 12. Vulva; 13. Clítoris.

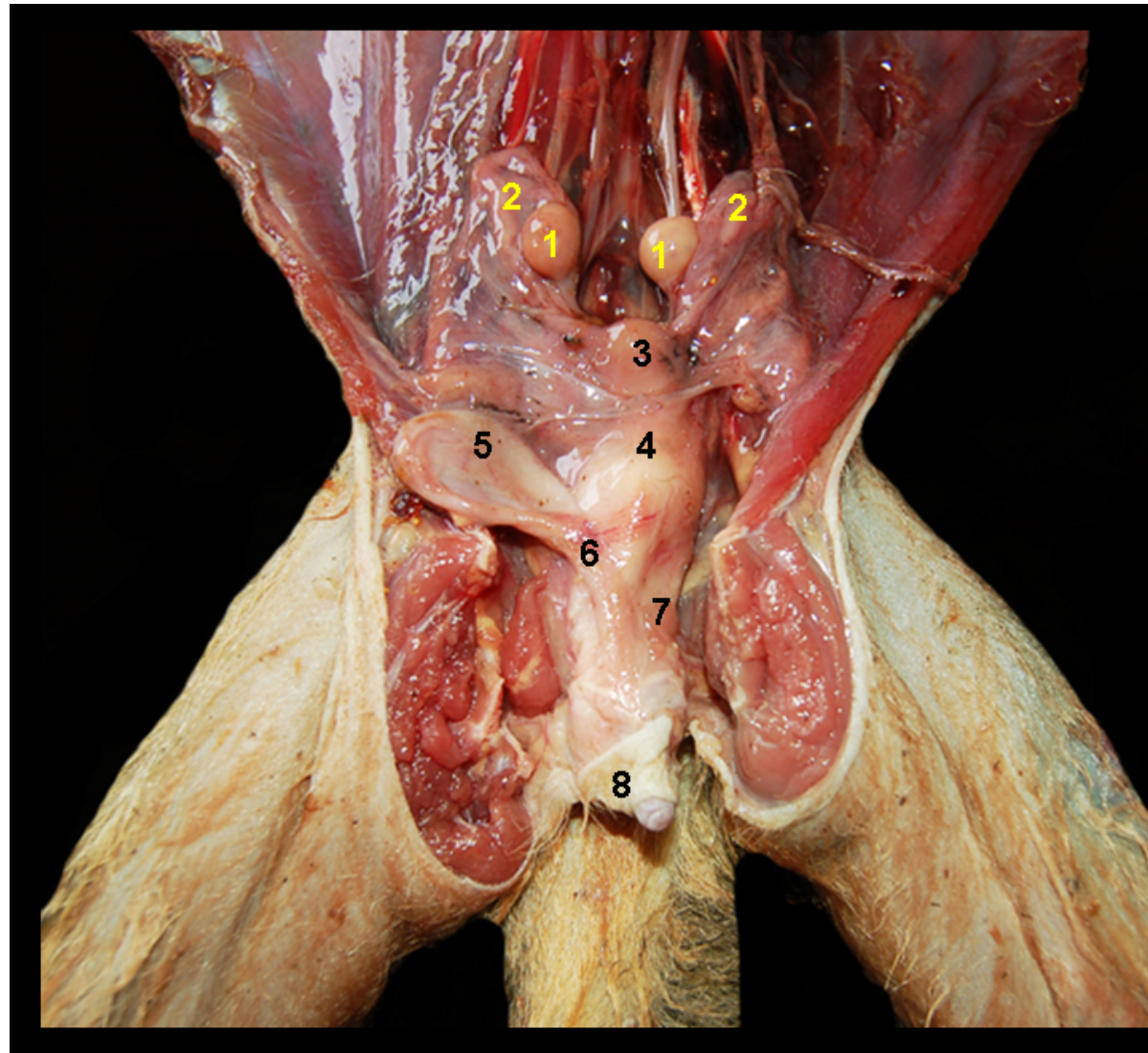


Figura 6.263 - Visión ventral *in situ* de los órganos genitales femeninos de mono fraile (*Saimiri macrodon*). Se ha cortado la sínfisis pélvica. 1. Ovarios; 2. Trompas uterinas; 3. Cuello uterino; 4. Cuerpo uterino; 5. Uretra; 6. Vagina; 7. Vulva.

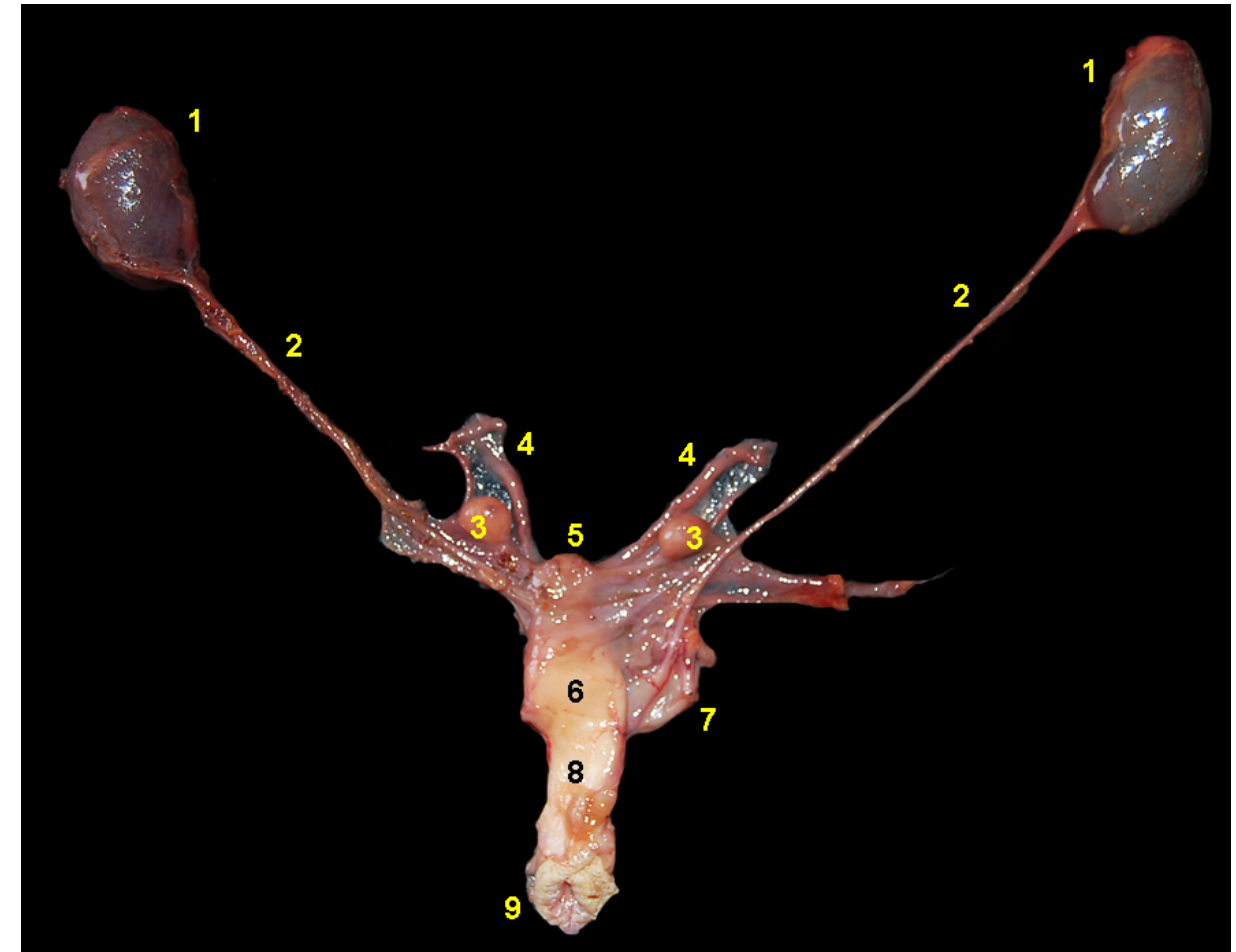


Figura 6.264 - Visión dorsal de los órganos urogenitales femeninos de mono fraile (*Saimiri macrodon*). 1. Riñones; 2. Uréteres; 3. Ovarios; 4. Trompas uterinas; 5. Cuello uterino; 6. Cuello uterino; 7. Vejiga urinaria; 8. Vagina; 9. Vulva.

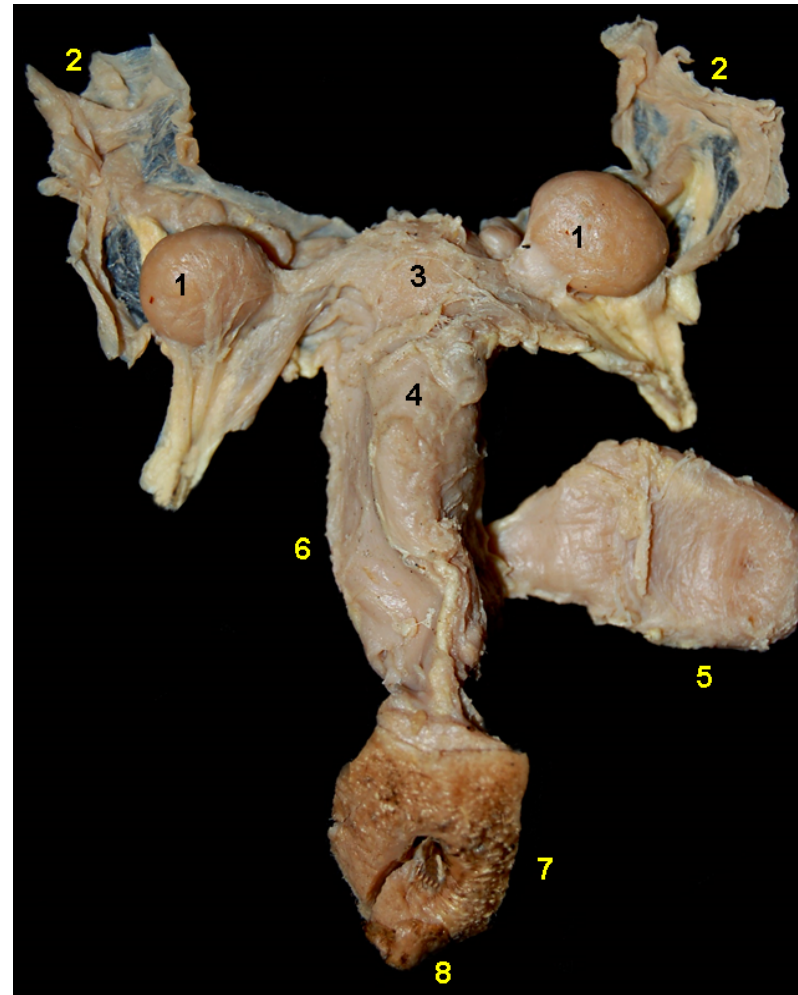


Figura 6.265 - Visión dorsal de los órganos genitales femeninos del mono fraile (*Saimiri macrodon*). 1. Ovarios; 2. Trompas uterinas; 3. Cuerpo uterino; 4. Cuello uterino; 5. Vejiga urinaria; 6. Vagina; 7. Vulva; 8. Clítoris.

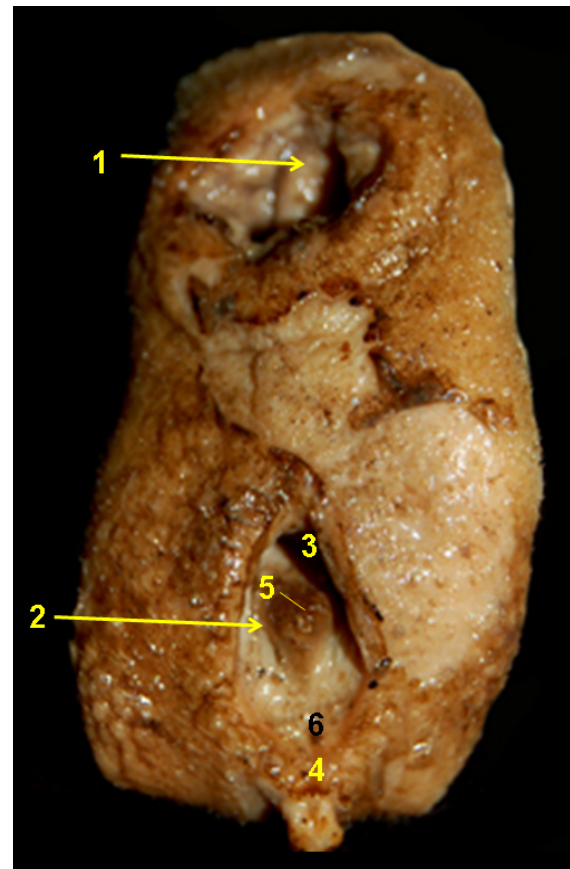


Figura 6.266 - Visión caudal del ano y de la vulva del mono fraile (*Saimiri macrodon*). 1. Ano; 2. Hendidura vulvar; 3. Comisura vulvar dorsal; 4. Comisura vulvar ventral; 5. Orificio uretral externo; 6. Clítoris.

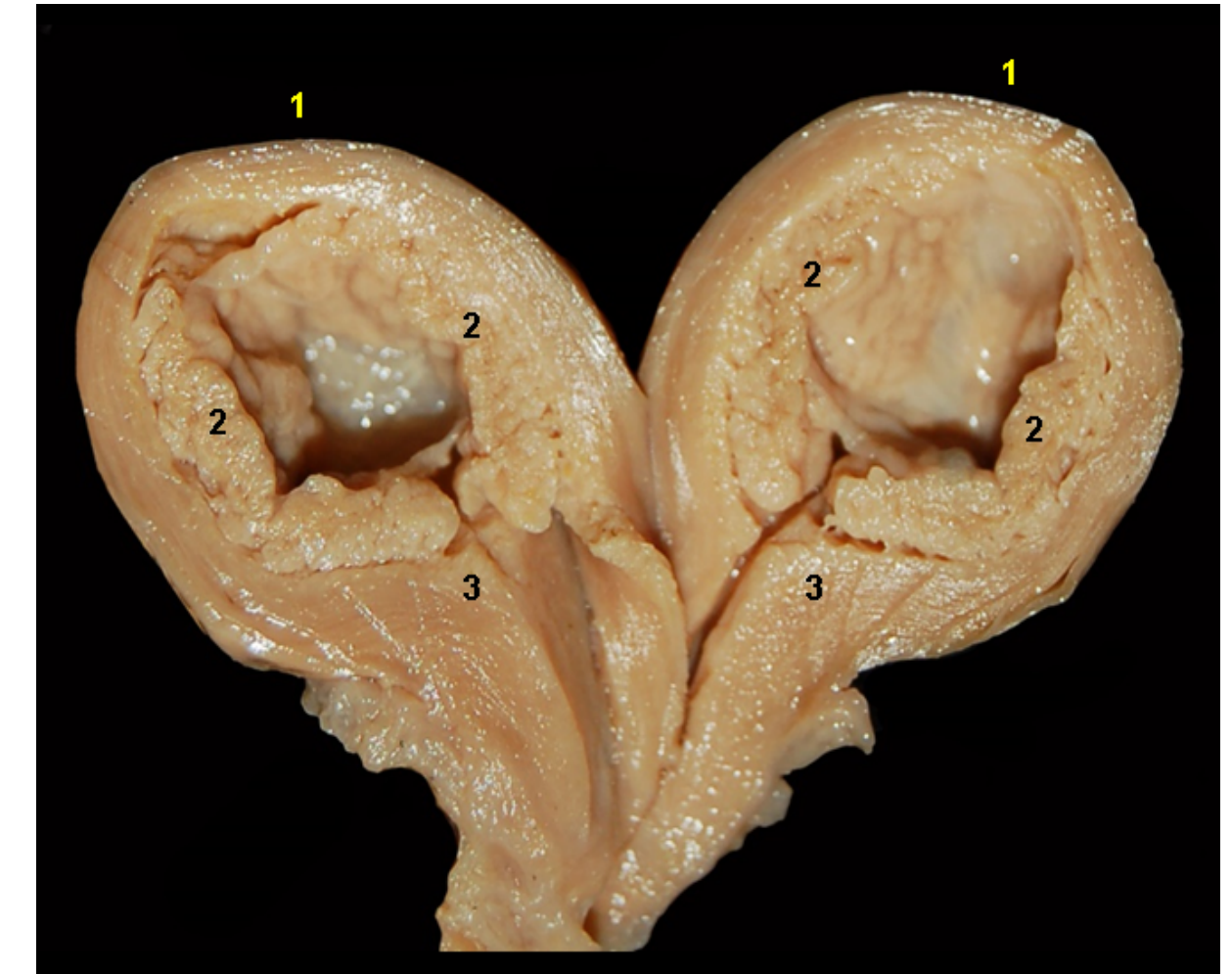


Figura 6.267 - Visión interna del útero seccionado de una hembra de mono fraile (*Saimiri macrodon*) en periodo gestacional temprano. Placenta discoidea, decidua y hemocorial. Se ha seccionado longitudinalmente el útero y el saco coriónico, que se encuentra dentro del cuerpo uterino. Esta placenta tiene dos áreas discoideas de contacto materno-fetal. 1. Cuerpo uterino; 2. Zonas discoideas de contacto materno-fetal; 3. Cuello uterino.



Figura 6.268 - Visión interna del útero seccionado de una hembra de mono fraile (*Saimiri macrodon*) en periodo gestacional intermedio. Se ha abierto el saco coriónico y se ha retirado el amnios. Placenta discoidea, decidua y hemocorial. Esta placenta tiene dos áreas discoideas de contacto materno-fetal. 1. Cuerpo uterino; 2. Zonas discoideas de contacto materno-fetal; 3. Cordón umbilical; 4. Feto; 5. Cuello uterino, 6. Vagina.

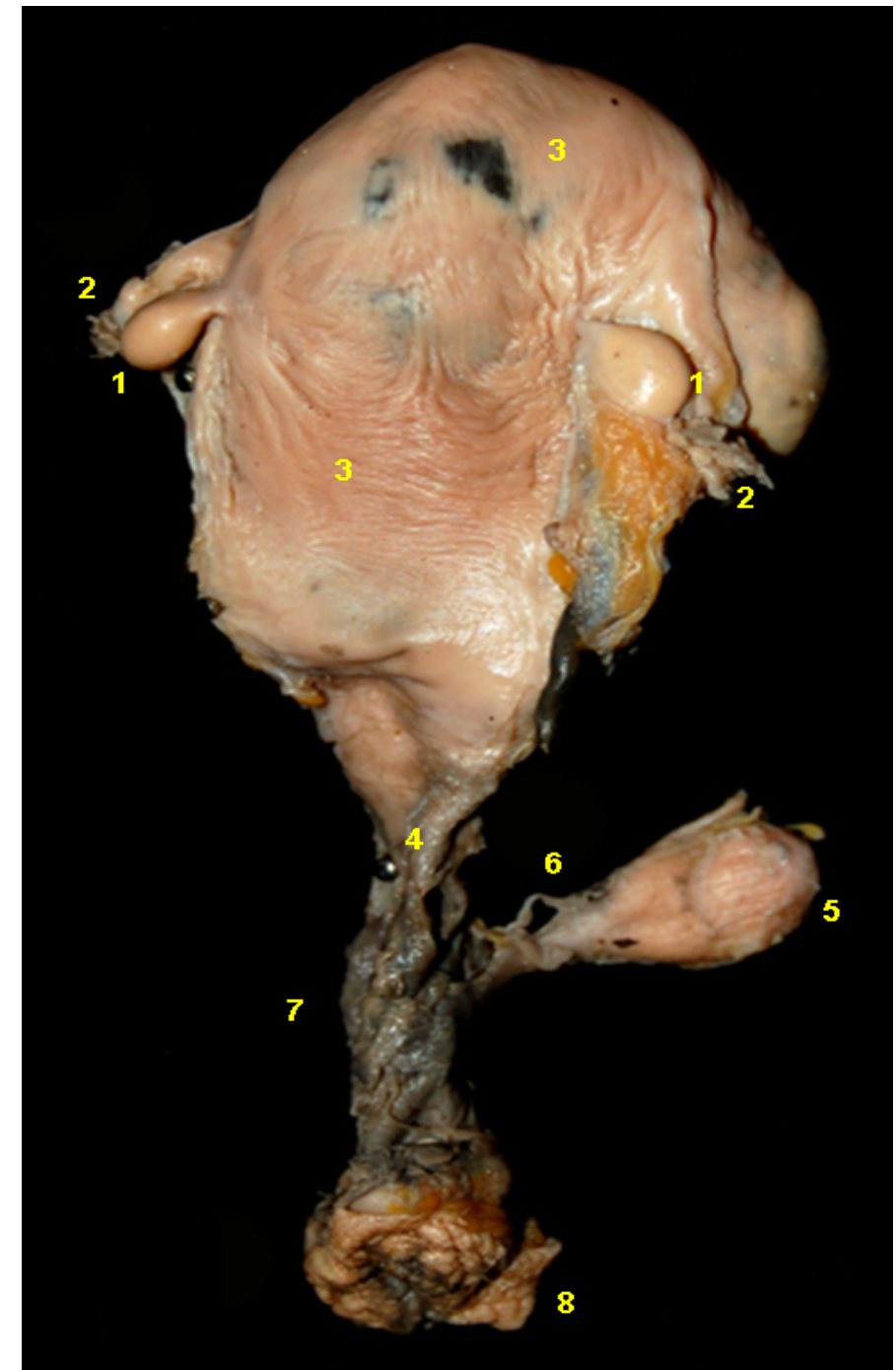


Figura 6.269 - Visión dorsal de los órganos genitales de una hembra gestante de mono fraile (*Saimiri macrodon*) en periodo gestacional avanzado. 1. Ovarios; 2. Trompas uterinas; 3. Cuerpo uterino; 4. Cuello uterino; 5. Vejiga urinaria; 6. Uretra; 7. Vagina; 8. Vulva.



UÁCARI ROJO (*Cacajao calvus*)

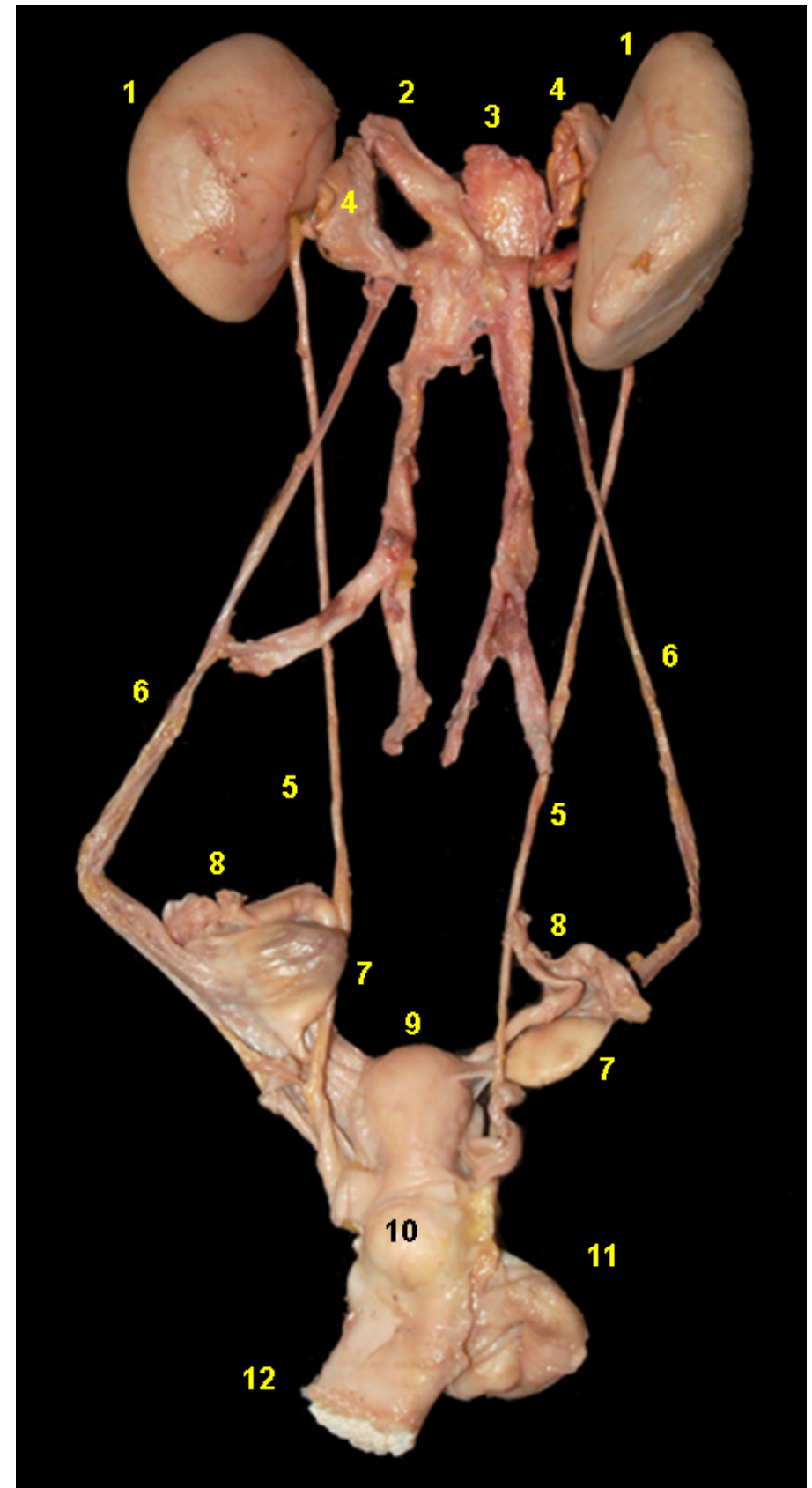


Figura 6.270 - Visión dorsal de los órganos genitales femeninos de uácari rojo (*Cacajao calvus*). 1. Riñones; 2. Aorta abdominal; 3. Vena cava caudal; 4. Glándula adrenal; 5. Uréteres; 6. Arterias ováricas; 7. Ovarios; 8. Trompas uterinas; 9. Cuerpo uterino; 10. Cuello uterino; 11. Vejiga urinaria; 12. Vagina.

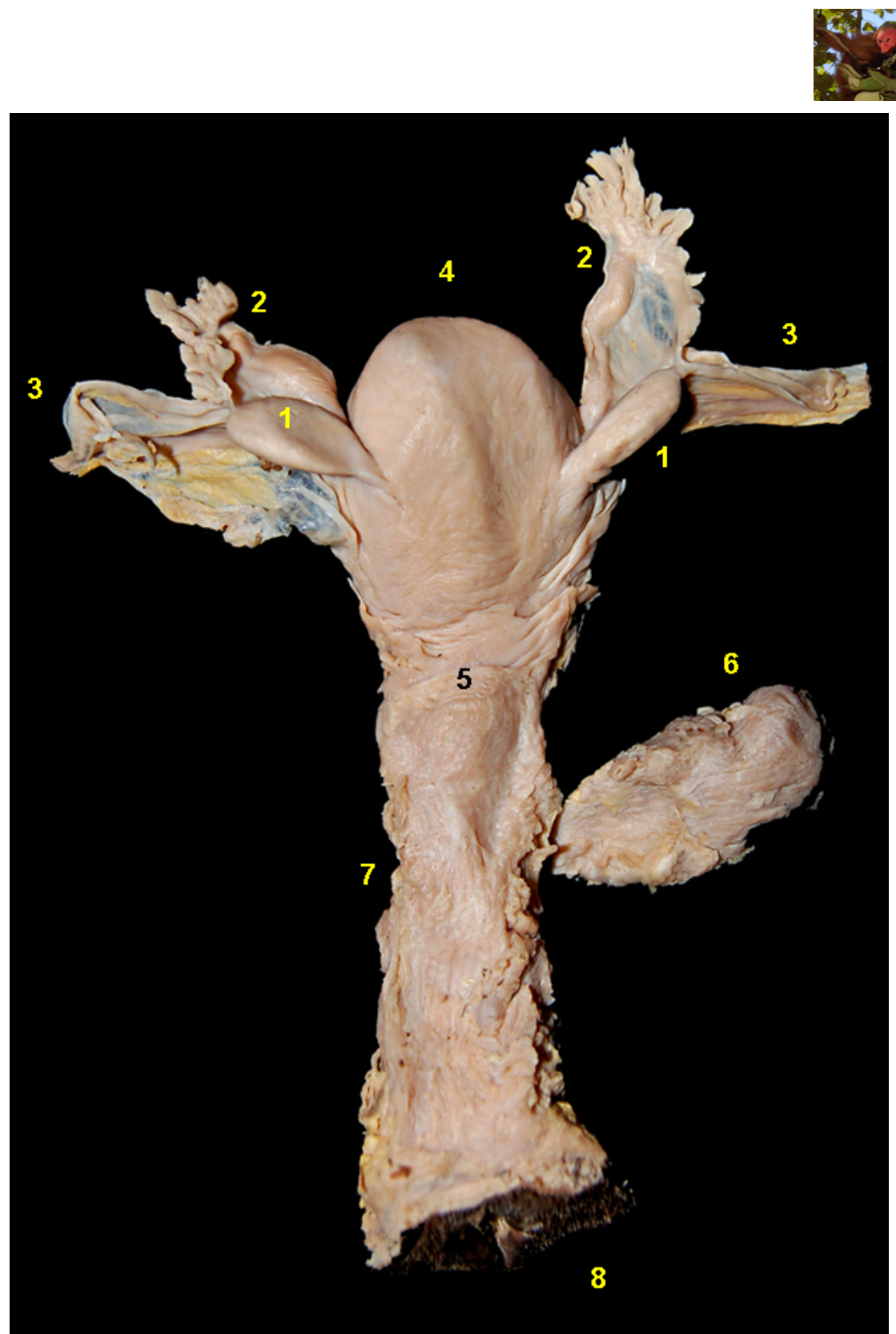


Figura 6.271 - Visión dorsal de los órganos genitales femeninos de uácaro rojo (*Cacajao calvus*). 1. Ovarios; 2. Trompas uterinas; 3. Ligamentos anchos; 4. Cuello uterino; 5. Cuello uterino; 6. Vejiga urinaria; 7. Vagina; 8. Vulva.

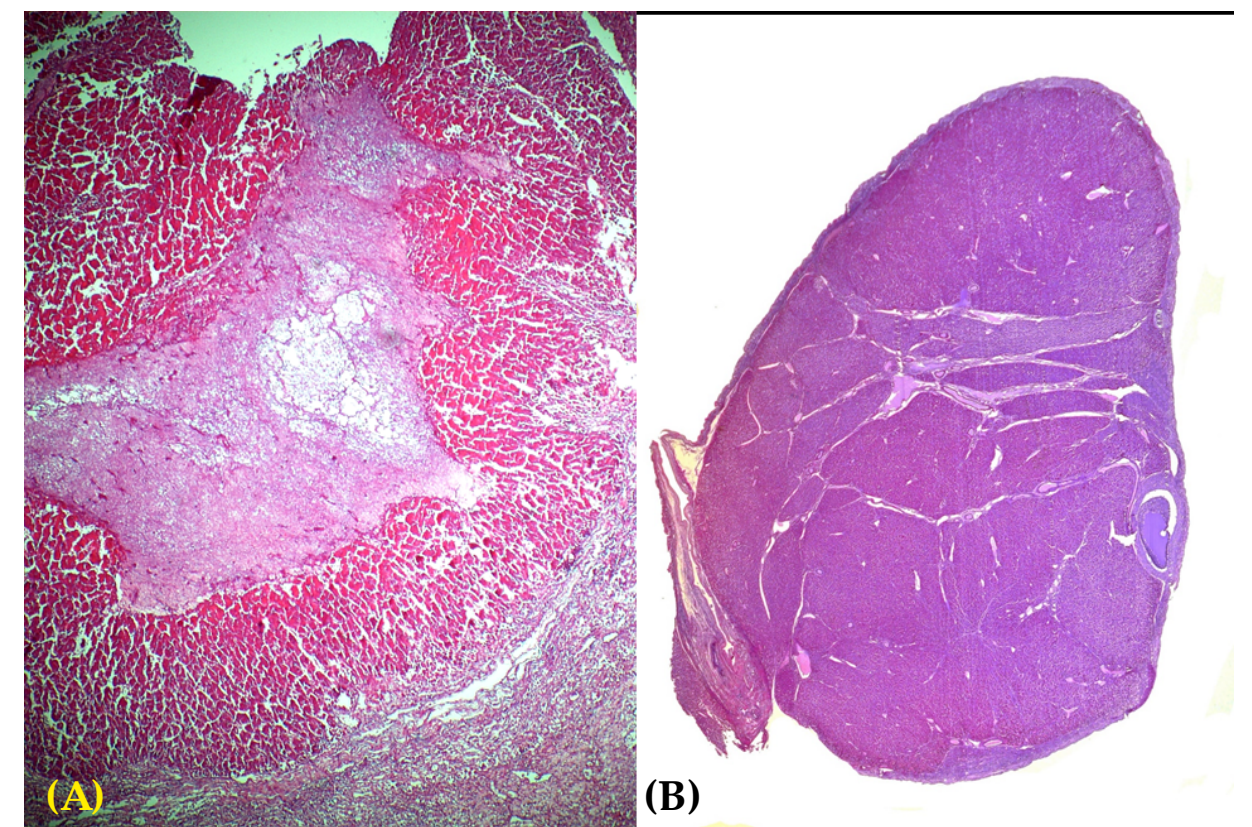


Figura 6.272 - Secciones histológicas de ovarios de uácaro rojo (*Cacajao calvus*). A - Cuerpo hemorrágico en proceso de formar un cuerpo lúteo. B - Cuerpo lúteo de gestación invadiendo todo el parénquima del ovario.

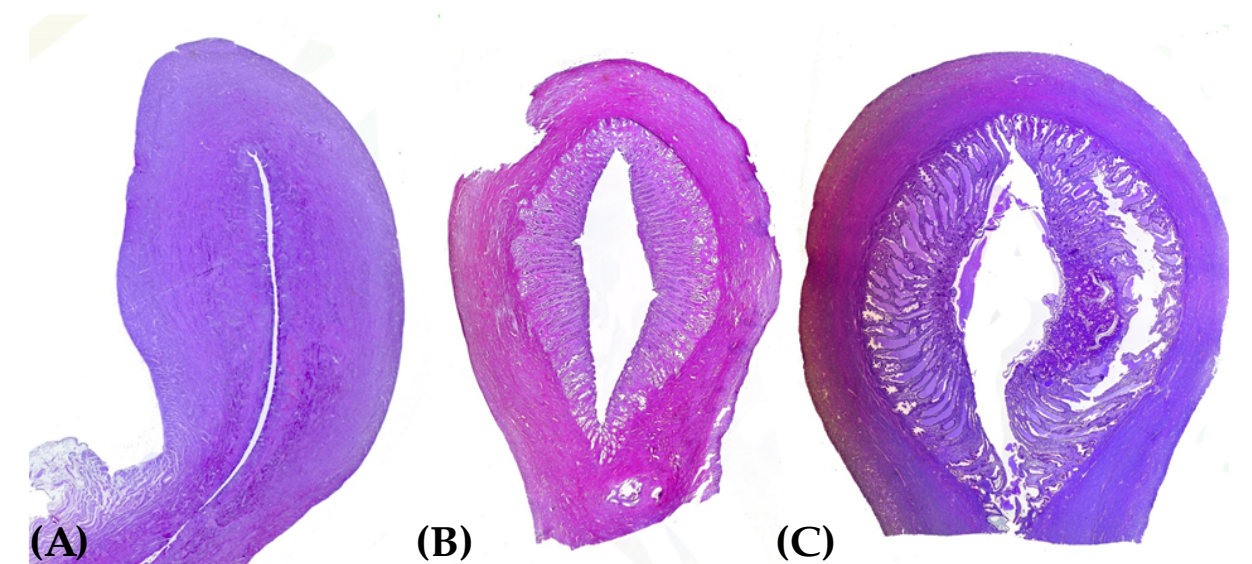


Figura 6.273 - Secciones histológicas del cuerpo uterino de hembra de uácaro rojo (*Cacajao calvus*) en (A) fase folicular-proliferativa temprana, (B) fase folicular-proliferativa avanzada y (C) fase luteal-secretrora del ciclo estral. Se observa el crecimiento progresivo del endometrio y de las glándulas endometriales. En la fase luteal-secretrora se aprecia una mayor secreción de las glándulas endometriales.



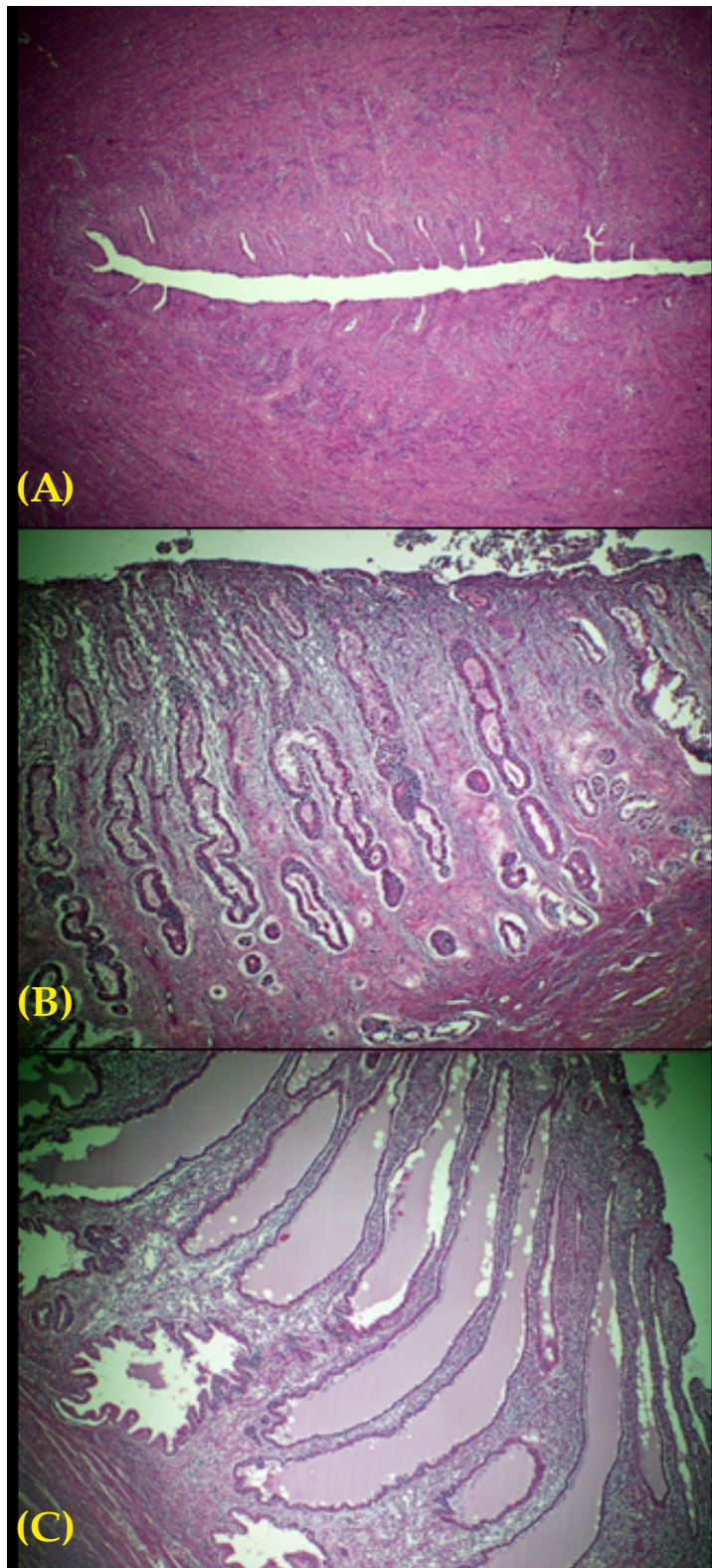


Figura 6.274 - Secciones histológicas del cuerpo uterino de hembra de uácaro rojo (*Cacajao calvus*) en (A) fase folicular-pronorrectiva temprana, (B) fase folicular-pronorrectiva avanzada y (C) fase luteal-secretrora del ciclo estral. Se observa el crecimiento progresivo del endometrio y de las glándulas endometriales. En la fase luteal-secretrora se aprecia una mayor secreción de las glándulas endometriales.

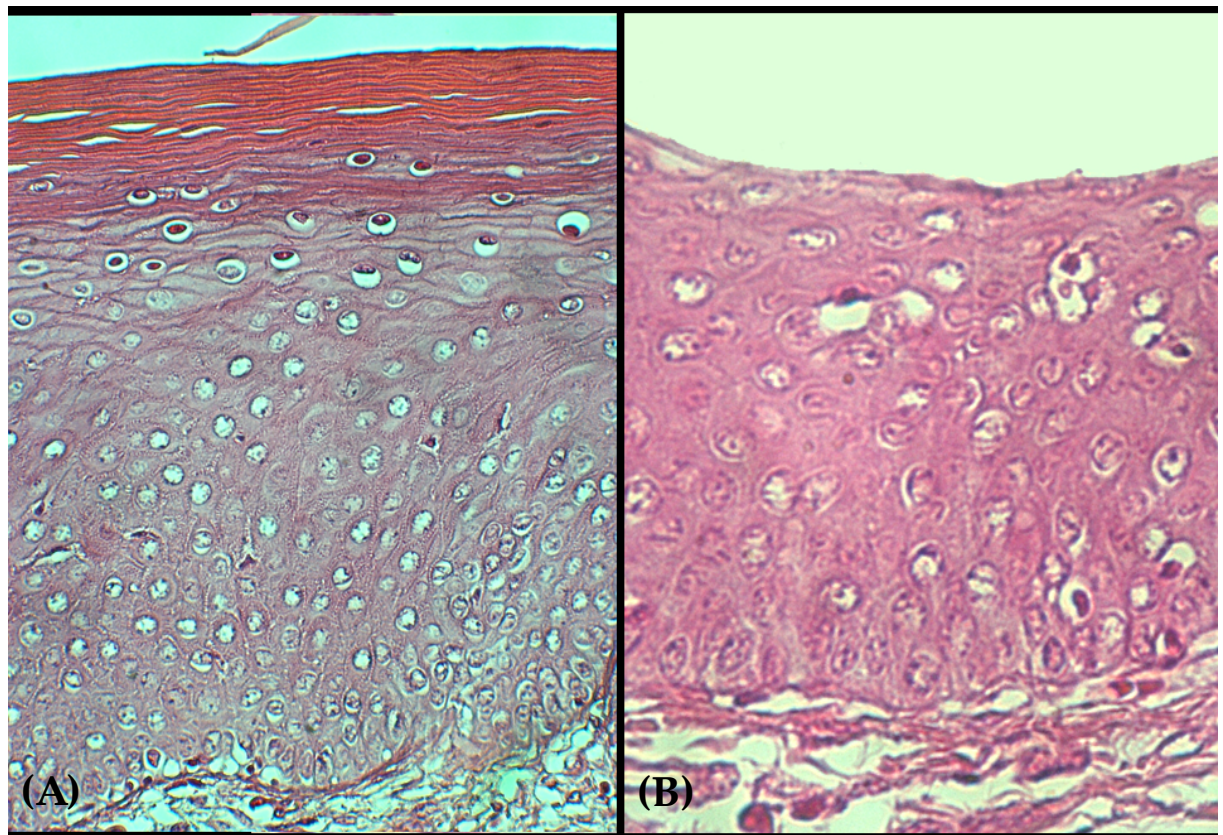
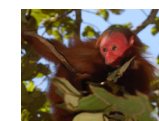


Figura 6.275 - Secciones histológicas de la vagina de hembra de uácaro rojo (*Cacajao calvus*) en (A) fase folicular y (B) fase luteal. Se observa el gran desarrollo y cornificación del epitelio vaginal en la fase folicular.

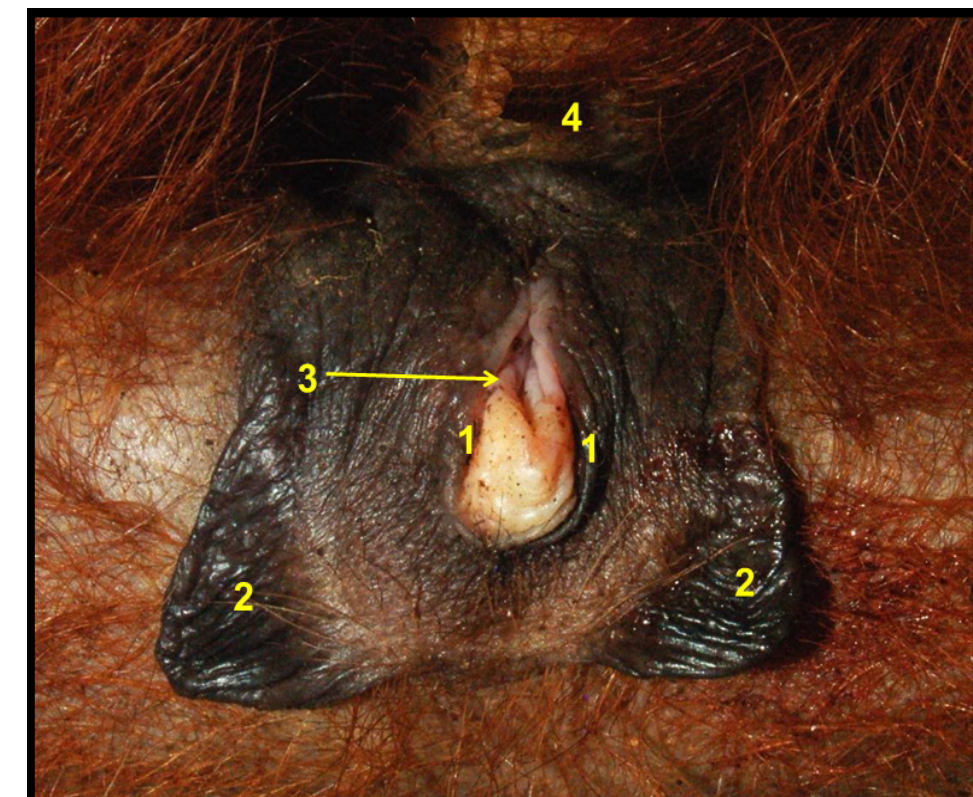


Figura 6.276 - Región perineal de uácaro rojo (*Cacajao calvus*). 1. Labios vulvares menores; 2. Labios vulvares mayores; 3. Hendidura vulvar; 4. Ano.

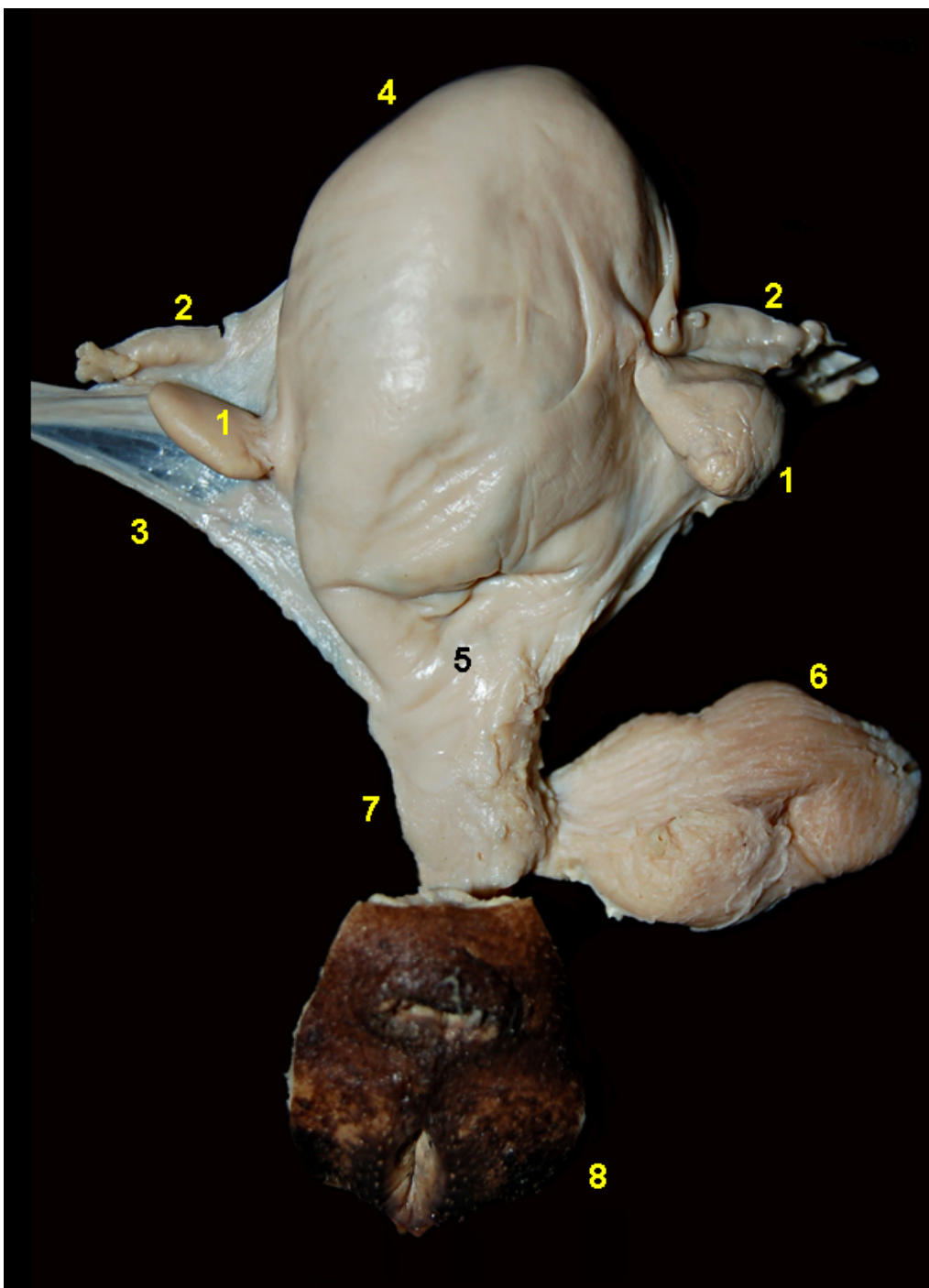
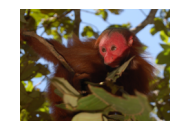
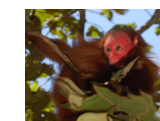


Figura 6.277 - Visión dorsal de los órganos genitales de una hembra gestante de uácaro rojo (*Cacajao calvus*) en periodo gestacional avanzado. 1. Ovarios; 2. Trompas uterinas; 3. Ligamento ancho; 4. Cuerpo uterino; 5. Cuello uterino; 6. Vejiga urinaria; 7. Vagina; 8. Vulva.



Figura 6.278 - Visión interna del cuerpo uterino de una hembra de uácaro rojo (*Cacajao calvus*) en periodo gestacional avanzado. Se ha retirado el saco coriónico. 1. Zona de contacto materno-fetal.

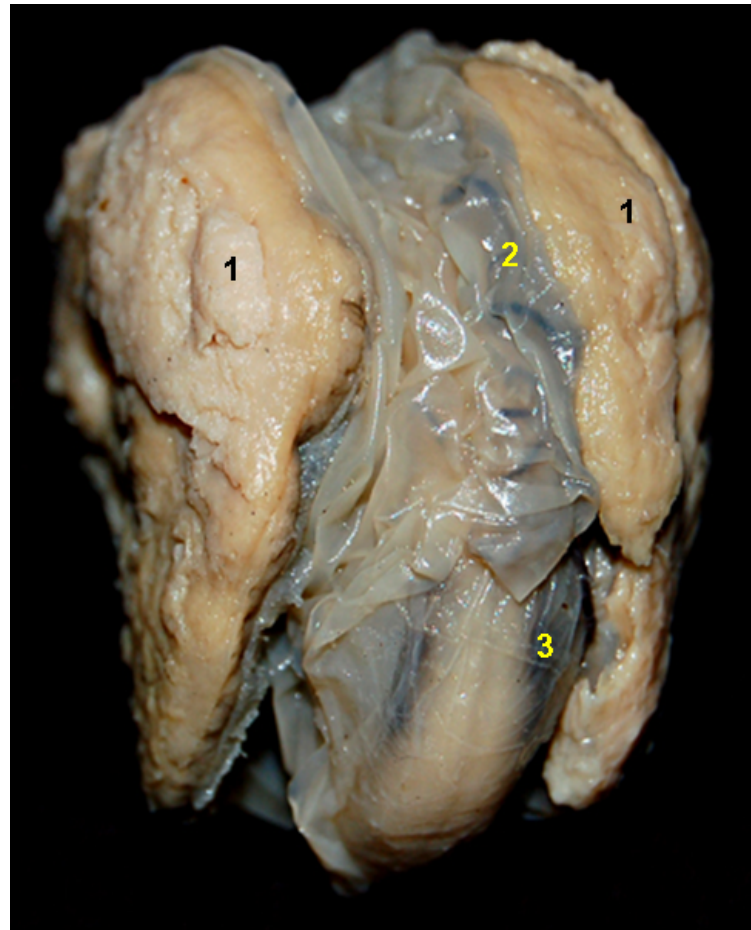


Figura 6.279 - Membranas fetales y feto de uácaro rojo (*Cacajao calvus*) en periodo gestacional temprano. Placenta discoidea, decidua y hemocorial. Se ha seccionado y retirado parcialmente la membrana corioalantoidea. Esta placenta tiene dos áreas discoideas de contacto materno-fetal. 1. Zonas discoideas de contacto materno-fetal; 2. Membrana corioalantoidea; 3. Amnios.

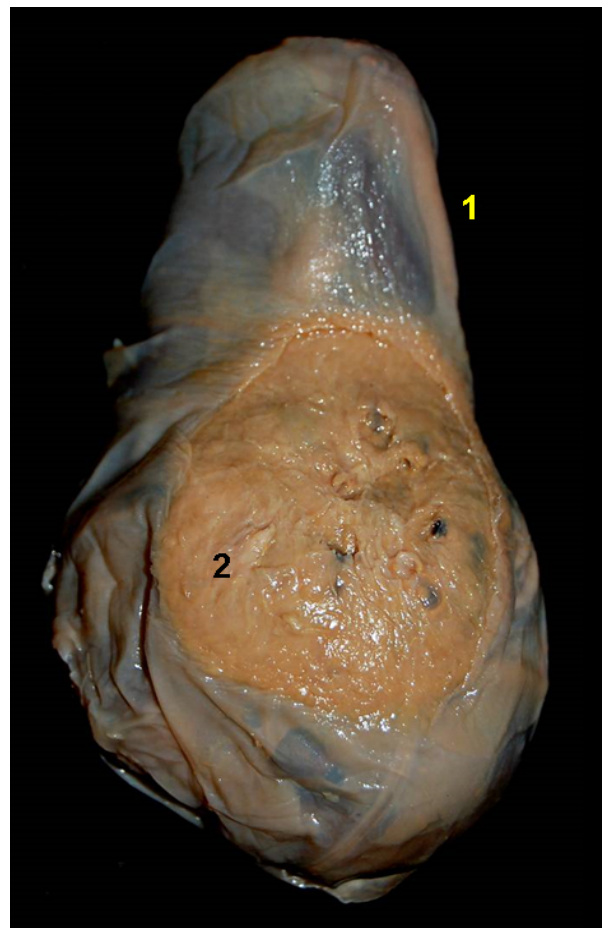


Figura 6.280 - Membranas fetales y feto de uácaro rojo (*Cacajao calvus*). Placenta discoidea, decidua y hemocorial. Esta placenta tiene dos áreas discoideas de contacto materno-fetal. 1. Saco coriónico; 2. Zona de contacto materno-fetal.



Figura 6.281 - Membranas fetales y feto de uácaro rojo (*Cacajao calvus*). Placenta discoidea, decidua y hemocorial. Esta especie tiene dos áreas discoideas de contacto materno-fetal. 1. Membrana corioalantoidea; 2. Zonas de contacto materno-fetal; 3. Cordón umbilical; 4. Feto.



MONO HUAPO NEGRO

(Pithecia monachus)

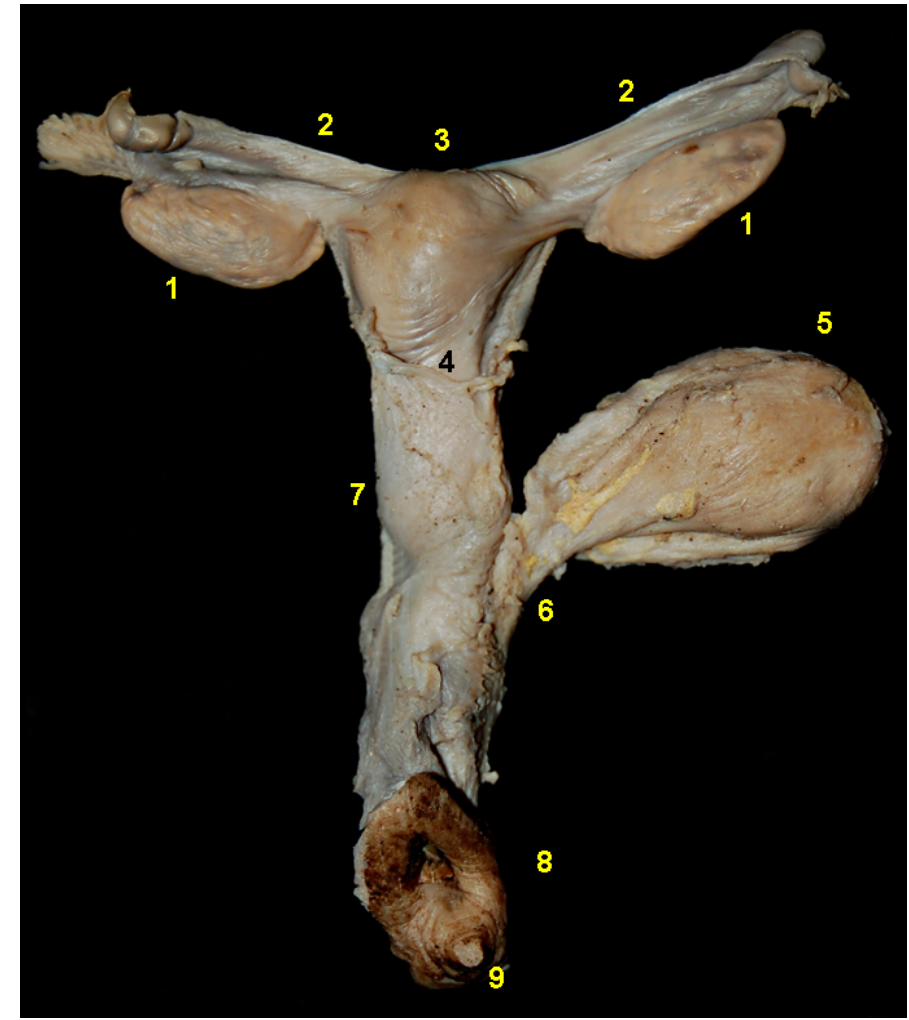


Figura 6.282 - Visión dorsal de los órganos genitales femeninos de mono huapo negro (*Pithecia monachus*). 1. Ovarios; 2. Trompas uterinas; 3. Cuerpo uterino; 4. Cuello uterino; 5. Vejiga urinaria; 6. Uretra; 7. Vagina; 8. Vulva; 9. Clítoris.

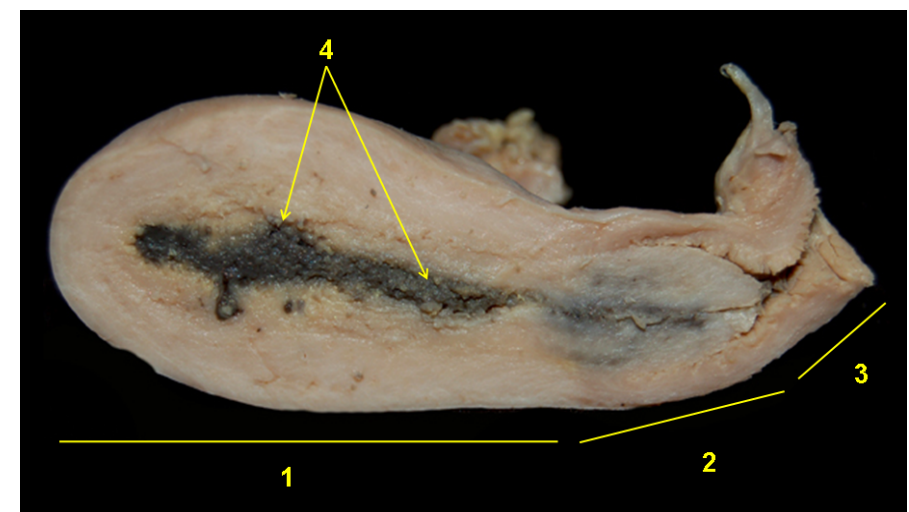


Figura 6.283 - Corte longitudinal del útero de una hembra gestante temprana de mono huapo negro (*Pithecia monachus*). 1. Cuerpo uterino; 2. Cuello uterino; 3. Vagina; 4. Placenta.



MONO NOCTURNO (*Aotus nancymae*)

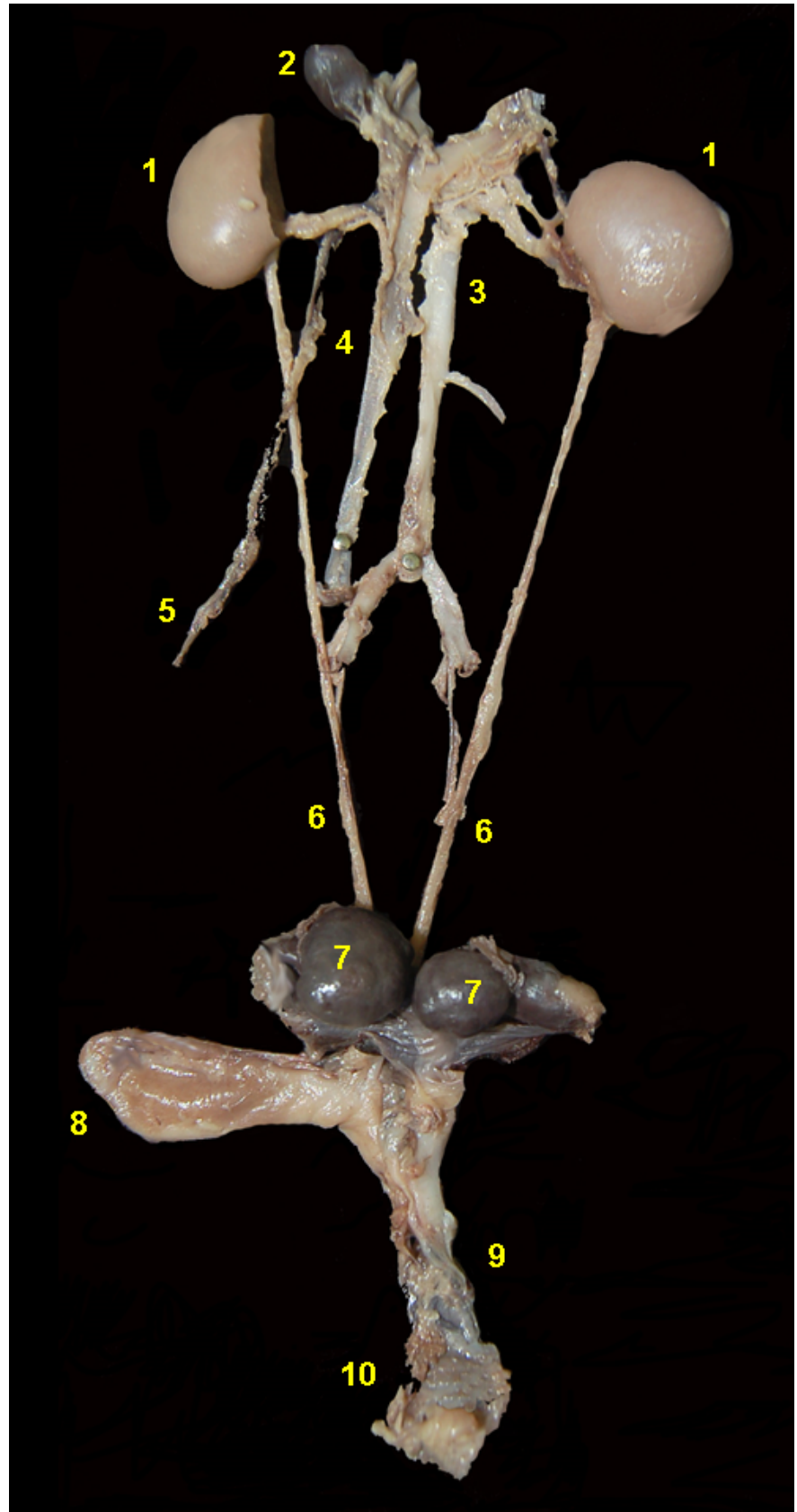


Figura 6.284 - Visión ventral de los órganos urogenitales femeninos de mono nocturno (*Aotus nancymae*). 1. Riñones; 2. Glándula adrenal; 3. Aorta abdominal; 4. Vena cava caudal; 5. Vena ovárica; 6. Uréteres; 7. Ovarios; 8. Vejiga urinaria; 9. Vagina; 10. Vulva.

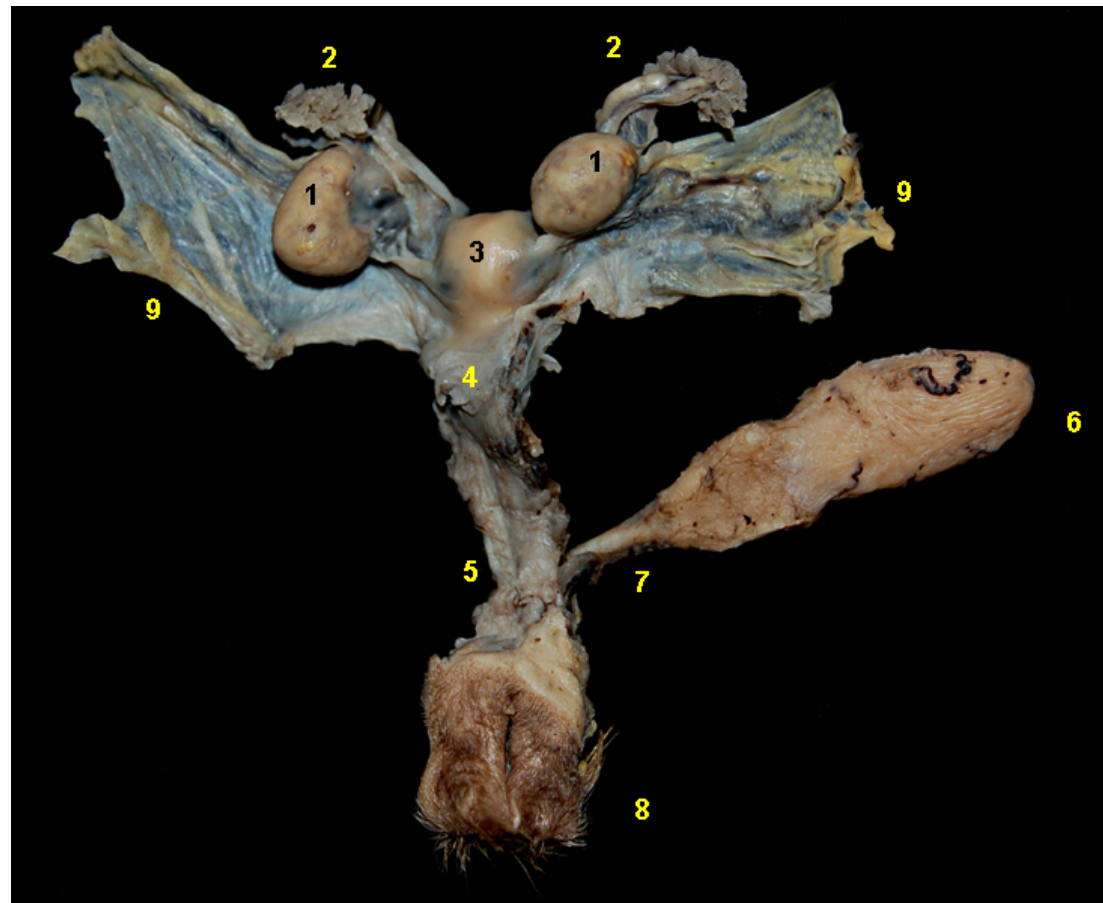


Figura 6.285 - Visión dorsal de los órganos urogenitales femeninos de mono nocturno (*Aotus nancymae*). 1. Ovarios; 2. Trompas uterinas y infundíbulos; 3. Cuerpo uterino; 4. Cuello uterino; 5. Vagina; 6. Vejiga urinaria; 7. Uretra; 8. Vulva; 9. Ligamentos anchos.

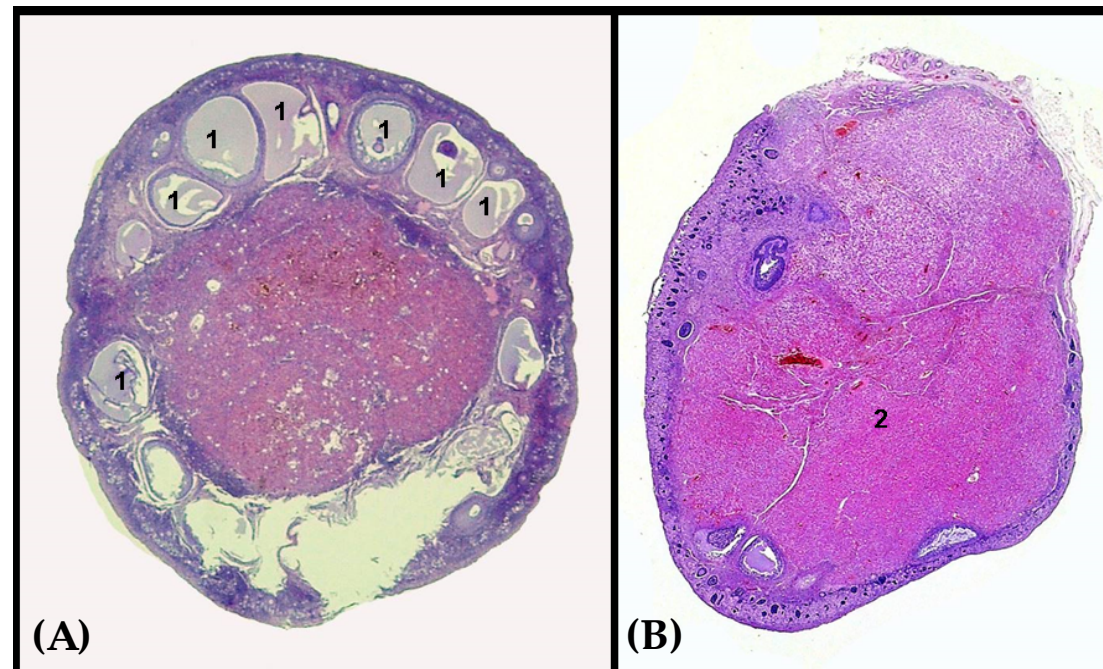


Figura 6.286 - Secciones histológicas del ovario de mono nocturno (*Aotus spp.*) en (A) fase folicular y (B) fase luteal. 1. Folículos ováricos; 2. Cuerpo lúteo.

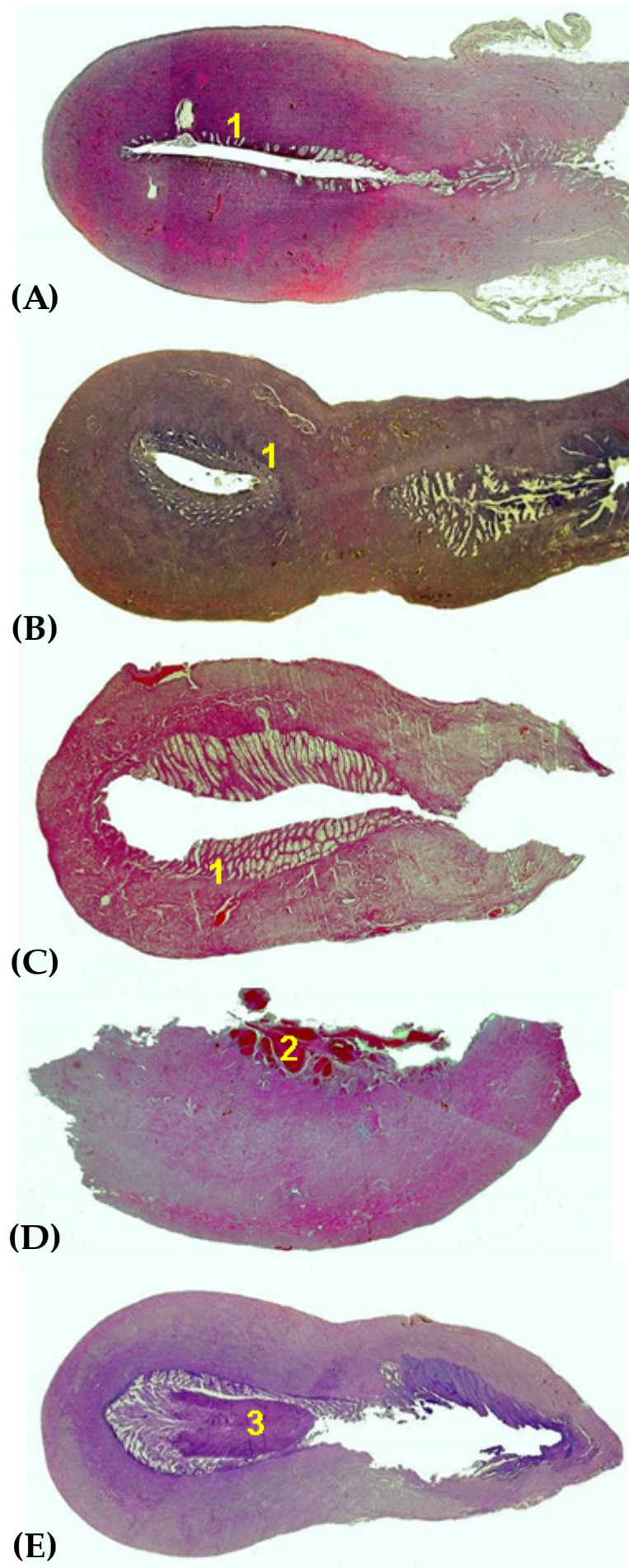


Figura 6.287 - Secciones histológicas del útero de hembra de mono nocturno (*Aotus spp.*). (A) Fase folicular-proliferativa temprana. (B) Fase folicular-proliferativa avanzada. (C) Fase luteal-secretrora. (D) Fase de menstruación. (E) Hembra gestante. Se observa el crecimiento progresivo del endometrio y de las glándulas endometriales en las hembras cíclicas, hasta llegar a la fase de menstruación en la que se desprende el endometrio funcional. El endometrio de la hembra gestante se encuentra invadido por las membranas fetales, facilitando el contacto materno-fetal a través de discos placentarios. 1. Endometrio funcional; 2. Coágulos de sangre; 3. Disco placentario.

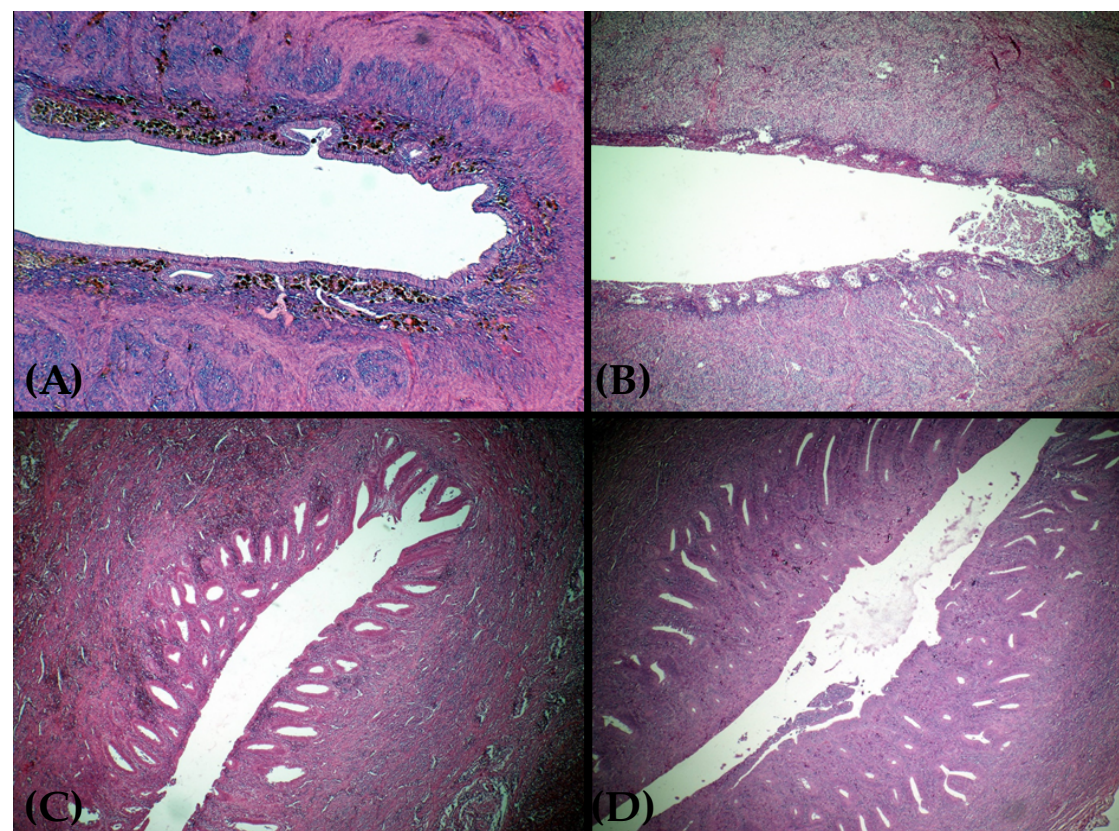


Figura 6.288 - Secciones histológicas del cuerpo uterino de hembra de mono nocturno (*Aotus spp.*) en (A) fase folicular-proliferativa temprana, (B) fase folicular-proliferativa intermedia, (C) fase folicular-proliferativa avanzada y (D) fase luteal-secretrora. Se observa el crecimiento progresivo del endometrio y de las glándulas endometriales en las hembras cíclicas. En esta especie no se ha observado una gran actividad secretora de las glándulas endometriales en la fase luteal.

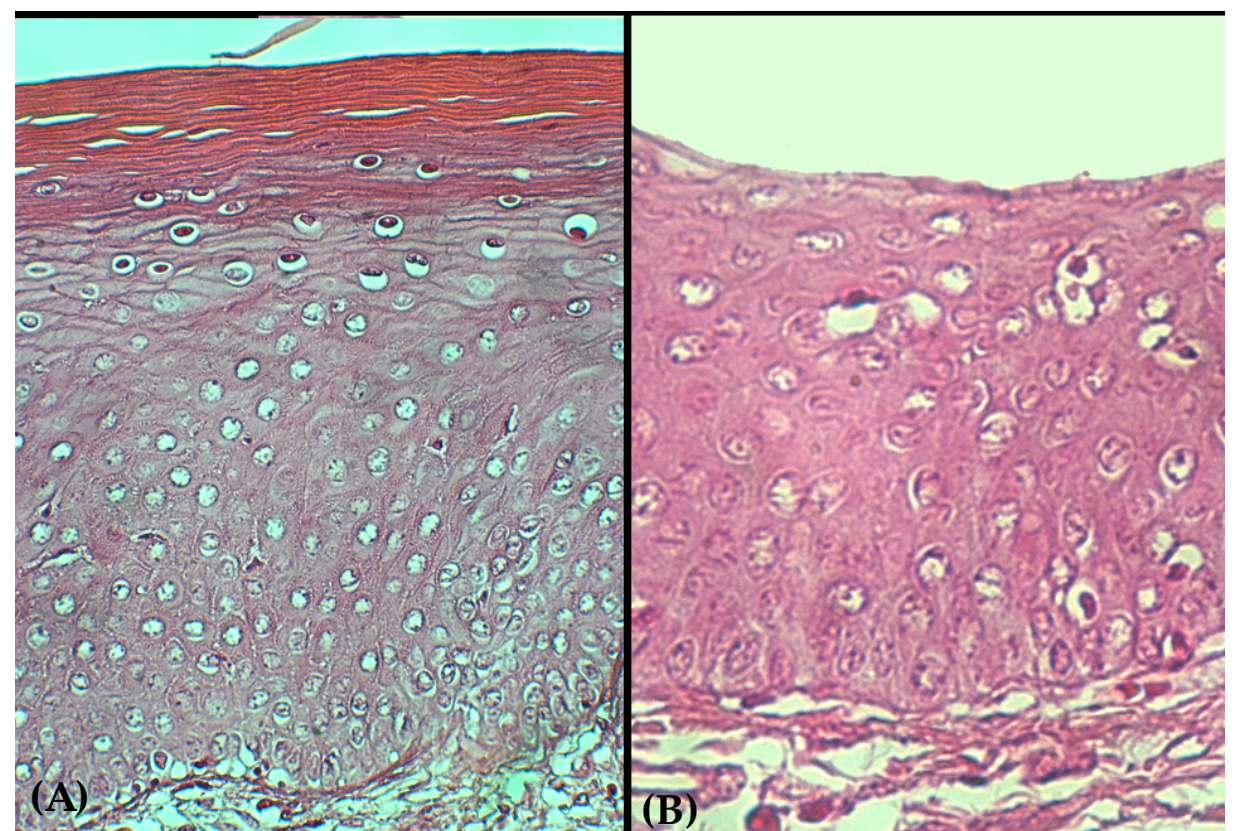


Figura 6.289 - Secciones histológicas de la vagina de mono nocturno (*Aotus spp.*) en (A) fase folicular y (B) fase luteal. Se observa una mayor cornificación del epitelio vaginal en la fase folicular.





MONO TITÍ COBRIZO (*Callicebus cupreus*)

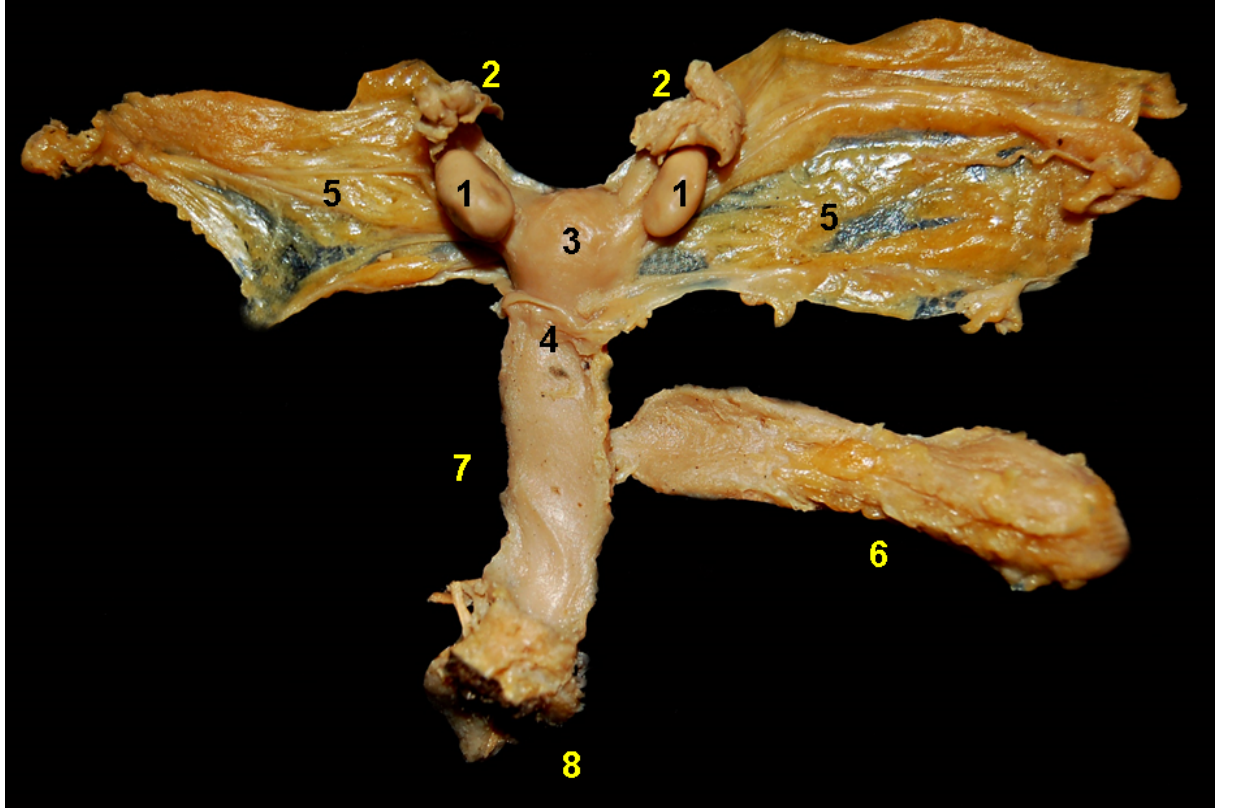


Figura 6.290 - Visión dorsal de los órganos genitales de una hembra de mono tití cobrizo (*Callicebus cupreus*). 1. Ovarios; 2. Trompas uterinas; 3. Cuerpo uterino; 4. Cuello uterino; 5. Ligamentos anchos; 6. Vejiga urinaria; 7. Vagina; 8. Vulva.

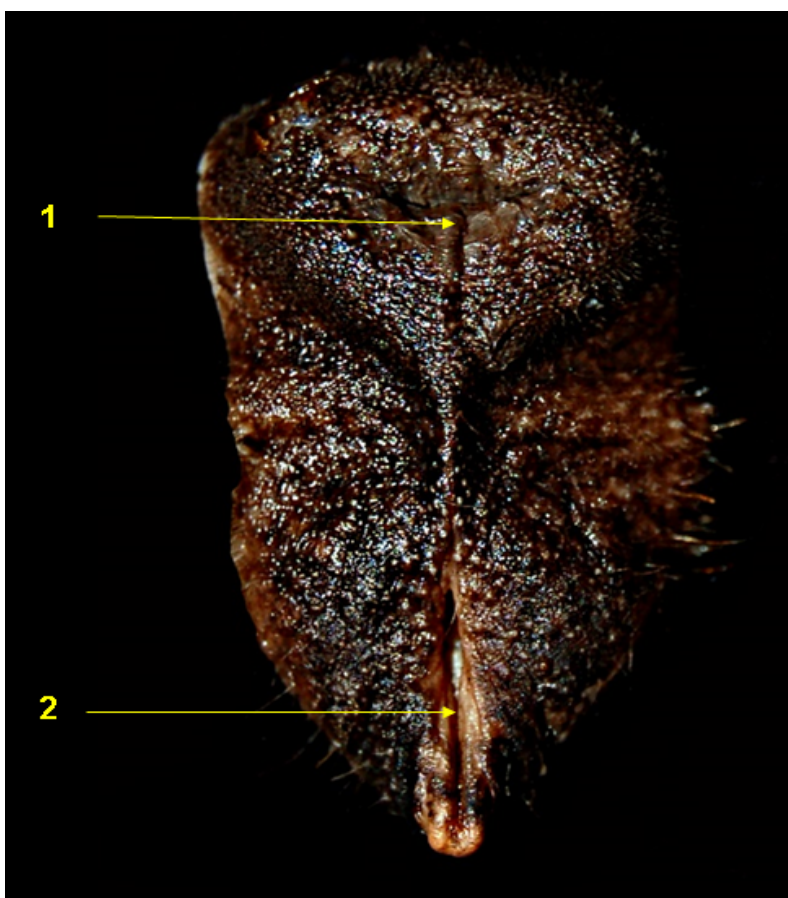


Figura 6.291 - Ano y vulva de una hembra de mono tití cobrizo (*Callicebus cupreus*). 1. Ano; 2. Hendidura vulvar.



Figura 6.292 - Visión dorsal de los órganos genitales de una hembra de mono tití cobrizo (*Callicebus cupreus*) en periodo gestacional temprano. 1. Ovario; 2. Trompa uterina; 3. Cuerpo uterino; 4. Cuello uterino; 5. Ligamento ancho; 6. Vejiga urinaria; 7. Uretra; 8. Vagina; 9. Vulva.

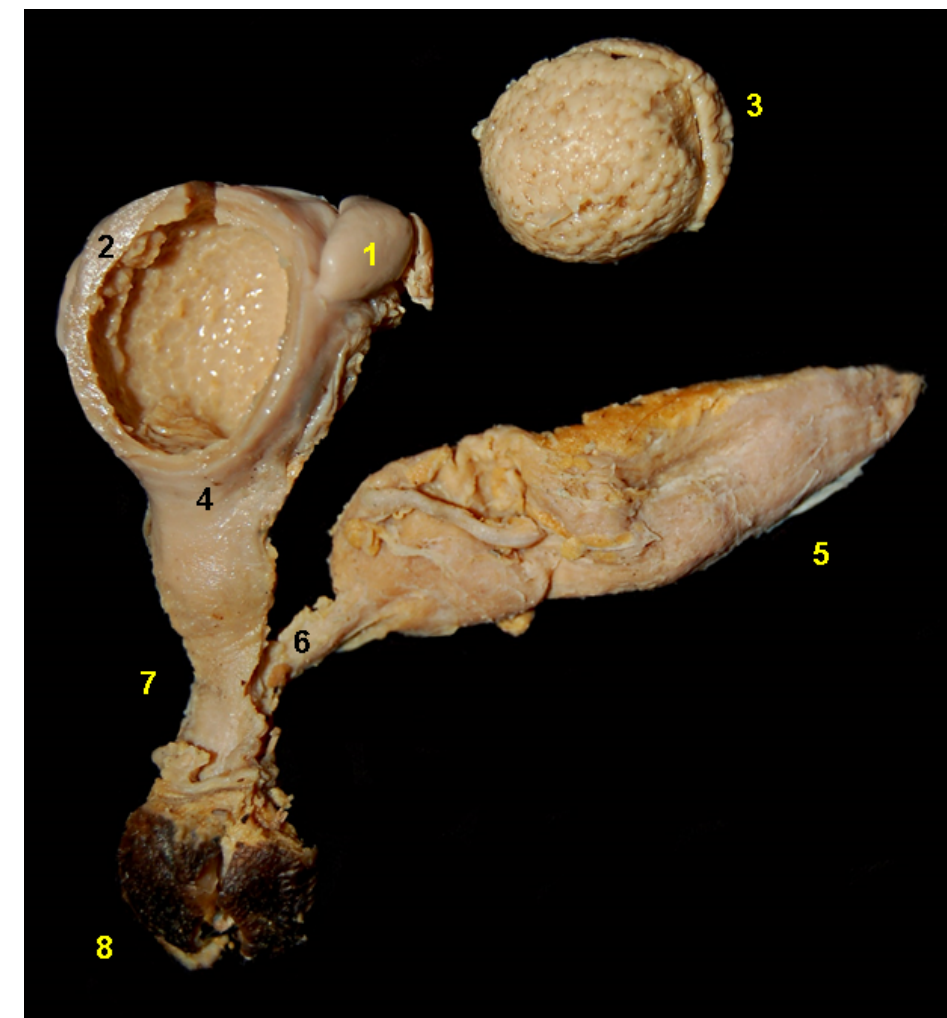


Figura 6.293 - Visión dorsal de los órganos genitales de una hembra de mono tití cobrizo (*Callicebus cupreus*) en periodo gestacional temprano. Se ha abierto el cuerpo del útero y se ha retirado el saco coriónico. 1. Ovario; 2. Cuerpo uterino; 3. Saco coriónico; 4. Cuello uterino; 5. Vejiga urinaria; 6. Uretra; 7. Vagina; 8. Vulva.

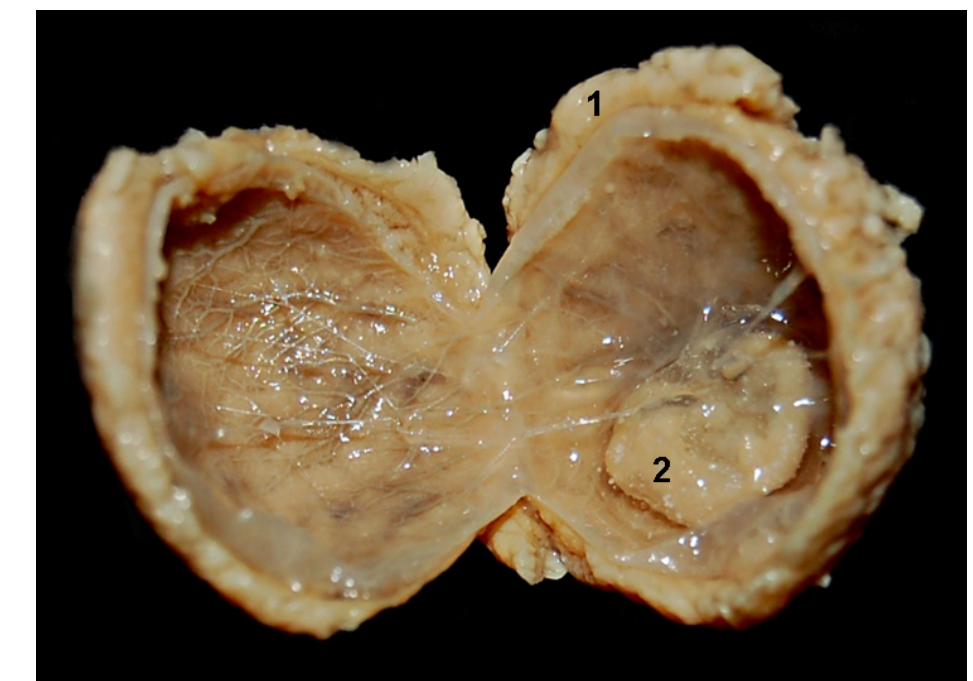


Figura 6.294 - Membranas fetales y embrión de mono tití cobrizo (*Callicebus cupreus*). Placenta discoidea, decidua y hemocorial. 1. Zona discoidea de contacto materno-fetal; 2. Embrión.



MICO BEBELECHE (*Leontocebus fuscicollis*)

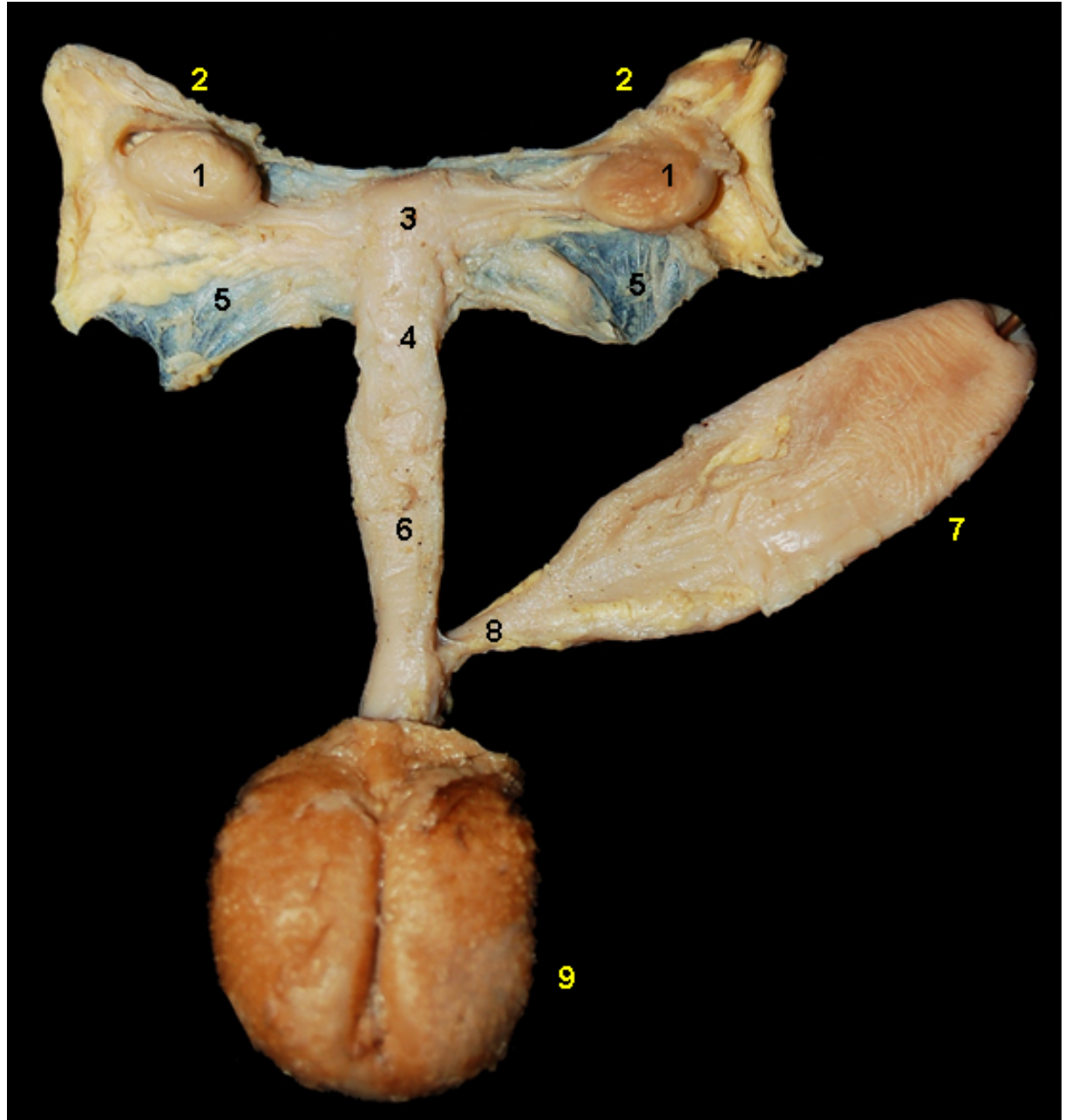


Figura 6.295 - Visión dorsal de los órganos genitales de una hembra de mico bebeleche (*Leontocebus fuscicollis*). 1. Ovarios; 2. Trompas uterinas; 3. Cuerpo uterino; 4. Cuello uterino; 5. Ligamentos anchos; 6. Vagina; 7. Vejiga urinaria; 8. Uretra; 9. Vulva.

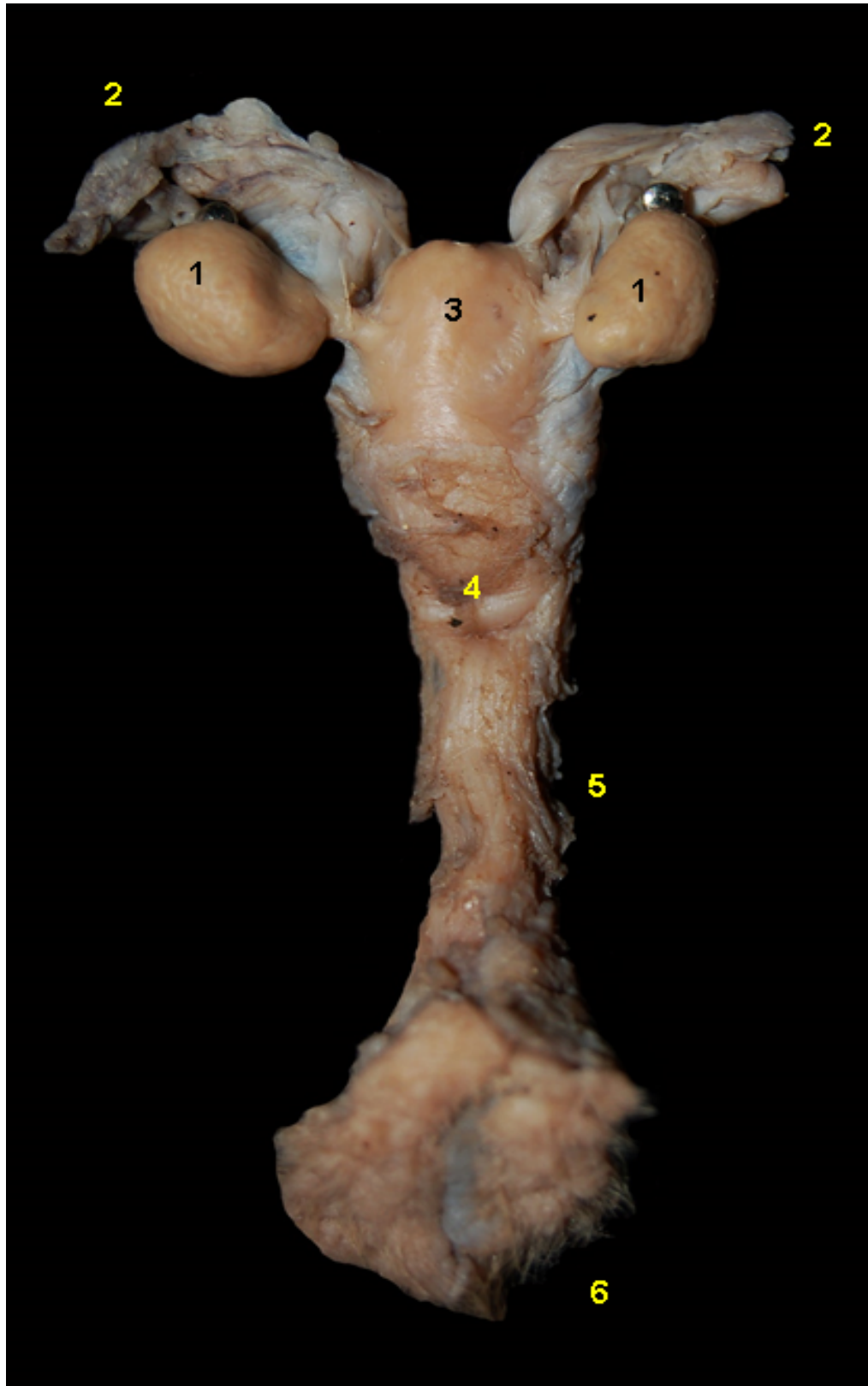


Figura 6.296 - Visión dorsal de los órganos genitales de una hembra de mico bebeleche (*Leontocebus fuscicollis*). 1. Ovarios; 2. Infundíbulos de las trompas uterinas; 3. Cuerpo uterino; 4. Cuello uterino; 5. Vagina; 6. Vulva.

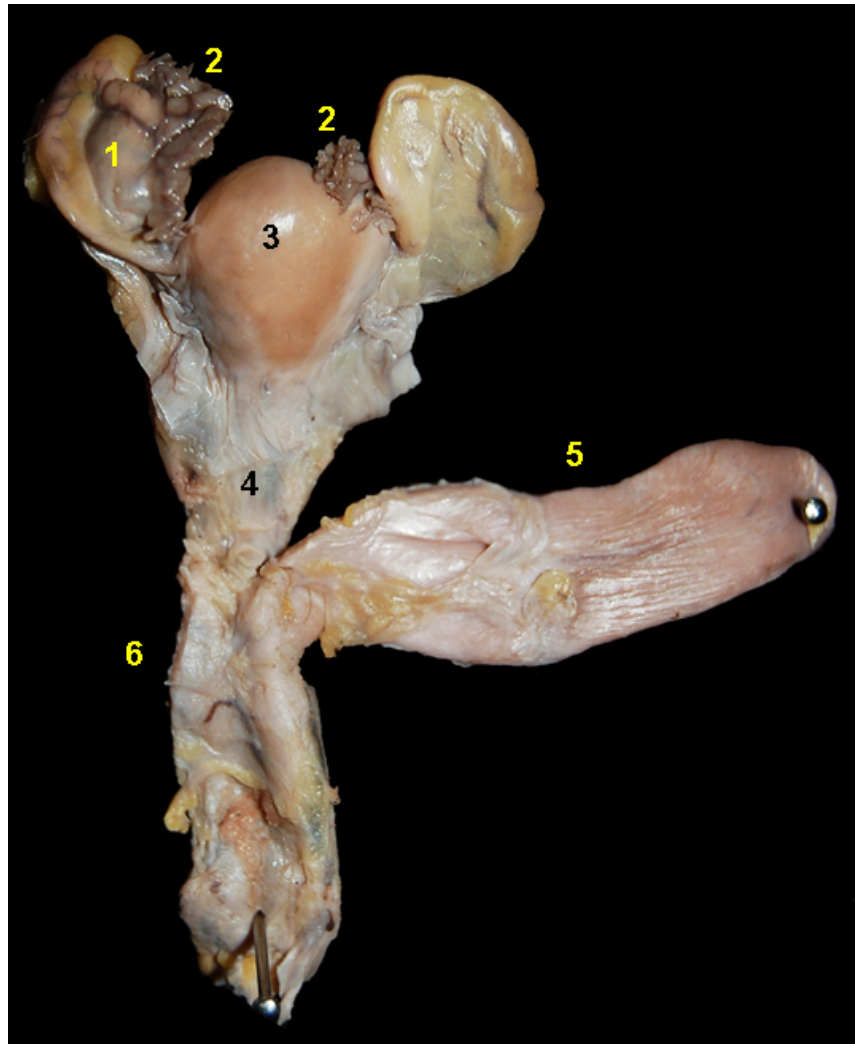


Figura 6.297 - Visión dorsal de los órganos genitales de una hembra de mico bebeleche (*Leontocebus fuscicollis*). 1. Ovario; 2. Infundíbulos de las trompas uterinas; 3. Cuerpo uterino; 4. Cuello uterino; 5. Vejiga urinaria; 6. Vagina.

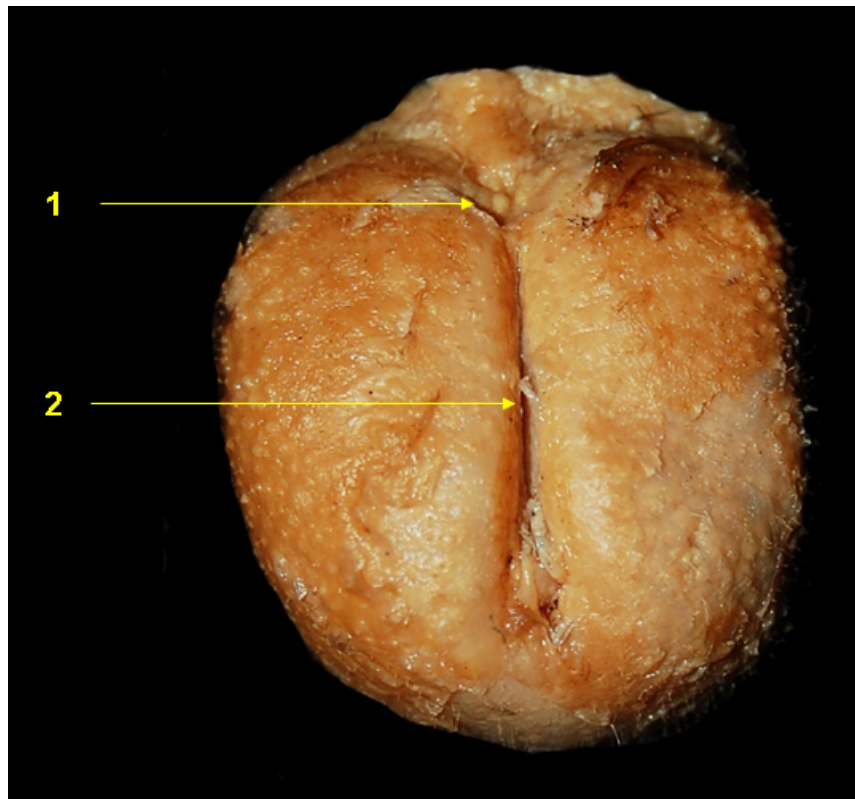


Figura 6.298 - Ano y vulva de una hembra de mico bebeleche (*Leontocebus fuscicollis*). 1. Ano; 2. Hendidura vulvar.

ÓRGANOS GENITALES MASCULINOS

Los órganos genitales masculinos son los responsables de la formación, maduración, transporte y transmisión de las células germinales masculinas o espermatozoides.

Testículos

Los testículos son órganos endocrinos productores de espermatozoides. En los mamíferos adultos los testículos son generalmente extra-abdominales y se localizan en la región inguinal dentro de la bolsa escrotal. Los testículos de los mamíferos están rodeados por una firme cápsula de tejido conectivo, la túnica albugínea. El **tejido conjuntivo** también se acumula en la zona central del testículo, donde forma el mediastino testicular. Desde el mediastino irradian **septos conjuntivos** que se extienden hacia la albugínea. Entre los septos se disponen los lóbulos con el parénquima testicular, que incluye los túbulos seminíferos donde se generan los espermatozoides. Los túbulos seminíferos confluyen, dentro del mediastino testicular, en la rete testis. La rete testis se continúa mediante los conductillos eferentes, que salen del testículo para introducirse en la cabeza del epidídimo.

Particularidades según el orden taxonómico

Los testículos de los roedores histicognatos (Rodentia), del oso hormiguero gigante y tamandúa (Pilosa) se localizan dentro de la cavidad abdominal

La organización del mediastino es perfectamente visible en los prociónidos y felinos (Carnivora), los histicognatos (Rodentia), el tapir (Perissodactyla) y los venados y pecaríes (Artiodactyla).

En los primates (Primates), la nutria gigante (Carnivora) y el oso hormiguero gigante (Pilosa) el mediastino testicular no se observa macroscópicamente.

Epidídimo

El epidídimo es un órgano unido al testículo, en el que maduran y se almacenan los espermatozoides hasta la eyaculación. Consta de cabeza, cuerpo y cola. En la cabeza de epidídimo se sitúan los conductillos eferentes procedentes de la rete testis, que terminan confluyendo para formar el conducto del epidídimo.

El conducto epididimario es extraordinariamente flexuoso y se dispone retráido en el cuerpo y la cola del epidídimo. Después de la cola del epidídimo el conducto epididimario se continúa con el conducto deferente. El ligamento de la cola del epidídimo une esta estructura con las envolturas testiculares. El ligamento propio del testículo mantiene unido el testículo con la cola del epidídimo.

Conducto deferente

El conducto epididimario se continúa con el conducto deferente, que discurre

CAPÍTULO 7 ÓRGANOS GENITALES MASCULINOS

incluido en el cordón espermático. El cordón espermático, además del conducto deferente, contiene la arteria testicular, el plexo venoso pampiniforme (equivalente a la vena testicular), y fibras simpáticas, vasos linfáticos y el proceso vaginal. El cordón espermático pasa a través del canal inguinal y entra en la cavidad abdominal, donde sus elementos se separan. El conducto deferente entra en la cavidad pélvica, donde desemboca en el colículo seminal, en la parte prostática de la uretra pélvica.

Glándulas genitales accesorias

El semen está formado por los propios espermatozoides y por las secreciones producidas por el conjunto de glándulas genitales accesorias del macho. Estas glándulas están ubicadas en las proximidades de la porción pélvica de la uretra. En los mamíferos se pueden encontrar las siguientes glándulas genitales accesorias:

- Glándulas de la ampolla del conducto deferente. Antes de desembocar en la uretra pélviana el conducto deferente se dilata y forma una ampolla en cuyo interior se encuentran estas glándulas. No siempre se diferencian macroscópicamente.
- La glándula vesicular. Se sitúa sobre el cuello de la vejiga de la orina. Su conducto excretor desemboca en el conducto deferente cerca del colículo seminal.
- La próstata está próxima al cuello de la vejiga de la orina y se sitúa rodeando a la uretra. La próstata produce y armazena un líquido blanquecino y viscoso cuya función es estimular el movimiento de los espermatozoides. Los conductillos prostáticos desembocan en la parte prostática de la uretra.

Particularidades según el orden taxonómico

Rodentia

En los roedores histicognatos se diferencian las glándulas vesiculares, la próstata y las glándulas bulbouretrales.

Cingulata y Pilosa

En el oso hormiguero gigante, tamandúa y el armadillo de nueve bandas se diferencian las glándulas vesiculares, la próstata y las glándulas bulbouretrales.

Artiodactyla

Las glándulas genitales accesorias de los venados son las glándulas de la ampolla del conducto deferente, las glándulas vesiculares y la próstata. En los pecaríes están presentes las glándulas vesiculares, la próstata, las glándulas bulbouretrales y las glándulas de la ampolla del conducto deferente.

Perissodactyla

Las glándulas genitales accesorias del tapir son las glándulas de la ampolla del conducto deferente, las glándulas vesiculares y la próstata.

Carnivora

En todos los carnívoros estudiados se diferencian las glándulas de la ampolla del conducto deferente y la próstata. Además, en el ocelote y en el jaguar hay glándulas bulbouretrales.

Primates

En los primates neotropicales se diferencian las glándulas vesiculares y la próstata.

Pene

El pene es el órgano copulador del macho. Está formado por la raíz, el cuerpo y el glande. En la raíz se diferencian los dos pilares de pene, que se insertan en el arco isquiático, y el bulbo del pene.

La estructura del pene de los mamíferos varía considerablemente entre especies. El pene está formado por dos cuerpos cavernosos y un único cuerpo esponjoso. Los cuerpos cavernosos forman esencialmente los pilares y el cuerpo del pene. El cuerpo esponjoso rodea en toda su extensión a la uretra. El glande del pene está constituido principalmente por cuerpo esponjoso.

En función de la densidad del tejido conectivo fibroso y del tamaño de las cavernas y espacios vasculares de los cuerpos cavernosos se diferencian dos tipos de pene. En los penes fibroelásticos las trabéculas conectivas predominan sobre las cavernas vasculares, de modo que el órgano tiene una consistencia firme incluso cuando no está erecto. En los penes musculocavernosos las cavernas vasculares predominan sobre las trabéculas de tejido conjuntivo; en este caso el pene alcanza una consistencia muy firme durante la erección, pero se ablanda y disminuye considerablemente de volumen cuando no hay erección.

Particularidades según el orden taxonómico

Rodentia

El pene de los roedores histicognatos presenta una flexura sigmoidea característica. La paca y el agutí presentan dos formaciones espiculadas externas cornificadas en posición dorsolateral del cuerpo del pene. En función de las observaciones macroscópicas no se ha podido clasificar el pene de los roedores histicognatos como fibroelástico o musculocavernoso.

Pilosa

En el caso del oso hormiguero gigante y del tamandúa el pene se clasifica como fibroelástico, tiene una forma cónica y se dirige caudalmente. El pene está formado por abundante tejido conectivo denso. El tejido eréctil está poco desarrollado. En concreto, la pequeña porción de cuerpo esponjoso en la extremidad peneana indica la ausencia del glande. Estas dos especies tampoco presentan prepucio. Debido al

escaso desarrollo del pene y a la posición interna de los testículos, es difícil diferenciar externamente al macho y de la hembra.

Artiodactyla

El pene de los pecaríes y de los venados es de tipo fibroelástico. En estado de flacidez presenta una flexura sigmoidea característica que es responsable de la prolongación que muestra el pene durante la erección. En el caso de los pecaríes la extremidad del pene presenta una ligera rotación con forma de sacacorchos.

Perissodactyla

El pene del tapir es de tipo musculocavernoso. El glande presenta un diámetro considerablemente superior al del cuerpo, de tal forma, que es fácilmente distinguible. La principal característica del pene del tapir es la presencia de unas expansiones laterales a nivel del cuello del glande, de función desconocida.

Carnivora

El pene de los carnívoros amazónicos estudiados es musculocavernoso. El glande del pene del ocelote se caracteriza por la presencia de espículas cornificadas. El jaguar y el coatí no presentan espículas en su glande. El coatí tiene un largo hueso peniano. A diferencia del gato doméstico, felinos como el ocelote y el jaguar no presentan hueso peniano.

Primates

El pene de los primates neotropicales es musculocavernoso y presenta un pequeño hueso peniano que ayuda a en la cópula. El epitelio del pene suele presentar una pigmentación oscura, excepto en el caso de *Cacajao calvus*, donde se observa una pigmentación blanquecina-rosácea.



AGUTÍ (*Dasyprocta fuliginosa*)

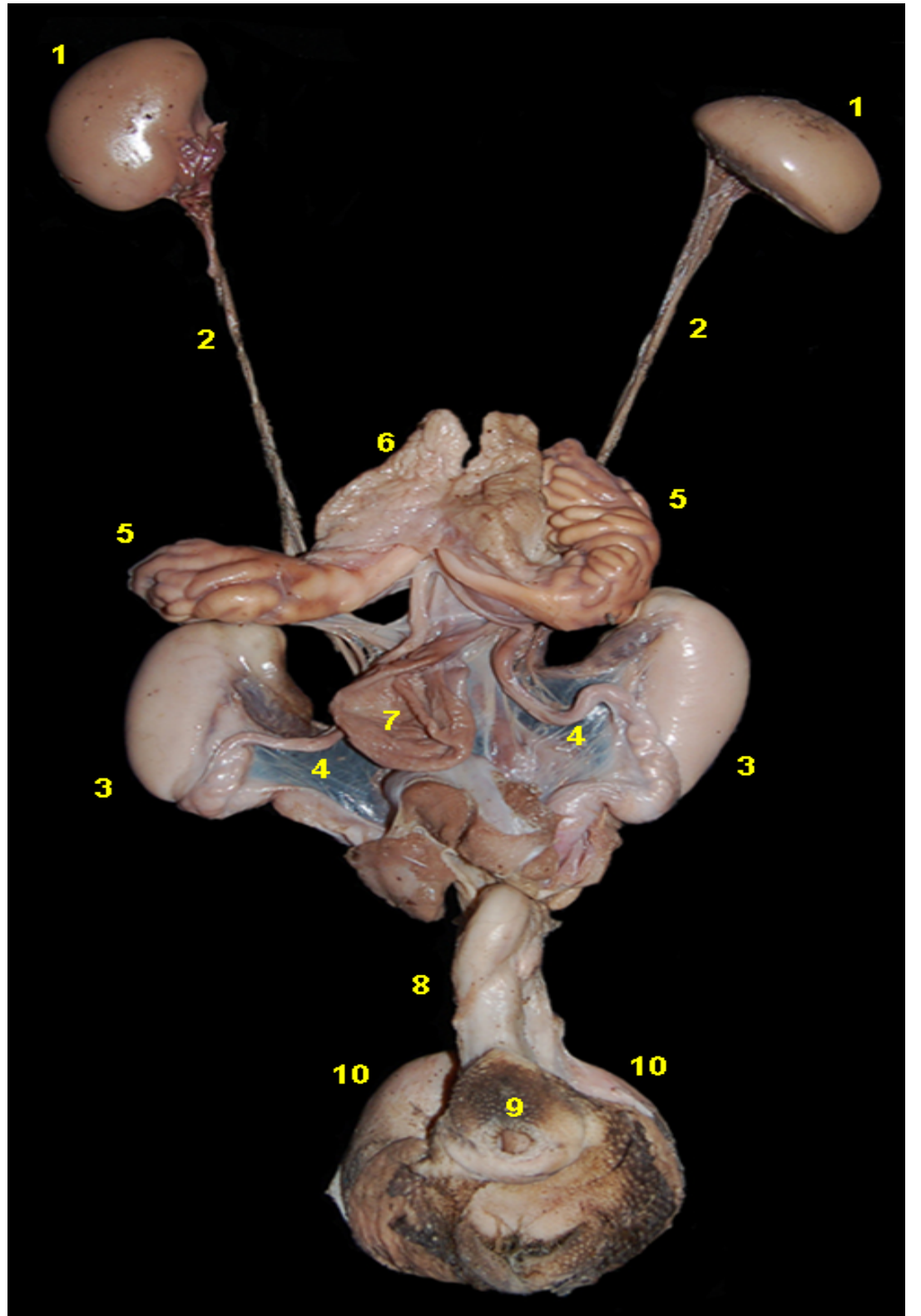


Figura 7.1 - Órganos urogenitales masculinos del agutí (*Dasyprocta fuliginosa*). 1. Riñones; 2. Uréteres; 3. Testículos; 4. Conducto deferentes; 5. Glándulas vesiculares; 6. Próstata; 7. Vejiga urinaria; 8. Pene; 9. Prepuce; 10. Glándulas paranales.

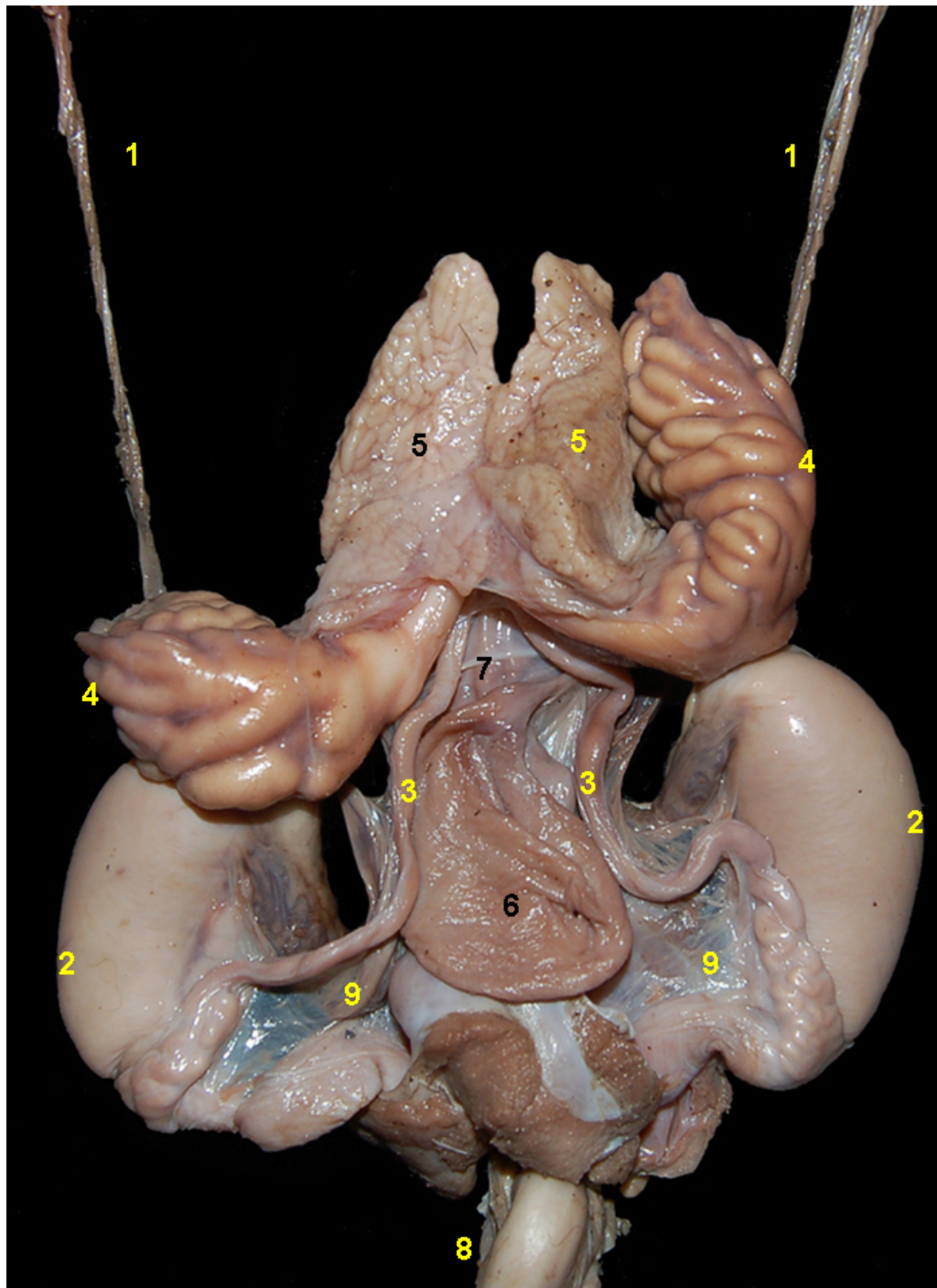


Figura 7.2 - Órganos urogenitales masculinos del agutí (*Dasyprocta fuliginosa*). La uretra está seccionada para mejor visualización de las diferentes estructuras.
1. Uréteres; 2. Testículos; 3. Conductos deferentes; 4. Glándulas vesiculares; 5. Próstata; 6. Vejiga urinaria; 7. Uretra pré-prostática; 8. Pene; 10. Mesorquios proximales.

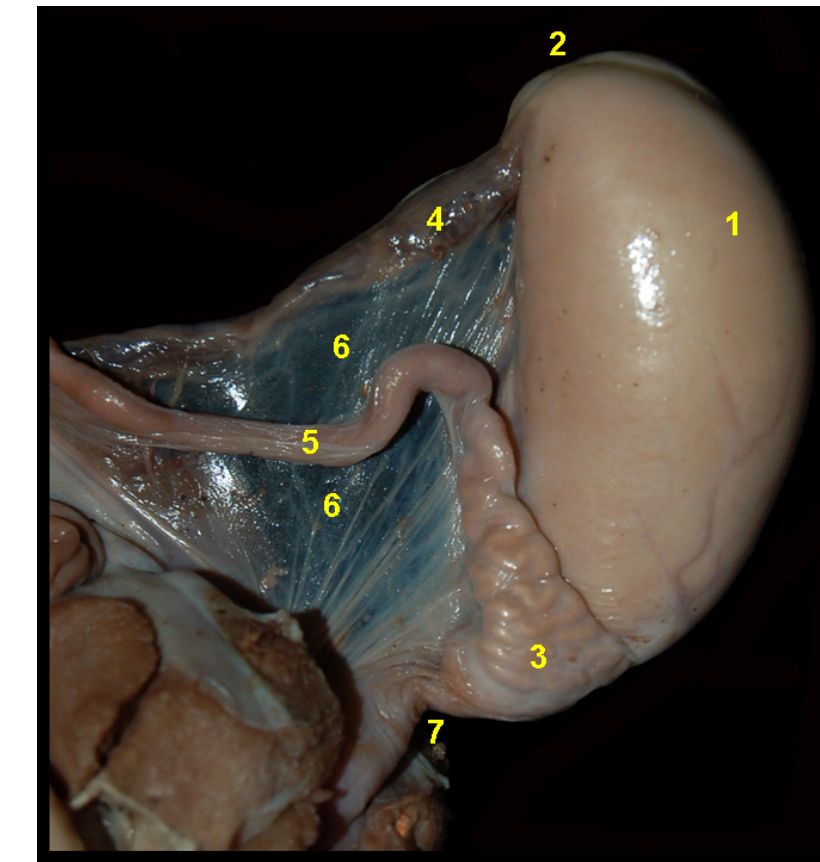


Figura 7.3 - Visión medial del testículo del agutí (*Dasyprocta fuliginosa*). 1. Testículo; 2. Cabeza del epidídimo; 3. Cola del epidídimo; 4. Plexo pampiniforme y arteria testicular; 5. Conducto deferente; 6. Mesorquio proximal; 7. Ligamento de la cola del epidídimo.

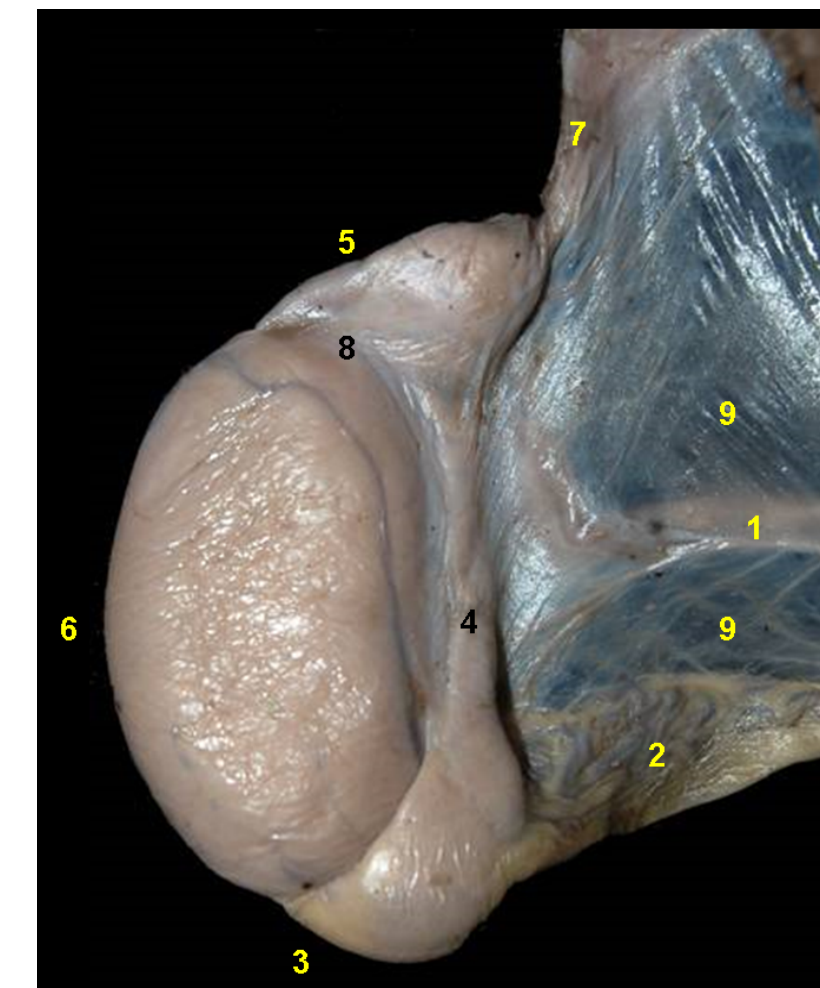


Figura 7.4 - Visión lateral del testículo del agutí (*Dasyprocta fuliginosa*). 1. Conducto deferente; 2. Plexo pampiniforme; 3. Cabeza del epidídimo; 4. Cuerpo del epidídimo; 5. Cola del epidídimo; 6. Borde libre; 7. Ligamento de la cola del epidídimo; 8. Ligamento propio del testículo; 9. Mesorquio proximal.

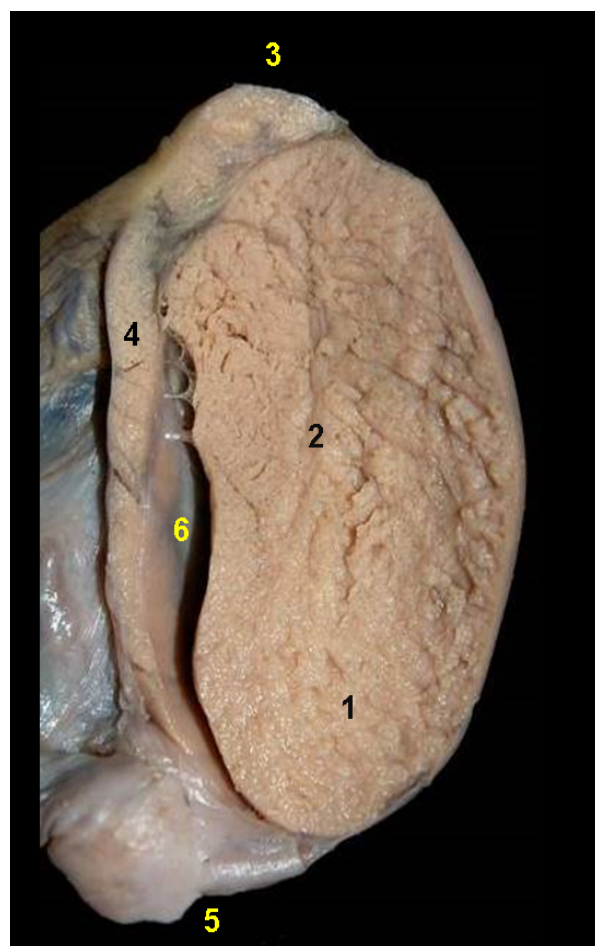


Figura 7.5 - Corte sagital del testículo del agutí (*Dasypus fuliginosus*). 1. Parénquima testicular; 2. Mediastino testicular; 3. Cabeza del epidídimo; 4. Cuerpo del epidídimo; 5. Cola del epidídimo; 6. Mesorquio distal.

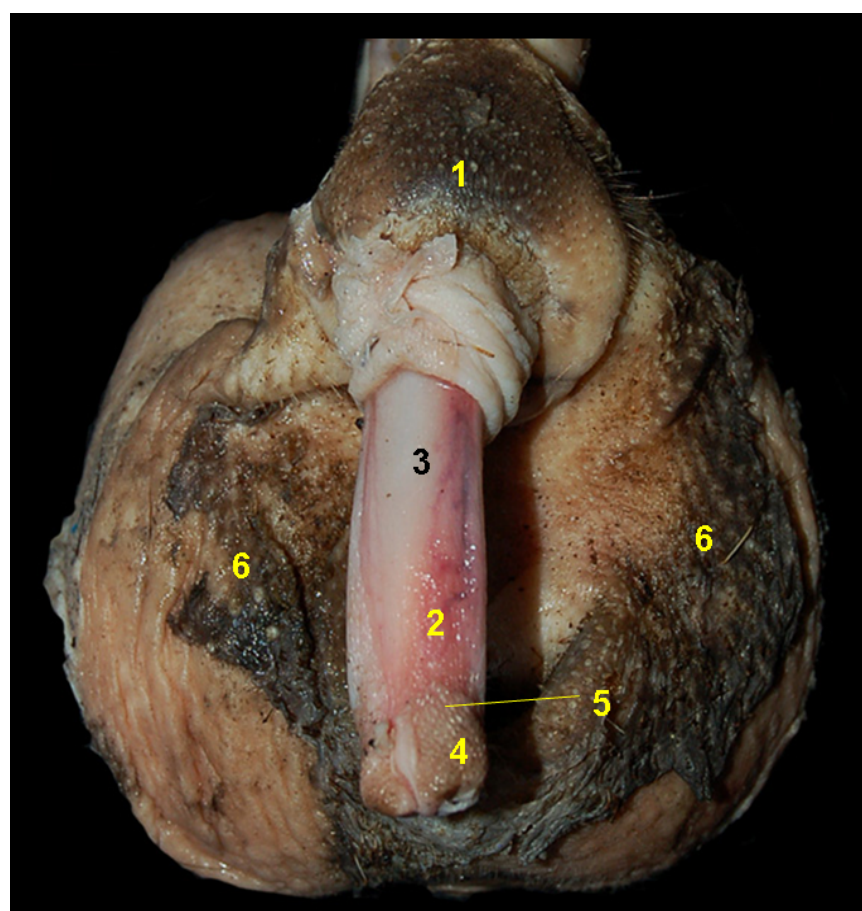


Figura 7.6 - Visión caudal de los órganos genitales masculinos del agutí (*Dasypus fuliginosus*). Se ha exteriorizado el pene desde la cavidad prepucial tras la retracción del prepucio. 1. Prepucio; 2. Pene; 3. Cuerpo del pene; 4. Glande del pene; 5. Corona de la glande; 6. Glándulas paranales.

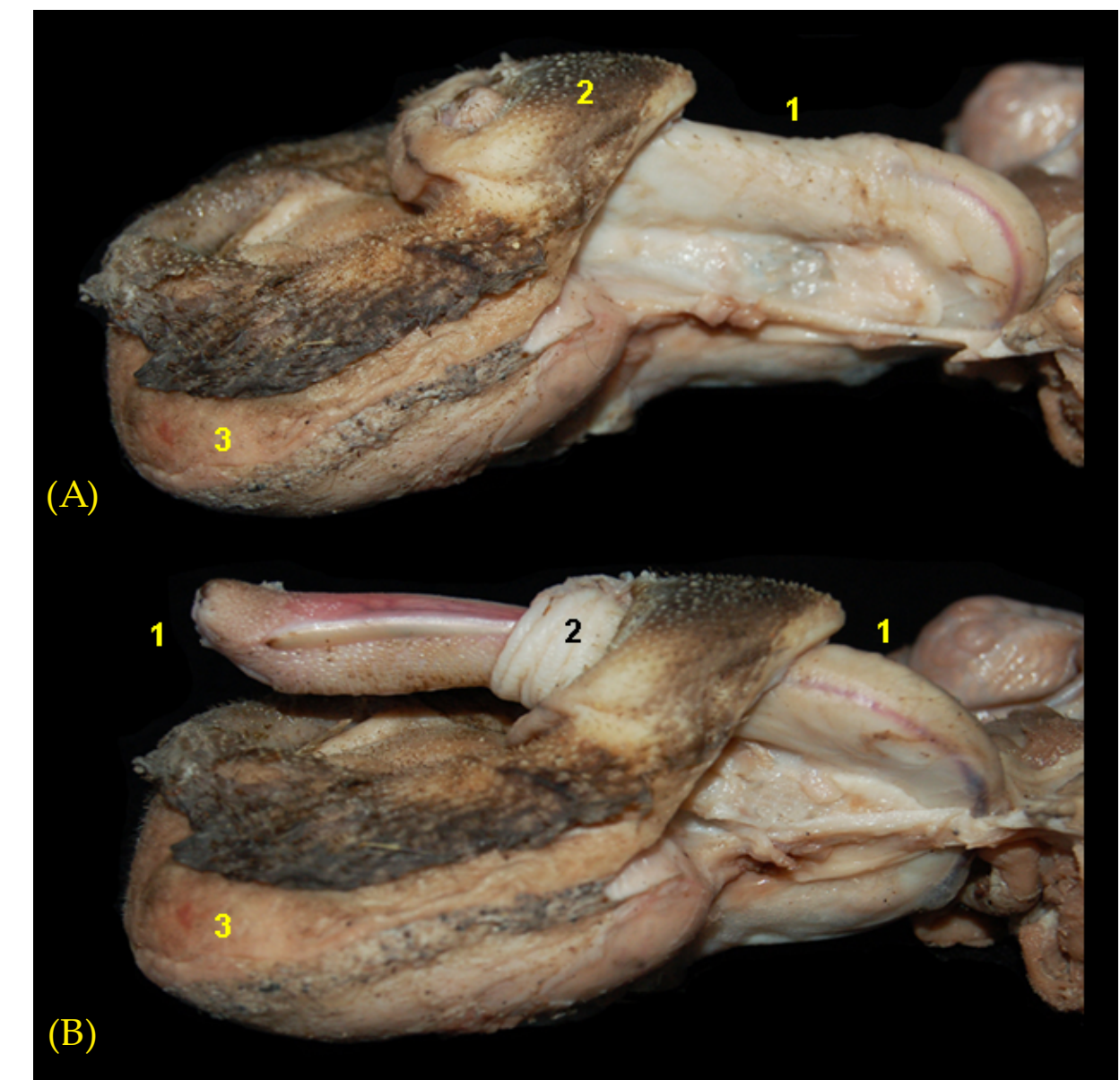


Figura 7.7 - Visión lateral de los órganos genitales masculinos del agutí (*Dasypus fuliginosus*). A - El prepucio cubre al pene completamente. B - El pene está exteriorizado desde la cavidad prepucial tras retraer el prepucio. 1. Pene; 2. Prepucio; 3. Glándulas paranales.



PACA (*Cuniculus paca*)

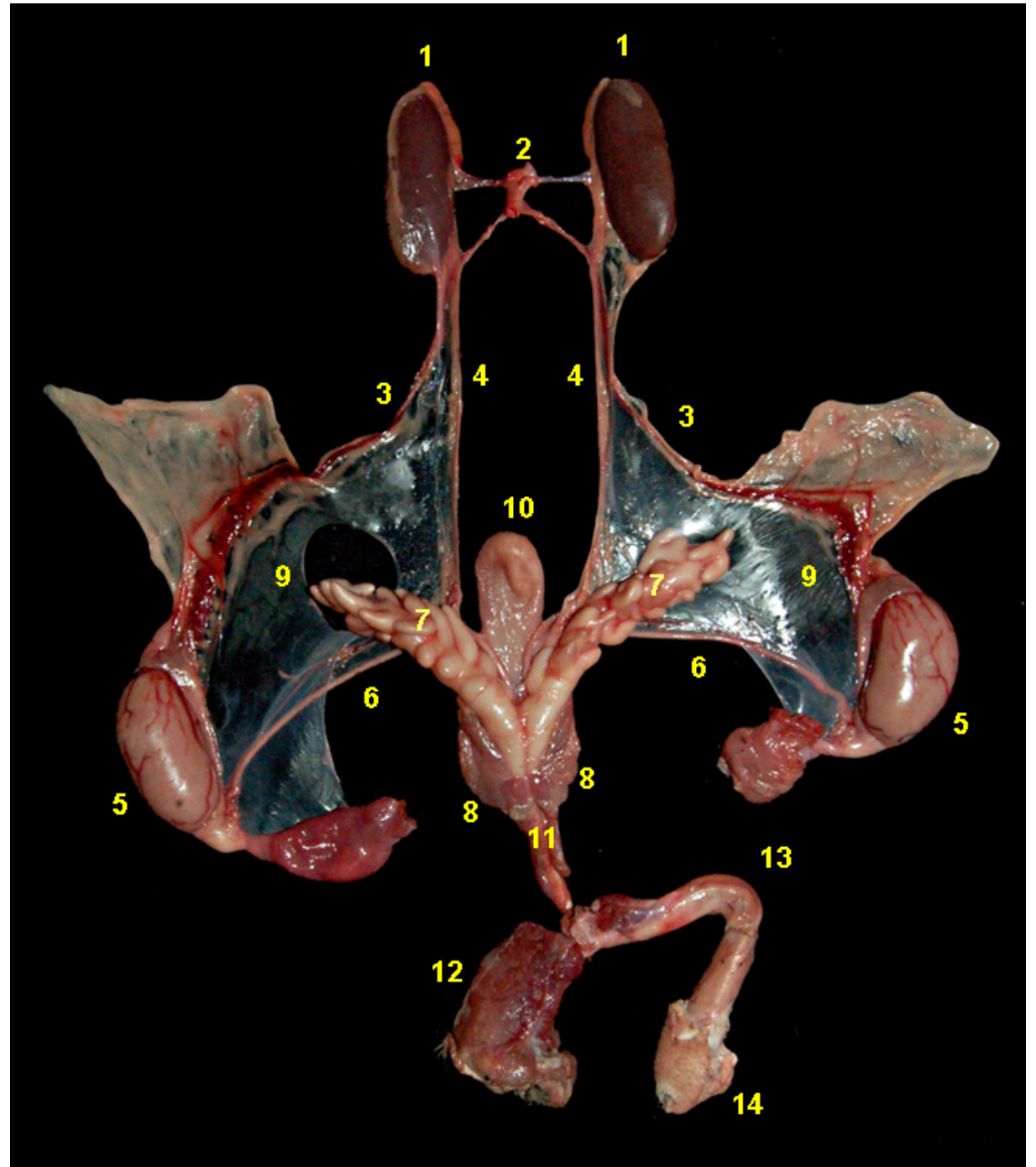


Figura 7.8 - Visión dorsal de los órganos urogenitales masculinos de la paca (*Cuniculus paca*). 1. Riñones; 2. Aorta abdominal; 3. Vasos y nervios testiculares; 4. Uréteres; 5. Testículos; 6. Conducto deferente; 7. Glándula vesicular; 8. Próstata; 9. Mesorquio proximal; 10. Vejiga urinaria; 11. Uretra pélvica; 12. Glándula bulbouretral; 13. Pene; 14. Prepuce.

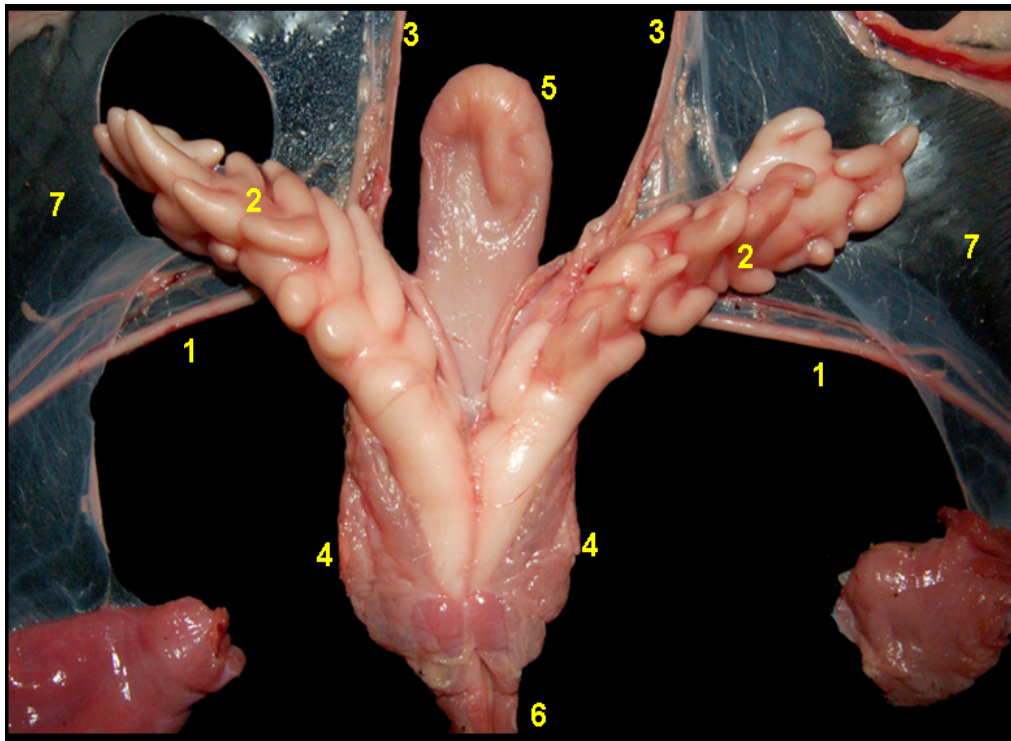


Figura 7.9 - Visión dorsal de los órganos urogenitales masculinos de la pacá (*Cuniculus paca*). 1. Conducto deferente; 2. Glándulas vesiculares; 3. Uréteres; 4. Próstata; 5. Vejiga urinaria; 6. Uretra pélvica; 7. Mesorquio proximal.

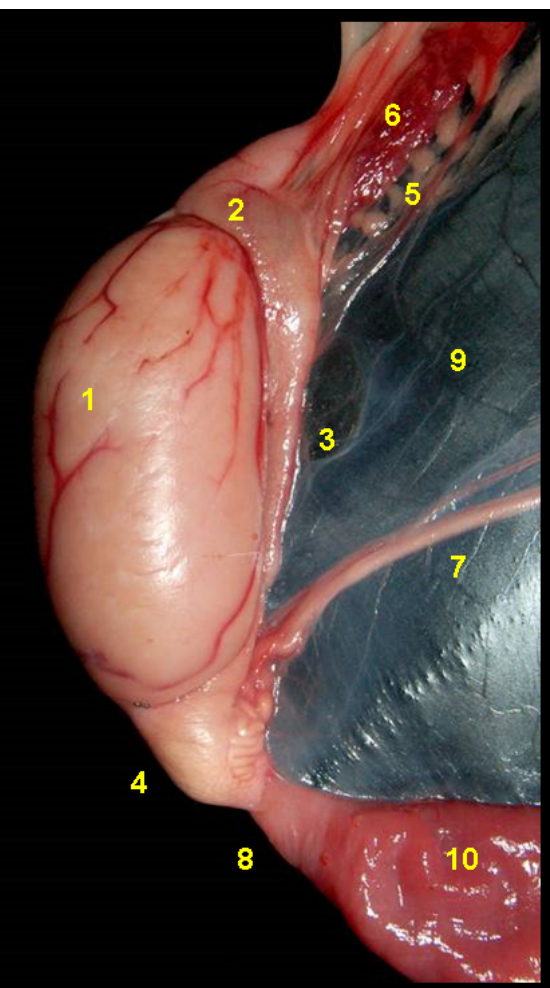


Figura 7.10 - Visión lateral del testículo de la pacá (*Cuniculus paca*). 1. Testículo; 2. Cabeza del epidídimo; 3. Cuerpo del epidídimo; 4. Cola del epidídimo; 5. Plexo pampiniforme; 6. Arteria testicular; 7. Conducto deferente; 8. Ligamento de la cola del epidídimo; 9. Mesorquio; 10. Envolturas testiculares.

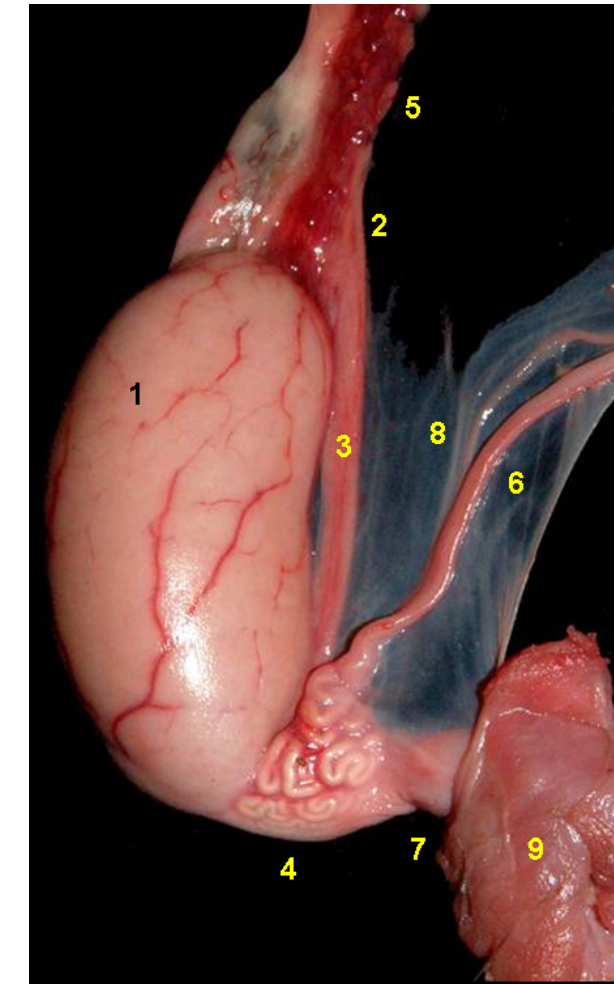


Figura 7.11 - Visión lateral del testículo de la pacá (*Cuniculus paca*). 1. Testículo; 2. Cabeza del epidídimo; 3. Cuerpo del epidídimo; 4. Cola del epidídimo; 5. Plexo pampiniforme y arteria testicular; 6. Conducto deferente; 7. Ligamento de la cola del epidídimo; 8. Mesorquio; 9. Envolturas testiculares.

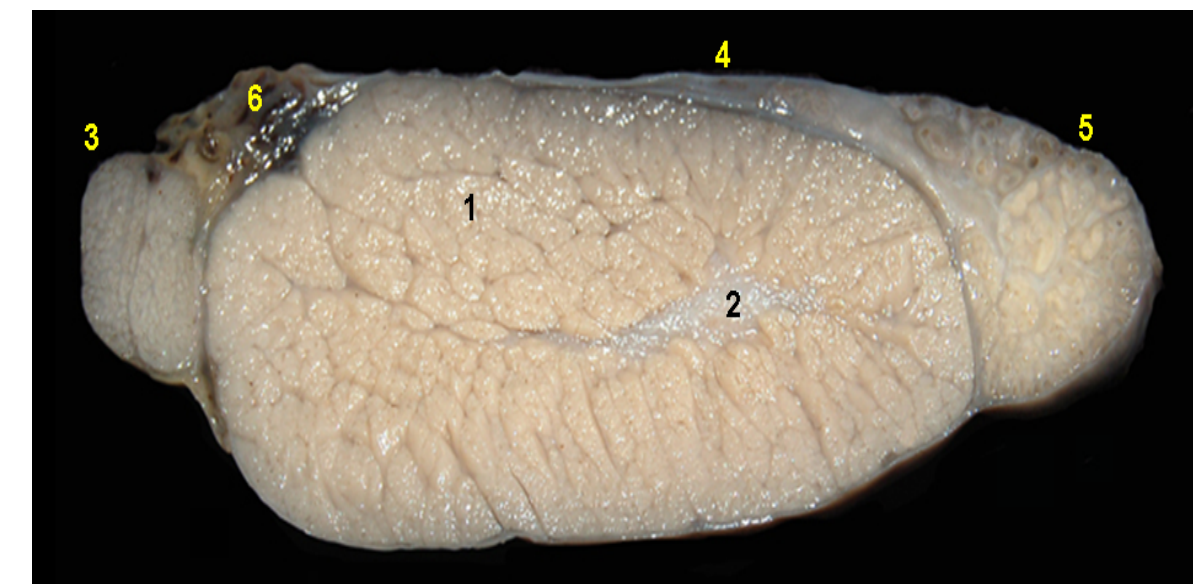


Figura 7.12 - Corte sagital del testículo de la pacá (*Cuniculus paca*). 1. Parénquima testicular; 2. Mediastino testicular; 3. Cabeza del epidídimo; 4. Cuerpo del epidídimo; 5. Cola del epidídimo; 6. Plexo pampiniforme.

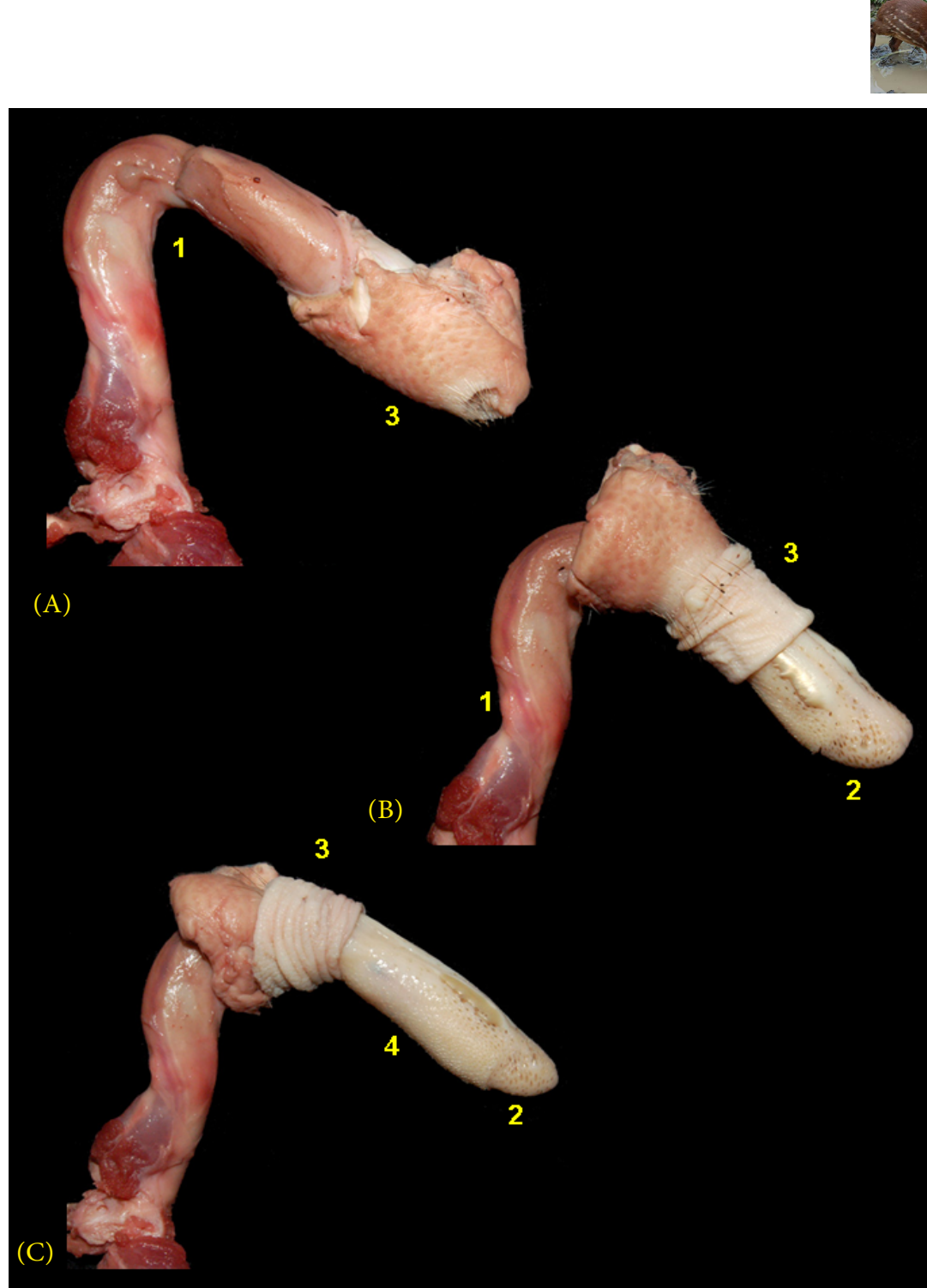


Figura 7.13 - Visión lateral del pene de la paca (*Cuniculus paca*). A - Prepucio cubriendo al pene. B - Prepucio retraído parcialmente. C - Prepucio retraído completamente. 1. Pene; 2. Glande del pene; 3. Prepucio; 4. Parte libre del pene.



Figura 7.14 - Visiones ventral (A), dorsal (B) y lateral (C), respectivamente, de la parte libre del pene de la paca (*Cuniculus paca*). El prepucio está retraído completamente. 1. Glande del pene; 2. Abertura uretral externa; 3. Espículas del pene.





PACARANA (*Dinomys branickii*)

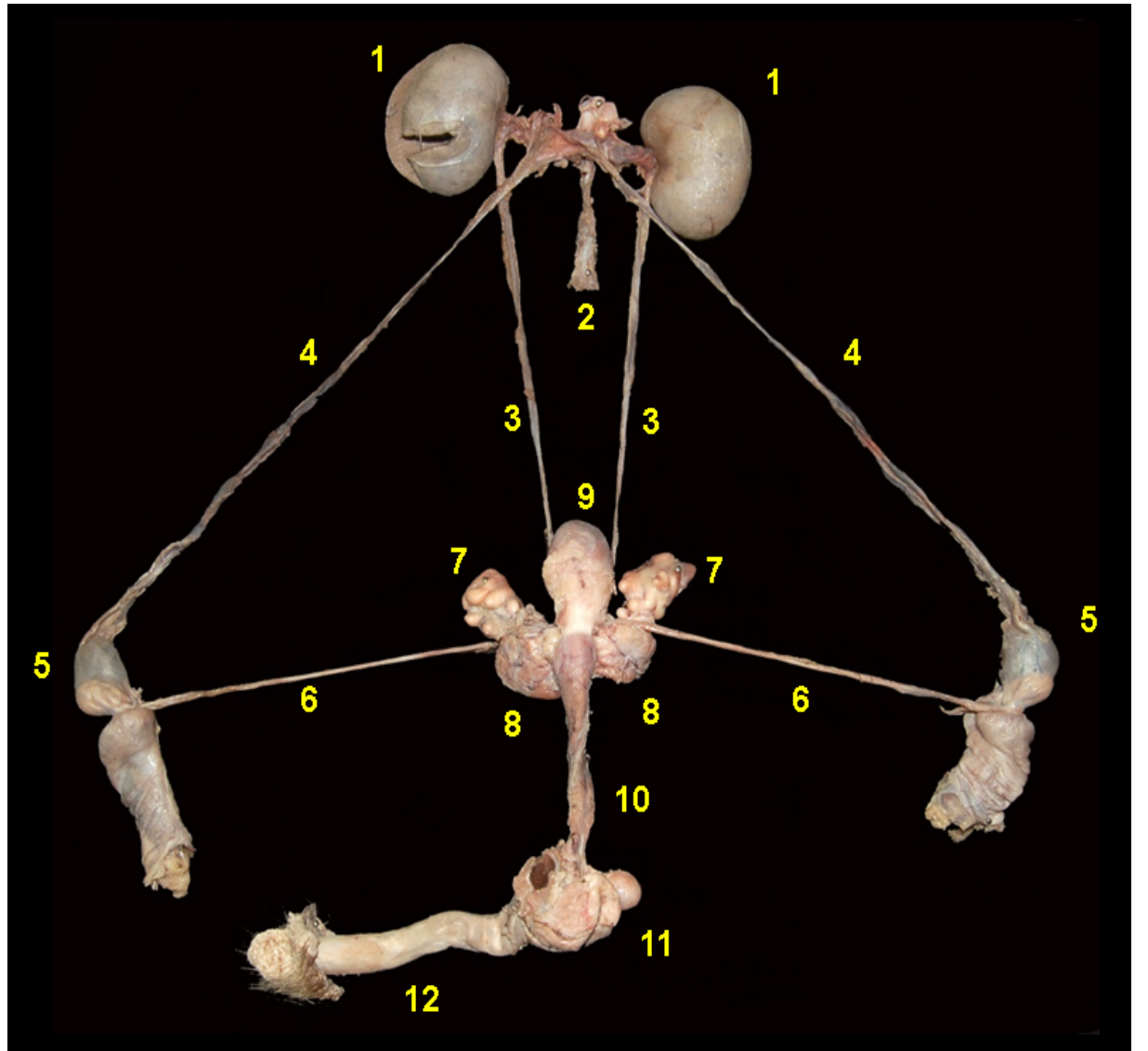


Figura 7.15 - Visión ventral de los órganos urogenitales masculinos de la pacarana (*Dinomys branickii*). 1. Riñones; 2. Aorta abdominal; 3. Uréteres; 4. Vasos y nervios testiculares; 5. Testículos; 6. Conducto deferente; 7. Glándulas vesiculares; 8. Próstata; 9. Vejiga urinaria; 10. Uretra pelviana; 11. Glándulas bulbouretrales; 12. Pene.

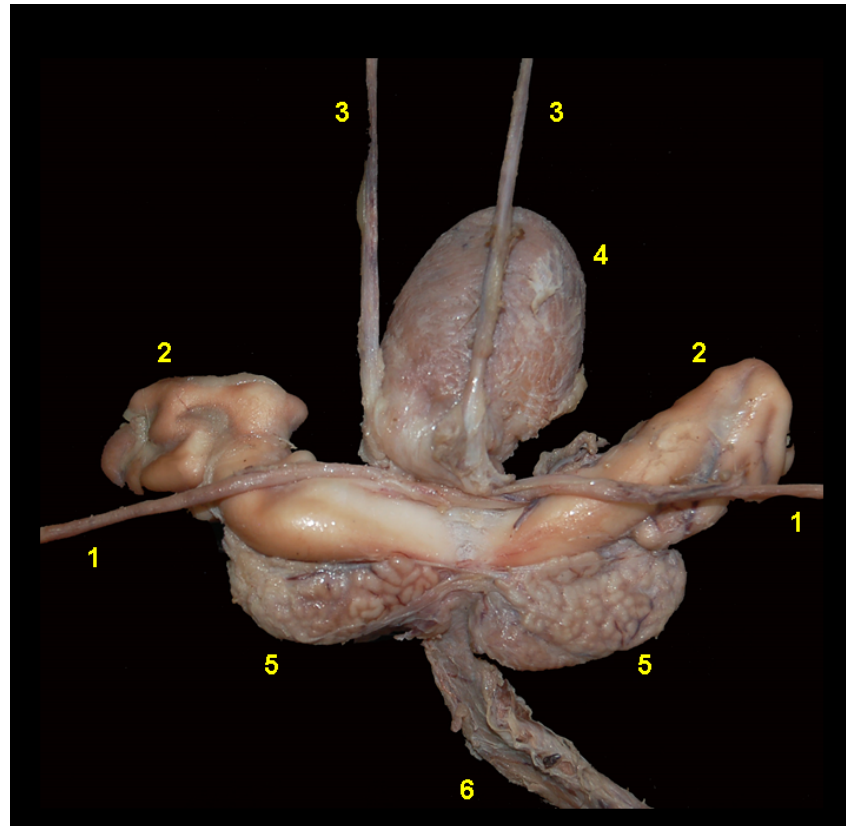


Figura 7.16 - Visión dorsal de los órganos urogenitales masculinos de la pacarana (*Dinomys branickii*).
1. Conductos deferentes; 2. Glándulas vesiculares; 3. Uréteres; 4. Vejiga urinaria; 5. Próstata; 6. Uretra pélvica.

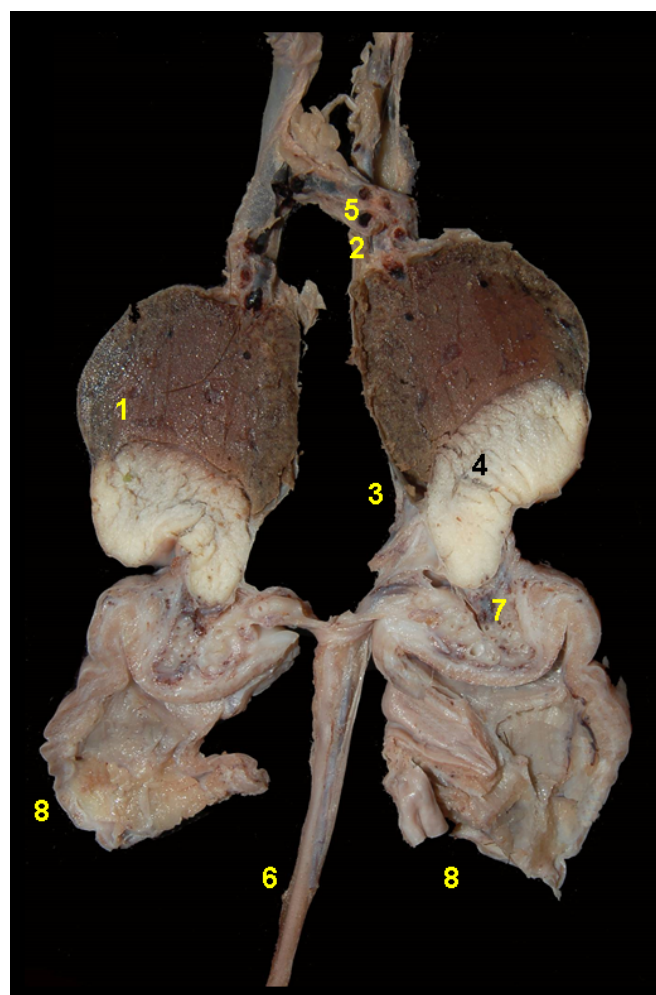


Figura 7.17 - Corte sagital del testículo de la pacarana (*Dinomys branickii*). 1. Testículo; 2. Cabeza del epidídimo; 3. Cuerpo del epidídimo; 4. Cola del epidídimo; 5. Plexo pampiniforme y arteria testicular; 6. Conducto deferente; 7. Ligamento de la cola del epidídimo; 8. Envolturas testiculares.

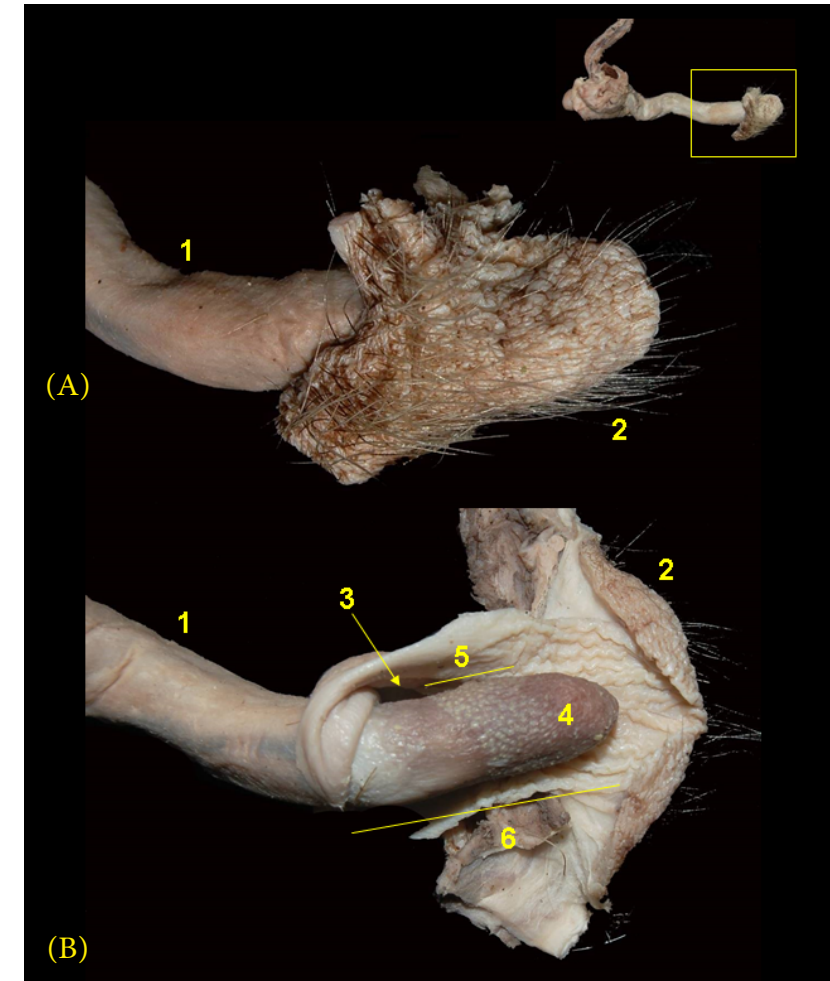


Figura 7.18 - Visión lateral del pene de la pacarana (*Dinomys branickii*). A - Cavidad prepucial intacta. B - Cavidad prepucial abierta.
1. Pene; 2. Prepucio; 3. Fórnix prepucial; 4. Glande del pene; 5. Espículas del pene; 6. Parte libre del pene.

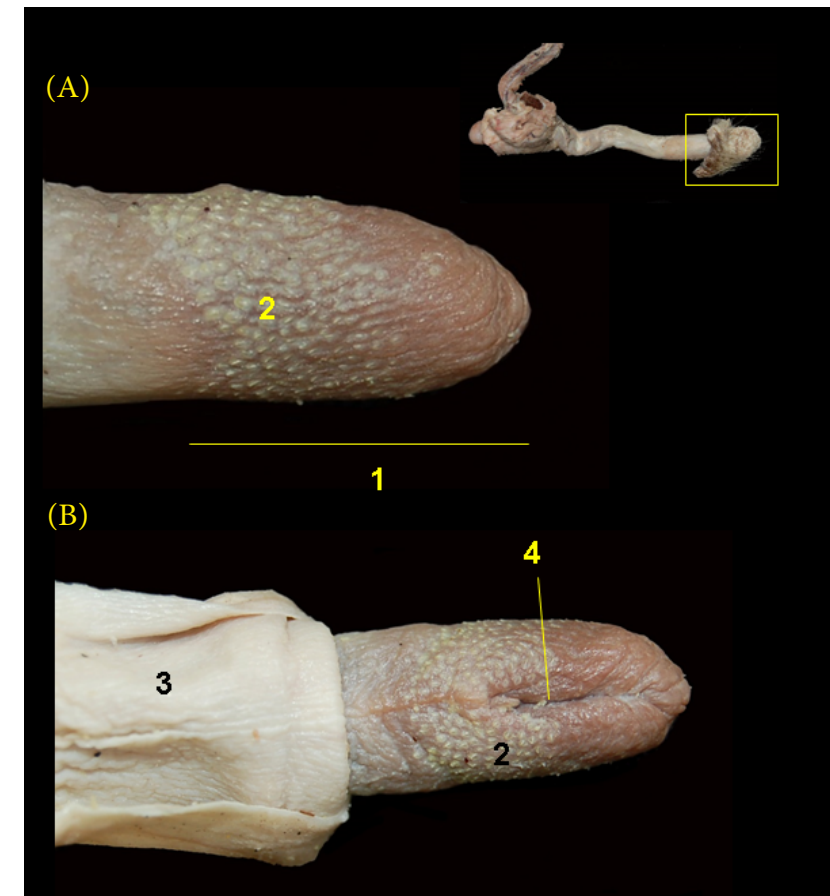


Figura 7.19 - Visiones dorsoal (A) y ventral (B) de la parte libre del pene de la pacarana (*Dinomys branickii*). 1. Glande del pene; 2. Espículas del pene; 3. Prepucio retraído; 4. Orificio uretral externo.





Figura 7.20 - Sección transversal del cuerpo del pene de la pacarana (*Dinomys branickii*). 1. Uretra peneana; 2. Cuerpo esponjoso; 3. Cuerpo cavernoso; 4. Surco uretral; 5. Túnica albugínea del cuerpo cavernoso.

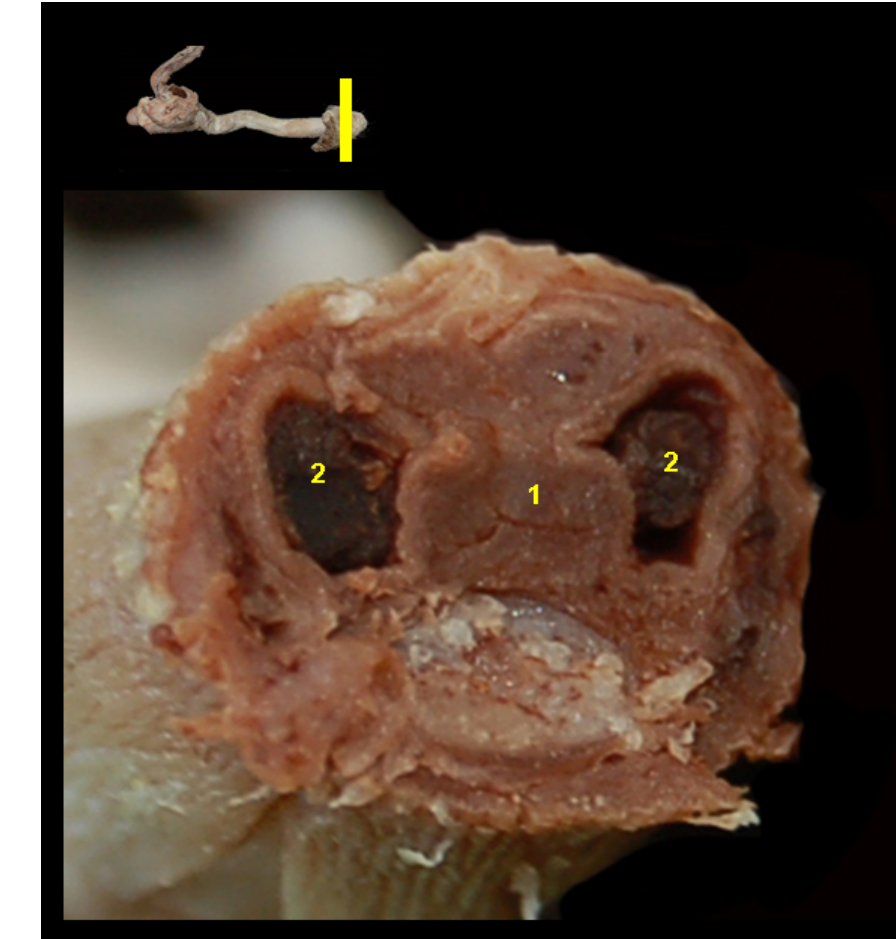


Figura 7.22 - Sección transversal del glande del pene de la pacarana (*Dinomys branickii*). 1. Uretra peneana; 2. Cuerpo esponjoso.

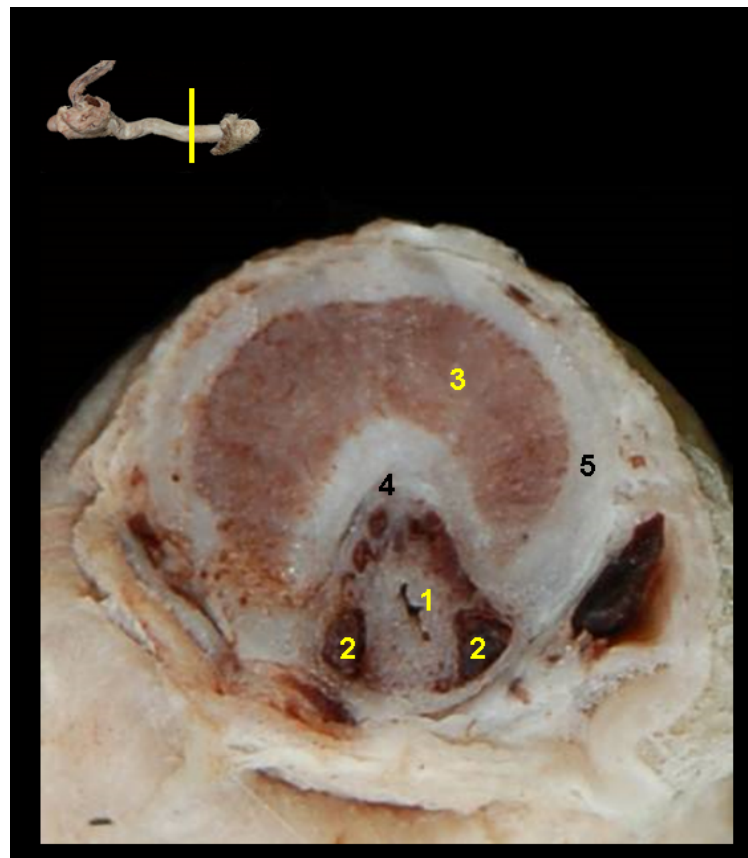


Figura 7.21 - Sección transversal del cuerpo del pene de la pacarana (*Dinomys branickii*). 1. Uretra peneana; 2. Cuerpo esponjoso; 3. Cuerpo cavernoso; 4. Surco uretral; 5. Túnica albugínea del cuerpo cavernoso.





ARMADILLO DE NUEVE BANDAS (*Dasypus novemcinctus*)

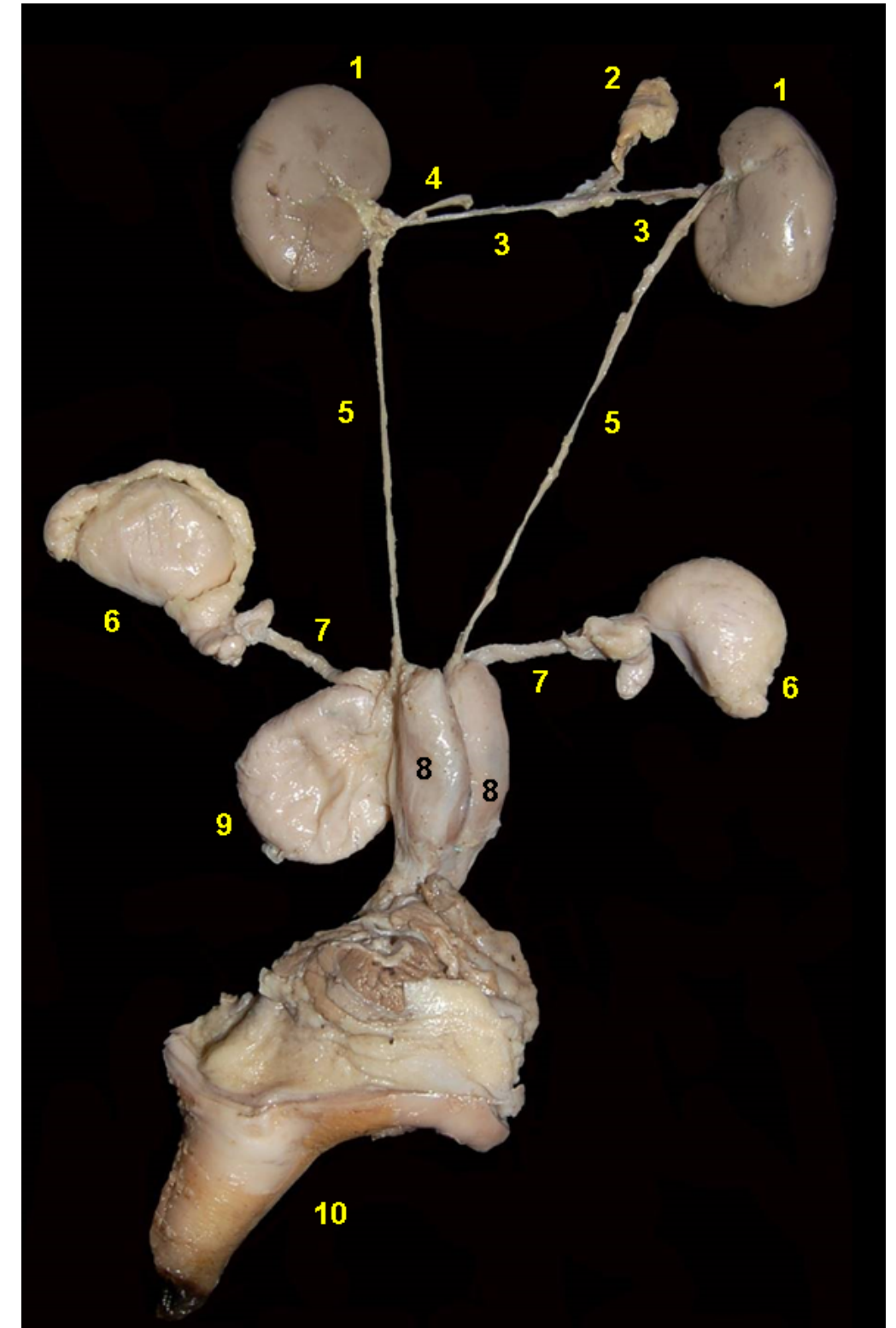


Figura 7.23 - Visión dorsal de los órganos urogenitales masculinos del armadillo de nueve bandas (*Dasypus novemcinctus*). 1. Riñones; 2. Glándulas adrenales; 3. Arterias renales; 4. Vena renal; 5. Uréteres; 6. Testículos; 7. Conducto deferente; 8. Glándulas vesiculares; 9. Vejiga urinaria; 10. Pene.

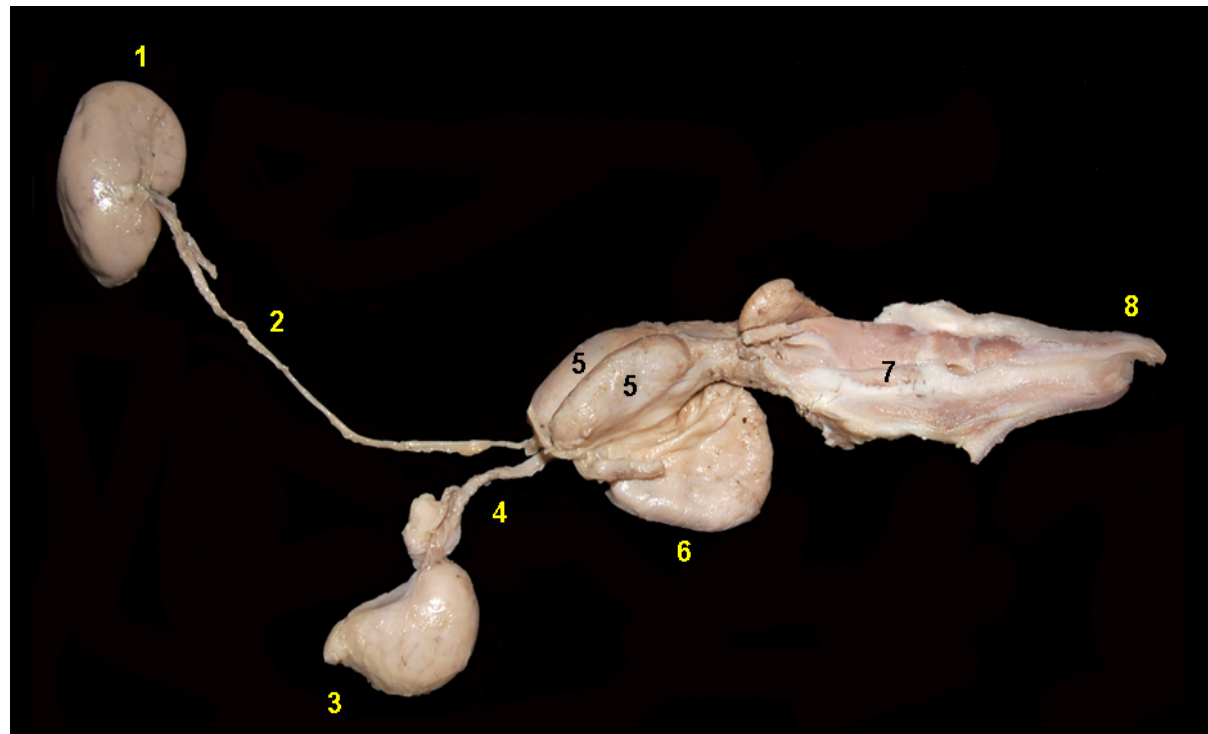


Figura 7.24 - Visión lateral de los órganos urogenitales masculinos del armadillo de nueve bandas (*Dasypus novemcinctus*). El pene está cortado sagitalmente. 1. Riñón; 2. Uréter; 3. Testículo; 4. Conducto deferente; 5. Glándulas vesiculares; 6. Vejiga urinaria; 7. Pene; 8. Glande del pene.

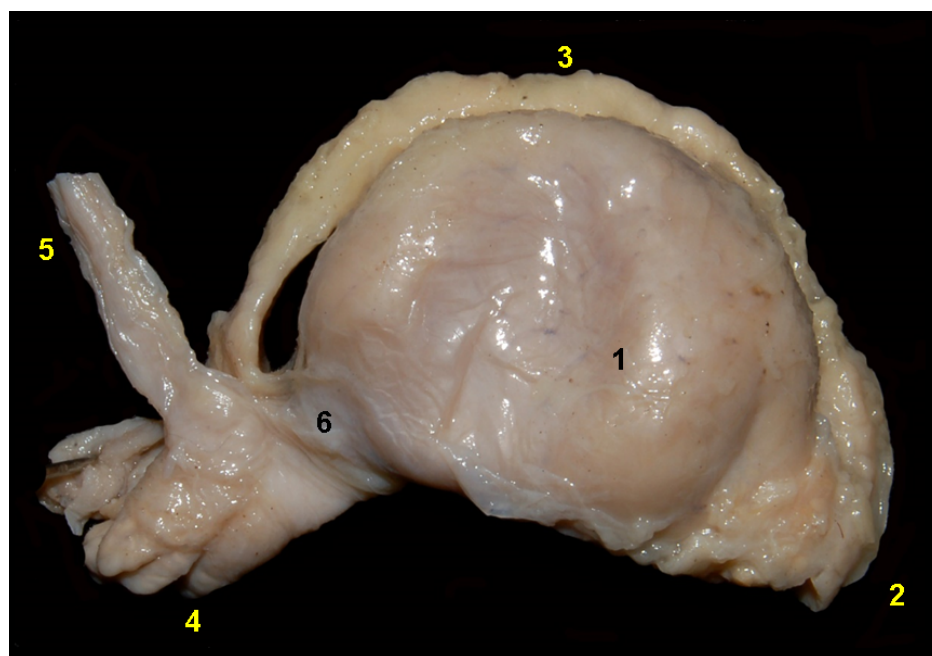


Figura 7.25 - Visión lateral del testículo del armadillo de nueve bandas (*Dasypus novemcinctus*). 1. Testículo; 2. Cabeza del epidídimo; 3. Cuerpo del epidídimo; 4. Cola del epidídimo; 5. Conducto deferente; 6. Ligamento propio del testículo.

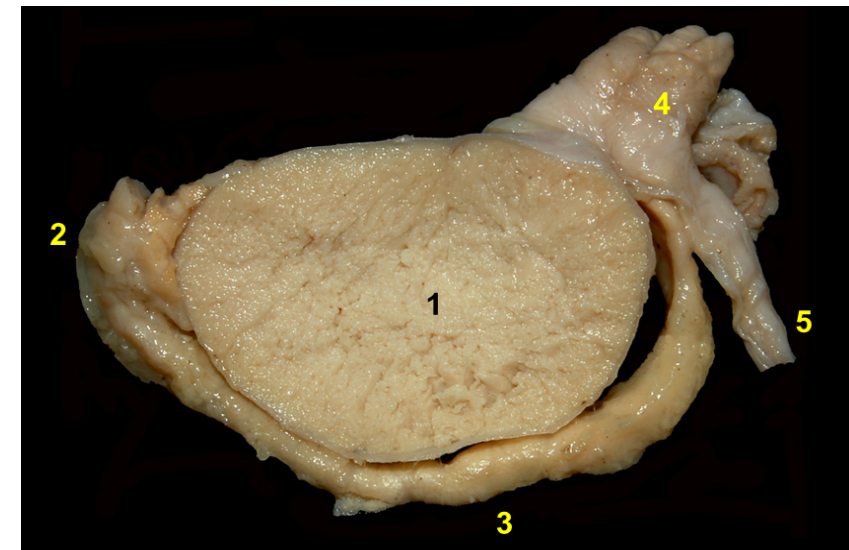


Figura 7.26 - Corte sagital del testículo del armadillo de nueve bandas (*Dasypus novemcinctus*). 1. Parénquima testicular; 2. Cabeza del epidídimo; 3. Cuerpo del epidídimo; 4. Cola del epidídimo; 5. Conducto deferente.

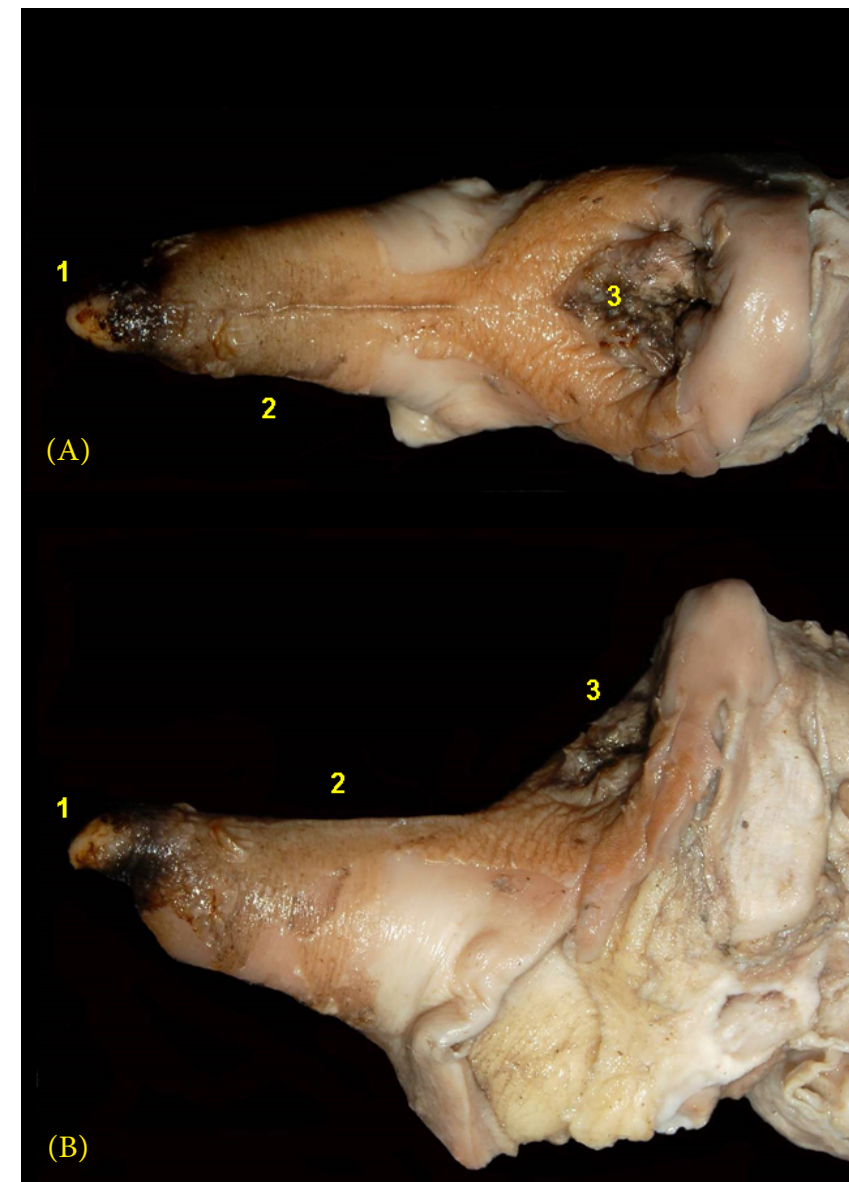


Figura 7.27 - Visiones dorsal (A) y lateral (B) de los órganos urogenitales externos masculinos del armadillo de nueve bandas (*Dasypus novemcinctus*). 1. Glande del pene; 2. Prepucio; 3. Ano.

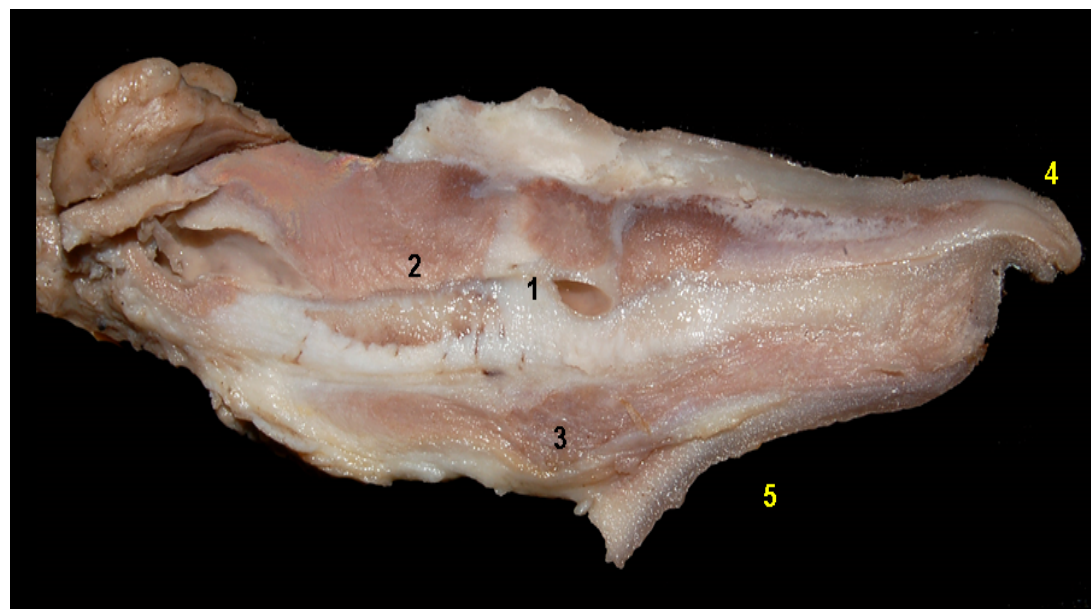


Figura 7.28 - Corte sagital del pene del armadillo de nueve bandas (*Dasypus novemcinctus*). 1. Uretra peneana; 2. Cuerpo cavernoso; 3. Cuerpo esponjoso; 4. Proceso uretral; 5. Prepucio.

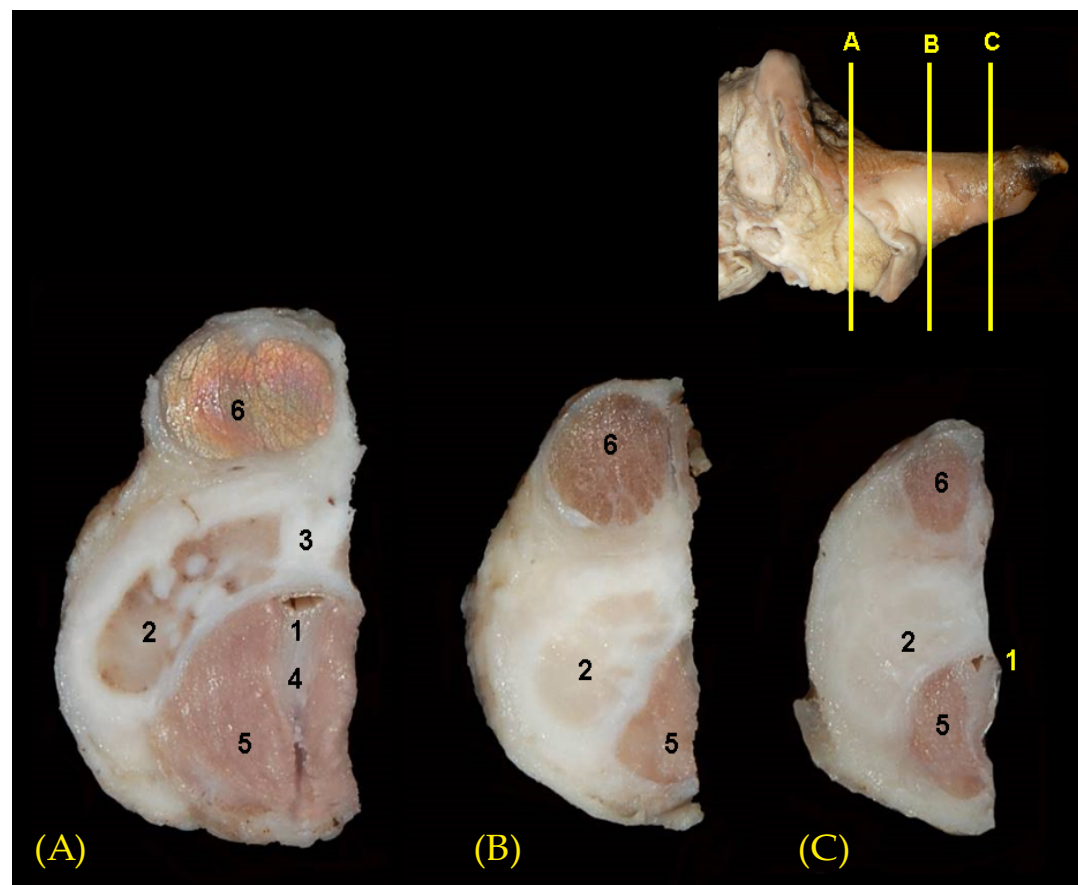


Figura 7.29 - Secciones transversales del pene del armadillo de nueve bandas (*Dasypus novemcinctus*). 1. Uretra peneana; 2. Cuerpo cavernoso; 3. Septo; 4. Cuerpo esponjoso; 5. Musculo bulboesponjoso; 6. Musculo isquiocavernoso.



OSO HORMIGUERO (*Myrmecophaga tridactyla*)

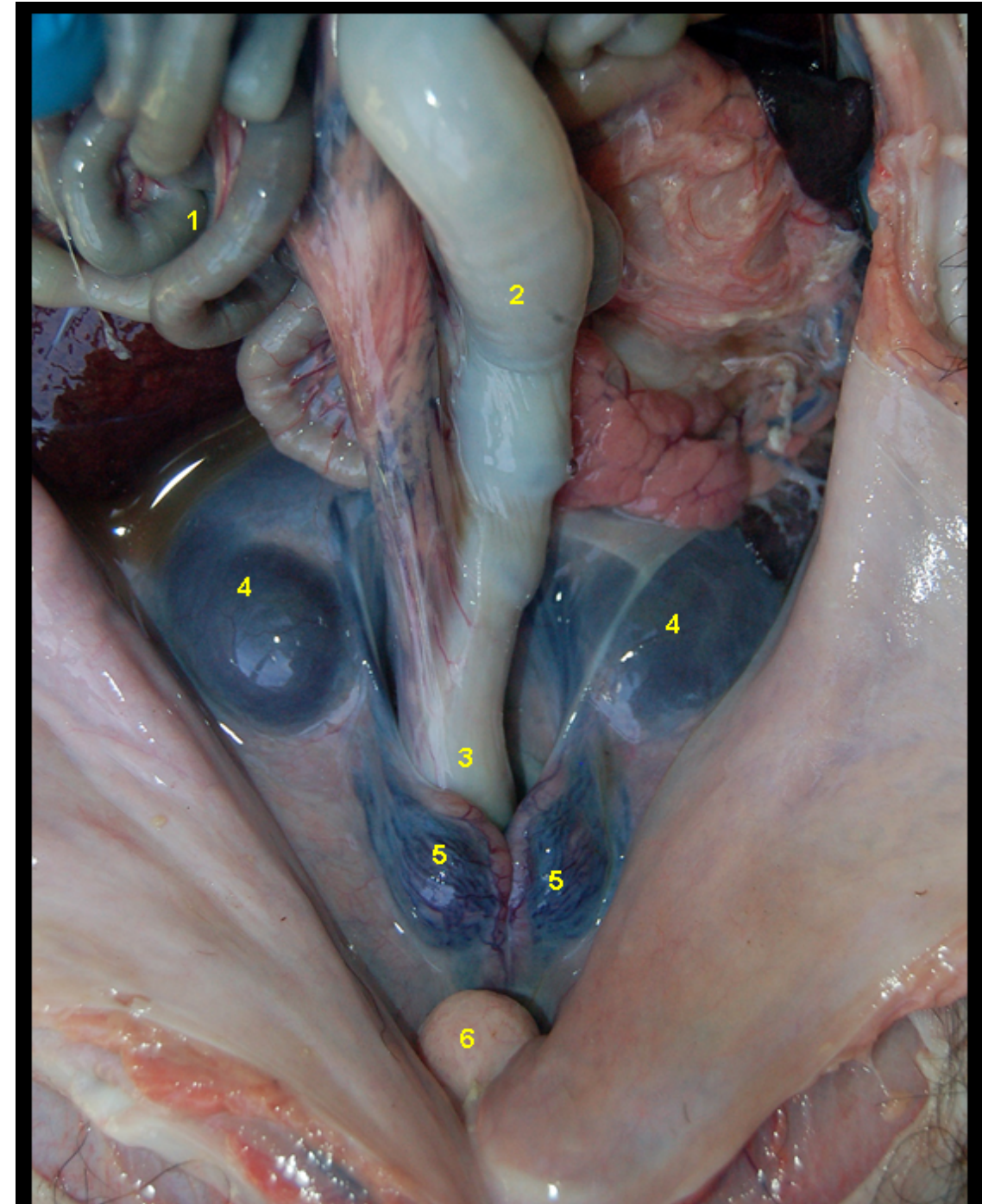


Figura 7.30 - Visión ventral *in situ* de los órganos urogenitales masculinos de oso hormiguero (*Myrmecophaga tridactyla*). 1. Asas yeyunales; 2. Colon descendente; 3. Recto; 4. Riñones; 5. Testículos; 6. Vejiga urinaria.

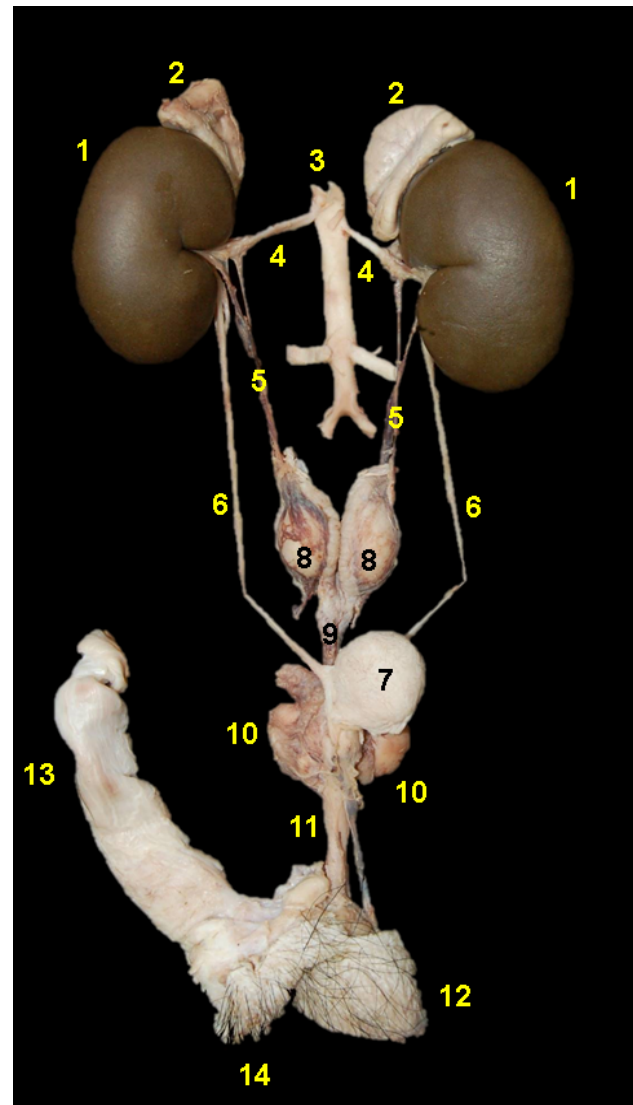


Figura 7.31 - Visión ventral de los órganos urogenitales masculinos de oso hormiguero (*Myrmecophaga tridactyla*). 1. Riñones; 2. Glándulas adrenales; 3. Aorta abdominal; 4. Arterias renales; 5. Arterias testiculares; 6. Uréteres; 7. Vejiga urinaria; 8. Testículos; 9. Conductos deferentes; 10. Próstata; 11. Uretra pélvica; 12. Pene; 13. Recto; 14. Ano.

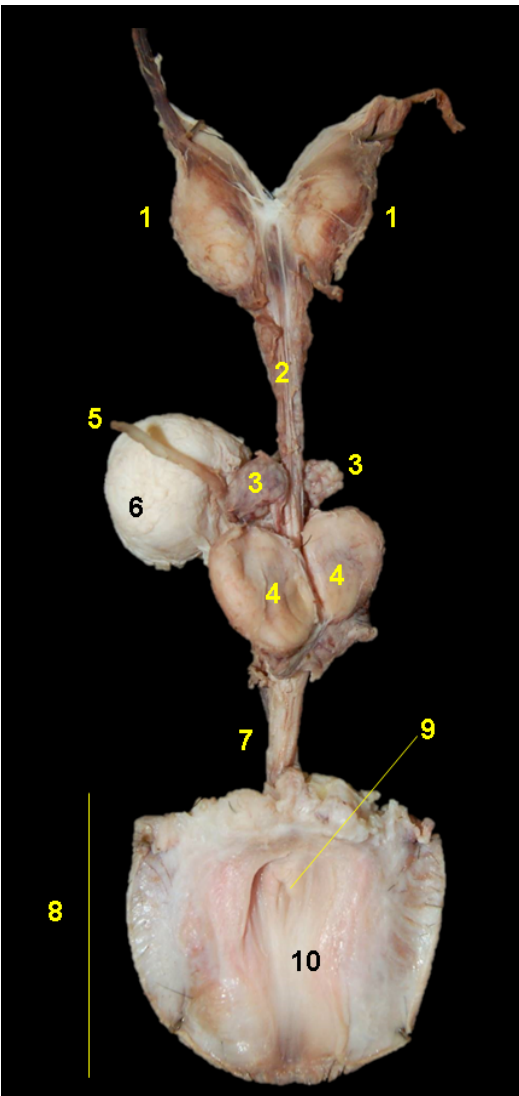


Figura 7.32 - Visión dorsal de los órganos urogenitales masculinos de oso hormiguero (*Myrmecophaga tridactyla*). 1. Riñones; 2. Glándulas adrenales; 3. Aorta abdominal; 4. Arterias renales; 5. Arterias testiculares; 6. Uréteres; 7. Vejiga urinaria; 8. Testículos; 9. Conductos deferentes; 10. Próstata; 11. Uretra pélvica; 12. Pene; 13. Recto; 14. Ano.

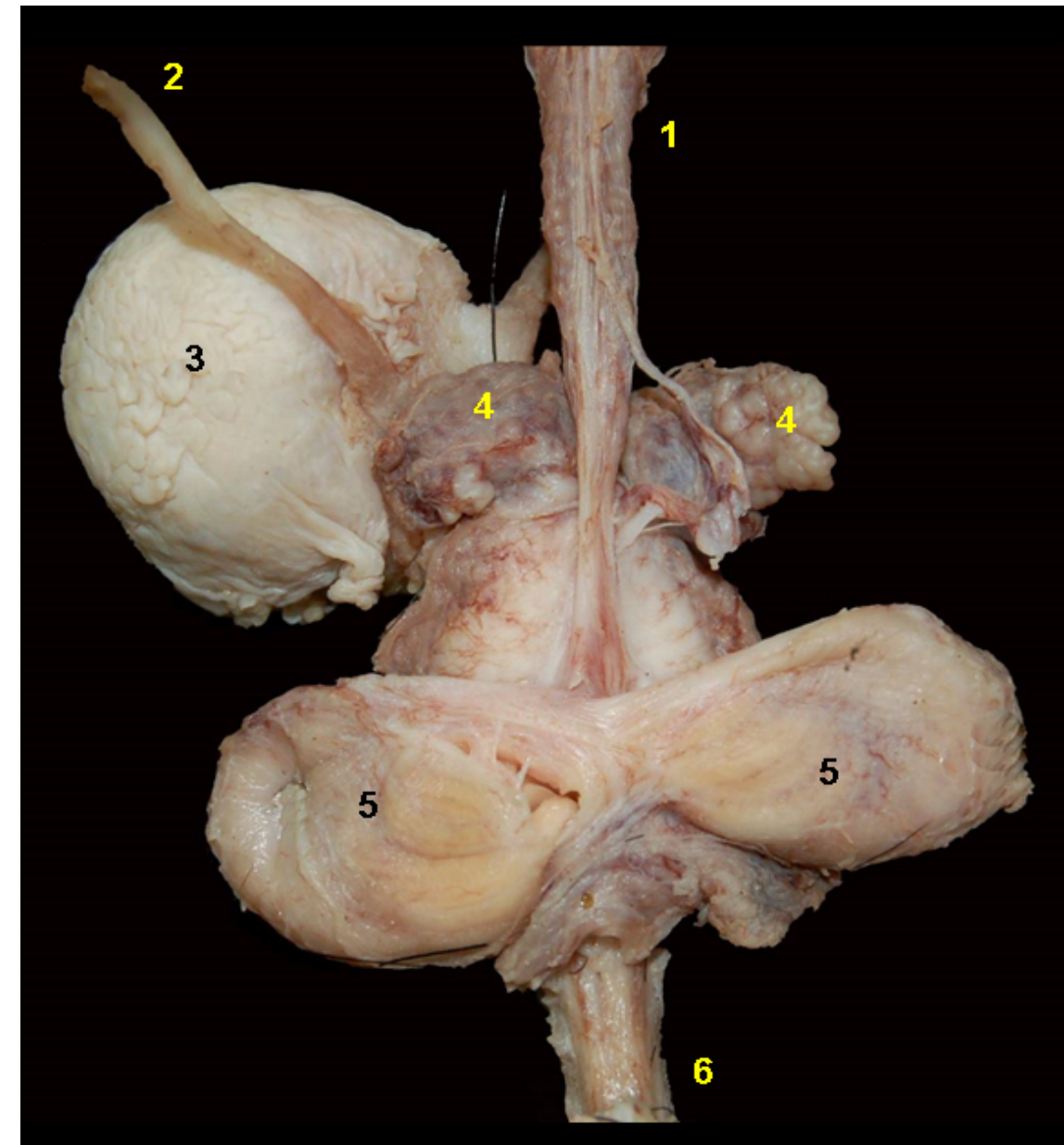


Figura 7.33 - Órganos urogenitales masculinos de oso hormiguero (*Myrmecophaga tridactyla*). 1. Conductos deferentes; 2. Uréteres; 3. Vejiga urinaria; 4. Glándulas vesiculares; 5. Próstata; 6. Uretra pélvica.

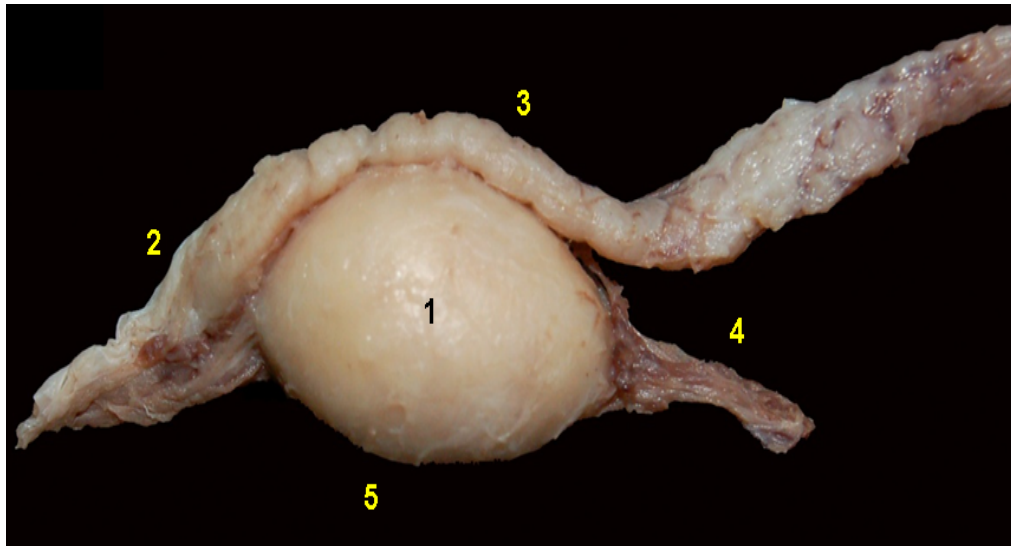


Figura 7.34 - Visión medial del testículo de oso hormiguero (*Myrmecophaga tridactyla*). 1. Testículo; 2. Cola del epidídimo; 3. Conducto deferente; 4. Vasos testiculares; 5. Borde libre.



Figura 7.35 - Corte sagital del testículo de oso hormiguero (*Myrmecophaga tridactyla*). 1. Parénquima testicular; 2. Cola del epidídimo; 3. Conducto deferente; 4. Túnica albugínea; 5. Vasos testiculares.

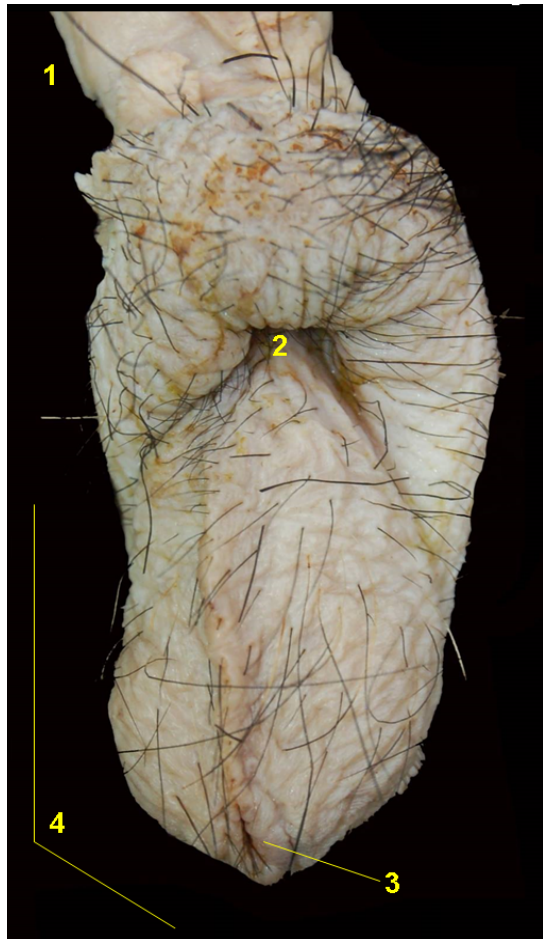


Figura 7.36 - Visión caudal de la región perineal de oso hormiguero (*Myrmecophaga tridactyla*). 1. Recto; 2. Ano; 3. Pene; 4. Orificio uretral externo.

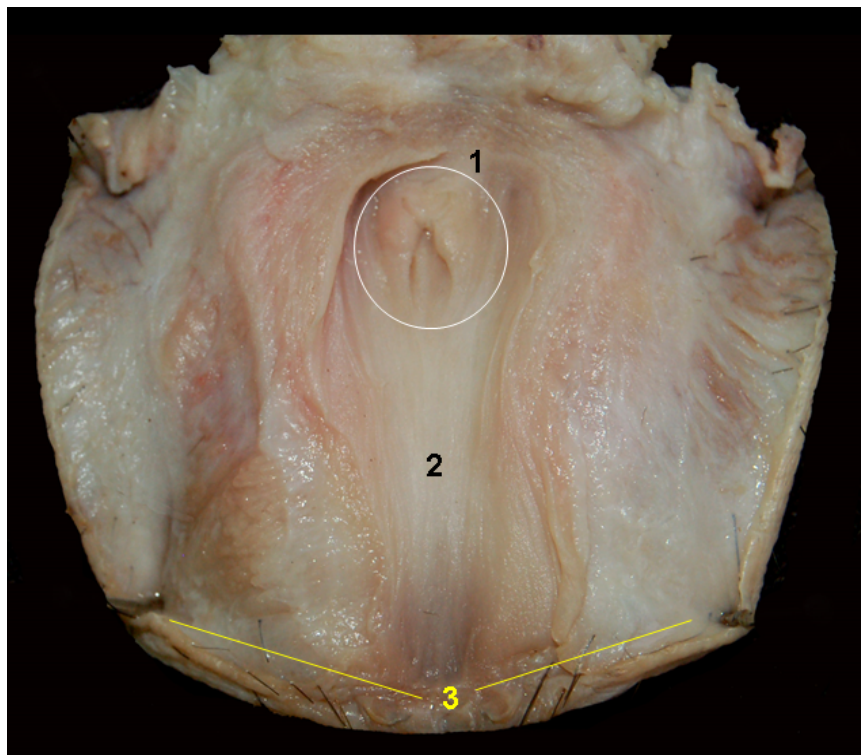


Figura 7.37 - Visión interna del pene de oso hormiguero (*Myrmecophaga tridactyla*). 1. Comunicación de la uretra pélvica y uretra peniana; 2. Uretra peniana; 3. Orificio uretral externo abierto.



TAMANDÚA (*Tamandua tetradactyla*)

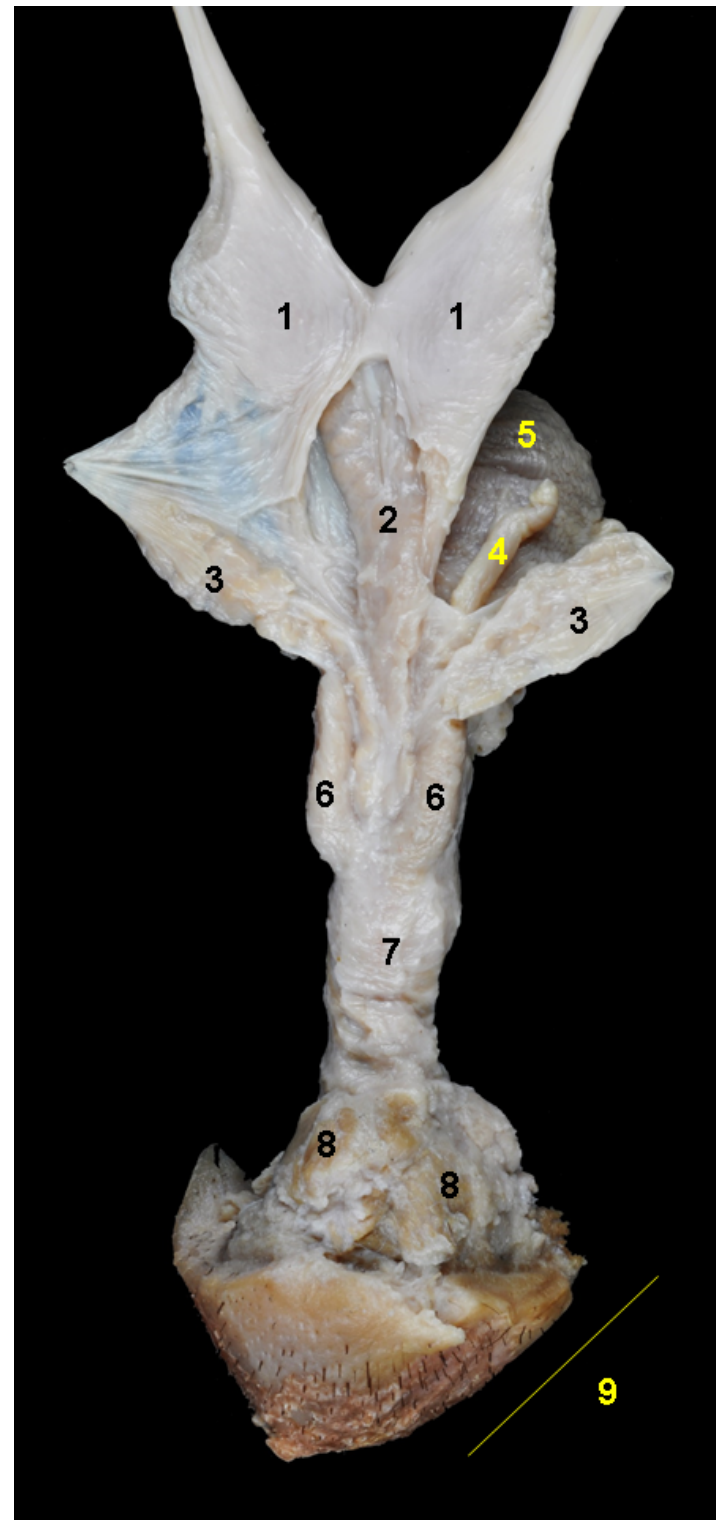


Figura 7.38 - Visión dorsal de los órganos urogenitales masculinos del tamandúa (*Tamandua tetradactyla*).
1. Testículos; 2. Conductos deferentes; 3. Glándulas vesiculares; 4. Uréter; 5. Vejiga urinaria; 6. Próstata; 7. Uretra pelviana; 8. Glándulas bulbouretrales; 9. Pene.

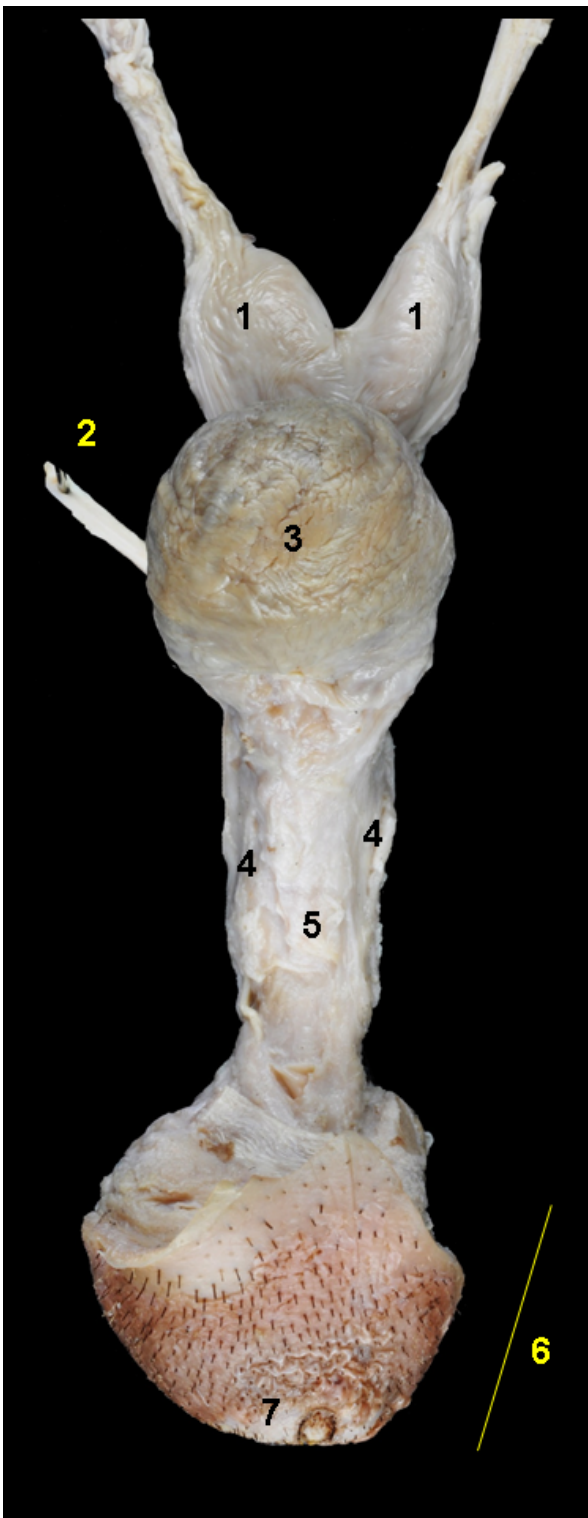


Figura 7.39 - Visión ventral de los órganos urogenitales masculinos del tamandúa (*Tamandua tetradactyla*). 1. Testículos; 2. Uréter; 3. Vejiga urinaria; 4. Próstata; 5. Uretra pelviana; 6. Pene; 8. Orificio uretral externo.



Figura 7.40 - Órganos urogenitales masculinos del tamandúa (*Tamandua tetradactyla*). **Abertura sagital de la vejiga urinaria, uretra pélvica y pene.** 1. Testículos; 2. Conductos deferentes; 3. Vejiga urinaria; 4. Uretra pelviana; 5. Pene; 6. Divertículo de la uretra peniana; 7. Uretra peniana; 8. Orificio uretral externo.

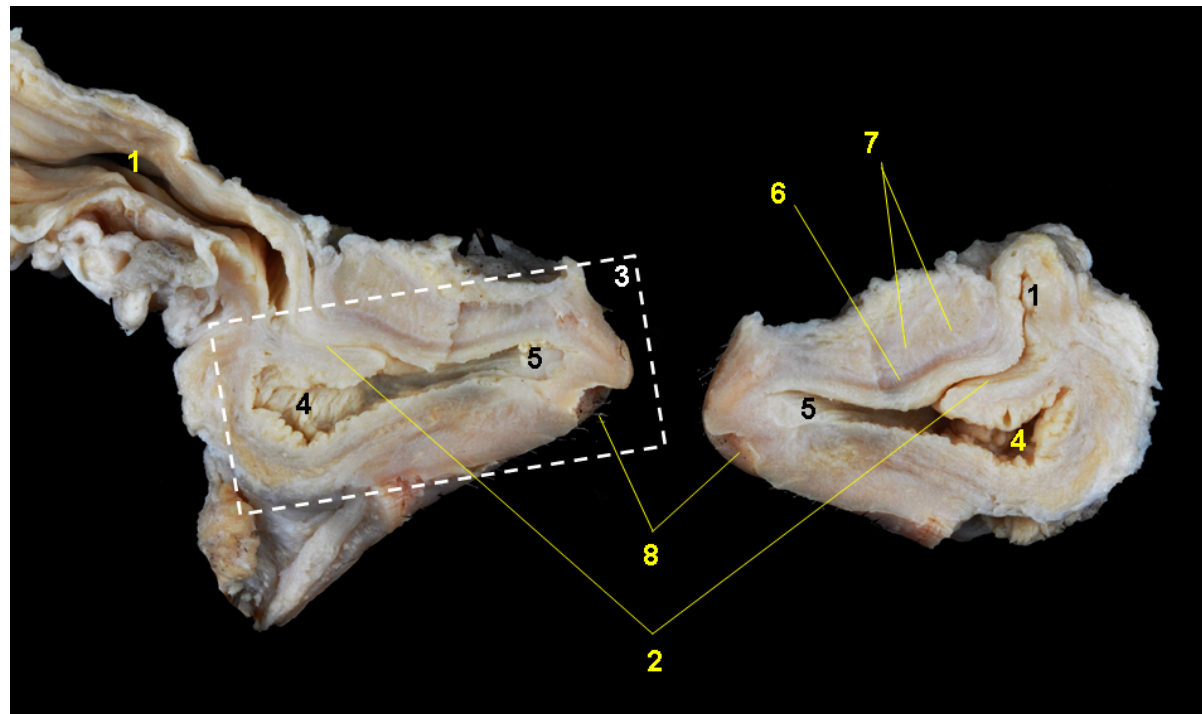


Figura 7.41 - Corte sagital del pene del tamandúa (*Tamandua tetradactyla*). Abertura sagital de la vejiga urinaria, uretra pélvica y pene. 1. Uretra pélviana; 2. Comunicación de la uretra pélviana y uretra peniana; 3. Pene; 4. Divertículo de la uretra peniana; 5. Uretra peniana; 6. Tejido eréctil del pene (cuerpo cavernoso); 7. Tejido conectivo fibroso; 8. Orificio uretral externo.



Figura 7.42 - Visión caudal del pene del tamandúa (*Tamandua tetradactyla*). 1. Orificio uretral externo.



PÉCARI DE COLLAR (*Pecari tajacu*)

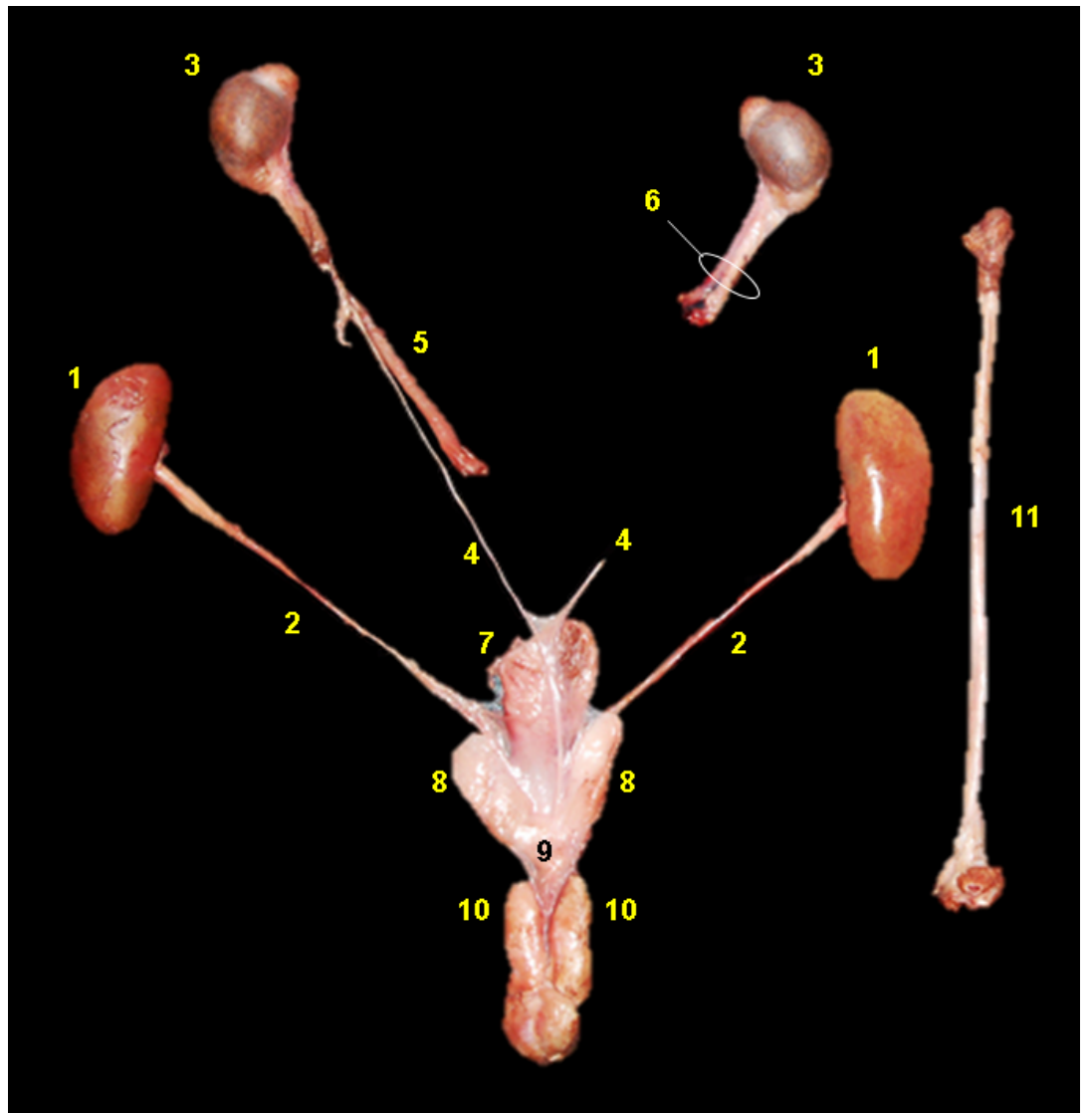


Figura 7.43 - Visión dorsal de los órganos urogenitales masculinos del pécari de collar (*Pecari tajacu*). 1. Riñones; 2. Uréteres; 3. Testículos; 4. Conducto deferente; 5. Musculo cremáster; 6. Cordón espermático; 7. Vejiga urinaria; 8. Glándulas vesiculares; 9. Próstata; 10. Glándulas bulbouretrales; 11. Pene (separado del resto de los órganos urogenitales).

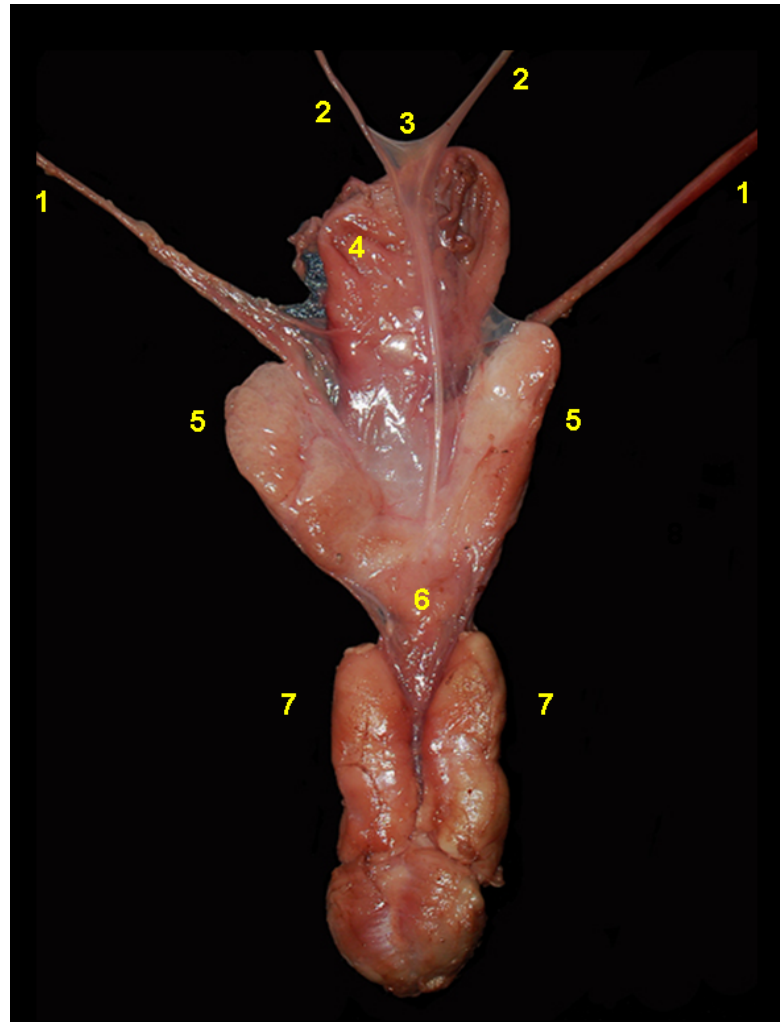


Figura 7.44 - Visión dorsal de los órganos urogenitales masculinos del pécari de collar (*Pecari tajacu*). 1. Uréteres; 2. Conducto deferente; 3. Pliegue genital; 4. Vejiga urinaria; 5. Glándulas vesiculares; 6. Próstata; 7. Glándulas bulbouretrales.

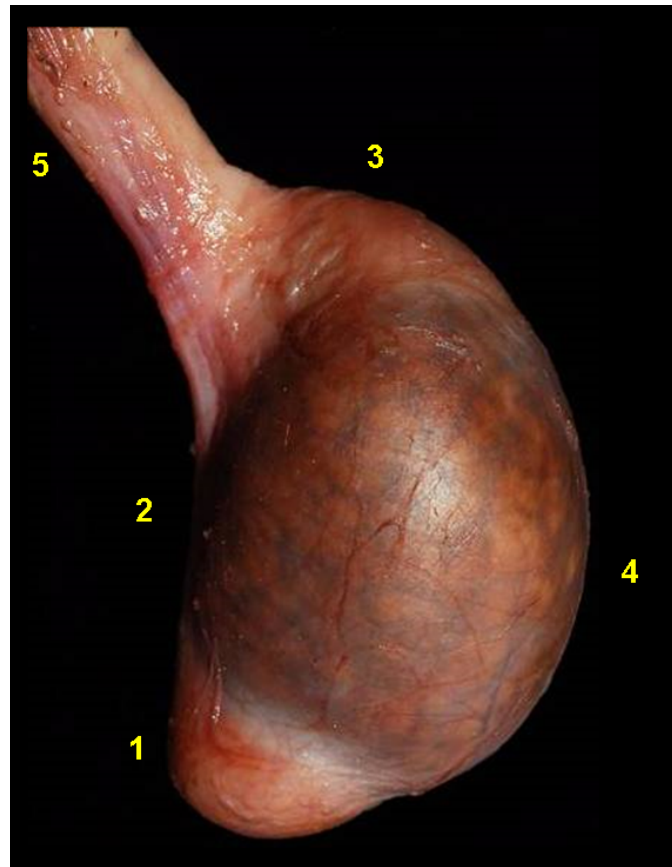


Figura 7.45 - Visión medial del testículo del pécari de collar (*Pecari tajacu*). 1. Cola del epidídimo; 2. Borde epididimario; 3. Cabeza del epidídimo; 4. Borde libre, 5. Cordón espermático.

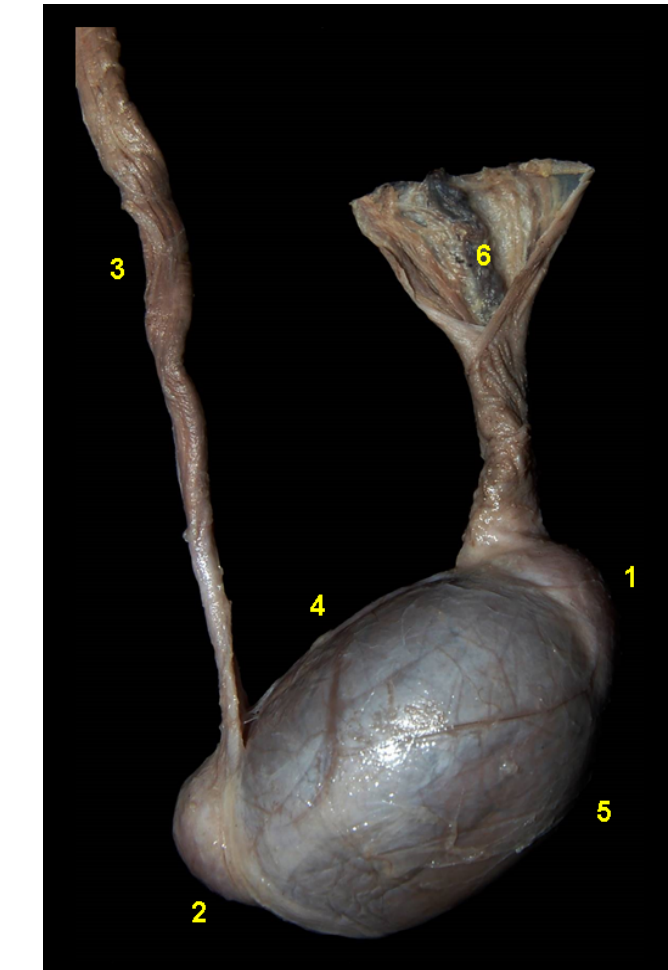


Figura 7.46 - Visión medial del testículo del pécari de collar (*Pecari tajacu*). 1. Cabeza del epidídimo; 2. Cola del epidídimo; 3. Conducto deferente; 4. Borde epididimario; 5. Borde libre; 6. Plexo pampiniforme y vasos testiculares.

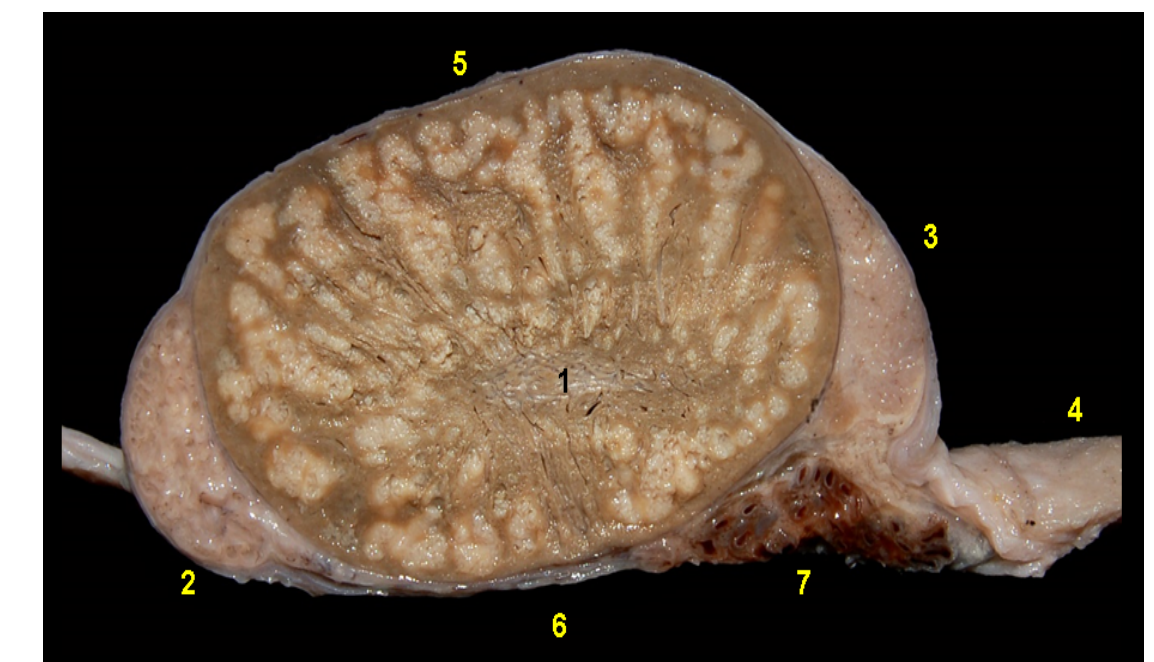


Figura 7.47 - Corte sagital del testículo del pécari de collar (*Pecari tajacu*). 1. Mediastino; 2. Cola del epidídimo; 3. Cabeza del epidídimo; 4. Cordón espermático; 5. Borde libre; 6. Borde epididimario; 7. Plexo pampiniforme.



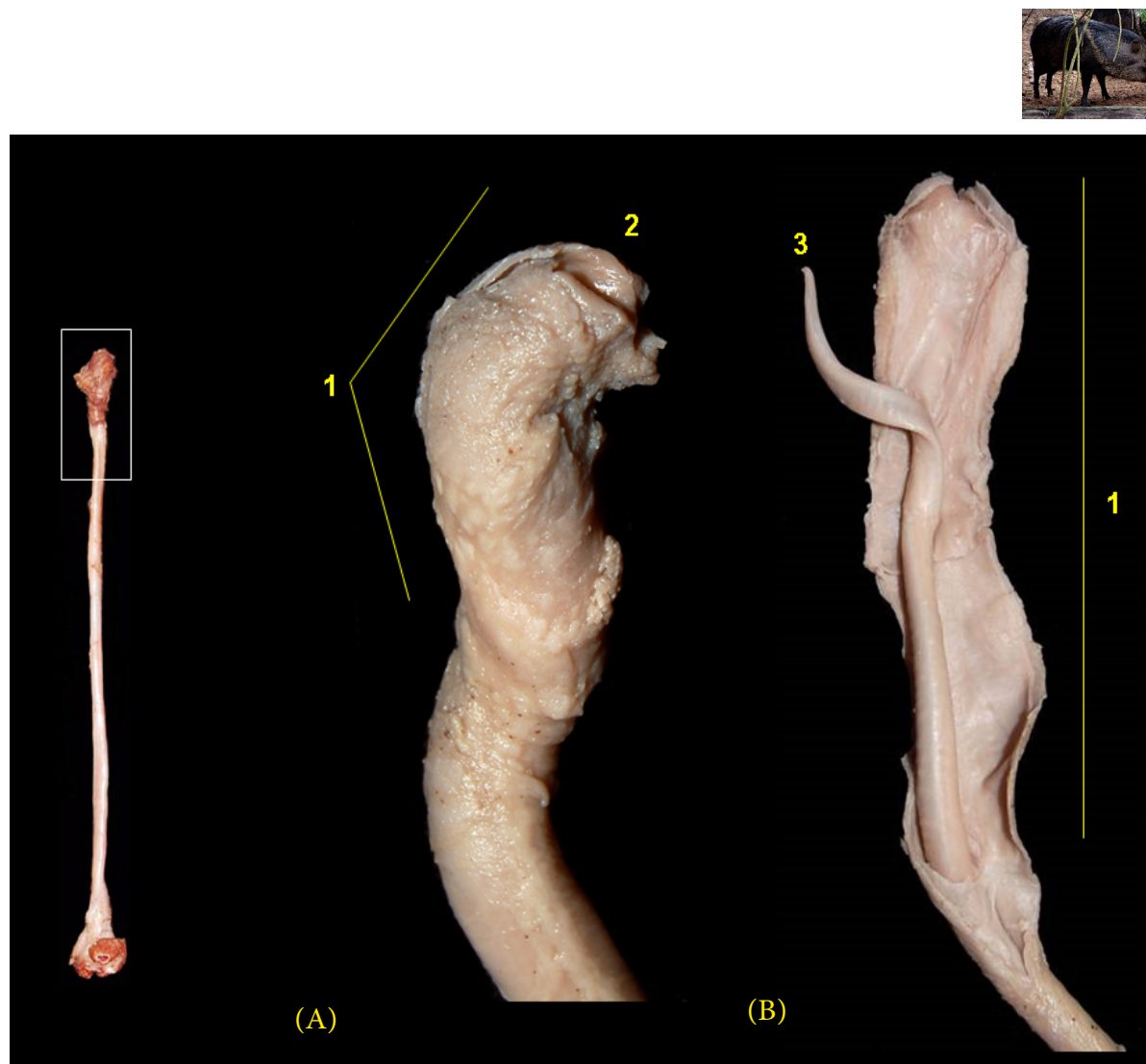


Figura 7.48 - Pene fibroelástico del pécari de collar (*Pecari tajacu*). A - Cavidad prepucial intacta. B - Cavidad prepucial abierta. 1. Prepucio; 2. Abertura prepucial; 3. Glande del pene.

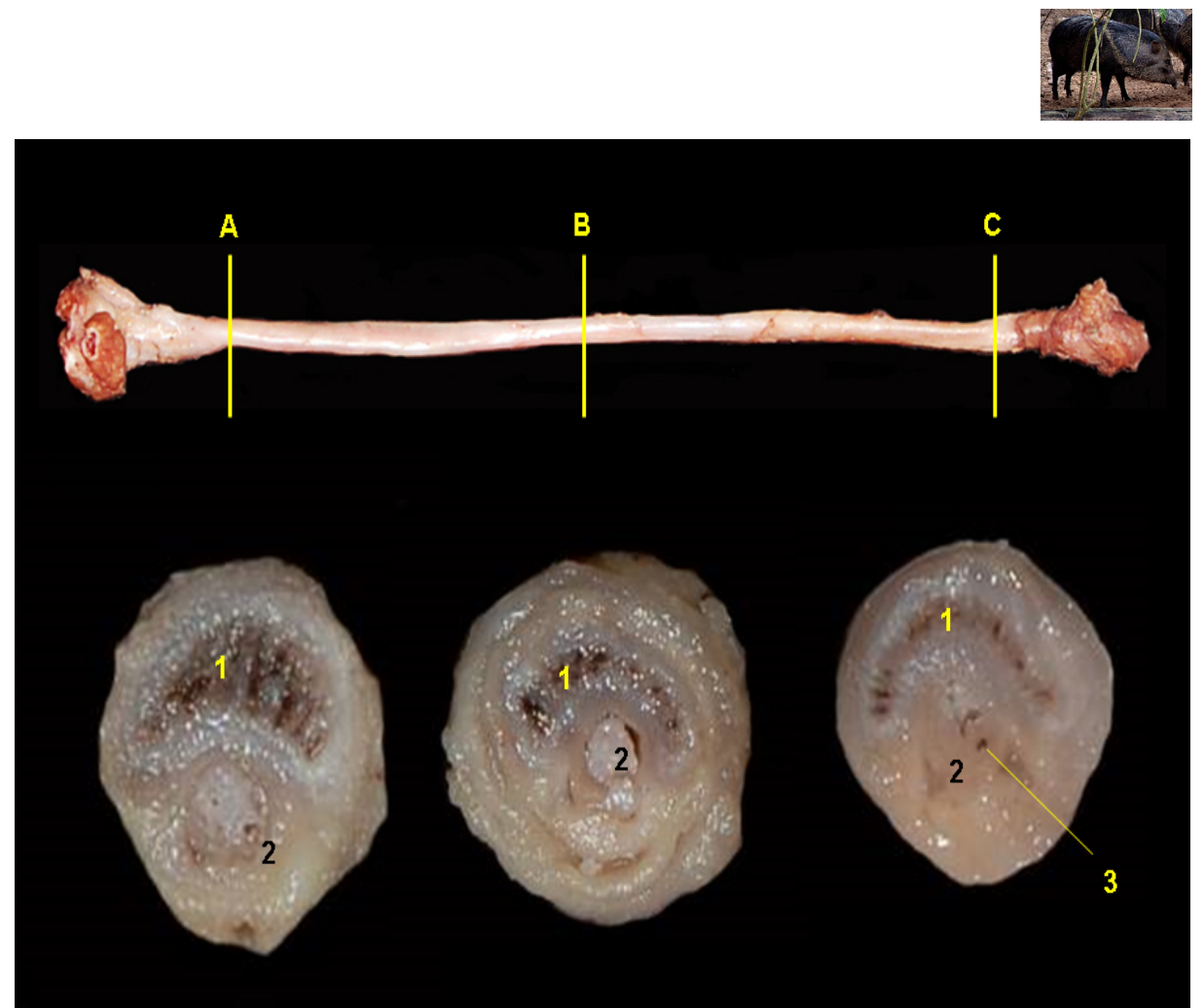


Figura 7.49 - Secciones transversales del pene fibroelástico del pécari de collar (*Pecari tajacu*). 1. Cuerpo cavernoso; 2. Cuerpo esponjoso; 3. Uretra.



VENADO GRIS

(Mazama nemorivaga)

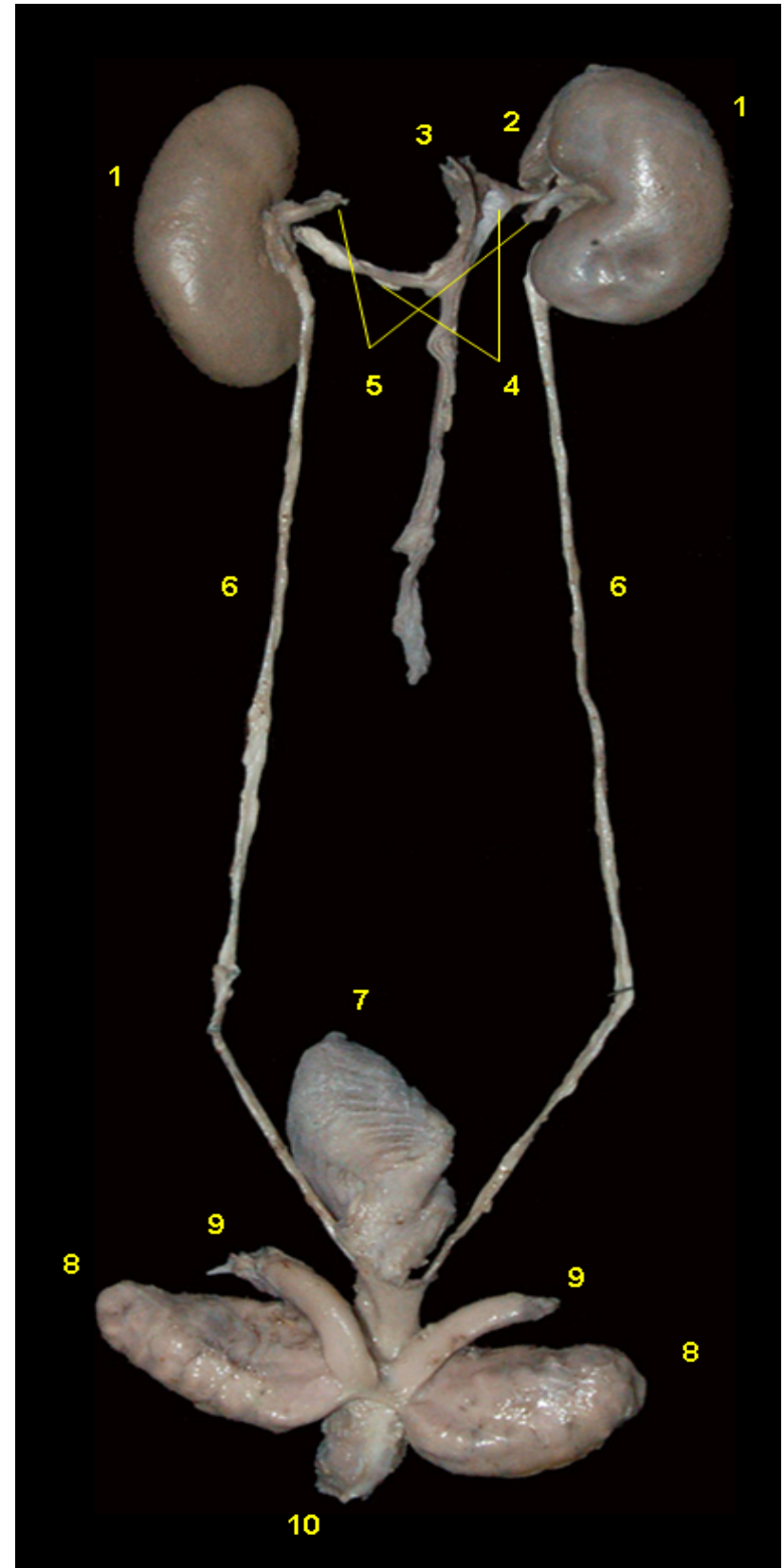


Figura 7.50 - Visión dorsal de los órganos urogenitales masculinos del venado gris (*Mazama nemorivaga*). 1. Riñones; 2. Glándula adrenal; 3. Aorta abdominal; 4. Arteria renal; 5. Vena renal; 6. Uréteres; 7. Vejiga urinaria; 8. Glándulas vesiculares; 9. Ampollas de los conductos deferentes; 10. Próstata.

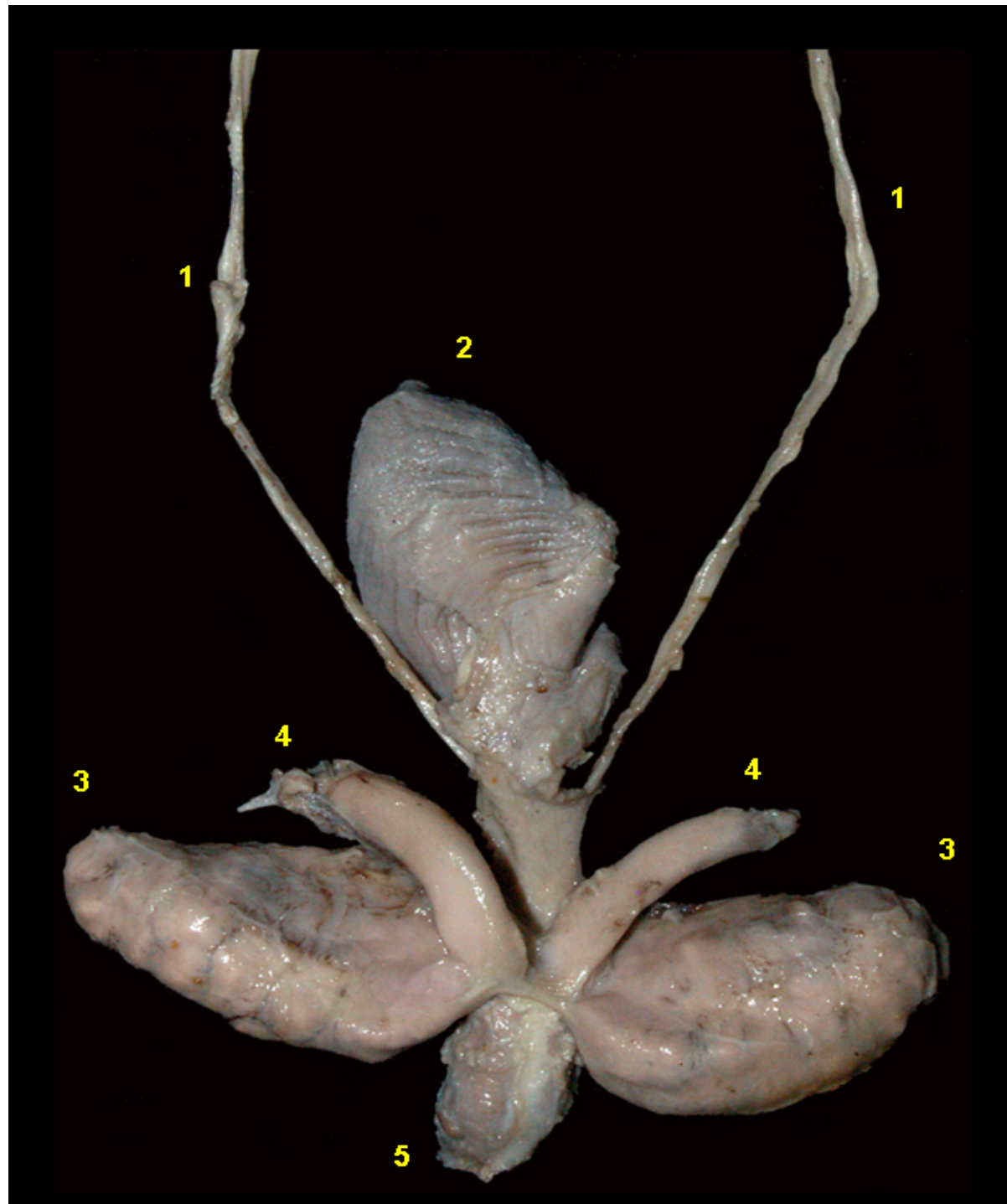


Figura 7.51 - Visión dorsal los órganos urogenitales masculinos del venado gris (*Mazama nemorivaga*). 1. Uréteres; 2. Vejiga urinaria; 3. Glándulas vesiculares; 4. Ampollas de los conductos deferentes; 5. Próstata.

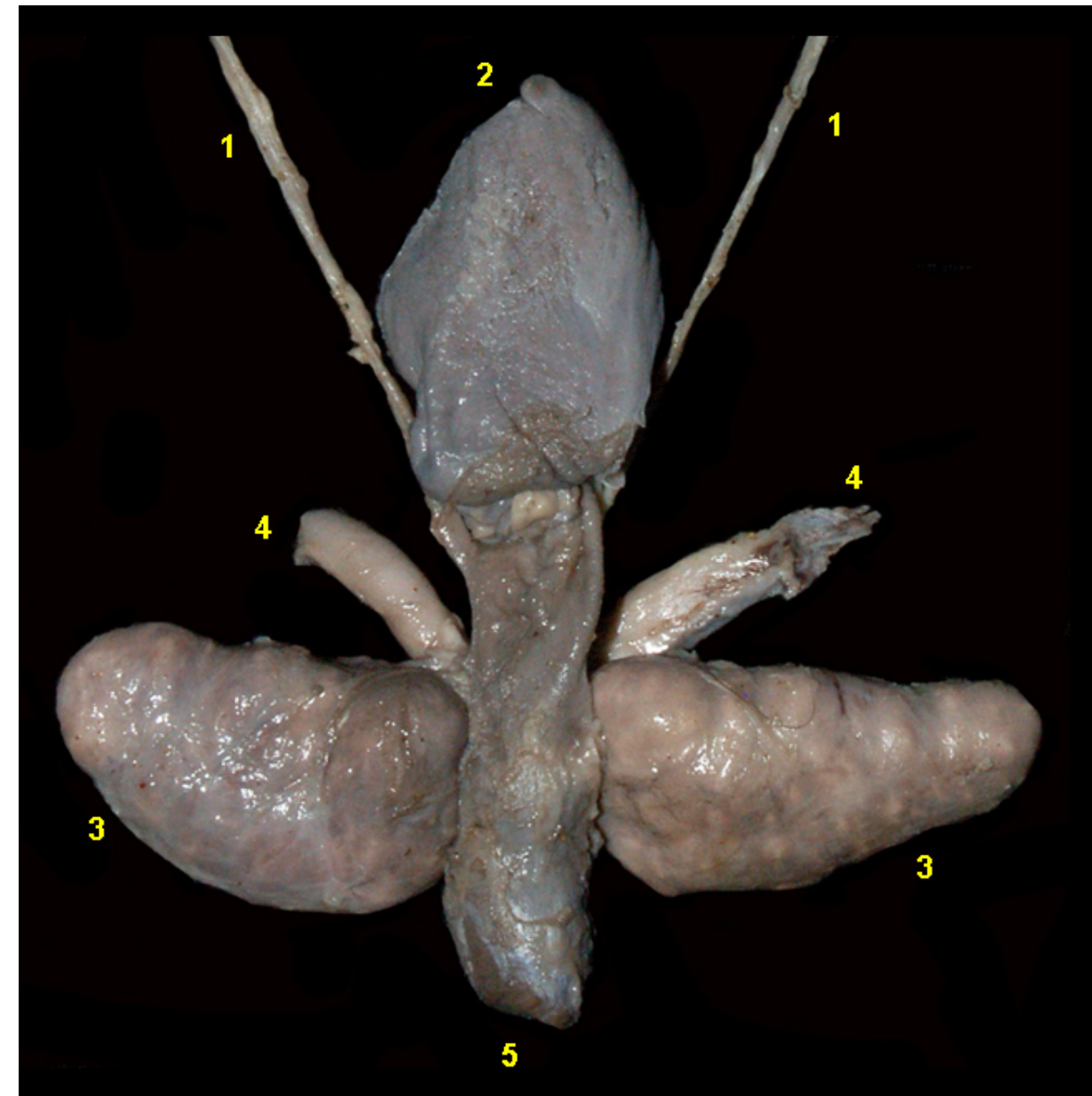


Figura 7.52 - Visión ventral los órganos urogenitales masculinos del venado gris (*Mazama nemorivaga*). 1. Uréteres; 2. Vejiga urinaria; 3. Glándulas vesiculares; 4. Ampollas de los conductos deferentes; 5. Uretra pelviana.



VENADO ROJO (*Mazama americana*)

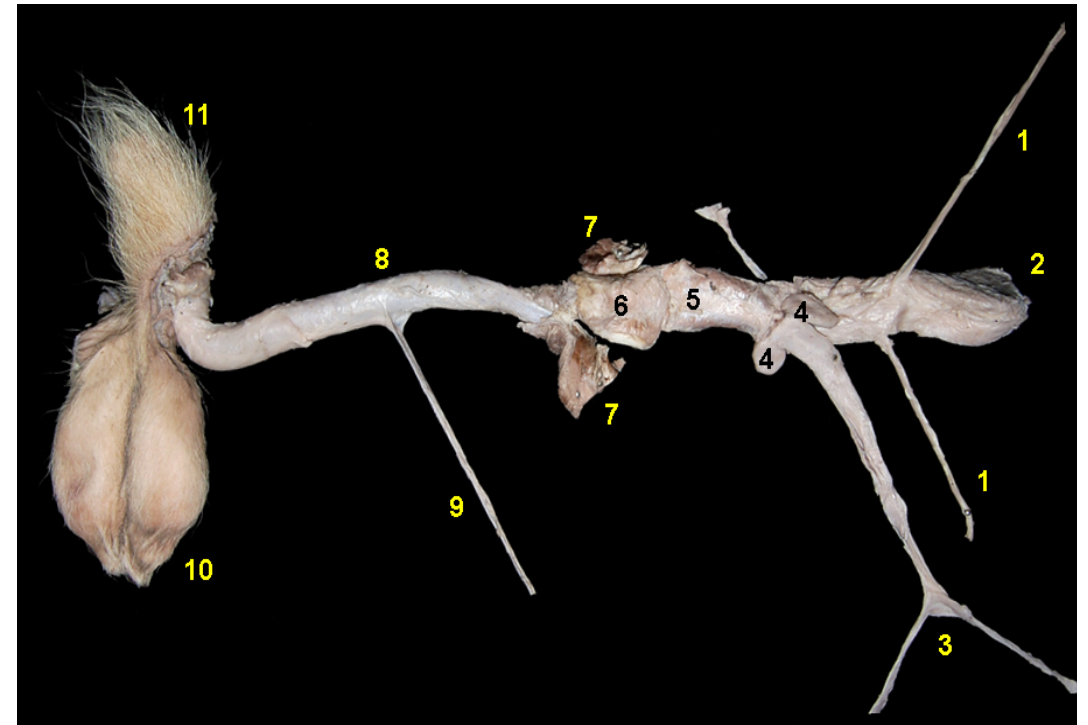


Figura 7.53 - Visión dorsal de los órganos urogenitales masculinos del venado rojo (*Mazama americana*). 1. Uréteres; 2. Vejiga urinaria; 3. Conductos deferentes; 4. Glándula vesicular; 5. Uretra; 6. Glándula bulbouretral; 7. Pilares del pene; 8. Pene; 9. Musculo retractor del pene; 10. Bolsa escrotal; 11. Prepucio.

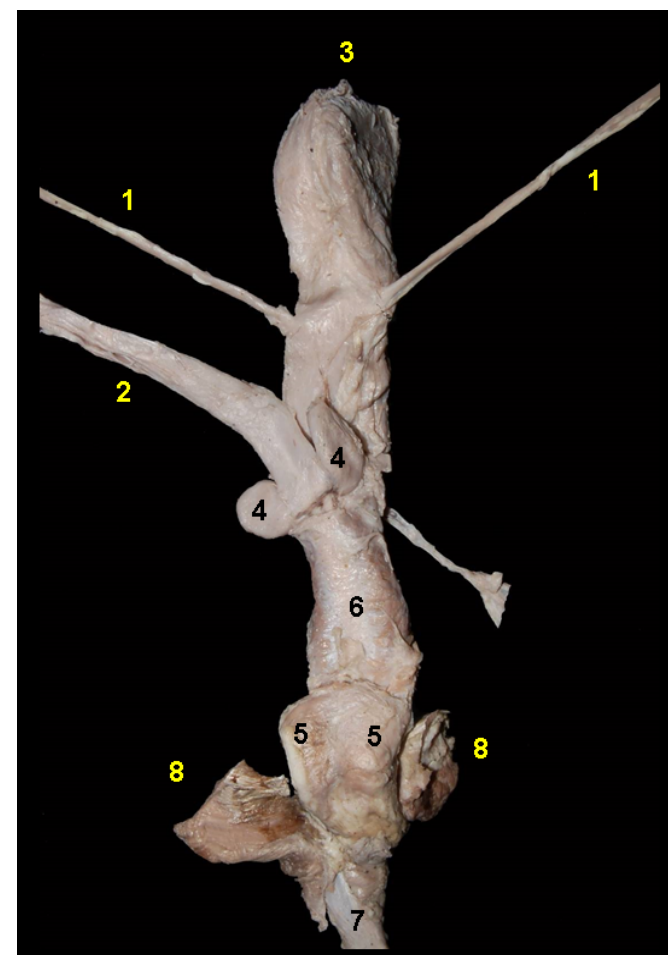


Figura 7.54 - Visión dorsal de los órganos urogenitales masculinos del venado rojo (*Mazama americana*). 1. Uréteres; 2. Conductos deferentes; 3. Glándula vesicular; 4. Glándula bulbouretral; 5. Uretra pelviana; 7. Cuerpo del pene; 8. Pilares del pene.

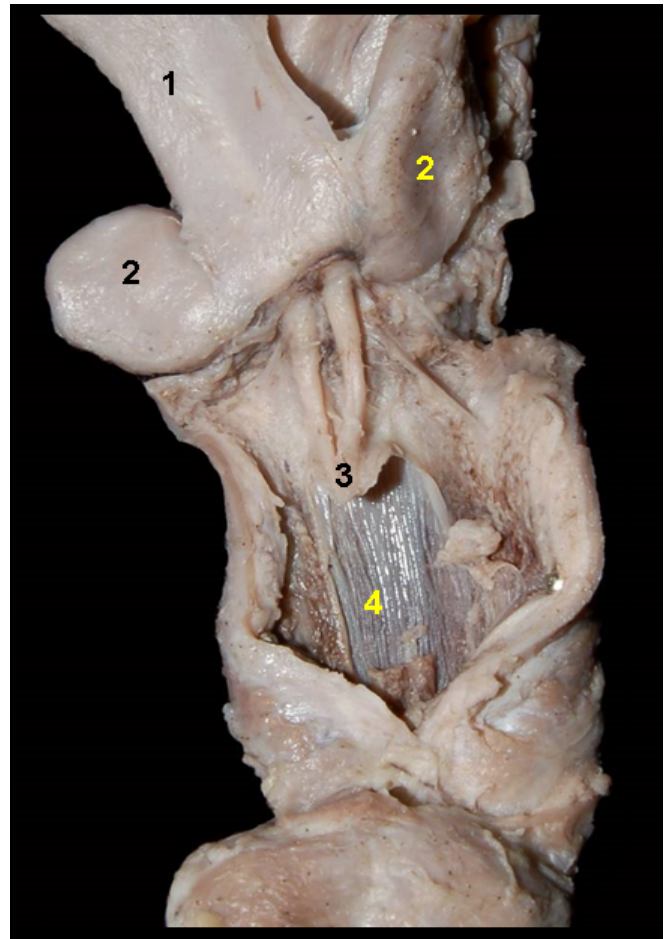


Figura 7.55 - Visión dorsal de los órganos urogenitales masculinos del venado rojo (*Mazama americana*). 1. Conductos deferentes; 2. Glándula vesicular; 3. Desembocadura de los conductos eyaculadores; 4. Uretra pélvica.

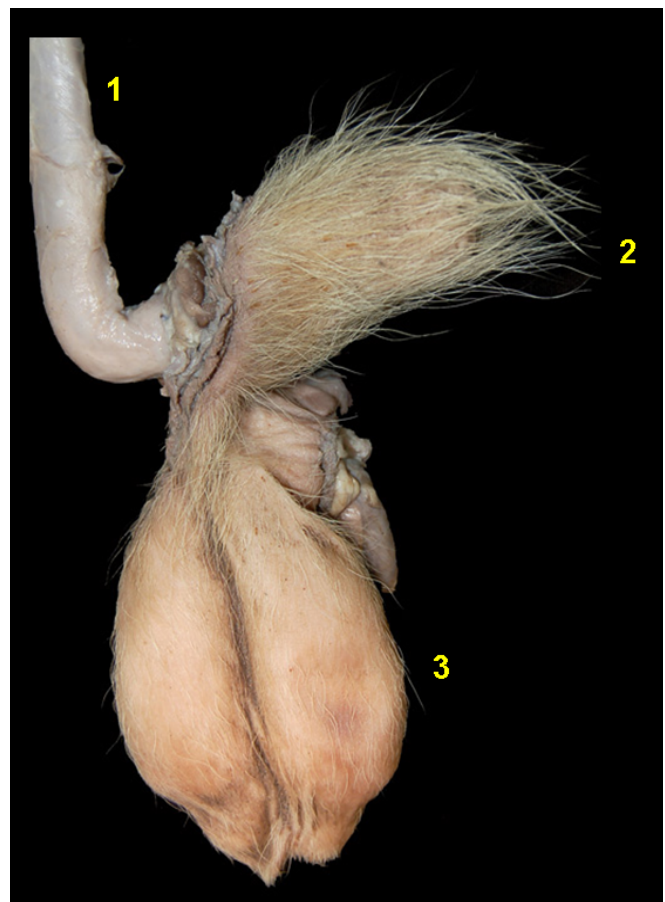


Figura 7.56 - Visión caudal del testículo del venado rojo (*Mazama americana*). 1. Pene (cuerpo); 2. Prepucio; 3. Bolsa escrotal.

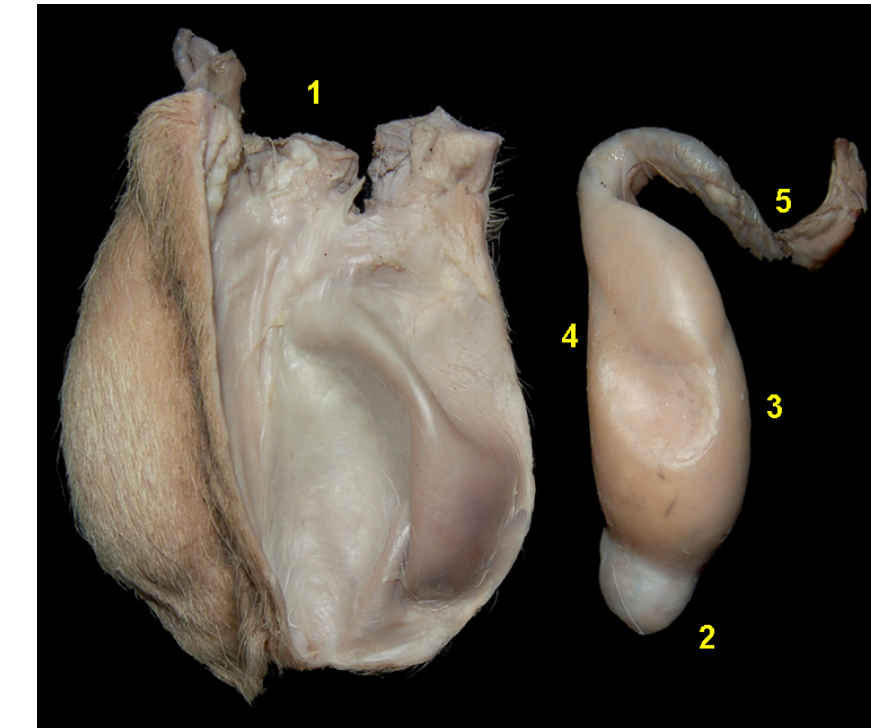


Figura 7.57 - Visión caudal del testículo del venado rojo (*Mazama americana*). El testículo ha sido separado de la bolsa escrotal. 1. Bolsa escrotal; 2. Cola del epidídimo; 3. Borde libre; 4. Borde epididimario; 5. Cordón testicular.

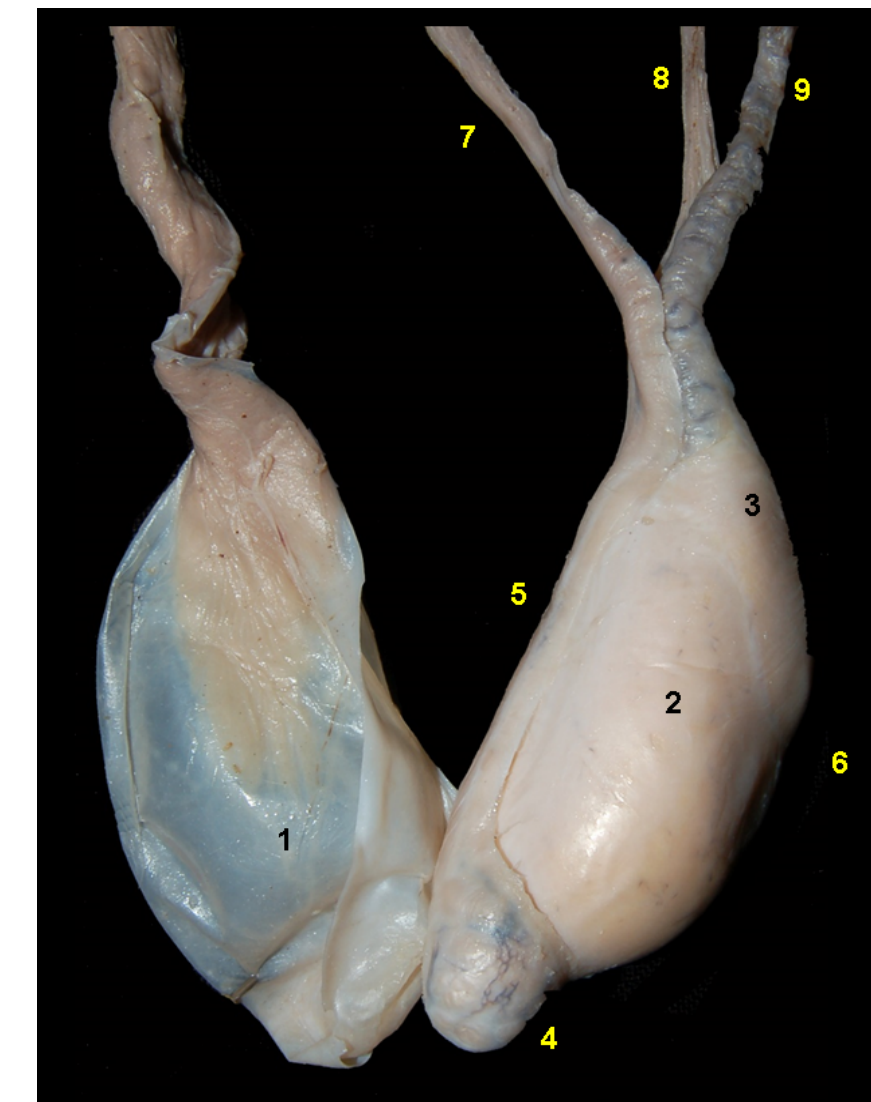


Figura 7.58 - Visión medial del testículo del venado rojo (*Mazama americana*). 1. Envolturas testiculares; 2. Testículo; 3. Cabeza del epidídimo; 4. Cola del epidídimo; 5. Borde epididimario; 6. Borde libre; 7. Conducto deferente; 8. Arteria testicular; 9. Plexo pampiniforme.



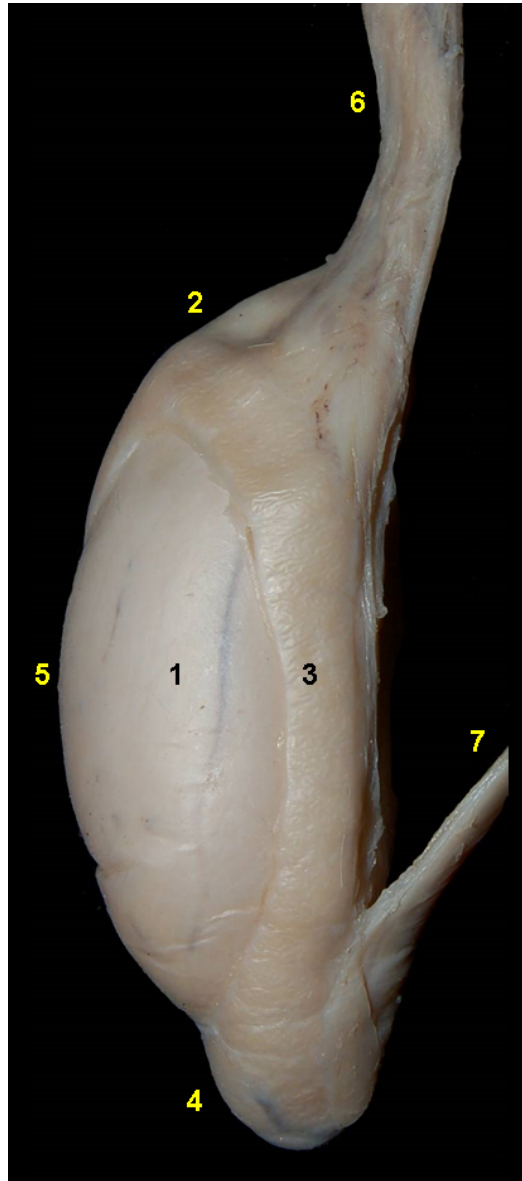
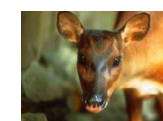


Figura 7.59 - Visión lateral del testículo del venado rojo (*Mazama americana*). 1. Testículo; 2. Cabeza del epidídimo; 3. Cuerpo del epidídimo; 4. Cola del epidídimo; 5. Borde libre; 6. Arteria y vena testicular; 7. Conducto deferente.

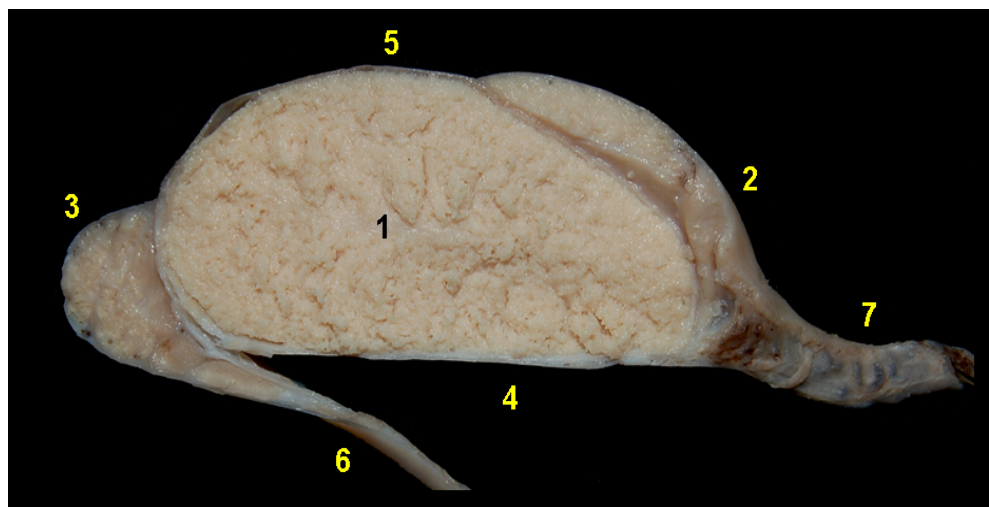


Figura 7.60 - Corte sagital del testículo del venado rojo (*Mazama americana*). 1. Mediastino; 2. Cabeza del epidídimo; 3. Cola del epidídimo; 4. Borde epididimario; 5. Borde libre; 6. Conducto deferente; 7. Plexo pampiniforme.

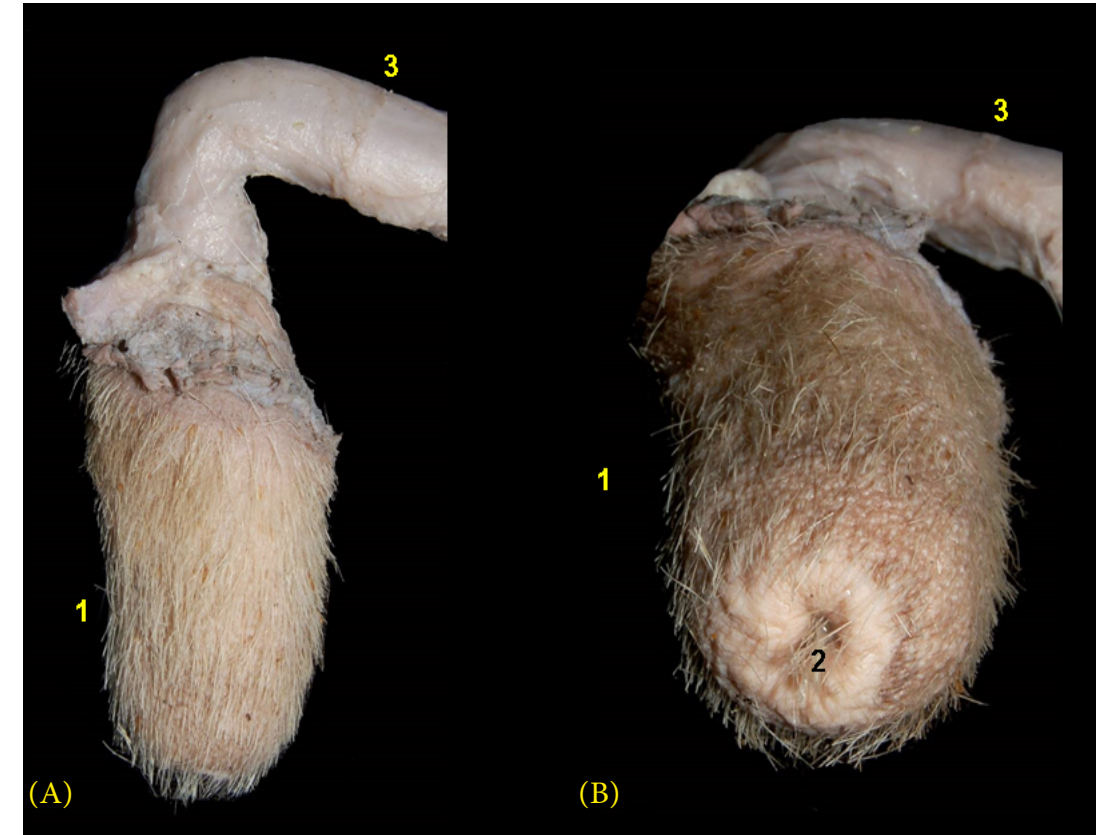


Figura 7.61 - Pene del venado rojo (*Mazama americana*). A - Visión lateral. B - Visión craneal. 1. Prepucio; 2. Orificio prepucial; 3. Pene (cuerpo).

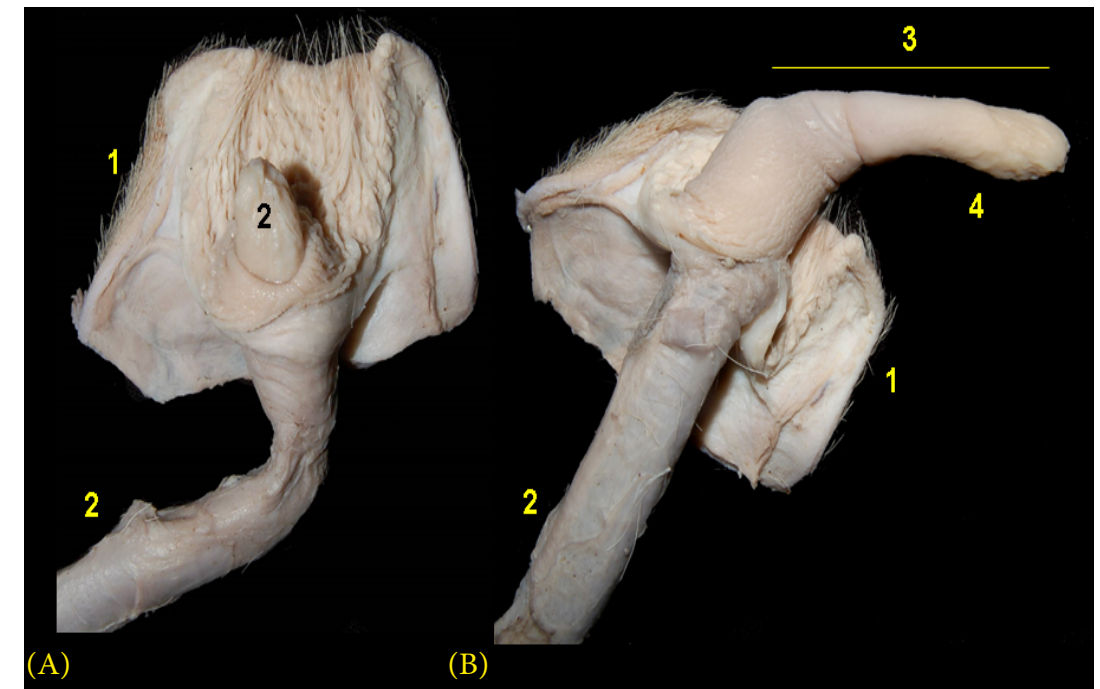


Figura 7.62 - Pene fibroelástico del venado rojo (*Mazama americana*). A - Se ha abierto la cavidad prepucial. B - Se ha abierto la cavidad prepucial y se ha retraído el prepucio. 1. Prepucio; 2. Cuerpo del pene; 3. Glande del pene; 4. Parte libre del pene.

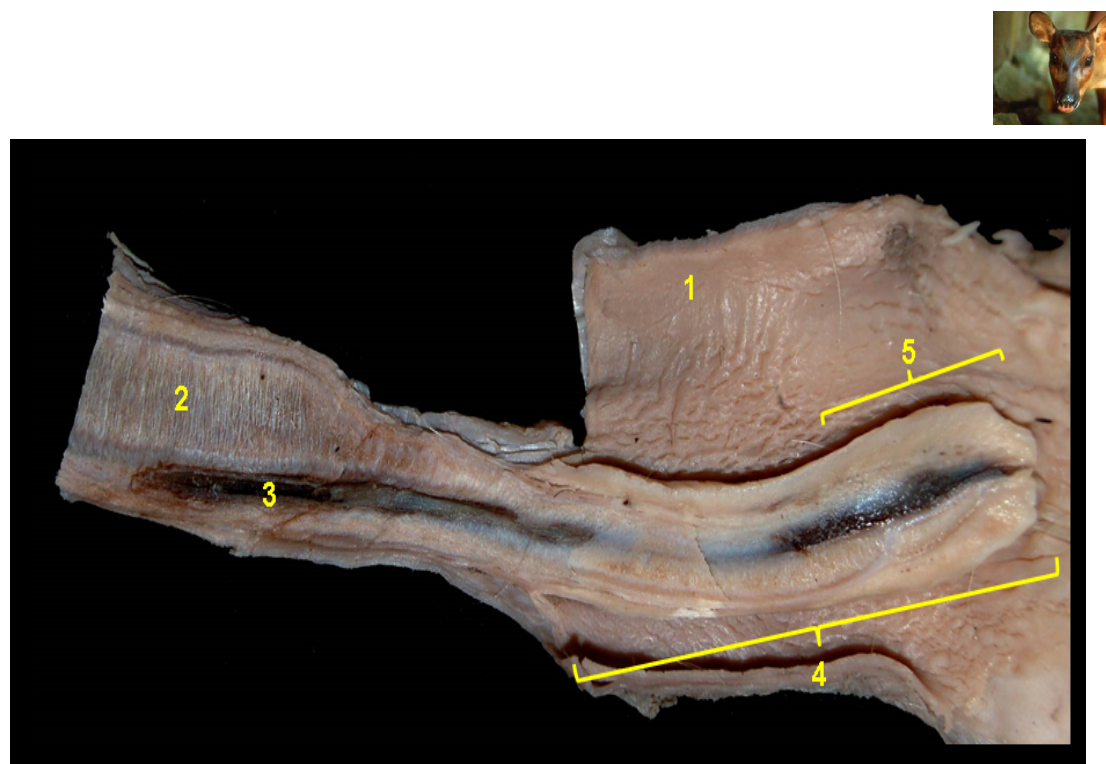


Figura 7.63 - Corte sagital del pene fibroelástico del venado rojo (*Mazama americana*). 1. Prepucio; 2. Cuerpo cavernoso; 3. Uretra peneana; 4. Parte libre del pene; 5. Glande del pene.

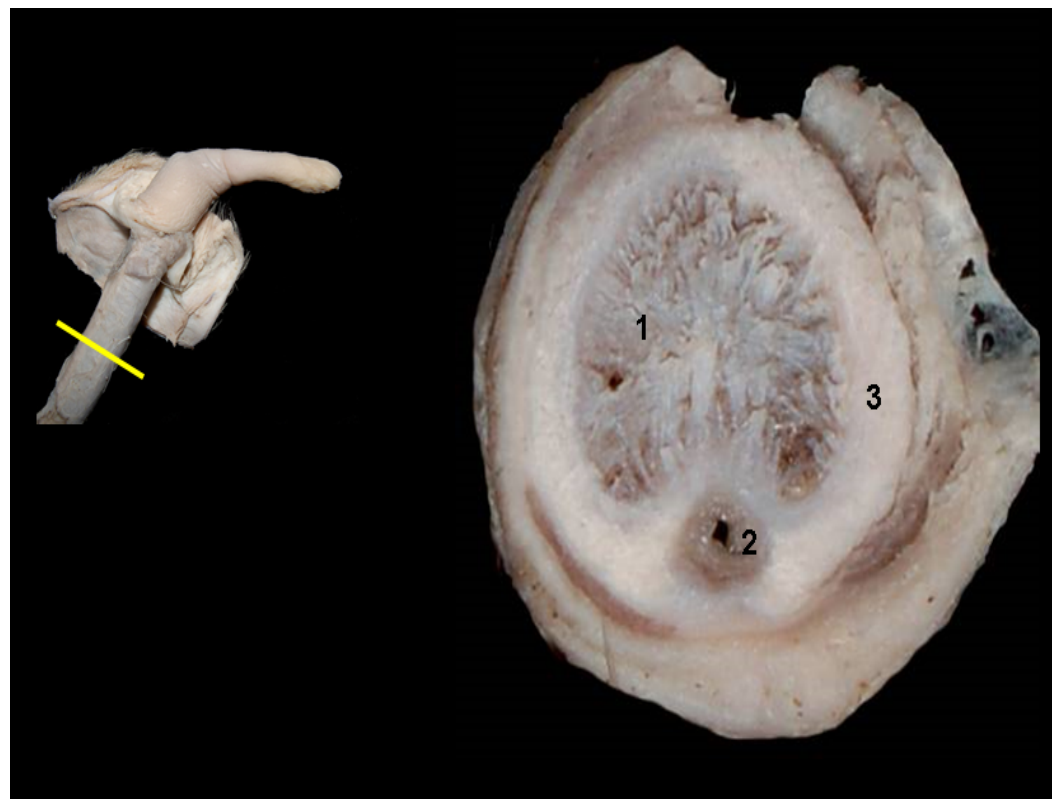


Figura 7.64 - Pene fibroelástico del venado rojo (*Mazama americana*). 1. Cuerpo cavernoso; 2. Uretra peneana; 3. Túnica albugínea de los cuerpos cavernosos.

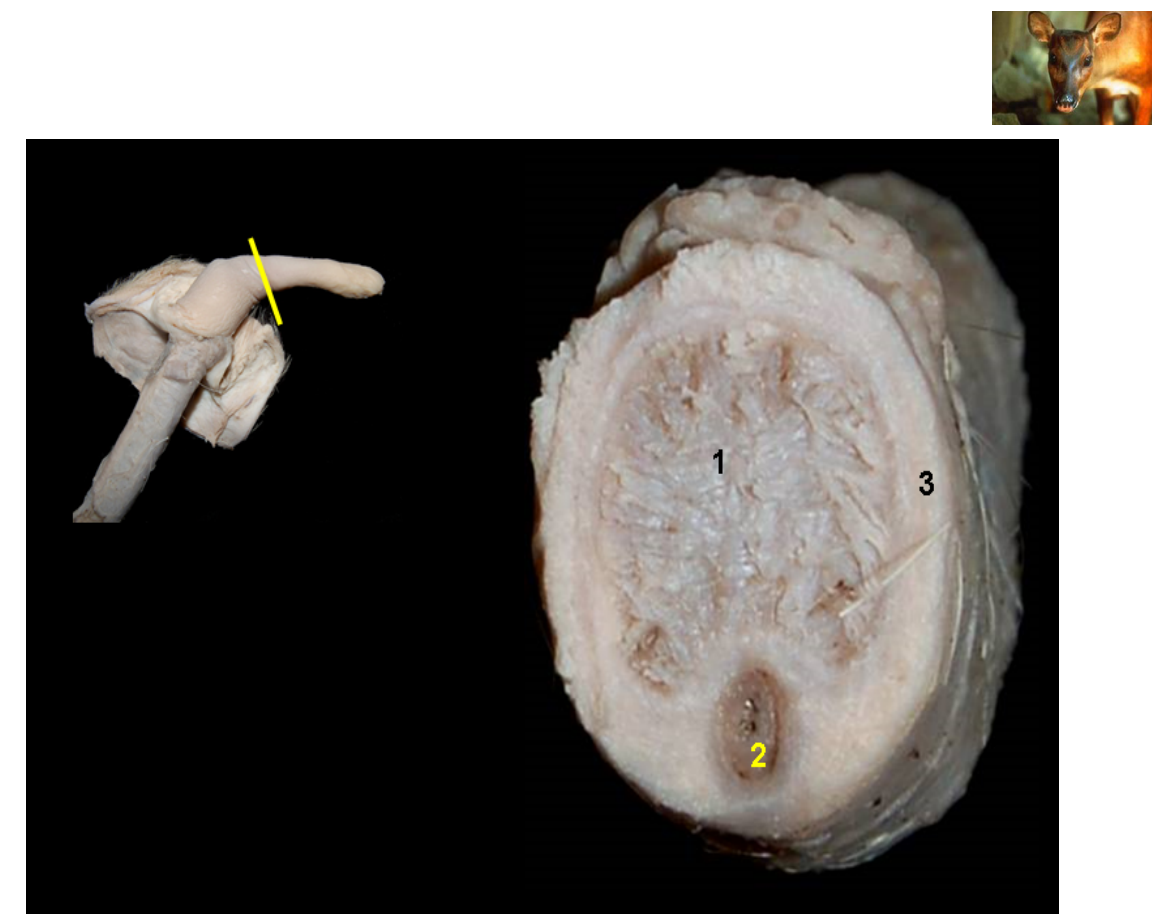


Figura 7.65 - Pene fibroelástico del venado rojo (*Mazama americana*). 1. Cuerpo cavernoso; 2. Uretra peneana; 3. Túnica albugínea de los cuerpos cavernosos.

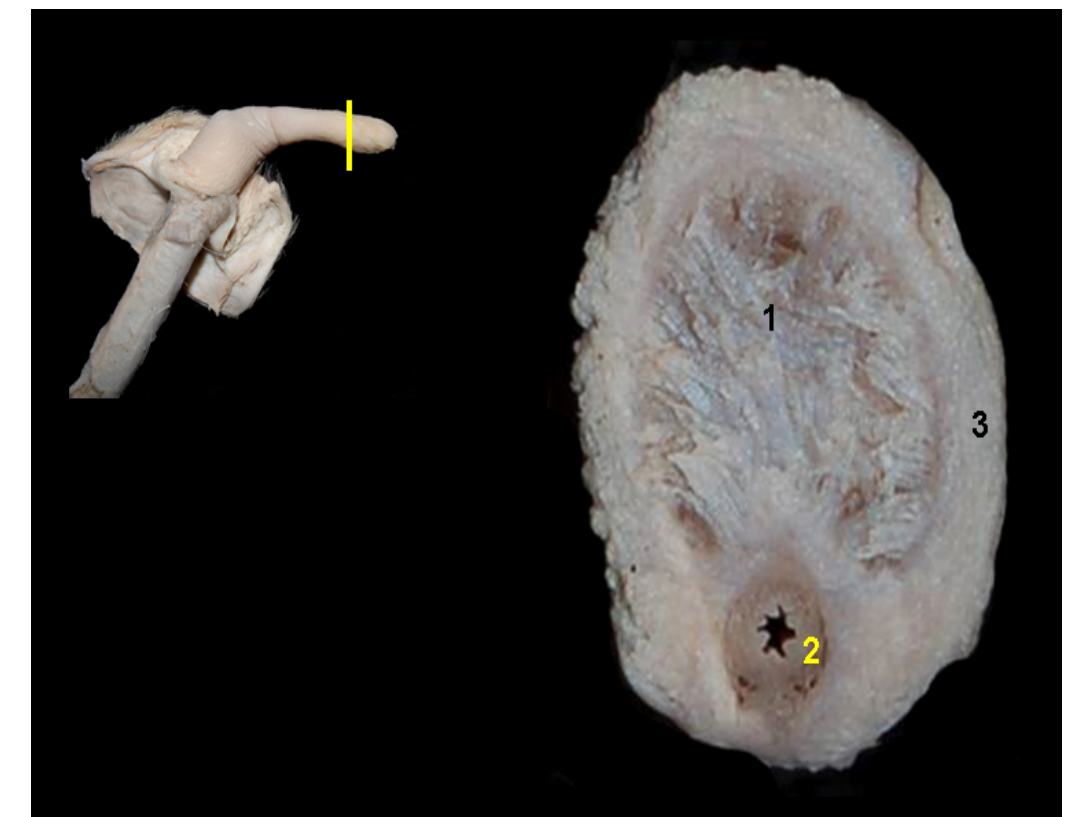


Figura 7.66 - Pene fibroelástico del venado rojo (*Mazama americana*). 1. Cuerpo cavernoso; 2. Uretra peneana; 3. Túnica albugínea de los cuerpos cavernosos.



TAPIR (*Tapirus terrestris*)

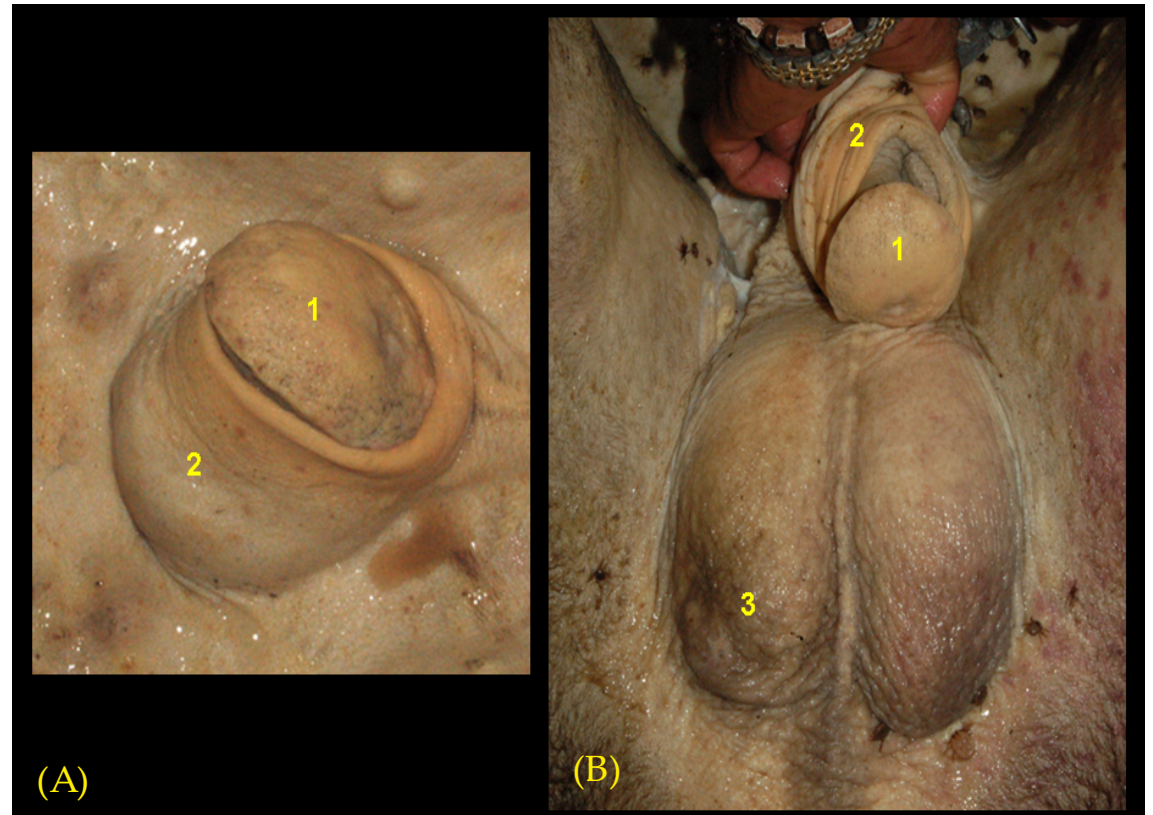


Figura 7.67 - Visión externa de los órganos genitales masculinos del tapir (*Tapirus terrestris*). A - Visión ventral. B - Visión caudal-ventral. 1. Glande del pene; 2. Prepucio; 3. Bolsa escrotal.

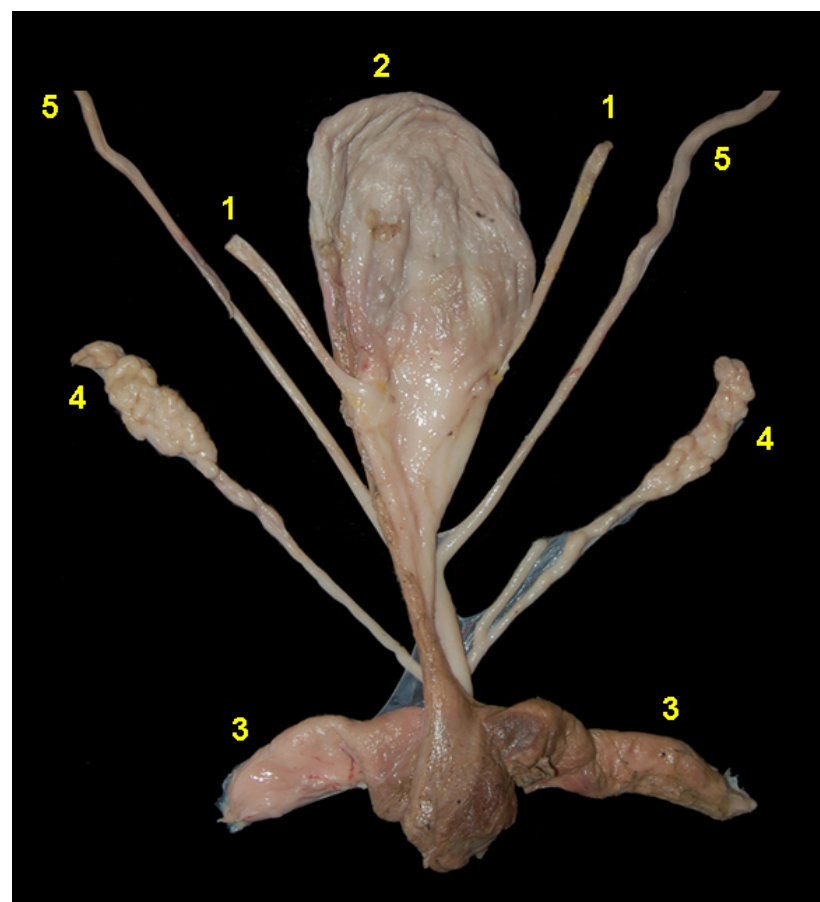


Figura 7.68 - Visión ventral de los órganos urogenitales del tapir (*Tapirus terrestris*). 1. Uréteres; 2. Vejiga urinaria; 3. Próstata; 4. Glándulas vesiculares; 5. Conducto deferente.

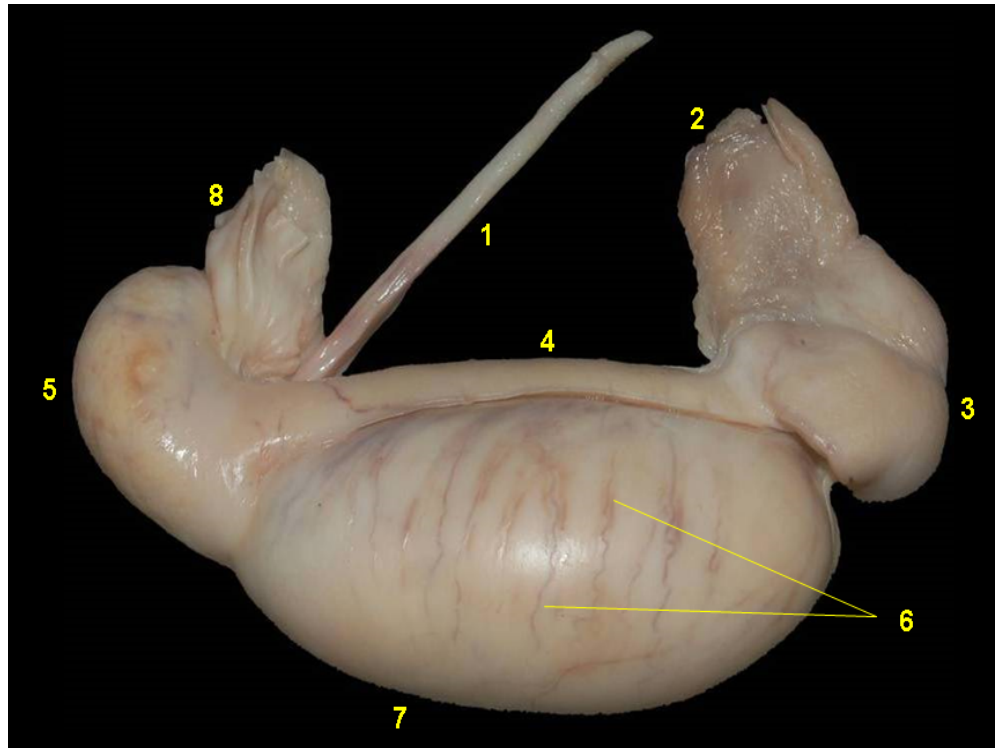


Figura 7.69 - Visión lateral del testículo del tapir (*Tapirus terrestris*). 1. Conducto deferente; 2. Plexo pampiniforme; 3. Cabeza del epidídimo; 4. Cuerpo del epidídimo; 5. Cola del epidídimo; 6. Vasos sanguíneos superficiales; 7. Borde libre; 8. Ligamento de la cola del epidídimo y envolturas testiculares.

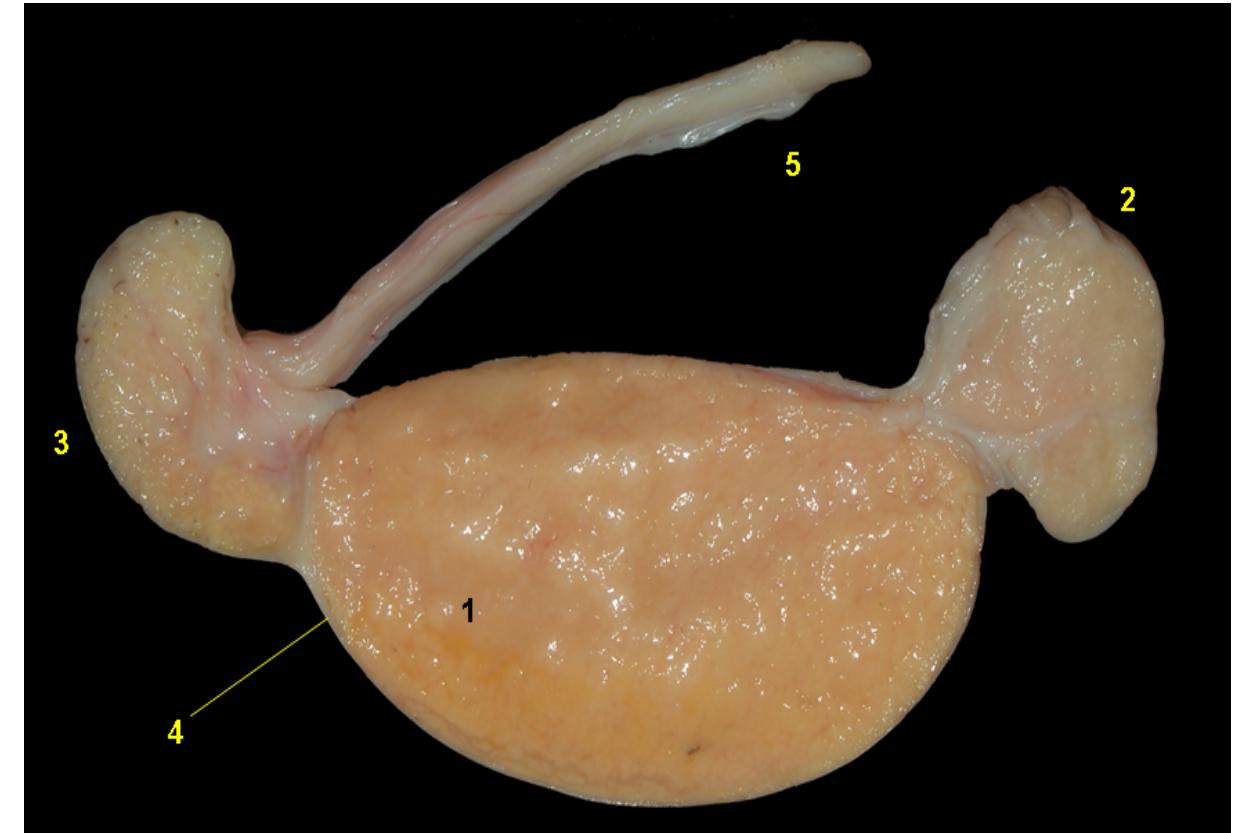


Figura 7.71 - Corte sagital del testículo del tapir (*Tapirus terrestris*). 1. Parénquima testicular; 2. Cabeza del epidídimo; 3. Cola del epidídimo; 4. Túnica albugínea; 5. Conducto deferente.

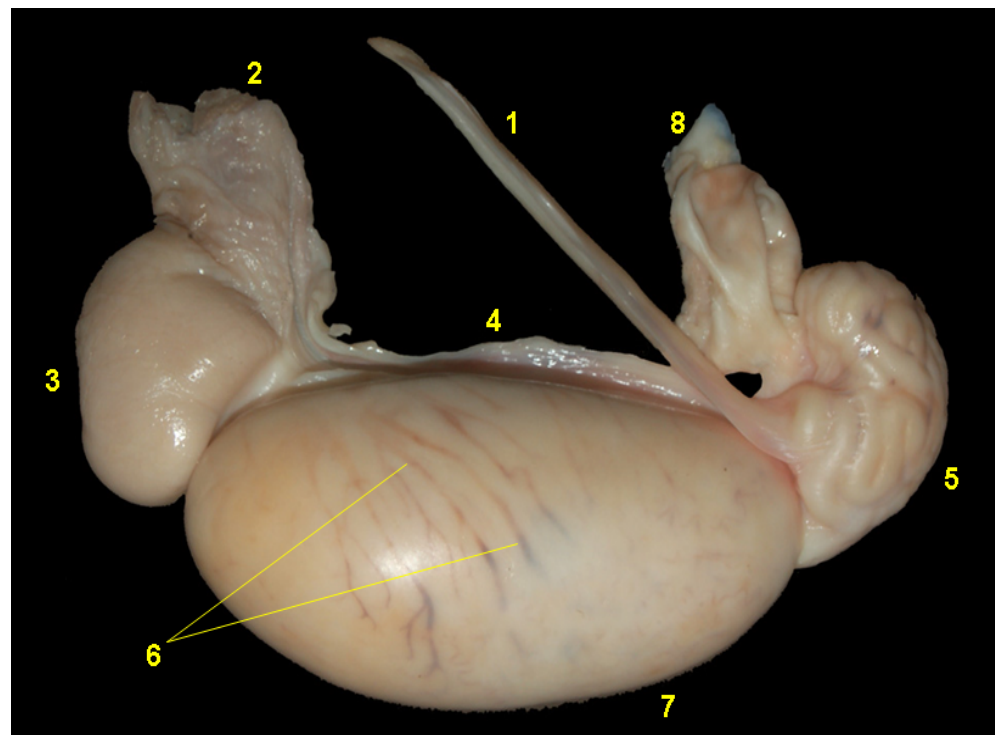


Figura 7.70 - Visión medial del testículo del tapir (*Tapirus terrestris*). 1. Conducto deferente; 2. Plexo pampiniforme; 3. Cabeza del epidídimo; 4. Cuerpo del epidídimo; 5. Cola del epidídimo; 6. Vasos sanguíneos superficiales; 7. Borde libre, 8. Ligamento de la cola del epidídimo y envolturas testiculares.

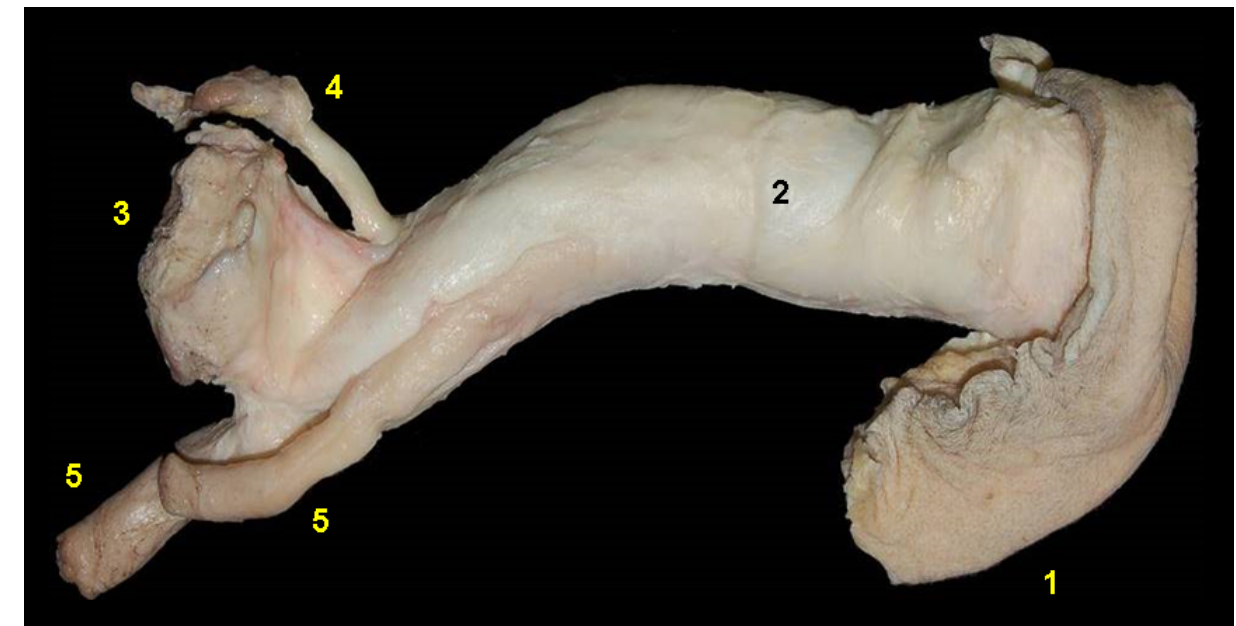


Figura 7.72 - Visión lateral del pene del tapir (*Tapirus terrestris*). Se ha retraído el prepucio parcialmente. 1. Prepucio; 2. Cuerpo del pene; 3. Pilares del pene; 4. Uretra; 5. Musculo retractor del pene.

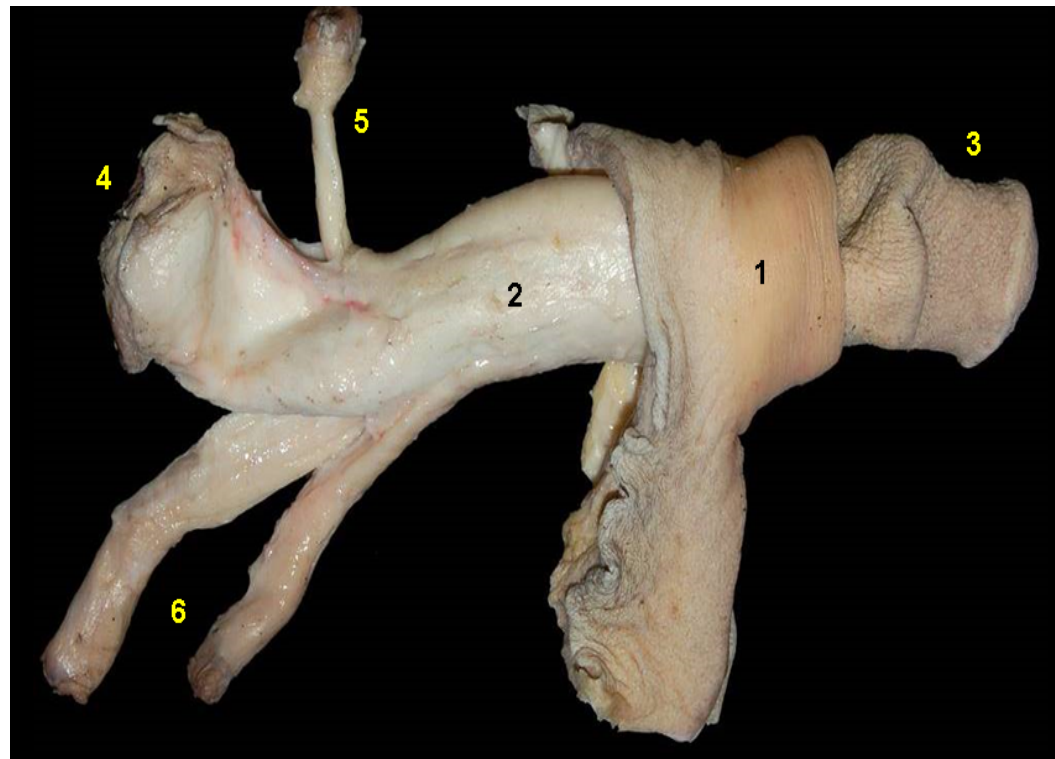


Figura 7.73 - Visión lateral del pene del tapir (*Tapirus terrestris*). Se ha retraído parcialmente el prepucio. 1. Prepucio; 2. Cuerpo del pene; 3. Glande del pene; 4. Pilares del pene; 5. Uretra; 6. Musculo retractor del pene.



Figura 7.75 - Visión ventral del pene del tapir (*Tapirus terrestris*). 1. Glande del pene; 2. Cuerpo del pene; 3. Formaciones laterales del glande.

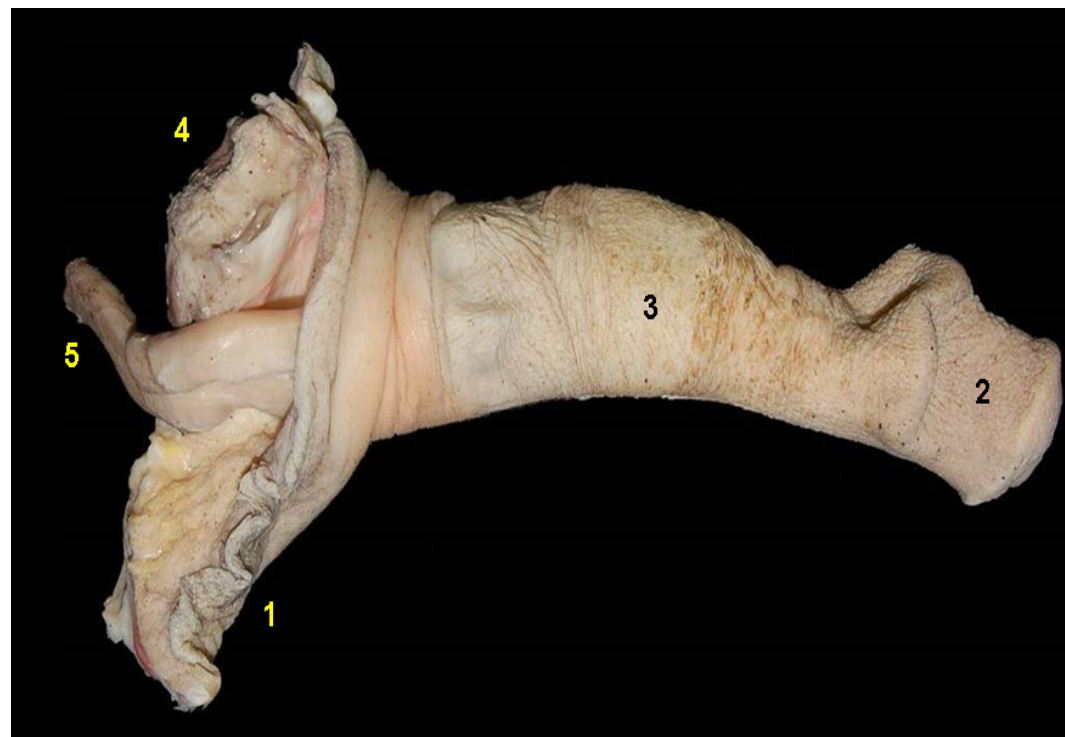


Figura 7.74 - Visión lateral del pene del tapir (*Tapirus terrestris*). El prepucio está retraído caudalmente para exteriorizar el pene. 1. Prepucio; 2. Glande del pene; 3. Cuerpo del pene; 4. Pilares del pene; 5. Músculo retractor del pene.

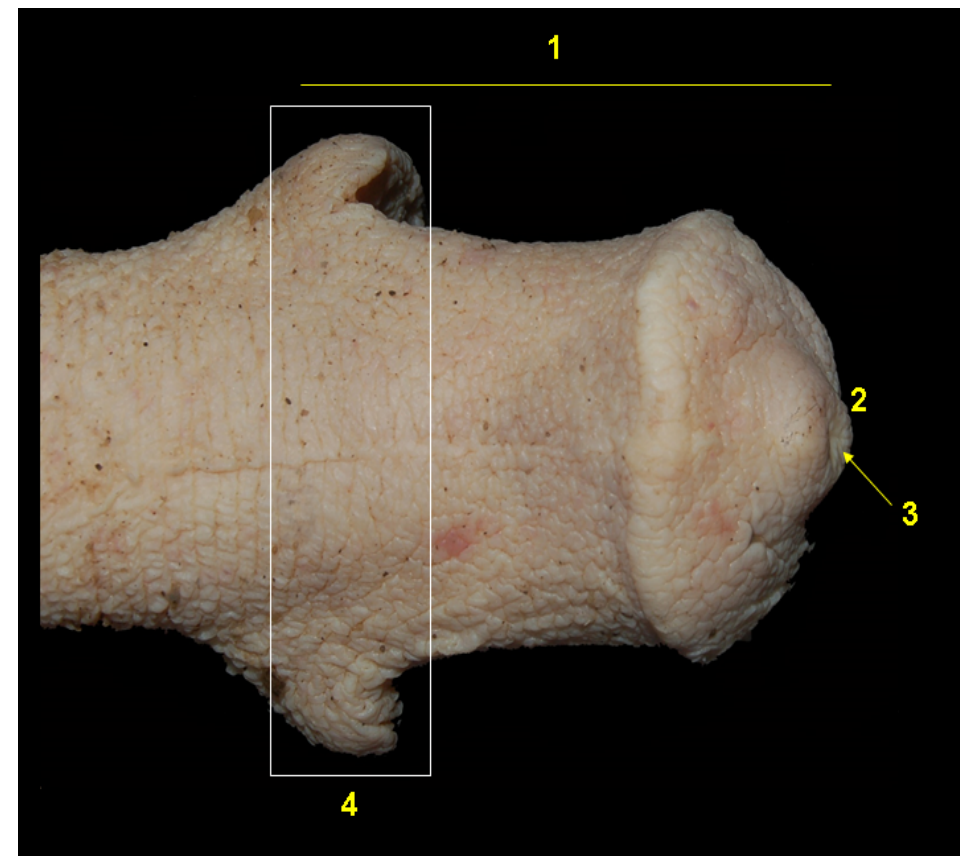


Figura 7.76 - Visión dorsal del pene del tapir (*Tapirus terrestris*). 1. Glande del pene; 2. Proceso uretral; 3. Orificio uretral externo; 4. Formaciones laterales del glande.

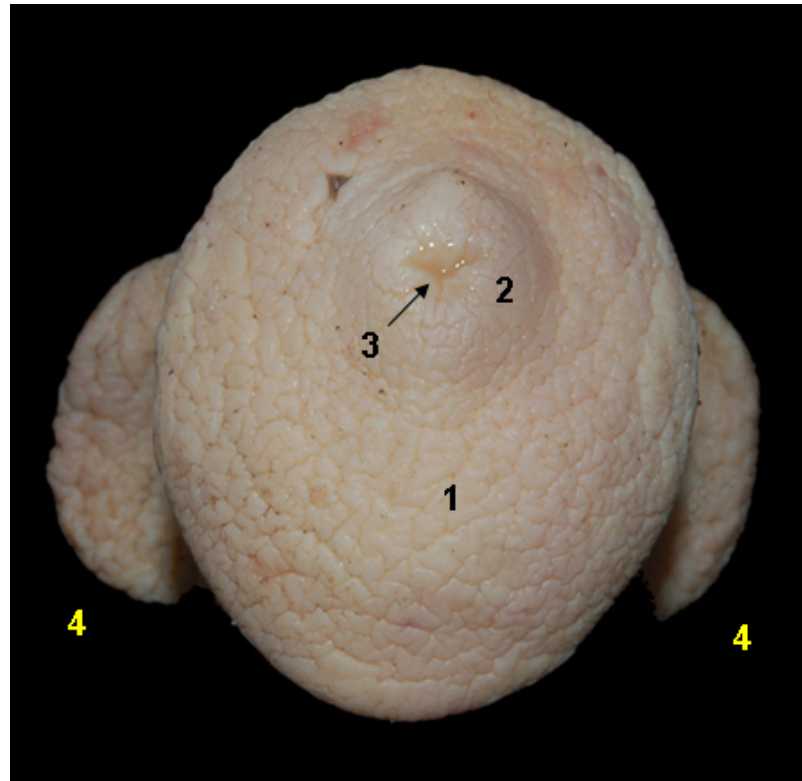


Figura 7.77 - Visión craneal del pene del tapir (*Tapirus terrestris*). 1. Glande del pene; 2. Proceso uretral; 3. Orificio uretral externo; 4. Formación lateral del glande.



Figura 7.78 - Visión craneal del pene del tapir (*Tapirus terrestris*). 1. Prepucio; 2. Glande del pene; 3. Proceso uretral; 4. Orificio uretral externo.



OCELOTE (*Leopardus pardalis*)

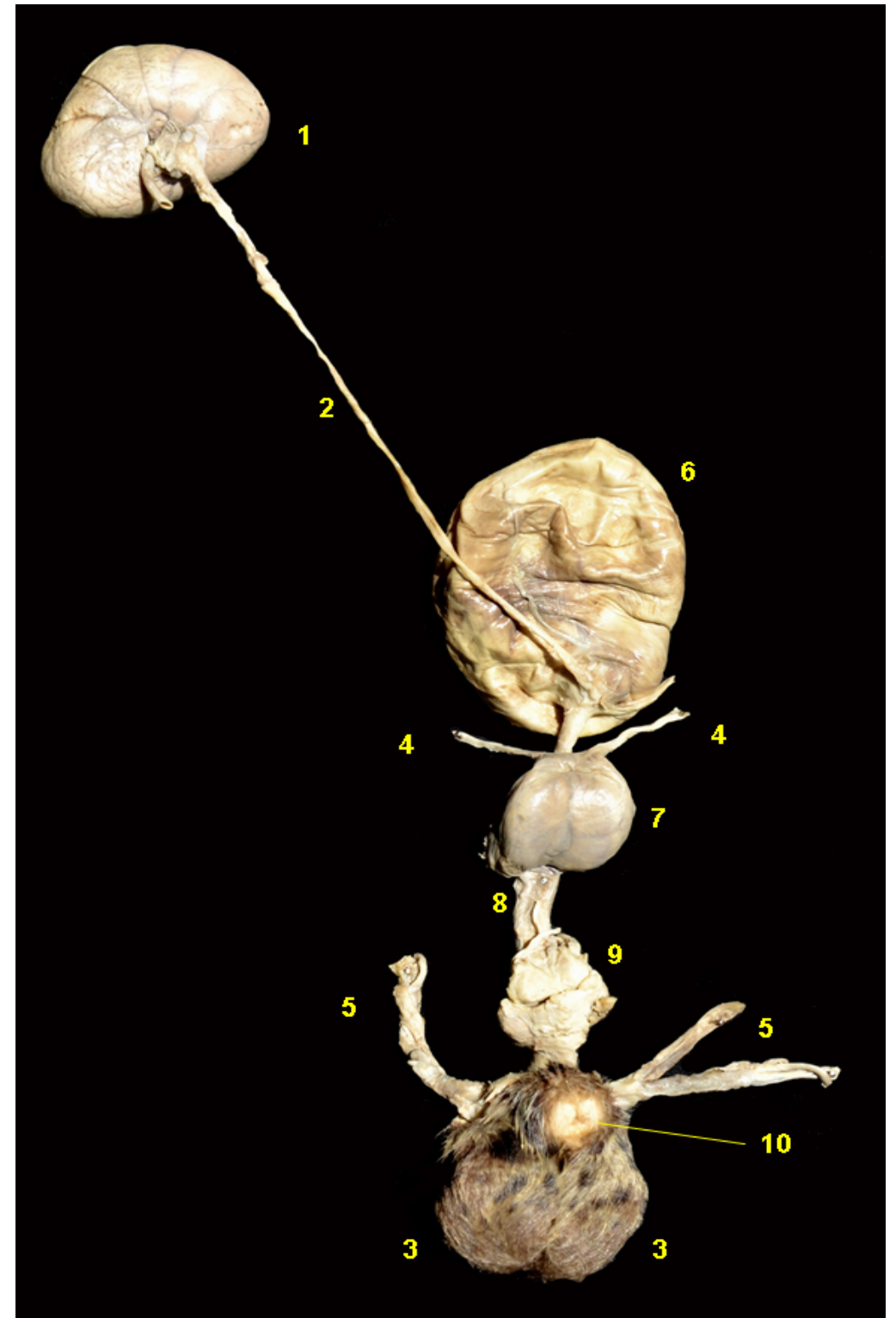


Figura 7.79 - Visión dorsal de los órganos urogenitales masculinos del ocelote (*Leopardus pardalis*). 1. Riñón; 2. Uréter; 3. Bolsa escrotal; 4. Conductos deferentes; 5. Cordones espermáticos; 6. Vejiga urinaria; 7. Próstata; 8. Uretra pélvica; 9. Glándula bulbouretral; 10. Orificio prepucial.

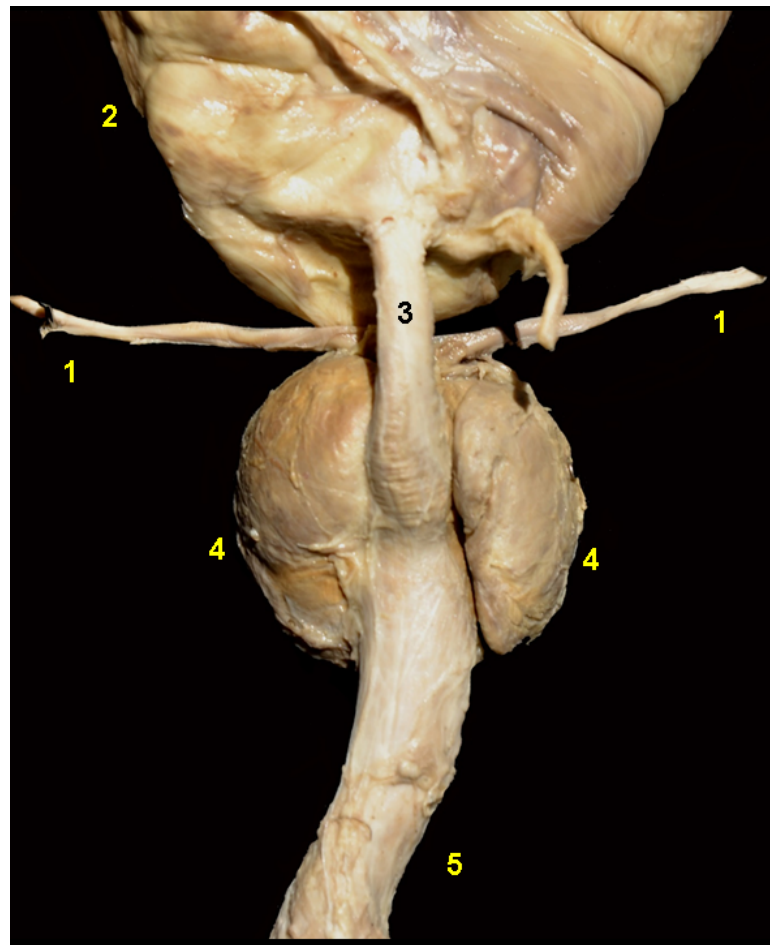


Figura 7.80 - Visión ventral de los órganos urogenitales masculinos del ocelote (*Leopardus pardalis*). 1. Conducto deferente; 2. Vejiga urinaria; 3. Uretra preprostática; 4. Cuerpo de la próstata; 5. Uretra pélvica.

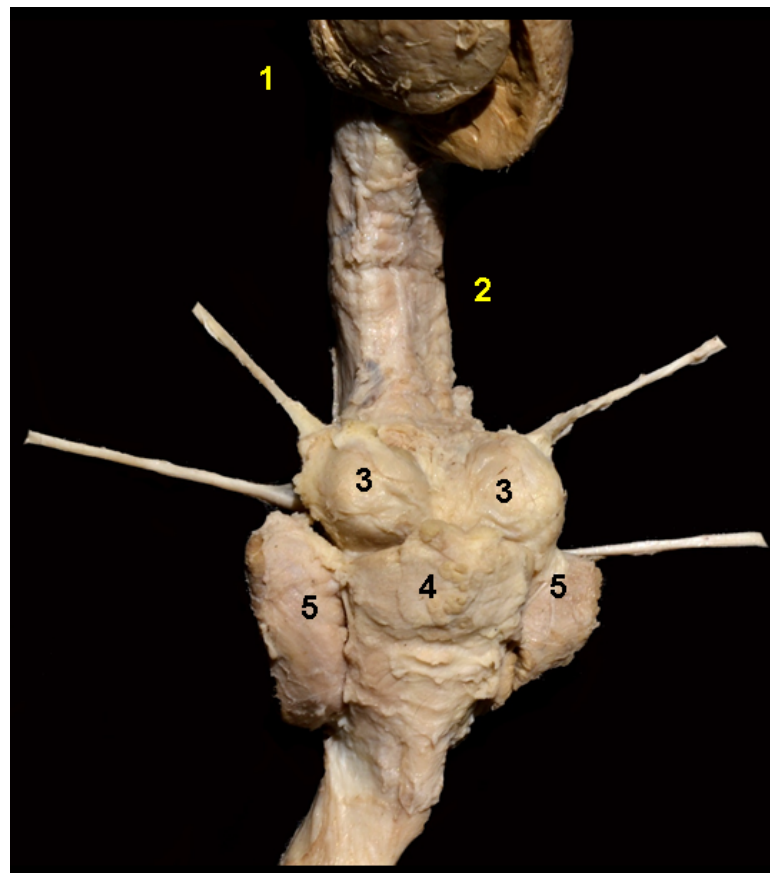


Figura 7.81 - Visión dorsal de los órganos urogenitales masculinos del ocelote (*Leopardus pardalis*). 1. Próstata; 2. Uretra pélvica; 3. Glándulas bulbouretrales; 4. Raíz del pene; 5. Músculos isquiocavernosos.

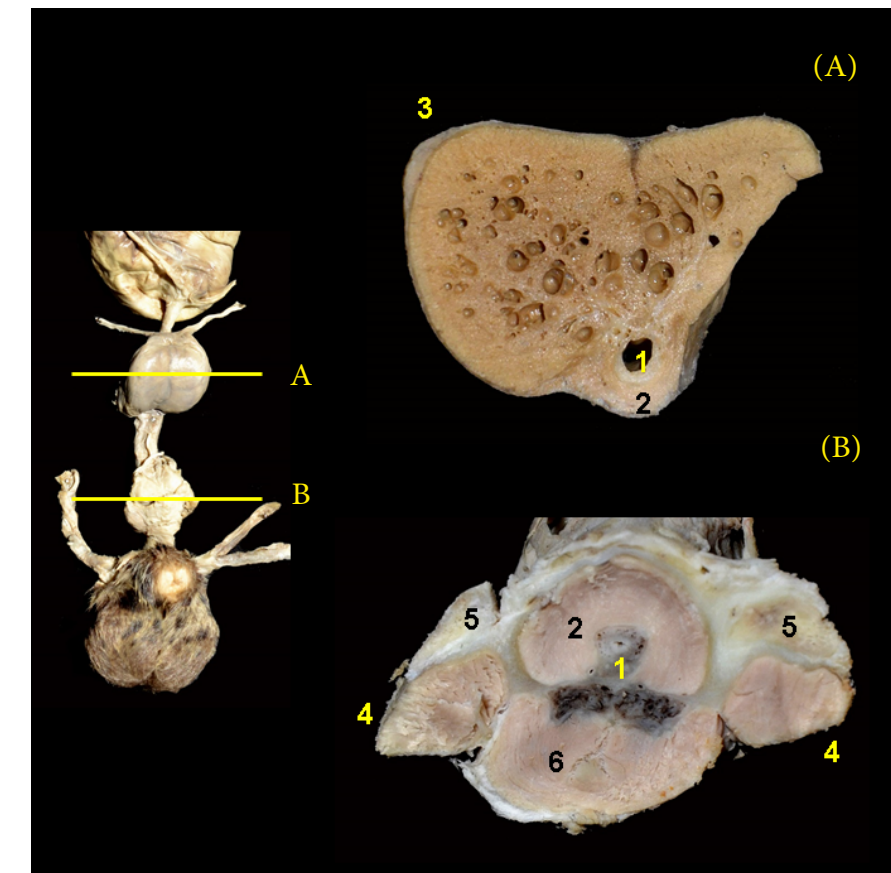


Figura 7.82 - Sección transversal a nivel de la próstata (A) y de la raíz del pene (B) del ocelote (*Leopardus pardalis*). Se ha retirado el lóbulo derecho del cuerpo de la próstata.
1. Uretra; 2. Musculo uretral; 3. Cuerpo de la próstata. 4. Músculos isquiocavernosos; 5. Musculo bulboesponjoso.



Figura 7.83 - Visión caudal de los órganos genitales masculinos del ocelote (*Leopardus pardalis*). 1. Bolsa escrotal; 2. Orificio prepucial; 3. Ano.



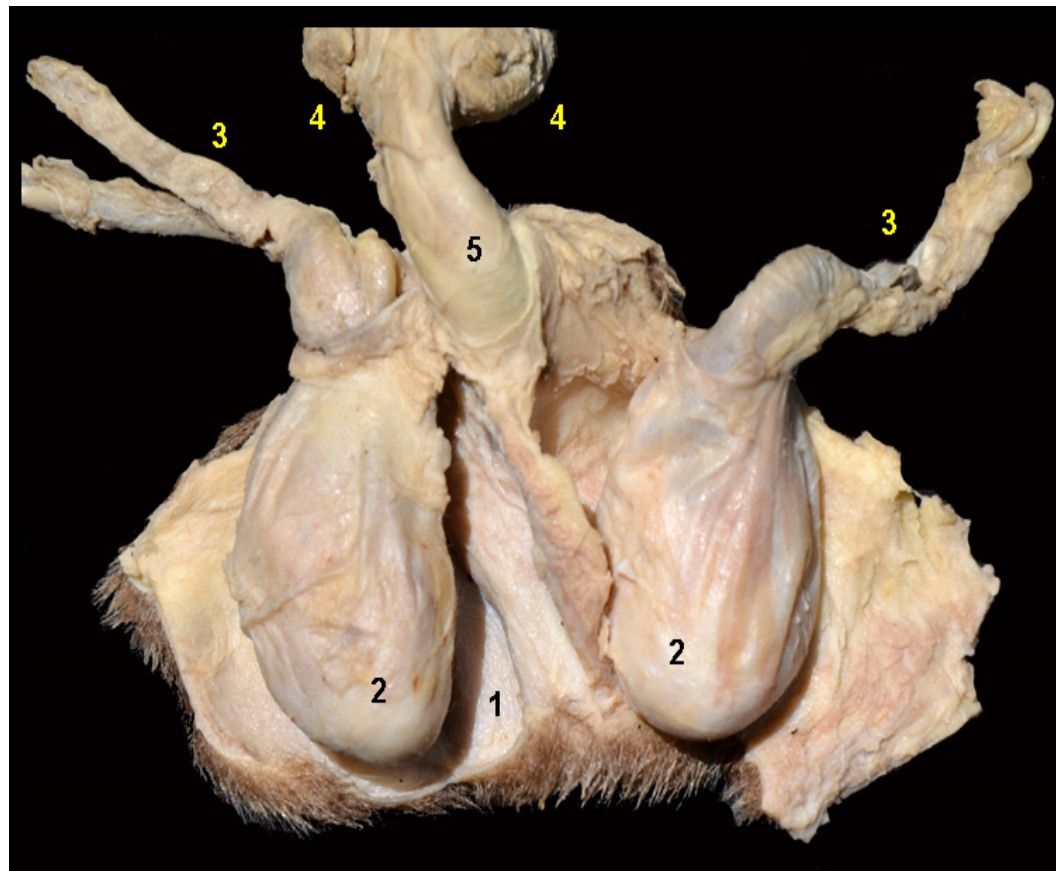


Figura 7.84 - Visión craneal de los órganos genitales masculinos del ocelote (*Leopardus pardalis*). 1. Bolsa escrotal (abierta); 2. Testículos; 3. Cordón espermático; 4. Pilares del pene; 5. Pene.

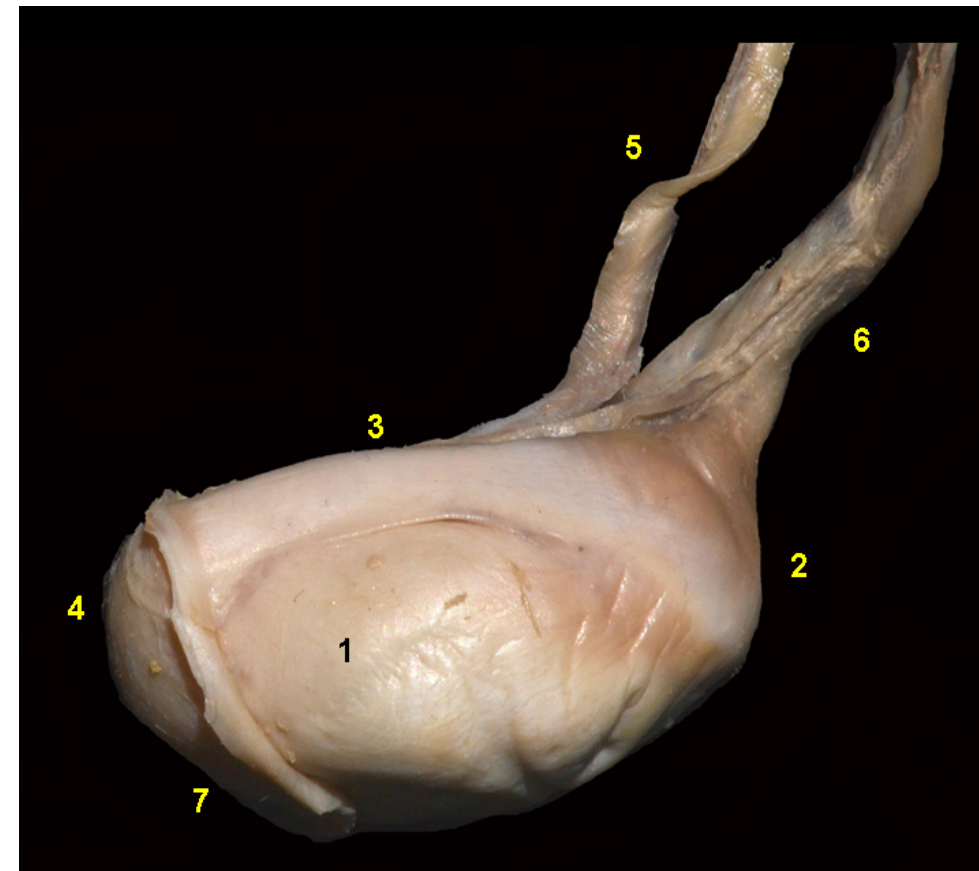


Figura 7.86 - Visión lateral del testículo del ocelote (*Leopardus pardalis*). 1. Testículo; 2. Cabeza del epidídimo; 3. Cuerpo del epidídimo; 4. Cola del epidídimo; 5. Conducto deferente; 6. Plexo pampiniforme; 7. Restos de las envolturas testiculares.

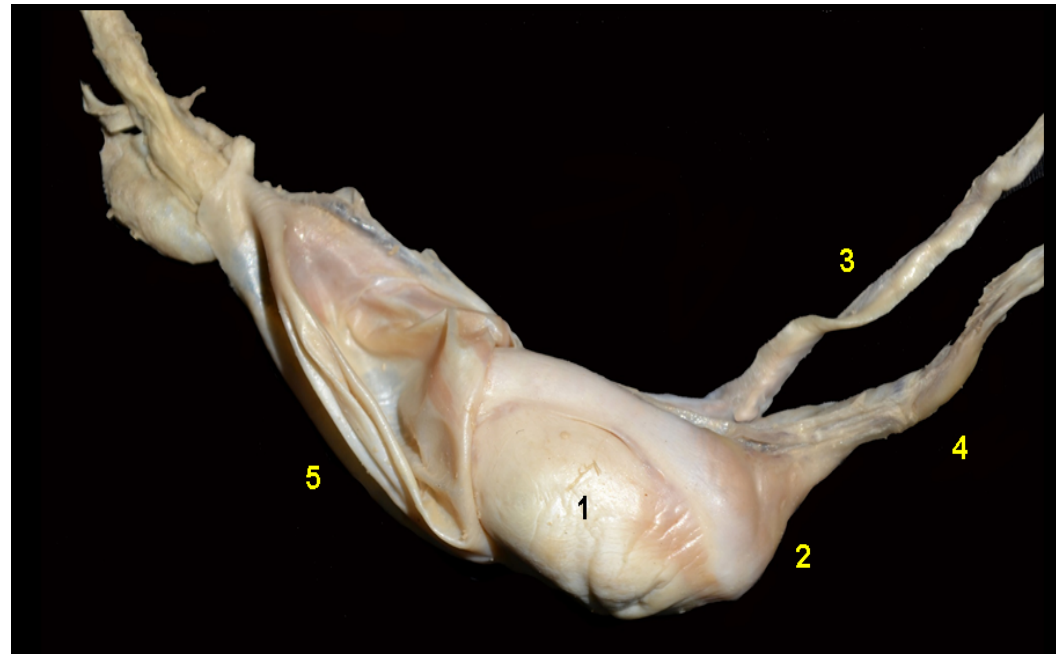


Figura 7.85 - Visión lateral del testículo del ocelote (*Leopardus pardalis*). 1. Testículo; 2. Cabeza del epidídimo; 3. Conducto deferente; 4. Plexo pampiniforme; 5. Envolturas testiculares.

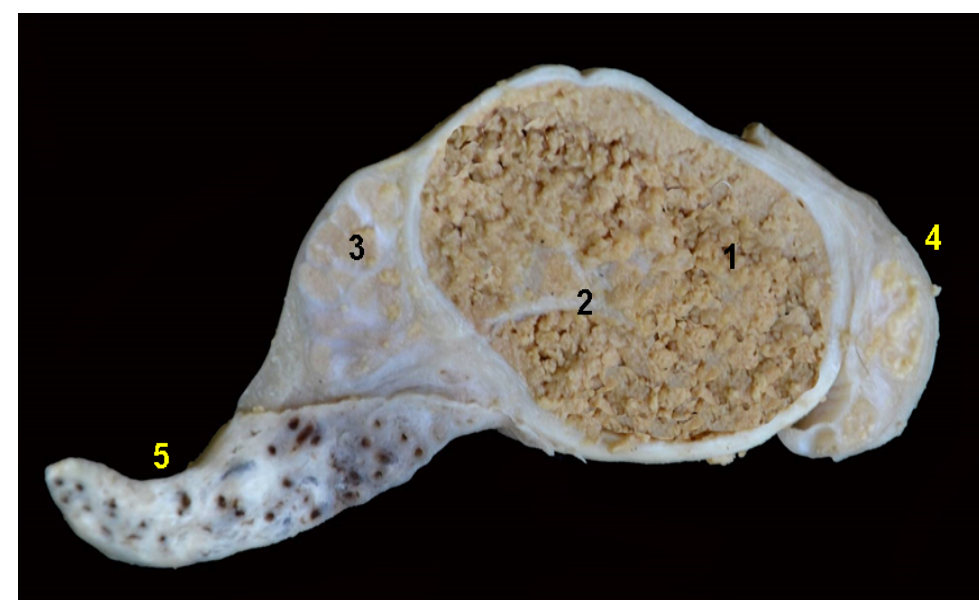


Figura 7.87 - Corte longitudinal del testículo del ocelote (*Leopardus pardalis*). 1. Parénquima testicular; 2. Mediastino testicular; 3. Cabeza del epidídimo; 4. Cola del epidídimo; 5. Plexo pampiniforme y arteria testicular.



Figura 7.88 - Visión caudal de los órganos genitales masculinos del ocelote (*Leopardus pardalis*). 1. Bolsa escrotal; 2. Orificio prepucial (lámina interna); 3. Parte proximal del glande del pene (con espículas); 4. Parte distal del glande del pene.

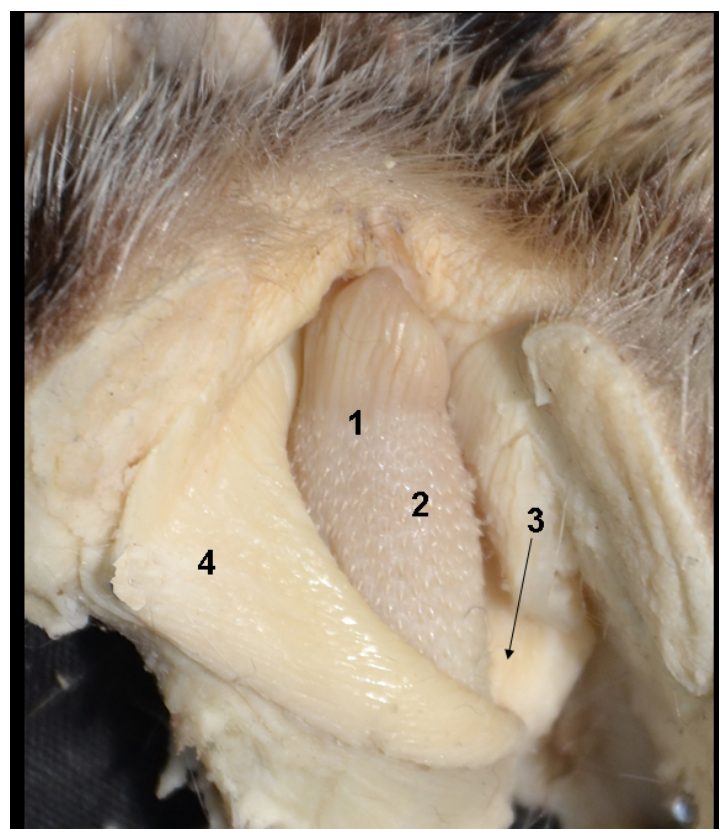


Figura 7.89 - Visión dorsal del pene del ocelote (*Leopardus pardalis*). 1. Parte proximal del glande del pene (con espículas); 2. Parte distal del glande del pene; 3. Cavidad prepucial; 4. Prepucio.



Figura 7.90 - Visión ventral del pene del ocelote (*Leopardus pardalis*). 1. Cuerpo del pene; 2. Parte proximal del glande del pene (con espículas); 3. Parte distal del glande del pene.

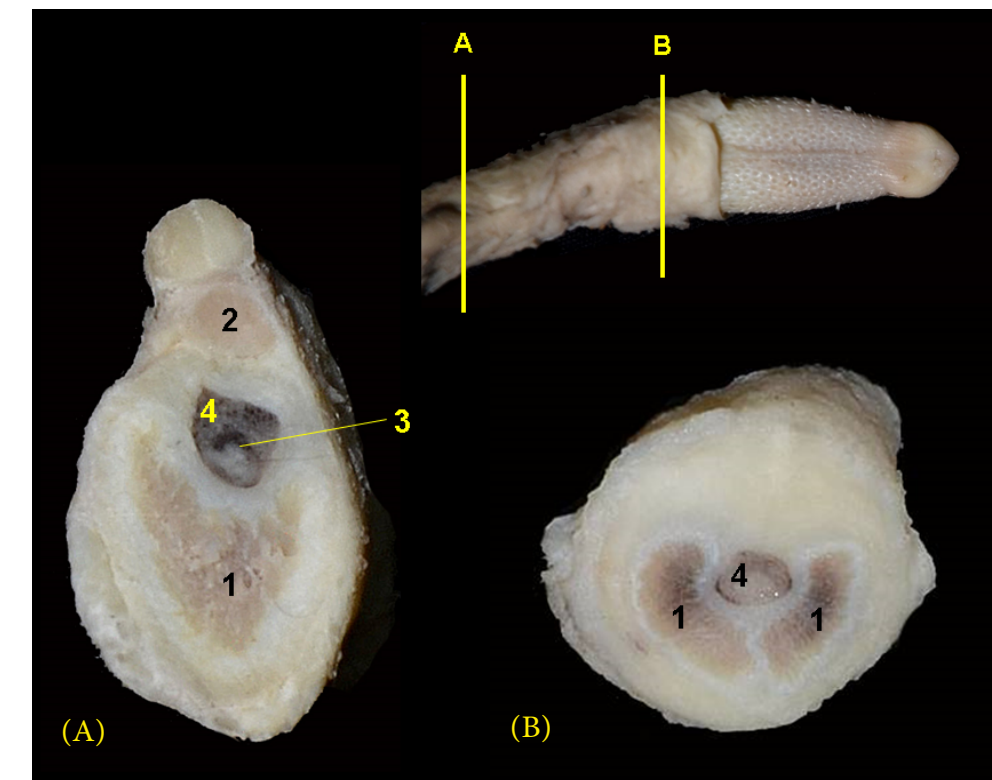


Figura 7.91 - Pene musculocavernoso del ocelote (*Leopardus pardalis*). 1. Cuerpo cavernoso; 2. Musculo bulboesponjoso; 3. Uretra; 4. Cuerpo esponjoso del pene.

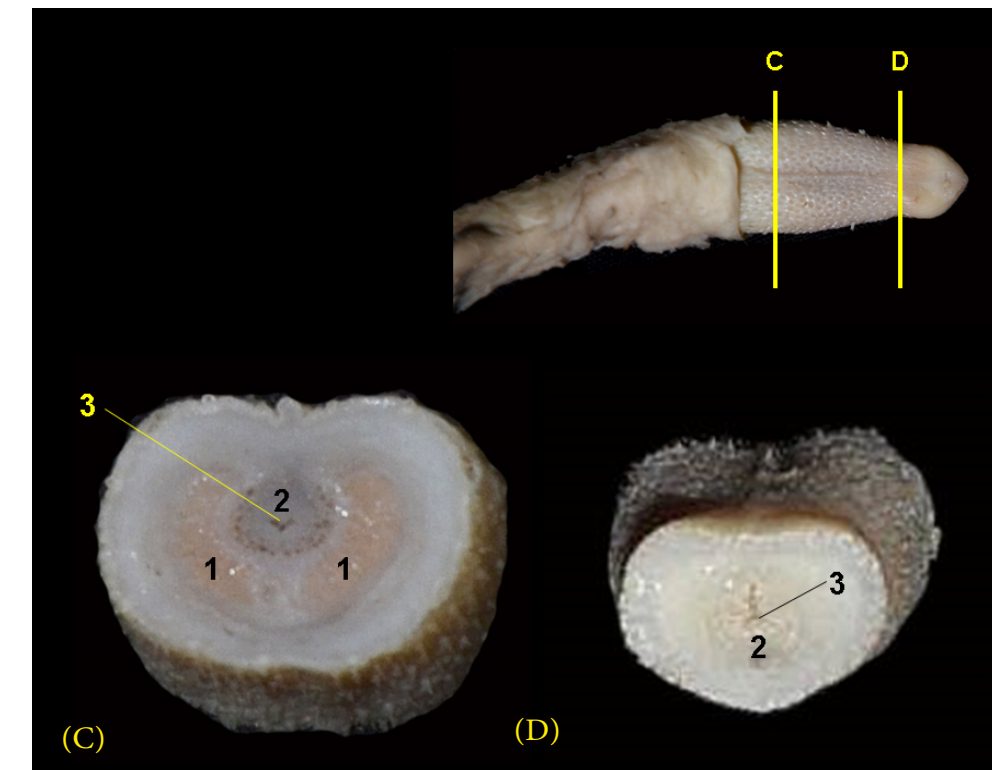


Figura 7.92 - Pene musculocavernoso del ocelote (*Leopardus pardalis*). 1. Cuerpo cavernoso; 2. Cuerpo esponjoso; 3. Uretra.



JAGUAR (*Panthera onca*)

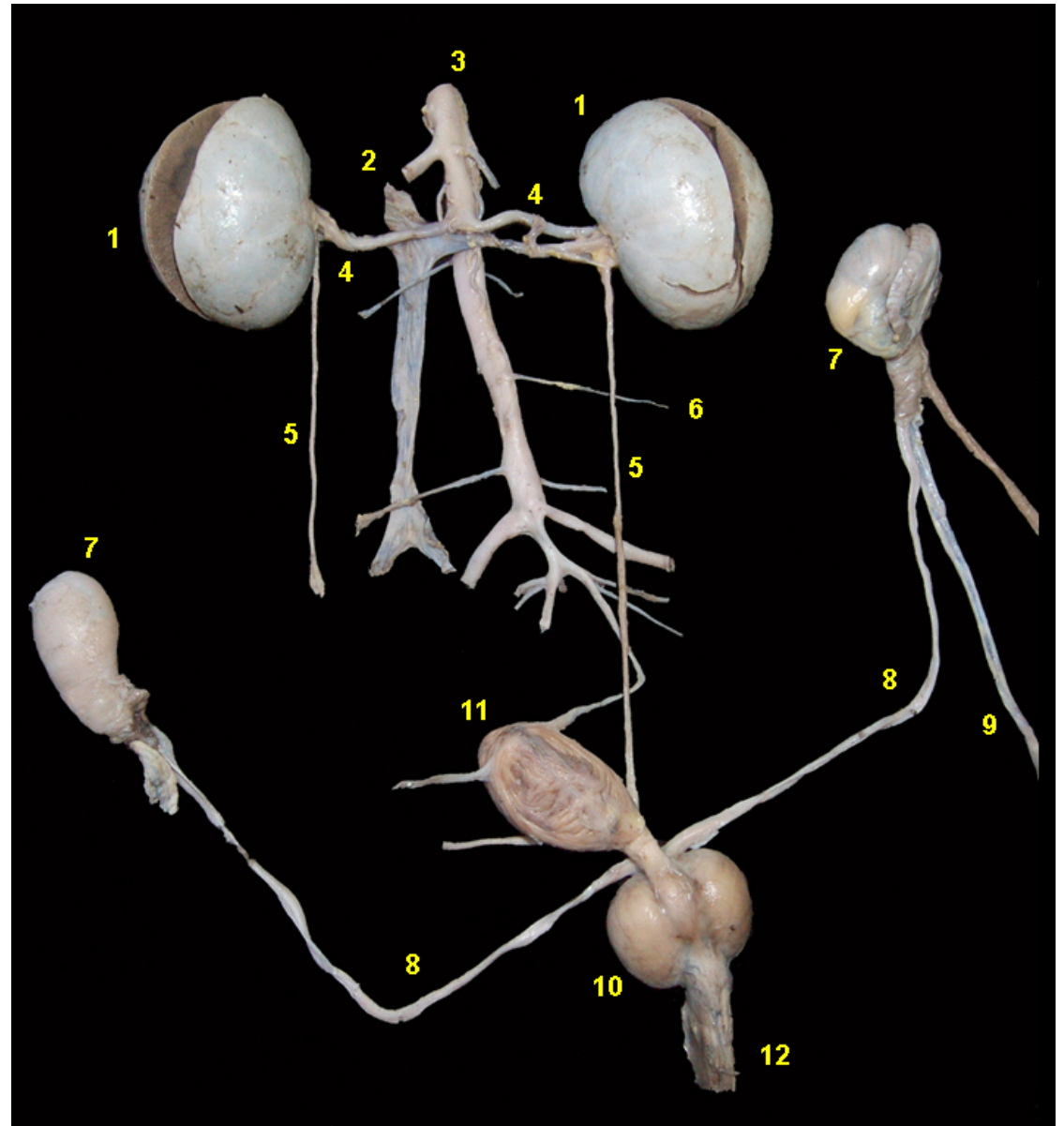


Figura 7.93 - Órganos urogenitales masculinos del jaguar (*Panthera onca*). 1. Riñones; 2. Vena cava caudal; 3. Aorta abdominal; 4. Arterias y venas renales; 5. Uréteres; 6. Arteria testicular; 7. Testículos; 8. Conductos deferentes; 9. Vasos testiculares; 10. Próstata; 11. Vejiga urinaria; 12. Uretra pelviana.

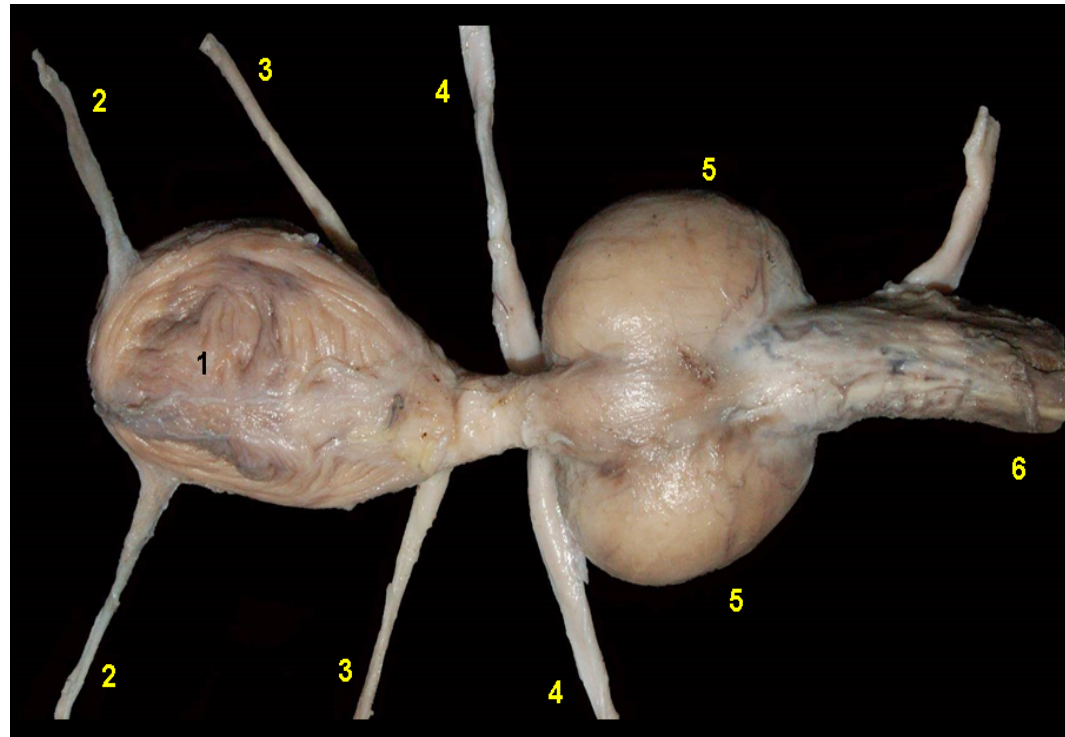


Figura 7.94 - Visión ventral de los órganos urogenitales masculinos del jaguar (*Panthera onca*). 1. Vejiga urinaria; 2. Ligamentos laterales de la vejiga urinaria; 3. Uréteres; 4. Conductos deferentes; 5. Próstata; 6. Uretra pelviana.

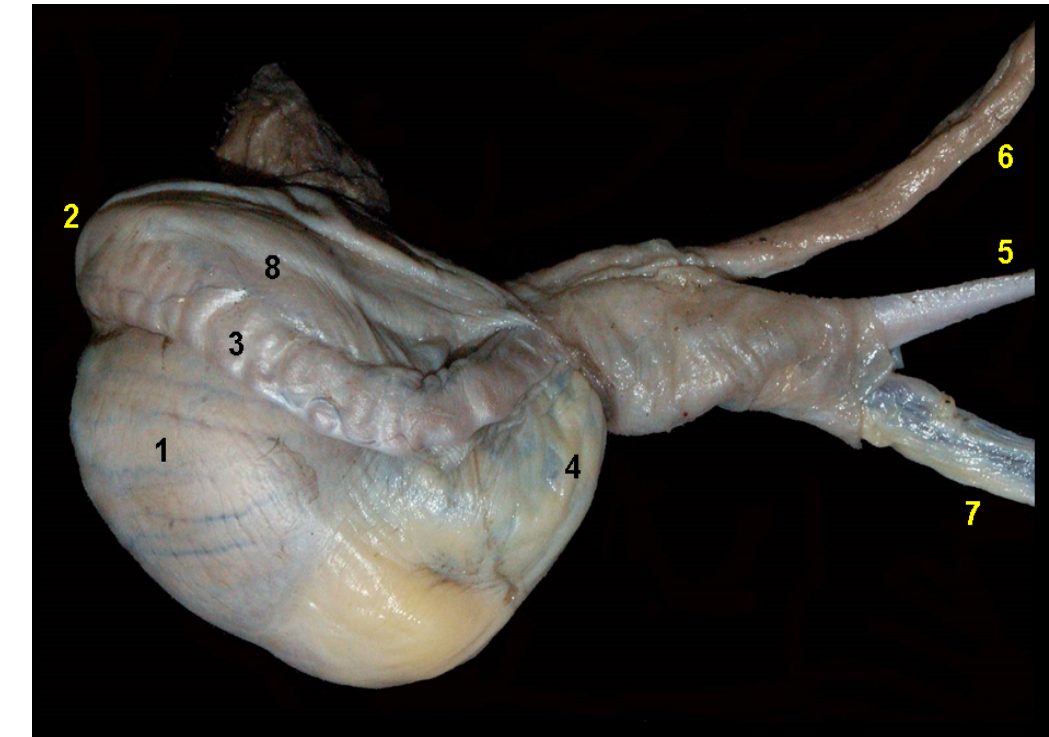


Figura 7.96 - Visión lateral del testículo del jaguar (*Panthera onca*). 1. Testículo; 2. Cola del epidídimo; 3. Cuerpo del epidídimo; 4. Cabeza del epidídimo; 5. Conducto deferente; 6. Musculo cremáster; 7. Vasos y nervios testiculares; 8. Mesorquio.

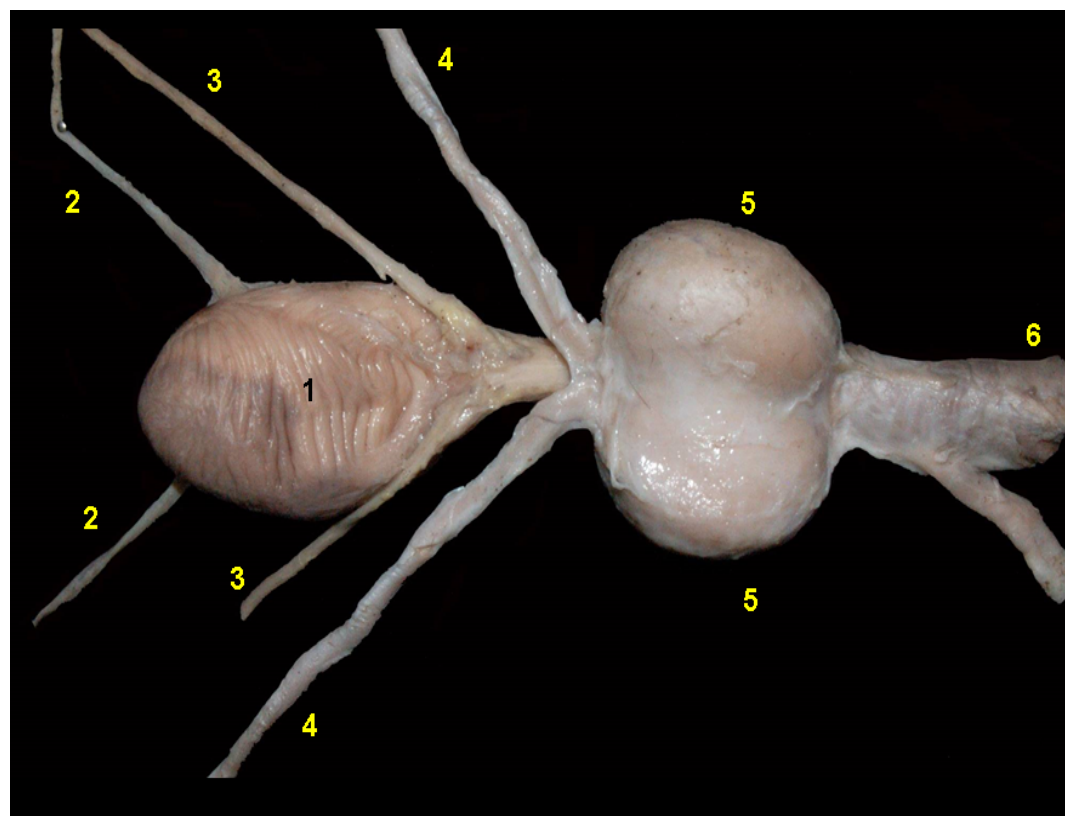


Figura 7.95 - Visión dorsal de los órganos urogenitales masculinos del jaguar (*Panthera onca*). 1. Vejiga urinaria; 2. Ligamentos laterales de la vejiga urinaria; 3. Uréteres; 4. Conductos deferentes; 5. Próstata; 6. Uretra pelviana.

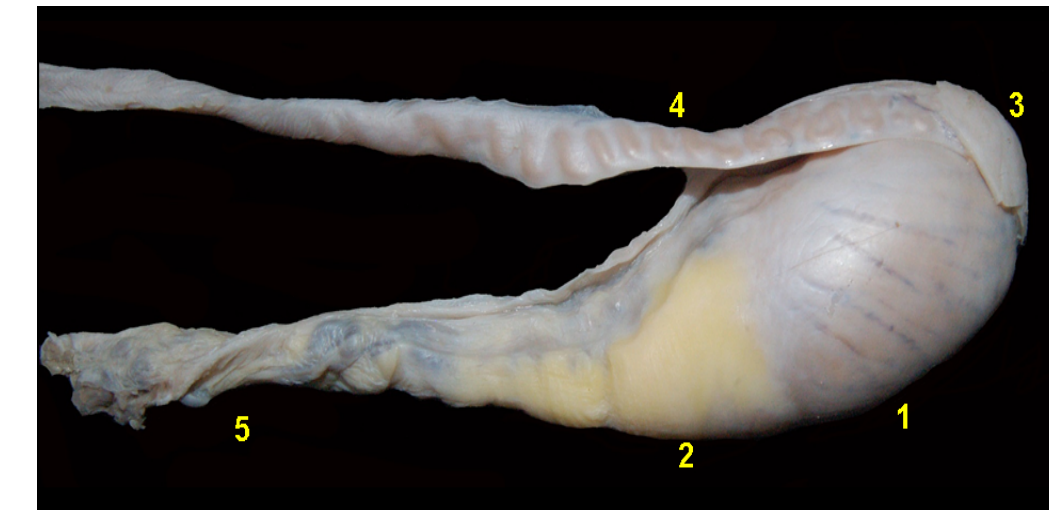


Figura 7.97 - Visión medial del testículo del jaguar (*Panthera onca*). 1. Testículo; 2. Cabeza del epidídimo; 3. Cola del epidídimo; 4. Conducto deferente; 5. Vasos y nervios testiculares.

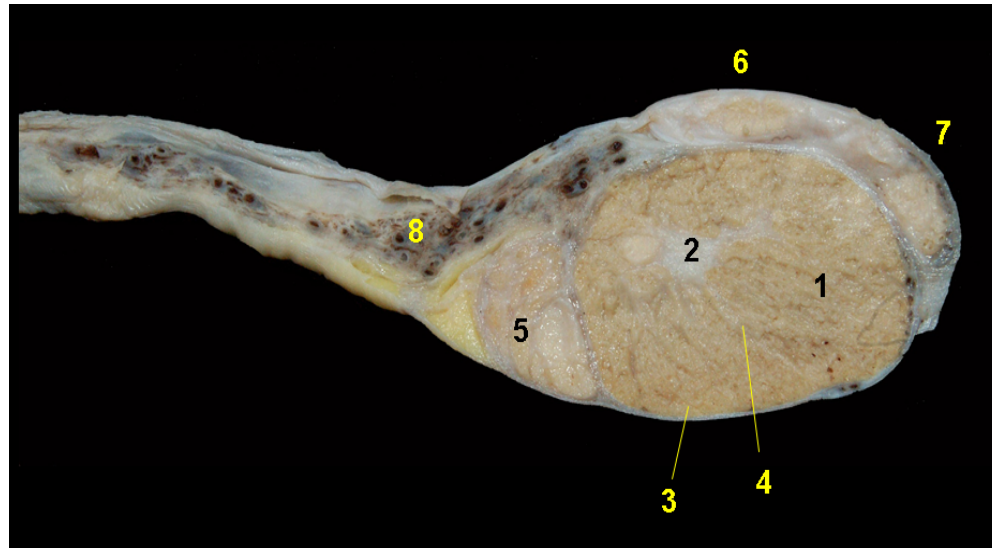


Figura 7.98 - Corte sagital del testículo del jaguar (*Panthera onca*). 1. Parénquima testicular; 2. Mediastino testicular; 3. Túnica albugínea; 4. **Septo conjuntivo**; 5. Cabeza del epidídimo; 6. Cuerpo del epidídimo; 7. Cola del epidídimo; 8. Arteria testicular y plexo pampiniforme.

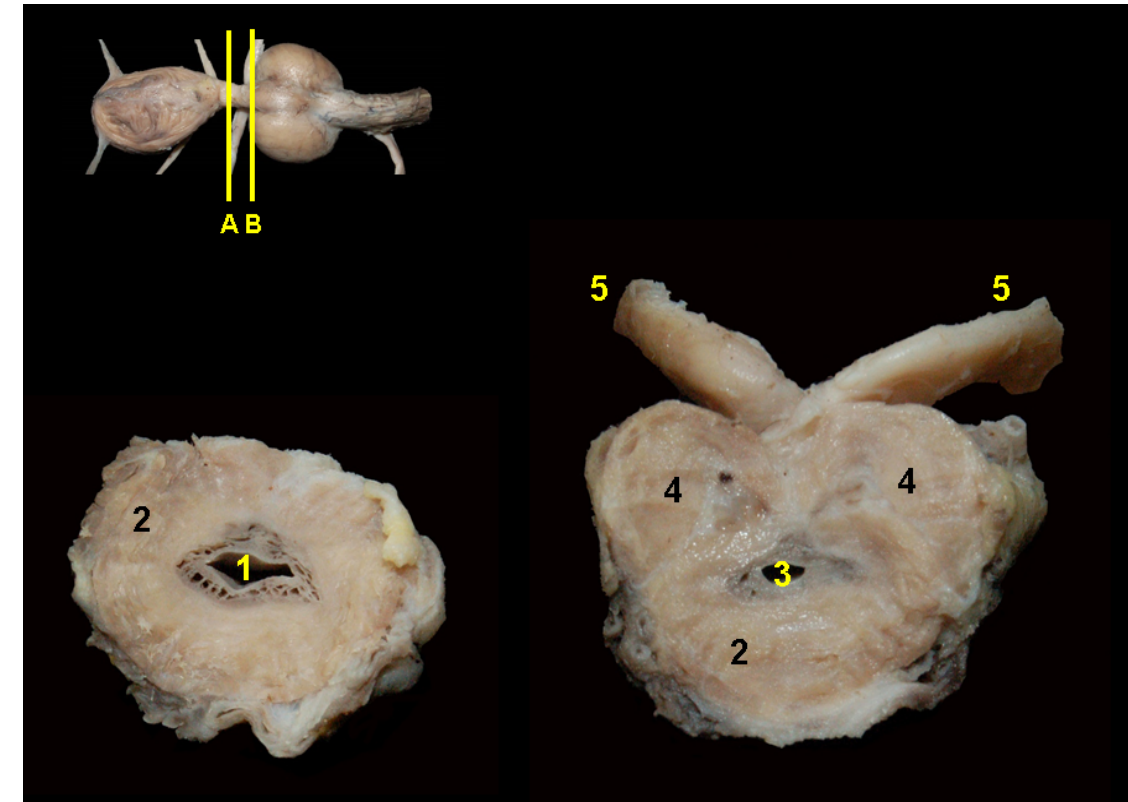


Figura 7.100 - Secciones transversales de la uretra pélvica del jaguar (*Panthera onca*). 1. Uretra (parte preprostática); 2. Musculo uretral; 3. Uretra prostática; 4. Lóbulos de la próstata; 5. Conductos deferentes.

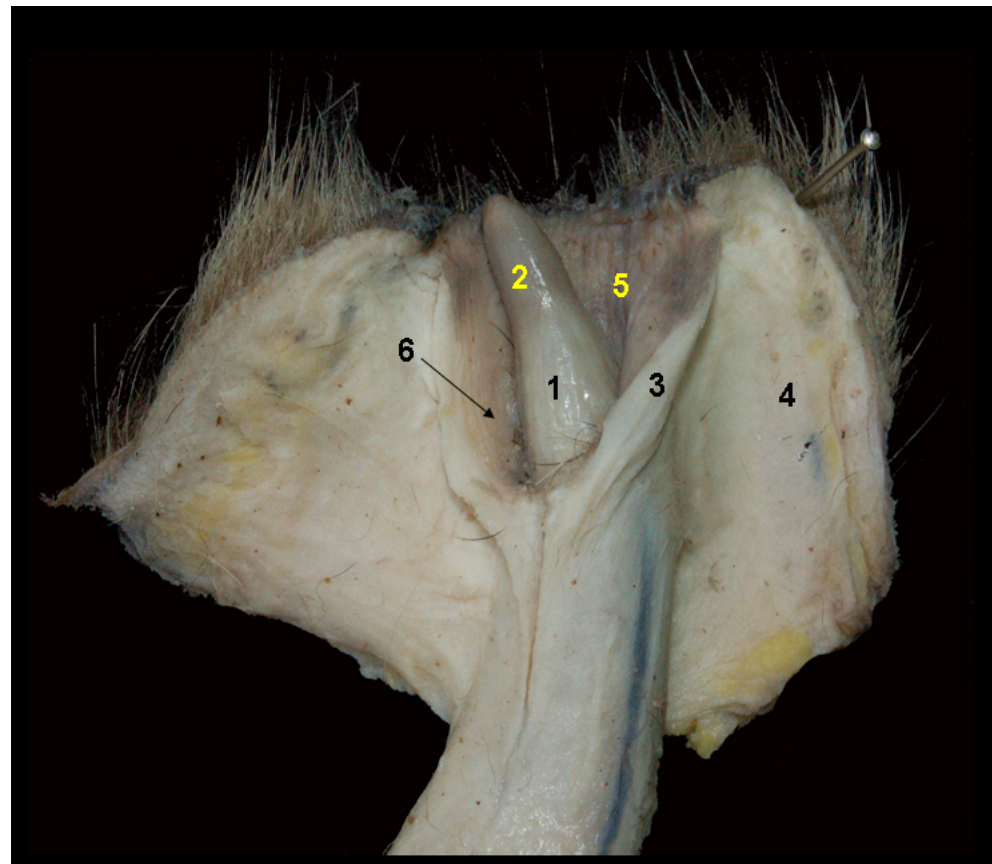


Figura 7.99 - Órganos genitales masculinos del jaguar (*Panthera onca*). Se ha abierto la cavidad prepucial. 1. Parte libre del pene; 2. Glande del pene; 3. Lámina interna del prepucio; 4. Lámina externa del prepucio; 5. Cavidad prepucial; 6. Fondo prepucial.

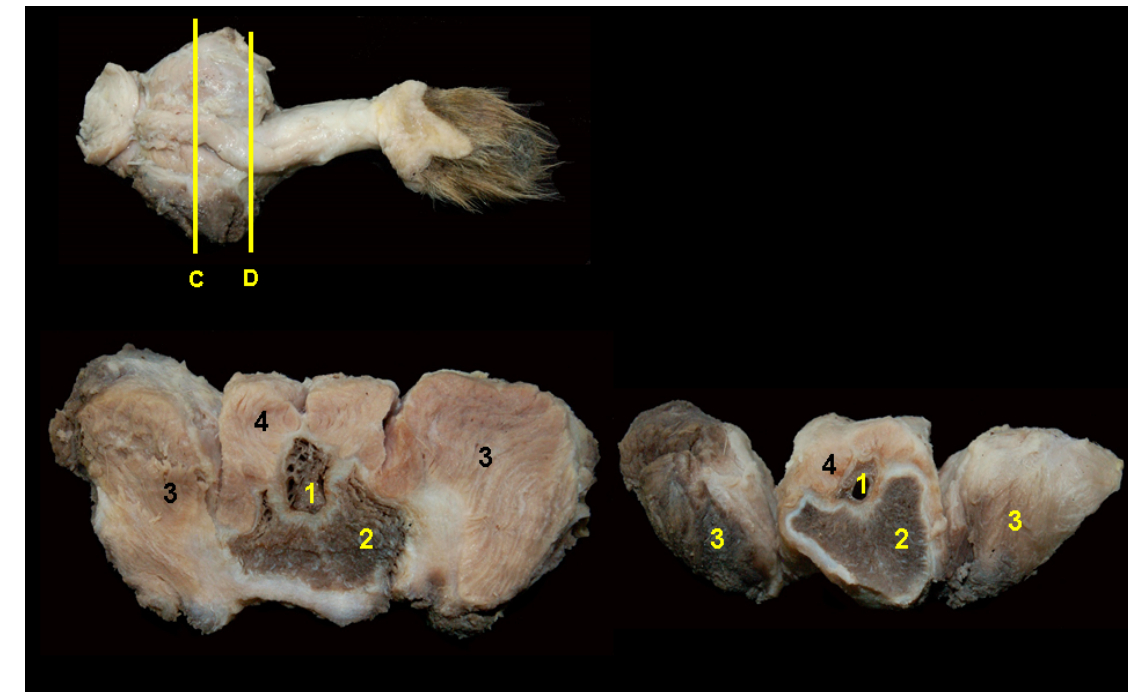


Figura 7.101 - Secciones transversales de la raíz del pene del jaguar (*Panthera onca*). 1. Cuerpo esponjoso del pene y uretra peneana; 2. Cuerpo cavernoso; 3. Músculos isquiocavernosos; 4. Musculo bulboesponjoso.

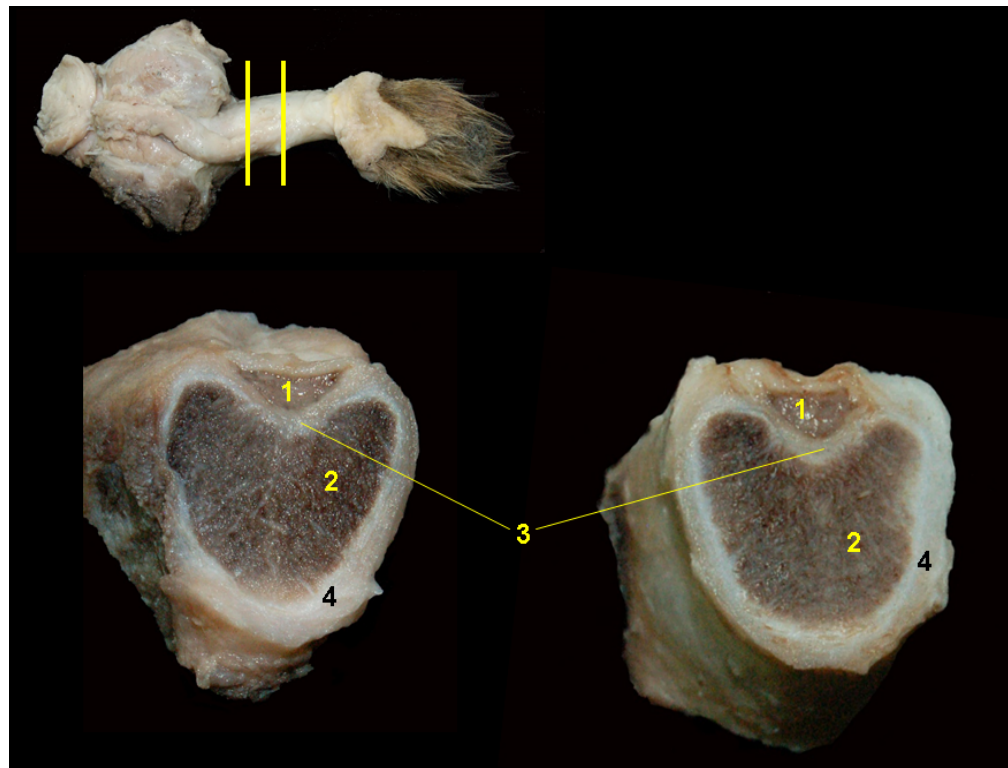


Figura 7.102 - Secciones transversales del pene del jaguar (*Panthera onca*). 1. Uretra peneana y cuerpo esponjoso peneano; 2. Cuerpo cavernoso; 3. Surco uretral; 4. Túnica albugínea de los cuerpos cavernosos.

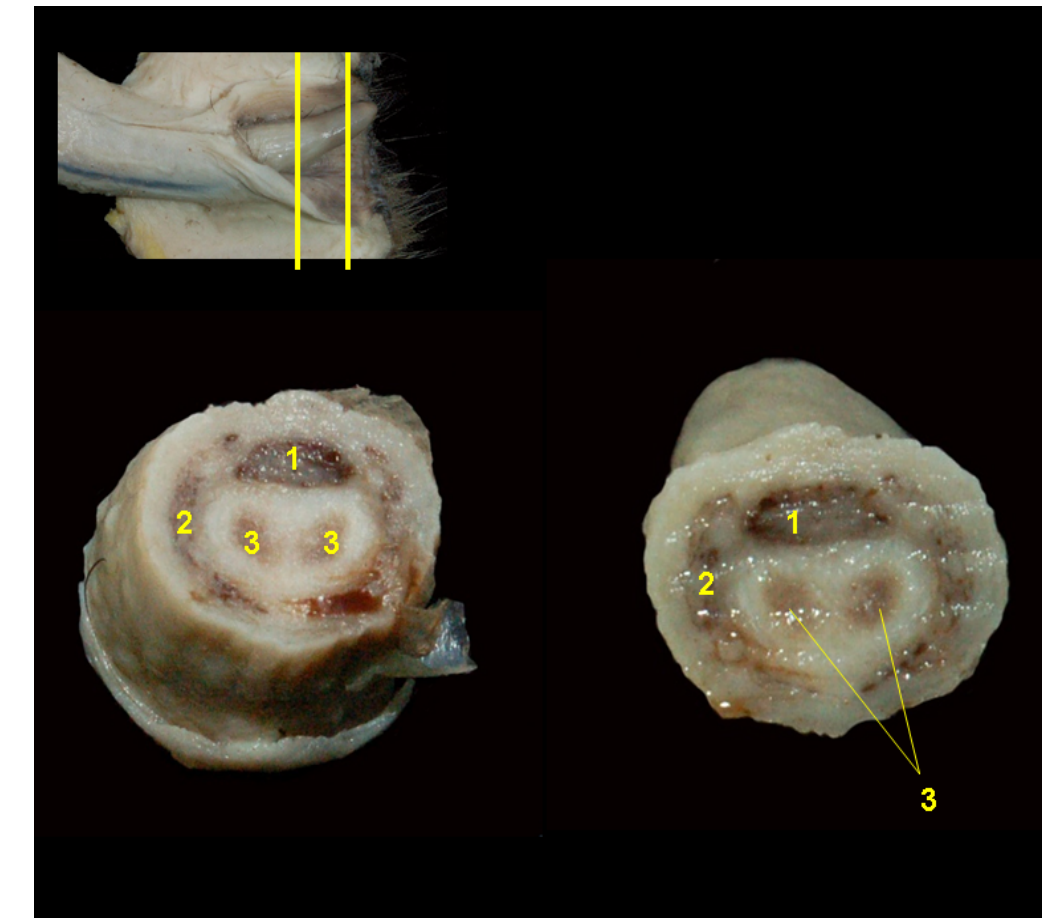


Figura 7.104 - Secciones transversales del pene del jaguar (*Panthera onca*). 1. Uretra peneana y cuerpo esponjoso peneano; 2. Cuerpo esponjoso del glande; 3. Cuerpos cavernosos.

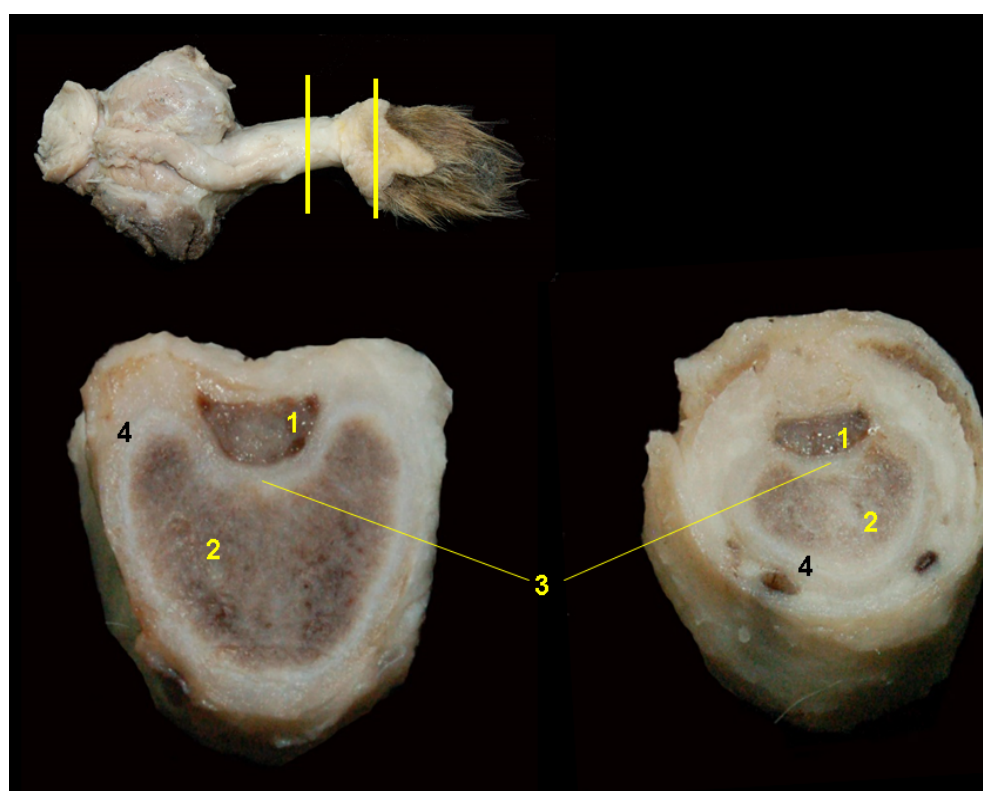


Figura 7.103 - Secciones transversales del pene del jaguar (*Panthera onca*). 1. Uretra peneana y cuerpo esponjoso peneano; 2. Cuerpo cavernoso; 3. Surco uretral; 4. Túnica albugínea de los cuerpos cavernosos.



COATÍ DE COLA ANILLADA (*Nasua nasua*)



Figura 7.105 - Visión lateral y ventral de los órganos genitales masculinos del coatí de cola anillada (*Nasua nasua*). 1. Orificio prepucial; 2. Bolsa escrotal; 3. Ano.

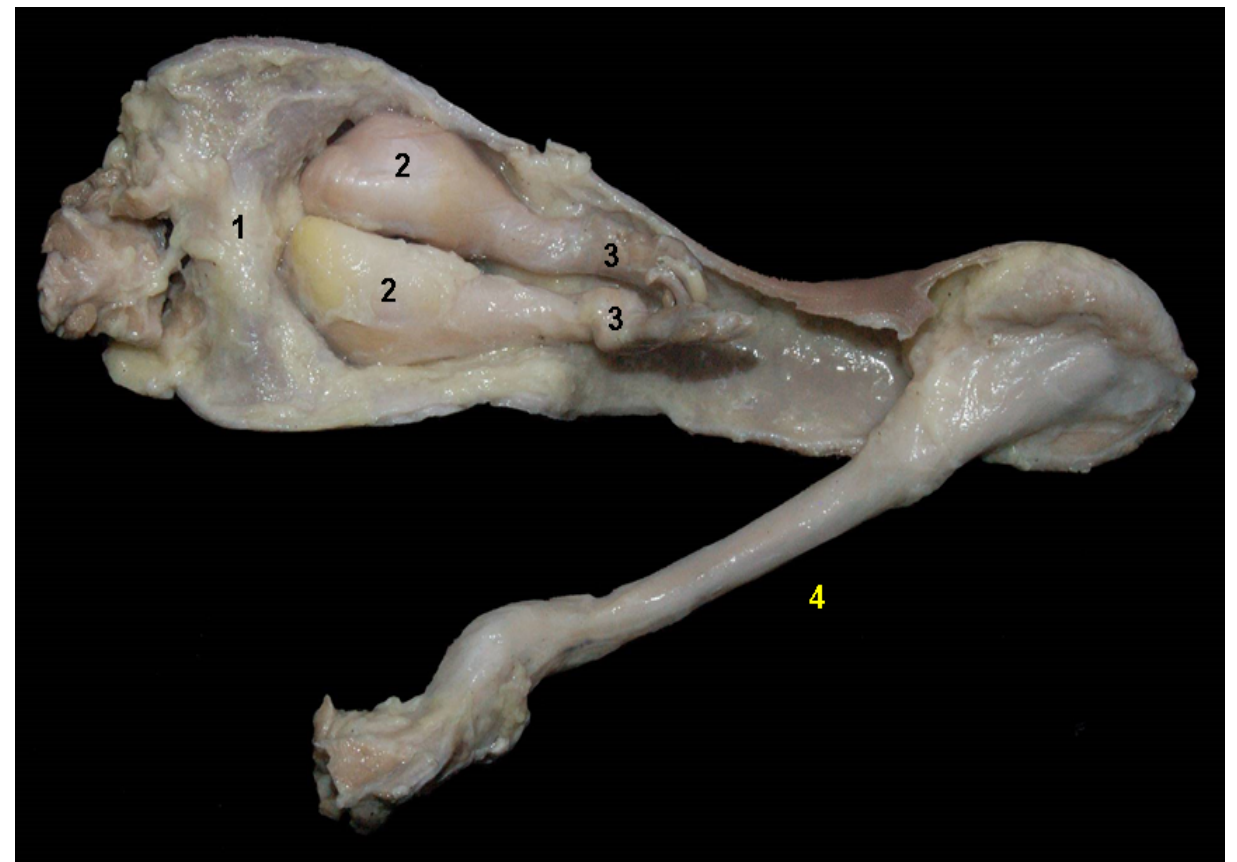


Figura 7.106 - Visión dorsal de los órganos genitales masculinos del coatí de cola anillada (*Nasua nasua*). 1. Bolsa escrotal; 2. Testículos; 3. Cordones espermáticos; 4. Pene.



Figura 7.107 - Visión dorsal de los órganos genitales masculinos del coati de cola anillada (*Nasua nasua*). 1. Bolsa escrotal; 2. Testículos, 3. Cordones espermáticos.

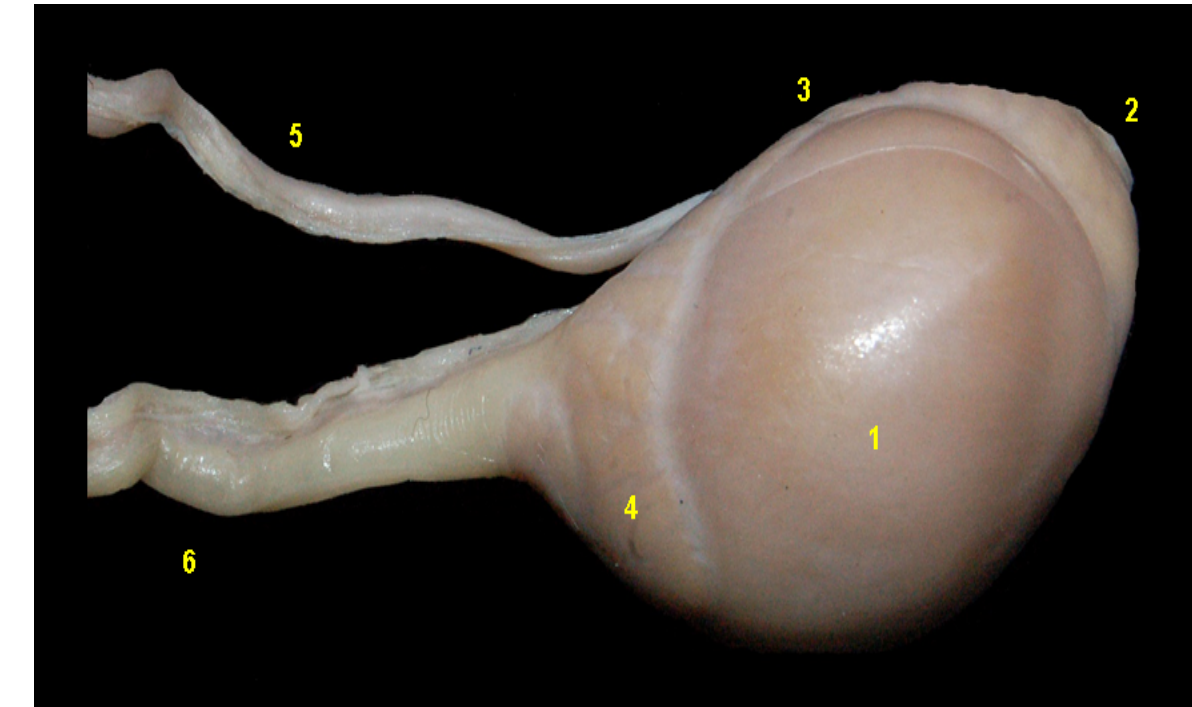


Figura 7.109 - Visión lateral del testículo del coati de cola anillada (*Nasua nasua*). 1. Testículo; 2. Cola del epidídimo; 3. Cuerpo del epidídimo; 4. Cabeza del epidídimo; 5. Cordón espermático; 6. Vasos testiculares.

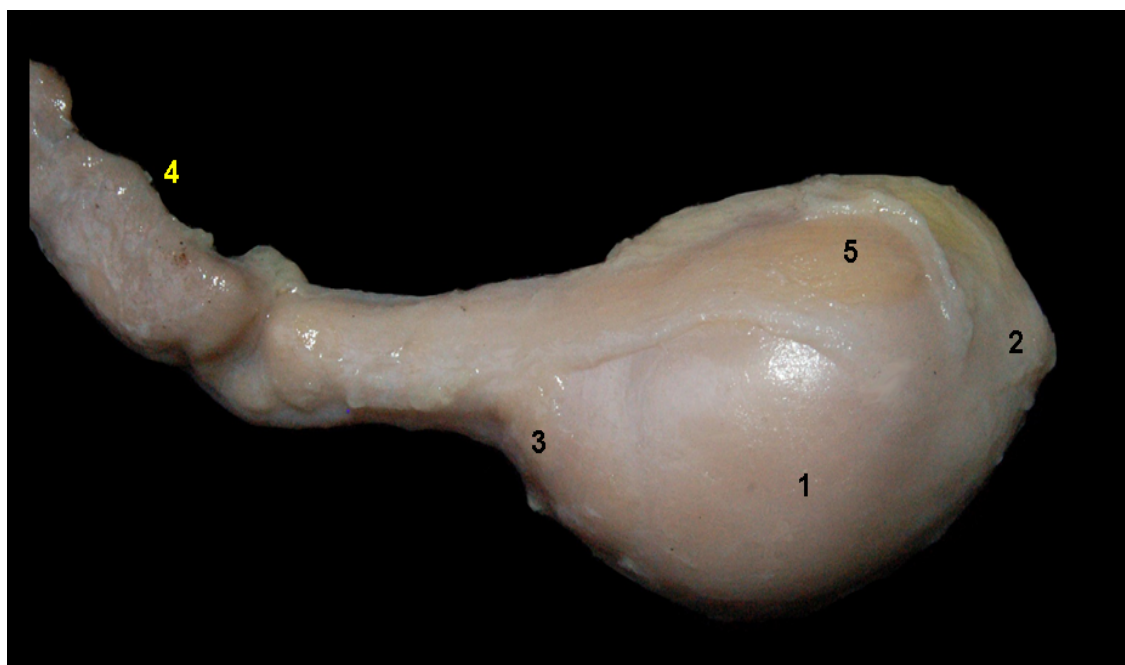


Figura 7.108 - Visión lateral del testículo del coati de cola anillada (*Nasua nasua*). 1. Testículo; 2. Cola del epidídimo; 3. Cabeza del epidídimo; 4. Cordón espermático; 5. Musculo cremaster.

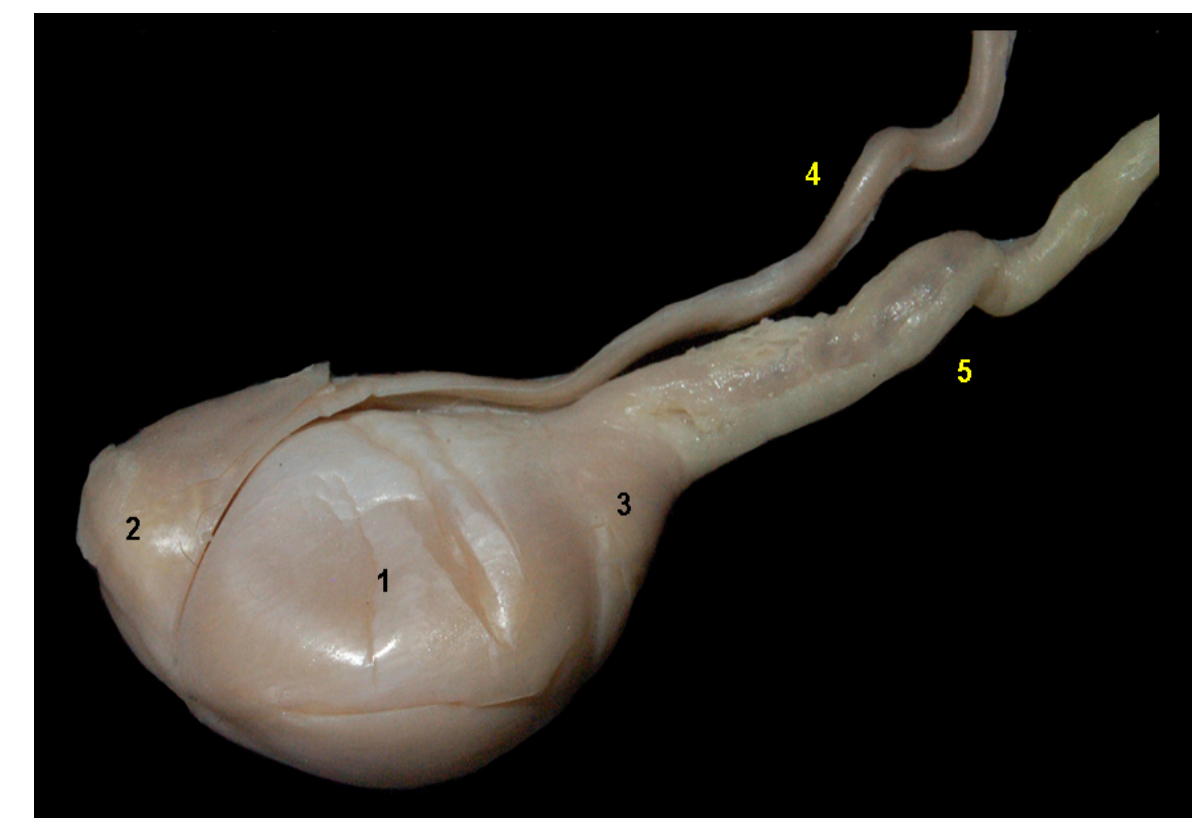


Figura 7.110 - Visión medial del testículo del coati de cola anillada (*Nasua nasua*). 1. Testículo; 2. Cola del epidídimo; 3. Cabeza del epidídimo; 4. Conducto deferente; 5. Cordón espermático.

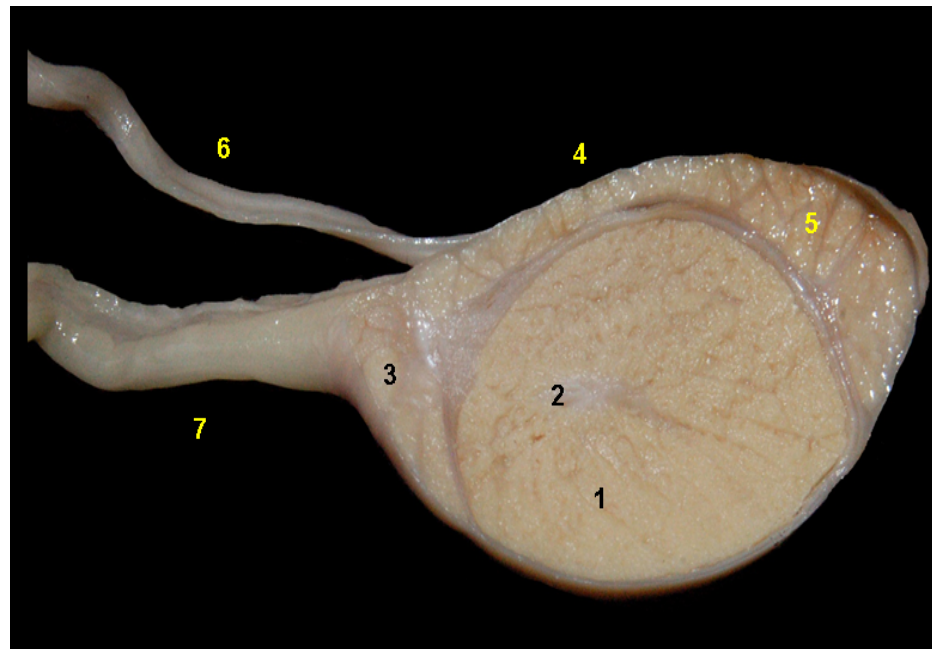


Figura 7.111 - Corte sagital del testículo del coati de cola anillada (*Nasua nasua*). 1. Parénquima testicular; 2. Mediastino testicular; 3. Cabeza del epidídimo; 4. Cuerpo del epidídimo; 5. Cola del epidídimo; 6. Conducto deferente; 7. Cordón espermático.

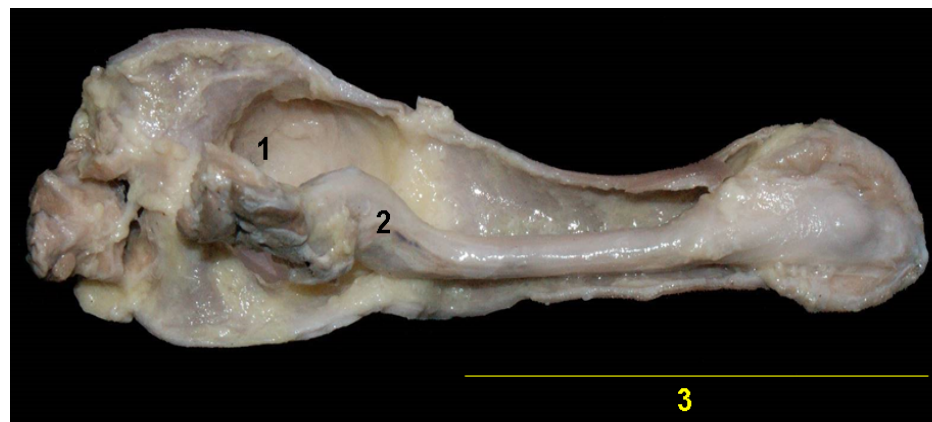


Figura 7.112 - Visión dorsal de los órganos genitales externos masculinos del coati de cola anillada (*Nasua nasua*). 1. Bolsa escrotal; 2. Pene; 3. Prepucio.



Figura 7.113 - Visión dorsal del pene del coati de cola anillada (*Nasua nasua*). 1. Cuerpo del pene; 2. Parte libre del pene; 3. Glande del pene; 4. Prepucio; 5. Cavidad prepucial.

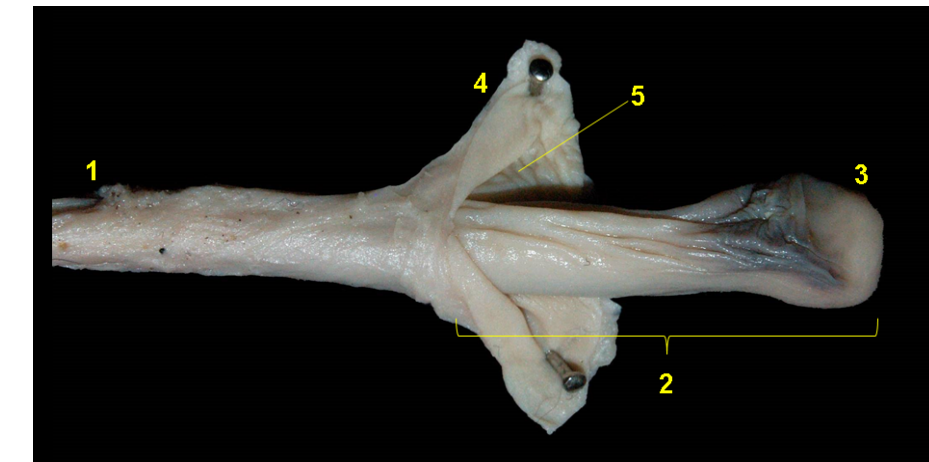


Figura 7.114 - Visión dorsal del pene del coati de cola anillada (*Nasua nasua*). 1. Cuerpo del pene; 2. Parte libre del pene; 3. Glande del pene; 4. Prepucio; 5. Cavidad prepucial.

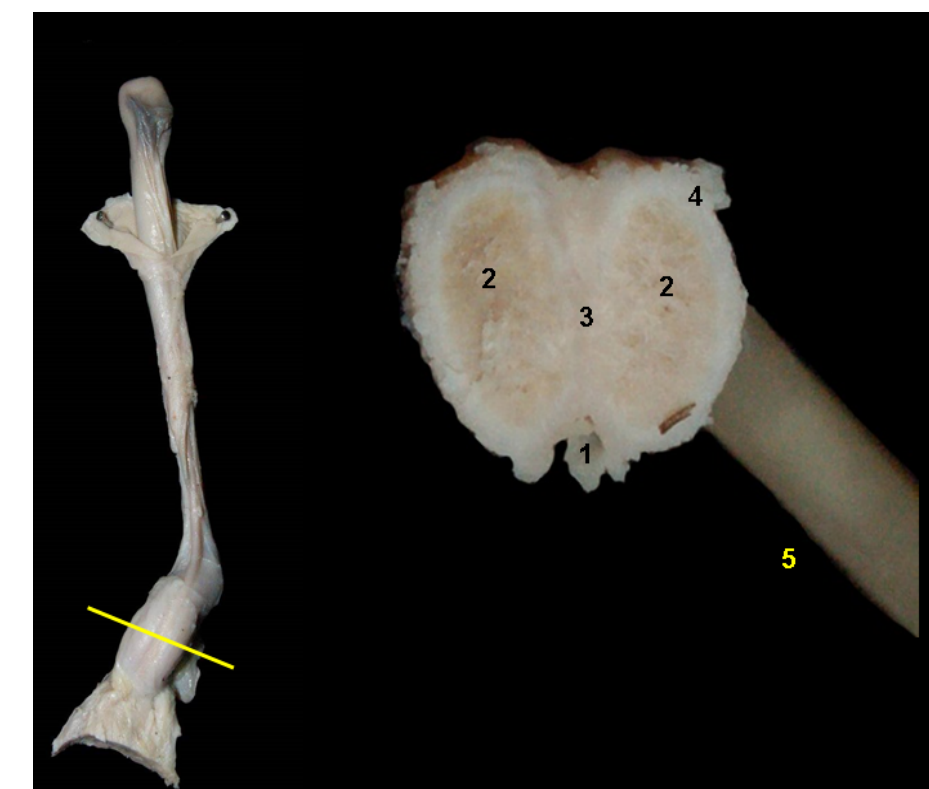


Figura 7.115 - Corte transversal del pene del coati de cola anillada (*Nasua nasua*). 1. Uretra peneana; 2. Cuerpos cavernosos; 3. Septo del pene; 4. Túnica albugínea; 5. Hueso peneano.



Figura 7.116 - Hueso peneano del coati de cola anillada (*Nasua nasua*).



NUTRIA GIGANTE (*Pteronura brasiliensis*)

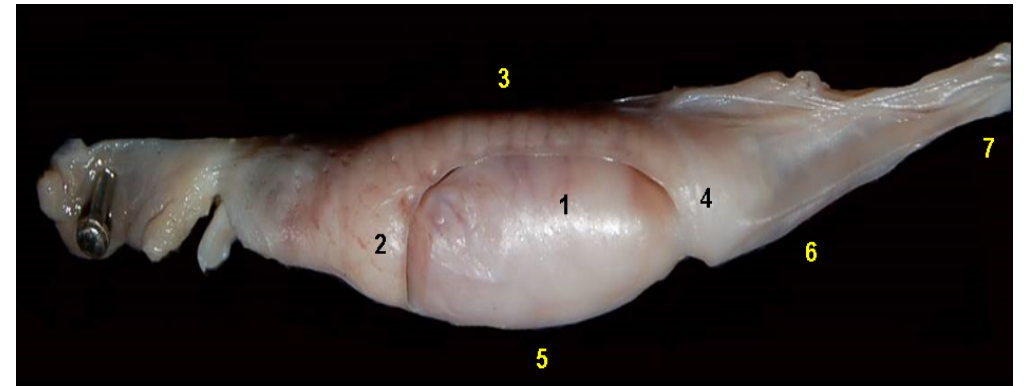


Figura 7.117 - Visión lateral del testículo de la nutria gigante (*Pteronura brasiliensis*). 1. Testículo; 2. Cabeza del epidídimo; 3. Cuerpo del epidídimo; 4. Cola del epidídimo; 5. Borde libre; 6. Envolturas testiculares; 7. Cordón espermático.

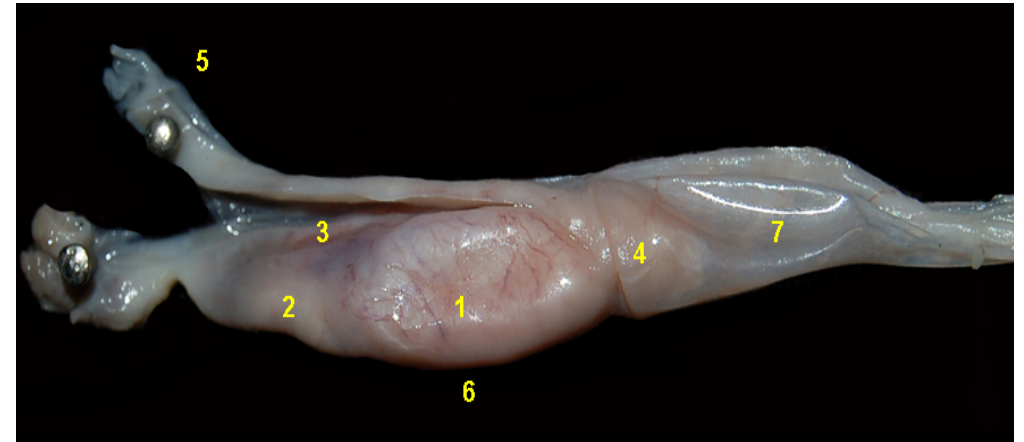


Figura 7.118 - Visión medial del testículo de la nutria gigante (*Pteronura brasiliensis*). 1. Testículo; 2. Cabeza del epidídimo; 3. Cuerpo del epidídimo; 4. Cola del epidídimo; 5. Conducto deferente; 6. Borde libre; 7. Envolturas testiculares.

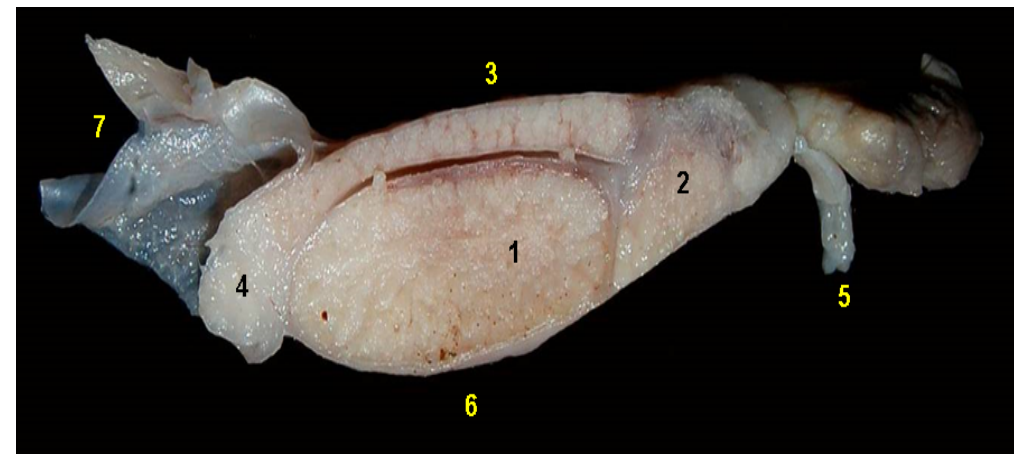


Figura 7.119 - Corte sagital del testículo de la nutria gigante (*Pteronura brasiliensis*). 1. Testículo; 2. Cabeza del epidídimo; 3. Cuerpo del epidídimo; 4. Cola del epidídimo; 5. Conducto deferente; 6. Borde libre; 7. Envolturas testiculares.

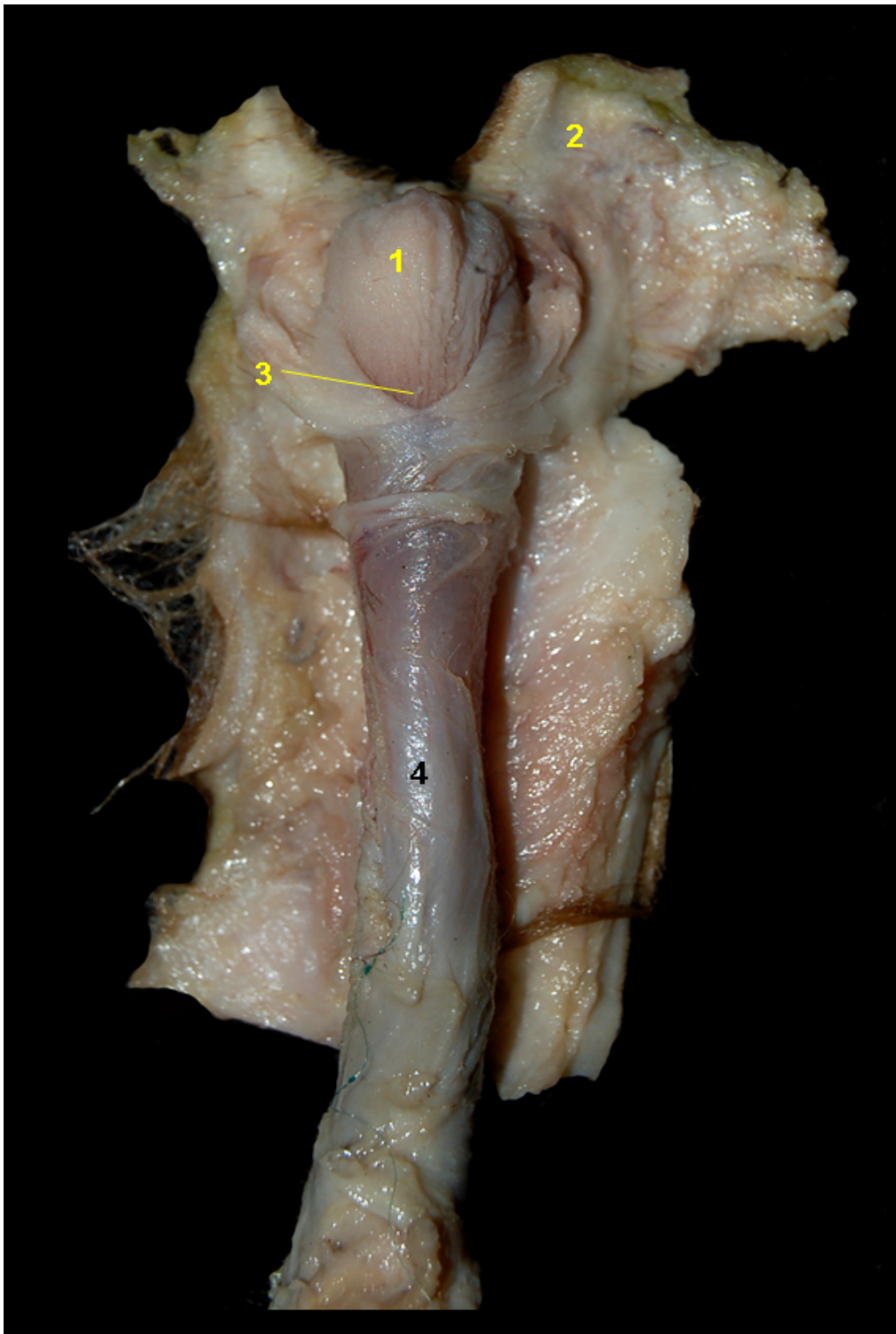


Figura 7.120 - Visión dorsal de los órganos genitales externos de la nutria gigante (*Pteronura brasiliensis*). Se ha abierto la cavidad prepucial. 1. Glande del pene; 2. Lámina interna del prepucio; 3. Cavidad prepucial; 4. Cuerpo del pene.



MONO MACHÍN NEGRO (*Sapajus macrocephalus*)

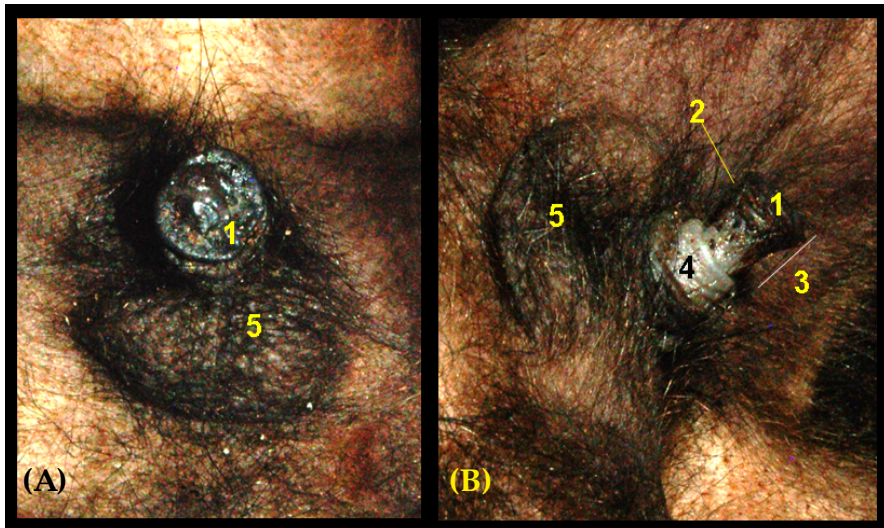


Figura 7.121 - Visión externa de los órganos genitales masculinos del mono machín negro (*Sapajus macrocephalus*). A - Posición normal del prepucio. B - Pene exteriorizado de la cavidad prepucial. 1. Glande del pene; 2. Corona del glande; 3. Parte libre del pene; 4. Prepucio (lámina interna); 5. Bolsa escrotal.

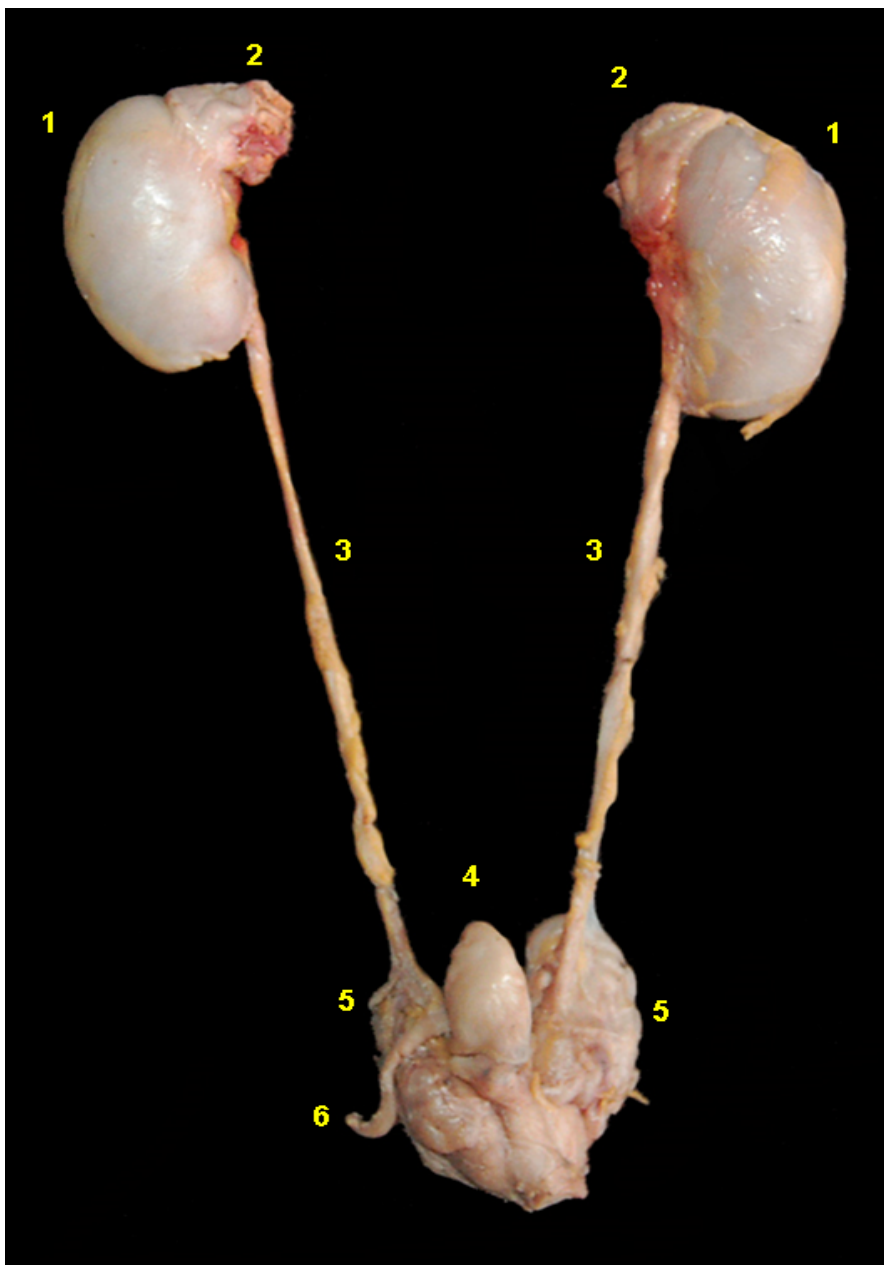


Figura 7.122 - Visión ventral de los órganos urogenitales masculinos del mono machín negro (*Sapajus macrocephalus*). 1. Riñones; 2. Glándulas adrenales; 3. Uréteres; 4. Vejiga urinaria; 5. Glándulas vesiculares; 6. Conducto deferente.

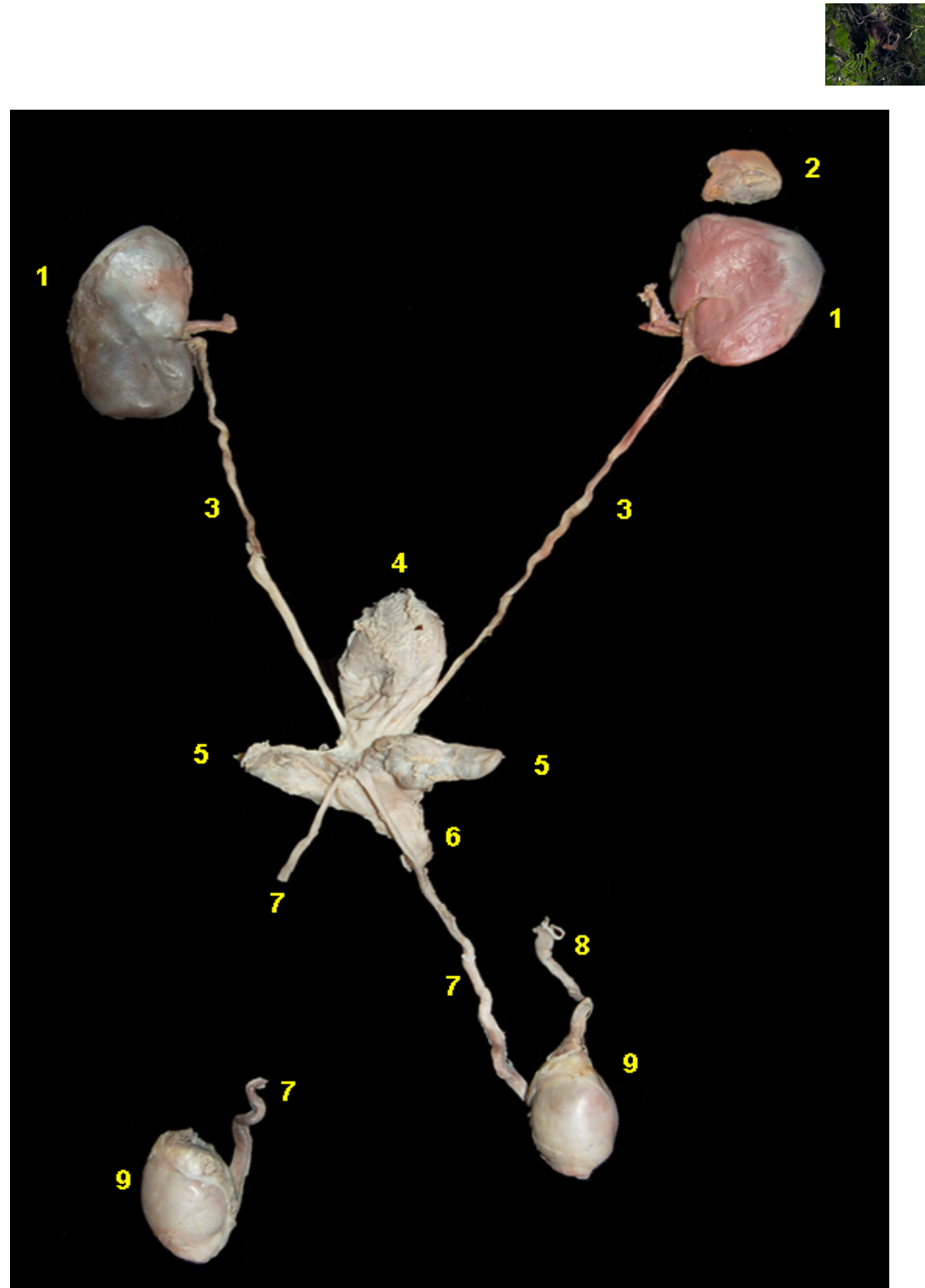


Figura 7.123 - Visión dorsal de los órganos urogenitales masculinos del mono machín negro (*Sapajus macrocephalus*). 1. Riñones; 2. Glándula adrenal; 3. Uréteres; 4. Vejiga urinaria; 5. Glándulas vesiculares; 6. Próstata; 7. Conductos deferentes; 8. Vasos testiculares; 9. Testículos.

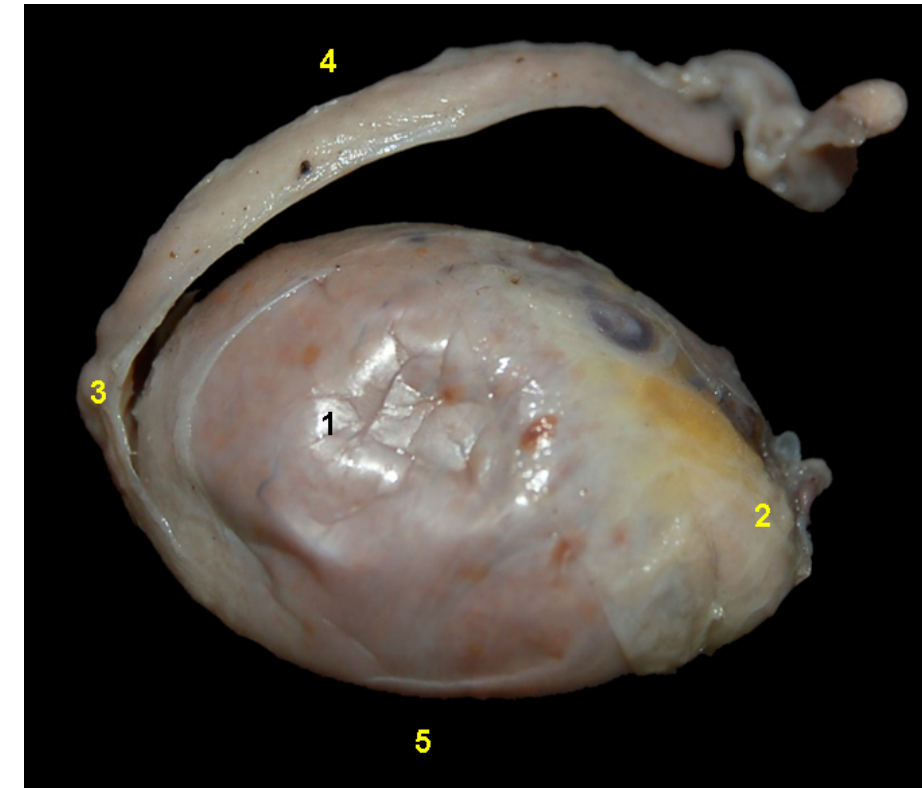


Figura 7.124 - Visión medial del testículo del mono machín negro (*Sapajus macrocephalus*). Se ha secionado el ligamento propio del testículo para observar completamente el recorrido del epidídimo. 1. Testículo; 2. Cabeza del epidídimo, 3. Cuerpo del epidídimo; 4. Conducto deferente; 5. Borde libre.

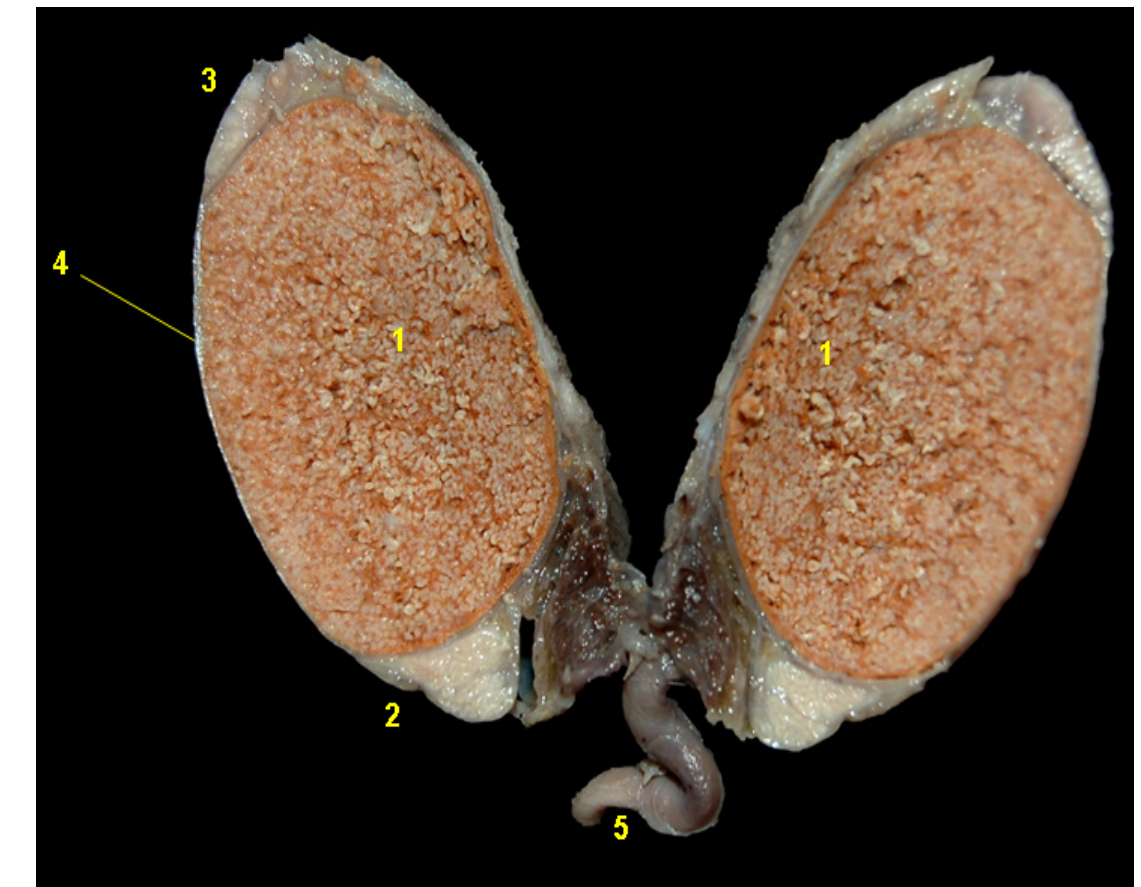


Figura 7.125 - Corte dorsal del testículo del mono machín negro (*Sapajus macrocephalus*). 1. Parénquima testicular; 2. Cabeza del epidídimo; 3. Cola del epidídimo; 4. Túnica albugínea; 5. Conducto deferente.

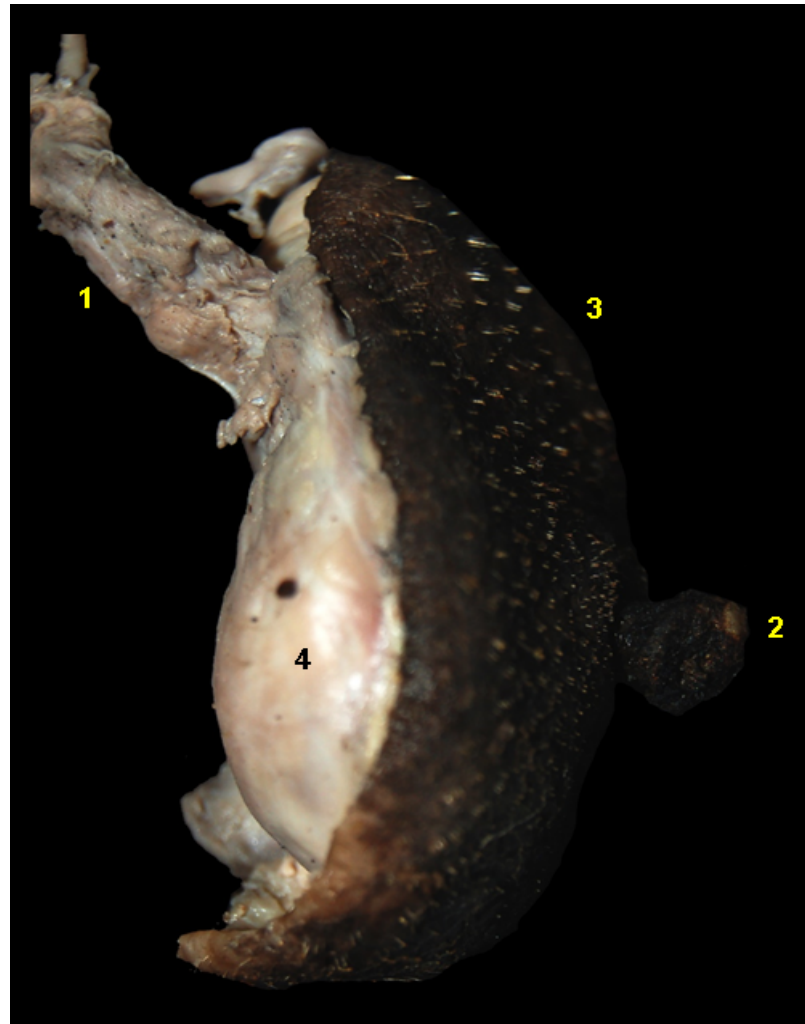


Figura 7.126 - Visión externa lateral de los órganos urogenitales masculinos del mono machín negro (*Sapajus macrocephalus*). 1. Pene; 2. Glande del pene; 3. Escroto; 4. Testículo.



Figura 7.127 - Visión craneal de los órganos genitales masculinos del mono machín negro (*Sapajus macrocephalus*). 1. Pene; 2. Glande del pene; 3. Bolsa escrotal.

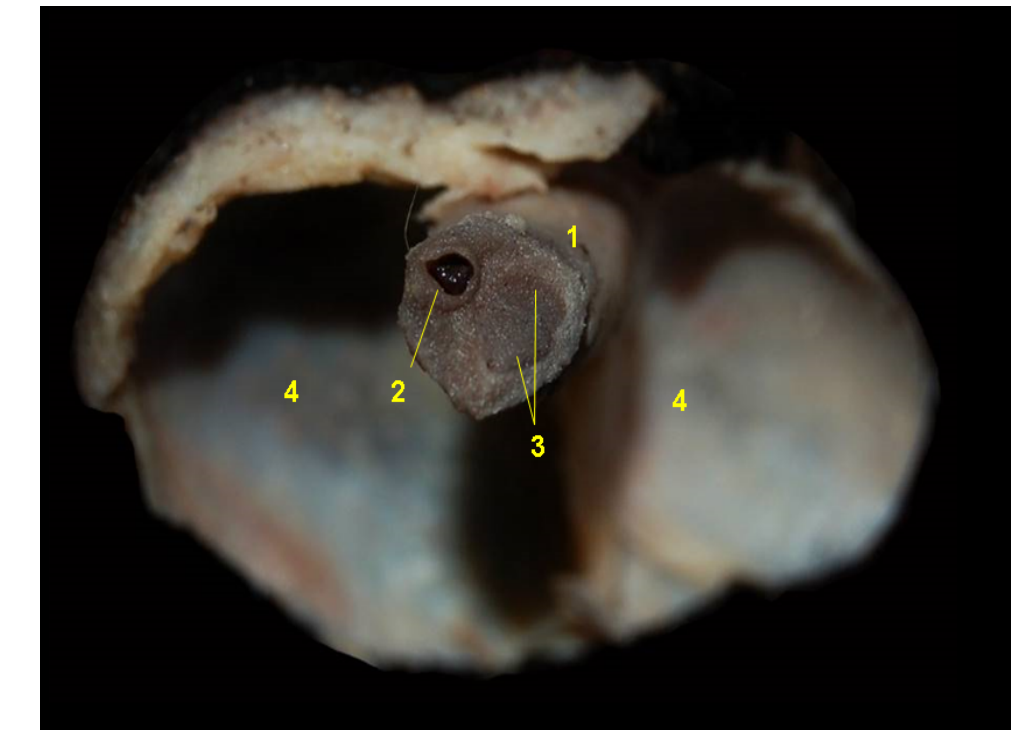


Figura 7.128 - Visión caudal de los órganos genitales masculinos del mono machín negro (*Sapajus macrocephalus*). 1. Pene (seccionado); 2. Uretra peneana; 3. Cuerpos cavernosos; 4. Bolsa escrotal.

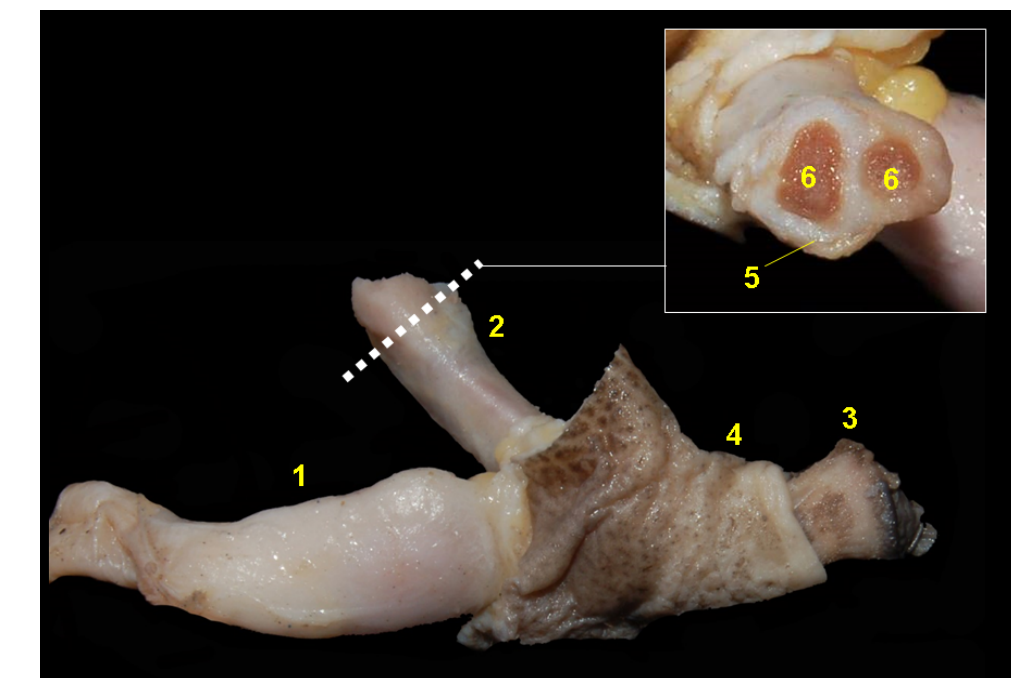


Figura 7.129 - Órganos urogenitales masculinos del mono machín negro (*Sapajus macrocephalus*). A - Sección transversal del pene; B - Visión lateral de los órganos urogenitales masculinos. 1. Testículo; 2. Pene; 3. Glande del pene; 4. Prepucio retráido; 5. Uretra peneana; 6. Cuerpos cavernosos.



MONO BARRIGUDO

(Lagothrix poeppigii)

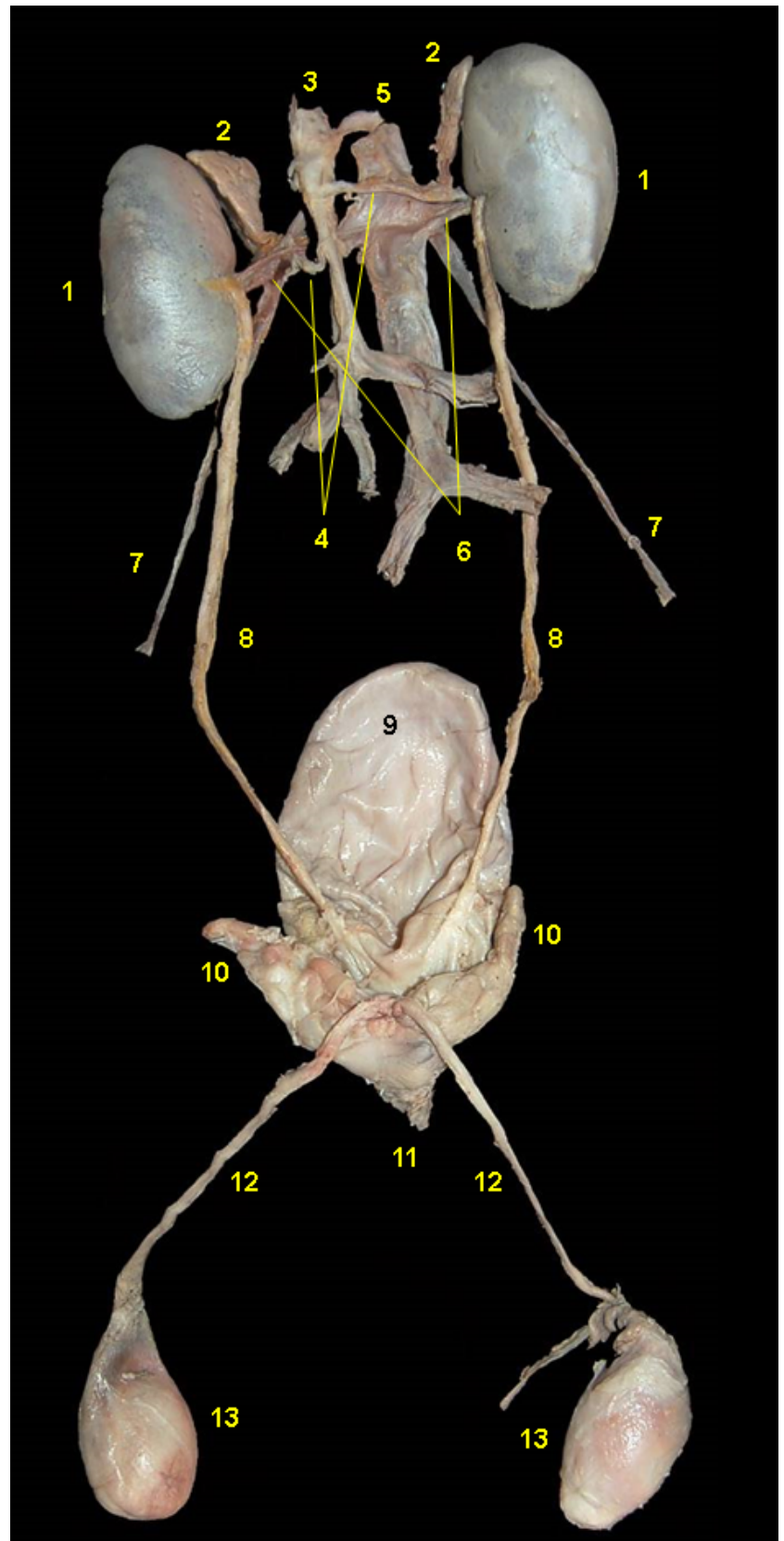


Figura 7.130 - Visión dorsal de los órganos urogenitales masculinos del mono barrigudo (*Lagothrix poeppigii*). 1. Riñones; 2. Glándulas adrenales; 3. Aorta abdominal; 4. Arterias renales; 5. Vena cava caudal; 6. Venas renales; 7. Venas testiculares; 8. Uréteres; 9. Vejiga urinaria; 10. Glándulas vesiculares; 11. Uretra; 12. Conducto deferente; 13. Testículo

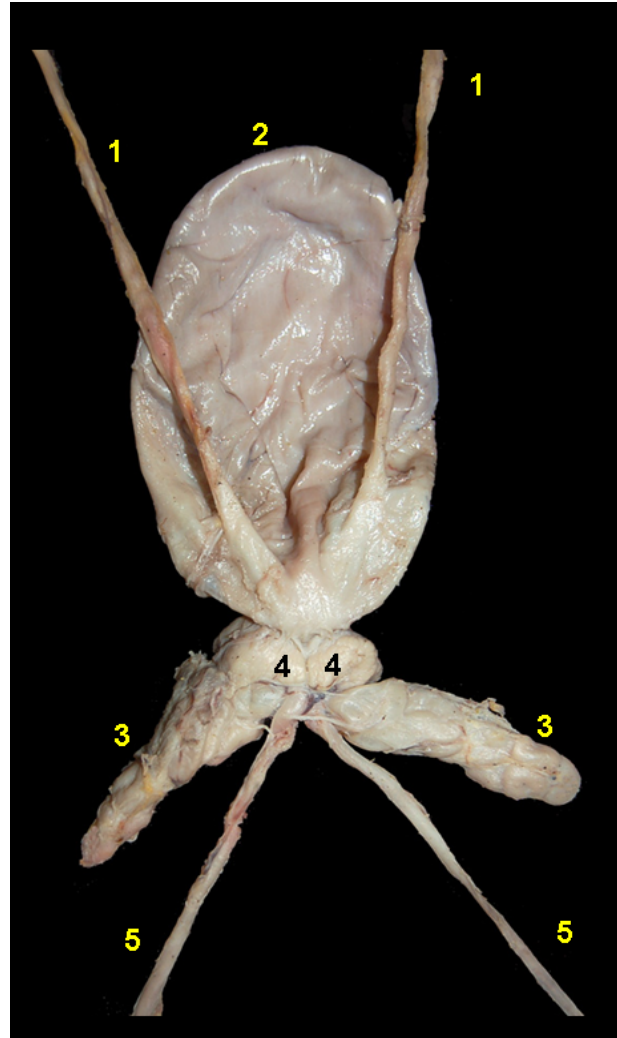


Figura 7.131 - Visión dorsal de los órganos urogenitales masculinos del mono barrigudo (*Lagothrix poeppigii*). 1. Uréteres; 2. Vejiga urinaria; 3. Glándulas vesiculares; 4. Próstata; 5. Conductos deferentes.

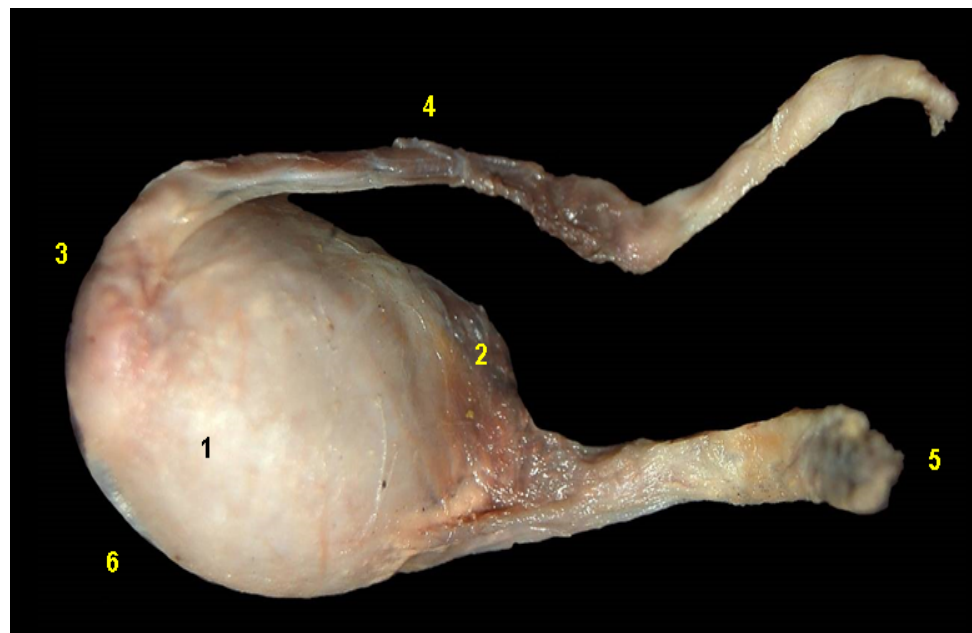


Figura 7.132 - Visión medial del testículo del mono barrigudo (*Lagothrix poeppigii*). 1. Testículo; 2. Cabeza del epidídimo; 3. Cola del epidídimo; 4. Conducto deferente; 5. Vasos testiculares; 6. Borde libre.



Figura 7.133 - Corte sagital del testículo del mono barrigudo (*Lagothrix poeppigii*). 1. Parénquima testicular; 2. Cordón espermático; 3. Cabeza del epidídimo; 4. Cola del epidídimo; 5. Plexo pampiniforme; 6. Túnica albugínea.

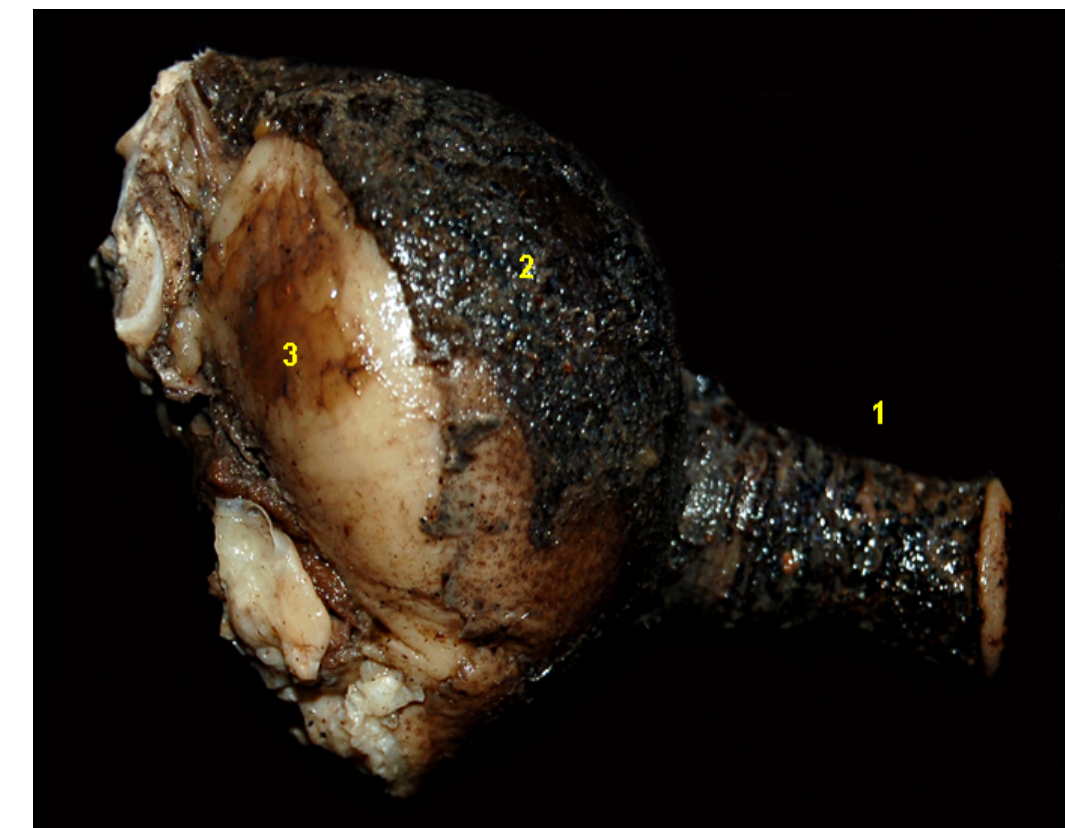


Figura 7.134 - Visión externa lateral de los órganos genitales masculinos del mono barrigudo (*Lagothrix poeppigii*). 1. Glande del pene; 2. Bolsa escrotal; 3. Testículos.

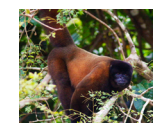


Figura 7.135 - Visión craneal de los órganos genitales masculinos del mono barrigudo (*Lagothrix poeppigii*). 1. Prepucio; 2. Glande del pene; 3. Bolsa escrotal.

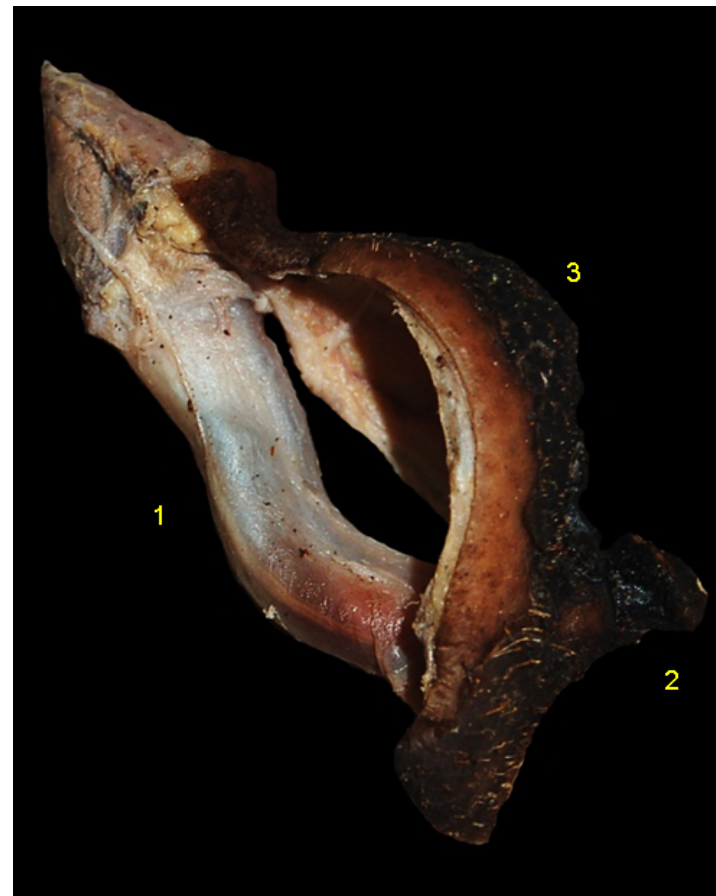


Figura 7.136 - Visión lateral de los órganos genitales masculinos del mono barrigudo (*Lagothrix poeppigii*). Se han retirado los testículos. 1. Pene; 2. Prepucio; 3. Bolsa escrotal.



MONO AULLADOR (*Alouatta seniculus*)

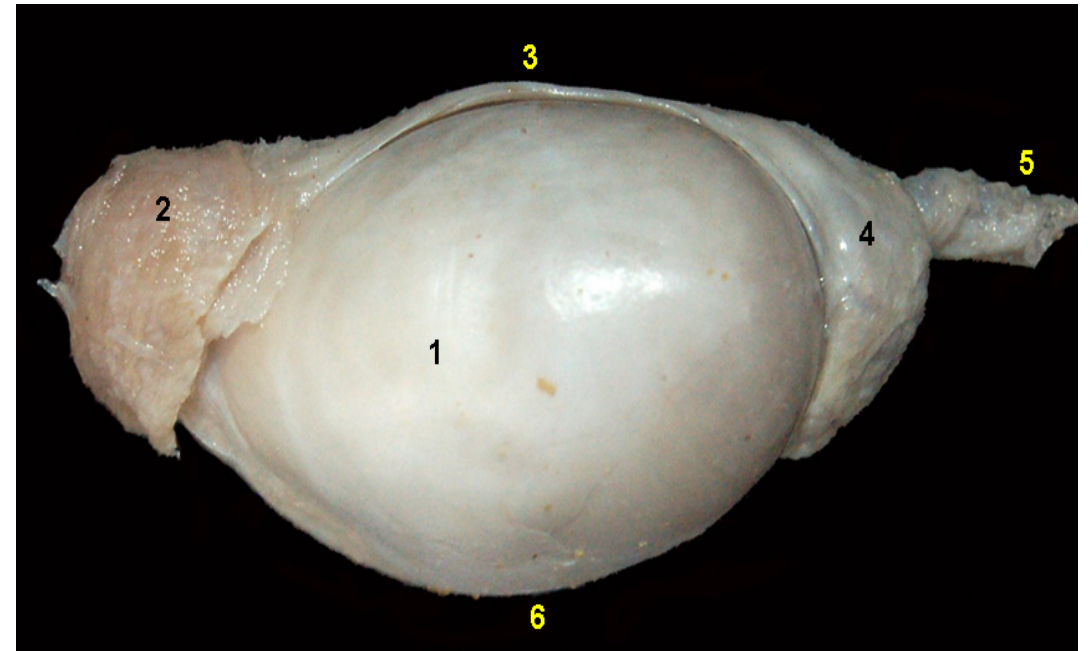


Figura 7.137 - Visión lateral del testículo del mono aullador (*Alouatta seniculus*). 1. Testículo; 2. Cola del epidídimo; 3. Cuerpo del epidídimo; 4. Cabeza del epidídimo; 5. Cordón espermático; 6. Borde libre.

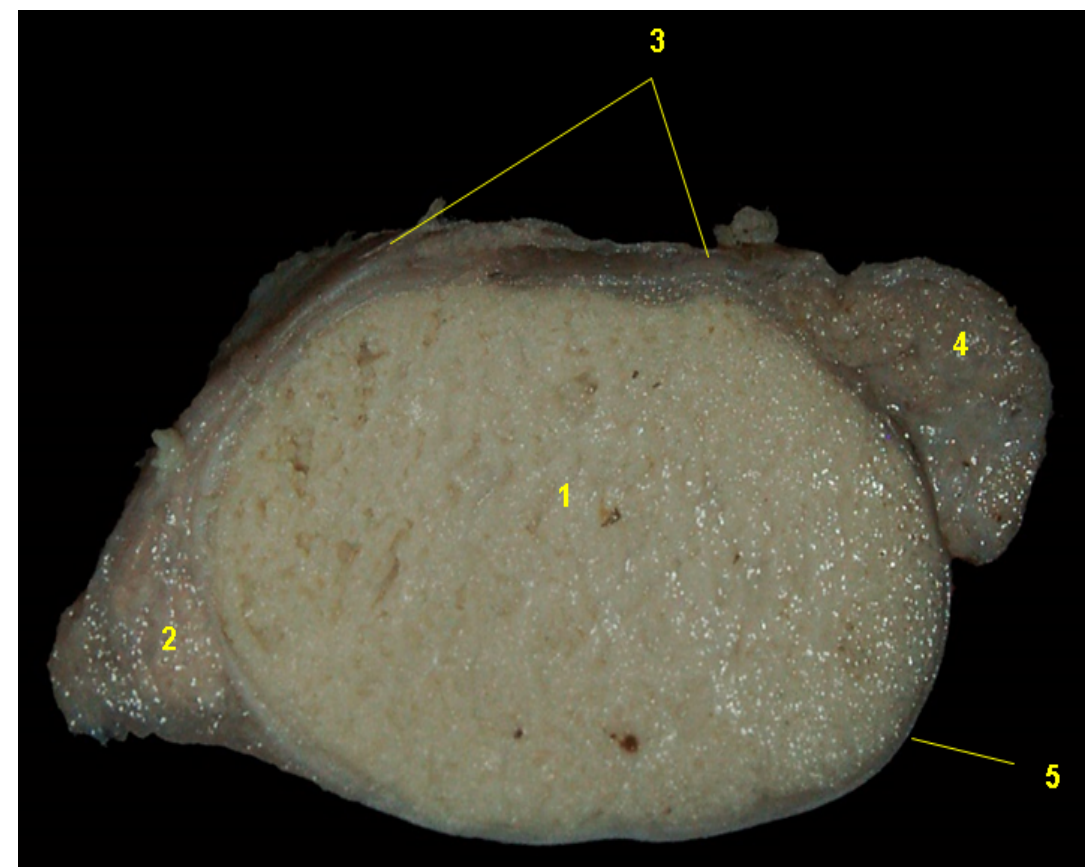


Figura 7.138 - Corte sagital del testículo del mono aullador (*Alouatta seniculus*). 1. Parénquima testicular; 2. Cola del epidídimo; 3. Cuerpo del epidídimo; 4. Cabeza del epidídimo; 5. Túnica albugínea.

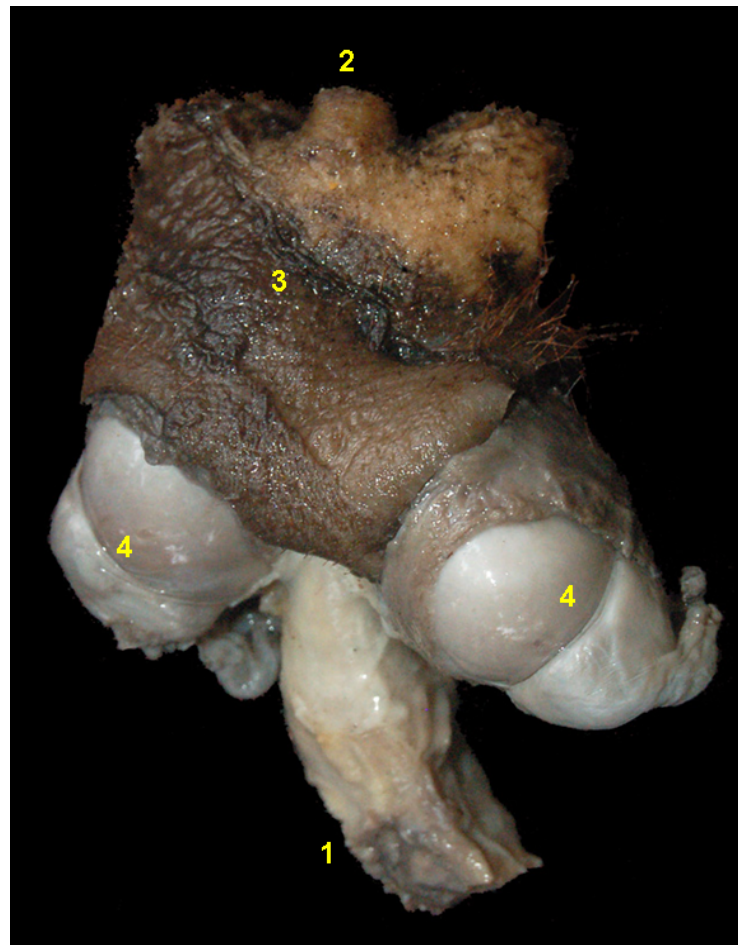


Figura 7.139 - Visión dorsal externa de los órganos genitales masculinos del mono aullador (*Alouatta seniculus*). 1. Pene; 2. Prepucio; 3. Bolsa escrotal; 4. Testículos.



Figura 7.141 - Visión craneal externa de los órganos genitales masculinos del mono aullador (*Alouatta seniculus*). 1. Prepucio; 2. Bolsa escrotal.

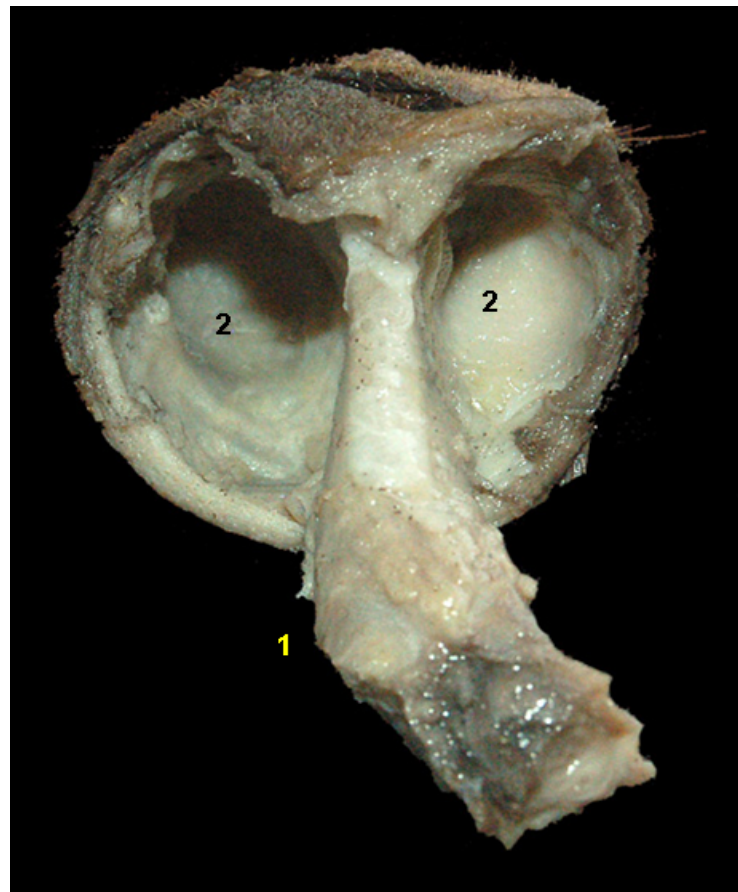


Figura 7.140 - Visión caudal externa de los órganos genitales masculinos del mono aullador (*Alouatta seniculus*). Se ha removido los testículos. 1. Glande del pene; 2. Bolsa escrotal.





MACACO-ARANHA (*Ateles chamek*)

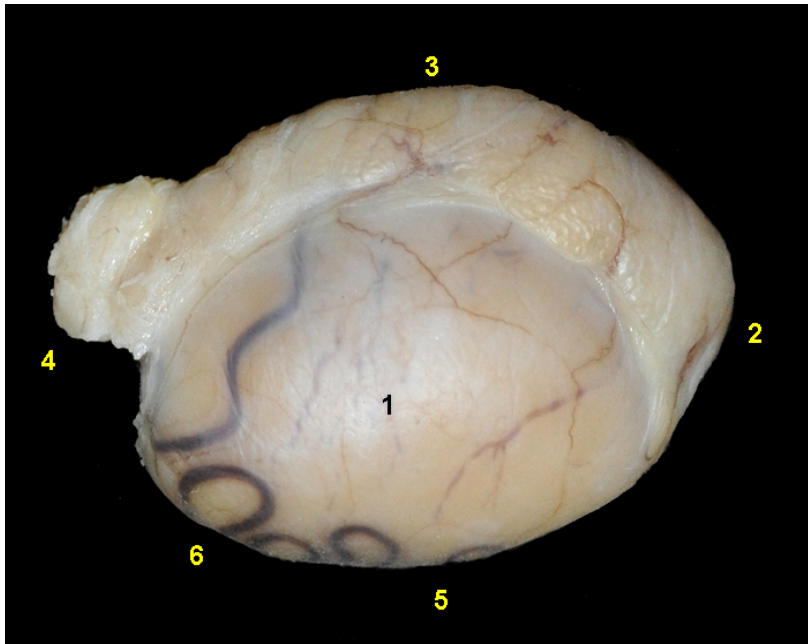


Figura 7.142 - Visión lateral del testículo del mono araña (*Ateles chamek*). 1. Testículo; 2. Cabeza del epidídimo; 3. Cuerpo del epidídimo; 4. Cola del epidídimo; 5. Borde libre; 6. Vasos testiculares.

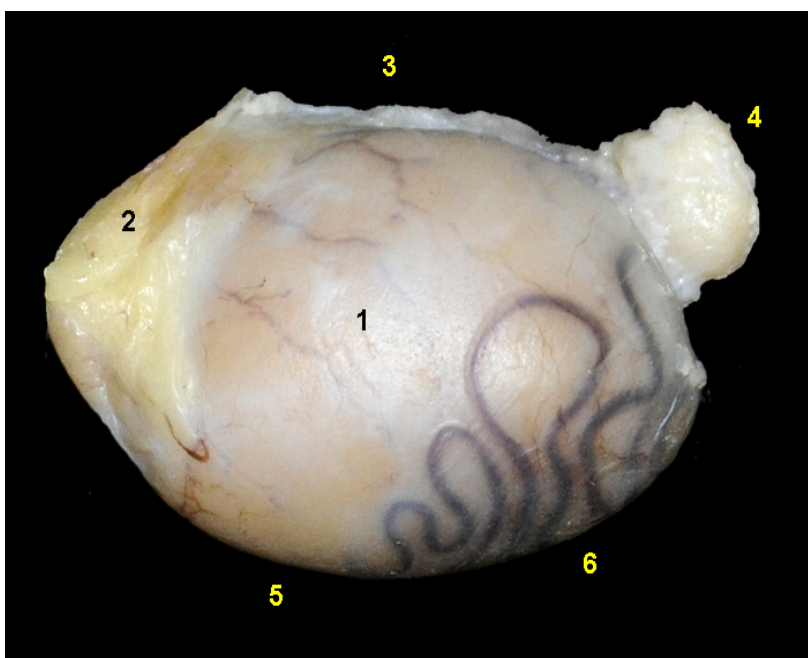


Figura 7.143 - Visión medial del testículo del mono araña (*Ateles chamek*). 1. Testículo; 2. Cabeza del epidídimo; 3. Cola del epidídimo; 4. Borde epididimario; 5. Borde libre; 6. Vasos testiculares.

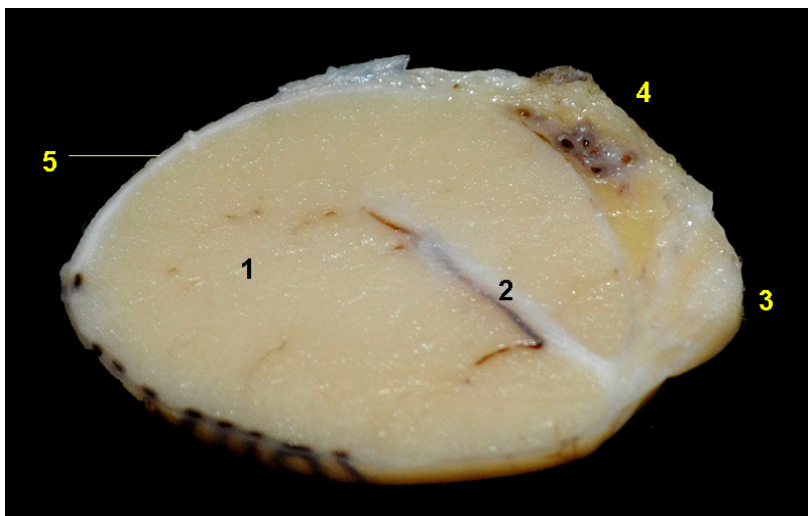
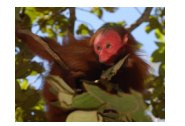


Figura 7.144 - Corte sagital del testículo del mono araña (*Ateles chamek*). 1. Parénquima testicular; 2. Mediastino; 3. Cabeza del epidídimo; 4. Plexo pampiniforme; 5. Túnica albugínea.



UÁCARI ROJO (*Cacajao calvus*)

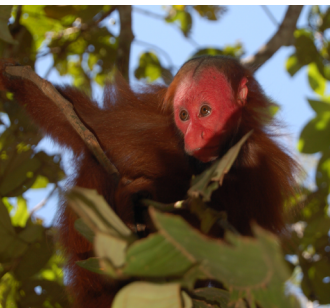


Figura 7.145 - Visión lateral de los órganos genitales externos masculinos del uácaro rojo (*Cacajao calvus*). Se ha retraído el prepucio para exteriorizar el pene. 1. Bolsa escrotal; 2. Parte libre del pene; 3. Glande del pene.

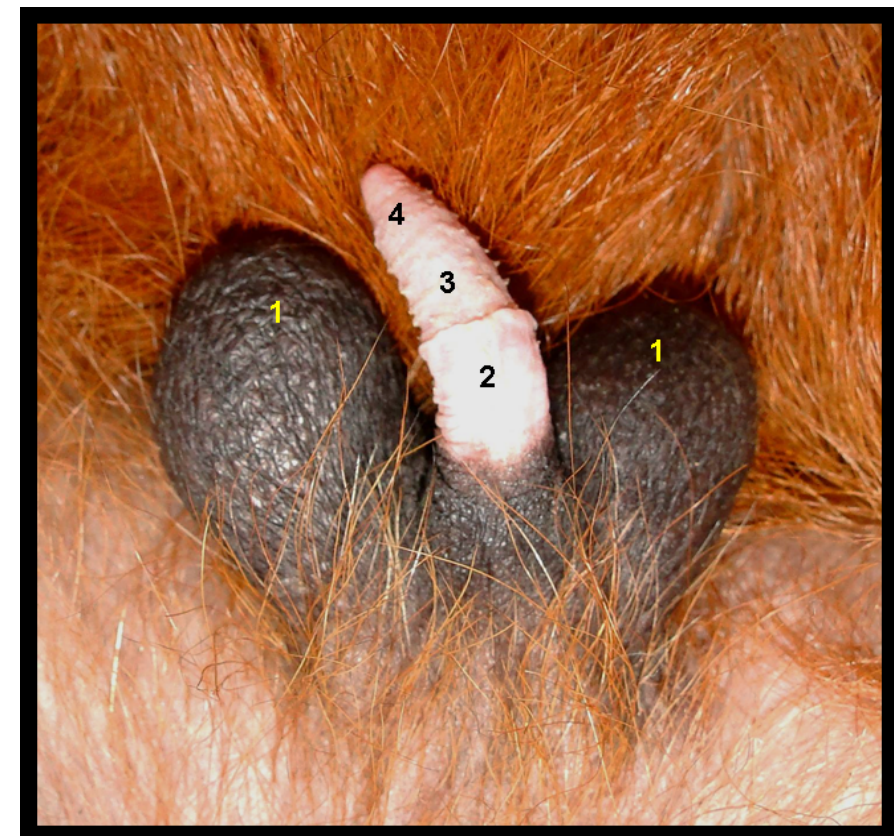


Figura 7.146 - Visión ventral de los órganos genitales externos masculinos del uácaro rojo (*Cacajao calvus*). 1. Bolsa testicular; 2. Prepucio; 3. Parte libre del pene; 4. Glande del pene.



TITÍ PIGMEO (*Cebuella pygmaea*)

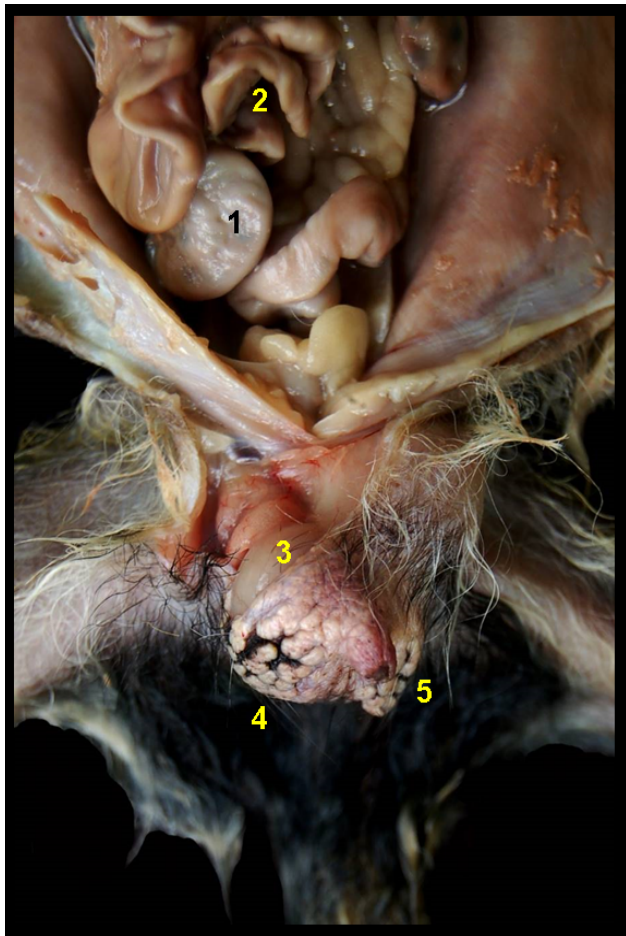


Figura 7.147 - Visión ventral de los órganos abdominales y genitales externos masculinos del tití pigmeo (*Cebuella pygmaea*). 1. Ciego; 2. Asas yeyunales; 3. Testículos; 4. Bolsa escrotal; 5. Pene.

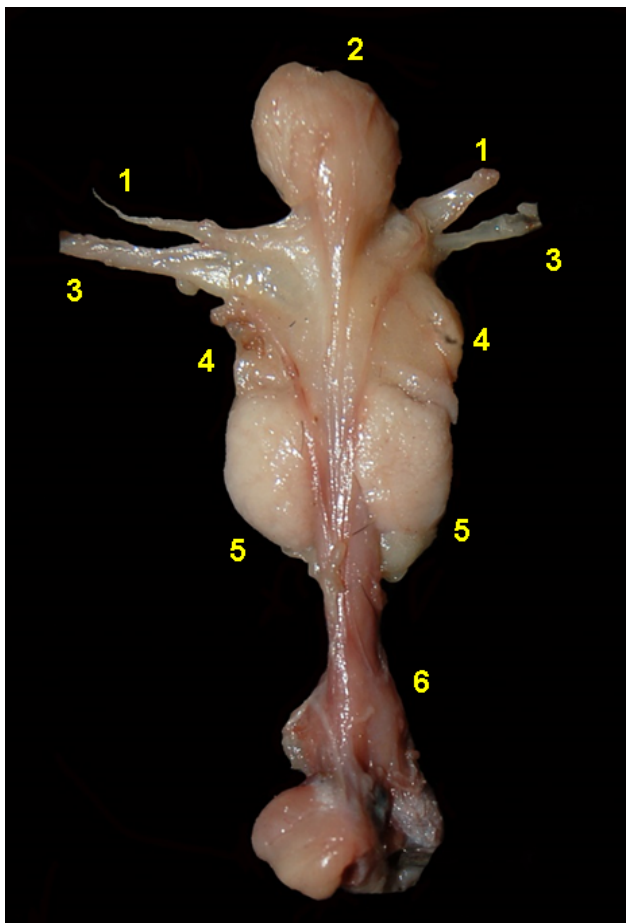


Figura 7.148 - Visión ventral de los órganos urogenitales masculinos del tití pigmeo (*Cebuella pygmaea*). 1. Uréteres; 2. Vejiga urinaria; 3. Conductos deferentes; 4. Glándulas vesiculares; 5. Próstata; 6. Uretra pelviana.

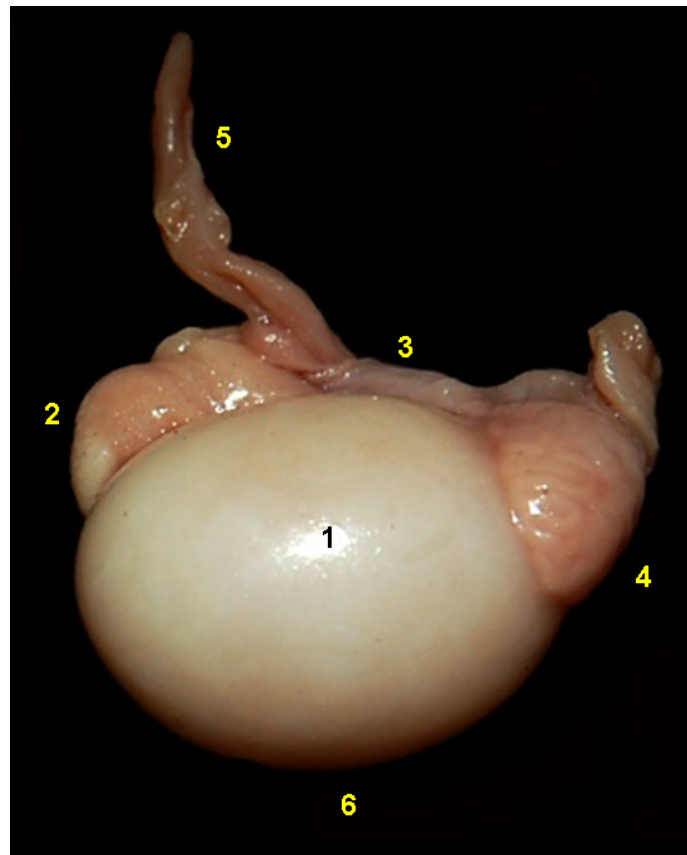


Figura 7.149 - Visión lateral del testículo del tití pigmeo (*Cebuella pygmaea*).
1. Testículo; 2. Cabeza del epidídimo;
3. Conducto deferente; 4. Cola del
epidídimo; 5. Cordón espermático; 6.
Borde libre.

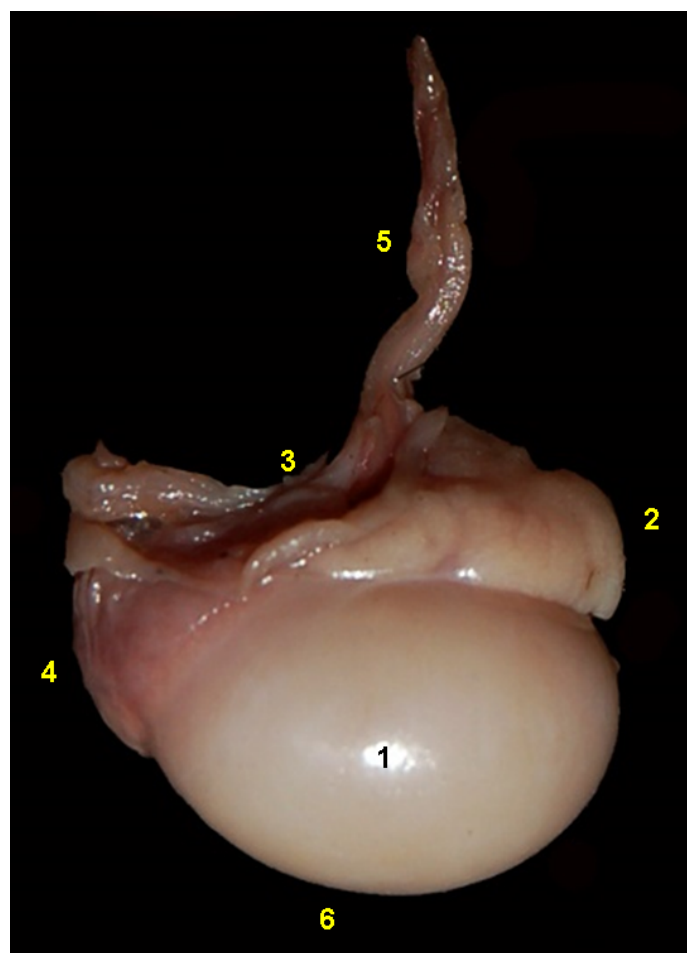


Figura 7.150 - Visión medial del testículo del tití pigmeo (*Cebuella pygmaea*).
1. Testículo; 2. Cabeza del epidídimo;
3. Cuerpo del epidídimo; 4. Cola del
epidídimo; 5. Cordón espermático; 6.
Borde libre.

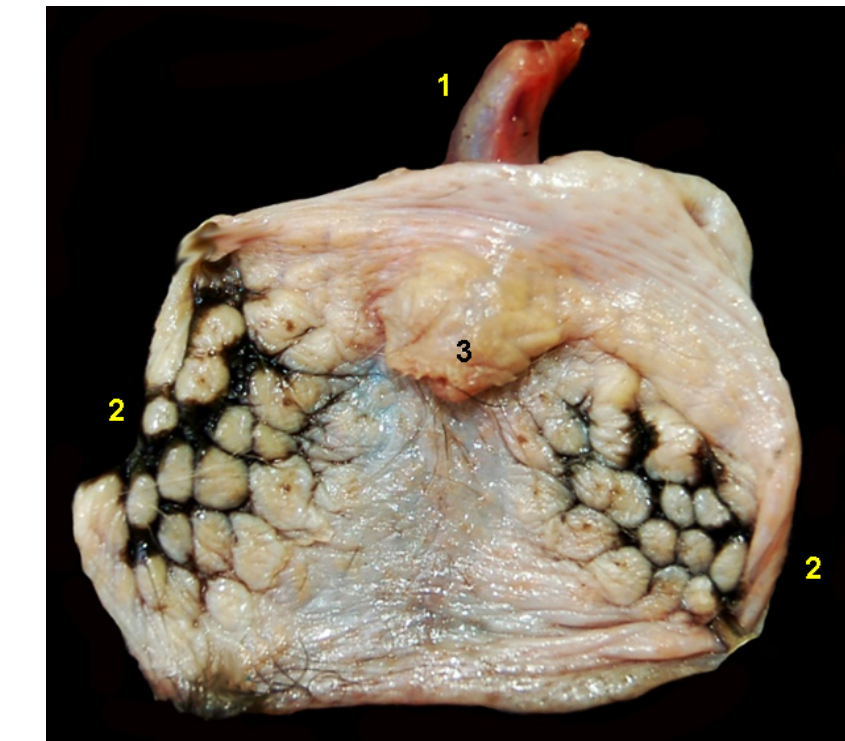


Figura 7.151 - Visión externa caudal de los órganos genitales masculinos del tití pigmeo (*Cebuella pygmaea*). 1. Pene; 2. Bolsa escrotal; 3. Prepucio.

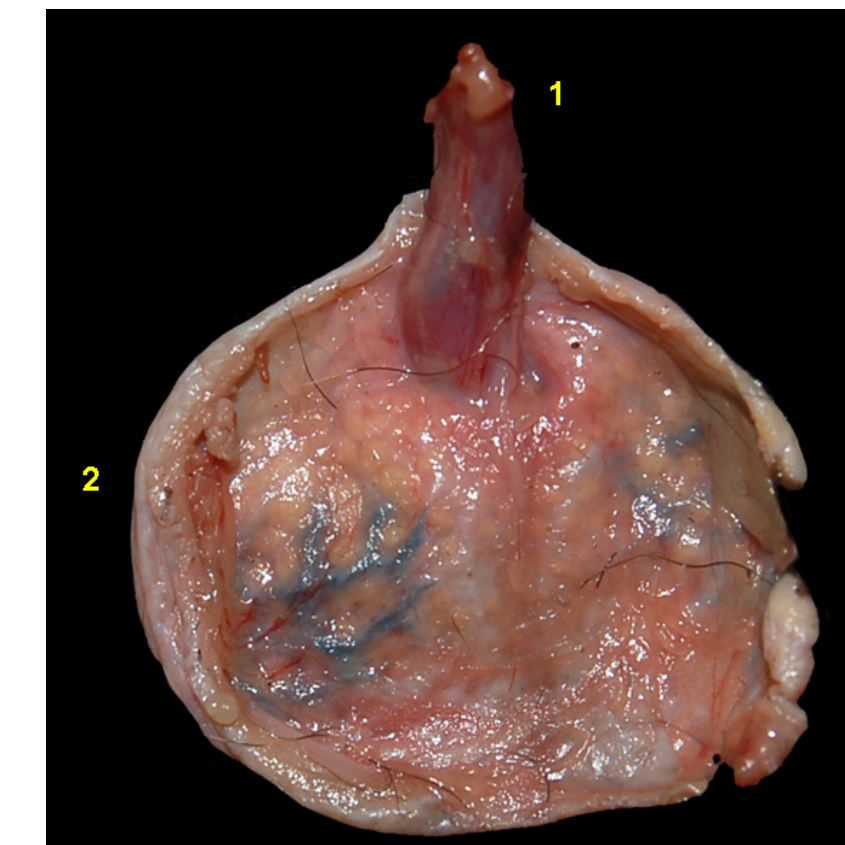


Figura 7.152 - Visión interna craneal de los órganos genitales masculinos del tití pigmeo (*Cebuella pygmaea*). 1. Pene; 2. Bolsa escrotal.



REFERENCIAS

- Aquino R, Bodmer R, Gil JG (2001). Mamíferos de la cuenca del río Samiria: Ecología poblacional y sustentabilidad de la caza. Ed. Rosegraf SRL, Lima.
- Arnason U, Adegoke JA, Gullberg A, Harley EH, Janke A, Kullberg M (2008). Mitogenomic relationships of placental mammals and molecular divergentes of their divergentes. *Gene* 421:37-51.
- Bowler M, Anderson M, Montes D, Pérez P, Mayor P (2014). Refining reproductive parameters for modeling sustainability and extinction in hunted primate populations in the Amazon. *Plos One* 9(4):e93625.
- Emmons LH (1990). Neotropical rain forest mammals. A field guide. First ed. The University of Chicago Press., Chicago.
- Enders AC (2002). Implantation in the nine-banded armadillo: How does a single blastocyst form four embryos? *Placenta* 23:71-85.
- Enders AC, Welch AO (1993). Structural interactions of trophoblast and uterus during hemochorial placenta formation. *J. Exp. Zool.* 266:578-587.
- Fang T, Bodmer R, Puertas P, Mayor P, Pérez P, Acero R, Hayman TS (2008). Certificación de pieles de pecaríes en la Amazonía peruana: Una estrategia para la conservación y manejo de fauna silvestres en la Amazonía peruana. Wust ed, Lima.
- García GC, Leal L (2003). Morfología del estómago e intestino grueso del báquiro de collar (*Tayassu tajacu*). *Veterinaria Trop.* 28:117-134.
- International Committee on Veterinary Gross Anatomical Nomenclature (2017). *Nomina Anatomica Veterinaria*, 6^a ed. Editorial on Veterinary Gross Anatomical Nomenclature Hanover (Germany), Ghent (Belgium), Columbia, MO (U.S.A.), Rio de Janeiro (Brazil). <http://www.wava-amav.org/wava-documents.html>
- König HE, Liebich HG (2005). Anatomía de los animales domésticos. Vol 2: Órganos, sistema circulatorio y sistema nervioso. Ed. Médica Panamericana, Madrid.
- López-Plana C, Mayor P, Navarro M, Carretero A, Nacher V, Aige V, López-Béjar M, Ruberte J (2008). Atlas de Osteología de los Mamíferos Domésticos. https://veterinariavirtual.uab.cat/anatomia/osteologia/Atlas_Virtual/primer.html.
- Mader DR (2006). Reptil Medicine and Surgery. 2^a ed. Saunders Elsevier, St Louis, Missouri.
- Mayor P, Jori F, López-Bejar M (2004). Anatomicohistological Characteristics of the Tubular Genital Organs of the Female Collared Peccary (*Tayassu tajacu*) from Northeastern Amazon. *Anatomy, Histology and Embryology* 33:1-10.
- Mayor P, Fenech M, Bodmer RE, Lopez-Bejar M (2006). Ovarian features of the wild Collared Peccary (*Tayassu tajacu*) from Peruvian Northeastern Amazon. *General and Comparative Endocrinology* 147:268-275.

- Mayor P, Bodmer E, Schettini L, Mariño LO, López-Béjar M (2009). Anatomicohistological Characteristics of the Female White-lipped Peccary (*Tayassu pecari*) in the Peruvian Amazon. *Anatomia Histologia Embryologia* 38 (6):467-474.
- Mayor P, Bodmer R, López-Béjar M (2011). Function anatomy of the female genital organs of the black Agouti (*Dasyprocta fuliginosa*) in the Peruvian Amazon. *Animal Reproduction Science* 123: 249-257.
- Mayor P, Bodmer R, López-Plana C, ad López-Béjar M (2011). Reproductive biology of the wild red brocket deer (*Mazama americana*) female in the Peruvian Amazon. *Animal Reproduction Science* 128:123-128.
- Mayor P, López-Plana C, López-Béjar M (2012). Anatomicohistological Characteristics of the Tubular Genital Organs of the Red Brocket Deer (*Mazama americana*) Female in the Peruvian Amazon. *Anatomy, Histology and Embryology* 41:436-444.
- Mayor P, Bowler M, López-Plana C (2012). Anatomicohistological Characteristics of the Tubular Genital Organs of the Female Woolly Monkey (*Lagothrix poeppigii*). *American Journal of Primatology* 74:1006-1016.
- Mayor P, Bowler M, López-Plana C (2013). Ovarian functionality in Poeppig's woolly monkey (*Lagothrix poeppigii*). *Animal Reproduction Science* 136:310-316.
- Mayor P, Bowler M, López-Plana C (2013). Functional morphology of the female genital organs in the Peruvian red uakari monkey (*Cacajao calvus ucayalii*). *American Journal of Primatology*, 75: 545-554.
- Mayor P, Guimaraes D, López-Plana C (2013). Functional morphology of the genital organs in the wild paca (*Cuniculus paca*) female. *Animal Reproduction Science*, 140(3-4):206-215.
- Mayor P, Montes D, López-Plana C (2013). Functional morphology of the genital organs in the wild ring-tailed coati (*Nasua nasua*) female in the North-eastern Peruvian Amazon. *Canadian Journal of Zoology* 91(7): 496-504.
- Mayor P, Takeshita RS, Coutinho LN, Sánchez N, Gálvez H, Ique C, Monteiro FOB (2015). Functional morphology of the tubular genital organs in the female owl monkey (*Aotus spp.*). *Journal of Medical Primatology* 44(3):158-67.
- Mayor P, Takeshita RS, Coutinho LN, Sánchez N, Gálvez H, Ique C, Monteiro FOB (2015). Ovarian functional in the female owl monkey (*Aotus spp.*). *Journal of Medical Primatology* 44:187-193.
- Popesko P, Ratjová V, Horák J (1992). Anatomy of small laboratory animals. Vol I y II. 2º ed. Wolfe Publishing Ltd, London.
- Rossi LF, Luaces JP, Aldana Marcos HJ, Cetica PD, Perez Jimeno G, Merani MS (2013). Anatomy and Histology of the Male Reproductive Tract and Spermatogenesis Fine Structure in the Lesser Anteater (*Tamandua tetradactyla*, Myrmecophagidae, Xenarthra): Morphological Evidences of Reproductive Functions. *Anatomia, Histologia, Embryologia* 42:247-256.
- Schaller, O. (1999). Nomenclatura anatómica veterinária ilustrada. Manole, São Paulo.
- Sowls LK (1997). Javelines and Other Peccaries: Their Biology, Management and Use. Texas A and M University Press, College Station, Texas.
- Springer S, Murphy WJ, Eizirik E, O'Brien SJ (2003). Placental mammal diversification and the Cretaceous and Tertiary boundary. *Proc Natl Acad Sci USA* 100:1056-1061.
- Wyneken J (2001). The Anatomy of Sea Turtles. US Department of Commerce NOAA. Technical Memorandum NMFS-SEFSC-470.

ÍNDICE DE FIGURAS

VOLUMEN III - MAMÍFEROS

ÓRGANOS URINARIOS

Riñones

Agutí (*Dasyprocta fuliginosa*):
 Paca (*Cuniculus paca*):
 Pacarana (*Dinomys branickii*):
 Armadillo de nueve bandas (*Dasypus novemcinctus*):
 Oso hormiguero (*Myrmecophaga tridactyla*):
 Oso perezoso de tres dedos (*Bradypus variegatus*):
 Oso perezoso de dos dedos (*Choloepus hoffmanni*):
 Pécari de collar (*Pecari tajacu*):
 Pécari labiado (*Tayassu pecari*):
 Venado gris (*Mazama nemorivaga*):
 Venado rojo (*Mazama americana*):
 Tapir (*Tapirus terrestris*):
 Ocelote (*Leopardus pardalis*):
 Jaguar (*Panthera onca*):
 Coati de cola anillada (*Nasua nasua*):
 Kinkajou (*Potos flavus*):
 Nutria gigante (*Pteronura brasiliensis*):
 Machín blanco (*Cebus albifrons*):
 Machín negro (*Sapajus macrocephalus*):
 Mono barrigudo (*Lagothrix poeppigii*):
 Mono aullador (*Alouatta seniculus*):
 Mono araña (*Ateles chamek*):
 Mono fraile (*Saimiri macrodon*):
 Uácari rojo (*Cacajao calvus*):
 Huapo negro (*Pithecia monachus*):
 Mono nocturno (*Aotus nancymae*):
 Tití pigmeo (*Cebuella pygmaea*):
 Mico bebeleche (*Leontocebus fuscicollis*):

Ureter e vesícula urinária

Agutí (*Dasyprocta fuliginosa*):
 Paca (*Cuniculus paca*):
 Pacarana (*Dinomys branickii*):
 Armadillo de nueve bandas (*Dasypus novemcinctus*):
 Oso hormiguero (*Myrmecophaga tridactyla*):
 Oso perezoso de tres dedos (*Bradypus variegatus*):
 Oso perezoso de dos dedos (*Choloepus hoffmanni*):
 Pécari de collar (*Pecari tajacu*):

Pécari labiado (*Tayassu pecari*):
 Venado gris (*Mazama nemorivaga*):
 Venado rojo (*Mazama americana*):
 Tapir (*Tapirus terrestris*):
 Ocelote (*Leopardus pardalis*):
 Jaguar (*Panthera onca*):
 Coati de cola anillada (*Nasua nasua*):
 Kinkajou (*Potos flavus*):
 Nutria gigante (*Pteronura brasiliensis*):
 Machín blanco (*Cebus albifrons*):
 Machín negro (*Sapajus macrocephalus*):
 Mono barrigudo (*Lagothrix poeppigii*):
 Mono aullador (*Alouatta seniculus*):
 Mono araña (*Ateles chamek*):
 Mono fraile (*Saimiri macrodon*):
 Uácari rojo (*Cacajao calvus*):
 Huapo negro (*Pithecia monachus*):
 Mono nocturno (*Aotus nancymae*):
 Tití pigmeo (*Cebuella pygmaea*):
 Mico bebeleche (*Leontocebus fuscicollis*):

Uretra

Agutí (*Dasyprocta fuliginosa*):
 Paca (*Cuniculus paca*):
 Pacarana (*Dinomys branickii*):
 Armadillo de nueve bandas (*Dasypus novemcinctus*):
 Oso hormiguero (*Myrmecophaga tridactyla*):
 Oso perezoso de tres dedos (*Bradypus variegatus*):
 Oso perezoso de dos dedos (*Choloepus hoffmanni*):
 Pécari de collar (*Pecari tajacu*):
 Pécari labiado (*Tayassu pecari*):
 Venado gris (*Mazama nemorivaga*):
 Venado rojo (*Mazama americana*):
 Tapir (*Tapirus terrestris*):
 Ocelote (*Leopardus pardalis*):
 Jaguar (*Panthera onca*):
 Coati de cola anillada (*Nasua nasua*):
 Kinkajou (*Potos flavus*):
 Nutria gigante (*Pteronura brasiliensis*):
 Machín blanco (*Cebus albifrons*):
 Machín negro (*Sapajus macrocephalus*):
 Mono barrigudo (*Lagothrix poeppigii*):
 Mono aullador (*Alouatta seniculus*):
 Mono araña (*Ateles chamek*):
 Mono fraile (*Saimiri macrodon*):
 Uácari rojo (*Cacajao calvus*):
 Huapo negro (*Pithecia monachus*):

Mono nocturno (*Aotus nancymae*):
 Tití pigmeo (*Cebuella pygmaea*):
 Mico bebeleche (*Leontocebus fuscicollis*):

ÓRGANOS GENITALES FEMENINOS

Ovários

Agutí (*Dasyprocta fuliginosa*):
 Paca (*Cuniculus paca*):
 Capibara (*Hydrochoerus hydrochaeris*):
 Armadillo de nueve bandas (*Dasypus novemcinctus*):
 Armadillo gigante (*Priodontes maximus*):

Oso hormiguero (*Myrmecophaga tridactyla*):
 Oso perezoso de tres dedos (*Bradypus variegatus*):
 Oso perezoso de dos dedos (*Choloepus hoffmanni*):

Pécari de collar (*Pecari tajacu*):
 Pécari labiado (*Tayassu pecari*):
 Venado gris (*Mazama nemorivaga*):
 Venado rojo (*Mazama americana*):
 Tapir (*Tapirus terrestris*):
 Ocelote (*Leopardus pardalis*):
 Jaguar (*Panthera onca*):

Coatí de cola anillada (*Nasua nasua*):
 Kinkajou (*Potos flavus*):
 Tayra (*Eira barbara*):
 Puma (*Puma concolor*):
 Machín blanco (*Cebus albifrons*):
 Machín negro (*Sapajus macrocephalus*):
 Mono barrigudo (*Lagothrix poeppigii*):
 Mono aullador (*Alouatta seniculus*):
 Mono araña (*Ateles chamek*):
 Mono fraile (*Saimiri macrodon*):
 Uácari rojo (*Cacajao calvus*):
 Huapo negro (*Pithecia monachus*):
 Mono nocturno (*Aotus nancymae*):
 Tití cobrizo (*Callicebus cupreus*):
 Mico bebeleche (*Saguinus fuscicollis*):

Trompa uterina

Agutí (*Dasyprocta fuliginosa*):
 Paca (*Cuniculus paca*):
 Capibara (*Hydrochoerus hydrochaeris*):
 Armadillo de nueve bandas (*Dasypus novemcinctus*):
 Armadillo gigante (*Priodontes maximus*):
 Oso hormiguero (*Myrmecophaga tridactyla*):
 Oso perezoso de tres dedos (*Bradypus variegatus*):

Oso perezoso de dos dedos (*Choloepus hoffmanni*):
 Pécari de collar (*Pecari tajacu*):
 Pécari labiado (*Tayassu pecari*):
 Venado gris (*Mazama nemorivaga*):
 Venado rojo (*Mazama americana*):
 Tapir (*Tapirus terrestris*):
 Ocelote (*Leopardus pardalis*):
 Jaguar (*Panthera onca*):
 Coatí de cola anillada (*Nasua nasua*):
 Kinkajou (*Potos flavus*):
 Tayra (*Eira barbara*):
 Puma (*Puma concolor*):
 Machín blanco (*Cebus albifrons*):
 Machín negro (*Sapajus macrocephalus*):
 Mono barrigudo (*Lagothrix poeppigii*):
 Mono aullador (*Alouatta seniculus*):
 Mono araña (*Ateles chamek*):
 Mono fraile (*Saimiri macrodon*):
 Uácari rojo (*Cacajao calvus*):
 Huapo negro (*Pithecia monachus*):
 Mono nocturno (*Aotus nancymae*):
 Tití cobrizo (*Callicebus cupreus*):
 Mico bebeleche (*Saguinus fuscicollis*):

ÓRGANOS GENITALES MASCULINOS

Testículos

Agutí (*Dasyprocta fuliginosa*):
 Paca (*Cuniculus paca*):
 Pacarana (*Dinomys branickii*):
 Armadillo de nueve bandas (*Dasypus novemcinctus*):
 Oso hormiguero (*Myrmecophaga tridactyla*):
 Tamandúa (*Tamandua tetradactyla*):
 Pécari de collar (*Pecari tajacu*):
 Venado gris (*Mazama nemorivaga*):
 Venado rojo (*Mazama americana*):
 Tapir (*Tapirus terrestris*):
 Ocelote (*Leopardus pardalis*):
 Jaguar (*Panthera onca*):
 Coatí de cola anillada (*Nasua nasua*):
 Nutria gigante (*Pteronura brasiliensis*):
 Machín negro (*Sapajus macrocephalus*):
 Mono barrigudo (*Lagothrix poeppigii*):
 Mono aullador (*Alouatta seniculus*):
 Mono araña (*Ateles chamek*):
 Uácari rojo (*Cacajao calvus*):

Tití pigmeo (*Cebuella pygmaea*):

Epidídimo

Agutí (*Dasyprocta fuliginosa*):

Paca (*Cuniculus paca*):

Pacarana (*Dinomys branickii*):

Armadillo de nueve bandas (*Dasyurus novemcinctus*):

Oso hormiguero (*Myrmecophaga tridactyla*):

Tamandúa (*Tamandua tetradactyla*):

Pécari de collar (*Pecari tajacu*):

Venado gris (*Mazama nemorivaga*):

Venado rojo (*Mazama americana*):

Tapir (*Tapirus terrestris*):

Ocelote (*Leopardus pardalis*):

Jaguar (*Panthera onca*):

Coatí de cola anillada (*Nasua nasua*):

Nutria gigante (*Pteronura brasiliensis*):

Machín negro (*Sapajus macrocephalus*):

Mono barrigudo (*Lagothrix poeppigii*):

Mono aullador (*Alouatta seniculus*):

Mono araña (*Ateles chamek*):

Uácari rojo (*Cacajao calvus*):

Tití pigmeo (*Cebuella pygmaea*):